

VA KMA-säkerhet
Kvalitet
Joakim Lücke

Styrelsen för Stockholm Vatten och Avfall AB

Läget i skärgården 2025 - Anmälningsärende

FÖRSLAG TILL BESLUT

Styrelsen föreslås besluta
att godkänna anmälan.

Christian Rockberger
Verkställande direktör

Sigrid De Geyter
Avdelningschef
VA-avdelningen

Bilaga: Lücke, J. (2026). Undersökningar i Stockholms skärgård 2025. Vattenkemi och plankton. Stockholm Vatten och Avfall.

ÄRENDET

Skärgårdsrapporten är en årlig sammanställning av de undersökningar som Stockholm Vatten och Avfall genomför i Stockholms skärgård. Rapporten för 2025 bygger på analyser av vattenkemi och plankton och beskriver hur vattenmiljön påverkas av både Mälarens utflöde och utsläppen från de tre stora avloppsreningsverken Bromma, Henriksdal och Käppala.

Under 2025 uppgick utflödet från Mälaren till 5 262 Mm³. Det var lägre än året innan, men högre än genomsnittet för den senaste tioårsperioden. Fosforhalterna låg nära det normala, medan kvävehalterna var något förhöjda. Totalt transporterades 132 ton fosfor och 3 236 ton kväve från Mälaren under året, vilket var mer än genomsnittet för perioden 2015–2024.

Samtidigt var utsläppen av fosfor och kväve från Bromma, Henriksdal och Käppala lägre än både föregående år och genomsnittet för den senaste tioårsperioden. Under 2025 uppgick fosforutsläppen till 35 ton och kväveutsläppen till 1 472 ton. Utsläppen av syreförbrukande ämnen var också lägre än året innan och uppgick till totalt 3 403 ton, vilket var lägre än tioårsgenomsnittet på 3 884 ton.

Det stora utflödet från Mälaren i början av året gav upphov till en tydlig skiktning i innerskärgården, där sötare ytvatten låg ovanpå saltare djupvatten. När flödet senare minskade försvagades skiktningen, men den bestod delvis på grund av temperaturförhållandena. Skiktningen bidrog till att motverka att renat avloppsvatten trängde upp till ytan nära utsläppspunkterna. Halterna av ammonium i ytvattnet varierade under året men var överlag låga.

Bakteriehalter används som indikator på avloppspåverkan, särskilt i badvatten. Gränsen för *otjänligt* badvatten, det vill säga *Escherichia coli* över 1 000 MPN per 100 ml, överskreds bara vid ett tillfälle under året. Det skedde i mitten av december vid Blockhusudden och Slussen. Vid övriga provtagningar klassades vattnet som antingen tjänligt eller tjänligt med anmärkning. Förutom vid dessa stationer uppmättes de högsta bakteriehalterna i Halvkakssundet.

I innerskärgården varierade siktdjupet mellan 2,1 och 5,0 meter. Årsmedelvärdet var 4,2 meter, vilket var något högre än föregående år. Siktdjupet har ett tydligt samband med klorofyllhalten i vattnet, som speglar mängden växtplankton. Klorofyllhalterna har minskat sedan kväverening infördes i början av 1990-talet och har därefter legat på en relativt stabil nivå.

Växtplanktonanalyserna visade att den ekologiska statusen varierade mellan olika delar av skärgården. För perioden 2023–2025 bedömdes statusen som *god* i Trälhavet och Sollenkroka, *måttlig* i fem områden och *otillfredsställande* vid Koviksudde. Under 2025 förbättrades statusen vid Blockhusudden, som ligger nära utloppen från Stockholm Vatten och Avfalls avloppsreningsverk, från *otillfredsställande* till *måttlig*, medan Koviksudde försämrades från *måttlig* till *otillfredsställande*. Även vid NV Eknö samt i Baggensfjärden och Ägnöfjärden visade växtplanktonen på en försämrad status. För Baggensfjärden och Ägnöfjärden innebar detta en förändring från *god* till *måttlig* status. Farstaviken visade däremot en förbättring.

SLUT



Undersökningar i Stockholms skärgård 2025

– vattenkemi och plankton

Joakim Lücke

Tillsammans för världens
mest hållbara stad



STOCKHOLM
VATTEN
OCH AVFALL

Stockholm Vatten och Avfall i samarbete med:



© Stockholm Vatten och Avfall 2026

Författare: Joakim Lücke, joakim.lucke@svoa.se

Rapporten citeras: Lücke, J. (2026). Undersökningar i Stockholms skärgård 2025. Vattenkemi och plankton. Stockholm Vatten och Avfall.

Internt Dnr: 26SVOA319

Kontaktuppgifter: Stockholm Vatten och Avfall, 106 36 Stockholm

Telefon: 08-522 120 00

Webb: www.svoa.se

Förord

Denna rapport har getts ut årligen sedan 1968 och syftar till att ge en aktuell bild av miljötillståndet i Stockholms skärgård. Fokus ligger på skärgården som recipient för avloppsvatten från de tre stora reningsverken Henriksdal och Bromma, som drivs av Stockholm Vatten och Avfall, samt Käppala, som drivs av Käppalaförbundet. Den som har läst tidigare rapporter i serien kommer sannolikt att känna igen både upplägg och innehåll.

Liksom tidigare år belyser 2025 års rapport förhållandena både i ytvattnet och på djupet. Den omfattar analyser av skärgårdsvattnets kemiska sammansättning och av livet under ytan, från plankton och fisk i vattenmassan till bottenlevande djur och sediment. Syftet är att öka förståelsen för sambanden mellan mänsklig påverkan, såsom utsläpp av renat avloppsvatten och tillförsel av Mälarsvatten, och skärgårdens komplexa ekosystem. Sambanden är inte alltid enkla att tolka, men förhoppningen är att rapporten ska bidra till en fördjupad förståelse av miljötillståndet i skärgården.

Rapporten bygger på ett omfattande provtagningsunderlag. Under de senaste 45 åren har närmare 95 000 mätningar genomförts, och i vissa fall redovisas även ännu äldre data. Bara under 2025 togs nästan 2 400 prover för att ge en aktuell bild av förhållandena under ytan.

Fältarbetet har huvudsakligen utförts av Calluna AB. Laboratorieanalyser av fysikalisk-kemiska parametrar och bakterier har genomförts av Eurofins Environment Sweden AB, medan planktonanalyserna har utförts av Pelagia Nature & Environment AB. Den bilagda planktonrapporten har skrivits av Marie Andersson och Kalle Rautiainen vid Calluna AB.

Jag vill rikta ett varmt tack till alla som har bidragit med data och analyser till rapporten. Ett särskilt tack går till Fred Erlandsson för värdefulla insikter och kloka synpunkter.

Jag hoppas att rapporten ska upplevas som både värdefull och intressant.

Joakim Lücke
Limnolog

Innehåll

| | |
|-------------------------------------------------------------|------------|
| Sammanfattning | 6 |
| Bakgrund och historia | 8 |
| Provtagningen 2025 | 9 |
| Allmänna uppgifter om förhållandena under året | 10 |
| Vädersituationen..... | 10 |
| Vattennivåer i Saltsjön och Mälaren | 12 |
| Utflödet från Mälaren | 15 |
| Mälarens belastning på Saltsjön | 15 |
| Avloppsreningsverkens belastning på Saltsjön | 20 |
| Tillståndet i skärgården | 30 |
| Hur är livet under ytan i skärgården? | 30 |
| Gradienter ger skärgården liv..... | 33 |
| Syrets betydelse för liv | 36 |
| Näring får liv att växa | 37 |
| Utan ljus inget liv..... | 39 |
| Oönskat biologiskt liv | 41 |
| Basfödan för ett liv i havet | 42 |
| Livet på botten | 47 |
| Fokus på livet vid Koviksudde | 48 |
| 2025 års undersökningar i korthet | 52 |
| Figursamling | 54 |
| Bilagor | 100 |
| Bilaga A. Provtagningsprogram och datasammanställning | |
| Bilaga B. Plankton | |

Sammanfattning

Skärgårdens vatten påverkas främst av tre faktorer: Mälarens utflöde, utsläpp från de tre stora avloppsreningsverken (Bromma, Henriksdal och Käppala) samt inflödet av salt bottenvatten från ytterskärgården och Östersjön. Mälaren bidrar med sötare ytvatten, reningsverken ger upphov till en utåtgående ström av renat avloppsvatten på cirka 10–20 meters djup och från de yttre delarna av skärgården strömmar saltare vatten in längs botten. Tillsammans skapar dessa processer de grundläggande förutsättningarna i skärgårdens vattenmiljö. Årets sammanställning omfattar fysikalisk-kemiska mätningar samt undersökningar av växt- och djurplankton.

Mälarens utflöde gav stora transporter av fosfor och kväve

Under 2025 uppgick utflödet från Mälaren till 5 262 Mm³. Det var lägre än föregående år men högre än genomsnittet för den senaste tioårsperioden. Flödena var höga i början och slutet av året, särskilt i januari, februari och december, och följde i övrigt i stort sett det normala säsongsmönstret. Fosforhalterna i utflödet låg nära det normala, medan kvävehalterna var något förhöjda. Totalt transporterades 132 ton fosfor och 3 236 ton kväve från Mälaren under året, vilket var högre än genomsnittet för 2015–2024.

Lägre utsläpp från reningsverken än normalt

Utsläppen av fosfor, kväve och syreförbrukande ämnen från Bromma, Henriksdal och Käppala var lägre än både föregående år och tioårsgenomsnittet. Fosforutsläppen uppgick till 35 ton och kväveutsläppen till 1 472 ton. Någon tydlig uppträngning av renat avloppsvatten till ytan nära utsläppspunkterna observerades inte under året. Ammoniumhalterna i ytvattnet varierade, men var överlag låga.

Stabil skiktning begränsade påverkan på ytvattnet

Vattenskiktningen i innerskärgården var stabil under vintern och den tidiga våren, främst på grund av det stora utflödet från Mälaren. När utflödet senare minskade försvagades skiktningen, men den bestod till följd av temperaturförhållandena. Höstomblandningen inträffade i november. Skiktningen bidrog under större delen av året till att motverka uppträngning av renat avloppsvatten till ytan.

Syre och näringsämnen låg nära det normala – men avvikelser förekom nära botten

Syrehalterna följde det normala säsongsmönstret, med högre nivåer under våren och lägre före höstomblandningen. De lägsta halterna uppmättes i bottenvattnet. Totalfosforhalterna låg i nivå med tidigare år, men var något förhöjda nära botten under hösten. Totalkvävehalterna var högst i närheten av reningsverkens utsläpp, särskilt vid Slussen och Blockhusudden. Halterna av fosfatfosfor och oorganiskt kväve avvek i stort sett inte från det normala, men fosfatfosforhalterna i bottenvattnet vid Slussen var kraftigt förhöjda under hösten, sannolikt kopplat till ombyggnaden av Slussenområdet. Ammoniumhalterna var också förhöjda i januari och februari vid Slussen och Blockhusudden, men var annars låga i ytvattnet.

Överlag god badvattenkvalitet med enstaka förhöjda bakteriehalter

Gränsen för otjänligt badvatten (*Escherichia coli* > 1 000 MPN per 100 ml) överskreds vid ett tillfälle under året, i mitten av december vid Blockhusudden och Slussen. I övrigt klassades vattnet som tjänligt (<100 MPN per 100 ml) eller tjänligt med anmärkning (100–1 000 MPN

per 100 ml). Förutom vid dessa stationer uppmättes de högsta bakteriehalterna i Halvkakssundet.

Klorofyllnivåerna var stabila och siktdjupet något bättre än året innan

Klorofyllhalterna låg på nivåer som överensstämmer med tidigare år. Sedan kväverening infördes i början av 1990-talet har halterna i innerskärgården minskat och därefter varierat relativt lite mellan åren. En viss omvänd korrelation mellan klorofyllhalt och siktdjup kunde noteras. Under 2025 varierade det genomsnittliga siktdjupet i innerskärgården mellan 2,1 meter i april och 5,0 meter i mars. Årsmedelvärdet var 4,2 meter, något högre än föregående år.

Växtplanktonundersökningar visar både förbättringar och försämringar

Växtplanktonanalyser för perioden 2023–2025 visar att den ekologiska statusen var *god* i Trälhavet och Sollenkroka, *måttlig* i fem områden och *otillfredsställande* vid Koviksudde. Under 2025 försämrades statusen vid Koviksudde, från *måttlig* till *otillfredsställande*. Blockhusudden förbättrades till *måttlig* status, medan NV Eknö, Baggensfjärden och Ägnöfjärden försämrades. För Baggensfjärden och Ägnöfjärden innebar detta en förändring från *god* till *måttlig* status, medan Farstaviken förbättrades.

Ett i stort stabilt år – men fortsatt känslighet i flera områden

Sammantaget visar undersökningarna att de fysikalisk-kemiska förhållandena i Stockholms skärgård under 2025 i huvudsak var stabila och nära det normala, trots fortsatt påverkan från Mälarens utflöde, reningsverkens utsläpp och inflödet av salt bottenvatten. Mälaren stod för stora vatten- och näringstransporter, medan utsläppen från de stora avloppsreningsverken var lägre än genomsnittet. Den tydliga skiktningen i innerskärgården motverkade också att renat avloppsvatten trängde upp till ytan. Samtidigt noterades lokala avvikelser i bland annat syre- och näringsförhållanden, och de biologiska undersökningarna visade att flera områden hade fortsatt känsliga eller försämrade förhållanden. Årets resultat tecknar därmed en bild av en i stort sett stabil skärgård, men också av ett fortsatt behov av uppföljning i känsliga och påverkade områden.

Bakgrund och historia

Denna rapport utvärderar i första hand resultaten från de undersökningar som genomfördes i Stockholms skärgård under 2025, men även långsiktiga utvecklingstrender behandlas. Fokus ligger på skärgården som recipient för avloppsvatten från de tre stora reningsverken, vilka drivs av Stockholm Vatten och Avfall samt Käppalaförbundet. Sedan 1968 har resultaten från undersökningarna sammanställts årligen i en skriftlig rapport.

I mitten av 1800-talet var vattnet i och omkring Stockholm kraftigt förorenat, och tillgången till rent vatten var tidvis begränsad. Stadens första vattenverk, beläget vid Skanstull med Årstaviken som råvattentäkt, invigdes 1861. Avloppshanteringen var däremot länge bristfällig. Först 1868 infördes rättsliga bestämmelser om vattenföroreningar i syfte att hantera stadens växande problem med avloppsvatten och avfall. Under 1870-talet anlades vissa avloppsledningar, men dessa ledde orenat avloppsvatten direkt ut i Strömmen, Riddarfjärden och Klara sjö. Någon egentlig rening av avloppsvattnet var ännu inte aktuell, och recipienterna blev därför kraftigt förorenade. Vid sekelskiftet hade Riddarfjärden till och med fått öknamnet "Lortfjärden" bland stadens invånare.

Föroreningssituationen fortsatte att förvärras, och det var först 1934 som Stockholms första avloppsreningsverk, Åkeshovs reningsverk, togs i drift. År 1941 invigdes även Henriksdals reningsverk. Åkeshovs reningsverk slogs senare samman med den nyare Nockebyanläggningen och blev Bromma reningsverk. Käppala reningsverk invigdes 1969. Utloppen från Henriksdal och Käppala har hela tiden mynnat i Saltsjön, medan Bromma reningsverks utsläppspunkt låg i Mälaren fram till slutet av 1980-talet. När den nybyggda Saltsjötunneln togs i bruk 1989 kunde Brommas utsläpp flyttas från Mälaren till Saltsjön.

Undersökningar av recipienterna i Stockholms skärgård inleddes redan 1874, och mellan 1909 och 1911 genomförde Stockholms kommun systematiska vattenundersökningar. Den nuvarande rapportserien har sin grund i två domar från Österbygdens vattendomstol, daterade den 25 januari 1963 och den 5 april 1966 i mål 74/1957, där Stockholms kommun ålades att övervaka vattenkvaliteten i skärgården.

Sedan 2015 har recipientkontrollen reviderats för att ge en bättre täckning över året. Det innebar bland annat att vissa provtagningslokaler togs bort för att möjliggöra fler provtagningar under vintermånaderna. I huvudsak följer dagens program dock det upplägg som infördes 1982 och som därefter har reviderats 1985, 1986, 1989, 1991, 1999, 2004 och 2006. Provtagningarna genomförs enligt en överenskommelse mellan Stockholm Vatten och Avfall, Käppalaförbundet, Roslagsvatten AB samt Nacka och Värmdö kommuner.

Provtagningen 2025

Undersökningarna som genomfördes under 2025 omfattade fysikalisk-kemiska parametrar, klorofyll *a*, bakterier, växtplankton och djurplankton. En mer detaljerad beskrivning av de fysikalisk-kemiska undersökningarna, inklusive provtagningslokaler, djup, provtagningsfrekvens samt provtagnings- och analysmetoder, finns i bilaga A. Där redovisas även metodiken för provtagning och analys. Information om provtagning av växtplankton och djurplankton finns i bilaga B.

I bild 1 visas provtagningslokalernas lägen på en karta. Det samordnade recipientkontrollprogrammet omfattar månadsvisa snittprovtagningar, markerade med röda punkter, samt veckovis ytvattenprovtagning vid Centralbron, markerad med en grön punkt. Därutöver ingår två extrapunkter: Askrikefjärden, som har lagts till av Stockholm Vatten och Avfall, och Hammarby sjö, som ingår i Stockholms allmänna miljöövervakning. Dessa punkter är markerade med blått.

Redovisningen omfattar även åtta provtagningslokaler som inte ingår i det samordnade recipientkontrollprogrammet och som är markerade med orange punkter. Fem av dessa ligger i den södra delen av skärgården och provtas på uppdrag av Nacka och Värmdö kommuner. Därutöver provtas Torsbyholmen och Djurö på uppdrag av Värmdö kommun samt Kyrkfjärden på uppdrag av Österåkers kommun och Roslagsvatten AB.

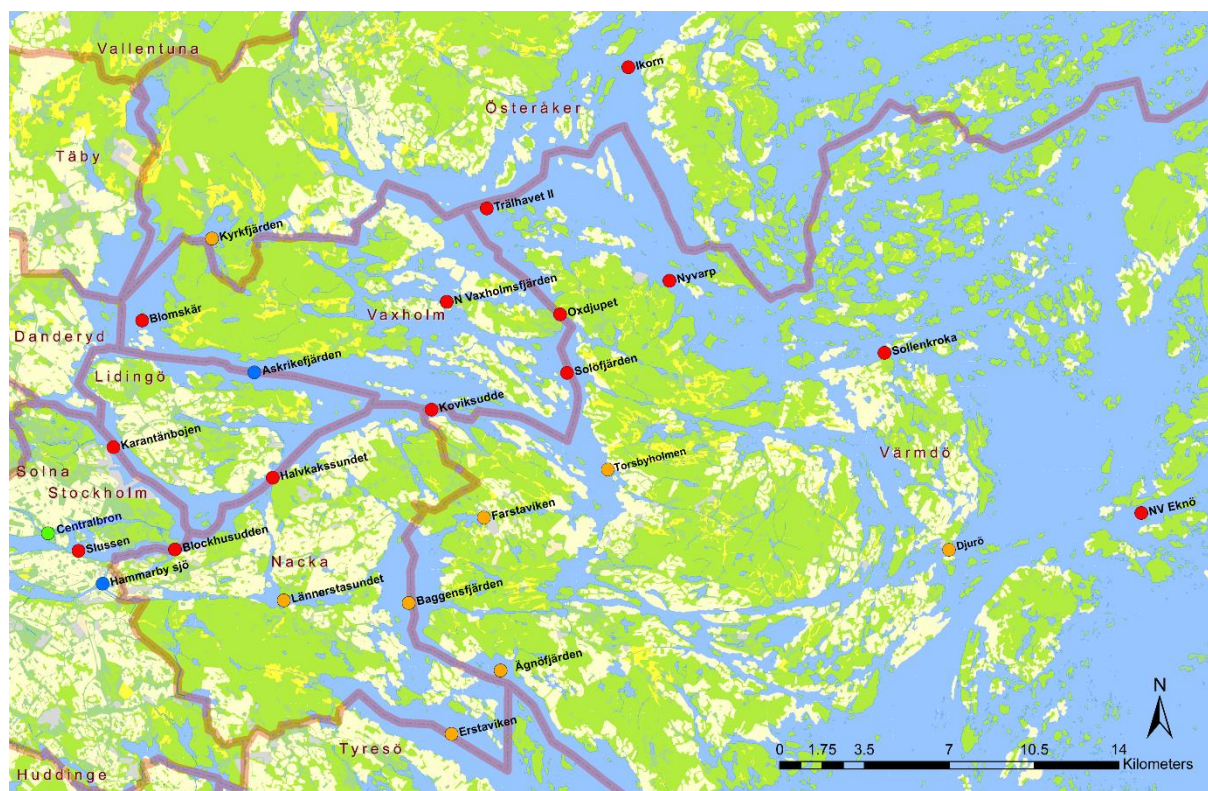


Bild 1. Provtagningslokaler i Stockholms skärgård 2025 för de fysikalisk-kemiska parametrarna.

Allmänna uppgifter om förhållandena under året

Vädersituationen

Vädret påverkar många processer och är en viktig förutsättning för biologisk aktivitet både i luft och vatten. Det styr inte bara de naturliga vattenflödena utan påverkar även flödena i avloppsledningar och genom reningsverk. För att kunna bedöma skärgårdens funktion som recipient för renat avloppsvatten är det därför viktigt att sätta vattenförhållandena i relation till årets väderutveckling.

År 2025 var överlag varmt och soligt i Sverige, men präglades också av perioder med regn och stormar. I denna rapport används, liksom av SMHI sedan 2021, referensperioden 1991–2020 som norm vid klimatjämförelser.

Året inleddes med en mild vinter med många tövädersdagar och följdes av en torr och blåsig vår. Försommaren var relativt sval, men i juli kom sommarvärmen. Årets högsta temperatur i Sverige uppmättes den 24 juli vid Skellefteå flygplats, där temperaturen nådde 33,6 °C. Den varma perioden fortsatte in i början av hösten, som därefter förblev mild. I oktober drog höststormen Amy in över landet. November började också mildt innan vädret tillfälligt slog om till vinter. December var till största delen mild, men i slutet av månaden drog stormen Johannes in, främst över Norrland, med vindbyar på omkring 40 m/s på vissa platser.

Globalt var 2025 det tredje varmaste året som registrerats sedan den globala temperaturövervakningen började 1850, enligt NOAA. År 2024 var det varmaste och 2023 det näst varmaste året som uppmätts. Samtliga år mellan 2015 och 2025, med undantag för 2021, hör därmed till de tio varmaste som hittills registrerats. I Sverige blev 2025 sammantaget det näst varmaste året efter 2020, och sett över längre tid har årsmedeltemperaturen ökat med mer än 2 grader sedan slutet av 1800-talet.

I Stockholm var årsmedeltemperaturen 9,2 °C under 2025, vilket var 1,3 °C högre än normalvärdet (Tabell 1). Under större delen av året låg temperaturen över det normala. Endast i maj och augusti var medeltemperaturen något lägre än normalt i förhållande till referensperioden 1991–2020 (Tabell 1 och Figur 1A).

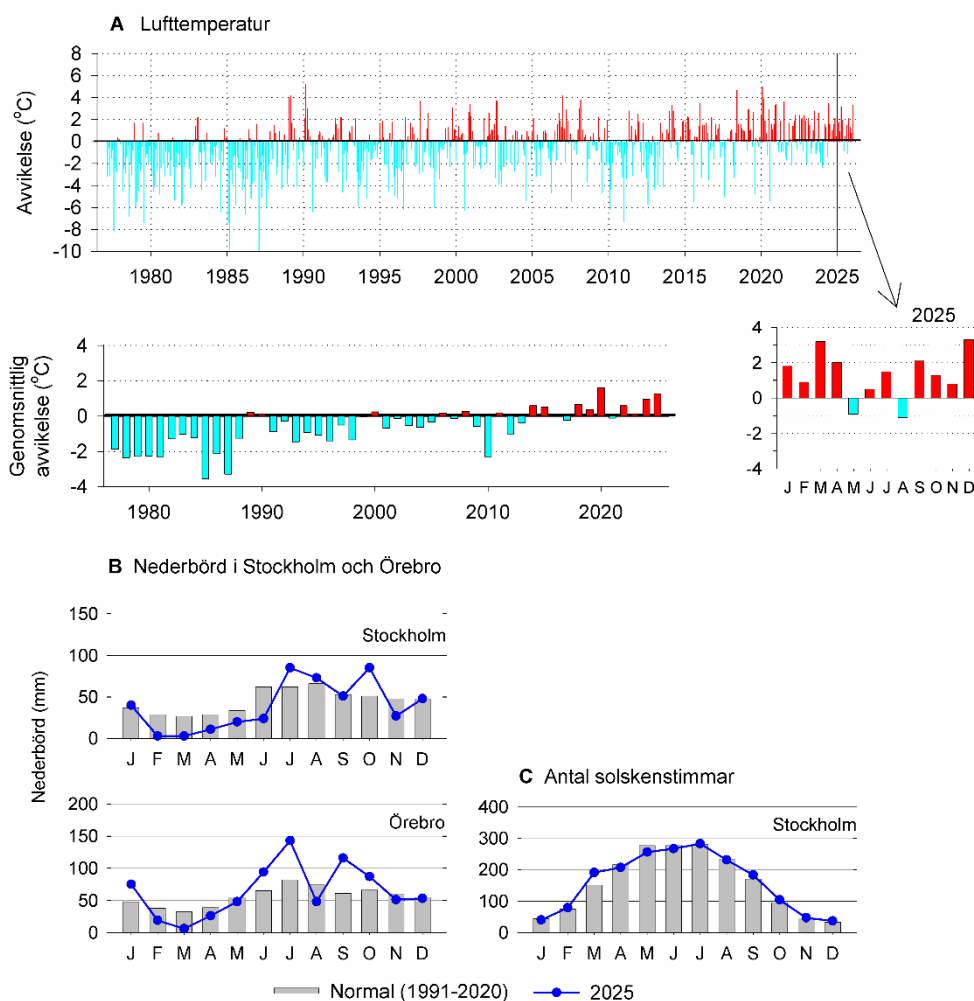
Den totala nederbörden i Stockholm under 2025 uppgick till 470 mm, vilket var lägre än normalvärdet på 546 mm (Figur 1B). Perioden från februari till juni, liksom november, var generellt torrare än normalt, medan juli och oktober var betydligt nederbördsrikare än vanligt. I Örebro, som ligger i den västra delen av Mälarens avrinningsområde, uppgick årsnederbörden till 764 mm, vilket var tydligt över normalvärdet på 677 mm (Figur 1B). Nederbörden varierade mer i Örebro än i Stockholm, med ovanligt mycket regn i januari, juni, juli, september och oktober, medan februari till april samt augusti var betydligt torrare än normalt.

Även antalet soltimmar var högre än genomsnittet i Stockholm under 2025. Totalt registrerades 1 925 soltimmar, jämfört med normalvärdet 1 898 timmar (Figur 1C). Som jämförelse noterades 2 254 soltimmar under 2018, som är det soligaste året sedan mätningarna inleddes 1983. Under 2025 var det framför allt mars och september som hade betydligt fler soltimmar än normalt.

Tabell 1. Meteorologiska uppgifter från SMHI för Stockholm och Örebro.

| Månad | Lufttemperatur Stockholm | | Nederbörd (mm) Stockholm | | Nederbörd (mm) Örebro | | Solskenstimmar Stockholm | |
|-----------|--------------------------|--------|--------------------------|--------|-----------------------|--------|--------------------------|--------|
| | 2025 | Normal | 2025 | Normal | 2025 | Normal | 2025 | Normal |
| Januari | 0,9 | -0,9 | 40 | 37 | 75 | 48 | 40 | 44 |
| Februari | -0,1 | -1,0 | 3 | 29 | 19 | 38 | 79 | 75 |
| Mars | 4,9 | 1,7 | 3 | 27 | 6 | 32 | 191 | 151 |
| April | 8,3 | 6,3 | 11 | 29 | 26 | 39 | 207 | 216 |
| Maj | 10,5 | 11,4 | 20 | 34 | 48 | 55 | 256 | 277 |
| Juni | 16,2 | 15,7 | 24 | 62 | 94 | 65 | 267 | 277 |
| Juli | 20,1 | 18,6 | 85 | 62 | 143 | 82 | 283 | 280 |
| Augusti | 16,6 | 17,7 | 73 | 66 | 48 | 75 | 231 | 234 |
| September | 15,2 | 13,1 | 51 | 53 | 116 | 61 | 183 | 170 |
| Oktober | 9,0 | 7,7 | 85 | 51 | 87 | 66 | 104 | 96 |
| November | 4,4 | 3,6 | 27 | 48 | 51 | 60 | 47 | 45 |
| December | 3,9 | 0,6 | 48 | 48 | 53 | 55 | 37 | 33 |

Normalvärden avser perioden 1991–2020.



Figur 1. Temperatur, nederbörd och solskenstimmar (Källa: SMHI). (A) Lufttemperaturen i Stockholm, månadsvärden och genomsnittlig avvikelse under året, 1977–2025, enligt normalperioden 1991–2020, (B) Nederbörd i Stockholm och Örebro 1991–2020 och 2025, (C) Antal solskenstimmar i Stockholm 1991–2020 och 2025.



Vattentorget vid nya Slussen i mars 2026. Foto: Joakim Lücke.

Vattennivåer i Saltsjön och Mälaren

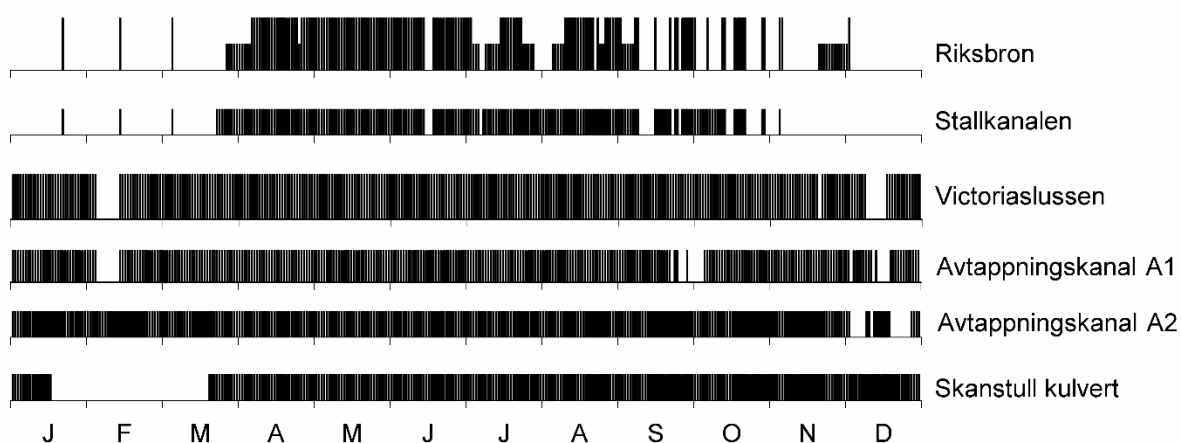
Under 2025 var medelvattenståndet i Saltsjön något högre än året innan. Det uppmättes till 3,52 meter i Mälarens höjdsystem, vilket motsvarar höjden över tröskeln vid den tidigare Karl Johan-slussen (Figur 3A), jämfört med 3,49 meter under 2024. Nivån låg även något över medelvärdet för perioden 2015–2024, som var 3,50 meter. Under större delen av året varierade vattenståndet kring normala nivåer. Årets högsta nivå, 3,90 meter, noterades i början av januari, medan den lägsta, 3,20 meter, uppmättes i slutet av februari. Den genomsnittliga förändringen i vattenstånd från en dag till nästa var 3 cm, vilket motsvarar genomsnittet för de senaste tio åren. Den största dygnsvisa förändringen inträffade i mitten av januari, då vattenståndet varierade med 17 cm.

I Mälaren var medelvattenståndet under 2025 4,20 meter i Mälarens höjdsystem. Det var lägre än under 2024, men högre än genomsnittet för perioden 2015–2024, som var 4,17 meter. Årsmedelnivån låg därmed i den övre delen av det intervall som eftersträvas genom regleringen av Mälaren, vilket är 4,10–4,20 meter (Figur 3B). I början av januari låg vattenståndet nära det normala, men steg sedan snabbt till årets högsta nivåer under en kort period i början av februari. Därefter stabiliserades nivån nära det normala under resten av året. De högsta dygnsmedelnivåerna uppmättes i början av februari, då vattenståndet nådde 4,41 meter. Den lägsta nivån, 4,09 meter, noterades vid två tillfällen: i mitten av september och i början av oktober.

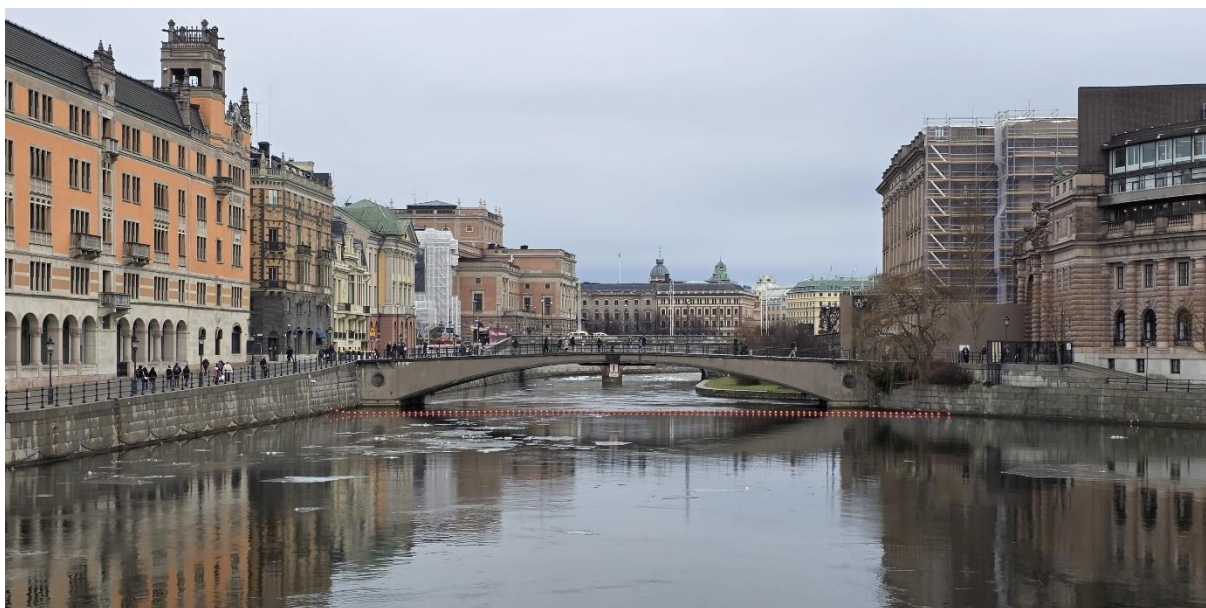
Det är numera ovanligt att vattenståndet i Saltsjön överstiger vattenståndet i Mälaren, vilket beror både på landhöjningen och på regleringen av Mälaren. Senast detta inträffade var 1993. På längre sikt kan dock stigande havsnivåer till följd av klimatförändringarna innebära att havet stiger snabbare än landhöjningen i Stockholmsområdet. Under 2025 var den genomsnittliga nivåskillnaden mellan Mälaren och Saltsjön 68 cm, vilket var exakt samma som genomsnittet för perioden 2015–2024. Den minsta skillnaden uppmättes i början av januari, då den var 33 cm, i samband med en period av högt vattenstånd i Saltsjön.

Mälarens vattennivå regleras enligt en vattendom (mål M 2008-14), och Stockholms Hamnar ansvarar för regleringen på uppdrag av Stockholms stad. Enligt domen ska Mälarens nivå i normalfallet hållas vid +0,84 meter i höjdsystemet RH2000, vilket motsvarar +4,15 meter i Mälarens höjdsystem. När vattenståndet sjunker under +0,79 meter (+4,10 meter) hålls samtliga dammluckor och tappställen i Stockholm och Södertälje stängda. När nivån överstiger +0,89 meter (+4,20 meter) öppnas först kulverten Maren i Södertälje och dammluckan vid Riksbron, följt av Stallkanalen. Därefter öppnas kulverten vid Skanstull och avtappningskanalerna vid nya Victoriaslussen. Om vattenståndet stiger till +1,29 meter (+4,60 meter) påbörjas även avtappning via slussarna i Hammarby och Södertälje. När vattennivån sedan sjunker stängs utskoven i omvänd ordning.

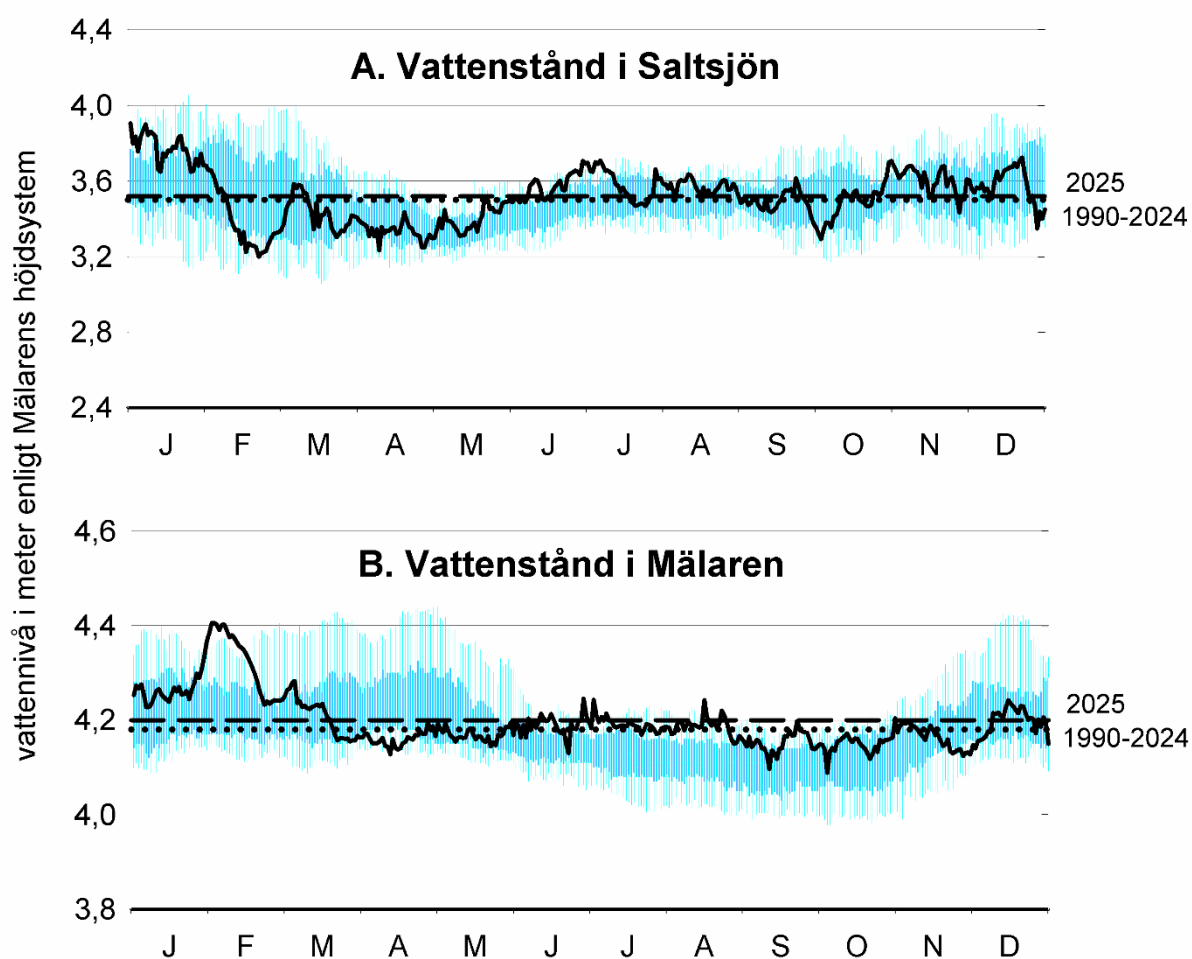
Under 2025 var utskoven vid Riksbron och Stallkanalen huvudsakligen öppna eller delvis öppna under perioden januari till mars (Figur 2). Därefter var de stängda eller endast delvis öppna, med undantag för kortare perioder under sommaren och den tidiga hösten. Under november och december var utskoven åter i huvudsak öppna, samtidigt som vattenflödet ökade. Victoriaslussen och de intilliggande avtappningskanalerna A1 och A2 var stängda under större delen av året och öppnades endast kortvarigt vid några få tillfällen. Kulverten vid Skanstull följde i stort sett samma mönster som Riksbron: den var öppen från mitten av januari till mitten av mars, men stängdes därefter och förblev stängd resten av året.



Figur 2. Mälarens utskov 2025. Mörka staplar visar när utskoven var stängda, Riksbron även delvis stängda (lägre staplar).



Norrström och Riksbron, som knyter ihop Drottninggatan med Riksgatan – vägen genom Riksdagshuset. Foto: Joakim Lücke.



Figur 3. Dygnsmedelvattenståndet i (A) Saltsjön och (B) Mälaren 2025 (svart heldragen linje) och 1990–2024 (25–75 percentiler samt 10 och 90 percentiler), samt medelvärden för 2025 (svart streckad linje) och perioden 1990-2024 (svart prickad linje).

Utflödet från Mälaren

Under 2025 uppgick utflödet från Mälaren till 5 262 Mm³. Det var lägre än under 2024, men högre än genomsnittet för den föregående tioårsperioden (Figur 4A). Sett i ett längre perspektiv har utflödet endast ökat svagt. Under perioden 1968–2025 var det genomsnittliga årliga utflödet 4 915 Mm³, vilket innebär att 2025 års utflöde låg över långtidsmedelvärdet.

Året inleddes med generellt höga flöden, som i januari och februari låg över det normala (Figur 4B och 4C). Därefter minskade utflödet, och under april och maj låg flödena i stället under det normala. Under resten av året följde variationen i huvudsak det normala säsongsmönstret, med ökande flöden under hösten. De högsta månadsflödena uppmättes i februari med 953 Mm³, i januari med 914 Mm³ och i december med 878 Mm³ (Figur 4B). Det högsta dygnsflödet noterades den 8 februari och uppgick då till 41 Mm³. Dessa toppar sammanföll med perioder då vattenståndet i Mälaren steg och de flesta utskoven var öppna (Figur 2 och 3).

Mälarens belastning på Saltsjön

Halterna av fosfor och kväve i Mälarens utflöde har minskat kraftigt sedan början av 1970-talet. Fosforhalterna har sjunkit från omkring 80 µg/L till 20–30 µg/L och kvävehalterna från cirka 1,2 mg/L till omkring 0,6 mg/L (Figur 5A och Tabell 2). Denna utveckling beror främst på förbättrad avloppsrening samt på att Bromma avloppsreningsverks utlopp flyttades från Mälaren till Saltsjön i slutet av 1980-talet.

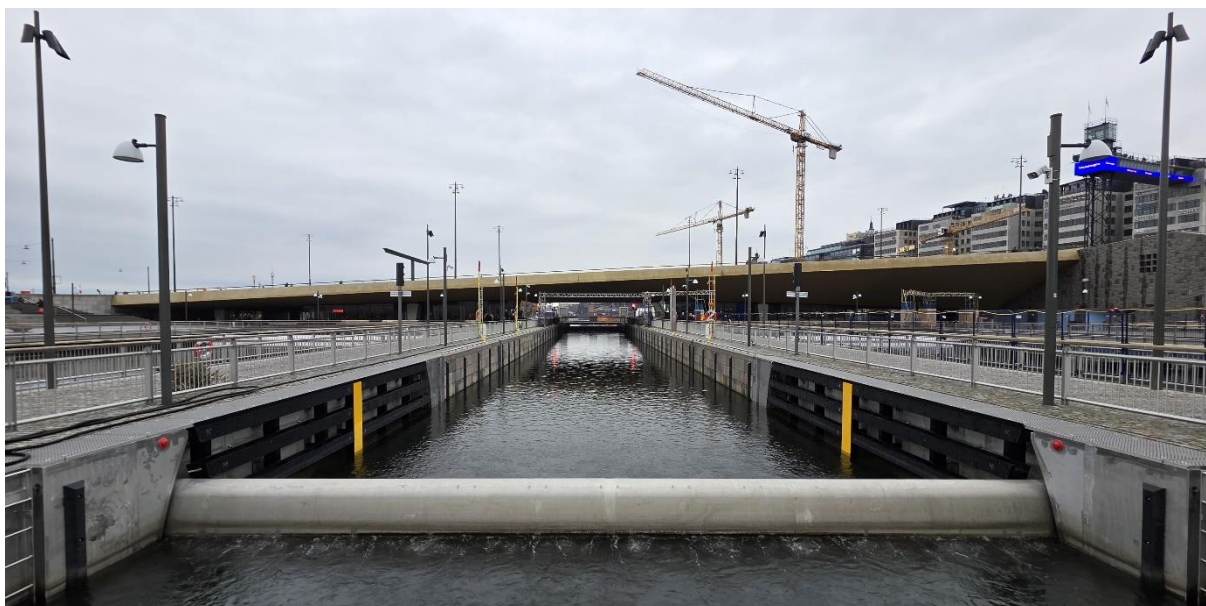
Under 2025 låg fosforhalterna i Mälarens utflödande vatten nära det normala, medan kvävehalterna var något högre än genomsnittet. Eftersom utflödet samtidigt var något större än genomsnittet för den senaste tioårsperioden blev även transportererna av fosfor och kväve högre än normalt. Under året transporterades totalt 132 ton fosfor och 3 236 ton kväve ut från Mälaren. Det kan jämföras med genomsnittet för 2015–2024, som var 124 ton fosfor och 2 764 ton kväve per år (Figur 5B och Tabell 3). Mängderna var dock tydligt lägre än under 2024, då 162 ton fosfor och 4 104 ton kväve transporterades ut. År 2023 var utflödet ännu större och det högsta som uppmätts sedan recipientkontrollprogrammet startade 1968. Under 2025 genomfördes dessutom en fosforfällning i Riddarfjärdens bottenvatten, vilket kan ha bidragit till att fosformängderna i det utflödande vattnet blev lägre.

Halterna av oorganisk fosfor, det vill säga fosfatfosfor, och oorganiskt kväve, i form av ammoniumkväve samt nitrit- och nitratkväve, följde under 2025 i stort sett den normala säsongsvariationen (Tabell 2). Under årets två första månader, då utflödena var höga, uppmättes måttligt förhöjda halter av oorganisk fosfor, med en topp i februari på 16,8 µg/L. Fosfor, som är det primärt begränsande näringsämnet i Mälaren, blev dock aldrig helt förbrukat av primärproducenterna under året. De lägsta halterna av fosfatfosfor uppmättes i augusti, varefter halterna började öka igen i oktober och fortsatte att stiga under november och december.

Kvävehalten blev heller aldrig en begränsande faktor för primärproduktionen under 2025. Under vegetationsperioden, maj till september, låg halterna kvar på nivåer som var tillräckliga för fortsatt produktion. De lägsta halterna av oorganiskt kväve uppmättes i juli och augusti, då de låg omkring 16 µg/L.



Gångbryggor till vattentorget vid nya Slussen. Foto: Joakim Lücke.



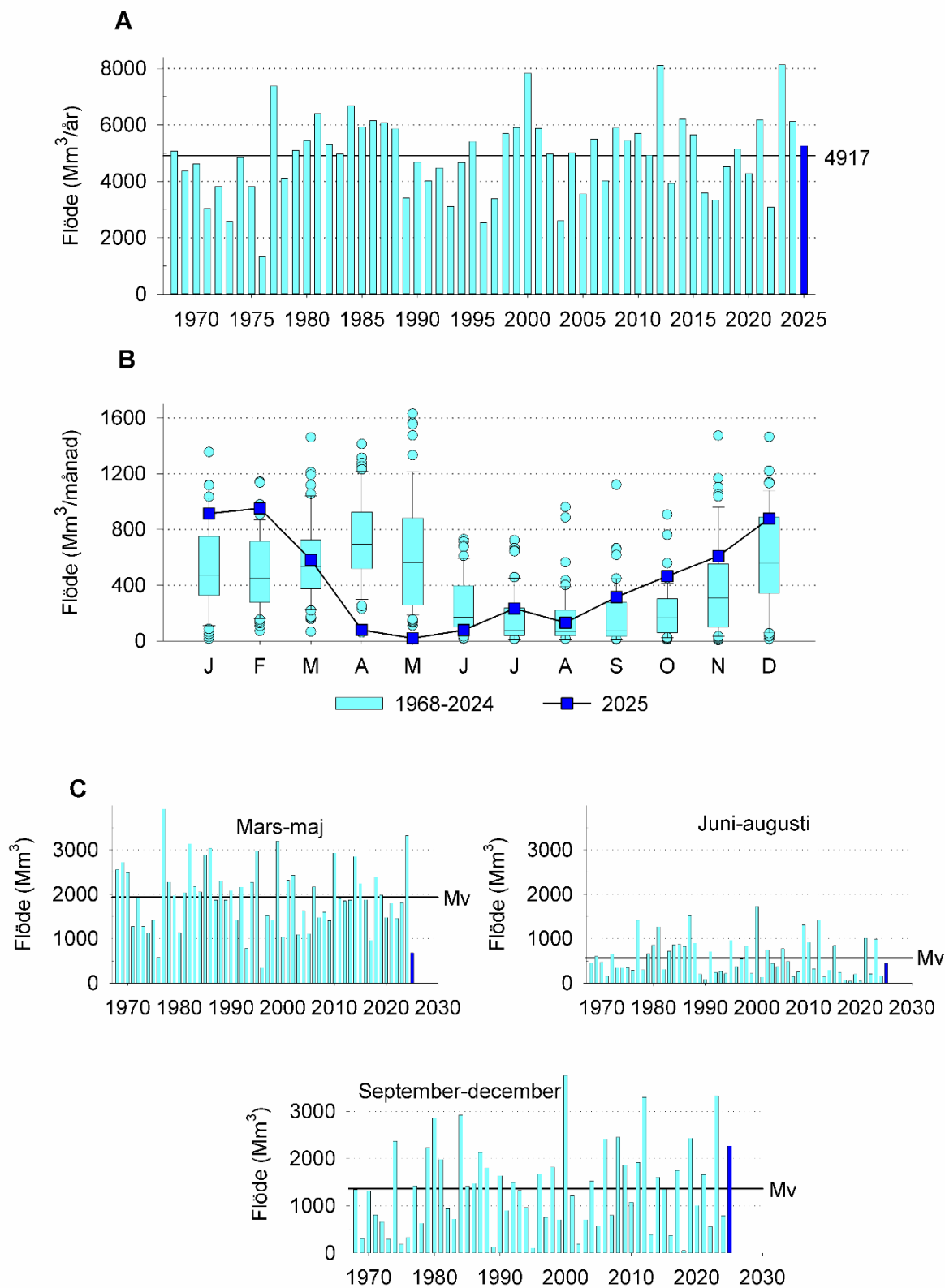
Den nya Victoriaslussen väntas öppna för båttrafik år 2027. Foto: Joakim Lücke.

Tabell 2. Avrinningen från Mälaren vid Centralbron i Stockholm 2025, samt flödesvägda halter av totalfosfor (Tot-P), oorganisk fosfor (DIP, fosfatfosfor), totalkväve (Tot-N) och oorganiskt kväve (DIN, summan nitrit+nitratkväve + ammoniumkväve).

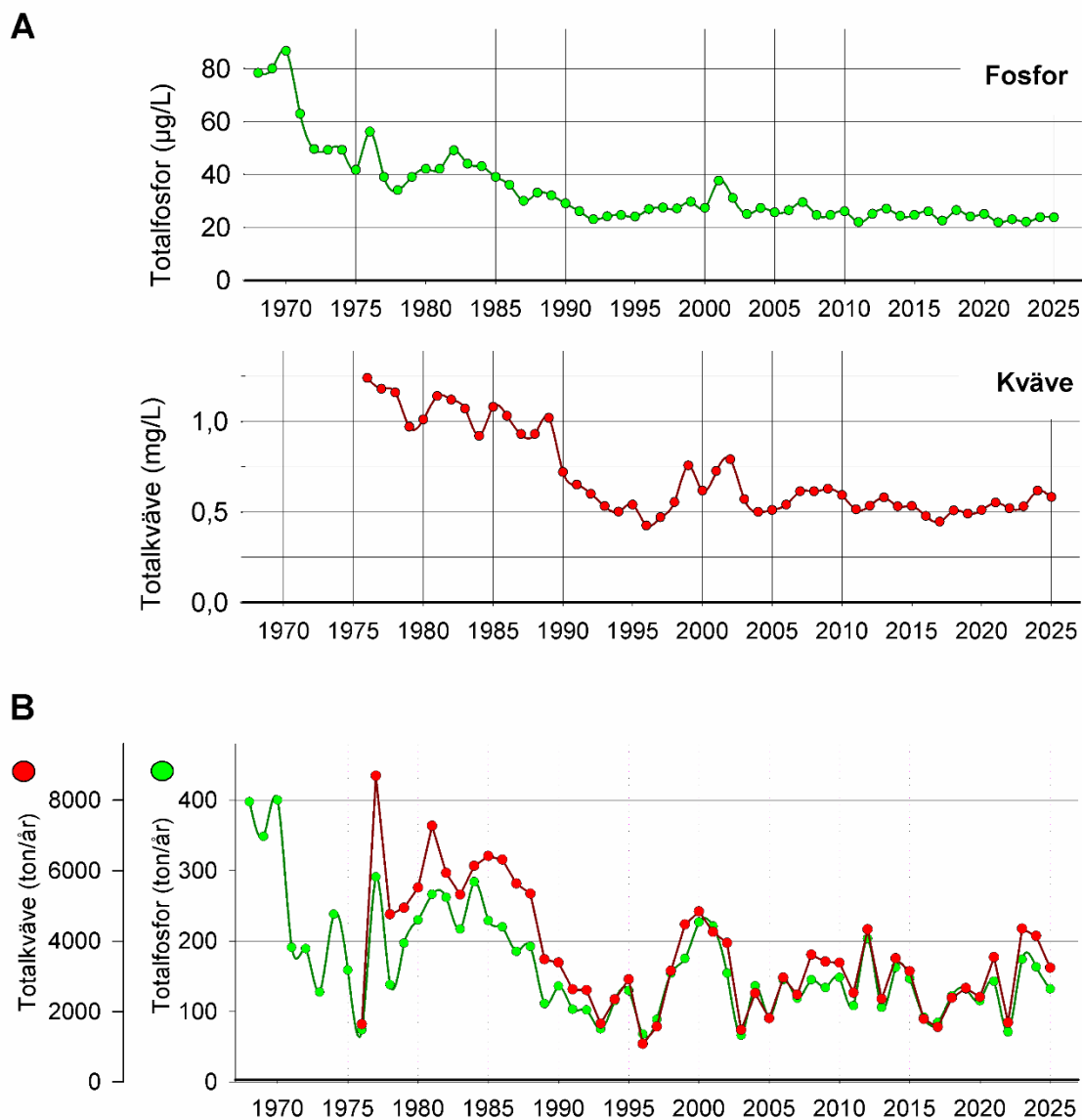
| Månad | Flöde Mm ³ /månad | Flöde Mm ³ /dag | Flöden m ³ /s | Tot-P µg/L | DIP µg/L | Tot-N mg/L | DIN µg/L |
|-------------|---------------------------------|-------------------------------|-----------------------------|---------------|-------------|---------------|-------------|
| Januari | 914 | 29,5 | 341 | 23 | 14,4 | 0,69 | 255 |
| Februari | 953 | 34,0 | 394 | 27 | 16,8 | 0,70 | 274 |
| Mars | 582 | 18,8 | 217 | 28 | 15,0 | 0,70 | 282 |
| April | 80 | 2,7 | 31 | 24 | 7,3 | 0,62 | 213 |
| Maj | 20 | 0,6 | 7 | 20 | 5,7 | 0,59 | 92 |
| Juni | 78 | 2,6 | 30 | 24 | 11,8 | 0,58 | 53 |
| Juli | 234 | 7,5 | 87 | 20 | 4,2 | 0,48 | 16 |
| Augusti | 132 | 4,3 | 49 | 23 | 2,9 | 0,45 | 16 |
| September | 316 | 10,5 | 122 | 18 | 3,4 | 0,51 | 18 |
| Oktober | 465 | 15,0 | 174 | 24 | 9,2 | 0,54 | 33 |
| November | 609 | 20,3 | 235 | 27 | 17,8 | 0,54 | 146 |
| December | 878 | 28,3 | 328 | 27 | 20,4 | 0,59 | 184 |
| Året | 5262 | 14,5 | 168 | 24 | 10,7 | 0,58 | 132 |

Tabell 3. Uttransport av fosfor och kväve från Mälaren år 2025 (ton) samt kvoten kväve:fosfor.

| Månad | Fosfor | | Kväve | | | Kvot N:P | |
|-------------|------------|--------------------|-------------|--------------------|----------------------|-----------|-----------|
| | Tot-P | PO ₄ -P | Tot-N | NH ₄ -N | NO ₂₊₃ -N | Total | Oorg |
| Januari | 20,8 | 13,2 | 631 | 4,3 | 228,6 | 30 | 18 |
| Februari | 26,0 | 16,0 | 664 | 4,0 | 257,2 | 26 | 16 |
| Mars | 16,3 | 8,7 | 405 | 3,9 | 160,2 | 25 | 19 |
| April | 1,9 | 0,6 | 49 | 0,7 | 16,3 | 26 | 29 |
| Maj | 0,4 | 0,1 | 12 | 0,4 | 1,4 | 29 | 16 |
| Juni | 1,9 | 0,9 | 45 | 4,0 | 0,2 | 24 | 4 |
| Juli | 4,6 | 1,0 | 113 | 2,9 | 0,7 | 24 | 4 |
| Augusti | 3,0 | 0,4 | 60 | 1,3 | 0,8 | 20 | 6 |
| September | 5,6 | 1,1 | 160 | 4,6 | 1,1 | 29 | 5 |
| Oktober | 11,2 | 4,3 | 252 | 7,4 | 8,2 | 22 | 4 |
| November | 16,4 | 10,8 | 329 | 3,8 | 85,3 | 20 | 8 |
| December | 23,9 | 17,9 | 516 | 4,9 | 156,3 | 22 | 9 |
| Året | 132 | 75 | 3236 | 42 | 916 | 25 | 11 |



Figur 4. Mälarens utflöde 1968–2025. **(A)** Årliga volymer och medelvärde 1968–2025, **(B)** Månatliga flöden, **(C)** Flödena i perioderna mars-maj, juni-augusti och september-december.



Figur 5. (A) Koncentrationer av totalfosfor och totalkväve i Mälarens utflöde vid Centralbron (januari 2005—april 2007 vid Riksbron), flödesvägda årsmedelvärden 1968–2025 resp. 1976–2025, **(B)** Totalfosfor och totalkväve, uttransporterade mängder med Mälarens utflöde, ton/år.



Henriksdals avloppsreningsverks skorsten reser sig bakom Stadsgårdskajen. Foto: Joakim Lücke.

Avloppsreningsverkens belastning på Saltsjön

Käppalaverket och Henriksdals avloppsreningsverk genomgår för närvarande omfattande ombyggnationer för att kunna möta framtida reningskrav. Under byggtiden gäller nya villkor som i stora delar liknar de tidigare, men när de nya anläggningarna tas i drift skärps kraven ytterligare. Då får halterna av fosfor och kväve i det renade avloppsvattnet inte överstiga 0,3 respektive 10 mg/L. För Stockholm Vatten och Avfall har fosforhalterna länge legat under gränsvärdet, även om en svagt ökande trend har kunnat ses sedan 2009 (Figur 6). År 2012, som var ett flödesrikt år, uppmättes den högsta fosforhalten sedan mitten av 1990-talet, 0,20 mg/L, och 2018 nåddes gränsvärdet på 0,3 mg/L. Under 2025 uppgick den sammanvägda fosforhalten från Bromma och Henriksdal till 0,16 mg/L, vilket var tydligt lägre än året innan och klart under gränsvärdet. Halten låg också under det framtida krav som ska gälla för Stockholm Vatten och Avfall när projektet *Stockholms framtida avloppsrening* är färdigställt i början av 2030-talet, då gränsen sätts till 0,20 mg/L. Vid Käppala uppgick fosforhalten under 2025 till 0,24 mg/L. Det var under det gällande gränsvärdet och i nivå med 2024, men högre än under åren dessförinnan.

Kvävehalterna låg, som vanligt, nära gränsvärdet även under 2025. Utsläppen från Stockholm Vatten och Avfalls reningsverk motsvarade en halt på 7,7 mg/L och från Käppala 6,5 mg/L (Figur 6). Enligt tidigare villkor får halten av ammoniumkväve under perioden juli till oktober inte överstiga 3 mg/L. För Stockholm Vatten och Avfall var medelhalten under denna period 2,6 mg/L, vilket var högre än året innan men fortfarande under gränsvärdet. Årsmedelhalten av ammoniumkväve var samtidigt något lägre än under 2024. För Käppala var ammoniumhalten under juli till oktober 0,7 mg/L, vilket var lägre än både Stockholm Vatten och Avfalls nivå och Käppalas egen halt under 2024, som var ovanligt hög. Under 2025 återgick därmed Käppalas ammoniumhalter till en nivå som låg närmare de som uppmätts under åren före 2024. Även årsmedelhalten låg åter på en mer normal nivå.

BOD₇ är ett mått på mängden biologiskt nedbrytbar substans i vattnet. För samtliga tre stora reningsverk låg de uppmätta halterna klart under gränsvärdet på 8 mg/L. Under 2025 var medelhalterna också tydligt lägre än föregående år: 3,0 mg/L för Bromma och Henriksdal samt 1,5 mg/L för Käppala. Gränsvärdet underskreds därmed med god marginal. Även det totala utsläppet av syreförbrukande ämnen var tydligt lägre än både 2024 och genomsnittet

för de senaste tio åren. Samtidigt var andelen av syreförbrukningen som orsakades av oxiderbart kväve, det vill säga Kjeldahlkväve eller totalkväve minus nitratkväve, något högre under 2025: cirka 84 procent jämfört med 78 procent under 2024.

Under 2025 var utsläppen av fosfor från de tre stora avloppsreningsverken, Bromma, Henriksdal och Käppala, lägre än normalt och uppgick till 35 ton, jämfört med ett genomsnitt på 42 ton under den senaste tioårsperioden (Tabell 4 och Figur 7A). Även kväveutsläppen var lägre än genomsnittet och uppgick till 1 472 ton, jämfört med tioårsgenomsnittet på 1 791 ton.

Den totala mängden syreförbrukande ämnen var också lägre än både året innan och genomsnittet för den senaste tioårsperioden. Under 2025 uppgick utsläppen till 3 403 ton, jämfört med ett tioårsgenomsnitt på 3 884 ton (Tabell 5 och Figur 7B). Av detta utgjorde 2 887 ton oxiderbart kväve.

Om de haltvillkor som gäller under byggtiden överskrids ska Stockholm Vatten och Avfall i stället uppfylla särskilda mängdvillkor för BOD₇, totalfosfor och totalkväve. Dessa är satta till 850 ton per år för BOD₇, 35 ton per år för totalfosfor och 1 550 ton per år för totalkväve. Värdena får överskridas under ett enskilt år, förutsatt att tvåårsmedelvärdet inte överskrider de angivna gränserna. För 2024 och 2025 uppgick det sammanvägda årsmedelvärdet till 675 ton BOD₇, 30 ton totalfosfor och 1 229 ton totalkväve. Både halt- och mängdkraven underskreds därmed med god marginal, och några särskilda åtgärder behövde därför inte vidtas.

Omkring 48 procent av fosfor och 94 procent av kvävet i det renade avloppsvattnet förekommer i oorganisk form som är direkt tillgänglig för växter och plankton, det vill säga som fosfatfosfor respektive nitrit+nitratkväve och ammoniumkväve (Tabell 4 och Figur 8). Utsläppen av fosfatfosfor har vanligtvis varierat mellan 12 och 18 ton per år, men under de senaste åren har ombyggnationerna vid Henriksdal medfört periodvis högre utsläpp. År 2021 uppgick utsläppen till 24 ton fosfatfosfor, eller 18 ton exklusive Käppala. Under 2022 sjönk de till 16 ton, motsvarande 11 ton exklusive Käppala. Under 2023 och 2024 låg utsläppen åter något högre, men under 2025 minskade de igen till cirka 17 ton, varav 9 ton exklusive Käppala. En viktig förklaring är att två nya MBR-linjer, membranbioreaktorer, har tagits i drift vid Henriksdal. Denna teknik kombinerar biologisk rening med membranfiltrering.

Införandet av kväverening i mitten av 1990-talet ledde till en kraftig minskning av utsläppen av bunden fosfor, det vill säga den del av totalfosfor som inte utgörs av fosfatfosfor. Utsläppen från Bromma och Henriksdal minskade då från omkring 25 till 9 ton per år. Minskningen av fosfatfosfor var samtidigt mer begränsad och gick från cirka 15 till 8 ton per år.

Under de senaste tio åren har utsläppen av bunden fosfor däremot ökat tydligt. År 2018 ledde driftproblem vid Henriksdals avloppsreningsverk till att Stockholm Vatten och Avfall släppte ut närmare 37 ton bunden fosfor. Problemen åtgärdades under 2019, men till följd av de pågående ombyggnationerna har utsläppen därefter fortsatt att ligga på en förhöjd nivå. Under 2025 uppgick de sammanlagda utsläppen av bunden fosfor från Stockholm Vatten och Avfalls reningsverk till 14 ton, vilket ändå innebar en tydlig förbättring jämfört

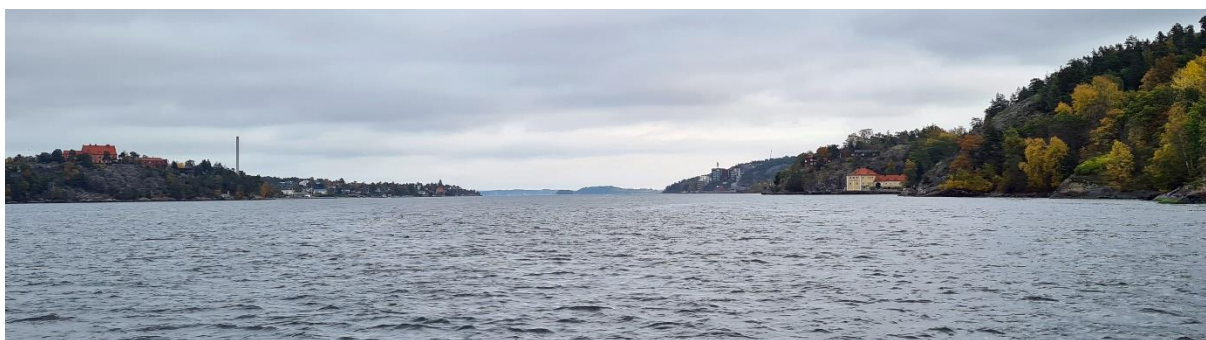
med de närmast föregående åren. Käppala har inte visat samma utveckling utan har generellt haft en relativt stabil och låg utsläppsnivå. Under 2025 uppgick Käppalas utsläpp av bunden fosfor till 4,7 ton.

Kväveutsläppen har utvecklats på ett annat sätt än fosforutsläppen. Införandet av kväverening påverkade inte utsläppen av bundet kväve eller nitrit+nitratkväve i någon större utsträckning, men ledde till en kraftig minskning av ammoniumkväve (Figur 8 och 9). De totala årliga utsläppen av ammoniumkväve från de tre stora reningsverken minskade från omkring 2 500 ton under perioden 1989–1995 till cirka 350 ton efter 2001. Under de senaste tio åren har utsläppen dock ofta legat betydligt högre, och under 2025 uppgick de till 541 ton. Utsläppen av nitrit+nitratkväve var däremot lägre än på många år och uppgick under 2025 till 841 ton.

Saltsjön belastas både av utsläpp från avloppsreningsverken och av Mälarens utflöde. I figur 10 illustreras hur stor andel av fosfor- och kvävebelastningen som kommer från respektive källa. Den största delen av både totalfosfor och dess oorganiska fraktion har sitt ursprung i Mälaren. Även den totala mängden kväve är i första hand kopplad till Mälarens utflöde. De oorganiska kvävefraktionerna kommer däremot till största delen från avloppsreningsverken, med undantag för nitrit+nitratkväve under 2024 och 2025. När det gäller ammoniumkväve kommer mer än 90 procent från reningsverken. Samtidigt bör det framhållas att näringsämnen i Mälarens utflöde i sin tur påverkas av både interna processer i sjön, såsom internbelastning av fosfor, och externa källor högre upp i avrinningsområdet, till exempel avloppsreningsverk, dagvatten och andra utsläpp.

Under 2025 var de mindre avloppsreningsverkens andel av belastningen på skärgården något högre än året innan när det gäller utsläpp av BOD₇, fosfor och kväve (Tabell 6). De totala utsläppsmängderna från dessa verk var samtidigt större för kväve men mindre för fosfor och BOD₇ jämfört med 2024.

De fyra mindre reningsverken Margretelund i Åkersberga, Blynäs i Vaxholm samt Djurhamn och Telegrafholmen i Värmdö kommun släppte tillsammans ut 23 ton BOD₇, 0,8 ton fosfor och 74 ton kväve under 2025. Det motsvarar cirka 5 procent, 2 procent respektive 5 procent av de utsläpp som de stora reningsverken stod för (Tabell 6).



Käppalaverkets skorsten reser sig på Lidingö, till vänster om Halvkakssundet. Foto: Joakim Lücke.

Tabell 4. Volym utgående avloppsvatten (Mm³) och utsläpp av fosfor och kväve (ton) från avloppsreningsverken Henriksdal, Bromma och Käppala år 2025. De två sista kolumnerna visar andelen oorganiskt kväve (ammoniumkväve + nitrit+nitratkväve) av totalkväve och andelen fosfatfosfor av totalfosfor.

| Månad | Flöde | Tot-P | PO4-P | Tot-N | NH4-N | NO3-N | N-oorg | Lättillgänglig andel | |
|-------------|------------|-------------|-------------|-------------|------------|------------|-------------|----------------------|-----------|
| | | | | | | | | N % | P % |
| Januari | 25,3 | 6,91 | 2,27 | 270 | 146 | 104 | 251 | 93 | 33 |
| Februari | 15,8 | 2,52 | 0,98 | 145 | 59 | 52 | 112 | 77 | 39 |
| Mars | 14,1 | 1,88 | 0,99 | 75 | 15 | 52 | 67 | 89 | 52 |
| April | 13,2 | 2,91 | 1,07 | 92 | 30 | 58 | 89 | 96 | 37 |
| Maj | 16,6 | 3,14 | 1,60 | 101 | 30 | 64 | 94 | 93 | 51 |
| Juni | 12,8 | 2,15 | 1,27 | 75 | 19 | 51 | 70 | 93 | 59 |
| Juli | 17,1 | 2,38 | 1,08 | 106 | 24 | 78 | 102 | 96 | 45 |
| Augusti | 14,0 | 2,09 | 1,15 | 94 | 28 | 68 | 95 | 100 | 55 |
| September | 15,2 | 2,19 | 1,42 | 98 | 28 | 70 | 98 | 100 | 65 |
| Oktober | 20,6 | 3,83 | 2,22 | 168 | 73 | 94 | 167 | 99 | 58 |
| November | 15,7 | 2,37 | 1,59 | 117 | 36 | 76 | 112 | 96 | 67 |
| December | 19,4 | 3,09 | 1,57 | 130 | 52 | 73 | 125 | 96 | 51 |
| Året | 200 | 35,5 | 17,2 | 1472 | 541 | 841 | 1382 | 94 | 48 |

Tabell 5. Utsläpp av syreförbrukande ämnen (ton/månad) från avloppsreningsverken Henriksdal, Bromma och Käppala år 2025 – syreförbrukande ämnen mätta som BOD₇ med ATU-tillsats (allyltiourinämne, vilket är nitrifikationshämmande), utsläpp och syreförbrukning av nitrifierbara kväveföreningar (totalkväve – nitrit+nitratkväve), den summerade syreförbrukningen samt syreförbrukningen orsakad av BOD₇ som procent av den summerade förbrukningen.

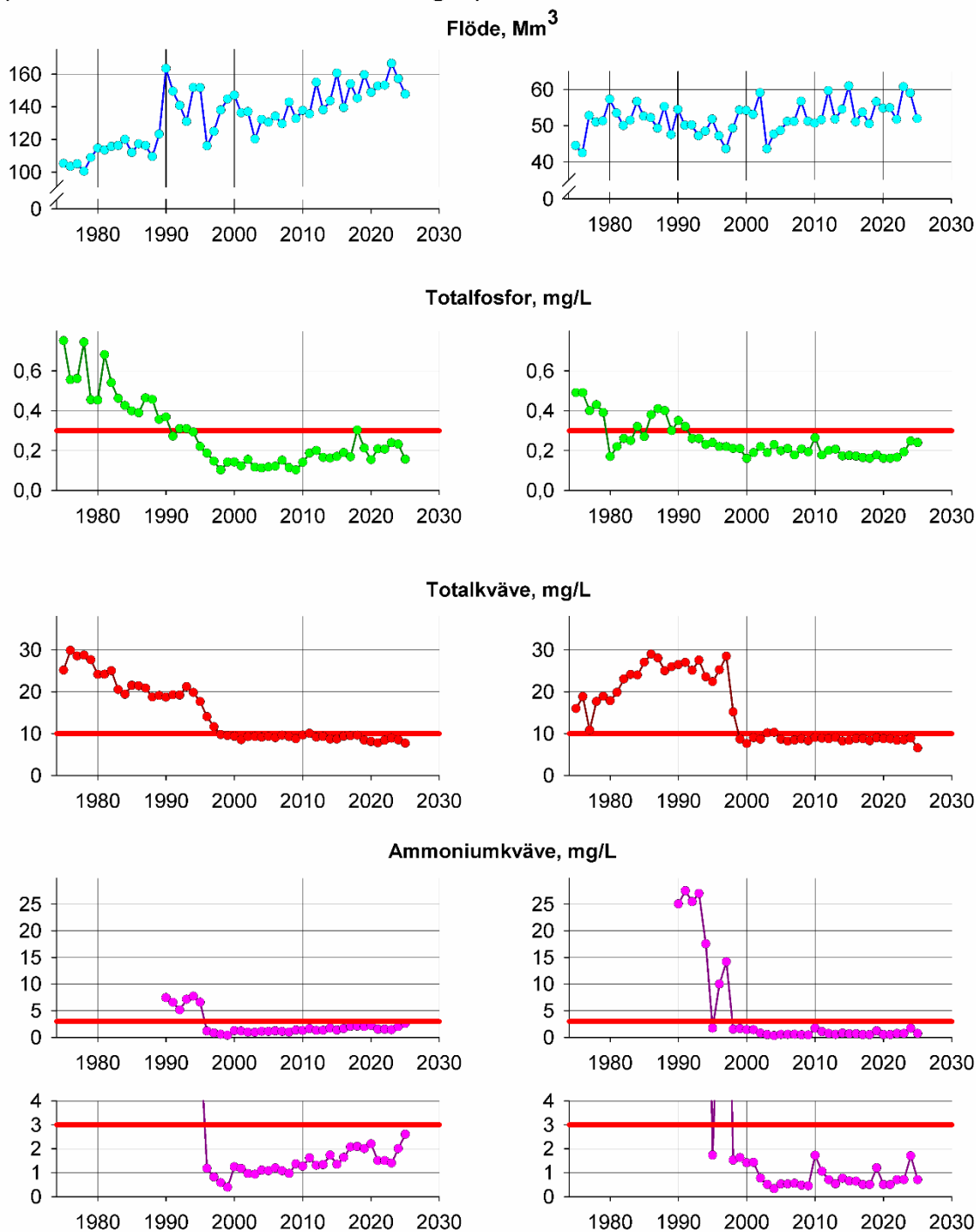
| Månad | Nitrifierbara kväveföreningar | | Summa | | Varav BOD ₇ % |
|-------------|-------------------------------|------------|-----------------|-----------------|--------------------------|
| | BOD ₇ | Utsläpp | Syreförbrukning | syreförbrukning | |
| Januari | 135 | 166 | 759 | 893 | 15 |
| Februari | 35 | 93 | 424 | 459 | 8 |
| Mars | 26 | 23 | 107 | 133 | 20 |
| April | 33 | 34 | 154 | 186 | 17 |
| Maj | 25 | 37 | 168 | 193 | 13 |
| Juni | 15 | 24 | 110 | 125 | 12 |
| Juli | 61 | 28 | 129 | 190 | 32 |
| Augusti | 21 | 27 | 122 | 143 | 14 |
| September | 23 | 28 | 127 | 151 | 15 |
| Oktober | 62 | 74 | 340 | 402 | 16 |
| November | 23 | 41 | 187 | 210 | 11 |
| December | 57 | 57 | 262 | 318 | 18 |
| Året | 516 | 632 | 2887 | 3403 | 16 |

Tabell 6. Utsläpp år 2025 av BOD₇, totalfosfor och totalkväve (ton) från mindre kommunala avloppsreningsverk till de centrala delarna av Stockholms skärgård.

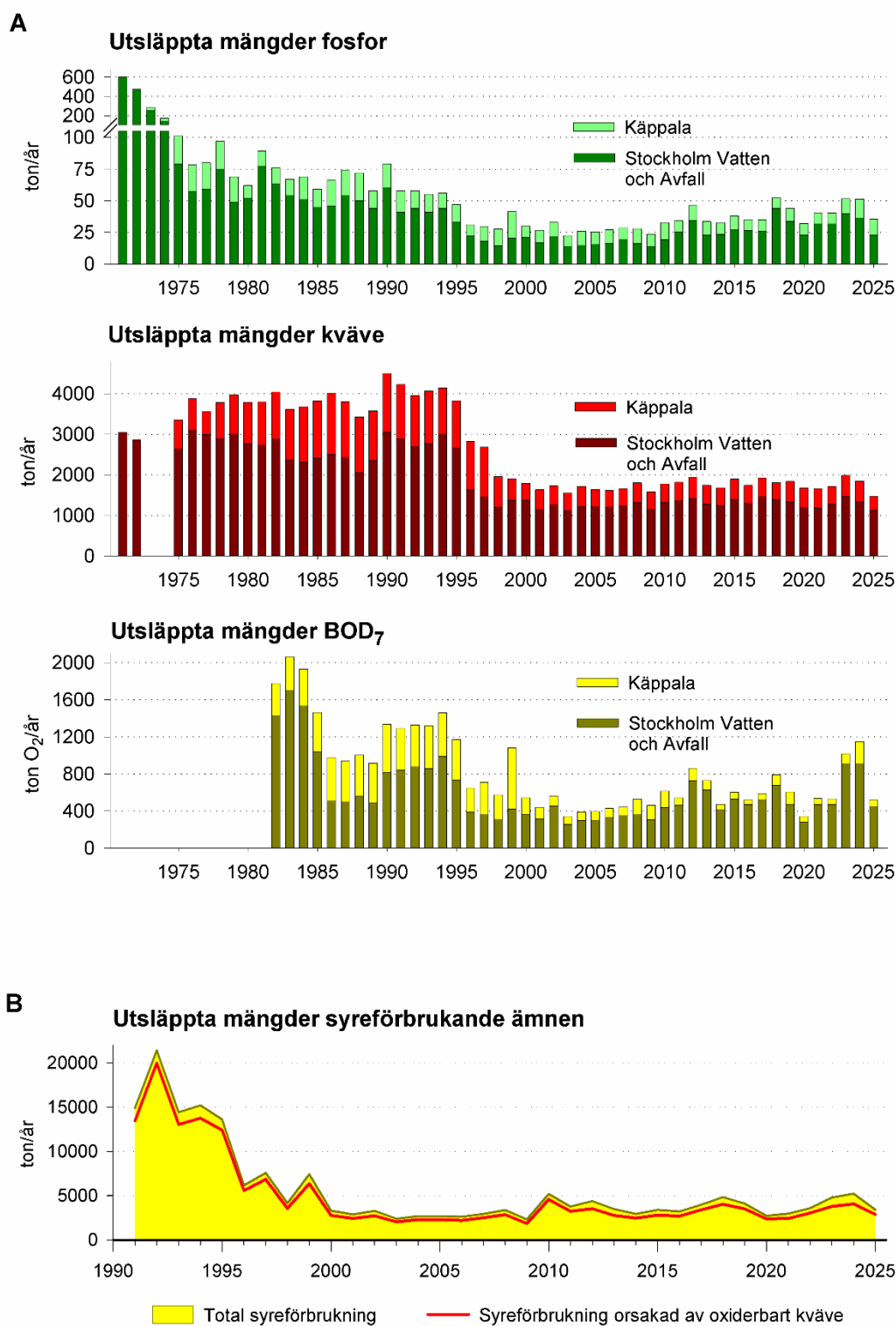
| Verk | BOD ₇ | Tot-P | Tot-N |
|----------------|------------------|------------|-----------|
| Blynäs | 3,2 | 0,13 | 34 |
| Margretelund | 18 | 0,58 | 35 |
| Djurhamn | 1,7 | 0,04 | 3,8 |
| Telegrafholmen | 0,4 | 0,02 | 1,4 |
| Summa | 23 | 0,8 | 74 |

**Stockholm Vatten och Avfall
(Henriksdal och Bromma sammanvägda)**

Käppala



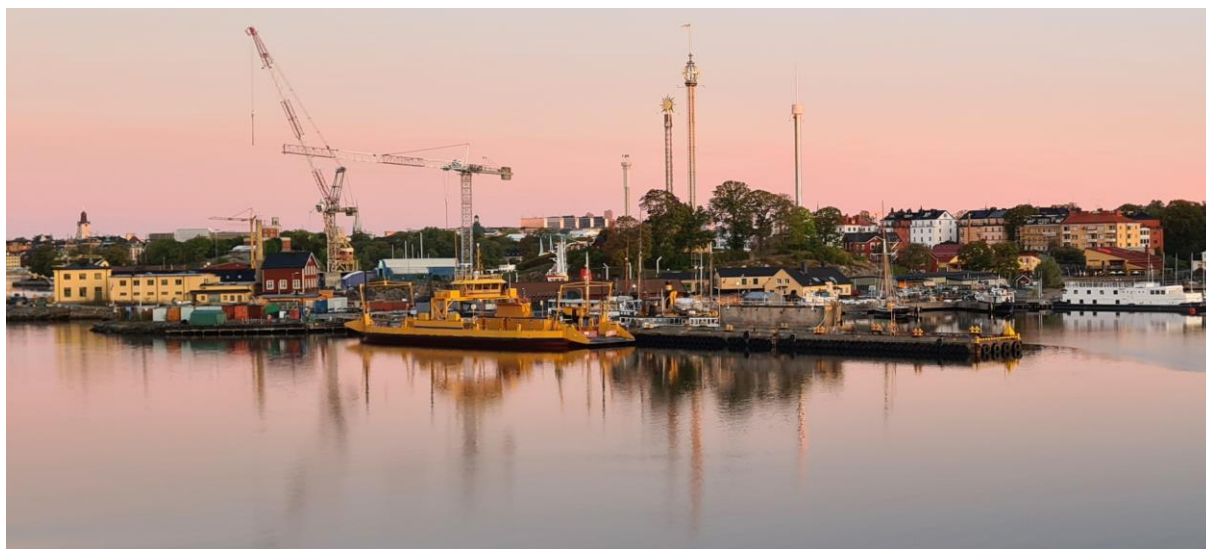
Figur 6. Flöden och flödesvägda halter i det utgående vattnet från reningsverken till skärgården 1975–2025. De tjocka, horisontella linjerna anger nuvarande gränsvärden för totalfosfor och totalkväve, samt tidigare satta gränsvärden för ammoniumkväve (ammoniumkväve hade haltgränsvärde endast för perioden juli–oktober).



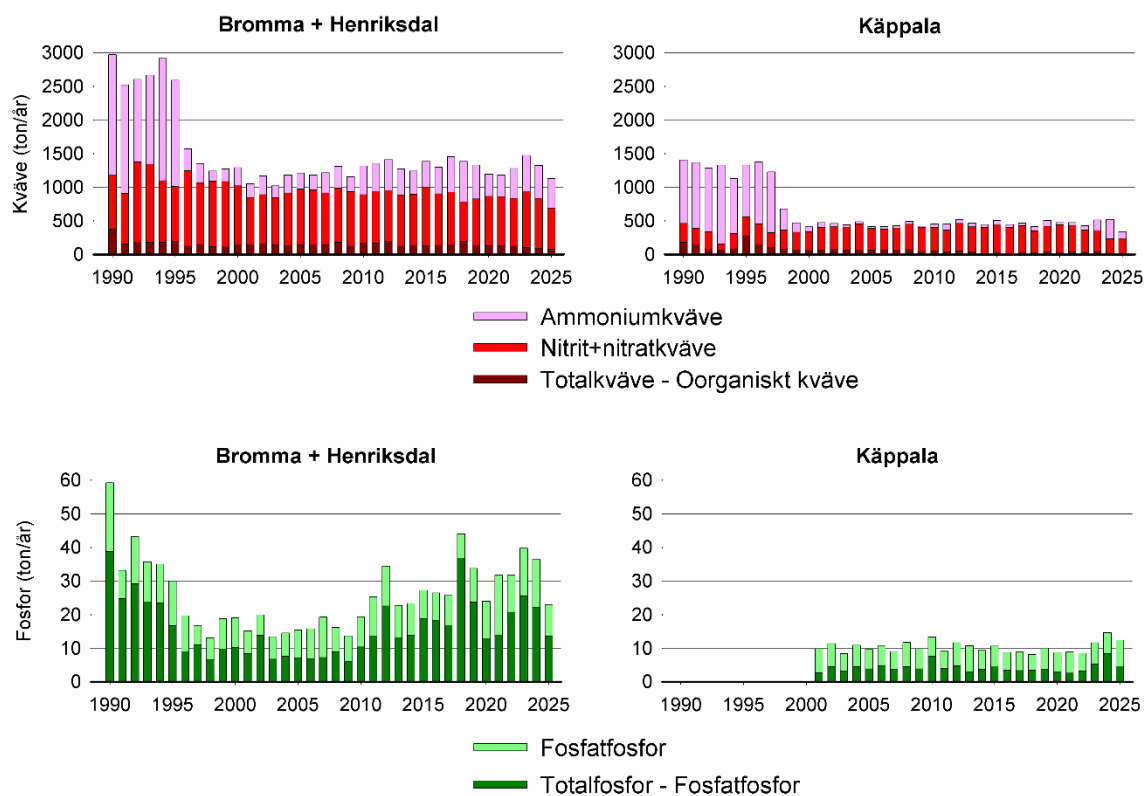
Figur 7. (A) Utsläppta mängder fosfor, kväve och syreförbrukande ämnen, ton/år, från Stockholm Vatten och Avfalls och Källpalas avloppsreningsverk 1971 (1986) – 2025. Kvävevärden saknas eller är ofullständiga före 1975. BOD-mätningar med ATU-tillsats finns endast fr.o.m. 1986. **(B)** Utsläppta mängder av syreförbrukande ämnen från Stockholm Vatten och Avfalls avloppsreningsverk och Källpala 1991–2025; total syreförbrukning och syreförbrukning orsakad av oxiderbart kväve.



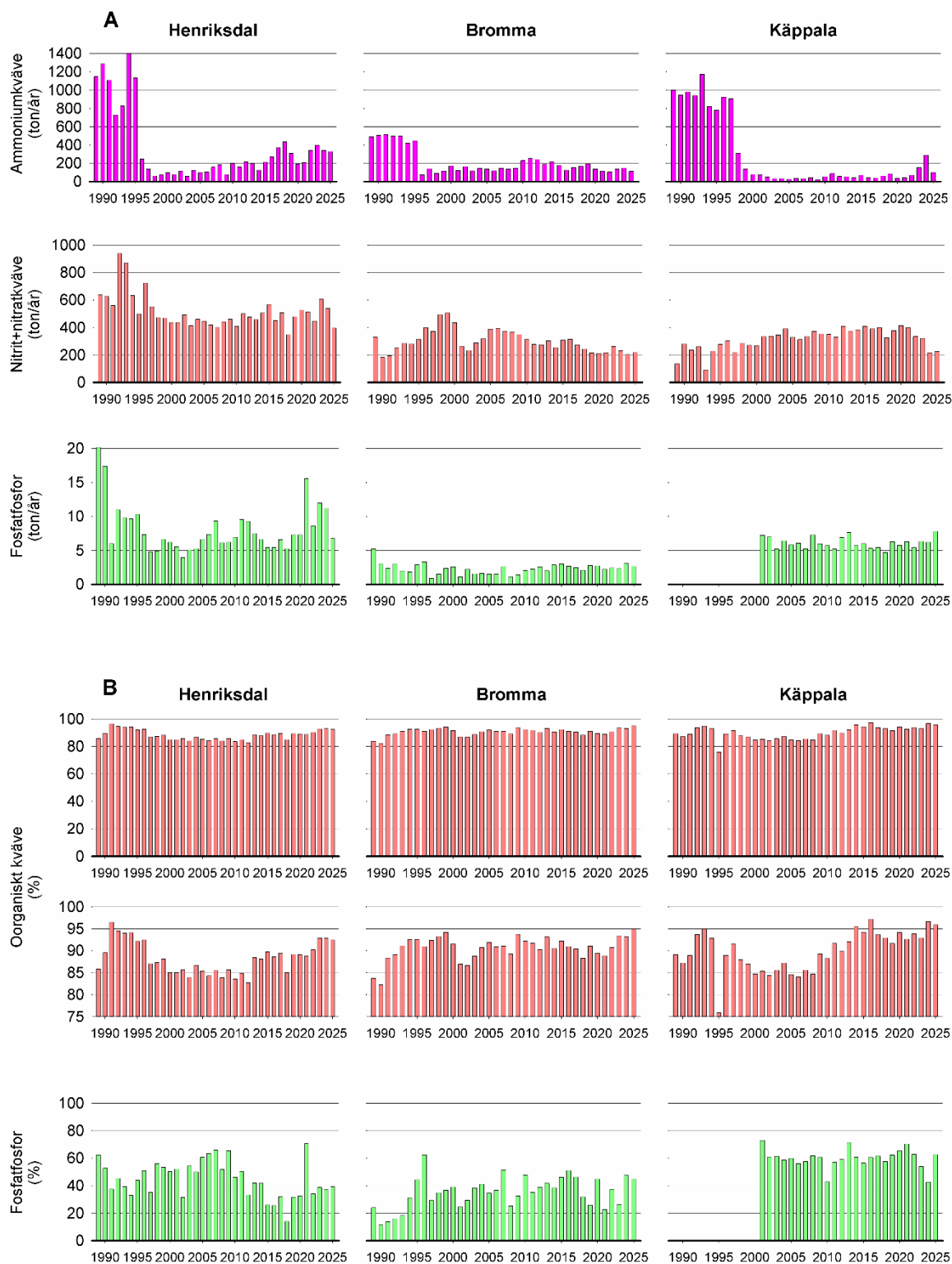
Danvikshem, beläget på Finnbodaberget i Nacka, är ett äldreboende med anor från 1500-talet. Verksamheten kan spåras tillbaka till Danvikens hospital, som grundades 1551 och var verksamt fram till 1915. Foto: Joakim Lücke.



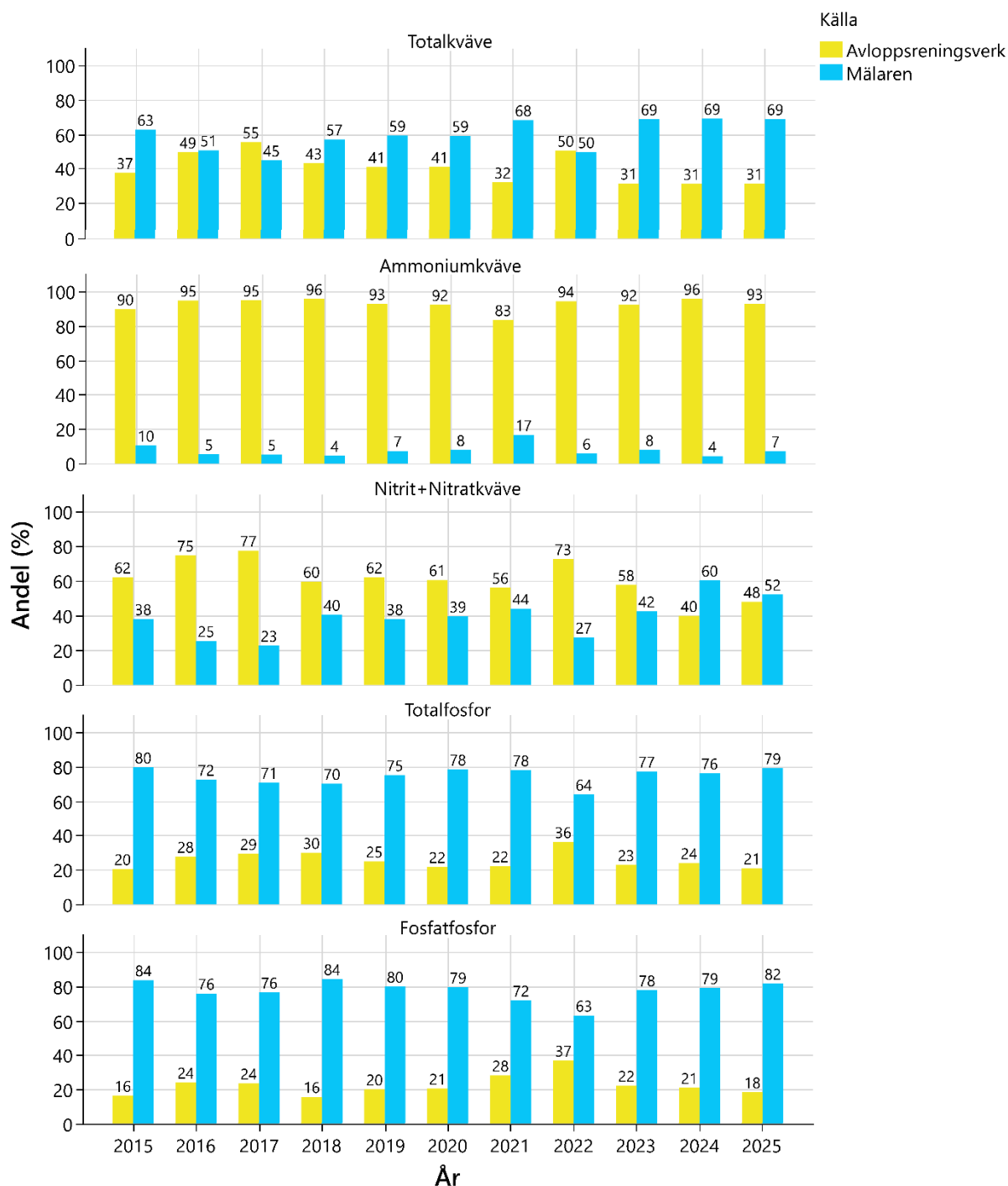
År 1631 gavs tillstånd att anlägga ett becksjuderi på Beckholmen, som då kallades Biskopsholmen. På den tiden var ön omgiven av Saltsjön och saknade landförbindelse. I bakgrunden på den nedre bilden syns Gröna Lunds höghöjdsattraktioner. Foto: Joakim Lücke.



Figur 8. Utsläpp av kväve och fosfor, ton/år, oorganiska fraktioner (ammoniumkväve, nitrit+nitratkväve och fosfatfosfor) samt totalhalter minus oorganiska fraktioner.



Figur 9. (A) Avloppsreningsverkens utsläpp av ammoniumkväve, nitrit+nitratkväve och fosfatfosfor, ton/år 1989–2025, **(B)** Oorganiskt kväve och oorganisk fosfor som andel (%) av de totala mängderna kväve och fosfor i det renade avloppsvattnet. Observera att den övre och undre figuren för oorganiskt kväve bygger på samma data, men har olika skala.



Figur 10. Belastning på Saltsjön av totalkväve, ammoniumkväve, nitrit+nitratkväve, totalfosfor och fosfatfosfor och från reningsverken Henriksdal, Bromma och Käppala (gul) och sjön Mälaren (blå), illustrerat som andel (%) av utflödande mängder för åren 2015–2025.

Tillståndet i skärgården

Hur är livet under ytan i skärgården?

Vatten är en livsviktig resurs, och brist på vatten av god kvalitet kan utlösa krissituationer. Vattenkvaliteten påverkar både människor och djur, och i ett globalt perspektiv har Sverige en god tillgång på rent vatten. Men hur bra är egentligen vattenkvaliteten i Stockholms skärgård?

För att bedöma vattenkvaliteten i skärgården, sjöar och vattendrag används så kallade bedömningsgrunder. Dessa bygger på provtagningar av vattenkemiska och biologiska parametrar, till exempel växtplankton och bottenfauna. Även om bedömningsgrunderna inte ger en fullständig bild av ekosystemets tillstånd, fungerar de som en viktig indikation på hur vattnet mår.

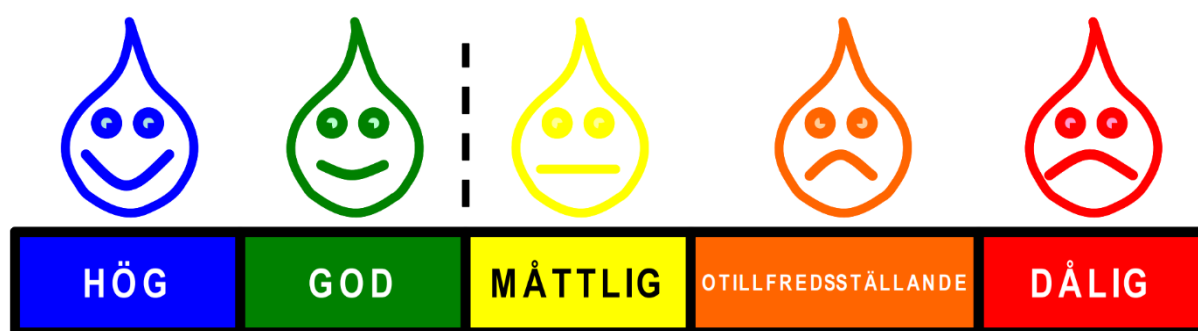


Bild 2. Vid bedömning av vattenkvalitet enligt vattenförvaltningsförordningen används fem klasser för ekologisk status; hög, god, måttlig, otillfredsställande och dålig. Gränsen mellan god och måttlig är viktig då utgångspunkten är att vattenförekomster som befinner sig under den gränsen kan behöva åtgärdas.

Växtplanktonens utveckling visar att vattenkvaliteten i Stockholms skärgård har förändrats olika i olika delar av området. I den yttre delen av innerskärgården förbättrades den ekologiska statusen successivt mellan 2011 och 2016. År 2015 passerades gränsen mellan *otillfredsställande* och *måttlig* status. Den positiva utvecklingen avbröts tillfälligt 2017, men fortsatte därefter. Efter 2020 tycks förbättringen dock ha stannat av, och efter 2023 syns i stället en försämring. Under åren 2020–2023 var biovolymerna små och klorofyllhalterna relativt stabila. Sommaren 2021 noterades en tillfällig ökning i biovolym, men någon motsvarande ökning sågs inte sommaren 2022. Under 2023, 2024 och 2025 ökade biovolymen åter successivt, vilket ledde till en tydlig försämring av den sammanvägda statusklassningen. År 2025 sänktes klassningen till *otillfredsställande* ekologisk status.

Vid Blockhusudden, som ligger nära avloppsreningsverkens utlopp i den inre delen av innerskärgården, sågs under 2017 och 2018 en tydlig återgång till *otillfredsställande* ekologisk status efter en tidigare förbättringstendens. Därefter låg statusen kvar på en *otillfredsställande* nivå under flera år. År 2025 förbättrades dock klassningen till *måttlig* status, till följd av lägre klorofyllhalter i kombination med låg biovolym. Det innebär att den sammanvägda statusklassningen för 2025 visade högre vattenkvalitet vid Blockhusudden än vid Koviksudde, vilket inte har varit fallet på många år.

I ytterskärgården, vid NV Eknö, har växtplanktonen indikerat *måttlig* ekologisk status varje år sedan 2013. Fram till 2019 kunde en långsiktig försämring skönjas, men därefter syntes vissa tecken på förbättring under flera år. År 2025 låg statusen något lägre än 2024, men fortfarande inom intervallet för *måttlig* status.

I mellanskärgården, vid Trälhavet och Sollenkroka, har utvecklingen varit mer positiv. Där har vattenkvaliteten gradvis förbättrats sedan 2013. Mellan 2019 och 2020 passerades gränsen från *måttlig* till *god* ekologisk status för växtplankton, och under hela perioden 2021–2025 har den goda statusen bestått. Resultaten för 2025 visade alltså fortsatt *god* status, även om nivån var något sämre än året innan och låg nära gränsen mot *måttlig* status.

Någon provtagning av bottenfauna genomfördes inte i skärgården under 2025, men undersökningar gjordes 2024. Tidsserier från flera års provtagning visar att bottenfaunan i innerskärgården generellt har utvecklats positivt. I den inre delen av innerskärgården förbättrades statusen från *otillfredsställande* 2022 till *måttlig* 2024. Även 2020 visade resultaten *måttlig* status, medan äldre undersökningar har indikerat sämre förhållanden än så. I den yttre delen av innerskärgården har bottenfaunan däremot visat *god* status.

I mellanskärgården, utanför Oxdjupet i Trälhavet, indikerade bottenfaunan *god* ekologisk status under perioden 2012–2016. År 2018 försämrades statusen till *måttlig*, och denna nivå kvarstod även 2020 och 2022. I den senaste undersökningen, 2024, hade statusen åter förbättrats till *god*, vilket är positivt. Samtidigt bör resultaten tolkas med viss försiktighet, eftersom bedömningen i mellanskärgården bygger på en enda provpunkt. Det innebär att mindre variationer i antalet individer kan få stor betydelse för den samlade klassificeringen.

Att bottenfauna och växtplankton ibland visar olika utveckling kan delvis förklaras av att de reagerar på olika typer av påverkan. På bottenarna kan störningståliga arter, som havsborstmaskar, etablera sig och bidra till en förbättrad statusklassning. Växtplankton, som har kort livscykel, reagerar däremot snabbare på förändringar i vattenmassan, till exempel tillfälliga utsläpp. Ett ökat näringsutsläpp kan gynna störningståliga planktonarter och orsaka algbloomningar, vilket i sin tur signalerar försämrade ekologisk status.

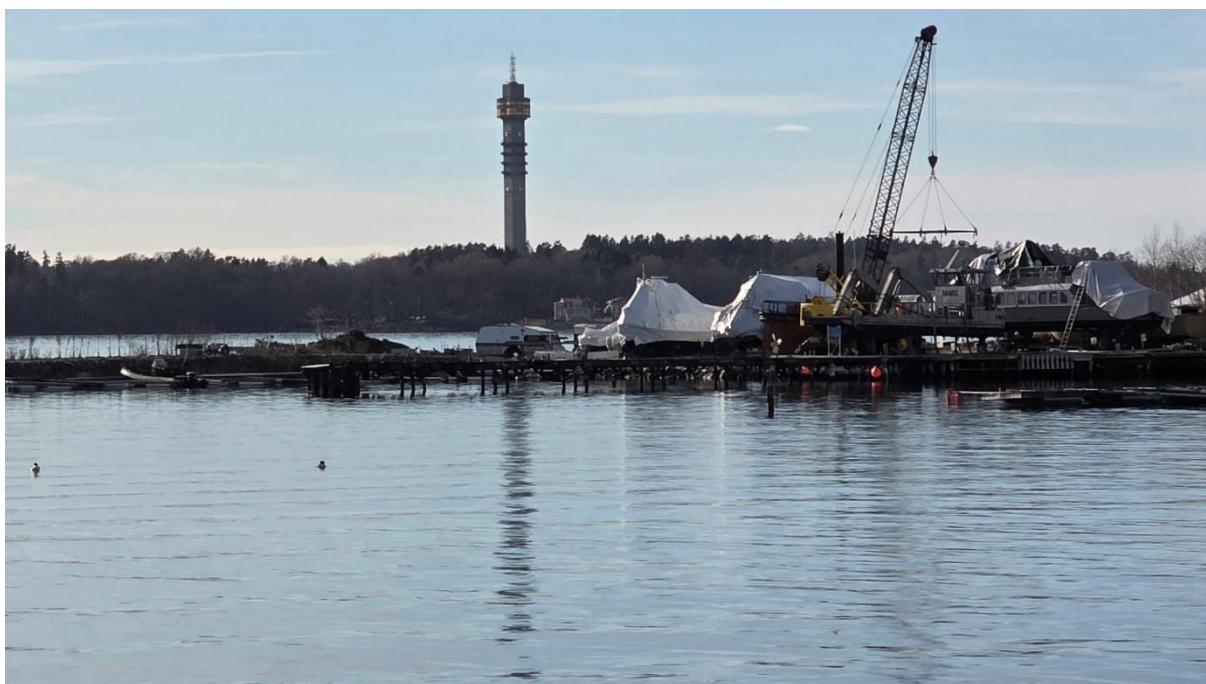
Mätningar av näringsämnen, såsom fosfor och kväve, tyder samtidigt på att vattenkvaliteten i skärgården långsamt förbättras. För att denna utveckling ska kunna fortsätta krävs dock ytterligare åtgärder för att minska den negativa miljöpåverkan. Innerskärgården är generellt mer belastad än ytterskärgården, framför allt på grund av påverkan från industri, tätbebyggelse och annan urban verksamhet. Ytterskärgården har därför i regel bättre vattenkvalitet, med lägre halter av föroreningar.

Det finns flera åtgärder som antingen planeras, pågår eller nyligen har genomförts för att förbättra miljötillståndet i skärgården. Exempel är projekt för att minska näringsbelastningen, restaurera grunda vikar och våtmarker, skydda fiskbestånden, minska påverkan från båtliv samt förbättra reningen av avloppsvatten. Även administrativa insatser, såsom framtagande av handlingsplaner för vattenmiljön, spelar en viktig roll. Målet är att förbättra livsmiljöerna för vattenlevande organismer och säkerställa deras möjligheter till fortplantning och födosök.

Vattenkvaliteten varierar dock mellan olika vikar och bassänger beroende på lokal påverkan och vilka åtgärder som har genomförts. Äldre föroreningar kan dessutom finnas kvar i bottensedimenten och läcka ut till vattenmassan, särskilt vid försämrade syreförhållanden eller fysisk störning av bottarna. Samtidigt finns det flera *nyare* typer av föroreningar som fått större uppmärksamhet den senaste tiden, såsom PFAS, hormonstörande ämnen, läkemedel, mikro- och nanoplast, däck- och vägslitagepartiklar, flamskyddsmedel samt olika moderna industrikemikalier och ersättningsämnen, där kunskapsbehovet fortfarande är stort.

För Lilla Värtan och Strömmen i Stockholms inre skärgård har politiska beslut fattats om att genomföra framtagna lokala åtgärdsprogram. Arbetet har skett i samverkan mellan Stockholm, Nacka, Solna, Lidingö, Danderyd och Stockholm Vatten och Avfall. Parallellt leder Länsstyrelsen projektet *Ekosystembaserad havsförvaltning*, där olika aktörer samverkar för att skapa en hållbar och anpassningsbar förvaltning av skärgården. Därutöver finns flera andra initiativ och organisationer som arbetar för att förbättra skärgårdens miljö.

Sammantaget är det svårt att ge ett entydigt svar på om vattnet i Stockholms skärgård är bra eller dåligt. Trendanalyser visar både förbättringar och försämringar, beroende på plats och vilken parameter som studeras. Skärgården är ett komplext system med stora variationer, många gradienter och flera samtidiga påverkansfaktorer. Den här rapporten fokuserar främst på nuläget och på mätningar från 2025. För den som vill få en aktuell statusklassning för en specifik vik eller fjärd rekommenderas även årsrapporten från *Svealands kustvattenvårdsförbund* (www.skvvf.se), som kompletterar denna rapport med detaljerad information om ekologisk status längs Svealandskusten.



Kaknästornet sett från Parkbryggan på Lidingö. Foto: Joakim Lücke.

Gradienter ger skärgården liv

Skärgården är en dynamisk miljö med stora variationer i olika riktningar, både geografiskt och i djupled. Exempel på parametrar som varierar tydligt är salthalt och vattentemperatur. Salthalten är generellt högre i ytterskärgården än i mellan- och innerskärgården. Dessutom är den normalt högst vid botten, eftersom saltvatten är tyngre än sötvatten och därför sjunker. Vattentemperaturen varierar också med djupet, särskilt under sommarhalvåret, då ytvattnet vanligtvis är varmare än bottenvattnet.

Enligt EEA (European Environment Agency, Europeiska miljöbyrån) har Europas hav blivit allt varmare sedan kontinuerliga temperaturmätningar började i mitten av 1800-talet. Denna utveckling märks även i Stockholms skärgård, där uppvärmningen har varit särskilt tydlig under de senaste årtiondena. Under ett normalår är ytvattnet som varmast under sommaren, och de uppmätta vattentemperaturerna under 2025 följde i stort sett detta normala säsongsmönster (Figur 11 och 12). Trots att lufttemperaturen låg över det normala under större delen av året, med temperaturer under det normala endast i maj och augusti, höll sig ytvattentemperaturerna inom det normala variationsintervallet under större delen av 2025 (Figur 13).

De högsta vattentemperaturerna uppmättes i juli och augusti (Figur 11 och 12). Årets högsta temperatur, 24,4 °C, noterades den 28 juli i den trösklade viken Kyrkfjärden i den norra delen av skärgården. Även året innan uppmättes den högsta temperaturen i Kyrkfjärden, men då var temperaturen något lägre. Längs segelleden mellan Slussen och NV Eknö uppmättes den högsta temperaturen i mellanskärgården den 31 juli i Trälhavet, där ytvattnet nådde 20,3 °C (Figur 12). I innerskärgården noterades de högsta ytvattentemperaturerna den 28 juli vid Blomskär i Stora Värtan och i Askrikefjärden, där temperaturen uppgick till 24,2 respektive 23,2 °C. Längs segelleden i innerskärgården uppmättes den högsta temperaturen i Solöfjärden den 13 augusti, då vattnet var 20,0 °C. I den södra delen av skärgården uppmättes de högsta ytvattentemperaturerna den 11 augusti i Farstaviken och Baggensfjärden, där vattnet nådde 20,9 respektive 20,6 °C (Figur 52). Samma dag noterades även årets högsta temperaturer i Lännerstasundet och Ägnöfjärden.

Bottenvattnets temperatur är normalt som lägst under våren och stiger sedan successivt under sommaren för att nå sitt maximum under hösten (Figur 12 och 13). Under 2025 uppmättes de högsta temperaturerna i bottenvattnet, på djup större än 20 meter, i Norra Vaxholmsfjärden på 24 meters djup. Den 22 september var temperaturen där 14,8 °C och den 26 augusti 14,3 °C. Utöver Norra Vaxholmsfjärden uppmättes den högsta bottenvattentemperaturen den 8 september i Ägnöfjärden på 26 meters djup, där temperaturen var 12,4 °C. Den största temperaturskillnaden i bottenvattnet under året noterades vid NV Eknö. På 20 meters djup skilde det 13,7 °C mellan februari och september, från 1,0 °C i februari till 14,7 °C i september. Generellt låg bottenvattentemperaturerna i skärgården nära det normala under större delen av året.

Saliniteten, det vill säga vattnets salthalt, beräknades utifrån konduktivitetmätningar som analyserades i laboratorium i Lidköping. I världshaven är den genomsnittliga salthalten omkring 35 psu (practical salinity unit), vilket ungefär motsvarar promille, och varierar vanligen mellan 33 och 38 psu. Sötvatten, som Mälaren, har däremot en salthalt under 1–2 psu. Vatten med en salthalt under 30 psu klassificeras som brackvatten. Östersjön är ett av

världens största brackvattenhav, där saliniteten i Egentliga Östersjön varierar mellan 2 och 3 psu i ytvattnet och kan uppgå till omkring 20 psu i bottenvattnet innanför trösklarna vid Öresund och Stora Bält.

I Stockholms skärgård uppmättes de lägsta salthalterna under 2025 i Hammarby sjö och vid Slussen, där ytvattnets salinitet i november var 0,10 respektive 0,25 psu (Figur 11 och 14). Den högsta salthalten uppmättes i bottenvattnet vid NV Eknö i november, där saliniteten var 7,0 psu. Saliniteten i bottenvattnet är normalt relativt stabil över året, och de uppmätta värdena under 2025 följde i stort sett mönstret från den senaste tioårsperioden vid samtliga mätlokaler (Figur 15).

De södra delarna av skärgården påverkas i mindre grad av Mälarens varierande utflöden, vilket innebär att saliniteten där generellt är högre. Under 2025 uppmättes de lägsta salthalterna i ytvattnet i Lännerstasundet i november, men saliniteten var genomgående relativt låg där under hela året. De högsta salinitetsvärdena i den södra skärgården noterades i februari i Baggensfjärden, där mätningar på 50 respektive 40 meters djup visade 6,23 och 6,21 psu (Figur 53).



Grand Hôtel Stockholm på Blasieholmen tog emot sina första gäster på försommaren 1874. Foto: Joakim Lücke.

Salthalt och temperatur påverkar vattnets densitet, det vill säga dess täthet eller massa per volymenhet. Kallt vatten är i allmänhet tyngre än varmt vatten, och ju saltare vattnet är, desto högre blir dess densitet. Vatten har sin högsta densitet vid 4 °C. Under större delen av året är bottenvattnet både kallare och saltare än ytvattnet, särskilt under sommarhalvåret. Skillnader i temperatur och salthalt skapar skiktningar i vattnet, där olika lager bildas beroende på densitetsskillnader.

Under vintern och den tidiga våren 2025 var den salthaltsstyrda skiktningen i innerskärgården stabil, främst till följd av det stora utflödet från Mälaren (Figur 14 och 16). När utskoven senare stängdes och utflödet minskade försvagades denna skiktning, men den

kvarstod till följd av temperaturförhållandena (Figur 12). Under hösten avtog även den temperaturberoende skiktningen, men en viss skiktning bestod fram till höstomblandningen i november.

Detta innebar också att något tydligt uppträngande av renat avloppsvatten till ytan i närheten av reningsverkens utsläpp inte kunde observeras under året. Halterna av ammonium i ytvattnet var genomgående låga. De högsta halterna uppmättes vid Slussen i april och juli, men även dessa nivåer var relativt låga (Figur 28).

Djupvattnet i innerskärgården påverkas i hög grad av inflödet av tungt och salt vatten från ytterskärgården, främst via Oxdjupet. Denna saltvatteninträngning leder inte bara till ökad salthalt i bottenvattnet utan för också med sig syre från ytterskärgården, vilket är gynnsamt för det annars syrefattiga djupvattnet. I vissa fall är dock syrehalterna redan låga i ytterskärgården. Det vatten som strömmar in genom Oxdjupet kan då vara både syrefattigt och näringsrikt, vilket kan påverka innerskärgårdens vattenkvalitet negativt. Detta gäller särskilt i samband med höstomblandningen, då näringsrikt bottenvatten kan nå ytan och bidra till kraftiga algbloomningar.

Under 2025 motverkade det stora sötvattenutflödet från Mälaren inflödet av saltare vatten under årets första månader (Figur 17). När utflödet därefter minskade ökade möjligheten för saltare bottenvatten att tränga in över tröskeln vid Oxdjupet. Trots detta steg salthalten i vattenmassan innanför Oxdjupet inte nämnvärt. En möjlig förklaring är att det varma ytvattnet och den tydliga temperaturskiktningen under sommaren höll tillbaka det inströmmande vattnet i Trälhavet.

Syrehalterna i bottenvattnet i Trälhavet och Solöfjärden var som lägst i september och oktober. Det tyder på att en viss mängd syrefattigt saltvatten ändå hade kunnat tränga in i innerskärgården efter att temperaturskiktningen försvagats. Det vatten som passerade tröskeln vid Oxdjupet lagrades i regel in på samma eller något större djup än sitt ursprungliga djup i Trälhavet.



Färjan *Djurgården 10* syns på baksidan av den svenska hundrakronorssedel som började ges ut år 2016. På bilden passerar den framför Skeppsholmen, med Kaknästornet i bakgrunden. Foto: Joakim Lücke.

Syrets betydelse för liv

En kontinuerlig tillgång på syre är livsnödvändig för de flesta organismer. Syrebrist, särskilt i bottenvattnet, utgör ett stort problem för ekosystemen i många av världens havsområden. Syrebrist kan uppstå när näringsämnen och organiskt material tillförs vattnet från exempelvis avloppsvatten, jordbruksmark, industrier och fordonstrafik. När dessa ämnen bryts ned förbrukas syret i vattnet, vilket kan leda till kritiska syrenivåer. Om syret inte räcker till för att bryta ned det organiska materialet bildas svavelväte, ett giftigt ämne som skadar de flesta organismer. Konsekvenserna av syrebrist är allvarliga. Det kan exempelvis innebära att bottenlevande organismer dör, vilket minskar tillgången på föda för fisk och andra djur högre upp i näringskedjan. Det kan också innebära att näringsämnen frigörs från sedimenten, vilket kan förvärra övergödningen och skapa en negativ spiral där syrebristen förstärks ytterligare.

Vattnet i Stockholms innerskärgård är oftast i rörelse, vilket påverkar syresättningen. Vid botten rör sig en inåtgående ström med saltare vatten från mellan- och ytterskärgården. Vid ytan finns en utåtgående ström med sötare vatten, som ofta drivs av Mälarens utflöde. Mellan 10 och 20 meters djup strömmar en avloppsström, som består av det renade avloppsvattnet från Henriksdals, Brommas och Käppalas reningsverk. Tidigare hade avloppsströmmen relativt låga syrehalter jämfört med det omgivande skärgårdsvattnet. Efter att kväverening infördes vid reningsverken under slutet av 1990-talet ökade dock syrehaltererna i avloppsströmmen markant, vilket tydligt framgår av mätningar i de inre delarna av skärgården.

Under 2025 följde syrehaltererna i innerskärgården den normala säsongsvariationen, med de högsta halterna under våren och de lägsta strax före höstomblandningen (Figur 18 och 19). Liksom vanligt var syrehaltererna generellt lägst i bottenvattnet och högre i ytvattnet. Sammantaget låg syrehaltererna under året nära de normala nivåerna. I de trösklade vikarna Kyrkfjärden och Farstaviken var syresituationen däremot mycket dålig under stora delar av året, och svavelväte förekom i bottenvattnet vid de flesta mätningar (Figur 54). Även i Lännerstasundet var syrehaltererna låga under hela året, och svavelväte påträffades vid samtliga provtagningstillfällen, i linje med tidigare års mönster.

Vid Blomskär i Stora Värtan var syrehalten i bottenvattnet låg under hösten, och liksom vid många tidigare tillfällen påträffades svavelväte i oktober och november. I övriga provtagna lokaler noterades inget svavelväte.

Generellt var syrehaltererna högre längre ut i skärgården. Trälhavet, som ligger utanför tröskeln vid Oxdjupet, har i stort sett fri vattenutväxling med det öppna havet, vilket minskar risken för syrebrist i bottenvattnet.

Det totala syreinnehållet i innerskärgården är normalt som högst i början av året, innan de syreförbrukande processerna har kommit igång. En viktig faktor bakom syreförbrukningen är nedbrytningen av plankton efter vårbloomingen (Figur 20). Efter våren minskar därför syreinnehållet successivt fram till hösten, då den biologiska aktiviteten avtar och syrenivåerna börjar återhämta sig. Denna förändring sker i hela vattenmassan. I april 2025 uppmättes det totala syreinnehållet i innerskärgården till cirka 17 800 ton. Fem månader senare, i september, hade det minskat till omkring 9 600 ton, vilket motsvarar en minskning med cirka 46 procent.

Näring får liv att växa

Förutom syre behöver djur och växter även näringsämnen, såsom fosfor och kväve, för sin tillväxt. En lagom mängd näring gynnar livet i vattenmassan, men ett överskott kan leda till syrebrist när organiskt material bryts ned. Algblomningar gynnas av god tillgång på fosfor och kväve och är en naturlig del av ekosystemet. Därför kan algblomningar i sig inte automatiskt kopplas till miljöstörningar. Däremot kan en obalans mellan fosfor och kväve leda till kraftiga algblomningar, vilket kan orsaka olika problem. I Stockholms skärgård är dock stora, geografiskt utbredda algblomningar ovanliga.

Omkring 1970 infördes kemisk och biologisk rening vid reningsverken, och i mitten av 1990-talet infördes även kväverening. Dessa åtgärder förbättrade snabbt vattenmiljön i innerskärgården (Figur 21). Ett tydligt exempel på denna förbättring är totalfosforhalten vid Blockhusudden. År 1970 låg totalfosforhalten i snitt på ca 140 µg/L i ytvatten, och år 2025 hade medelhalten sjunkit till 30 µg/L, med variationer mellan 23 och 40 µg/L under året (Figur 22). En stor del av denna minskning beror på att det renade avloppsvattnet från Bromma avloppsreningsverk överfördes till Saltsjön. Före 1988 släpptes vattnet ut i Mälaren, vilket påverkade ytvattnet i Saltsjön. Idag leds vattnet istället ut på 30 meters djup utanför Kastellholmen, vilket bidrar till lägre fosfor- och kvävehalter vid ytan.

Totalfosforhalterna under 2025 varierade i stort sett på samma sätt som under tidigare år, med något förhöjda halter nära botten under hösten (Figur 22 och 24). En bidragande orsak var sannolikt att syrehalterna i bottenvattnet samtidigt var relativt låga, särskilt i oktober. Även totalkvävehalterna följde det mönster som setts tidigare, med de högsta halterna en bit ned i vattenmassan, närmast avloppsreningsverkens utsläpp (Figur 27 och 30). De förhöjda kvävehalterna var särskilt tydliga vid Slussen och Blockhusudden.

Halterna av oorganisk fosfor, alltså fosfatfosfor, följde i stort sett det normala mönstret under 2025 (Figur 23 och 25). De högsta halterna uppmättes i bottenvattnet under hösten. Vid Slussen var halterna i bottenvattnet då till och med kraftigt förhöjda, sannolikt som en följd av arbeten i samband med ombyggnaden av Slussenområdet. I stora delar av innerskärgården var ytvattnet i princip uttömt på oorganisk fosfor från april till september, vilket visar att fosfor fortfarande är det viktigaste begränsande näringsämnet i skärgården. Före införandet av fosforrening på 1970-talet var det i stället kväve som begränsade produktionen, och den kväverening som infördes under 1990-talet har inte förändrat detta förhållande. Inte heller halterna av oorganiskt kväve, i form av ammoniumkväve samt nitrit+nitratkväve, avvek nämnvärt från det normala mönstret under 2025 (Figur 28, 29, 31 och 32). I januari och februari uppmättes dock förhöjda ammoniumhalter en bit ner i vattenmassan vid både Slussen och Blockhusudden, vilket troligen hängde samman med de höga utflödena från såväl avloppsreningsverken som Mälaren under denna period.

De högsta fosforhalterna under 2025 uppmättes under hösten i bottenvattnet i de trösklade vikarna Kyrkfjärden och Farstaviken samt i Lännerstasundet (Figur 55). Längs segelleden var totalfosforhalterna som högst under hösten vid Halvkakssundet, Slussen och Blockhusudden. Den allra högsta halten längs segelleden uppmättes dock vid Halvkakssundet i november (Figur 22). De lägsta fosforhalterna under året noterades i maj på 0,5 meters djup vid Sollenkroka och Nyvarp. Även i innerskärgården uppmättes de lägsta halterna i maj, då 11 µg/L noterades vid Koviksudde.

Införandet av kväverening i mitten av 1990-talet ledde till en tydlig minskning av kvävehalterna i innerskärgården (Figur 21). Sedan dess har halterna legat på en lägre nivå, med mindre variation mellan åren än tidigare. Under 2025 följde både kväve- och fosforhalterna samma rumsliga mönster som tidigare år, med en gradvis minskning längs segelleden från Slussen ut mot Eknö (Figur 22 och 27). Detta mönster var tydligt under hela året och på samtliga djup.

Halterna av oorganiskt kväve följde också i stort sett det normala variationsmönstret under 2025 och avvek inte nämnvärt från de senaste tio årens nivåer (Figur 28, 29, 31 och 32). Under januari och februari var dock ammoniumhalterna höga en bit ned i vattenmassan vid Slussen och Blockhusudden. Det berodde sannolikt på att utflödena från framför allt Mälaren, men under januari även från avloppsreningsverken, var relativt stora, vilket också avspeglades i förhöjda ammoniumhalter i recipientvattnet.

Halterna av oorganiskt kväve i innerskärgården minskar generellt med avståndet från Slussen. Det beror på att det kväverika vattnet från Stockholm successivt späds ut och blandas med omkringliggande vattenmassor. Minskningen är särskilt tydlig på de djup där det renade avloppsvattnet, som fortfarande innehåller en viss mängd kväve, förs ut. Efter Oxdjupet blir denna avtagande trend mindre tydlig, och kvävehalterna förändras då inte längre på samma sätt (Figur 28 och 29).

De högsta kvävehalterna under 2025 uppmättes i bottenvattnet i Farstaviken och Kyrkfjärden i november respektive oktober. Även i Lännerstasundet var kvävehalterna höga under hösten (Figur 56 och 57). Längs segelleden var totalkvävehalterna som högst i januari och februari, en bit ned i vattenmassan vid Blockhusudden och Slussen. De lägsta kvävehalterna längs segelleden uppmättes i juni på 16 meters djup vid Sollenkroka och NV Eknö. Generellt var kvävehalterna lägst i mellan- och ytterskärgården (Figur 27).

De totala fosformängderna i innerskärgården under 2025 följde samma säsongsmönster som tidigare år, med de lägsta nivåerna under sommaren. I maj var fosforinnehållet som lägst, omkring 32 ton (Figur 26). Därefter ökade mängden successivt och nådde sitt högsta beräknade värde i november, cirka 73 ton. Förändringen under året liknade i stort sett den under 2024, men variationen var något större. Fosformängden var framför allt högre under hösten än året innan. Under flera av åren dessförinnan har variationerna dock varit ännu större, särskilt genom högre fosforhalter i vattnet under senhösten.

Kväveinnehållet i vattnet brukar normalt variera mindre än fosforinnehållet, och variationen under 2025 liknade i stort sett den under många tidigare år. Kvävemängderna låg dock tydligt lägre än under 2024, även om det året avvek från det normala. I maj 2025 uppgick kväveinnehållet i vattnet till 651 ton. Under sommaren ökade mängden sedan successivt och nådde sitt högsta värde i november, 861 ton (Figur 33). År 2024 var utvecklingen mer ojämn. Då låg nivån redan i april på 990 ton, varefter den sjönk kraftigt till årets lägsta nivå i juli, 725 ton.

Utan ljus inget liv

När fotosyntesen fungerar optimalt kan vissa organismer, såsom växter och cyanobakterier, omvandla solljusets energi till kemisk energi i form av druvsocker. För att effektivt fånga in ljuset använder de antennpigment, exempelvis klorofyll α , som transporterar ljusenergin till den plats där fotosyntesen sker.

Solljuset når inte alltid ner till djupare vattenlager, vilket kan påverka ekosystemet negativt. Det finns flera orsaker till detta. Det kan exempelvis bero på övergödning, dvs. ett överskott av näringsämnen som leder till kraftig tillväxt av växter och djur vid ytan, vilket skuggar de djupare vattenskikten. Det kan också bero på uppgrumling, dvs. att bottenmaterial virvlar upp och minskar ljusgenomsläppet i grundare områden. Det kan dessutom bero på naturliga faktorer, exempelvis andra ämnen i vattnet, såsom organiskt material från land, som också påverkar ljusets genomträngning. När ljuset inte når ner försämras förutsättningarna för många organismer som är beroende av fotosyntes.

För att mäta hur långt ner ljuset tränger i skärgårdens vatten används en secchiskiva. Metoden går ut på att skivan först sänks ner i vattnet tills den försvinner ur sikte, varefter den hissas upp igen tills den åter blir synlig. Medelvärde av dessa två djup utgör siktdjupet. Siktdjupet varierar naturligt över året, med störst siktdjup under sen höst, vinter och tidig vår, och minst siktdjup under växtsäsongen, när alger och plankton är som mest aktiva. Efter att kväverening infördes i början av 1990-talet minskade klorofyllhalterna i innerskärgården, och sedan dess har variationerna varit relativt små.

Variationen i siktdjup under 2025 följde i stort sett samma mönster som under tidigare år. Siktdjupet påverkas ofta av klorofyllhalterna, och årets mätningar visar att det fanns ett visst samband mellan dessa parametrar på flera platser. I innerskärgården har siktdjupet varit relativt stabilt under de senaste åren, och samma bild framträdde även under 2025. Det uppmätta siktdjupet varierade där mellan 2,1 meter under vårbloomingen i april och 6,1 meter i slutet av maj. Medelsiktdjupet i innerskärgården uppgick till 4,2 meter, vilket var något högre än året innan (Figur 35).

Efter att ha nått ett genomsnitt på 4,6 meter år 2003 minskade siktdjupet successivt under flera år. År 2014 uppmättes det lägsta medelsiktdjupet, 2,9 meter. Därefter förbättrades siktdjupet under perioden 2015–2017, och 2017 uppmättes åter ett genomsnitt på 4,3 meter. Sedan dess har det minskat något, men legat kvar omkring 4,0 meter (Figur 35).

Generellt var siktdjupet under 2025 större i mellan- och ytterskärgården än i innerskärgården, vilket är det normala mönstret. Det största siktdjupet uppmättes vid NV Eknö i november, då det var 14,1 meter (Figur 34). NV Eknö hade också det största medelsiktdjupet under året, 8,9 meter, vilket var något lägre än föregående år.

Det minsta medelsiktdjupet under 2025 uppmättes i Hammarby sjö, där det var 3,1 meter. Därefter följde Karantänbojen i Lilla Värtan med 3,5 meter och Slussen med 3,9 meter. Längs segelleden hade Slussen det minsta medelsiktdjupet, tätt följt av Blockhusudden med 4,0 meter. Siktdjupet är generellt mindre i näringsrika vikar och i innerskärgården nära Slussen, medan det ökar längre ut i skärgården.

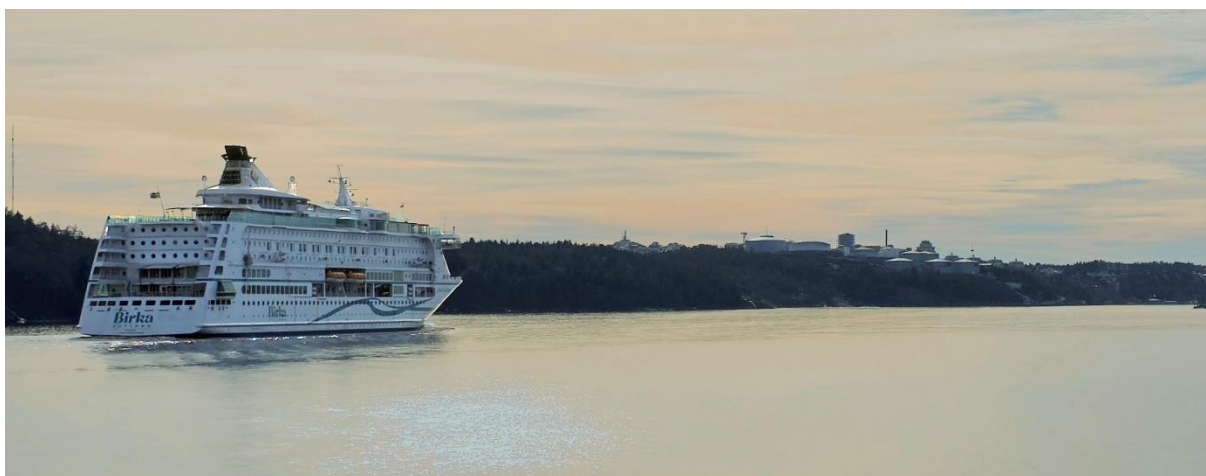
I den södra delen av skärgården varierade siktdjupet mest i Ägnöfjärden. Ägnöfjärden och Erstaviken hade också de största medelsiktdjupen i området under 2025, båda med 6,2 meter. Därefter följde Baggensfjärden med 6,1 meter, Farstaviken med 5,3 meter och Lännerstasundet med 3,8 meter (Figur 58 och 60). Det största enskilda siktdjupet i den södra skärgården uppmättes i Erstaviken i mitten av november och var 11,2 meter.

Siktdjupet har en nära koppling till klorofyllhalten i vattnet. Ju högre halt av klorofyll, desto lägre blir siktdjupet, eftersom en större mängd växtplankton minskar ljusgenomträngningen. Halten av klorofyll *a* används ofta som ett grovt mått på växtplanktonbiomassan i vattnet. I innerskärgården minskade klorofyllhalterna något efter att kväverening infördes i mitten av 1990-talet, och sedan dess har variationerna varit relativt små (Figur 36 och Figur 37).

Provtagningarna av klorofyll *a* och siktdjup under 2025, tillsammans med tidigare års observationer, visar ett tydligt omvänt samband: när klorofyllhalterna är låga är siktdjupet större (Figur 38).

Vid Blockhusudden och Koviksudde uppmättes årets lägsta klorofyllhalter i innerskärgården i december. Generellt var klorofyllhalterna lägst vid de flesta mätstationer i början och slutet av året, det vill säga under januari, februari och december. Variationerna i klorofyll *a* under 2025 följde i stort sett samma mönster som under tidigare år, med ökande halter i samband med vårbloomningen (Figur 39). En viss ökning kunde även noteras under hösten.

I den södra delen av skärgården uppmättes de högsta klorofyllhalterna främst i områden med begränsat vattenutbyte, såsom Lännerstasundet (Figur 59 och 60). Även Farstaviken har ett begränsat vattenutbyte, men där liknade klorofyllhalterna under 2025 ändå mer nivåerna i de öppnare vattenområdena. I Ägnöfjärden, Erstaviken och Baggensfjärden var halterna generellt lägre. I Baggensfjärden uppmättes dock en tydligt förhöjd klorofyllhalt under vårbloomningen i april.



Kryssningsfartyget M/S Birka Gotland på väg mot Stockholm. Hon byggdes 2004 i Finland och hette först M/S Birka Paradise, och sedan M/S Birka Stockholm innan hon slutligen fick sitt nuvarande namn. Foto: Joakim Lücke.

Oönskat biologiskt liv

Ibland kan orenat avloppsvatten hamna i skärgårdsvattnet, vilket ofta leder till förhöjda bakteriehalter. Detta kan ske vid en så kallad bräddning, när avloppssystemet blir överbelastat, exempelvis efter kraftiga regn. Bräddningar kan föra med sig bakterier och andra föroreningar, vilket man helst vill undvika, men det är inte alltid möjligt att förhindra helt.

För att undersöka om vattnet innehåller sjukdomsalstrande bakterier mäts halten av koliforma bakterier. Koliforma bakterier kan vara en indikator på fekal förorening, men de förekommer också naturligt i jord och vatten. Därför kan enbart mätning av koliforma bakterier ge en missvisande bild av vattenkvaliteten. *Escherichia coli* är en del av gruppen koliforma bakterier och förekommer specifikt i tarmarna hos varmblodiga djur, inklusive däggdjur och fåglar. Därför ger en analys av *Escherichia coli* en säkrare indikation på fekal förorening. För att bedöma badvattenkvalitet kan även intestinala enterokocker användas, men analyser av dessa ingår inte i detta program.

Efter att kväverening infördes i mitten av 1990-talet minskade bakteriehalterna i vattnet tydligt. Trots detta uppmäts fortfarande varje år höga halter av *Escherichia coli* vid åtminstone några provtagningsplatser inom recipientkontrollprogrammet. Halter över 1 000 MPN per 100 ml är en tydlig indikator på påverkan från avloppsvatten (Figur 40 och 41).

Under 2025 överskreds gränsen för otjänligt badvatten, det vill säga *Escherichia coli* över 1 000 MPN per 100 ml, vid ett tillfälle. Det skedde i mitten av december vid Blockhusudden och Slussen. Vid övriga provtagningar klassades vattnet som antingen tjänligt, med halter under 100 MPN per 100 ml, eller tjänligt med anmärkning, med halter mellan 100 och 1 000 MPN per 100 ml. Förutom vid Blockhusudden och Slussen uppmättes de högsta bakteriehalterna i Halvkakssundet.



Telegrafberget i Nacka – uppkallat efter den optiska telegrafstation som låg här under 1700- och 1800-talet och förmedlade meddelanden över skärgården. Foto: Joakim Lücke.

Basfödan för ett liv i havet

Växtplankton utgör basen i näringskedjan i både salt- och sötvatten och står för hälften av jordens totala fotosyntes. Genom att analysera växtplanktonsamhället kan man få värdefull information om olika typer av miljöstörningar. Växtplankton saknar egen rörelseförmåga och förflyttas med hjälp av vattenströmmar. Därför påverkas deras förekomst och sammansättning starkt av vattnets fysikaliska och kemiska egenskaper. För att förstå ekosystemets balans analyseras även andelen plankton, oftast genom att mäta biovolym eller biomassa. Dessa mått hjälper till att bedöma både produktion och potentiell påverkan på andra organismer i näringsväven.

Under 2025 varierade växtplanktonbiovolymen mellan olika stationer. Beroende på lokal uppmättes årets högsta biovolym under vårbloomingen, som i Trälhavet, Farstaviken och Sollenkroka, under sommaren, som vid Blockhusudden, Baggensfjärden, Ägnöfjärden och NV Eknö, eller på ungefär samma nivå under våren och hösten, som vid Koviksudde. Den högsta enskilda biovolymen noterades vid Blockhusudden i juni och uppgick till 7,23 mm³/L. Jämfört med 2024 var biovolymerna vid vissa stationer lägre och vid andra högre. Vid NV Eknö och Ägnöfjärden noterades högre halter än under tidigare år.

Under årets första månader, januari till mars, var planktonvolymerna låga vid samtliga stationer. Växtplanktonsamhället dominerades då oftast av kiselalger (*Bacillariophyceae*), främst *Centrales*, men vid vissa stationer förekom också tydliga inslag av dinoflagellater (*Dinophyceae*), *Litostomatea* och lokalt även cyanobakterier (*Cyanophyceae*). Under vårbloomingen och försommaren, april till juni, uppmättes årets högsta biovolym vid de flesta stationer. Sammansättningen dominerades framför allt av kiselalger och dinoflagellater, men under vissa månader var även *Litostomatea*, encelliga grönalger (*Chlorophyceae*) samt mindre grupper som rekylalger (*Cryptophyceae*), guldalger (*Chrysophyceae*) och cyanobakterier betydelsefulla. Under sensommaren, juli till september, varierade artsammansättningen mer mellan stationer och över tid. Kiselalger och dinoflagellater var fortsatt viktiga grupper, men cyanobakterier blev ofta mer framträdande och dominerade vid flera stationer under juli och augusti. Även rekylalger, ögonflagellater (*Euglenophyceae*) och andra taxa utgjorde periodvis en stor del av biovolymen. Under hösten, oktober till december, var växtplanktonsamhället fortsatt varierat, med cyanobakterier, dinoflagellater och kiselalger som de viktigaste grupperna. Under senhösten och i december ökade dessutom inslagen av kiselalger och vid vissa stationer även grönalger, ögonflagellater, rekylalger och *Litostomatea*.

Kiselalger är beroende av kisel för att bygga upp sina skal, som huvudsakligen består av kiseldioxid. Kisel är även en viktig byggsten för många andra växter och djur. Mälaren innehåller relativt mycket kisel, och vid stora utflöden transporteras betydande mängder vidare till Saltsjön.

Vårbloomingen av kiselalger kan begränsas av tillgången på kisel i vattnet. När kiselalger blommar förbrukas tillgängligt kisel, vilket kan göra att tillgången blir begränsande. Under 2025 var utflödet från Mälaren högt under årets tre första månader, och samtidigt var kiselhalterna i innerskärgården som högst (Figur 42 och 43). Under denna period uppmättes höga kiselhalter i ytvattnet längs segelleden och i hela innerskärgården. Samtidigt dominerades planktonsamhället i Stockholms inre skärgård, sett till biovolym, av kiselalger

och dinoflagellater. Detta avspeglades i en hög förbrukning av fritt tillgängligt kisel. I maj och juni var klorofyllhalterna tydligt förhöjda i den inre delen av innerskärgården, samtidigt som kiselhalterna hade sjunkit kraftigt (Figur 39, 42 och 43).

I maj var kisellagret i innerskärgården nästan helt uttömt. Under sommarmånaderna därefter var utflödet från Mälaren mycket lågt, vilket innebar att tillförseln av nytt kisel var begränsad. Under denna period tog gruppen övriga taxa, och vid vissa tillfällen även cyanobakterier, en större andel av planktonsamhället, tillsammans med dinoflagellater. Kiselalger fortsatte dock att blomma vid vissa stationer, till exempel vid Blockhusudden. Under hösten kunde en tydlig ökning av kiselhalterna noteras när Mälärflödena åter började öka från och med september.

Cyanobakterieblomningar är de algblomningar som ofta får störst uppmärksamhet, eftersom de kan bilda en grötig och ibland giftig massa som gör vattnet olämpligt för bad. I Stockholms innerskärgård var cyanobakterier mest framträdande vid Koviksudde under september och oktober. I övrigt observerades de kraftigaste cyanobakterieblomningarna i juli, dels vid NV Eknö i ytterskärgården, dels i Ägnöfjärden i den södra mellanskärgården.

Från 1990-talet till mitten av 2000-talet var Oscillatoriales en vanlig cyanobakteriegrupp i Stockholms inre skärgård, främst vid Blockhusudden och Koviksudde, samt i delar av den centrala mellanskärgården, exempelvis Trälhavet. Detta förändrades omkring 2010, då Chroococcales istället blev den dominerande gruppen i inner- och mellanskärgården fram till 2023. Under 2023 skedde en tillfällig förändring då Oscillatoriales åter dominerade i innerskärgården. Eftersom Oscillatoriales trivs i näringsrika miljöer och ofta förekommer i större omfattning vid höga kvävehalter är detta av intresse. Under 2024 återgick dominansen dock till Chroococcales, och detta mönster bestod i huvudsak även under 2025, med vissa undantag under hösten då Oscillatoriales tillfälligt dominerade. I ytterskärgården och i den södra mellanskärgården var Nostocales fortsatt den mest framträdande gruppen, i likhet med tidigare år.

Bland cyanobakterierna i Östersjön är *Nodularia* den art som tydligast förknippas med toxicitet. Under 2025 påträffades dock ingen *Nodularia*. Det totala antalet celler av potentiellt toxiska cyanobakterier var däremot högre än under 2024. Merparten utgjordes av släktet *Snowella*, som främst förekom under de kallare månaderna. *Aphanizomenon* och *Dolichospermum* förekom också i stor omfattning, men då främst under de varmare månaderna. Även *Planktothrix agardhii* påträffades vid flera stationer, men i lägre antal. Under 2025 uppmättes inga totalhalter av toxiska cyanobakterier som överskred WHO:s gränsvärde.

Bland de potentiellt toxinproducerande organismerna i Östersjön var dinoflagellatsläktet *Dinophysis* det mest förekommande under 2025. Även dinoflagellaterna *Phalacroma rotundatum*, *Amphidinium*, *Heterocapsa*, *Gymnodinium* och *Gonyaulax*, liksom häftalgen *Chrysochromulina*, påträffades i undersökningsområdena.

Släktet *Dinophysis* är välkänt för att kunna producera toxiner som hos människor kan orsaka förgiftningssymtom som diarré och magsmärtor. I Norge finns gränsvärden för vissa *Dinophysis*-arter, men dessa är framtagna för musselodlingar i marina miljöer. Ett eventuellt

gränsvärde för badvatten skulle sannolikt vara betydligt högre. För att ändå ge en indikation på haltnivåerna har de norska gränsvärdena använts vid utvärderingen av data. Som referens användes det lägsta gränsvärdet för *Dinophysis acuminata*, 1 500 celler/L. Under 2025 överskreds detta värde vid 27 tillfällen och vid samtliga provpunkter.



Gåshaga på Lidingö – boende med utsikt över Höggarnsfjärden. Foto: Joakim Lücke.

För att avgöra om ett vatten har god eller dålig kvalitet används, som tidigare nämnts, bedömningsgrunder. Inom vattenförvaltningen, som regleras av EU:s vattendirektiv, ligger fokus främst på biologiska parametrar vid kvalitetsbedömningen. Växtplankton är en av de biologiska parametrar som används som bedömningsgrund, eftersom deras sammansättning och mängd kan ge viktig information om vattenmiljöns tillstånd.

Växtplanktonsamhällets sammansättning visar att den ekologiska statusen varierade tydligt mellan lokalerna under 2025. Den mest negativa utvecklingen noterades vid Koviksudde, där en nedåtgående trend har varit tydlig under de senaste åren. För perioden 2023–2025 bedöms statusen där nu som *otillfredsställande*, baserat på klorofyll *a* och biovolym. Vid Blockhusudden förbättrades statusen under 2025 och bedömdes som *måttlig*. Vid Trälhavet och Sollenkroka framträdde ingen tydlig trend, utan statusen verkar där ha legat relativt stabilt på *god* nivå. Farstaviken, som hade *god* status under perioden 2021–2023, låg liksom föregående år kvar på *måttlig* status, men den ekologiska kvoten förbättrades något. För övriga stationer, det vill säga NV Eknö, Baggensfjärden och Ägnöfjärden, hade utvecklingen under de senaste åren varit positiv, men denna trend bröts under 2025 genom att den ekologiska kvoten försämrades. Det ledde till försämrad status i Baggensfjärden och Ägnöfjärden, som nu bedöms ha *måttlig* status, medan NV Eknö låg kvar på samma status som tidigare, det vill säga *måttlig*.

Vid Koviksudde har även djurplankton provtagits sedan 2015. Under 2025 var djurplanktonbiomassan relativt hög och nådde den högsta toppen sedan undersökningarna inleddes. Under perioden januari till maj dominerades djurplanktonsamhället tydligt av hoppkräftor (Copepoda). Hoppkräftor är selektiva födosökare och gynnades sannolikt av den höga förekomsten av dinoflagellater och kiselalger under vårbloomingen. Därefter ökade andelen hinnkräftor (Cladocera) gradvis fram till juli. Hinnkräftorna dominerade sedan under juli och början av augusti, innan de successivt minskade under hösten och hoppkräftorna återtog dominansen.

En genomgång av resultaten från de senaste årens provtagningar visar en tydlig ökning av djurplanktonbiomassan under perioden 2015–2019. Denna utveckling bröts dock 2020, då biomassatopparna blev lägre under de följande åren, med undantag för 2023 och 2025. Trendbrottet 2020 bedöms ha samband med den låga biovolymen av växtplankton, vilket innebar sämre tillgång på föda för djurplankton. Under 2023 ökade djurplanktonbiomassan åter jämfört med året innan, och under 2025 noterades den högsta biomassan sedan undersökningarna startade. Årsmaximum inträffade i mitten av juli, då hinnkräftor förekom i särskilt stor mängd, framför allt *Bosmina longispina*. Däremot uteblev den tidiga topp av hoppkräftor, främst *Eurytemora affinis*, som tidigare år ofta har observerats under våren.

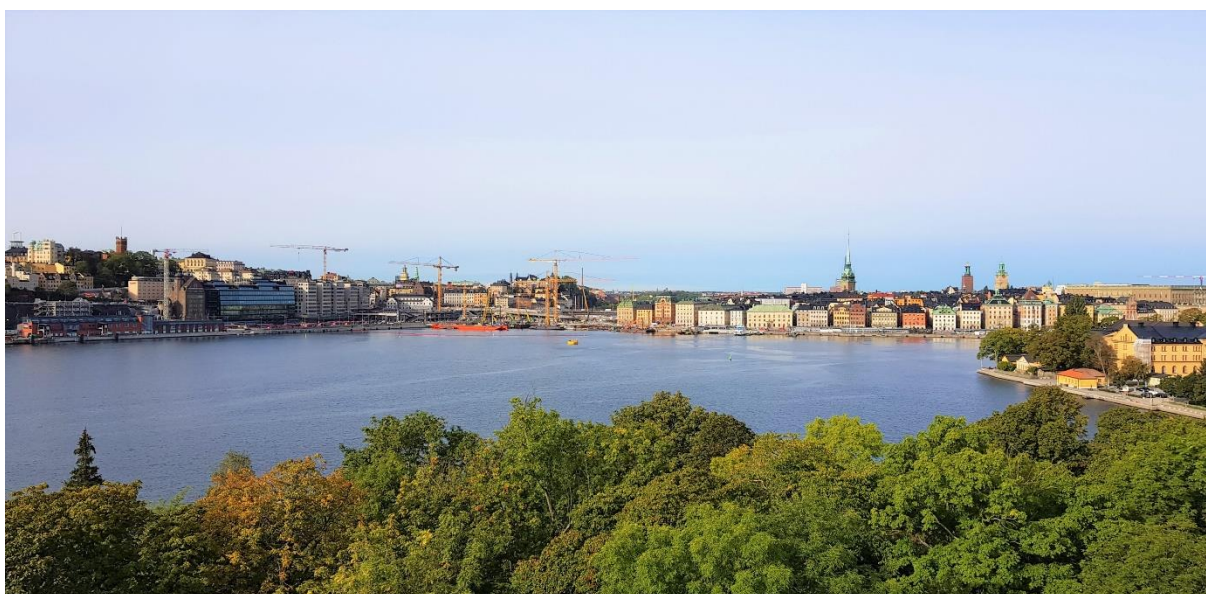
Sammantaget visar djurplanktonbiomassan under 2025 ett tydligt säsongsmönster, med ökande biomassa under våren och sommaren, följt av en minskning under hösten. Den relativa fördelningen mellan olika djurplanktongrupper var i stort sett densamma som under tidigare år. Hoppkräftor dominerade under våren, medan hinnkräftor ökade under senvåren och därefter dominerade under sommaren. Under hösten blev hoppkräftorna åter den dominerande gruppen. Hjuldjur var, liksom tidigare, aldrig dominerande sett till biomassa.



Käppala Båtsällskap i vinterskrud. I bakgrunden reser sig Käppalaverkets skorsten. Foto: Joakim Lücke.



På Kastellholmen finns Kastellet som uppfördes i mitten av 1840-talet. På Kastellet hissas dagligen en svensk örlogsflagga som en traditionell fredsmarkering. Foto: Joakim Lücke.



Utsikt över Stockholm från Kastellet på Kastellholmen. Foto: Joakim Lücke.

Livet på botten

På botten av vattendrag och hav vilar lager på lager av sediment som har ackumulerats genom åren. Men botten är inte bara en plats för avsatta partiklar – här lever också många djur, kända som bottenfauna. För att få en bättre förståelse för skärgårdens bottenmiljö och dess ekosystem undersöks sammansättningen av bottenfauna vartannat år inom ramen för detta recipientkontrollprogram.

Under 2025 genomfördes ingen undersökning av bottenfaunan. Bedömningen får därför utgå från resultaten från 2024, som visade ekologisk status från *dålig* till *god* enligt bedömningsgrunden BQI_m. I innerskärgården har den ekologiska statusen sedan 2014 visat en uppåtgående trend, och denna utveckling fortsatte även 2024. Resultaten från 2022 avvek dock från detta mönster och tydde då på en klar försämring. Under 2024 bedömdes bottenfaunan i den inre innerskärgården ha *måttlig* ekologisk status enligt BQI_m, medan den yttre innerskärgården fortsatt klassificerades som *god*. I mellanskärgården, vid Trälhavet, återgick statusen till *god* efter att under flera år sedan 2018 ha varit *måttlig*. Även i delar av den södra mellanskärgården, det vill säga Baggensfjärden, Ägnöfjärden och Erstaviken, bedömdes den ekologiska statusen som *god* under 2024. För Baggensfjärden och Ägnöfjärden innebar detta en återhämtning efter försämringen 2022, då statusen klassificerades som *måttlig*. Farstaviken hade däremot fortsatt *dålig* ekologisk status under 2024, i likhet med tidigare år.

Resultaten från 2024 visade också att antalet taxa hade förändrats jämfört med undersökningen 2022. Vid sju stationer ökade antalet taxa, vid tre stationer var det oförändrat och vid nio stationer minskade det. I de flesta prover påträffades djur, men vid vissa stationer saknades de på ett eller flera djup. Vid två stationer i den inre innerskärgården, Valdemarsudde på 30 meters djup och Vårhagen på 19 meters djup, påträffades inga djur. Dessa stationer var djurtomma även vid provtagningen 2022. Detsamma gällde båda provdjupen i Farstaviken, 5 och 10 meter, i den södra mellanskärgården. Tomma prover tyder på störda förhållanden, och det är sannolikt att perioder med akut syrebrist förekommer på dessa bottenar. Det finns samtidigt en tydlig skillnad mellan den inre och den yttre innerskärgården. Den yttre delen har i genomsnitt fler arter och generellt bättre ekologisk status.



Norrbro sträcker sig över Norrström, som förbinder Mälaren med Stockholms ström. Norrbro är Stockholms äldsta bevarade stenbro. Foto: Joakim Lücke.



Koviksudde. Foto: Joakim Lücke.

Fokus på livet vid Koviksudde

Inför 2015 års provtagningar gjordes en översyn av recipientundersökningarna. I samråd med Länsstyrelsen och andra aktörer beslutades att Koviksudde skulle bli ett fokusområde. Vattenområdet vid Koviksudde anses vara representativt för innerskärgården, vilket innebär att data därifrån kan ge en god helhetsbild av den samlade påverkan på innerskärgården. Exempelvis illustrerar figurerna 21 och 37 hur utsläppen av kväve och fosfor från Stockholm Vatten och Avfalls avloppsreningsverk (1968–2025) jämförs med halterna av kväve, fosfor och klorofyll *a* i ytvattnet vid Koviksudde.

Syftet med att ha Koviksudde i fokus är att fånga in flera nivåer av näringskedjan. Därför lades i detta program även till djurplankton som en ny parameter. I övrigt ingår inom ramen för recipientkontrollprogrammet vattenkemisk provtagning, årlig provtagning av växtplankton, och provtagning av bottenfauna vartannat år. Utöver detta övervakar Länsstyrelsen fiskbeståndet i området kring Koviksudde, inom vattenförekomsten Askrikefjärden.

Sedan 2016 har årliga provfisken genomförts i augusti vid Koviksudde med översiktsnät. Resultaten från 2016–2025 finns tillgängliga i databasen för kustprovfisken (KUL). Fångsterna har varierat mellan åren både i antal och biomassa, men fångstsammansättningens huvuddrag har varit relativt stabila under perioden. Under 2025 var mört den vanligaste arten och utgjorde 47 procent av det totala antalet fångade fiskar. Därefter följde abborre med 27 procent, gärs med 7 procent och strömming med 6 procent. Mer än hälften av fångsten, 56 procent, bestod av karpfisk, vilket kan tyda på en näringsbelastad miljö. Samtidigt utgjorde rovfisk 27 procent av fångsten, en andel som varit relativt stabil sedan 2016. Abborre dominerade rovfiskbeståndet under 2025 och svarade för 97 procent av rovfisken. Totalt fångades 3 371 fiskar med en sammanlagd biomassa på cirka 165 kg.

Inom detta program provtas djurplankton endast vid Koviksudde. Under perioden 2015–2025 har hoppkräftor dominerat djurplanktonsamhället under våren och senvåren. Förekomsten av hoppkräftor gynnas av kiselalger och dinoflagellater, som också förekom i

relativt höga halter både vid Koviksudde och vid övriga undersökta stationer i skärgården. Under sensommaren och den tidiga hösten minskade tillgången på kiselalger, vilket sammanföll med att hinnkräftorna ökade i antal. Under 2025 dominerade hinnkräftorna tydligt i juli och början av augusti. I september var fördelningen mellan hinnkräftor och hoppkräftor jämnare, medan hoppkräftorna dominerade under resten av året. Den totala biomassan ökade årligen mellan 2015 och 2019, men var därefter lägre under flera år. Minskningen under 2020 och flera av de följande åren bedömdes bero på lägre växtplanktonbiovolym och därmed sämre tillgång på föda. Under 2025 noterades åter en något högre biomassa. Samtidigt som djurplanktonbiomassan ökade och nådde sitt årsmaximum i mitten av juli minskade växtplanktonbiomassan till sin lägsta nivå under sommarhalvåret.

Resultaten från provfiskena visar ett visst samband med variationerna i djurplankton. Under perioden 2016–2025 varierade både det totala antalet fiskar och den sammanlagda biomassan mellan åren, men utvecklingen pekar sammantaget mot högre nivåer i slutet av perioden än i början. Antalet fiskar ökade tydligt fram till 2018–2019, minskade därefter till 2020 och återhämtade sig sedan successivt. Under 2024 noterades mycket höga nivåer, och även 2025 låg det totala antalet fiskar kvar på en hög nivå, trots en viss minskning jämfört med året innan. Den totala fiskbiomassan följde ett liknande mönster, med en topp omkring 2018, en tydlig nedgång 2020 och därefter en återhämtning. Under 2025 var den totala biomassan något lägre än 2024, men fortfarande högre än under flera av de tidigare åren i serien.

Med undantag för nedgången år 2020 dominerade karpfisk under hela perioden, både i antal och biomassa. Gruppen stod därför för en stor del av variationen i det totala fiskbeståndet. Efter nedgången 2020 ökade karpfisken åter och låg även 2025 på en hög nivå, särskilt räknat i antal. Rovfisken uppvisade större variation mellan åren, och någon tydlig långsiktig ökning framträder inte lika klart som för karpfisk. Under 2025 låg rovfisken på en måttlig nivå, med viss återhämtning jämfört med närmast föregående år. Gruppen övriga fiskar förekom i lägre omfattning än karpfisk och rovfisk, men bidrog ändå till den höga totalnivån mot slutet av perioden. Sammantaget visar resultaten att fiskbeståndet vid Koviksudde fortfarande var relativt starkt 2025, även om nivåerna i flera avseenden var något lägre än under toppåret 2024. Det var framför allt karpfisken som präglade situationen, medan rovfisk och övriga fiskar hade mindre betydelse för den totala biomassan.

Vid Koviksudde skiljer sig statusklassningen mellan parametrarna klorofyll *a* och biovolym. Under perioden 2020–2023 klassades biovolymen som *god*, medan medelhalten av klorofyll *a* låg kvar på *otillfredsställande* nivå. Under 2024 sänktes statusen för biovolym till *måttlig*, där den låg kvar även 2025. Statusen för klorofyll *a* var oförändrad under båda dessa år. Efter flera år av förbättring sedan 2012 verkade utvecklingen plana ut efter 2020, men resultaten från de senaste två åren visar i stället en tydligt negativ trend. Den sammanvägda statusklassningen, baserad på både klorofyll *a* och växtplanktonbiovolym under perioden 2023–2025, visar att den ekologiska statusen vid Koviksudde har försämrats och sänkts från *måttlig* till *otillfredsställande*.

Generellt hänger högre bioolymer samman med sämre status, och biovolymen har varierat upp och ned mellan åren. Den genomsnittliga biovolymen var som högst 2004 och som lägst

under perioden 2007–2009. Därefter ökade den gradvis fram till 2012, för att sedan åter minska. Mellan 2016 och 2018 noterades åter höga värden, men efter en nedgång under 2019 och 2020 uppmättes 2021 den högsta toppen sedan 2011. Därefter följde några år med lägre biovolym, men 2025 noterades den tredje högsta biovolymen sedan mätningarna började, med ett värde på 3,63 mm³/L. Klorofyllhalterna varierade samtidigt mellan 7,10 och 17,00 µg/L.

Som jämförelse kan även den andra planktonlokalen i innerskärgården, Blockhusudden, beaktas. Den ligger nära Stockholm Vatten och Avfalls reningsverksutlopp. Blockhusudden klassades som *otillfredsställande* utifrån växtplanktonstatus under samtliga år 2018–2024. Till skillnad från Koviksudde, där utvecklingen försämrats de senaste åren, finns mellan 2018 och 2025 tecken på att utvecklingen vid Blockhusudden kan ha vänt. Under 2025 klassades lokalen som *måttlig*. Denna förbättring går alltså i motsatt riktning mot den negativa utvecklingen vid Koviksudde. I bästa fall kan detta tyda på att de negativa trender som noterats i innerskärgården är tillfälliga, och att en mer positiv utveckling kan vara möjlig även i ett större område.

Bottenfauna undersöks vartannat år inom skärgårdsprogrammet och provtogs senast 2022 och 2024. Resultaten från Koviksudde bedöms tillsammans med resultaten från Bogesund, Tynningö udd och Långbroviken inom den geografiska avgränsningen yttre innerskärgården. Resultaten från 2024 visade, liksom 2022, 2020 och 2018, att den ekologiska statusen var *god*. Tidigare undersökningar visade däremot sämre än *god* status. Trots de positiva resultaten vid Koviksudde 2024 hade de tre övriga lokalerna i yttre innerskärgården försämrats jämfört med 2022. En möjlig förklaring är att syresituationen vid botten är ansträngd. Vid syrebrist är det framför allt störningståliga arter som klarar sig. Generellt har dock den yttre innerskärgården större artrikedom och bättre ekologisk status än den inre delen av skärgården.

Den vattenkemiska variationen i vattenmassan under perioden 2017–2025 redovisas i figur 44–51. Överlag visar parametrarna liknande mönster mellan åren, även om vissa skillnader kan noteras. Ett exempel är att bottenvattentemperaturen var förhöjd under en längre period under sommaren och hösten 2025 jämfört med tidigare år (Figur 44).

Saliniteten vid ytan och botten är starkt kopplad till Mälarens utflöde av sötvatten i ytskiktet och till inflödande saltvatten från mellan- och ytterskärgården vid botten. Under 2025 var Mälarens utflöde mycket stort under årets första och sista månader, vilket gav en tydlig salthaltsskiktning i hela vattenmassan från yta till botten under dessa perioder (Figur 45). Under april–augusti var Mälarflödet lägre, men de högre temperaturerna i ytvattnet bidrog till att skiktningen ändå bestod under sommaren. Salthalten i bottenvattnet var samtidigt stabilt hög under hela året, i likhet med de senaste åren.

Internbelastning av fosfor, det vill säga fosfor som frigörs från bottensedimenten, brukar generellt märkas under hösten. Vid Koviksudde är denna frisättning normalt mycket begränsad, och så var fallet även under 2025 och under åren dessförinnan (Figur 46 och 47). Syreinhållet i bottenvattnet vid Koviksudde var, liksom tidigare, som lägst under hösten. Nivåerna under 2025 var något lägre än 2023 och 2024, men aldrig kritiskt låga (Figur 51). Några tydliga öknings av kvävehalterna nära botten observerades inte heller under 2025,

vilket tyder på att internbelastningen av kväve var låg (Figur 48, 49 och 50). Det finns inte heller några tecken på att utsläppen av renat avloppsvatten från reningsverken under 2025 bidrog till några märkbara öknings av kvävehalterna vid Koviksudde (Figur 49).

Inom recipientkontrollprogrammet provtas sediment i Stockholms skärgård ungefär vart tionde år. Den senaste undersökningen genomfördes 2021 och redovisas i rapporten *Undersökningar i skärgården 2021*. Vid Södra Höggarnsfjärden, som är den lokal som ligger närmast Koviksudde, visade resultaten att halterna av koppar, krom, kvicksilver och bly var mycket höga enligt klassgränserna i *Naturvårdsverkets rapport 4914*. Jämfört med sedimentundersökningarna 1999 och 2009 hade halterna av dessa metaller ökat. Övriga analyser visade att halterna av zink var höga, kadmiumhalterna medelhöga och att arsenik, kobolt och nickel förekom i låga koncentrationer. Kadmiumhalterna verkade dock ha minskat något jämfört med tidigare undersökningar. Bland de övriga analyserade ämnena utmärkte sig flera polycykliska aromatiska kolväten (PAH) genom höga halter, medan tributyltenn (TBT) förekom i mycket höga koncentrationer. Dessutom uppmättes höga till mycket höga halter av polyklorerade bifenyler (PCB) enligt klassgränserna i *SGU-rapport 2017:12*.



Koviksudde. Foto: Joakim Lücke.

2025 års undersökningar i korthet

De fem viktigaste slutsatserna utifrån årets undersökningar är:

1. Högre än normalt utflöde från Mälaren ökade transporten av näringsämnen

Under 2025 uppgick utflödet från Mälaren till 5 262 Mm³, vilket var lägre än 2024 men högre än genomsnittet för den senaste tioårsperioden. Flödena var särskilt höga i januari, februari och december. Totalt transporterades 132 ton fosfor och 3 236 ton kväve till Saltsjön, vilket var mer än normalt. Fosforhalterna låg nära det normala, medan kvävehalterna var något förhöjda. Detta innebär att Mälaren fortsatt hade stor betydelse för både vattenomsättning och näringsbelastning i skärgården.

2. Lägre utsläpp från reningsverken minskade belastningen på skärgården

De tre stora avloppsreningsverken, Henriksdal, Bromma och Käppala, släppte under 2025 ut 35 ton fosfor och 1 472 ton kväve, vilket var lägre än både föregående år och genomsnittet för det senaste decenniet. Även utsläppen av syreförbrukande ämnen var lägre än normalt. Någon tydlig uppträngning av renat avloppsvatten till ytan nära utsläppspunkterna observerades inte under året, och ammoniumhalterna i ytvattnet var överlag låga. Reningsverkens påverkan var därmed något mindre än under de närmast föregående åren.

3. Tydlig vattenskiktning begränsade uppblandningen i innerskärgården

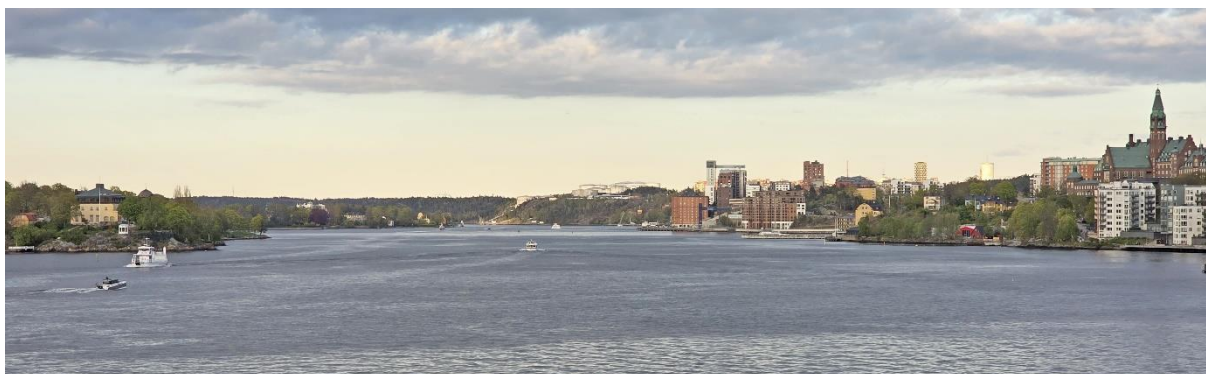
Under vintern och den tidiga våren var vattenskiktningen i innerskärgården stabil, främst till följd av det stora utflödet från Mälaren. När flödet senare minskade försvagades skiktningen, men den bestod ändå till följd av temperaturförhållandena. Höstomblandningen inträffade först i november. Den tydliga skiktningen bidrog under större delen av året till att motverka att renat avloppsvatten trängde upp till ytan.

4. Syre-, närings- och siktförhållandena var överlag normala

Syrehalterna följde i huvudsak det normala säsongsmönstret, med högre nivåer under våren och lägre före höstomblandningen. Totalfosforhalterna låg ungefär i nivå med tidigare år, men var något förhöjda nära botten under hösten. Totalkvävehalterna var högst vid Slussen och Blockhusudden, nära reningsverkens utsläpp. Fosfatfosforhalterna i bottenvattnet vid Slussen var kraftigt förhöjda under hösten, sannolikt kopplat till ombyggnaden av Slussenområdet. Samtidigt var klorofyllhalterna normala och årsmedelvärdet för siktdjupet i innerskärgården var 4,2 meter, något bättre än året innan.

5. Växtplanktonstatusen varierade och flera områden försämrades

Växtplanktonanalyserna för perioden 2023–2025 visade god ekologisk status i Trälhavet och Sollenkroka, måttlig status i fem områden och otillfredsställande status vid Koviksudde. Under 2025 försämrades statusen ytterligare vid Koviksudde, medan Blockhusudden förbättrades till måttlig status. Samtidigt försämrades NV Eknö, Baggensfjärden och Ägnöfjärden, och för de två senare innebär detta en förändring från god till måttlig status. Resultaten visar att vattenkvaliteten överlag var stabil, men att flera biologiska indikatorer fortfarande pekar på känsliga eller påverkade områden.



Saltsjön med Valdemarsudde på Djurgården till vänster och Danvikshem i Nacka till höger. Foto: Joakim Lücke.

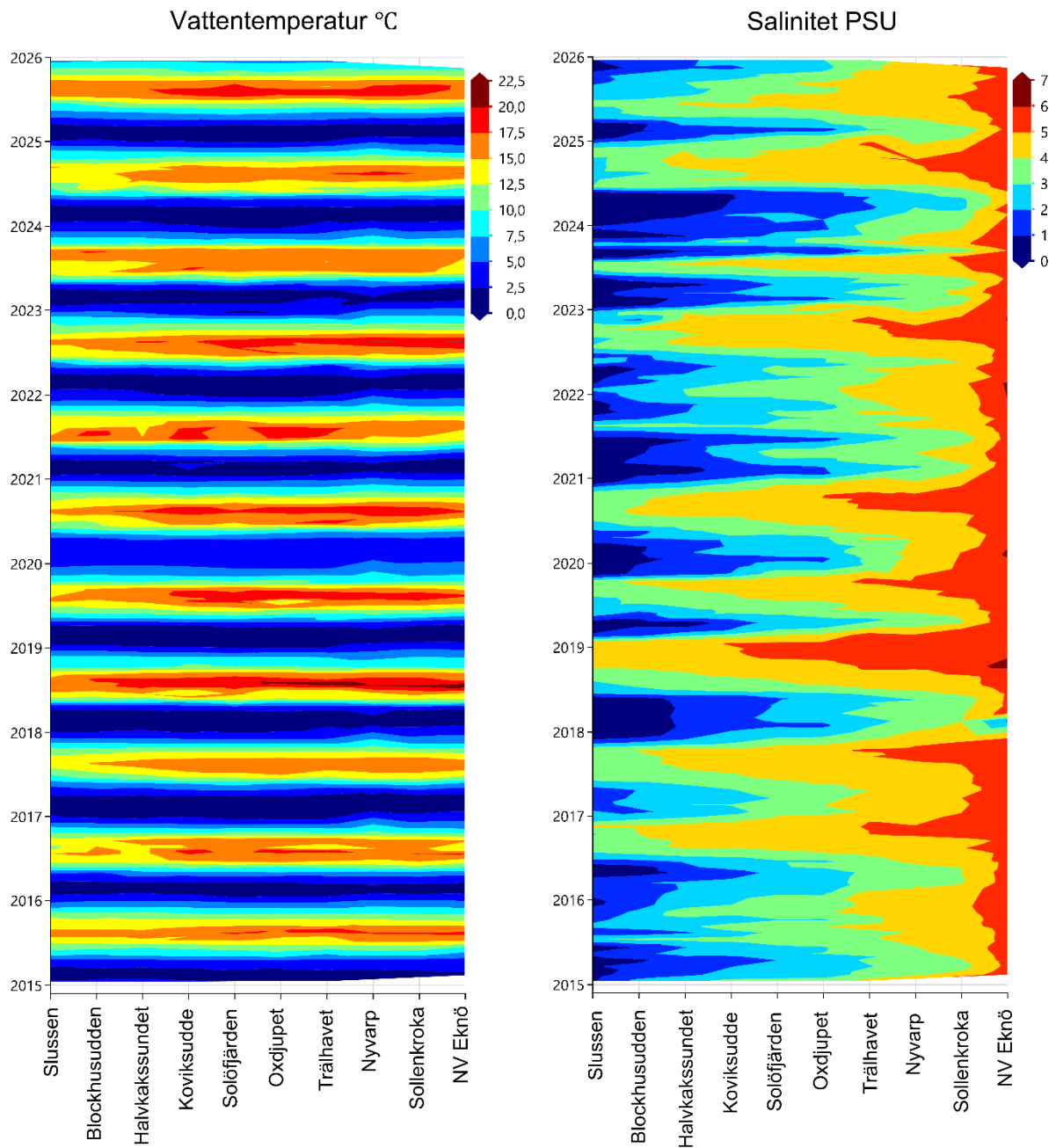


Fullriggaren HMS af Chapman är sedan 1949 förtöjd vid Skeppsholmskajen och används som vandrarhem. Bortom passagerarbåtarna i fjärran sticker Henrikdals avloppsreningsverks skorsten upp. Foto: Joakim Lücke.

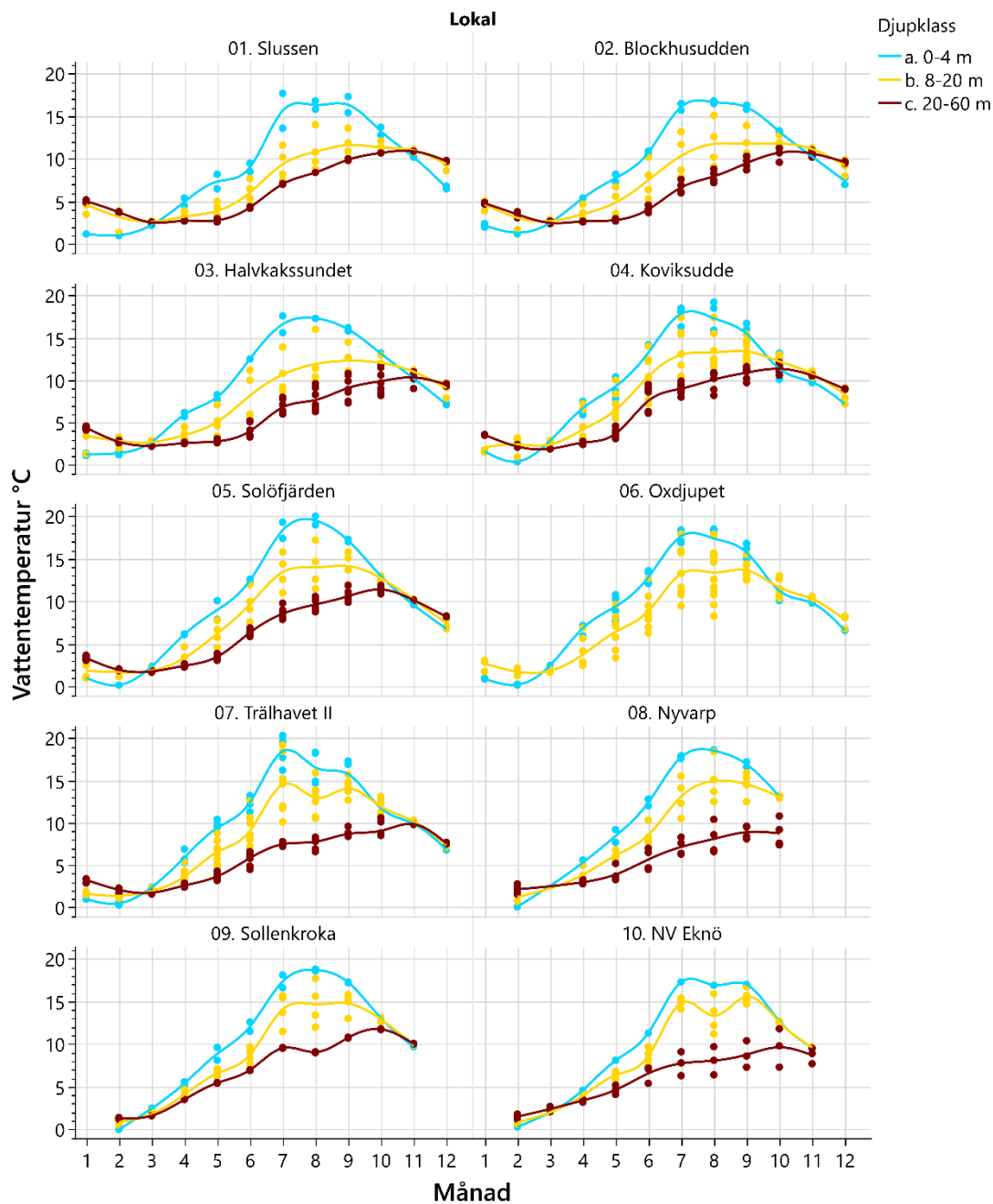


M/S Dalarö byggdes 2004 i Riga i Lettland, färdigställdes 2005 i Kolvereid i Norge och har trafikerat Stockholms skärgård sedan den 15 mars samma år. Foto: Joakim Lücke.

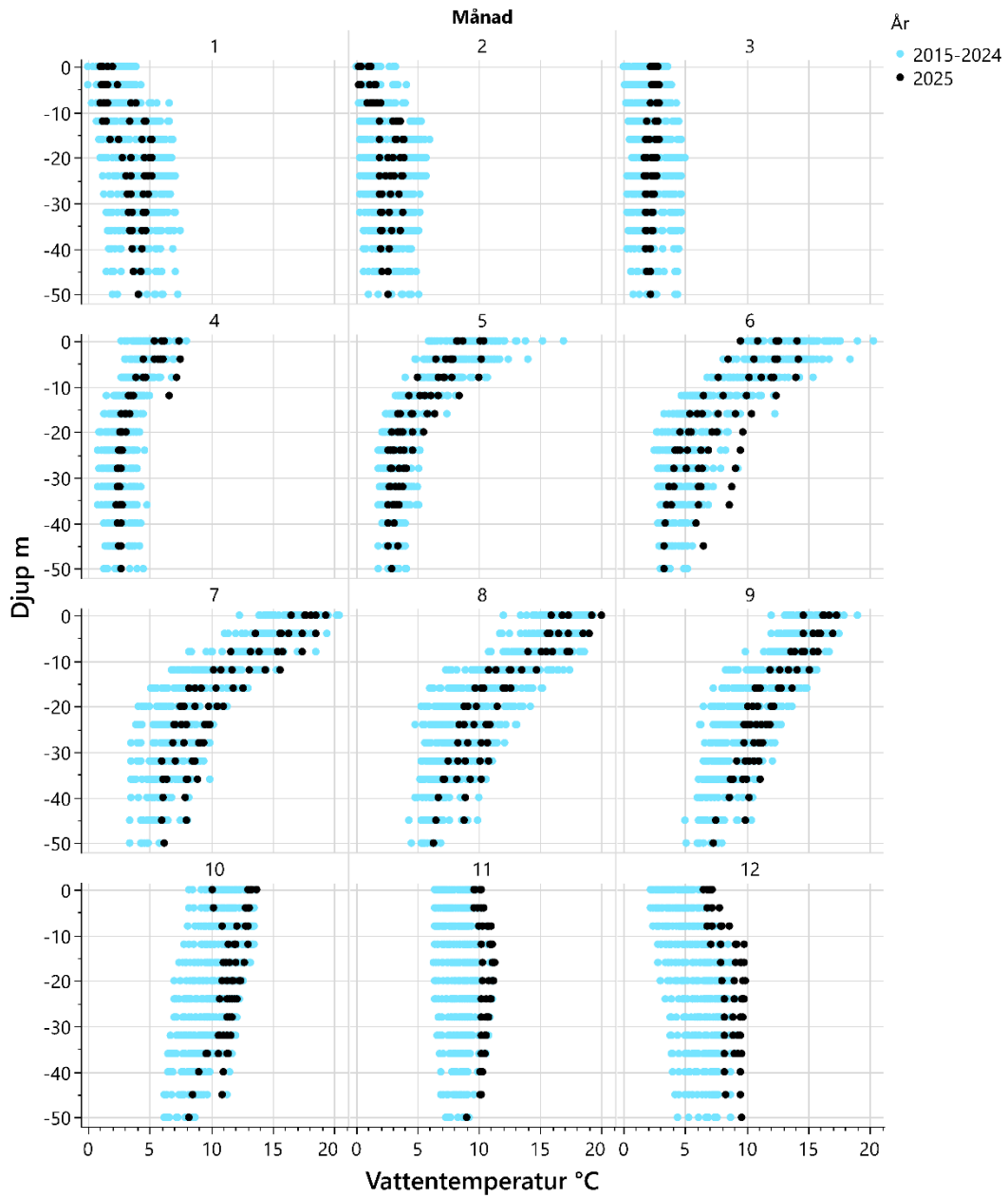
Figursamling



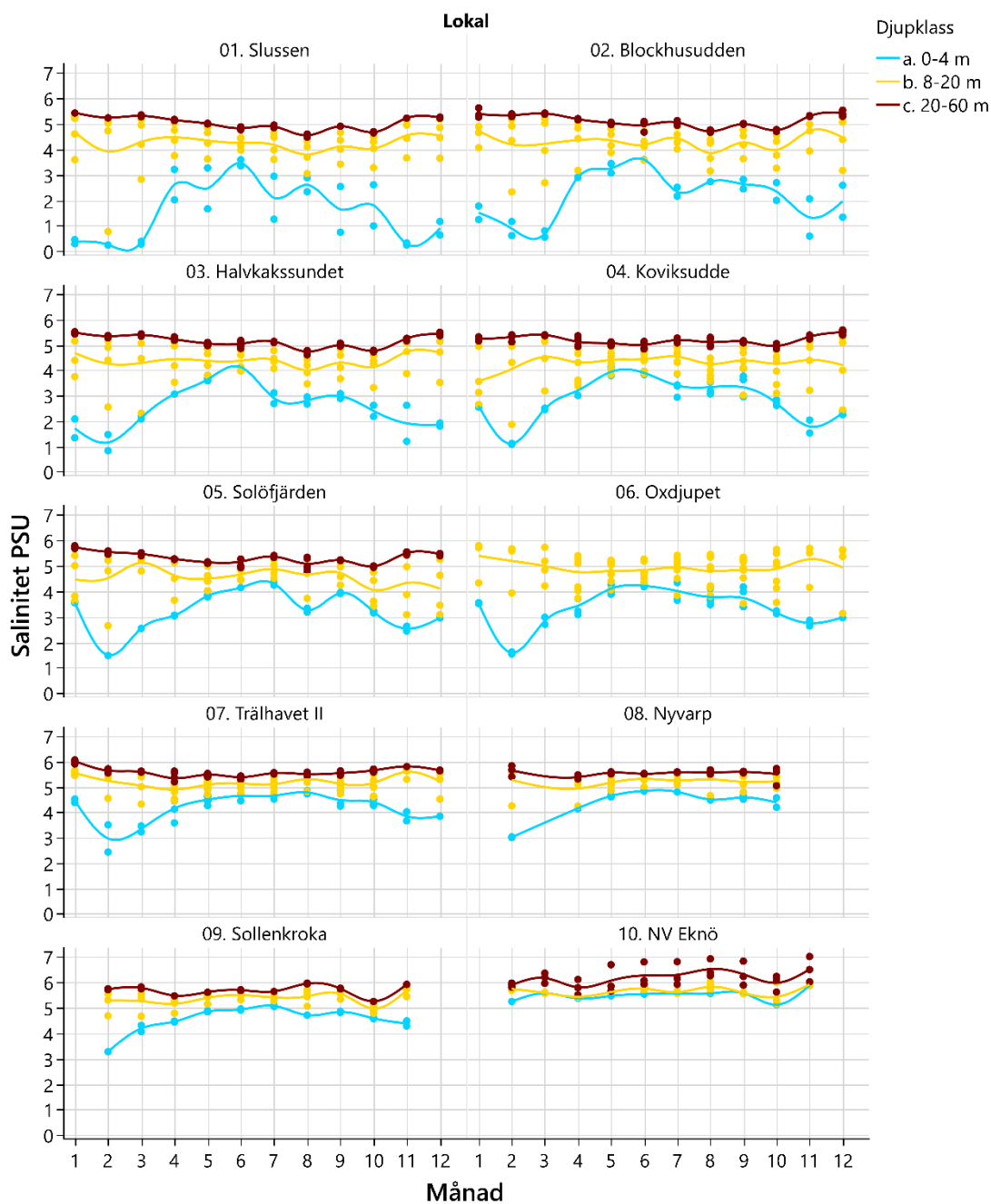
Figur 11. Fördelningen av temperatur och salinitet i ytvattnet (0–4 m) i segelleden mellan Slussen och NV Eknö 2015–2025.



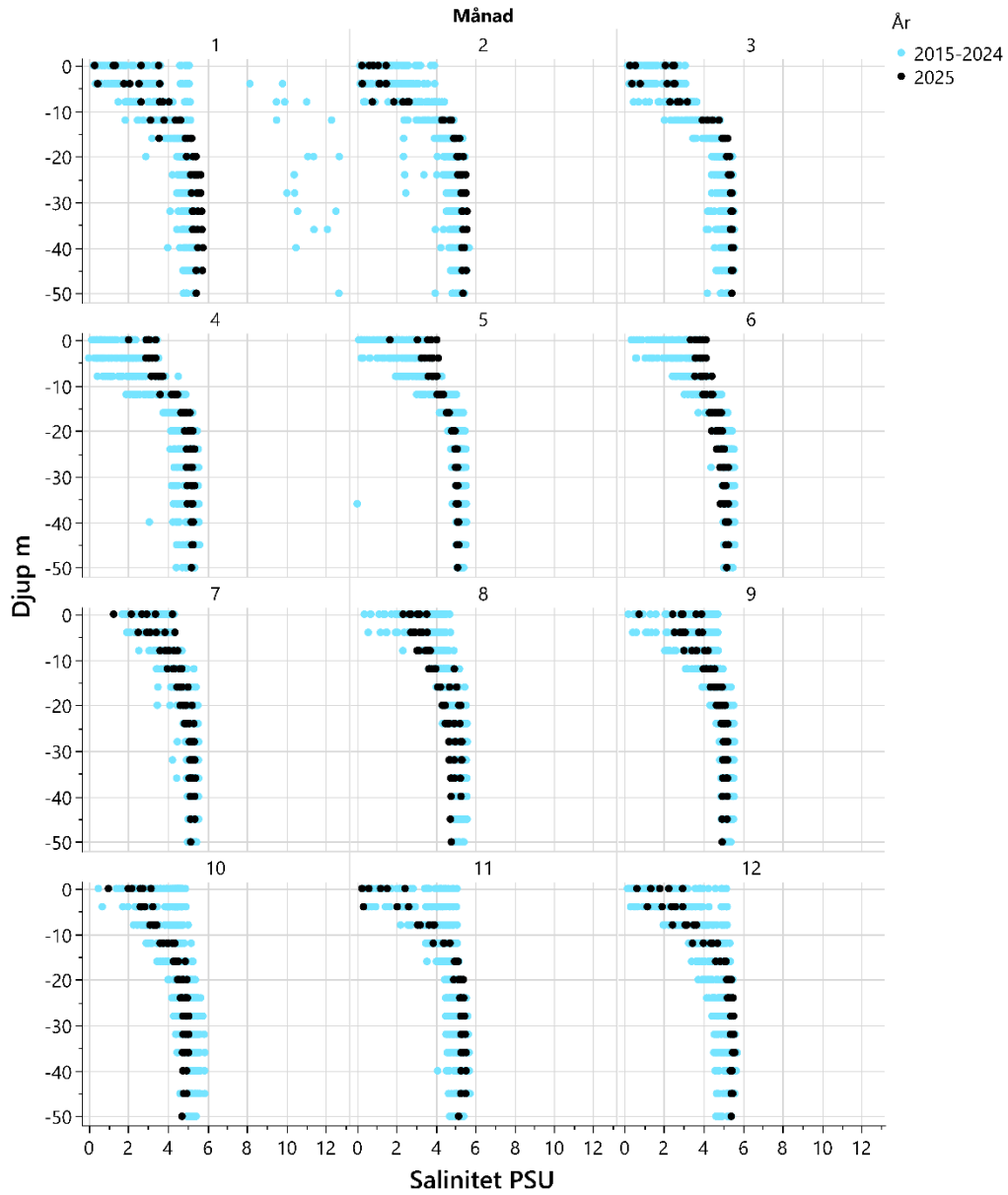
Figur 12. Variation av temperaturen i ytvattnet (0–4 m; blå), en bit ner (8–20 m; gul), och i bottenvattnet (>20 m; röd) under året 2025 längs med segelleden. Linjerna anger medelvärden, och prickarna visar de faktiska analysresultaten.



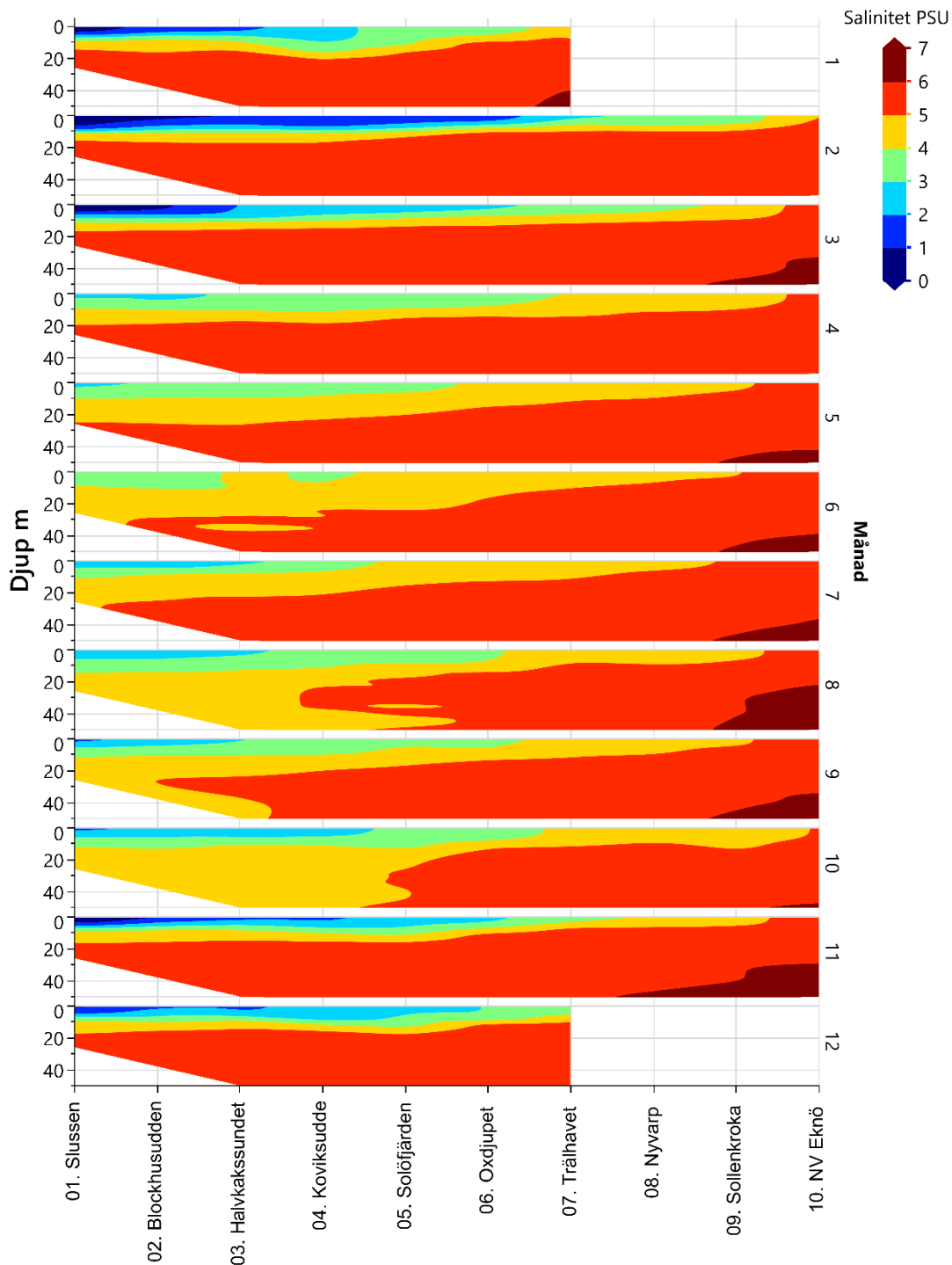
Figur 13. Vattentemperatur under året i segelledens innerskärgårdslokaler (Slussen–Solöfjärden) under 2025 (svarta prickar) och 2015–2024 (blåa prickar).



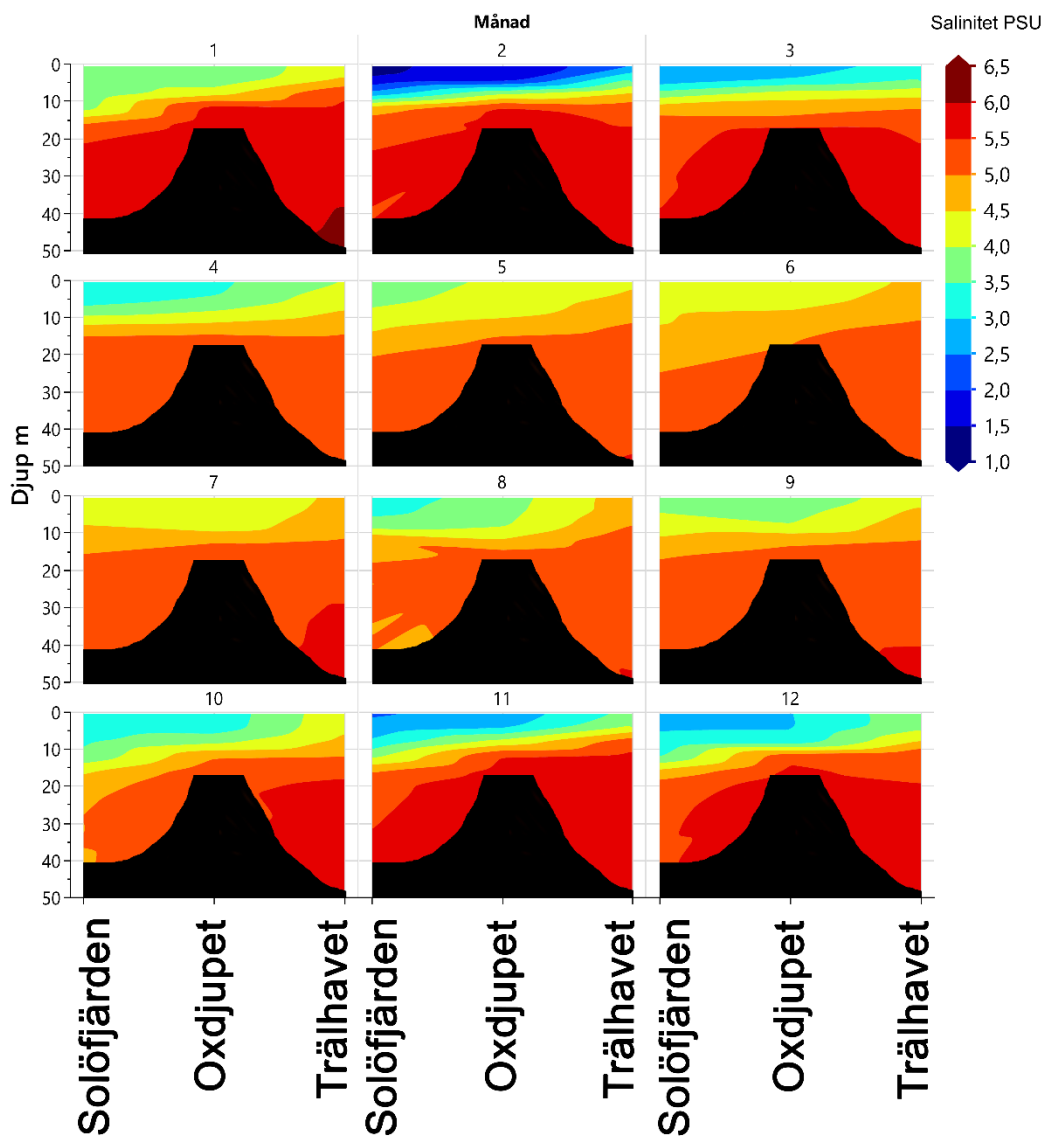
Figur 14. Variation av saliniteten i ytvattnet (0–4 m; blå), en bit ner (8–20 m; gul), och i bottenvattnet (>20 m; röd) under året 2025 längs med segelleden. Linjerna anger medelvärden, och prickarna visar de faktiska analysresultaten.



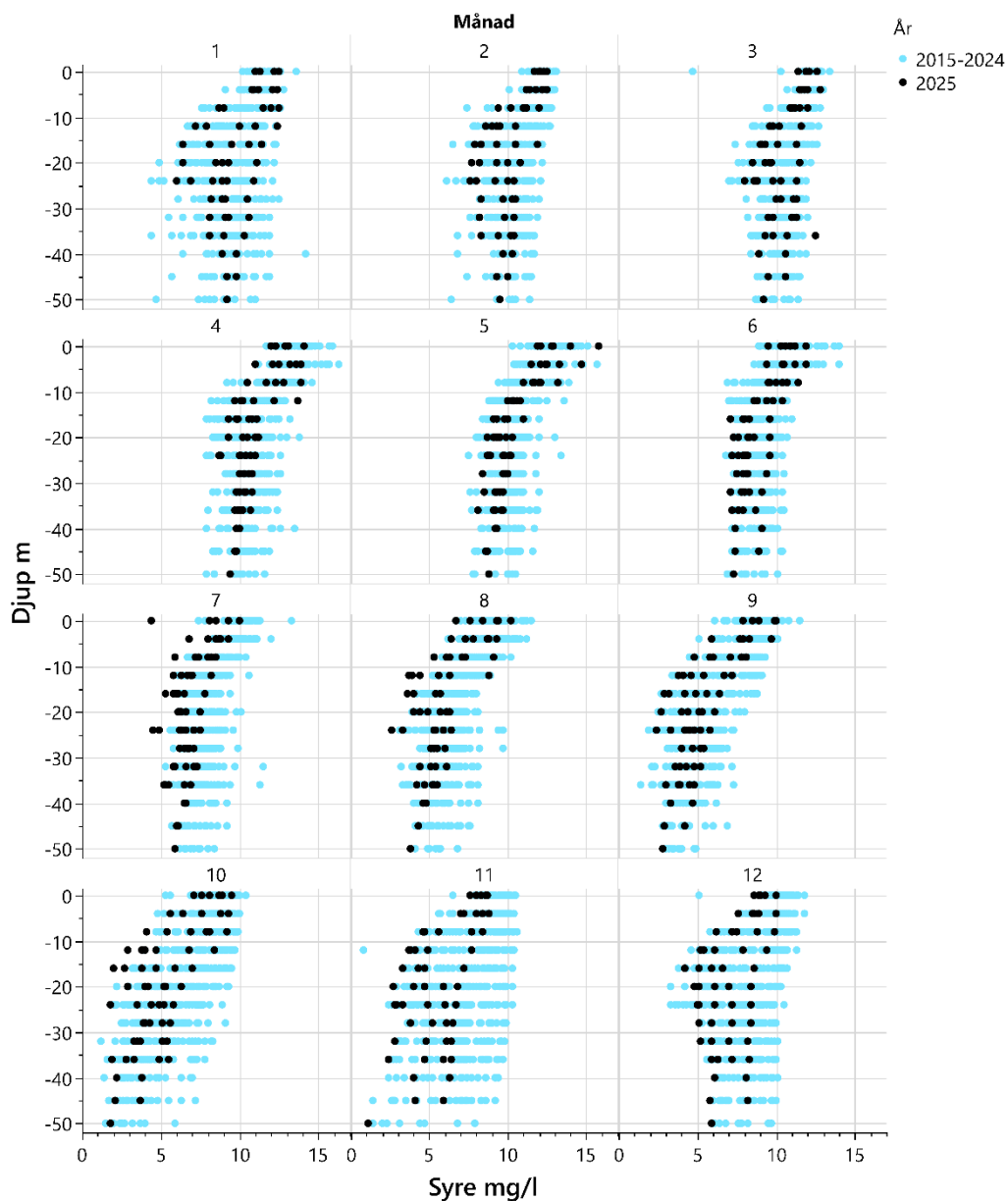
Figur 15. Salinitet under året i segelledens innerskärgårdslokaler (Slussen–Solöfjärden) under 2025 (svarta prickar) och 2015–2024 (blåa prickar).



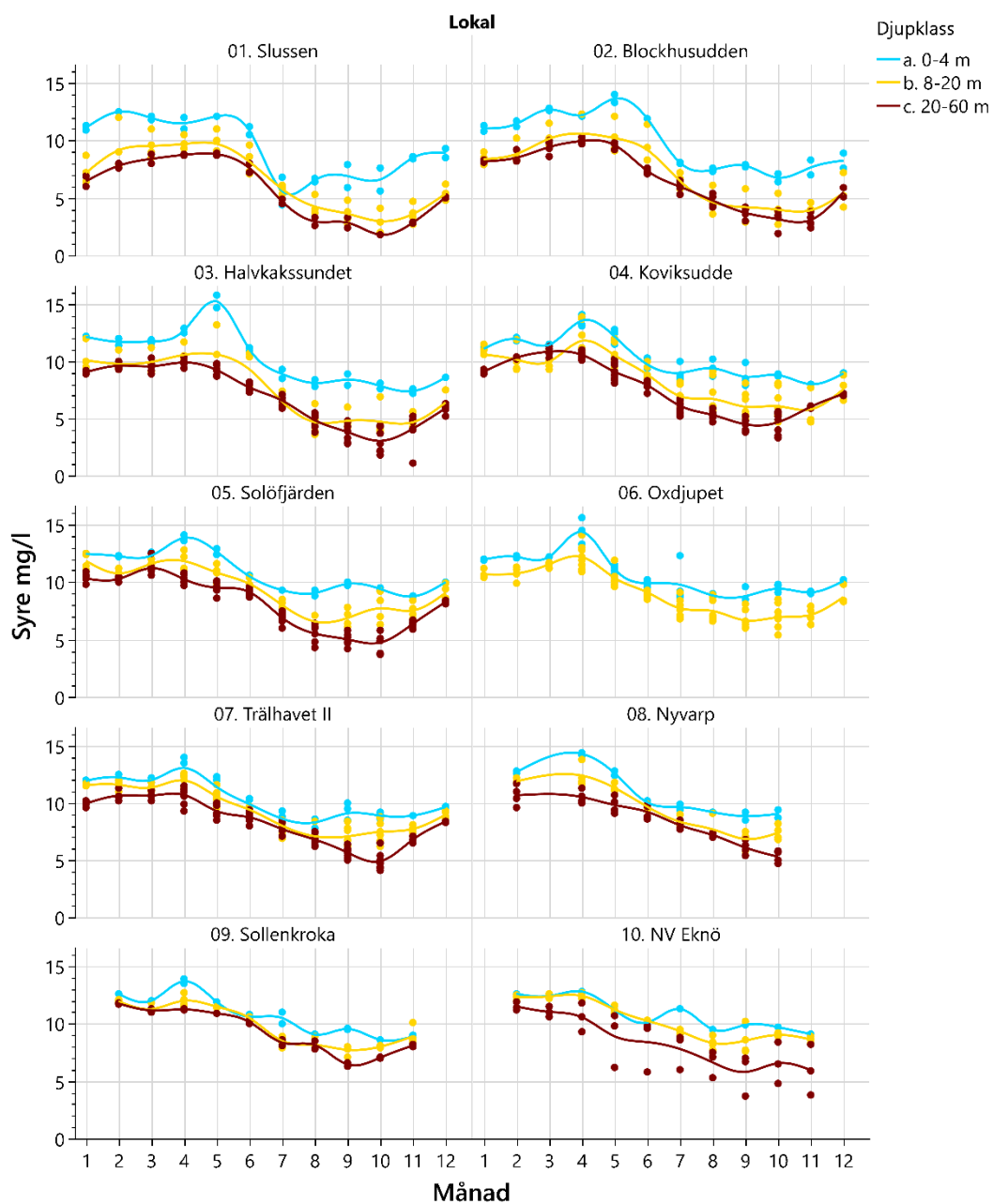
Figur 16. Fördelning av salinitet på 0–50 m djup längs med segelleden mellan Slussen och NV Eknö månadsvis under 2025.



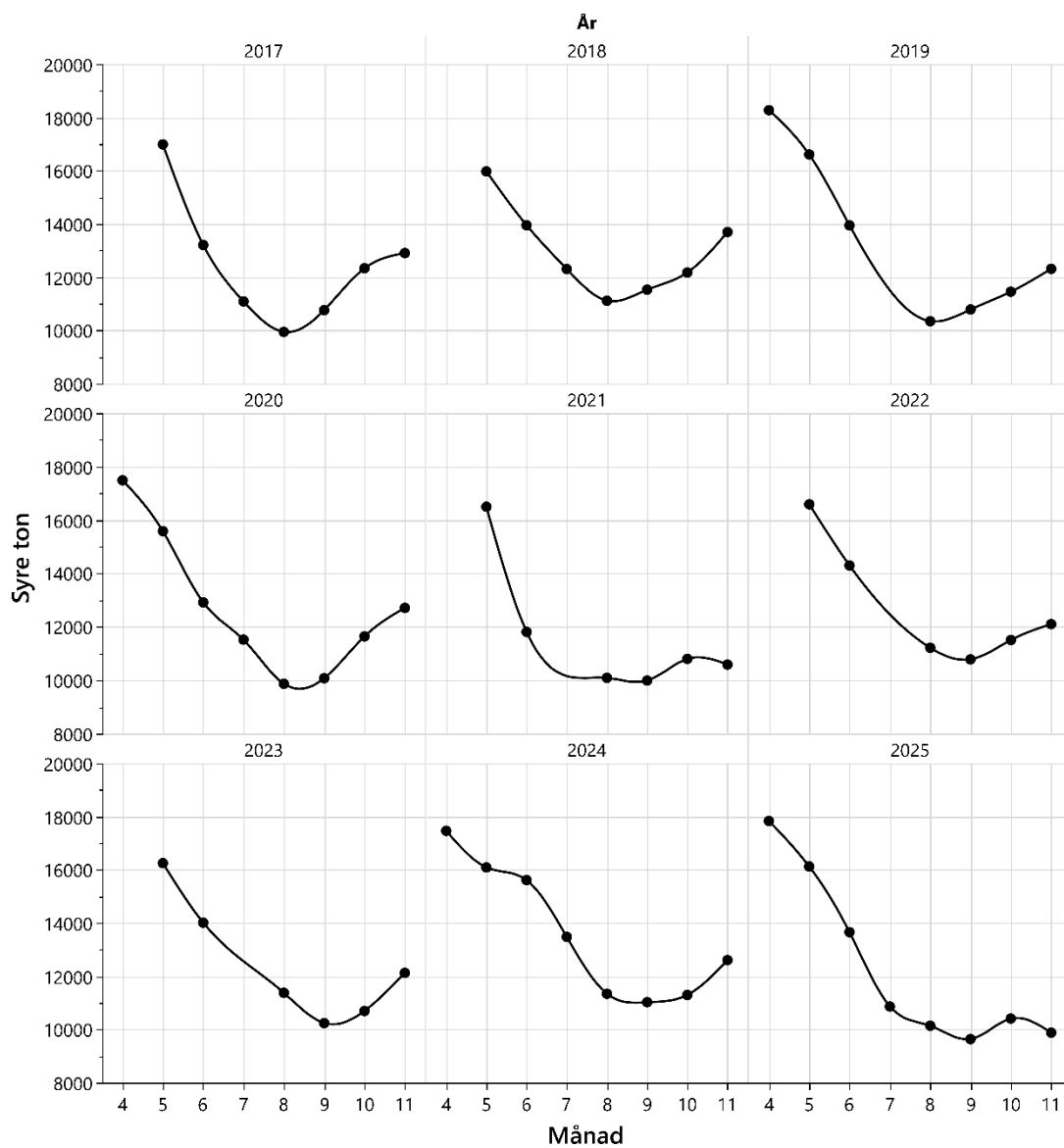
Figur 17. Den inåtgående strömmen under 2025. Den svarta ytan symboliserar tröskeln vid Oxdjupet, vars högsta topp markerar bottenströskeln på 18 m djup. Utifrån salthalt vid Oxdjupets botten kan ungefärligt ursprungsdjup i Trälhavet och inlagringsdjup i Solöfjärden uppskattas. På grund av utebliven provtagning i Solöfjärden och Trälhavet i januari saknas illustration för den månaden.



Figur 18. Syrehalten under året i segelledens innerskärgårdslokaler (Slussen–Solöfjärden) under 2025 (svarta prickar) och 2015–2024 (blåa prickar).

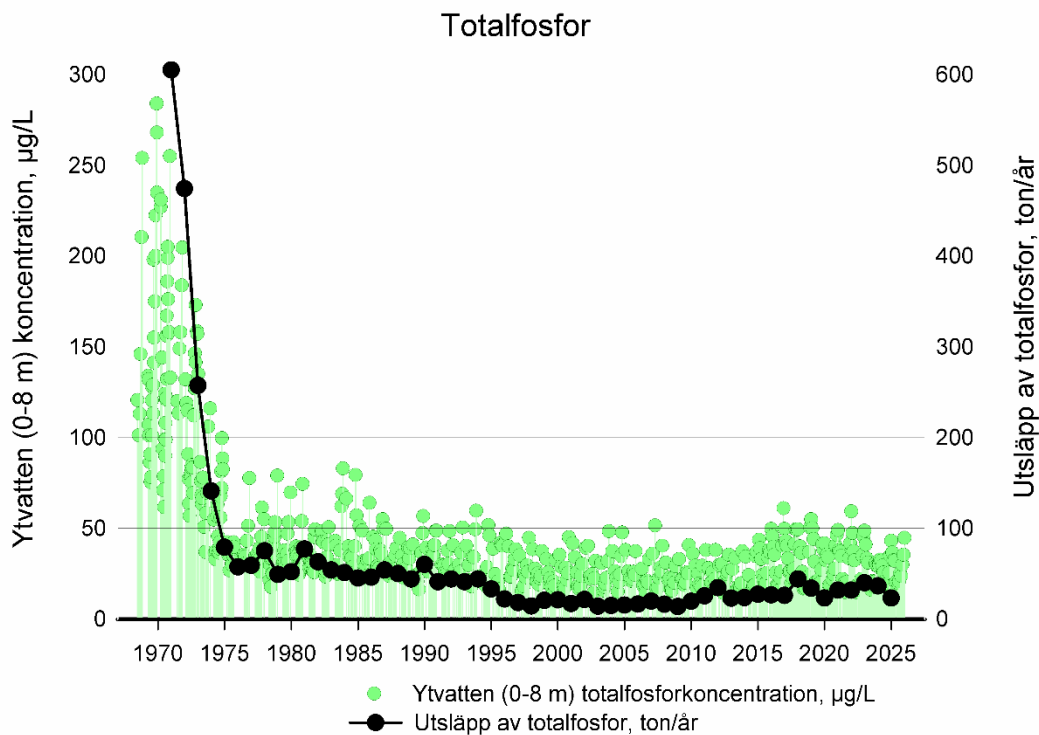
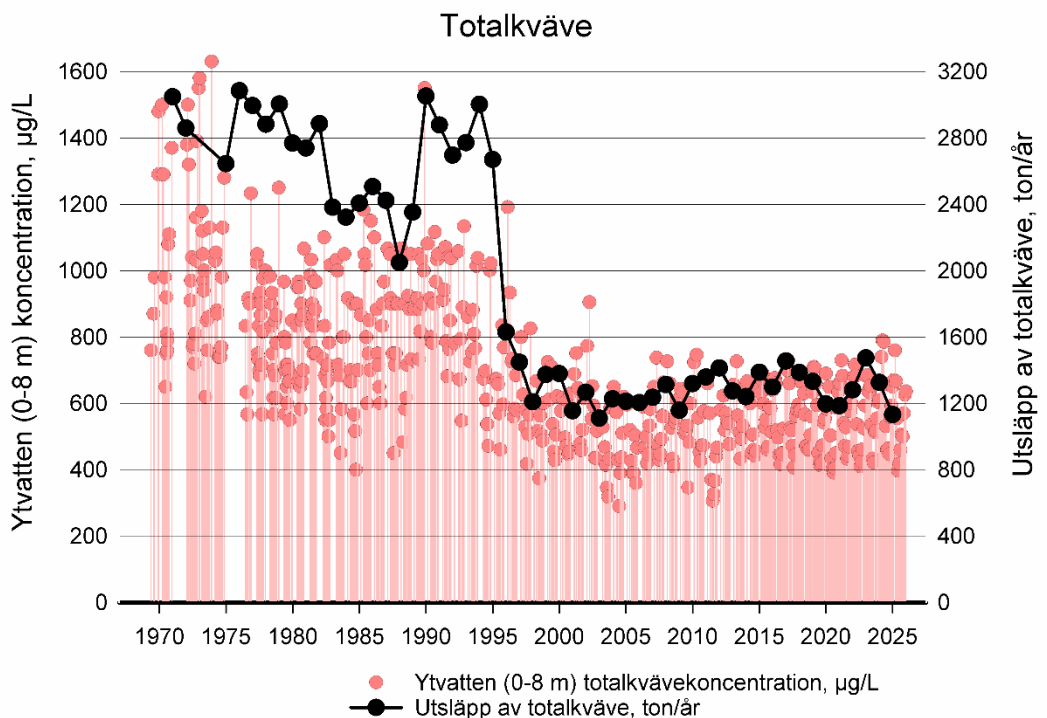


Figur 19. Variation av syrehalten i ytvattnet (0–4 m; blå), en bit ner (8–20 m; gul), och i bottenvattnet (>20 m; röd) under året 2025 längs med segelleden. Linjerna anger medelvärden, och prickarna visar de faktiska analysresultaten.

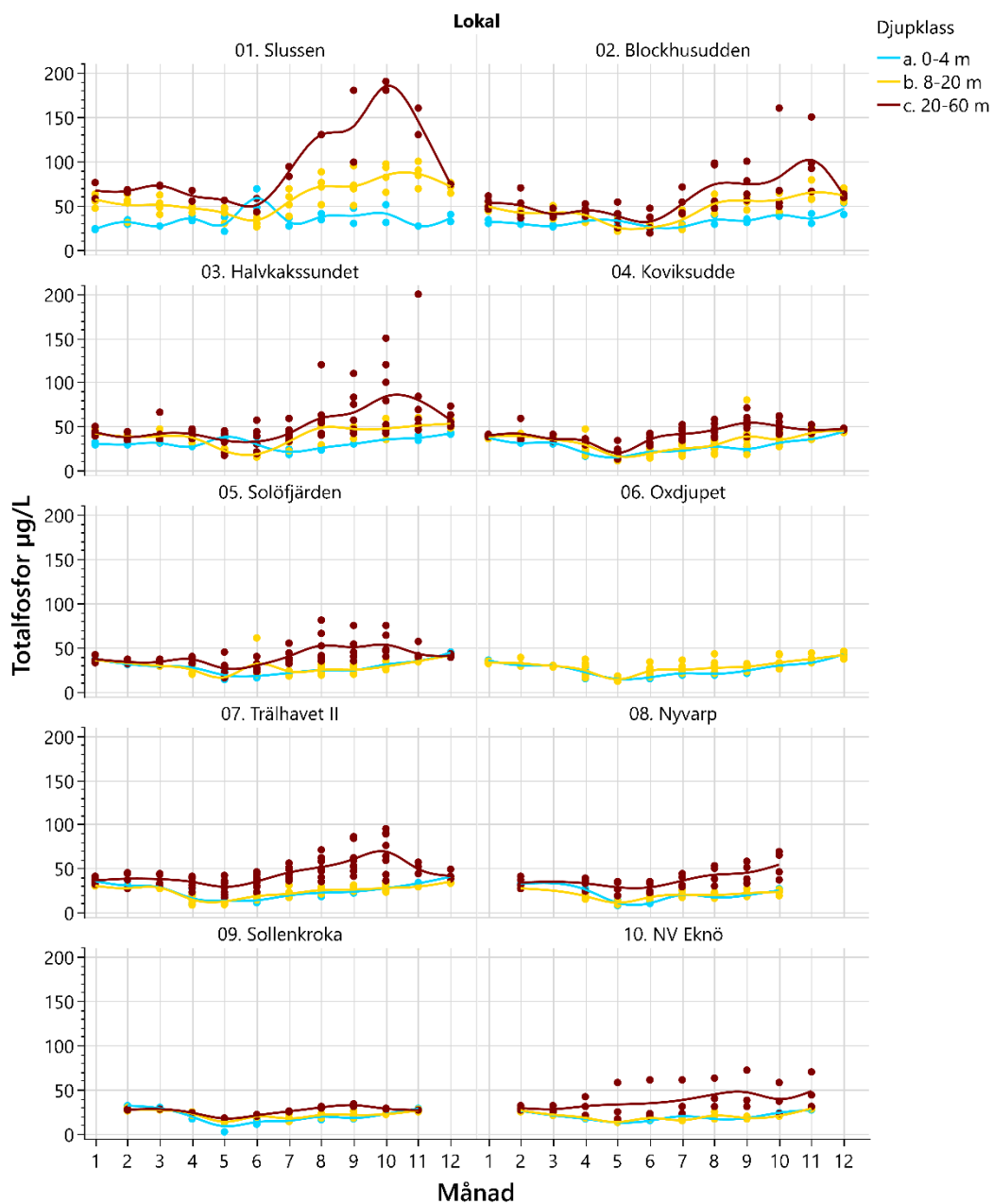


Figur 20. Total syremängd i innerskärgården april–november 2017–2025.

Koviksudde



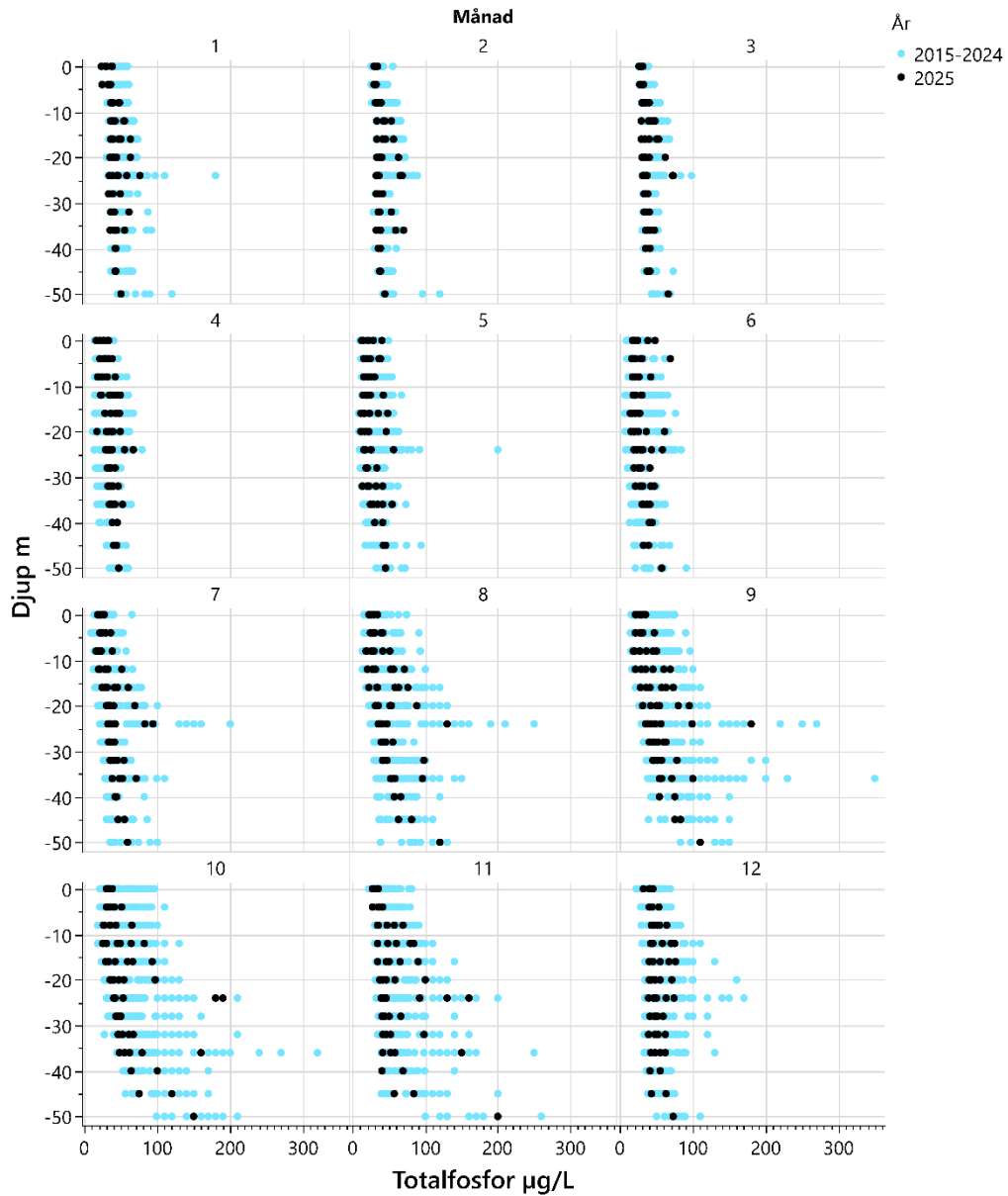
Figur 21. Utsläpp av kväve och fosfor i det rena avloppsvattnet från Stockholm Vatten och Avfalls avloppsreningsverk 1968–2025 jämfört med halten av kväve och fosfor i ytvattnet (0–8 m) vid Koviksudde. Observera att ytvattnet här definieras som vattenmassan från ytan ned till 8 meters djup.



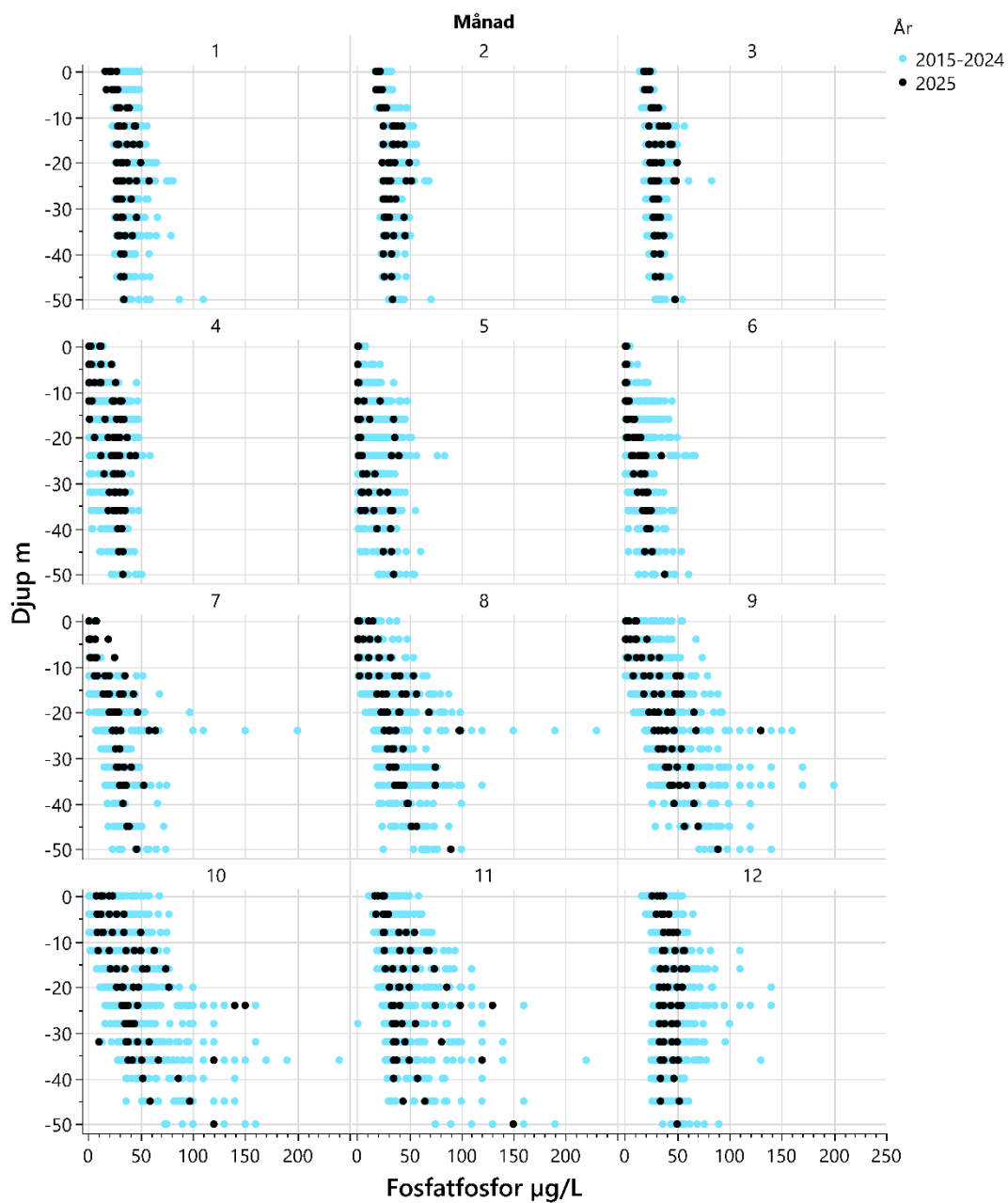
Figur 22. Variation av totalfosforhalten i ytvattnet (0–4 m; blå), en bit ner (8–20 m; gul), och i bottenvattnet (>20 m; röd) under året 2025 längs med segelleden. Linjerna anger medelvärden, och prickarna visar de faktiska analysresultaten.



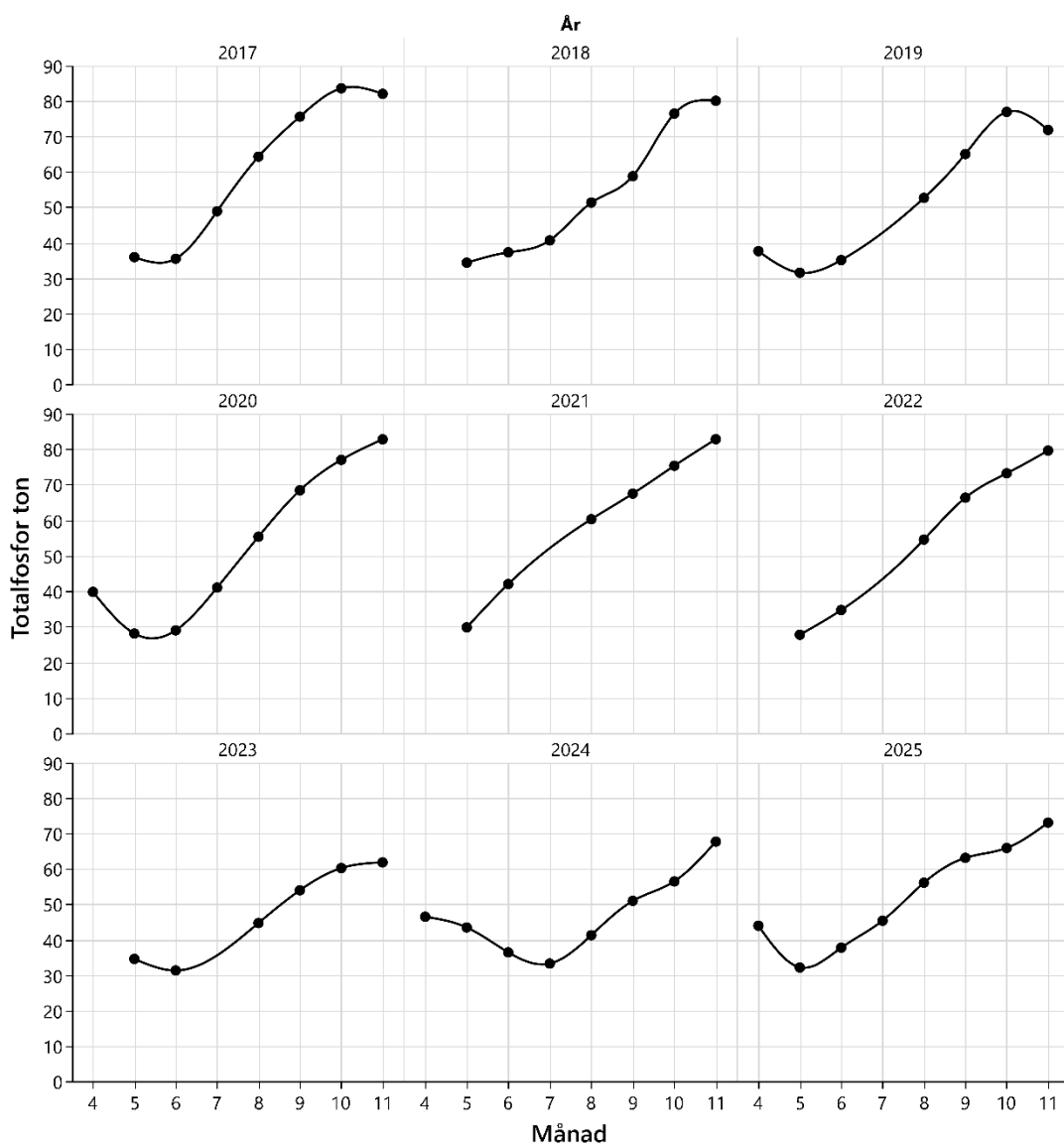
Figur 23. Variationen av fosfat i ytvattnet (0–4 m; blå), en bit ner (8–20 m; gul), och i bottenvattnet (>20 m; röd) under året 2025 längs med segelleden. Linjerna anger medelvärden, och prickarna visar de faktiska analysresultaten.



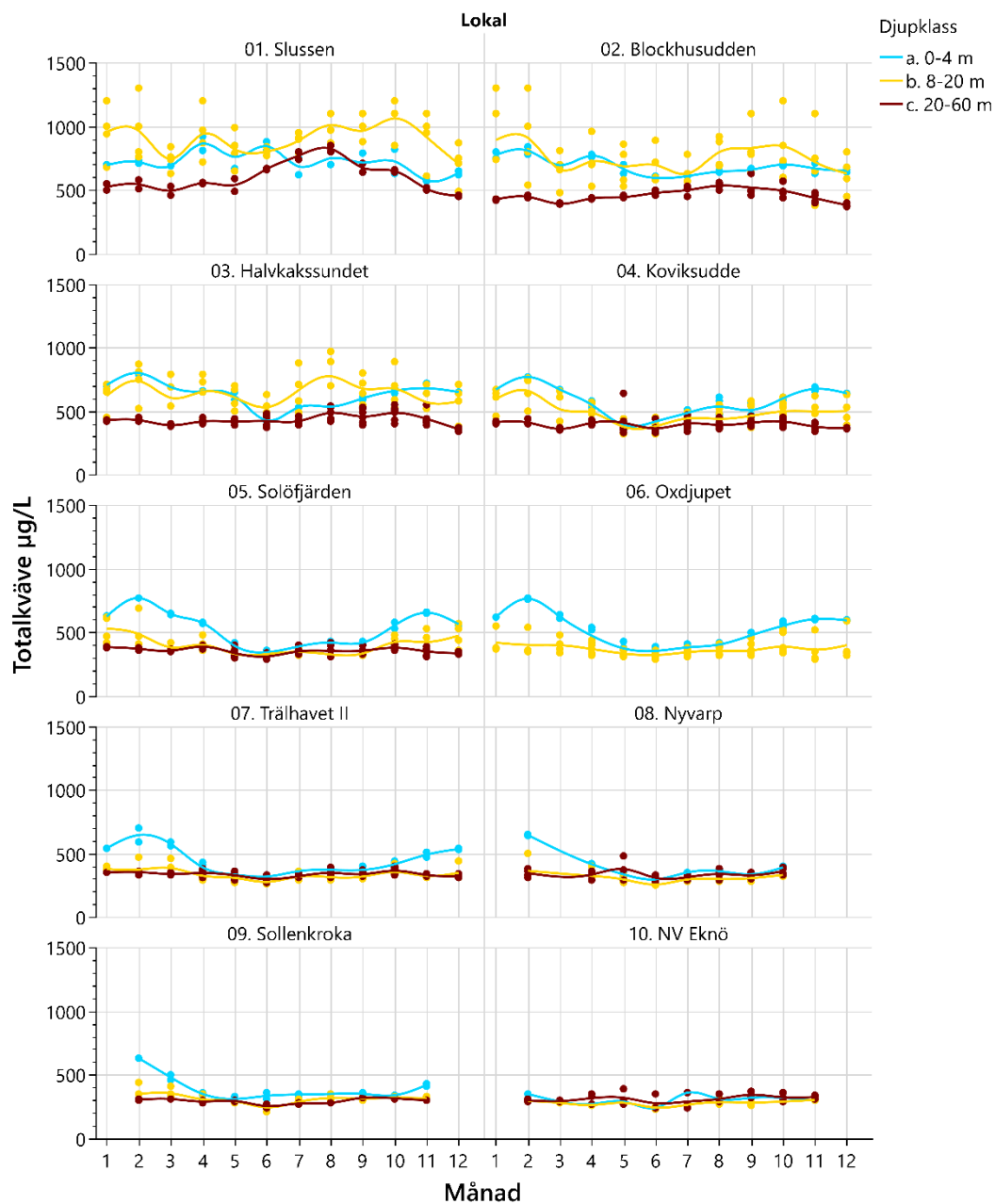
Figur 24. Totalfosforhalten under året i segelledens innerskärgårdslokaler (Slussen–Solöfjärden) under 2025 (svarta prickar) och 2015–2024 (blåa prickar).



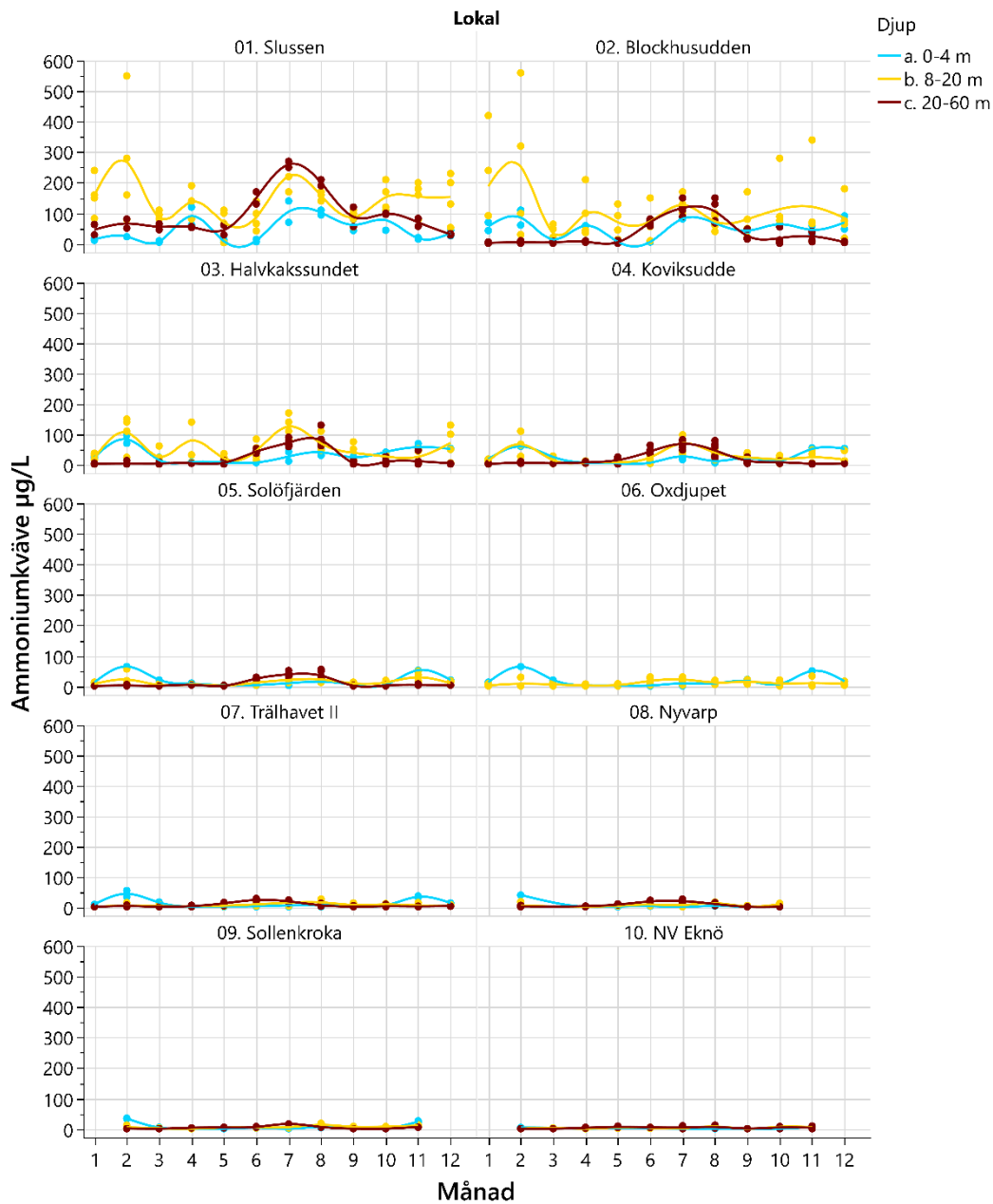
Figur 25. Fosfatfosforhalten under året i segelledens innerskärgårdslokaler (Slussen–Solöfjärden) under 2025 (svarta prickar) och 2015–2024 (blåa prickar).



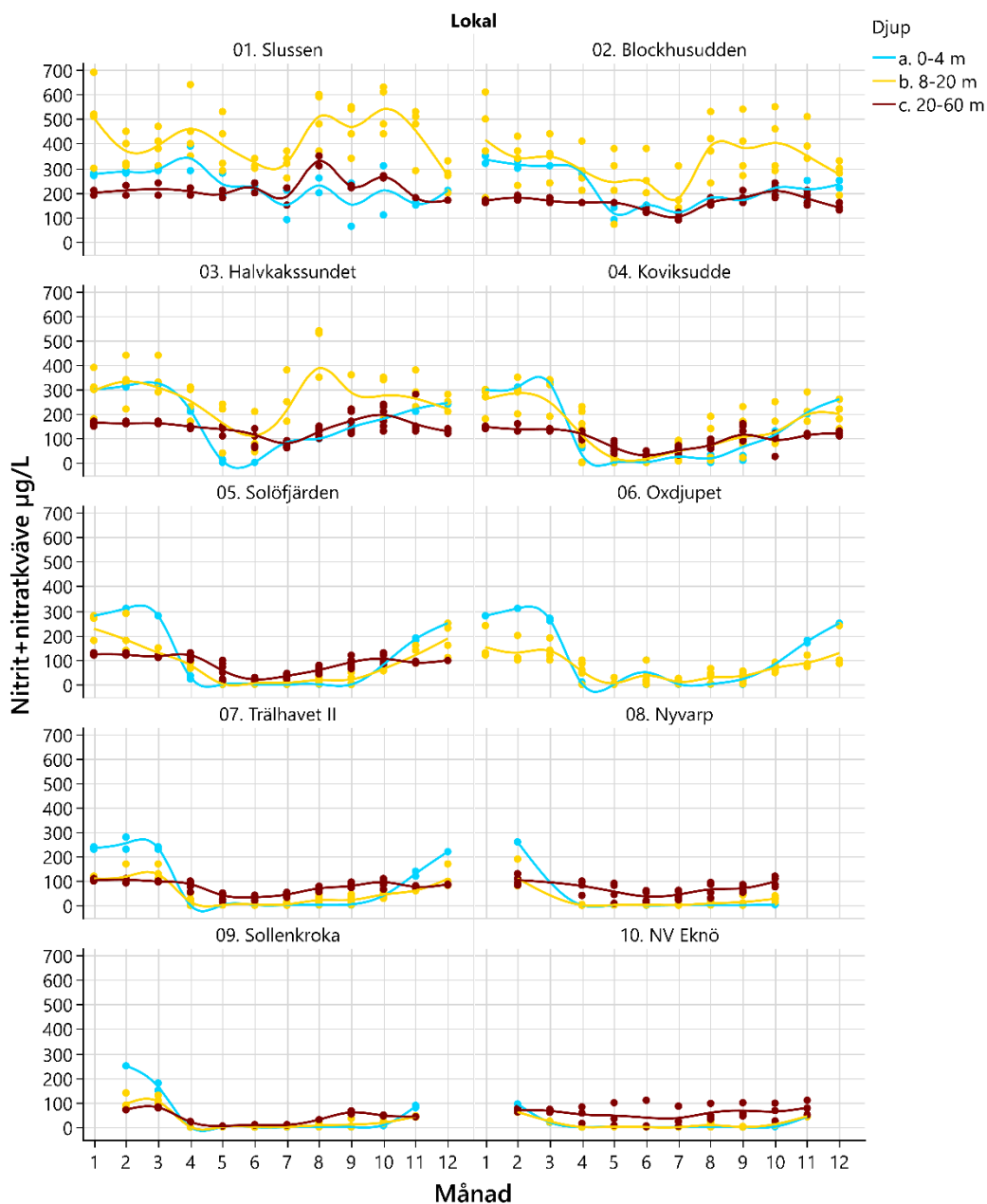
Figur 26. Total fosformängd i innerskärgården april–november 2017–2025.



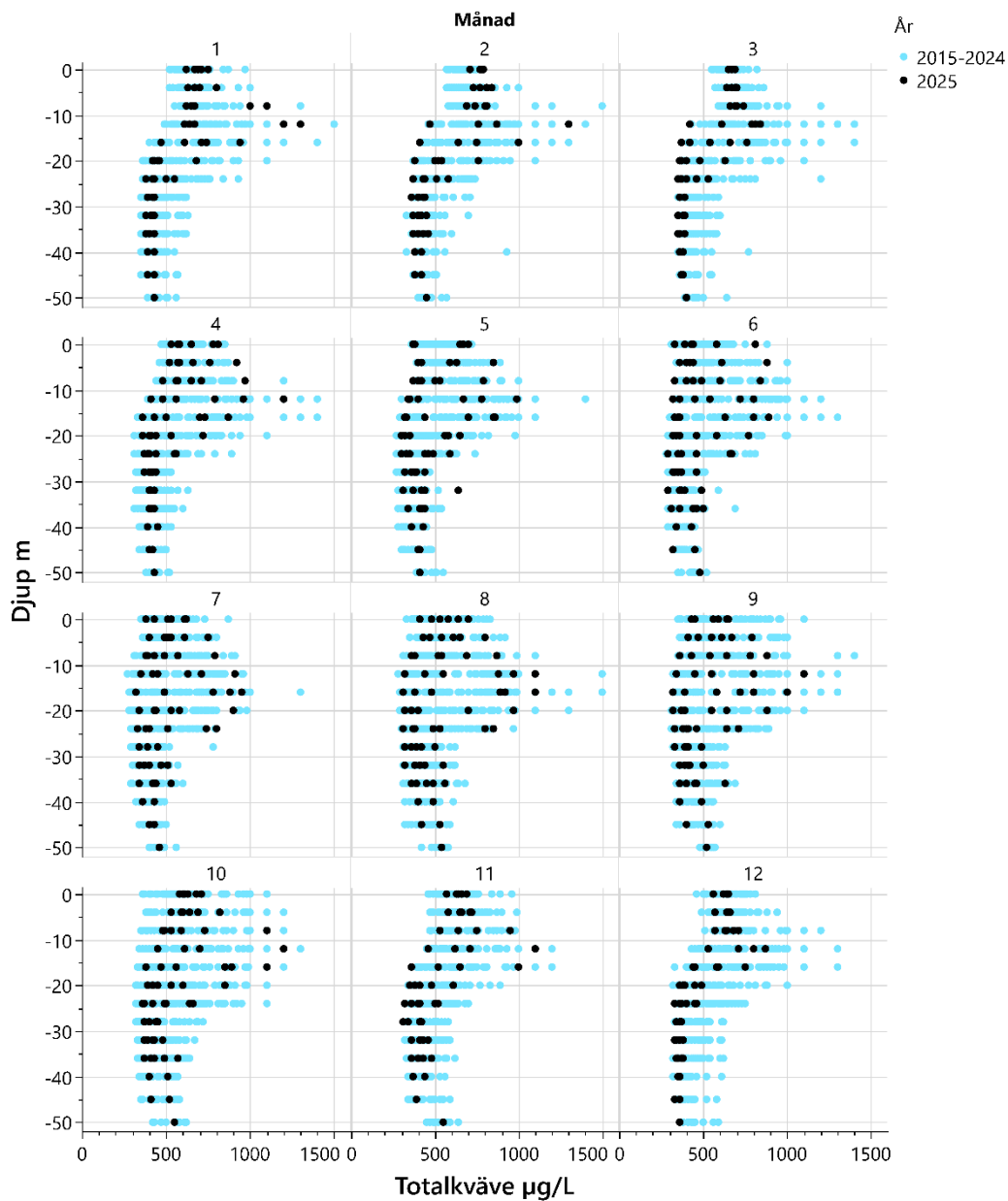
Figur 27. Variation av totalkvävehalten i ytvattnet (0–4 m; blå), en bit ner (8–20 m; gul), och i bottenvattnet (>20 m; röd) under året 2025 längs med segelleden. Linjerna anger medelvärden, och prickarna visar de faktiska analysresultaten.



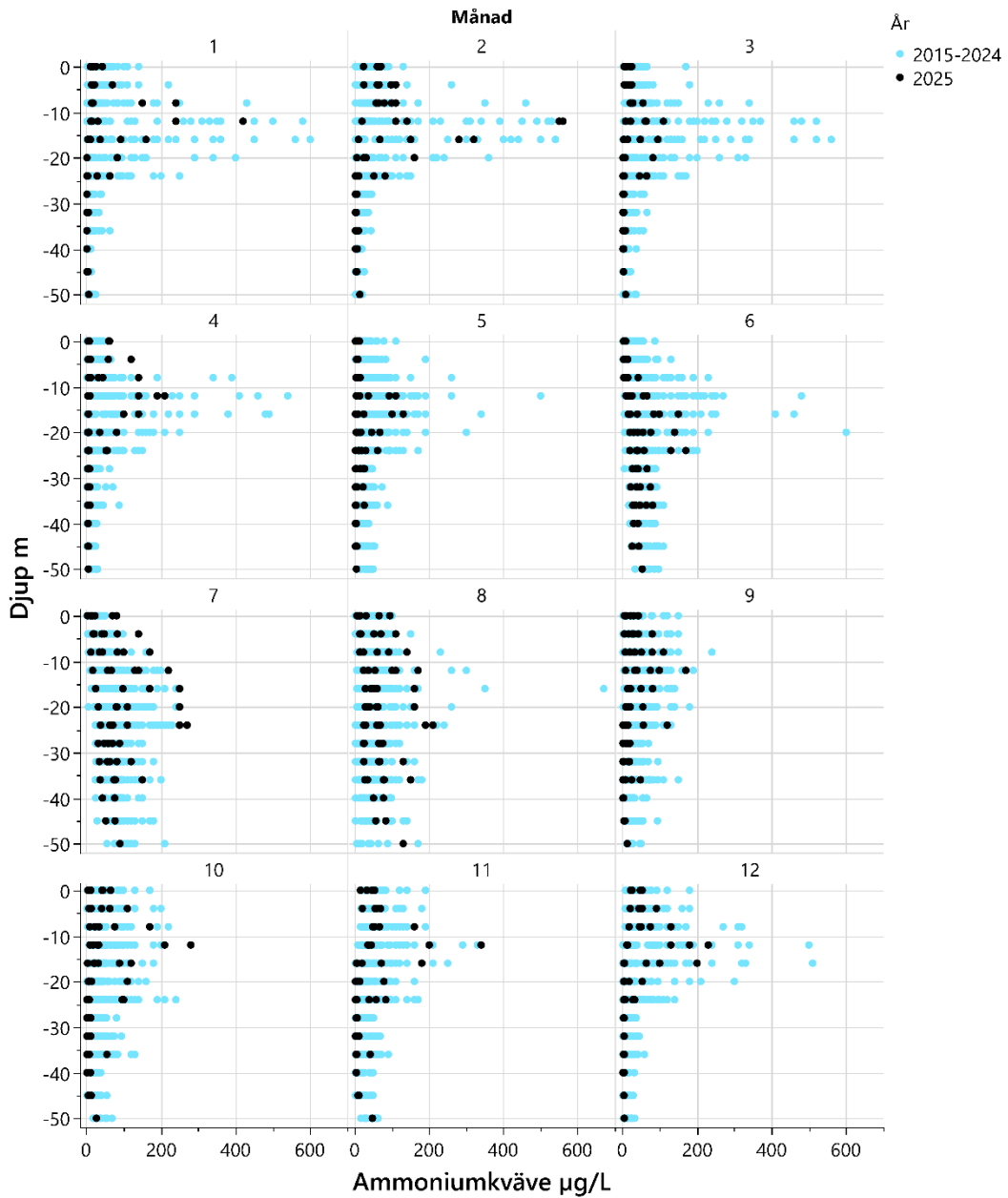
Figur 28. Variation av ammoniumkvävehalten i ytvattnet (0–4 m; blå), en bit ner (8–20 m; gul), och i bottenvattnet (>20 m; röd) under året 2025 längs med segelleden. Linjerna anger medelvärden, och prickarna visar de faktiska analysresultaten.



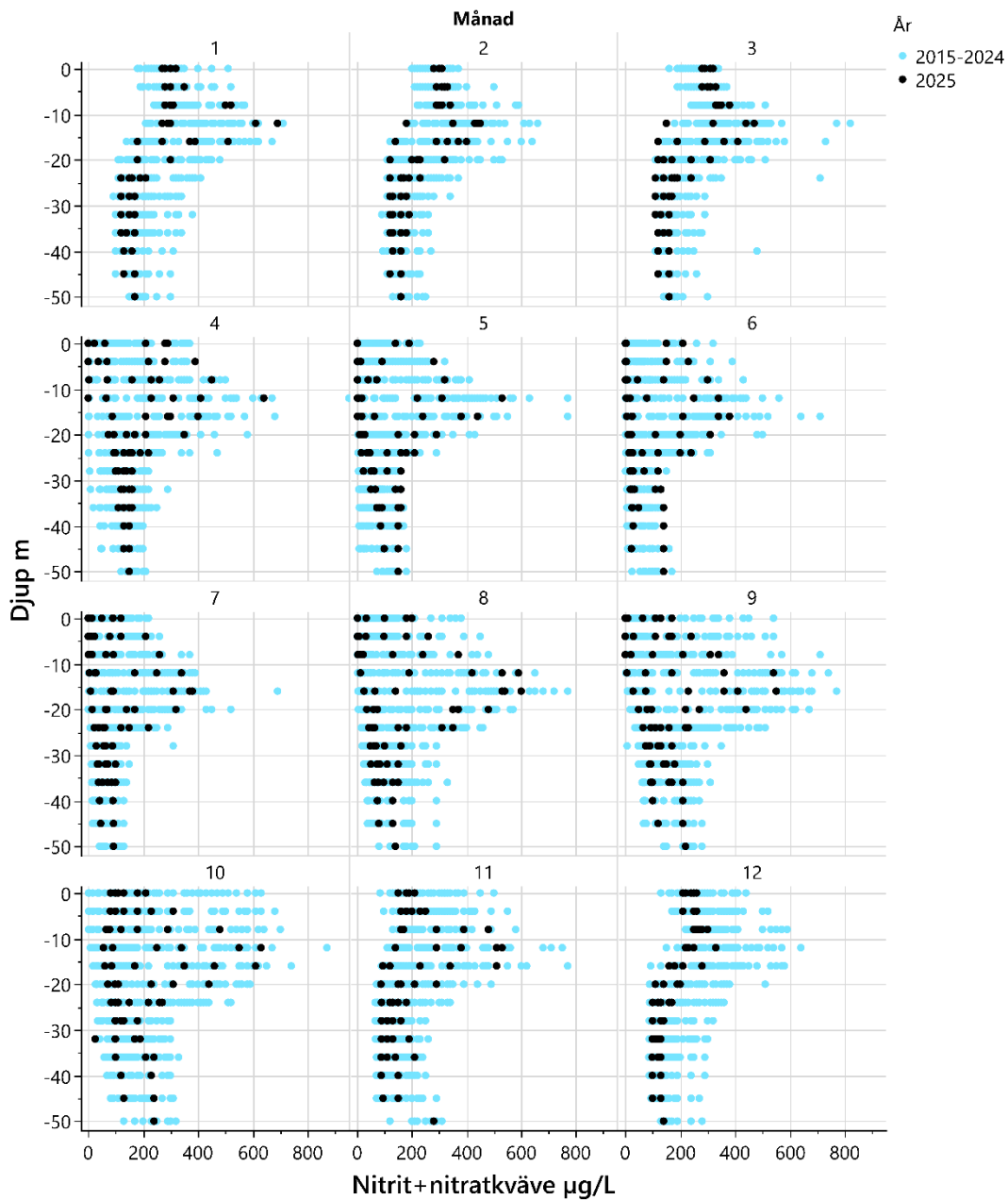
Figur 29. Variation av nitrit+nitratkvävehalten i ytvattnet (0–4 m; blå), en bit ner (8–20 m; gul), och i bottenvattnet (>20 m; röd) under året 2025 längs med segelleden. Linjerna anger medelvärden, och prickarna visar de faktiska analysresultaten.



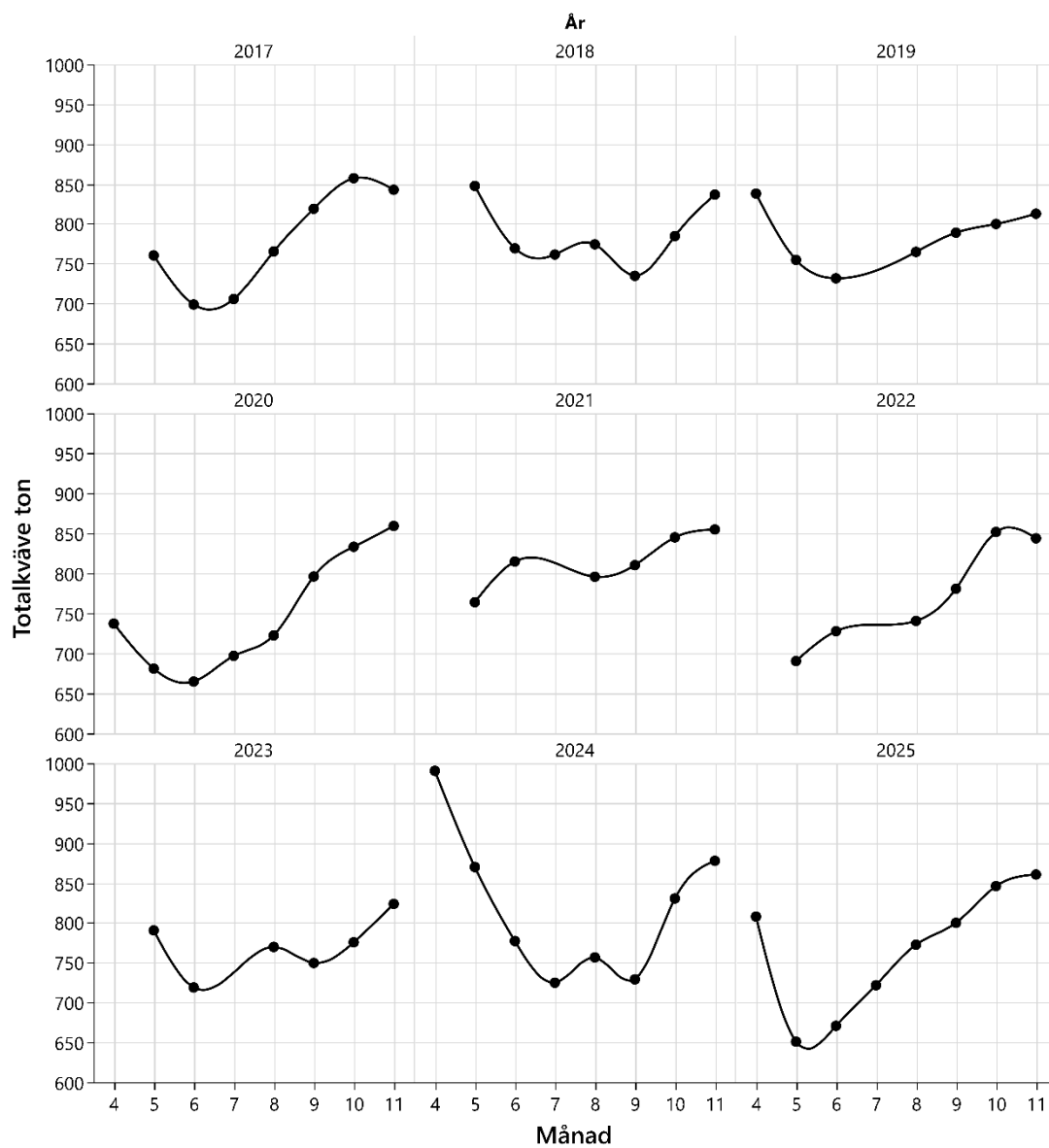
Figur 30. Totalkvävehalten under året i segelledens innerskärgårdslokaler (Slussen–Solöfjärden) under 2025 (svarta prickar) och 2015–2024 (blåa prickar).



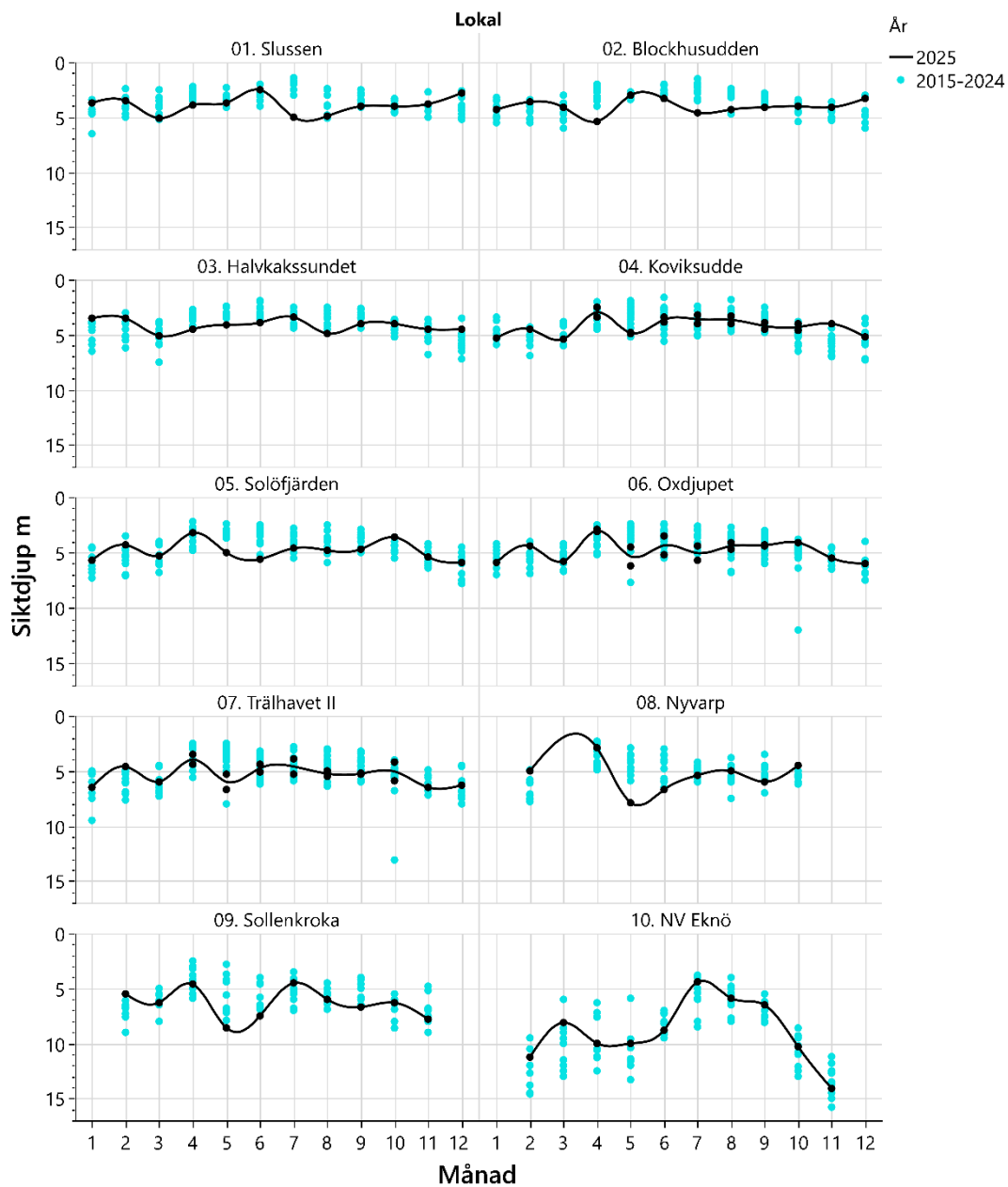
Figur 31. Ammoniumkvävehalten under året i segelledens innerskärgårdslokaler (Slussen–Solöfjärden) under 2025 (svarta prickar) och 2015–2024 (blåa prickar).



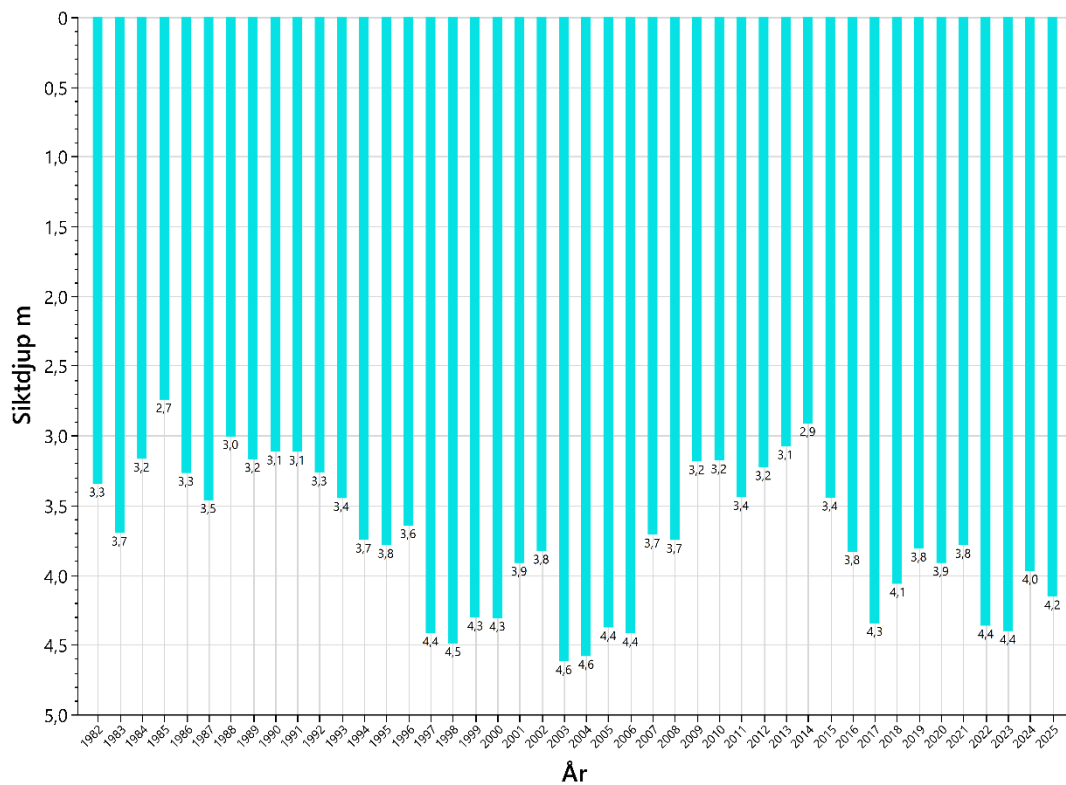
Figur 32. Nitrit+nitratkvävehalten under året i segelledens innerskärgårdslokaler (Slussen–Solöfjärden) under 2025 (svarta prickar) och 2015–2024 (blåa prickar).



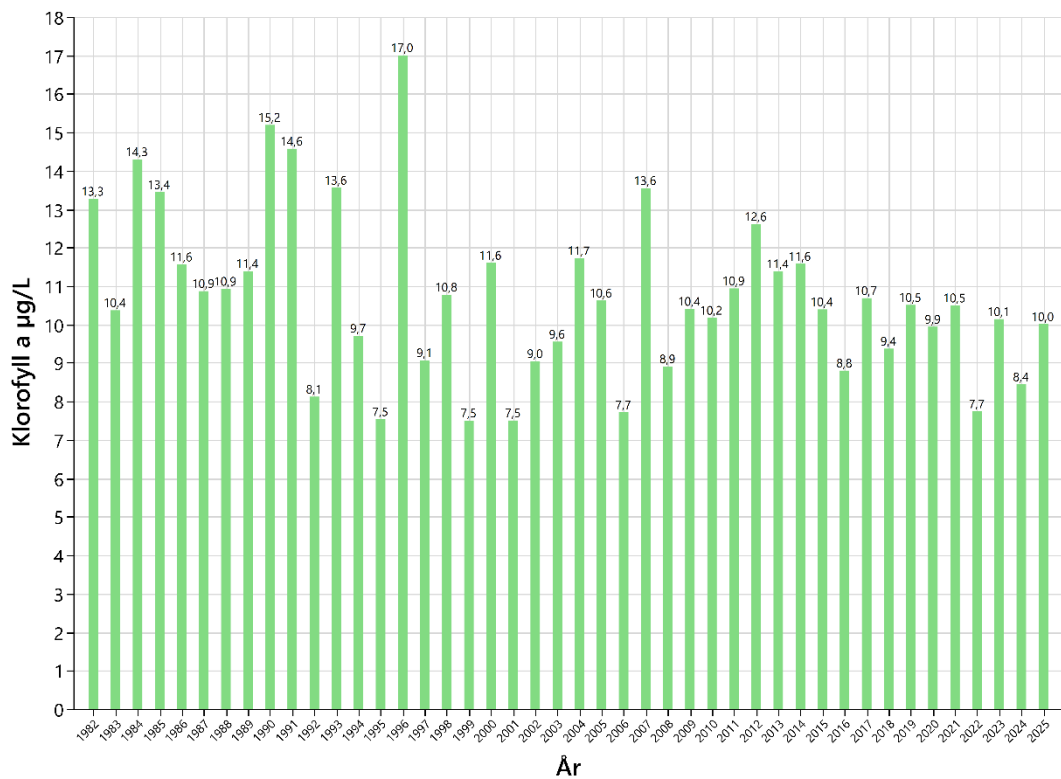
Figur 33. Total kvävemängd i innerskärgården april–november 2017–2025.



Figur 34. Variation av medelsiktdjupet längs med segelleden (Slussen–NV Eknö) under 2025 (svart linje) samt observerade värden under 2015–2024 (blåa punkter). De svarta prickarna visar de faktiska observationerna under 2025.

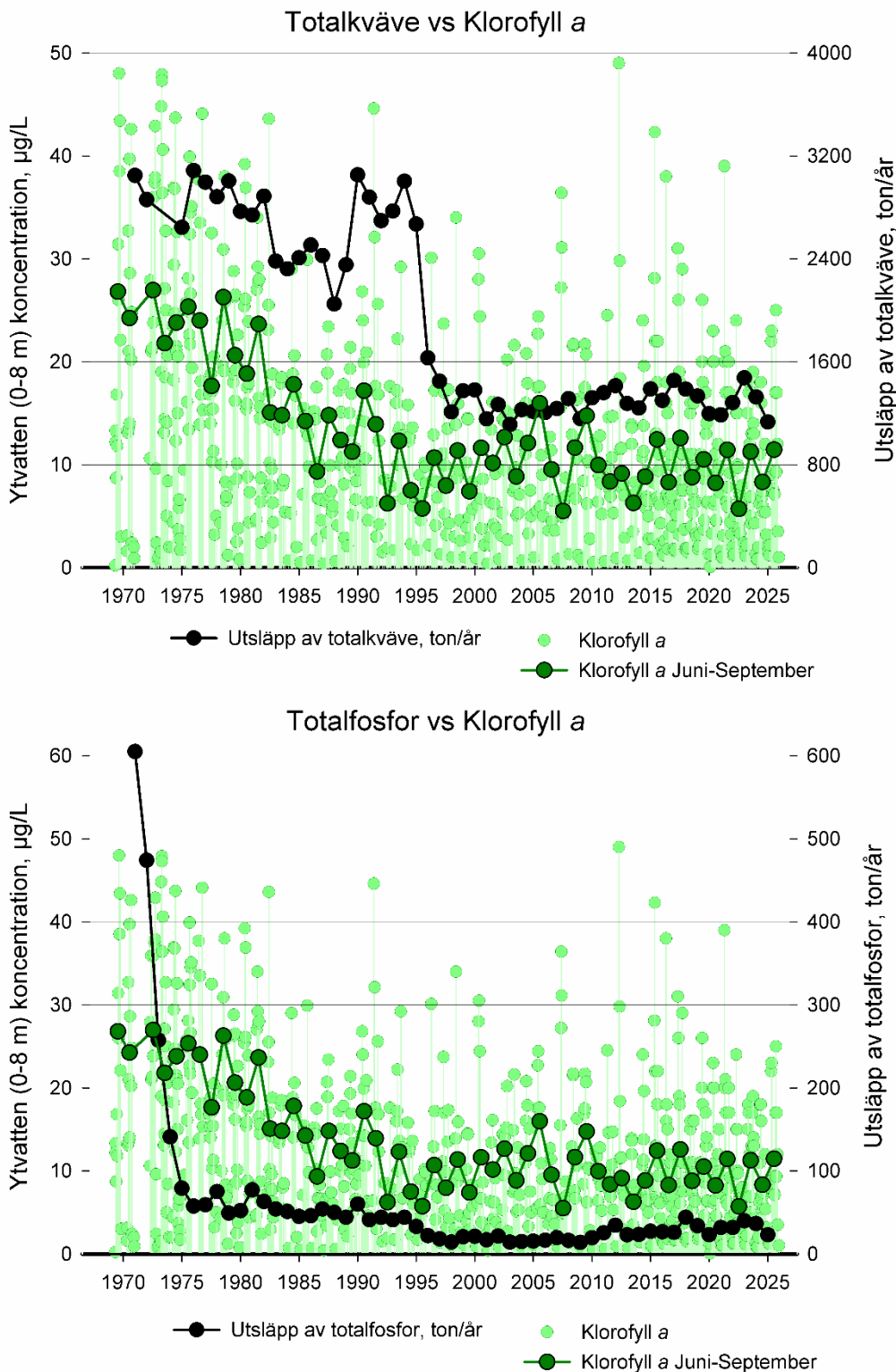


Figur 35. Siktdjup – medelvärden i innerskärgården under åren 1982–2025.

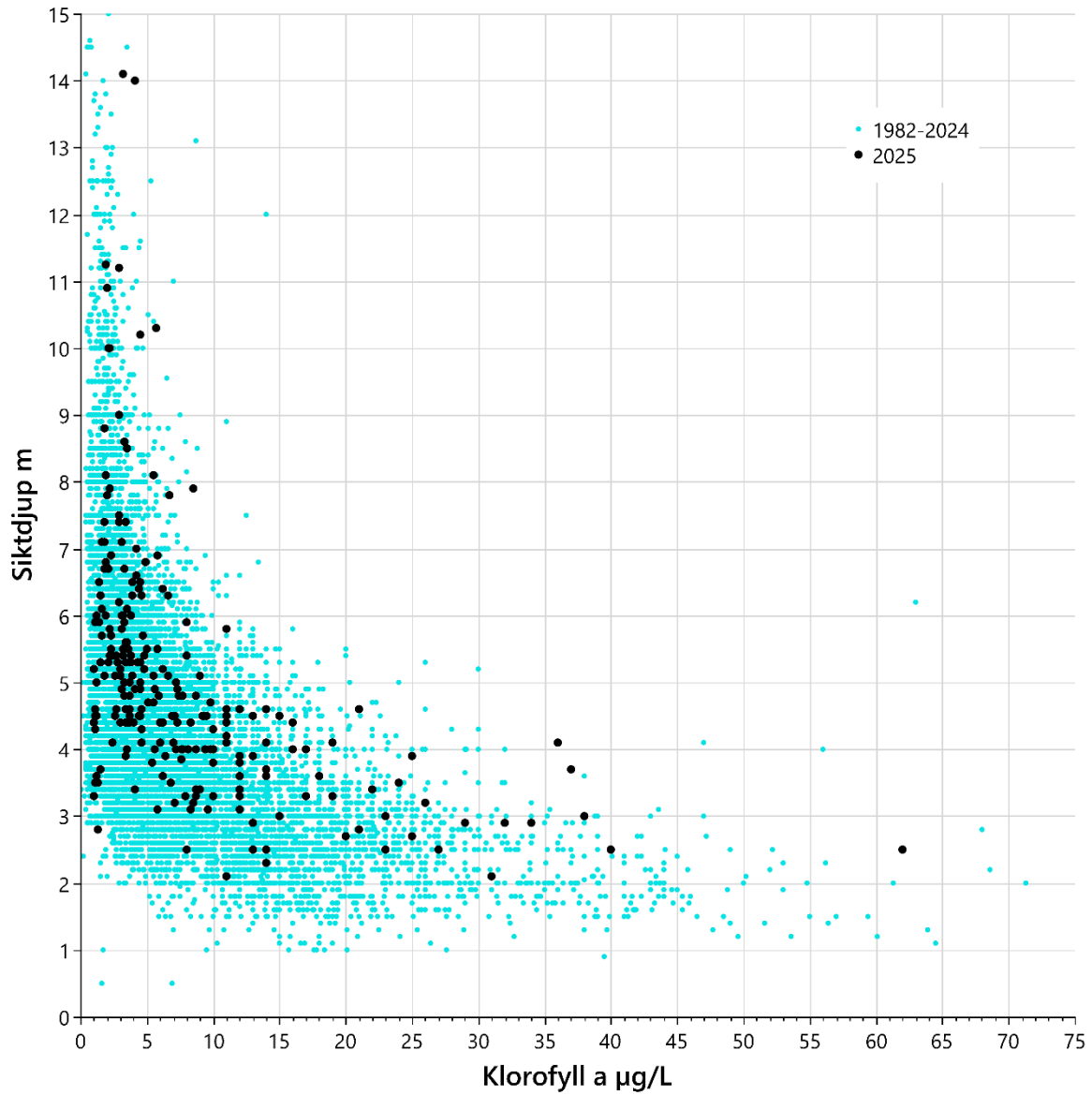


Figur 36. Klorofyll a – medelhalter i innerskärgården under åren 1982–2025.

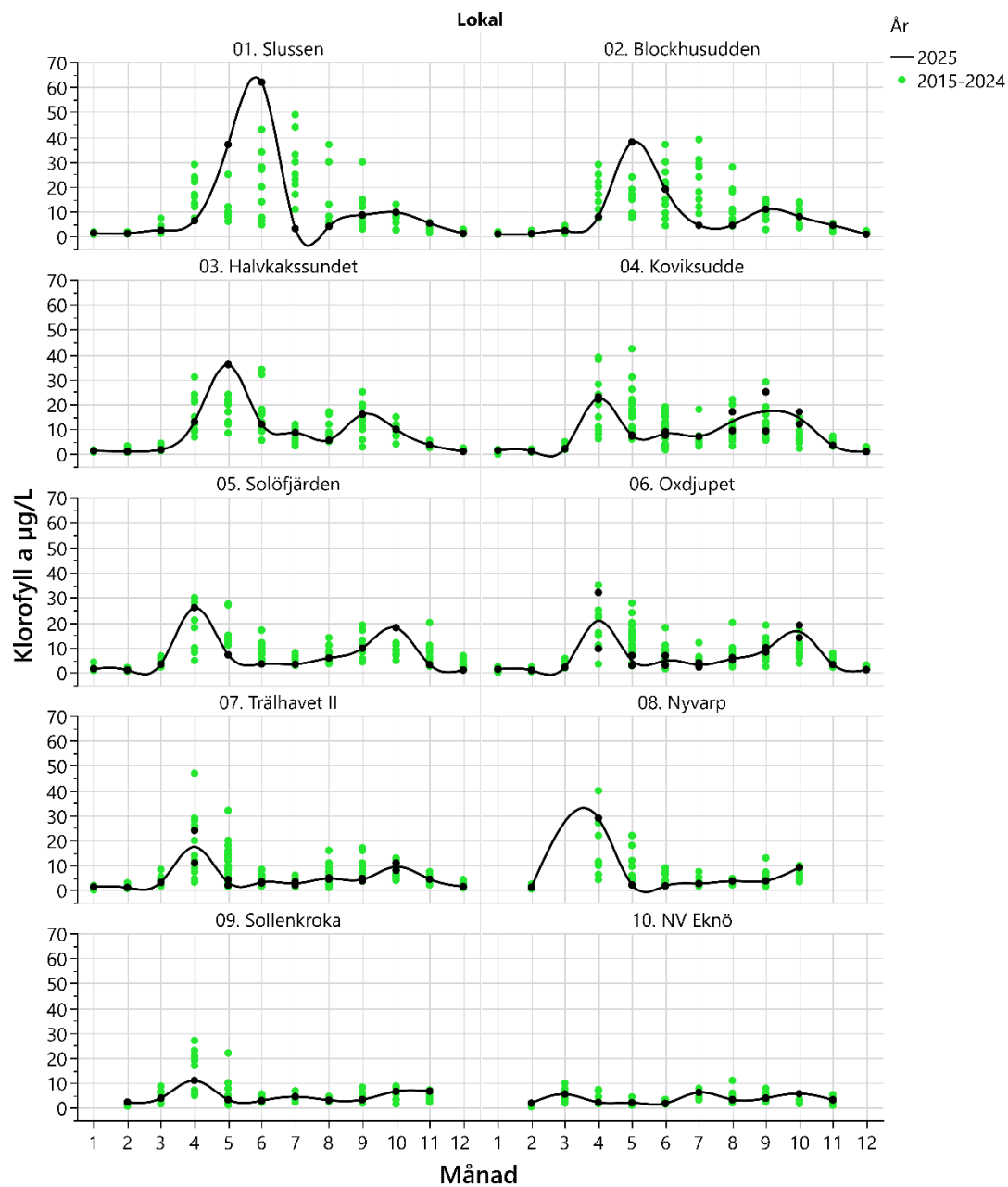
Koviksudde



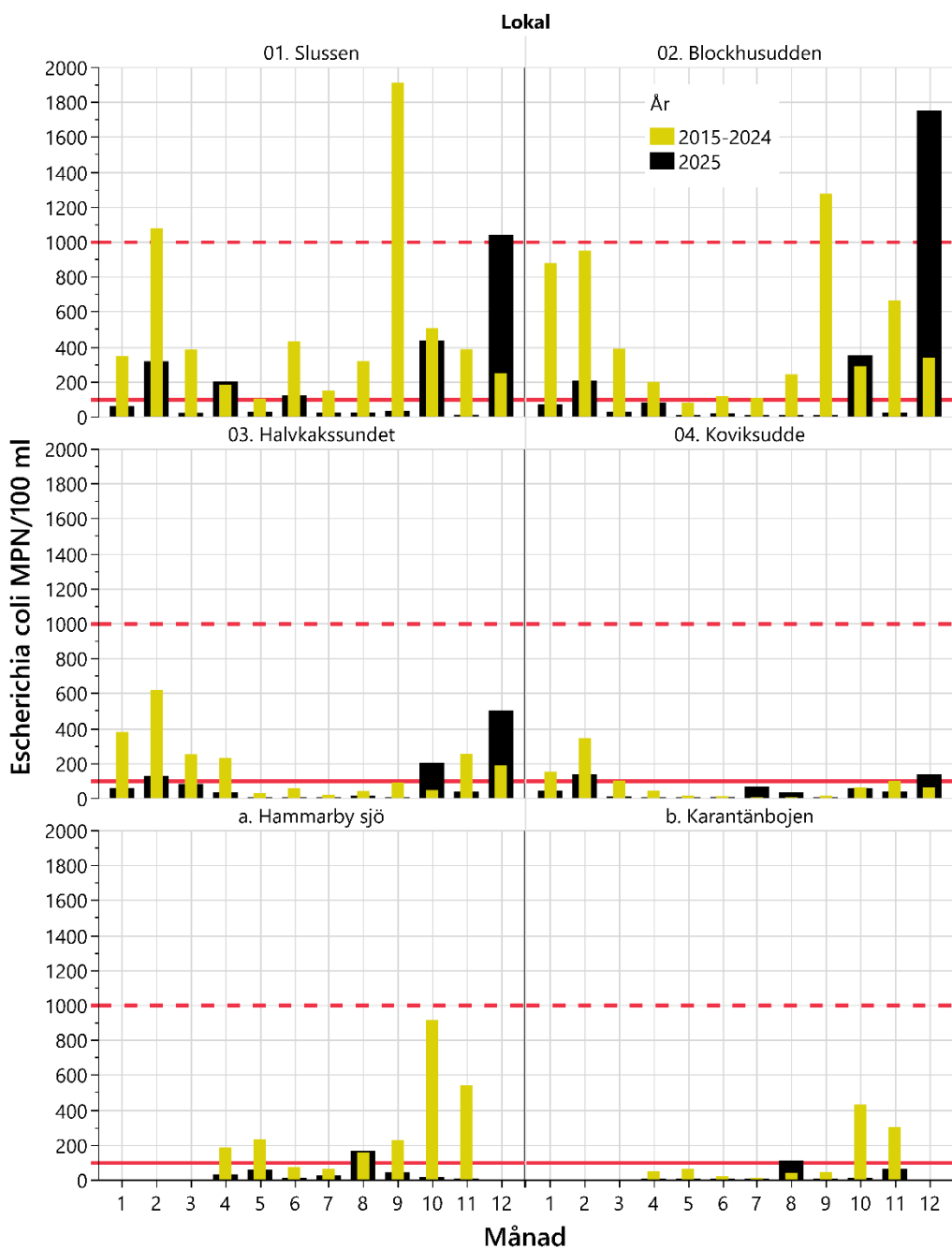
Figur 37. Utsläpp av kväve och fosfor i det reade avloppsvattnet från Stockholm Vatten och Avfalls avloppsreningsverk 1968–2025 jämfört med halten av klorofyll *a* i ytvattnet (0–8 m) vid Koviksudde. Ett årsmedelvärde av halten klorofyll *a* under perioden juni–september visas också. Observera att ytvattnet här definieras som vattenmassan från ytan ned till 8 meters djup.



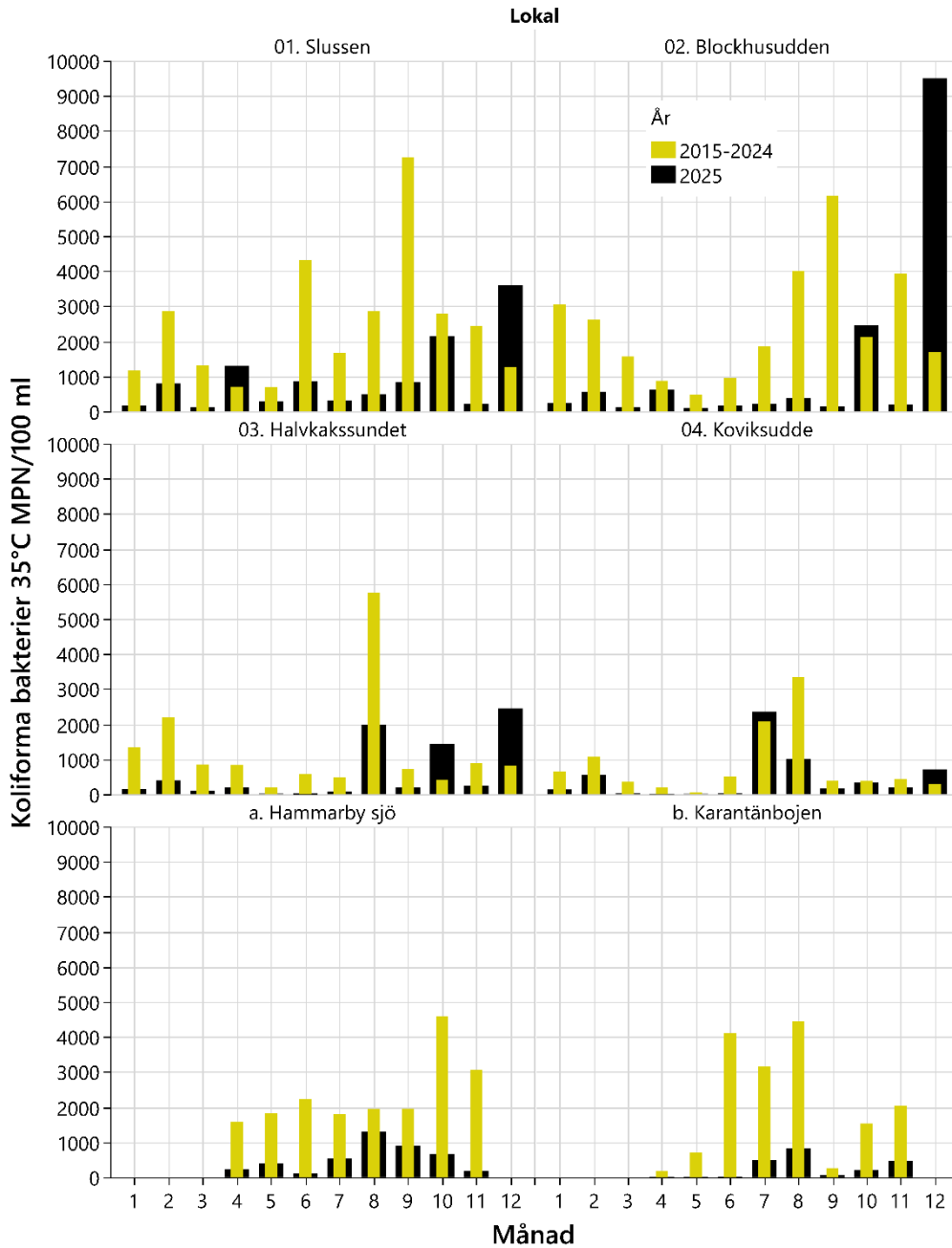
Figur 38. Omvänd korrelation mellan siktdjup och klorofyll. Figuren innehåller all siktdjups- och klorofylldata framtagen inom ramen för detta skärgårdsprogram under perioden 1982–2025, varav de blå prickarna illustrerar 1982–2024 och de svarta prickarna illustrerar 2025.



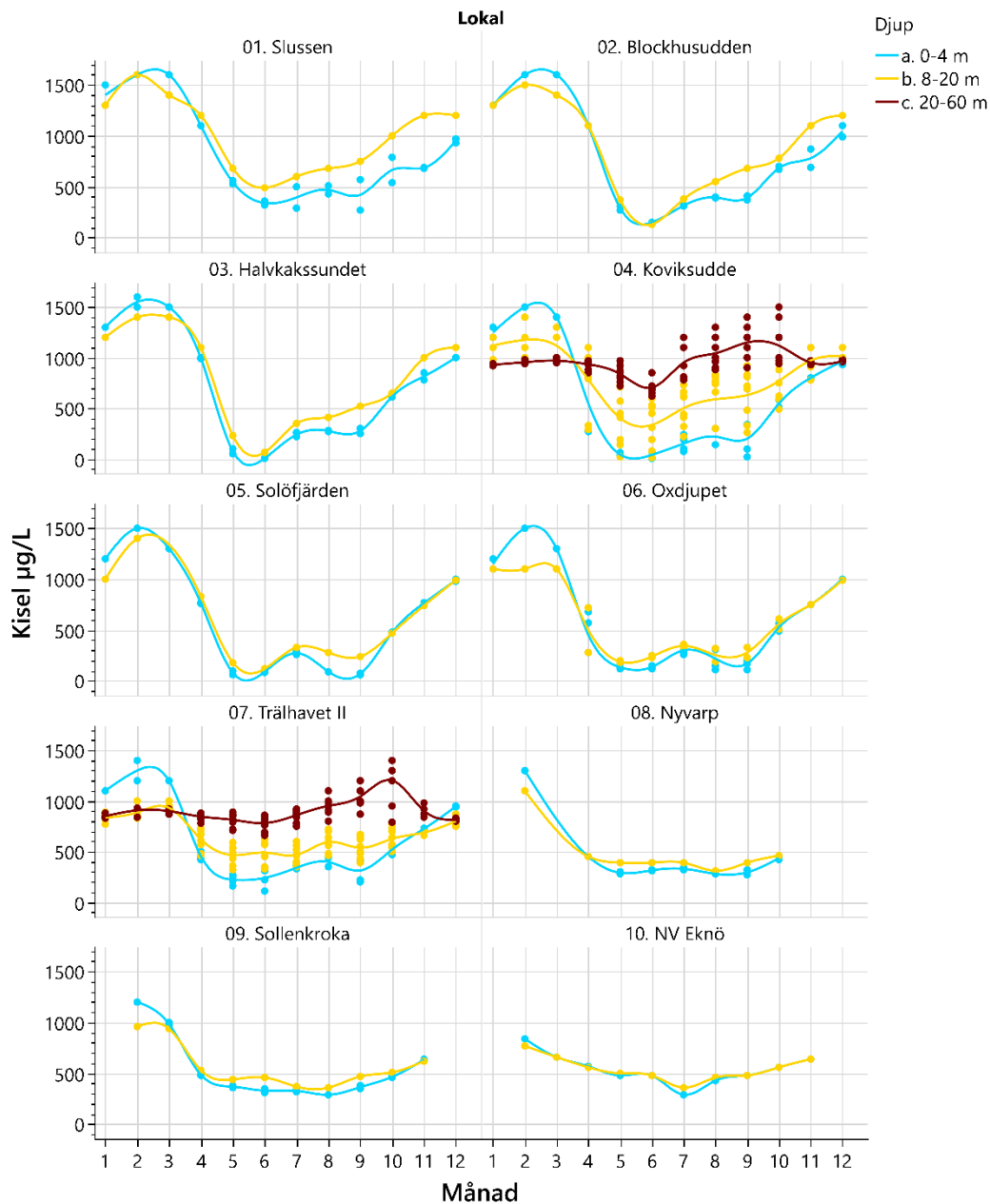
Figur 39. Variation av medelklorofyllhalten längs med segelleden (Slussen–NV Eknö) under 2025 (svart linje) samt uppmätta värden under 2015–2024 (gröna punkter). De svarta prickarna visar de faktiska analysresultaten under 2025.



Figur 40. Förekomst av *Escherichia coli* i ytvattnet (0–4 m) – Medelvärden per månad av bakterietal för åren 2025 (svart) och 2015–2024 (gul) för de lokaler i innerskärgården där förhöjda värden är vanligt återkommande.



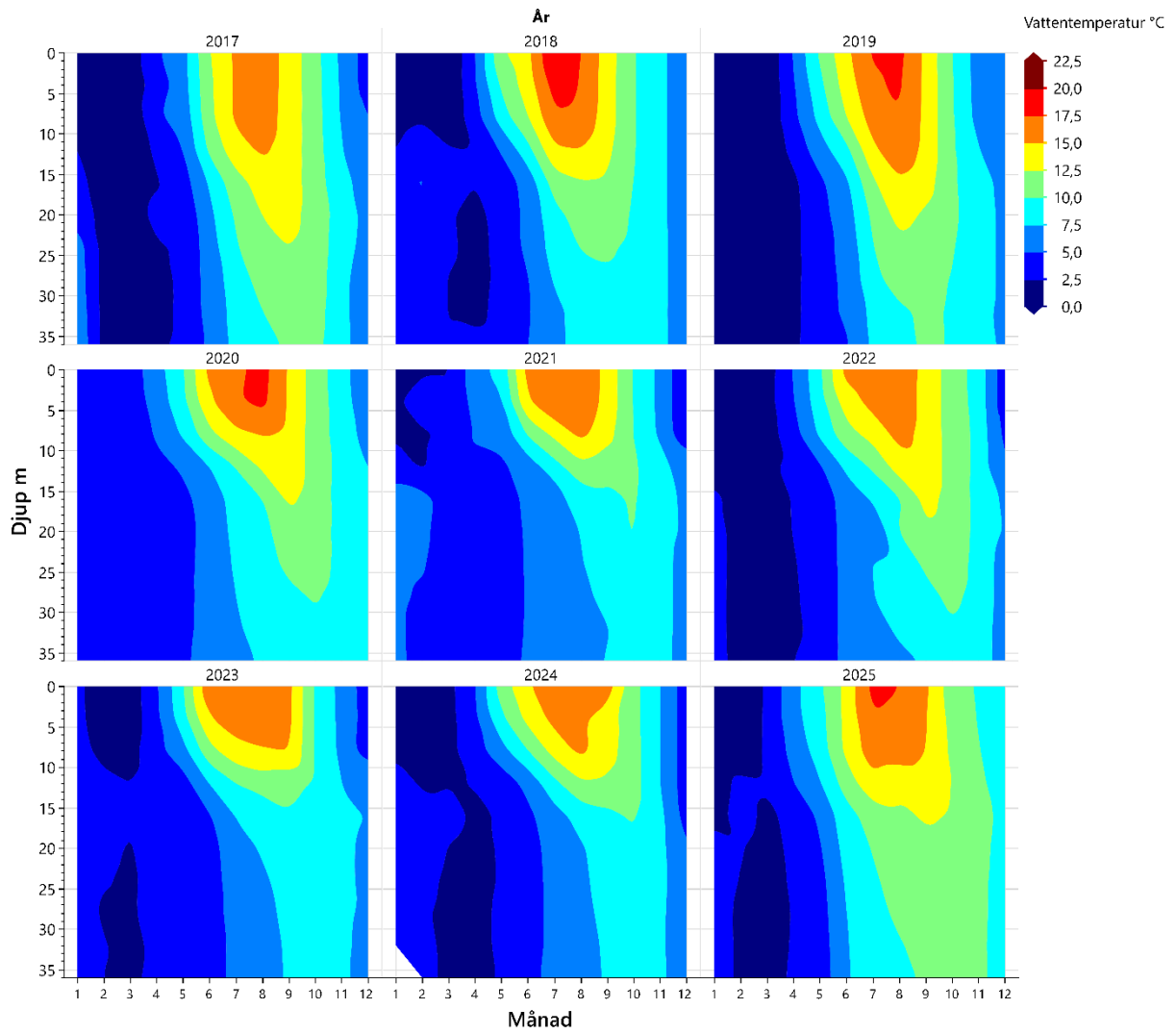
Figur 41. Förekomst av koliforma bakterier i ytvattnet (0–4 m) – Medelvärden per månad av bakterietal för åren 2025 (svart) och 2015–2024 (gul) för de lokaler i innerskärgården där förhöjda värden är vanligt återkommande.



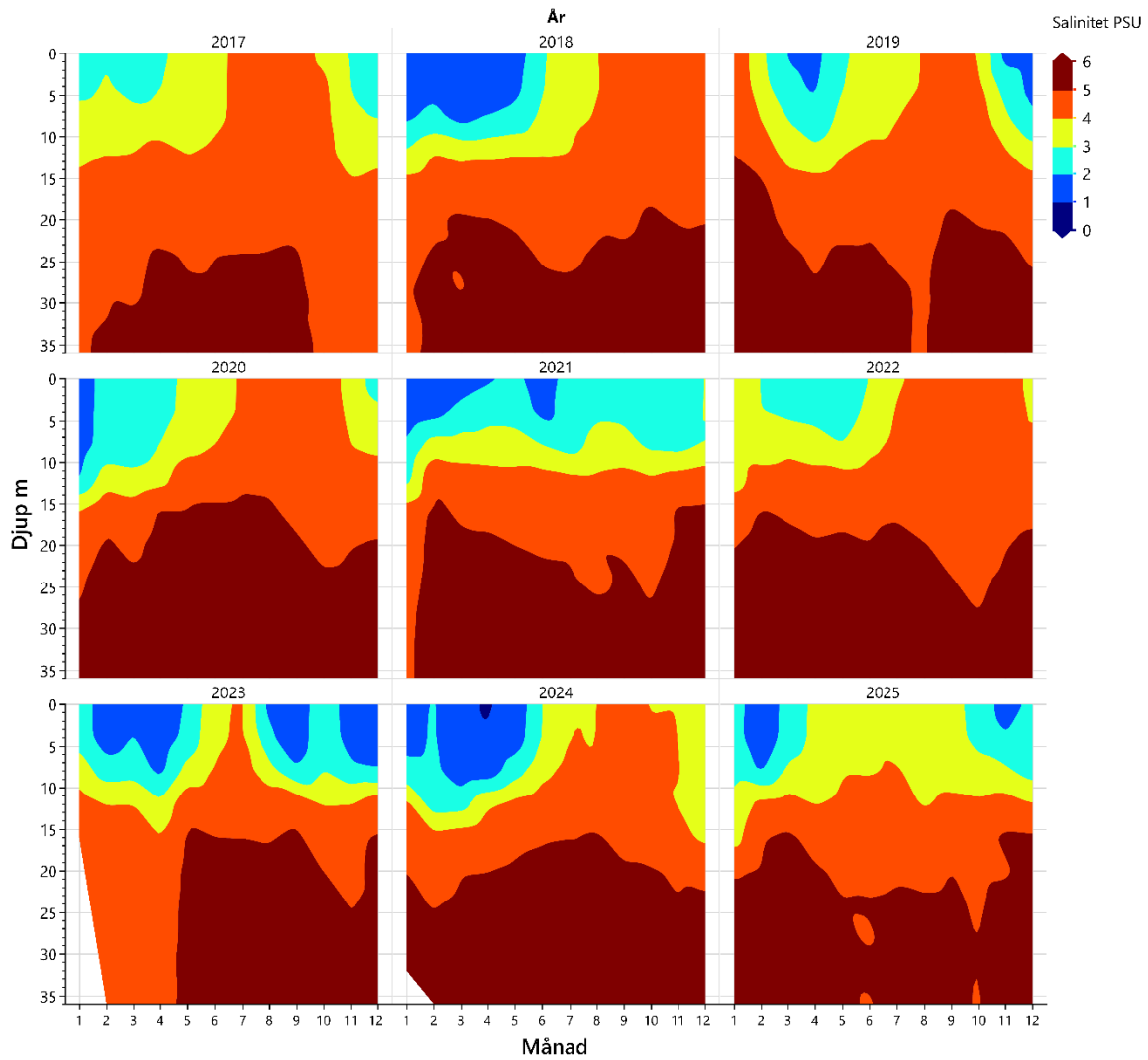
Figur 42. Variation av kiselhalten i ytvattnet (0–4 m; blå), en bit ner (8–20 m; gul), och i bottenvattnet (>20 m; röd) under året 2025 längs med segelleden. Linjerna anger medelvärden, och prickarna visar de faktiska analysresultaten. Observera att analyser av kiselhalten för bottenvattnet endast har gjorts vid Koviksudde och Trälhavet.



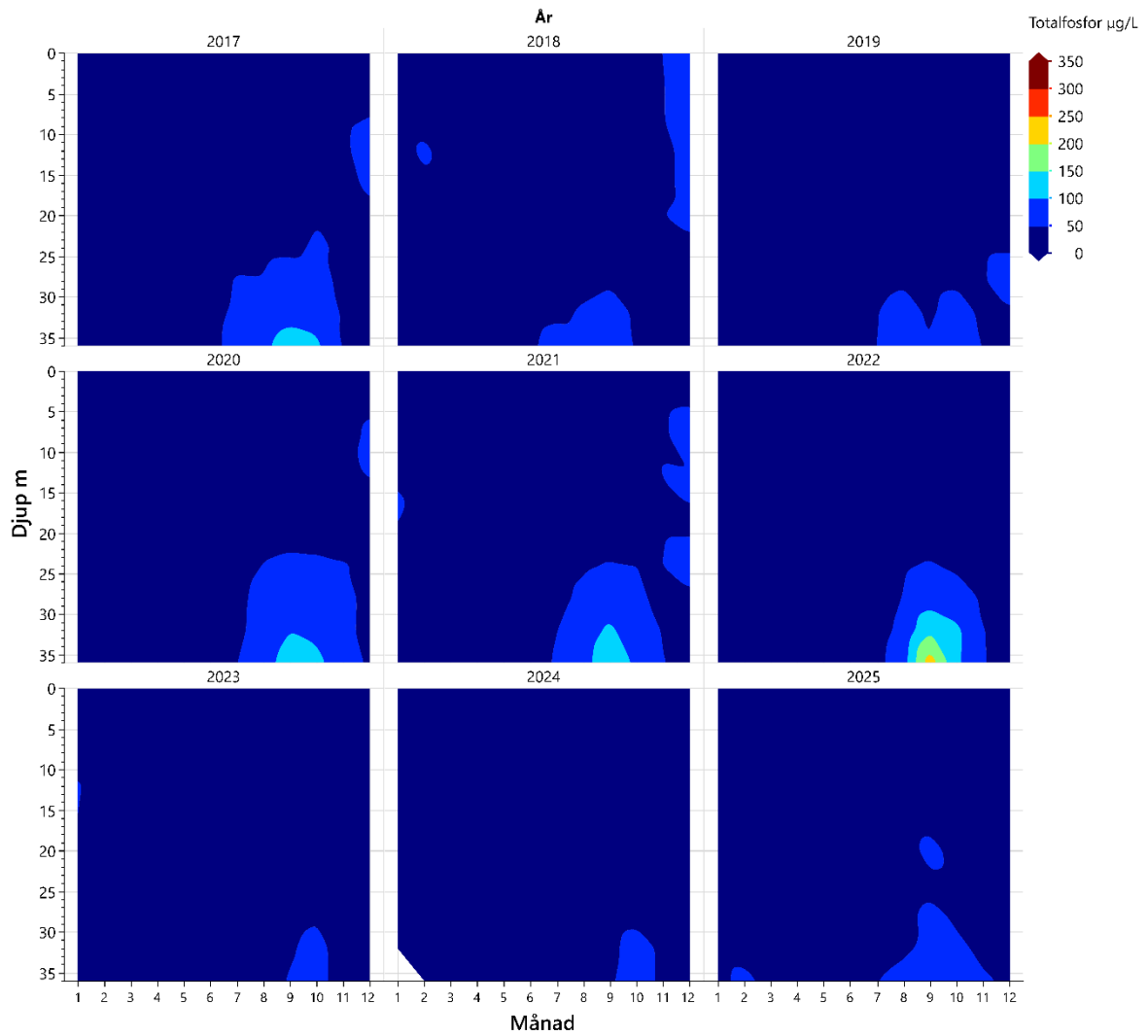
Figur 43. Variation av medelkiselhalten i ytvattnet (0–8 meter) längs med segelleden (Slussen–NV Eknö) under 2025 (grön) och 2015–2024 (gul). Observera att ytvattnet här definieras som vattenmassan från ytan ned till 8 meters djup.



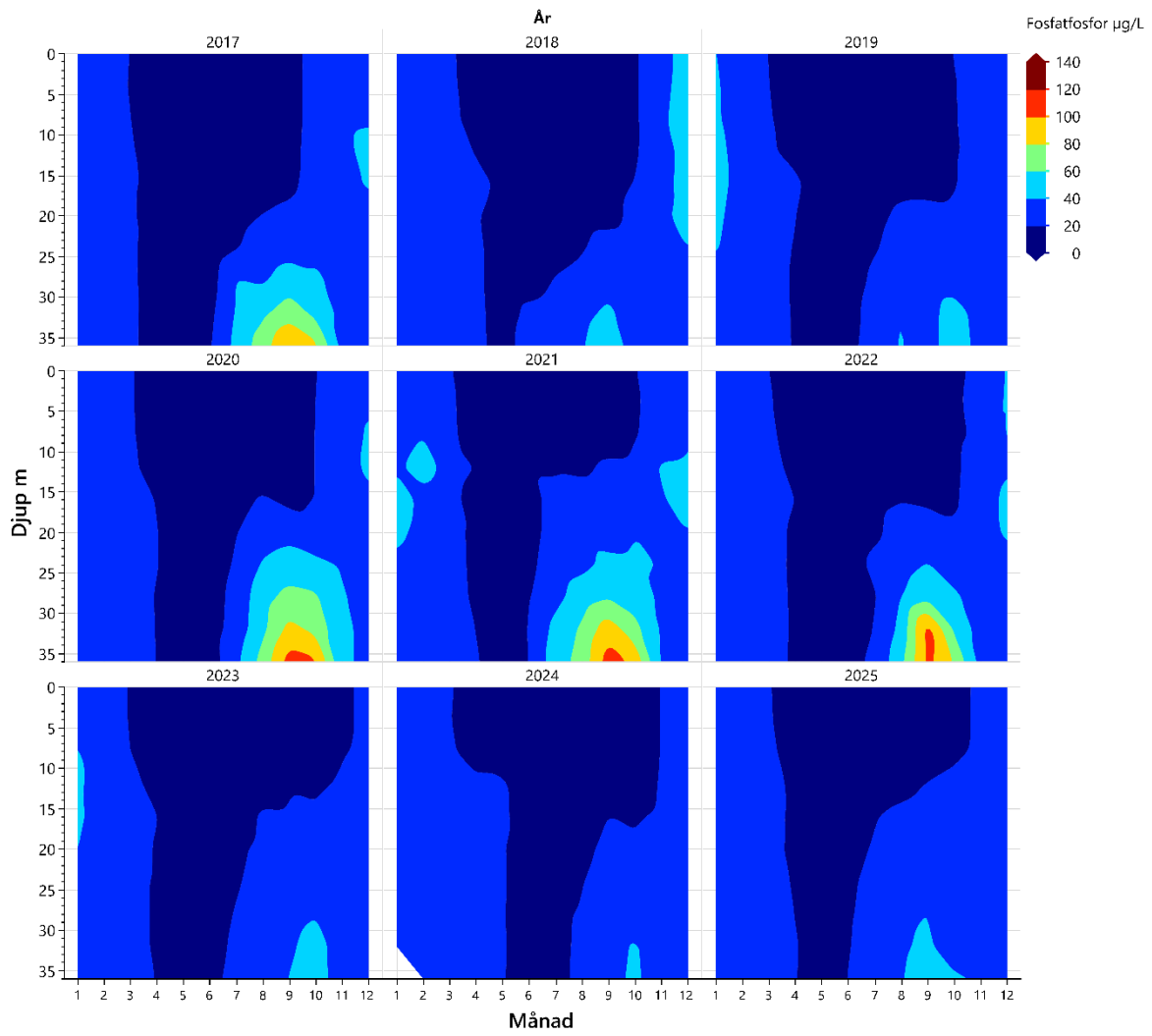
Figur 44. Vattentemperatur på 0–36 m djup för åren 2017–2025 vid Koviksudde.



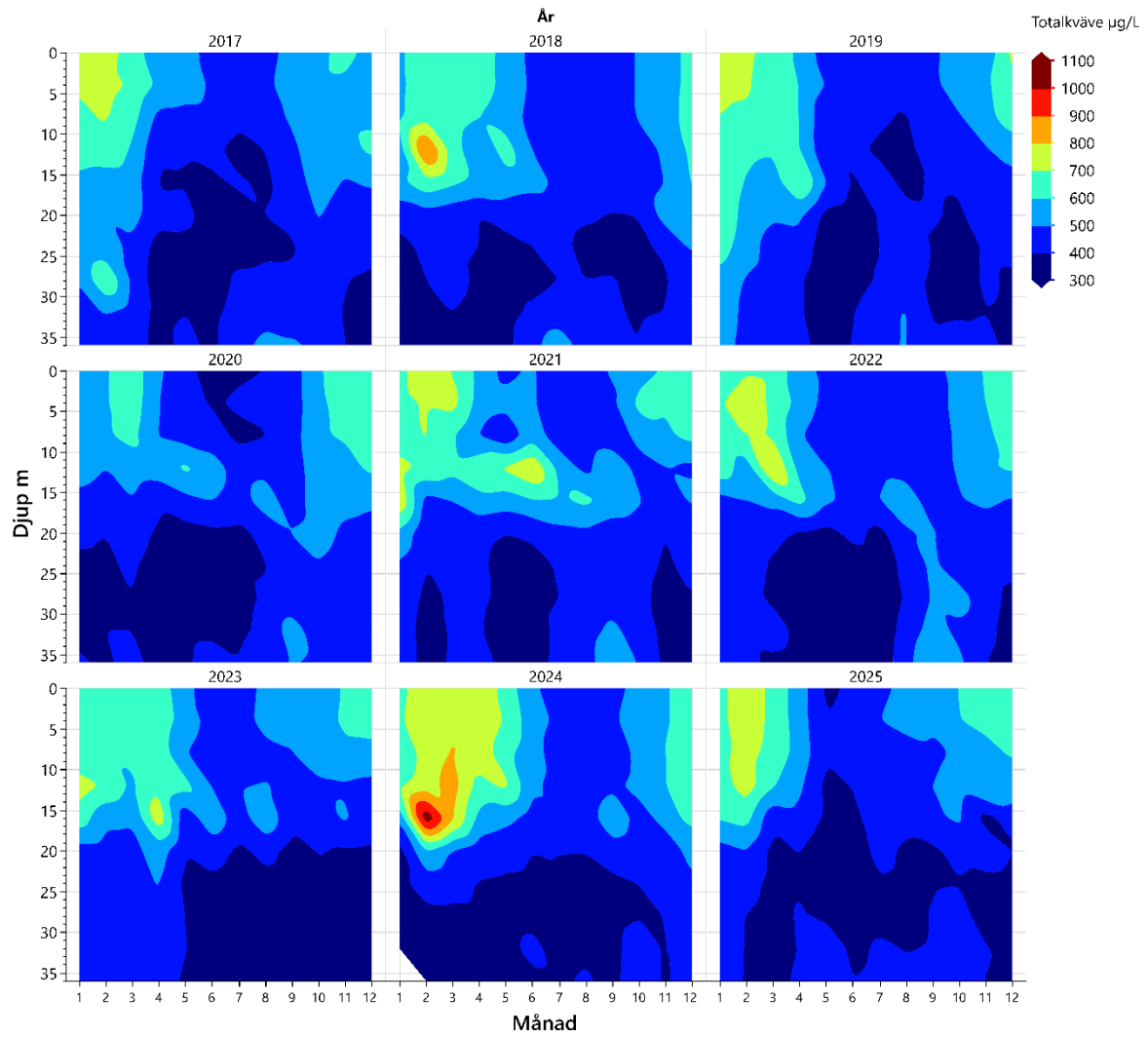
Figur 45. Salinitet på 0–36 m djup för åren 2017–2025 vid Koviksudde. Under 2023 saknades salinitetsvärden för bottenvattnet under årets första månader.



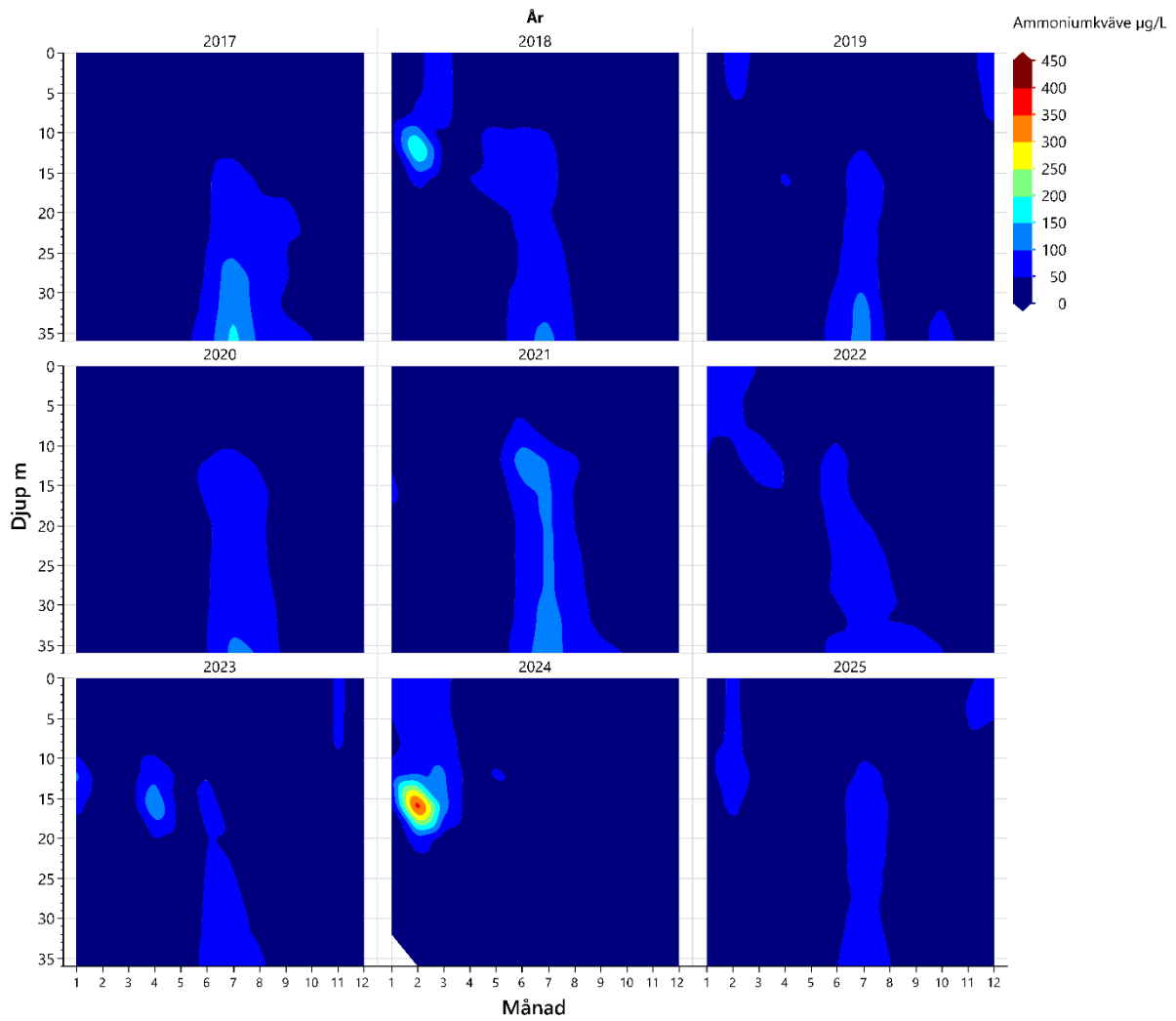
Figur 46. Totalfosforhalt på 0–36 m djup för åren 2017–2025 vid Koviksudde.



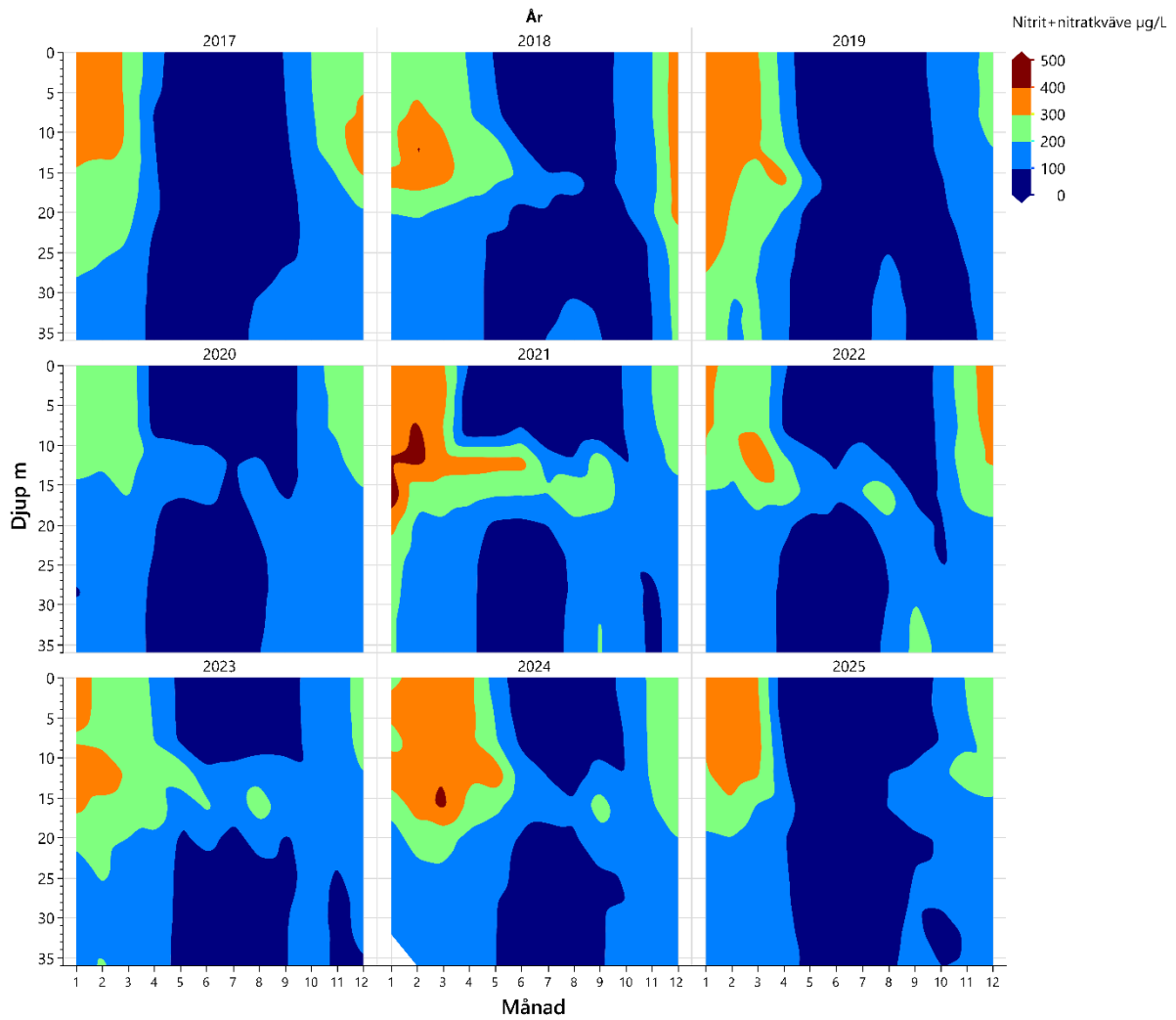
Figur 47. Fosfatfosforhalt på 0–36 m djup för åren 2017–2025 vid Koviksudde.



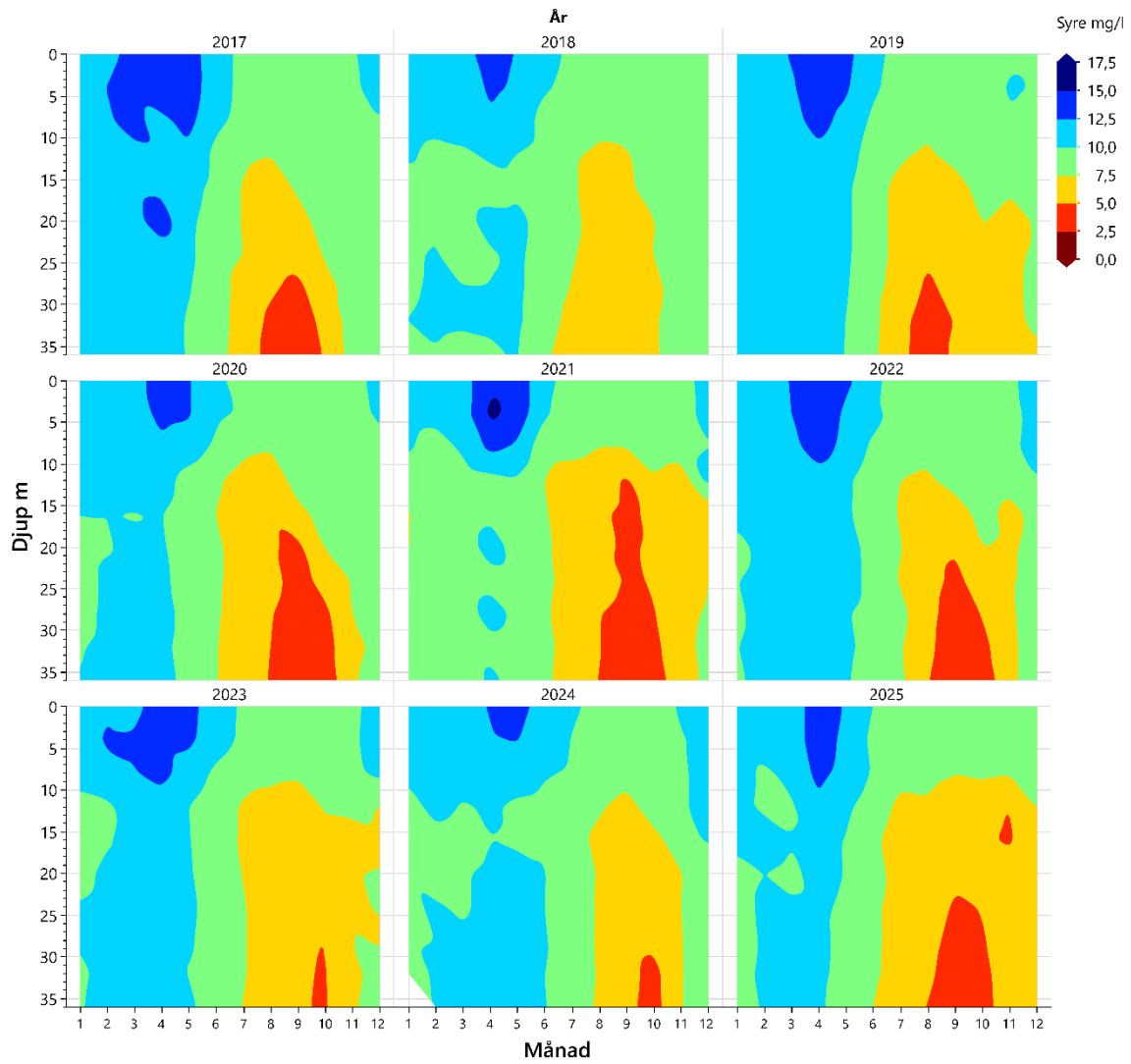
Figur 48. Totalkvävehalt på 0–36 m djup för åren 2017–2025 vid Koviksudde.



Figur 49. Ammoniumkvävehalt på 0–36 m djup för åren 2017–2025 vid Koviksudde.

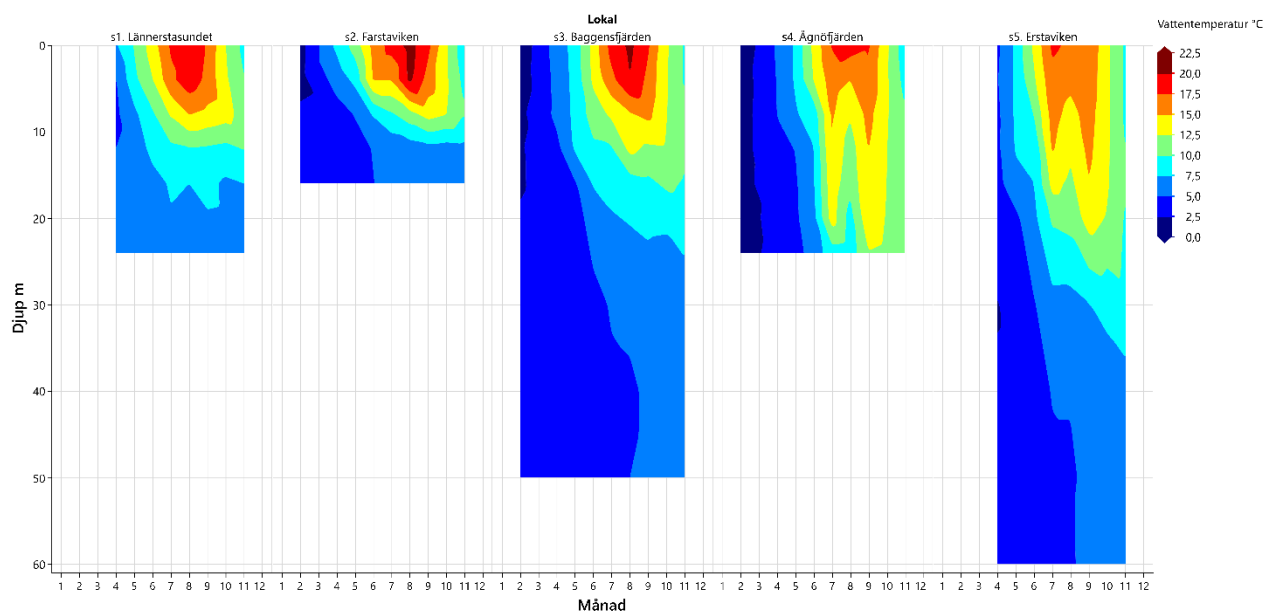


Figur 50. Nitrit+nitratkvävehalt på 0–36 m djup för åren 2017–2025 vid Koviksudde.

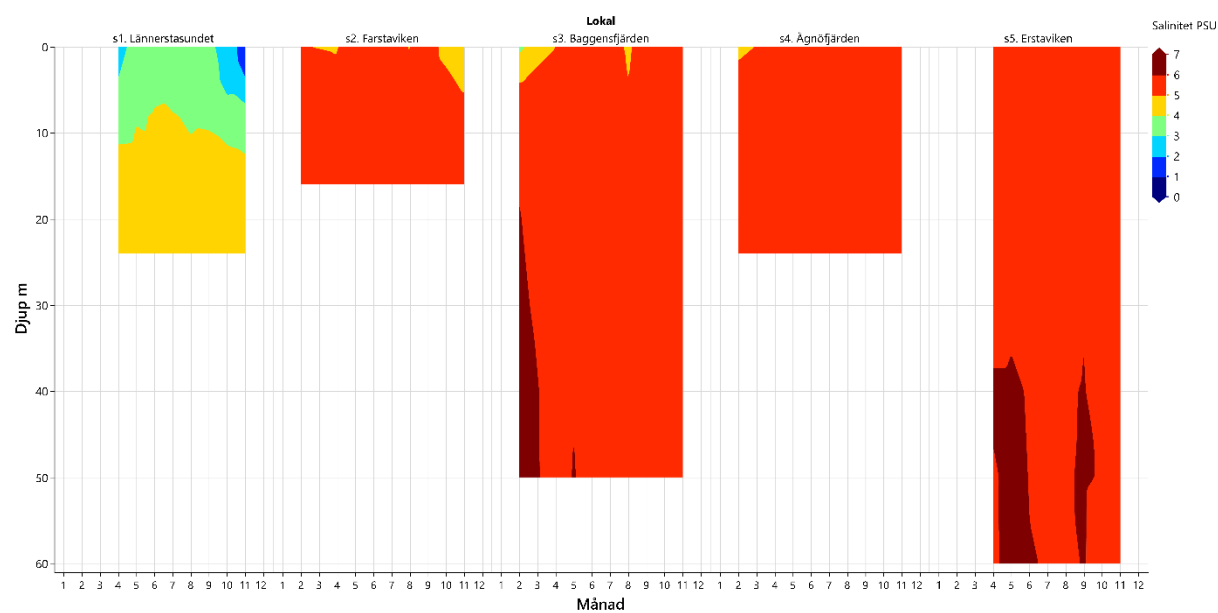


Figur 51. Syrehalt på 0–36 m djup för åren 2017–2025 vid Koviksudde.

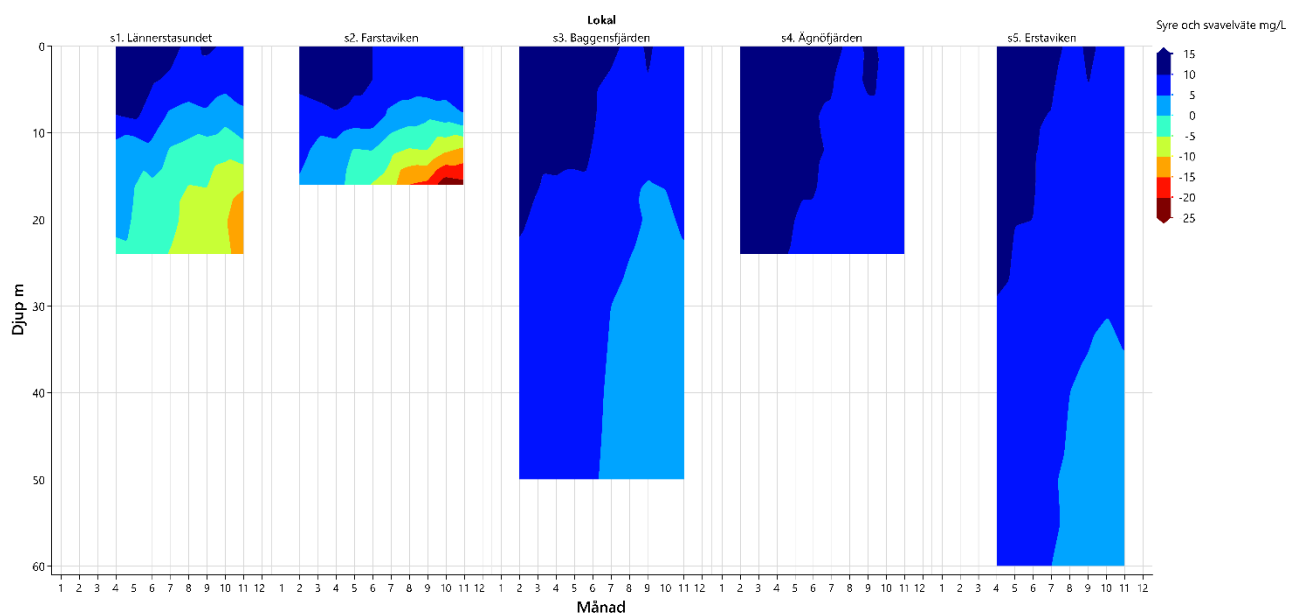
Södra delen av skärgården



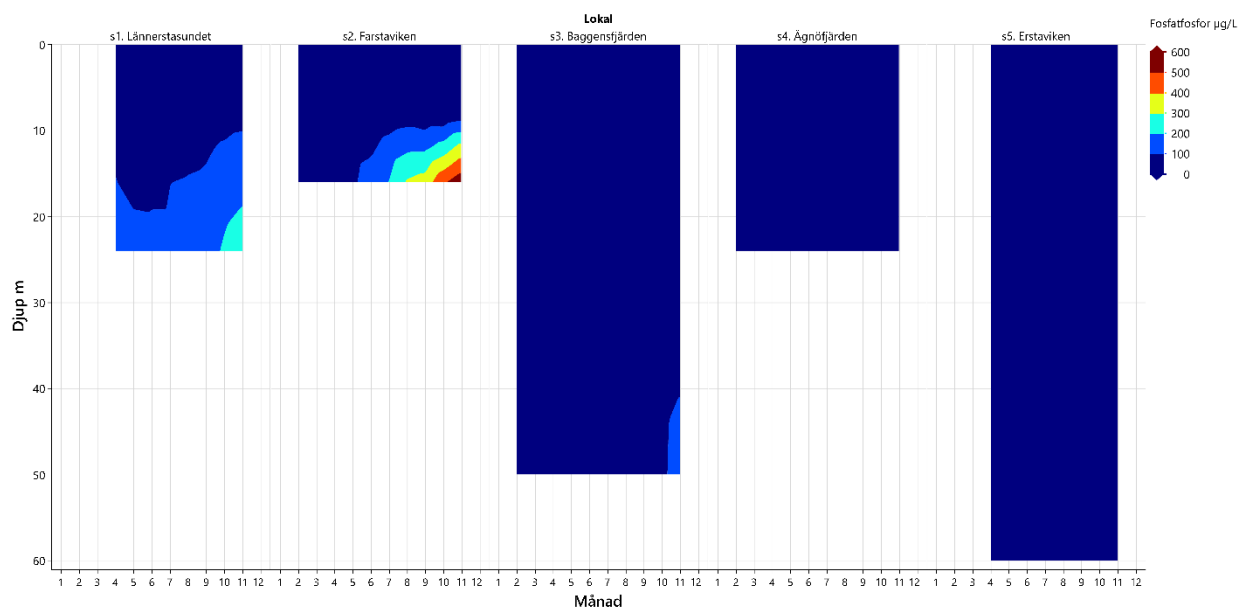
Figur 52. Södra delen av skärgården – Fördelningen av temperatur i vattenmassan under 2025 i Lännerstasundet, Farstaviken, Baggensfjärden, Ägnöfjärden och Erstaviken.



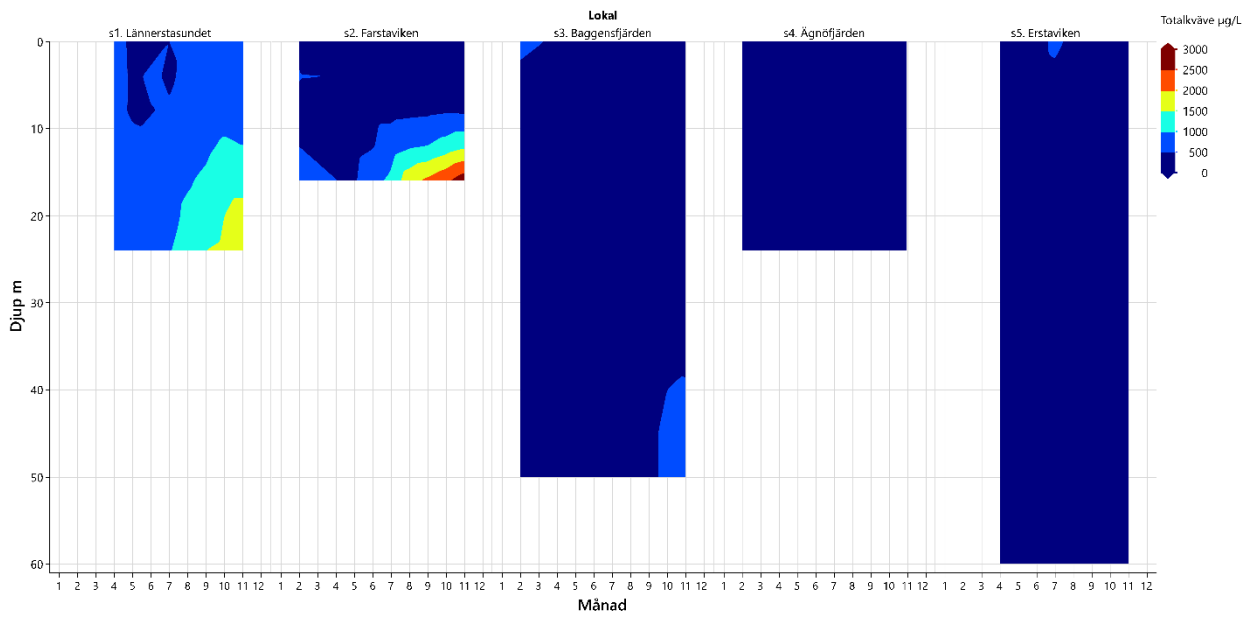
Figur 53. Södra delen av skärgården – Fördelningen av salinitet i vattenmassan under 2025 i Lännerstasundet, Farstaviken, Baggensfjärden, Ägnöfjärden och Erstaviken.



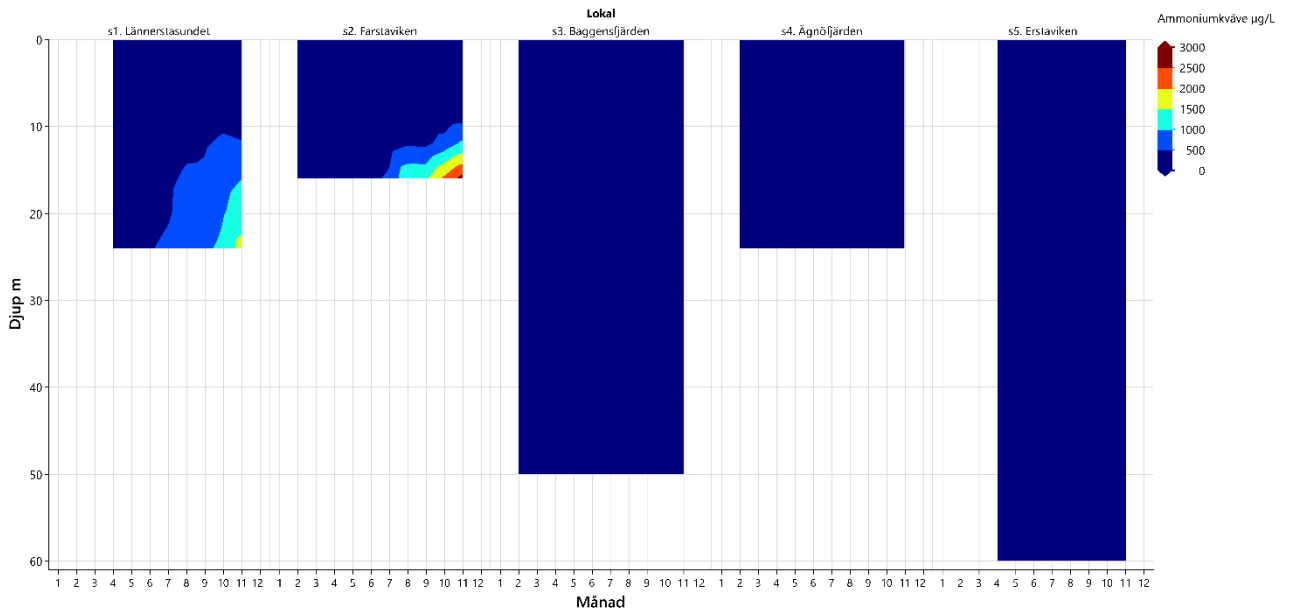
Figur 54. Södra delen av skärgården – Fördelningen av syre (positiva värden) och svavelväte (negativa värden) i vattenmassan under 2025 i Lännerstasundet, Farstaviken, Baggensfjärden, Ägnöfjärden och Erstaviken.



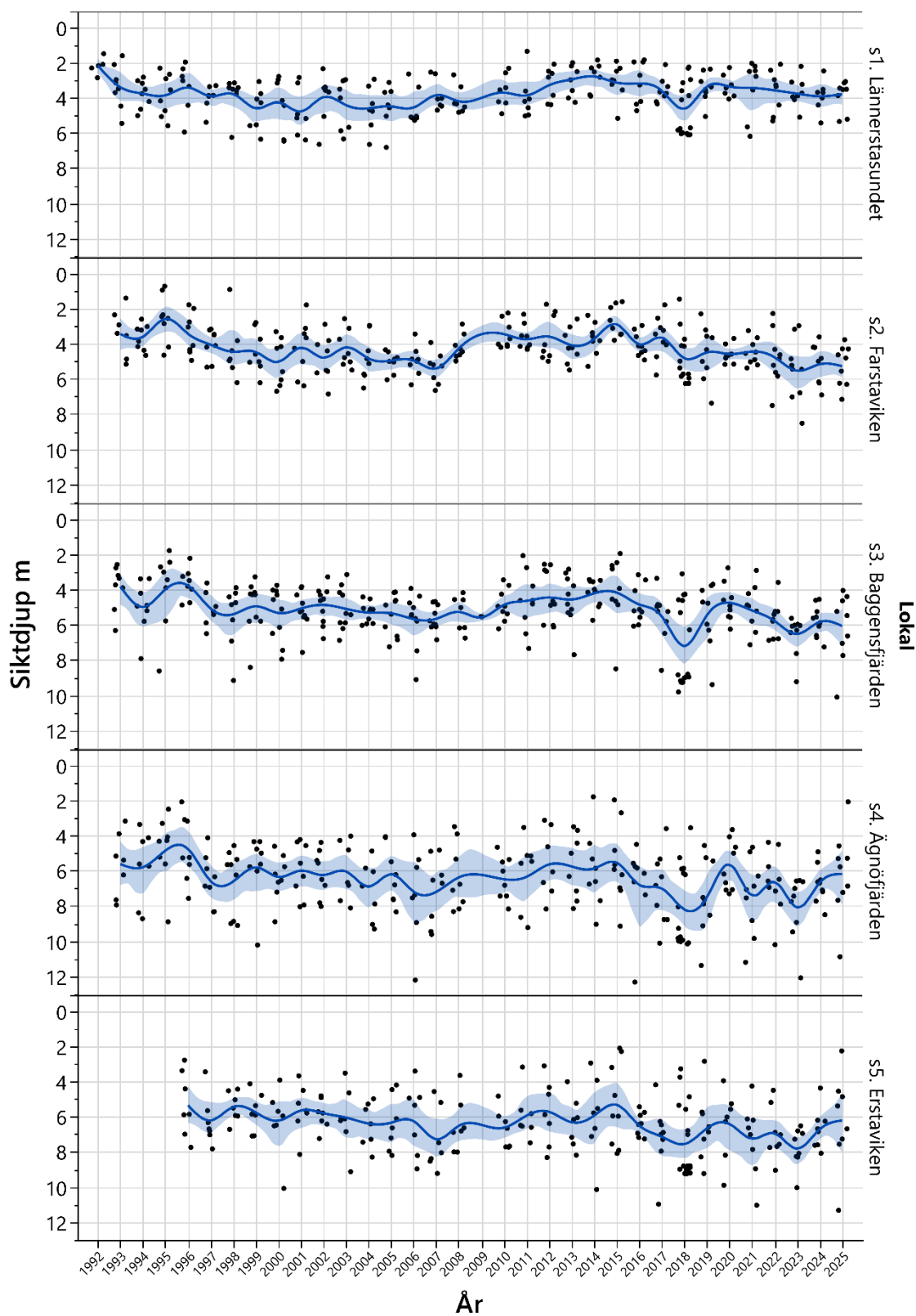
Figur 55. Södra delen av skärgården – Fördelningen av fosfatfosfor i vattenmassan under 2025 i Lännerstasundet, Farstaviken, Baggensfjärden, Ägnöfjärden och Erstaviken.



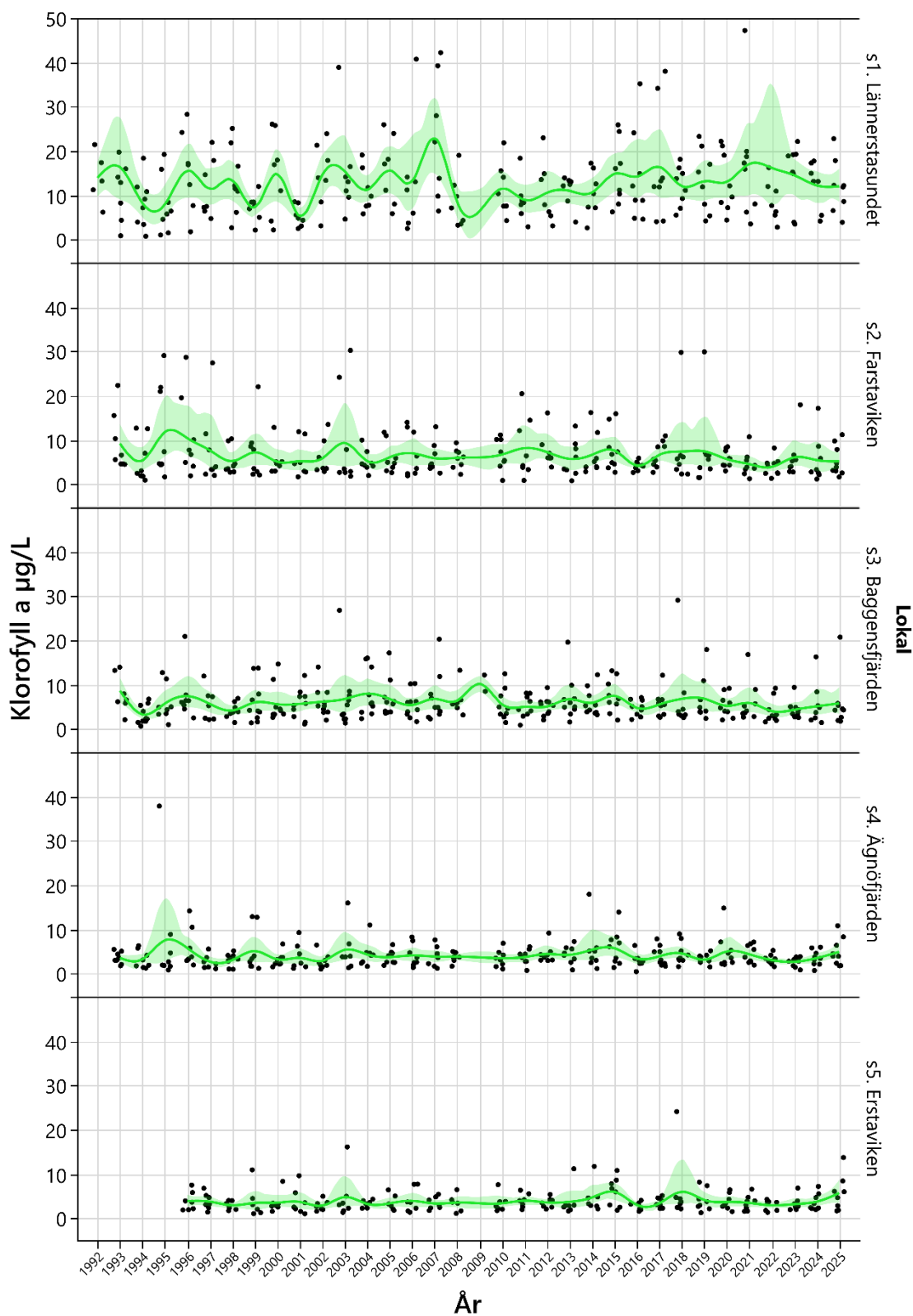
Figur 56. Södra delen av skärgården – Fördelningen av totalkväve i vattenmassan under 2025 i Lännerstasundet, Farstaviken, Baggensfjärden, Ägnöfjärden och Erstaviken.



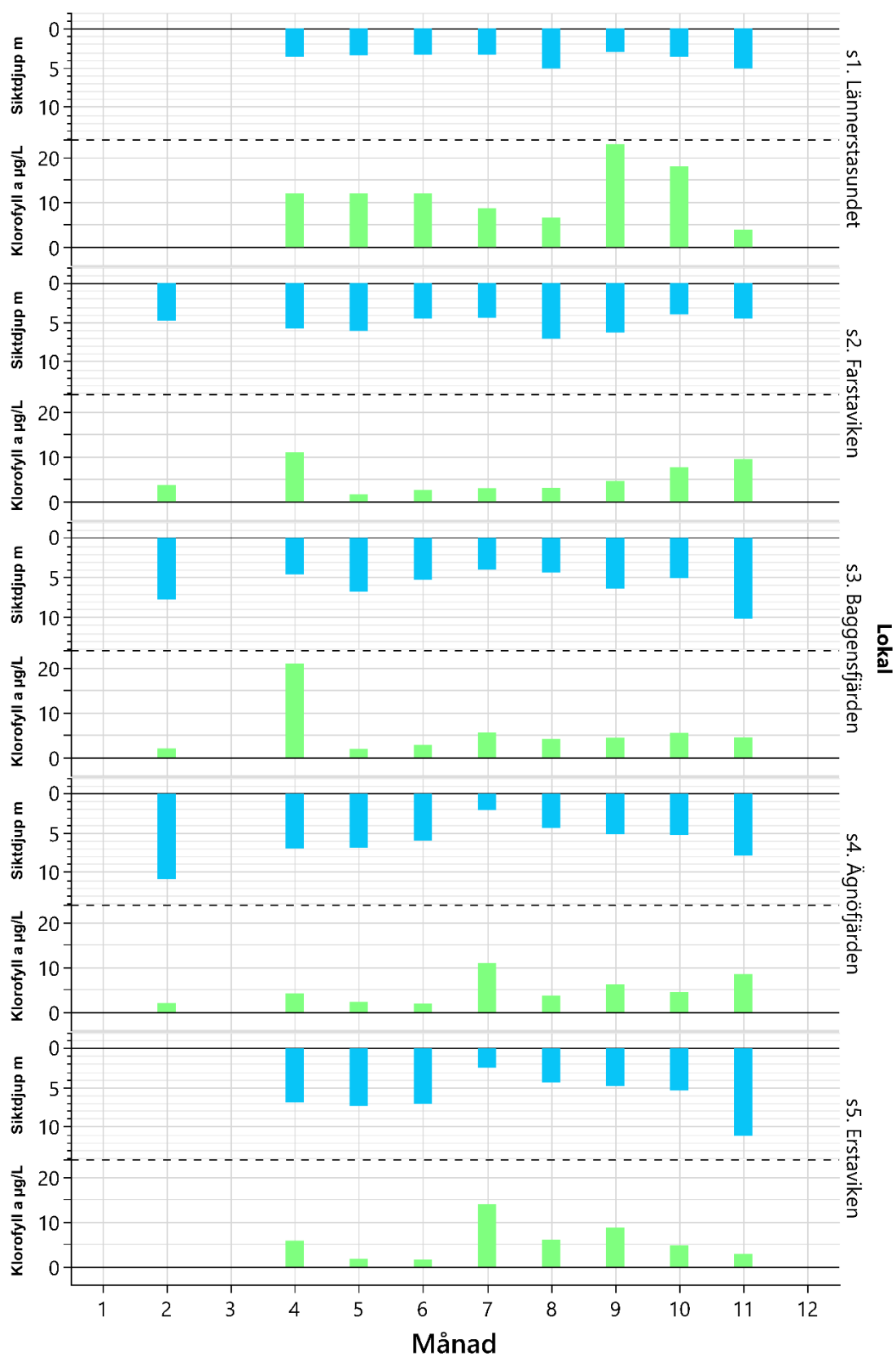
Figur 57. Södra delen av skärgården – Fördelningen av ammoniumkväve i vattenmassan under 2025 i Lännerstasundet, Farstaviken, Baggensfjärden, Ägnöfjärden och Erstaviken.



Figur 58. Södra delen av skärgården – Interpolerat medelsiktdjup under åren 1992–2025 (blå linje) och faktiska mätvärden (svarta punkter) i Lännerstasundet, Farstaviken, Baggensfjärden, Ägnöfjärden och Erstaviken. Det blåskuggade fältet motsvarar ett 95 % konfidensintervall kring medelvärdet.



Figur 59. Södra delen av skärgården – Interpolerad medelklorofyllhalt under åren 1992–2025 (grön linje) och faktiska mätvärden (svarta punkter) i Lännerstasundet, Farstaviken, Baggensfjärden, Ägnöfjärden och Erstaviken. Det grönskuggade fältet motsvarar ett 95 % konfidensintervall kring medelvärdet.



Figur 60. Södra delen av skärgården – Uppmätta siktdjup och klorofyllhalter under 2025.

Bilagor

(med separata innehållsförteckningar)

Bilaga A. Provtagningsprogram och datasammanställning

Bilaga B. Plankton

Undersökningar i Stockholms skärgård 2025 Provtagningsprogram och datasammanställning

Provtagningsprogram och datasammanställning

Innehåll

Provtagningsprogram

| | |
|----------------------------------------------|-----|
| Karta över provtagningslokaler | ii |
| Positioner för provtagningslokalerna | iii |
| Parametrar och provtagningsfrekvens per djup | iv |
| Provtagnings- och bestämningsmetodik | v |

Datasammanställning

STOCKHOLMS RECIPIENT, HUVUDSTRÖMMEN

| | |
|----------------|----|
| Slussen | 1 |
| Blockhusudden | 4 |
| Halvkakssundet | 7 |
| Koviksudde | 11 |
| Solöfjärden | 14 |
| Oxdjupet | 18 |
| Trälhavet II | 20 |
| Nyvarp | 23 |
| Sollenkroka | 26 |
| NV Eknö | 28 |

STOCKHOLMS RECIPIENT, SIDOKALER

| | |
|-----------------------|----|
| Hammarby sjö* | 31 |
| Karantänbojen | 33 |
| Blomskär | 35 |
| Kyrkfjärden* | 38 |
| Askrikefjärden* | 40 |
| Norra Vaxholmsfjärden | 42 |
| Torsbyholmen* | 44 |
| Ikorn | 46 |
| Djurö* | 49 |

SÖDRA DELEN AV SKÄRGÅRDEN

| | |
|------------------|----|
| Lännerstasundet* | 52 |
| Baggensfjärden* | 54 |
| Farstaviken* | 57 |
| Ägnöfjärden* | 59 |
| Erstaviken* | 61 |

SAMTLIGA LOKALER

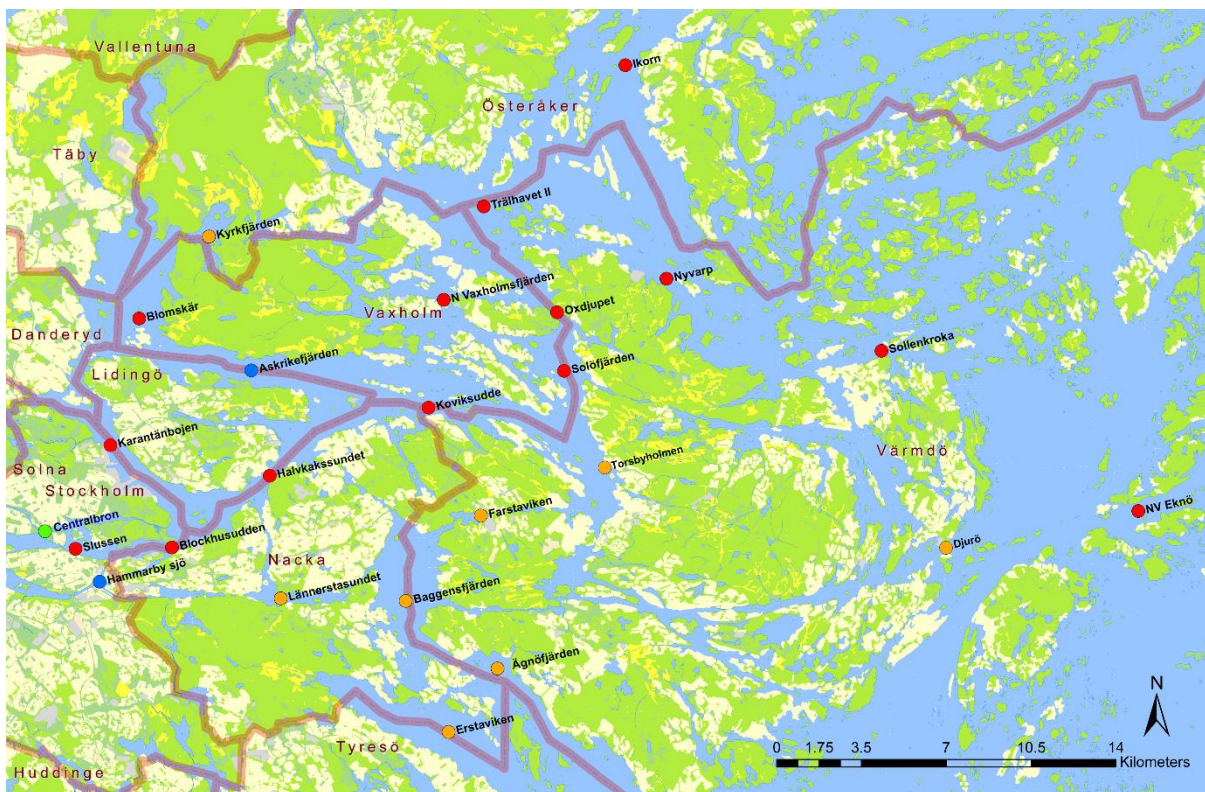
| | |
|-----------|----|
| Siktdjup | 64 |
| Klorofyll | 65 |
| Absorbans | 66 |

VECKOSTATIONER

| | |
|--------------|----|
| Centralbron* | 67 |
|--------------|----|

* ingår formellt inte i den samordnade recipientkontrollen

Karta över provtagningslokaler i Stockholms skärgård 2025



Det samordnade recipientkontrollprogrammet omfattar månadsvisa snittprovtagningar (röda punkter) samt veckovis ytvattenprovtagning vid Centralbron (grön punkt). Utöver detta ingår provtagning vid två extrapunkter: Askrikefjärden, som har lagts till av Stockholm Vatten och Avfall, samt Hammarby sjö, som är en del av Stockholms allmänna miljöövervakning (blåa punkter).

I redovisningen ingår även åtta provtagningslokaler som inte tillhör det samordnade recipientkontrollprogrammet (orangea punkter). Fem av dessa ligger i södra skärgården och provtas på uppdrag av Nacka och Värmdö kommuner. Dessutom provtas Torsbyholmen och Djurö på uppdrag av Värmdö kommun, samt Kyrkfjärden på uppdrag av Österåkers kommun och Roslagsvatten AB.

Positioner för provtagningslokalerna i Stockholms skärgård 2025

Koordinatsystem: WGS 84

| Provpunkt | Latitud | Longitud |
|----------------------------------|------------|------------|
| <i>Huvudströmmen, segelleden</i> | | |
| Slussen | 59° 19,22' | 18° 04,96' |
| Blockhusudden | 59° 19,15' | 18° 09,16' |
| Halvkakssundet | 59° 20,63' | 18° 13,55' |
| Koviksudde | 59° 21,97' | 18° 20,59' |
| Solöfjärden | 59° 22,63' | 18° 26,56' |
| Oxdjupet | 59° 23,94' | 18° 26,39' |
| Trälhavet II | 59° 26,37' | 18° 23,44' |
| Nyvarp | 59° 24,55' | 18° 31,23' |
| Sollenkroka | 59° 22,70' | 18° 40,40' |
| NV Eknö | 59° 18,83' | 18° 51,16' |
| <i>Sidostationer</i> | | |
| Hammarby sjö* | 59° 18,47' | 18° 05,94' |
| Karantänbojen | 59° 21,48' | 18° 06,69' |
| Blomskär | 59° 24,26' | 18° 08,20' |
| Askrikefjärden* | 59° 22,99' | 18° 12,97' |
| Kyrkfjärden* | 59° 26,00' | 18° 11,40' |
| Norra Vaxholmsfjärden | 59° 24,34' | 18° 21,49' |
| Torsbyholmen* | 59° 20,27' | 18° 27,94' |
| Ikorn | 59° 29,33' | 18° 29,93' |
| Djurö* | 59° 18,23' | 18° 42,61' |
| <i>Södra delen</i> | | |
| Lännerstasundet* | 59° 17,91' | 18° 13,77' |
| Baggensfjärden* | 59° 17,71' | 18° 19,19' |
| Farstaviken* | 59° 19,52' | 18° 22,64' |
| Ägnöfjärden* | 59° 16,11' | 18° 23,02' |
| Erstaviken* | 59° 14,76' | 18° 20,75' |
| <i>Veckostationer</i> | | |
| Centralbron* | 59° 19,63' | 18° 03,68' |

* Ingår inte formellt i den samordnade recipientkontrollen

Parametrar och provtagningsfrekvens per djup 2025

| | Månader | | | | | | | | | | | | Djurplankton | | Djup, meter | | | | | | | | | | | | | | | | | | | | | | | |
|--------------------------|---------|-----|-----|-------|-------|-----|-----|------|------|------|------|-----|--------------|-----|-------------|-----|-----|-----|-----|--------------|--------------|--------|-----|----|-----|----|-----|----|-----|----|-----|----|-----|----|-----|----|-----|----|
| | jan | feb | mar | april | april | maj | maj | juni | juni | juli | juli | aug | aug | sep | sep | okt | okt | nov | dec | Djurplankton | Växtplankton | 0 | 4 | 8 | 12 | 16 | 20 | 24 | 28 | 32 | 36 | 40 | 45 | 50 | | | | |
| INNER | 3 | 7 | 11 | 16 | 18 | 20 | 22 | 24 | 26 | 29 | 31 | 33 | 35 | 37 | 39 | 41 | 43 | 46 | 51 | | | 0 | 4 | 8 | 12 | 16 | 20 | 24 | 28 | 32 | 36 | 40 | 45 | 50 | | | | |
| * Slussen | x | x | x | x | x | x | x | x | x | x | x | x | x | x | x | x | x | x | x | P | P | SXabCk | Xbk | Xk | X | X | X | X | 26 | X | X | X | X | X | X | X | | |
| * Blockhusudden | x | x | x | x | x | x | x | x | x | x | x | x | x | x | x | x | x | x | x | P | P | SXabCk | Xbk | Xk | X | X | X | X | X | X | X | X | X | X | X | X | X | X |
| * Halvkakssundet | x | x | x | x | x | x | x | x | x | x | x | x | x | x | x | x | x | x | x | P | P | SXabCk | Xbk | Xk | X | X | X | X | X | X | X | X | X | X | X | X | X | X |
| * Kovikssudde | x | x | x | x | x | x | x | x | x | x | x | x | x | x | x | x | x | x | x | P | P | SXabCk | Xbk | Xk | Xk | Xk | Xk | Xk | Xk | Xk | Xk | Xk | Xk | Xk | Xk | Xk | Xk | Xk |
| * Solöfjärden | x | x | x | x | x | x | x | x | x | x | x | x | x | x | x | x | x | x | x | P | P | SXabCk | Xbk | Xk | X | X | X | X | X | X | X | X | X | X | X | X | X | X |
| * Oxidjupet | x | x | x | x | x | x | x | x | x | x | x | x | x | x | x | x | x | x | x | P | P | SXabCk | Xbk | Xk | X | X | X | X | X | X | X | X | X | X | X | X | X | X |
| | | | | | | | | | | | | | | | | | | | | | | | | | | | | | | | | | | | | | | |
| MELLAN | 3 | 7 | 11 | 16 | 18 | 20 | 22 | 24 | 26 | 29 | 31 | 33 | 35 | 37 | 39 | 41 | 43 | 46 | 51 | | | 0 | 4 | 8 | 12 | 16 | 20 | 30 | 40 | 50 | 60 | | | | | | | |
| * Trälhavet | x | x | x | x | x | x | x | x | x | x | x | x | x | x | x | x | x | x | x | P | P | SxabCk | Xbk | Xk | Xk | Xk | Xk | Xk | Xk | Xk | Xk | Xk | Xk | Xk | Xk | Xk | Xk | |
| * Nyvarp | x | x | x | x | x | x | x | x | x | x | x | x | x | x | x | x | x | x | x | P | P | SxabCk | Xbk | Xk | Xk | Xk | Xk | Xk | Xk | Xk | Xk | Xk | Xk | Xk | Xk | Xk | Xk | Xk |
| * Sollenkroka | x | x | x | x | x | x | x | x | x | x | x | x | x | x | x | x | x | x | x | P | P | SxabCk | Xbk | Xk | Xk | Xk | Xk | Xk | Xk | Xk | Xk | Xk | Xk | Xk | Xk | Xk | Xk | Xk |
| | | | | | | | | | | | | | | | | | | | | | | | | | | | | | | | | | | | | | | |
| YTTER | 3 | 7 | 11 | 16 | 18 | 20 | 22 | 24 | 26 | 29 | 31 | 33 | 35 | 37 | 39 | 41 | 43 | 46 | 51 | | | 0 | 4 | 8 | 12 | 16 | 20 | 30 | 40 | 50 | | | | | | | | |
| * NV Eknö | x | x | x | x | x | x | x | x | x | x | x | x | x | x | x | x | x | x | x | P | P | SxabCk | Xbk | Xk | Xk | Xk | Xk | Xk | Xk | Xk | Xk | Xk | Xk | Xk | Xk | Xk | Xk | |
| | | | | | | | | | | | | | | | | | | | | | | | | | | | | | | | | | | | | | | |
| INNER SIDLOKALER | 3 | 7 | 11 | 16 | 18 | 20 | 22 | 24 | 26 | 29 | 31 | 33 | 35 | 37 | 39 | 41 | 43 | 46 | 51 | | | 0 | 4 | 8 | 12 | 16 | 20 | 24 | 28 | | | | | | | | | |
| Hammarby Sjö | | | | x | x | x | x | x | x | x | x | x | x | x | x | x | x | x | x | | | SXbCk | Xbk | Xk | Xk | Xk | Xk | Xk | Xk | Xk | Xk | Xk | | | | | | |
| * Karantänbojen | | | | x | x | x | x | x | x | x | x | x | x | x | x | x | x | x | x | | | SXbCk | Xbk | Xk | Xk | Xk | Xk | Xk | Xk | Xk | Xk | Xk | | | | | | |
| * Blomskär | | | | x | x | x | x | x | x | x | x | x | x | x | x | x | x | x | x | | | SXbCk | Xbk | Xk | Xk | Xk | Xk | Xk | Xk | Xk | Xk | Xk | | | | | | |
| Askrikefjärden | | | | x | x | x | x | x | x | x | x | x | x | x | x | x | x | x | x | | | SXbCk | Xbk | Xk | Xk | Xk | Xk | Xk | Xk | Xk | Xk | Xk | | | | | | |
| * N Vaxholmsfjärden | | | | x | x | x | x | x | x | x | x | x | x | x | x | x | x | x | x | | | SXbCk | Xbk | Xk | Xk | Xk | Xk | Xk | Xk | Xk | Xk | Xk | | | | | | |
| V Torsbyholme | | | | x | x | x | x | x | x | x | x | x | x | x | x | x | x | x | x | | | SXbCk | Xbk | Xk | Xk | Xk | Xk | Xk | Xk | Xk | Xk | Xk | | | | | | |
| | | | | | | | | | | | | | | | | | | | | | | | | | | | | | | | | | | | | | | |
| MELLAN SIDLOKALER | 3 | 7 | 11 | 16 | 18 | 20 | 22 | 24 | 26 | 29 | 31 | 33 | 35 | 37 | 39 | 41 | 43 | 46 | 51 | | | 0 | 4 | 8 | 12 | 16 | 20 | 30 | 40 | 50 | | | | | | | | |
| * Ilkom | | | | x | x | x | x | x | x | x | x | x | x | x | x | x | x | x | x | | | SXck | Xk | Xk | X | X | X | X | X | X | X | X | X | X | X | X | X | |
| Djurö | | | | x | x | x | x | x | x | x | x | x | x | x | x | x | x | x | x | | | SxabCk | Xbk | Xk | Xk | Xk | Xk | Xk | Xk | Xk | Xk | Xk | Xk | Xk | Xk | Xk | Xk | Xk |
| | | | | | | | | | | | | | | | | | | | | | | | | | | | | | | | | | | | | | | |
| SÖDER | 3 | 7 | 11 | 16 | 18 | 20 | 22 | 24 | 26 | 29 | 31 | 33 | 35 | 37 | 39 | 41 | 43 | 46 | 51 | | | 0 | 4 | 8 | 12 | 16 | 20 | 30 | 40 | 50 | 60 | | | | | | | |
| U Lännerstasundet | | | | x | x | x | x | x | x | x | x | x | x | x | x | x | x | x | x | P | P | SXck | Xk | Xk | X | X | X | 24 | X | X | X | X | X | X | X | X | X | |
| U Baggensfjärden | | | | x | x | x | x | x | x | x | x | x | x | x | x | x | x | x | x | P | P | SXck | Xk | Xk | Xk | Xk | Xk | Xk | Xk | Xk | Xk | Xk | Xk | Xk | Xk | Xk | Xk | Xk |
| U Farstaviken | | | | x | x | x | x | x | x | x | x | x | x | x | x | x | x | x | x | P | P | SXck | Xk | Xk | X | X | X | X | X | X | X | X | X | X | X | X | X | X |
| U Ägnöfjärden | | | | x | x | x | x | x | x | x | x | x | x | x | x | x | x | x | x | P | P | SXck | Xk | Xk | X | X | X | X | 28 | X | X | X | X | X | X | X | X | X |
| U Erstaviken | | | | x | x | x | x | x | x | x | x | x | x | x | x | x | x | x | x | P | P | SXck | Xk | Xk | X | X | X | X | X | X | X | X | X | X | X | X | X | X |
| | | | | | | | | | | | | | | | | | | | | | | | | | | | | | | | | | | | | | | |
| NORR | 3 | 7 | 11 | 16 | 18 | 20 | 22 | 24 | 26 | 29 | 31 | 33 | 35 | 37 | 39 | 41 | 43 | 46 | 51 | | | 0 | 2 | 4 | 6 | 8 | 10 | 12 | 14 | | | | | | | | | |
| U Kyrkfjärden | | | | x | x | x | x | x | x | x | x | x | x | x | x | x | x | x | x | | | SXck | tss | X | tss | X | tss | X | tss | X | tss | X | tss | X | tss | X | tss | |

* Ingår i det samordnade recipientkontrollprogrammet

Parametrar

S: Sikt djup

X: Temperatur, konduktivitet, syre, svavelväte, fosfor (total, fosfat), kväve (total, ammonium, nitrit+nitrat)

a: absorptions, filtrerat 420/5

b: Bakterier (*E. coli* med Colilert® och Kolif. bakt. 35 gr C)

C: Provtagningsdjup, integrerat 0-5 m.

k: Kisel

tss: Temperatur, salt, syre

23: Avvikande största djup, parametrar som närmast över

P: Hjälpdjup, totalräkning, integrerat 0-5 m

D: Djurplankton

Provtagnings- och bestämningsmetodik 2025

PROVTAGNING

Provtagningen utfördes av Calluna AB, ackreditering enligt SS-EN ISO/IEC 17 025, ackrediteringsnummer 1959.

Vattenprovtagning, enligt NV Handledning för miljöövervakning–Kust och Hav-Hydrografi och närsalter, Trendövervakning, v 1:1, 2004-06-17. Provtagningsmetodiken följer SS-EN ISO 5667-1:2006 och SS-EN ISO 5667-1:2007/AC:2007.

Mikrobiologi, SS-EN-ISO 19458:2006.

Klorofyll, SS 028146-1. Modifierad, prov tas med Rambergör från 0–5 m djup.

Växtplankton, SS-EN 15204:2006, Naturvårdsverkets handbok för miljöövervakning, växtplankton. Modifierad metod, prov tas med Rambergör från 0–5 m djup.

Djurplankton, SS-EN 15110:2006, Naturvårdsverket "Handledning för miljöövervakning".

BESTÄMNINGAR

Eurofins Environment Sweden AB är ackrediterat för samtliga analyser och provtagningar enligt SS-EN ISO/IEC 17 025, ackrediteringsnummer 1125. Beräkningar omfattas inte av ackrediteringen.

Vattentemperatur, °C

Med termistor, SLV 1990-01-01. Mätosäkerhet ± 0,1°C.

Konduktivitet, SS-EN 27888:1994, vid 25°C *in vitro*, mätosäkerhet 10 %.

Salinitet PSS, PSU

SS-EN 27888:1994, beräkning enligt UNESCO (1978) från 25°C konduktivitet omräknad till 15°C konduktivitet enligt Standard Methods.

Syre, mg/L

SS-EN 25813:1993: "Titrimetrisk bestämning av halten löst oxygen hos vatten" utförs med titrerutrustning, där standardmetoden modifierats genom potentiometrisk bestämning av slutpunkten. Mätområde 0,3–20 mg/L. Mätosäkerhet ≤3mg/L 20%, >3 mg/L 10%.

Syremättnadsgrad, %

SS-EN 25813:1993, beräknad från temperatur och salinitet enligt Truesdale & Gameson (1957).

Svavelväte, mg/L, SS 028115-1. Mätområde 0,1–2,0 mg/L. Mätosäkerhet 30 %.

Fosforföreningar, µg/L

Fosfatfosfor, QuAAtro, SS-EN ISO 15681-2:2005. Mätområde 1–50 µg/L. Mätosäkerhet <5 µg/L 15 %, >5µg/L 10 %.

Totalfosfor: TRAACS, SS-EN ISO

15681-2:2005. Mätområde 5–800 µg/L. Mätosäkerhet 10 %.

Kväveföreningar, µg/L

Ammoniumkväve, QuAAtro, SS-EN ISO 11732:2005. ISO 11732-1. Mätområde 3–250 µg/L. Mätosäkerhet <10 µg/L 25 %, >10 µg/L 10 %.

Nitrit- och nitratkväve, QuAAtro, SS-EN ISO

13395:1997. Mätområde 1–50 µg/L. Mätosäkerhet <5 µg/L 15 %, >5 µg/L 10 %.

Totalkväve: SAN, SS-EN ISO 11905-1:1998.

Mätområde 50–5000 µg/L. Mätosäkerhet <250 µg/L 25 %, >250 µg/L 10 %.

Kisel, µg/L

Kisel, QuAAtro SS-EN ISO 16264:2004. Mätområde 10–500 µg/L. Mätosäkerhet <20 µg/L 15 %, >20 µg/L 10 %.

Absorbans, 420/5 filtr., AU

Spektrofotometri, enligt SS-EN ISO 7887:2012 Del B-mod. Rapporteringsgräns 0,005 AU. Mätosäkerhet 10 %

Klorofyll a, µg/L

SS 028146-1. Filtrering på Whatman GF/C, extraktion med 90 % aceton och trikromatisk bestämning vid 664, 647 och 630 nm. Mätområde 0,1–600 µg/L. Mätosäkerhet 15 % teoretisk enligt standard.

Bakterier, MPN/100 mL

Escherichia coli och *Koliforma bakterier*: Colilert®-18/Quanti-Tray®. SS-EN ISO 9308-2:2014. Bestämningsgräns: 1 MPN/100 ml i ospätt prov.

Växtplankton, SS-EN 15204:2006, Naturvårdsverket
"Handledning för miljöövervakning".
Svarsosäkerheten anges i intervallet <2 % till ≤30 %.

Djurplankton, SS-EN 15110:2006, Naturvårdsverket
"Handledning för miljöövervakning".

Siktdjup, m

SS-EN ISO 7027, del 5.2, utg. 1 Naturvårdsverkets
Handledning för miljöövervakning Hav - Siktdjup,
2001-02-20, modifierad. Mäts med 20 cm
Secchiskiva och vattenkikare. Medelvärde av 2
personers mätningar används, en vid ankomst till
provpunkt och en vid avfärd; om skillnaden är större
än 0,5 m görs en tredje mätning. Vid
vinterprovtagningar från inhyrd båt görs
mätningarna vanligen utan vattenkikare med en
mindre Secchiskiva, vilket antas ge 10 % lägre värde.

ÖVRIGA FÄLT OBSERVATIONER

Lufttemperatur, °C

Mäts med termometer ombord på
provtagningsbåten.

KOMMENTARSKODER SOM ANVÄNDS I ANALYS PROTOKOLLEN

| | |
|----|------------------------------------------------|
| ae | Analys ej utförd |
| fa | Felaktig analys |
| fp | Felaktig eller utebliven provtagning. |
| ft | Felaktig transport |
| mv | Mycket varierande <i>in situ</i> värde |
| o | Osäkert värde |
| po | Provtagning omöjlig p.g.a. is, väder o.dyl. |
| s | Svavelväte i provet |
| sa | Analys utförd senare än metoden föreskriver |
| vv | Variationer <i>in situ</i> värde |

Slussen**Vattentemperatur, °C**

| Djup, m | 0113 | 0212 | 0311 | 0414 | 0512 | 0612 | 0717 | 0813 | 0910 | 1008 | 1111 | 1215 |
|---------|------|------|------|------|------|------|------|------|------|------|------|------|
| 0 | 1,2 | 1 | 2,2 | 5,4 | 8,2 | 9,5 | 17,7 | 16,8 | 17,3 | 13,7 | 10,2 | 6,5 |
| 4 | 1,2 | 1,1 | 2,3 | 4,5 | 6,5 | 8,5 | 13,6 | 15,8 | 15,4 | 12,8 | 10,2 | 6,8 |
| 8 | 3,5 | 1,4 | 2,7 | 3,9 | 5 | 7,7 | 11,6 | 14 | 13,6 | 12,1 | 10,8 | 8,6 |
| 12 | 4,6 | 3,6 | 2,6 | 3,3 | 4,3 | 6,5 | 10,2 | 10,8 | 11,9 | 11,4 | 11 | 9,8 |
| 16 | 5,2 | 3,9 | 2,6 | 3 | 3,4 | 5,4 | 8,2 | 9,7 | 10,9 | 11 | 11,1 | 9,5 |
| 20 | 5,2 | 3,9 | 2,7 | 2,7 | 2,9 | 4,6 | 7,5 | 8,8 | 10,1 | 10,9 | 11,1 | 9,7 |
| 24 | 5,2 | 3,8 | 2,6 | 2,7 | 2,6 | 4,4 | 7 | 8,4 | 10 | 10,7 | 10,9 | 9,7 |
| 26 | 4,9 | 3,7 | 2,5 | 2,8 | 3 | 4,2 | 7,1 | 8,4 | 9,8 | 10,7 | 10,9 | 9,8 |

Salinitet, PSU

| Djup, m | 0113 | 0212 | 0311 | 0414 | 0512 | 0612 | 0717 | 0813 | 0910 | 1008 | 1111 | 1215 |
|---------|------|------|------|------|------|------|------|------|------|------|------|------|
| 0 | 0,3 | 0,25 | 0,29 | 2,02 | 1,67 | 3,35 | 1,26 | 2,34 | 0,75 | 1 | 0,25 | 0,64 |
| 4 | 0,46 | 0,27 | 0,39 | 3,21 | 3,27 | 3,59 | 2,94 | 2,88 | 2,54 | 2,61 | 0,33 | 1,17 |
| 8 | 3,59 | 0,78 | 2,82 | 3,75 | 3,62 | 3,97 | 3,61 | 3,05 | 3,42 | 3,28 | 3,66 | 3,65 |
| 12 | 4,6 | 4,72 | 4,2 | 4,35 | 4,24 | 4,15 | 3,98 | 3,69 | 4 | 4,03 | 4,43 | 4,46 |
| 16 | 5,21 | 5,02 | 4,95 | 4,75 | 4,65 | 4,45 | 4,48 | 4,1 | 4,36 | 4,29 | 4,95 | 4,85 |
| 20 | 5,28 | 5,14 | 5,18 | 5,02 | 4,87 | 4,42 | 4,63 | 4,33 | 4,66 | 4,49 | 5,15 | 5,18 |
| 24 | 5,42 | 5,23 | 5,27 | 5,12 | 4,99 | 4,76 | 4,84 | 4,48 | 4,9 | 4,64 | 5,23 | 5,26 |
| 26 | 5,44 | 5,25 | 5,35 | 5,17 | 5,02 | 4,88 | 4,95 | 4,6 | 4,91 | 4,69 | 5,22 | 5,22 |

Syre, mg/l

| Djup, m | 0113 | 0212 | 0311 | 0414 | 0512 | 0612 | 0717 | 0813 | 0910 | 1008 | 1111 | 1215 |
|---------|------|------|------|------|------|------|------|------|------|------|------|------|
| 0 | 11,3 | 12,5 | 12,1 | 12 | 12,1 | 11,2 | 4,4 | 6,7 | 7,9 | 7,6 | 8,6 | 9,3 |
| 4 | 10,9 | 12,5 | 11,8 | 11 | 12,1 | 10,5 | 6,8 | 6,4 | 5,9 | 5,6 | 8,4 | 8,5 |
| 8 | 8,7 | 12 | 11 | 10,5 | 11 | 9,6 | 5,9 | 5,3 | 4,8 | 4,1 | 4,7 | 6,2 |
| 12 | 7,2 | 9 | 9,6 | 9,7 | 10 | 8,6 | 5,8 | 3,7 | 3,8 | 2,9 | 3,7 | 5,4 |
| 16 | 6,4 | 7,9 | 9 | 9,3 | 9,1 | 7,1 | 5,3 | 4 | 3,2 | 2 | 3,3 | 5,1 |
| 20 | 6,4 | 7,7 | 8,5 | 9,3 | 8,7 | 7,3 | 6,1 | 4 | 2,7 | 2,9 | 2,7 | 4,8 |
| 24 | 6 | 7,6 | 8 | 8,8 | 8,7 | 8 | 4,5 | 3,3 | 3,3 | 1,8 | 2,9 | 5,1 |
| 26 | 6,9 | 8 | 8,8 | 8,7 | 8,9 | 7,2 | 4,9 | 2,6 | 2,4 | 1,8 | 2,8 | 5 |

Syrgasmättnad, %

| Djup, m | 0113 | 0212 | 0311 | 0414 | 0512 | 0612 | 0717 | 0813 | 0910 | 1008 | 1111 | 1215 |
|---------|------|------|------|------|------|------|------|------|------|------|------|------|
| 0 | 80 | 88 | 88 | 96 | 100 | 100 | 46 | 70 | 83 | 74 | 77 | 76 |
| 4 | 77 | 89 | 86 | 87 | 100 | 92 | 67 | 66 | 60 | 54 | 75 | 70 |
| 8 | 67 | 86 | 83 | 82 | 88 | 83 | 56 | 53 | 47 | 39 | 43 | 54 |
| 12 | 58 | 70 | 73 | 75 | 79 | 72 | 53 | 34 | 36 | 27 | 35 | 49 |
| 16 | 52 | 62 | 69 | 71 | 71 | 58 | 47 | 36 | 30 | 19 | 31 | 46 |
| 20 | 52 | 61 | 65 | 71 | 67 | 58 | 52 | 35 | 25 | 27 | 25 | 44 |
| 24 | 49 | 60 | 61 | 67 | 66 | 64 | 38 | 29 | 30 | 17 | 27 | 46 |
| 26 | 56 | 63 | 67 | 67 | 68 | 57 | 42 | 23 | 22 | 17 | 26 | 46 |

Fosfatfosfor, µg/L

| Djup, m | 0113 | 0212 | 0311 | 0414 | 0512 | 0612 | 0717 | 0813 | 0910 | 1008 | 1111 | 1215 |
|---------|------|------|------|------|------|------|------|------|------|------|------|------|
| 0 | 16 | 18 | 18 | 11 | 1,1 | 1,4 | 7,6 | 15 | 9,9 | 14 | 17 | 26 |
| 4 | 17 | 18 | 19 | 22 | <1,0 | 1,8 | 19 | 20 | 21 | 34 | 18 | 30 |
| 8 | 37 | 22 | 32 | 26 | 1,5 | 1,5 | 25 | 32 | 33 | 50 | 55 | 50 |
| 12 | 45 | 43 | 41 | 32 | 22 | 1,7 | 35 | 54 | 53 | 63 | 69 | 56 |
| 16 | 49 | 45 | 45 | 34 | 35 | 2,1 | 43 | 57 | 50 | 74 | 74 | 54 |
| 20 | 50 | 50 | 50 | 37 | 36 | 8,1 | 47 | 69 | 66 | 77 | 86 | 55 |
| 24 | 58 | 47 | 47 | 40 | 40 | 20 | 58 | 98 | 68 | 140 | 99 | 54 |
| 26 | 46 | 52 | 49 | 45 | 33 | 35 | 64 | 99 | 130 | 150 | 130 | 54 |

Totalfosfor, µg/L

| Djup, m | 0113 | 0212 | 0311 | 0414 | 0512 | 0612 | 0717 | 0813 | 0910 | 1008 | 1111 | 1215 |
|---------|------|------|------|------|------|------|------|------|------|------|------|------|
| 0 | 23 | 34 | 27 | 33 | 21 | 48 | 27 | 34 | 30 | 31 | 27 | 32 |
| 4 | 24 | 29 | 27 | 38 | 37 | 69 | 36 | 41 | 47 | 51 | 27 | 40 |
| 8 | 47 | 31 | 40 | 42 | 30 | 42 | 38 | 51 | 50 | 65 | 69 | 64 |
| 12 | 55 | 53 | 48 | 49 | 42 | 30 | 51 | 71 | 69 | 82 | 84 | 75 |
| 16 | 63 | 56 | 53 | 48 | 48 | 26 | 60 | 76 | 73 | 93 | 90 | 76 |
| 20 | 63 | 63 | 62 | 49 | 46 | 36 | 69 | 88 | 95 | 97 | 100 | 71 |
| 24 | 76 | 65 | 72 | 55 | 56 | 43 | 83 | 130 | 99 | 180 | 130 | 74 |
| 26 | 58 | 68 | 73 | 67 | 56 | 58 | 94 | 130 | 180 | 190 | 160 | 74 |

Ammoniumkväve, µg/L

| Djup, m | 0113 | 0212 | 0311 | 0414 | 0512 | 0612 | 0717 | 0813 | 0910 | 1008 | 1111 | 1215 |
|---------|------|------|------|------|------|------|------|------|------|------|------|------|
| 0 | 11 | 23 | 4,8 | 62 | 12 | 6,5 | 70 | 94 | 43 | 44 | 15 | 26 |
| 4 | 17 | 24 | 9,3 | 120 | 4,4 | 14 | 140 | 110 | 80 | 110 | 20 | 44 |
| 8 | 150 | 79 | 55 | 140 | 3,6 | 42 | 170 | 140 | 110 | 170 | 160 | 130 |
| 12 | 240 | 550 | 110 | 190 | 110 | 66 | 220 | 170 | 99 | 210 | 200 | 230 |
| 16 | 160 | 280 | 95 | 140 | 100 | 99 | 250 | 160 | 81 | 120 | 180 | 200 |
| 20 | 83 | 160 | 82 | 81 | 67 | 140 | 250 | 160 | 55 | 110 | 78 | 53 |
| 24 | 63 | 81 | 65 | 53 | 61 | 130 | 270 | 210 | 56 | 96 | 57 | 33 |
| 26 | 29 | 51 | 46 | 56 | 29 | 170 | 250 | 190 | 120 | 100 | 83 | 28 |

Nitrit+nitratkväve, µg/L

| Djup, m | 0113 | 0212 | 0311 | 0414 | 0512 | 0612 | 0717 | 0813 | 0910 | 1008 | 1111 | 1215 |
|---------|------|------|------|------|------|------|------|------|------|------|------|------|
| 0 | 270 | 280 | 290 | 290 | 190 | 210 | 91 | 200 | 64 | 110 | 150 | 210 |
| 4 | 280 | 290 | 300 | 390 | 280 | 230 | 210 | 260 | 240 | 310 | 160 | 210 |
| 8 | 520 | 310 | 380 | 450 | 320 | 300 | 260 | 370 | 340 | 480 | 480 | 270 |
| 12 | 690 | 450 | 470 | 640 | 530 | 340 | 340 | 590 | 540 | 630 | 530 | 330 |
| 16 | 510 | 400 | 410 | 400 | 440 | 340 | 370 | 600 | 550 | 610 | 510 | 280 |
| 20 | 300 | 320 | 310 | 350 | 290 | 310 | 320 | 480 | 440 | 440 | 290 | 200 |
| 24 | 210 | 230 | 240 | 220 | 210 | 240 | 220 | 350 | 220 | 270 | 180 | 170 |
| 26 | 190 | 190 | 190 | 190 | 180 | 200 | 150 | 310 | 230 | 260 | 180 | 170 |

Totalkväve, µg/L

| Djup, m | 0113 | 0212 | 0311 | 0414 | 0512 | 0612 | 0717 | 0813 | 0910 | 1008 | 1111 | 1215 |
|---------|------|------|------|------|------|------|------|------|------|------|------|------|
| 0 | 690 | 710 | 690 | 810 | 670 | 810 | 620 | 700 | 640 | 630 | 570 | 620 |
| 4 | 700 | 730 | 690 | 920 | 850 | 880 | 750 | 800 | 790 | 820 | 580 | 650 |
| 8 | 1000 | 800 | 740 | 970 | 790 | 840 | 790 | 870 | 880 | 1100 | 950 | 710 |
| 12 | 1200 | 1300 | 840 | 1200 | 990 | 800 | 910 | 1100 | 1100 | 1200 | 1100 | 870 |
| 16 | 940 | 1000 | 760 | 870 | 850 | 800 | 950 | 1100 | 1000 | 1100 | 1000 | 750 |
| 20 | 680 | 760 | 630 | 720 | 650 | 770 | 900 | 970 | 880 | 850 | 610 | 490 |
| 24 | 550 | 580 | 530 | 560 | 590 | 670 | 800 | 850 | 640 | 640 | 500 | 460 |
| 26 | 500 | 510 | 460 | 550 | 490 | 660 | 740 | 800 | 710 | 660 | 520 | 450 |

Kisel, µg/L

| Djup, m | 0113 | 0212 | 0311 | 0414 | 0512 | 0612 | 0717 | 0813 | 0910 | 1008 | 1111 | 1215 |
|---------|------|------|------|------|------|------|------|------|------|------|------|------|
| 0 | 1500 | 1600 | 1600 | 1100 | 530 | 320 | 290 | 430 | 270 | 540 | 680 | 930 |
| 4 | 1300 | 1600 | 1600 | 1100 | 560 | 360 | 500 | 510 | 570 | 790 | 690 | 970 |
| 8 | 1300 | 1600 | 1400 | 1200 | 680 | 490 | 600 | 680 | 750 | 1000 | 1200 | 1200 |

Escherichia coli, MPN/100 ml

| Djup, m | 0113 | 0212 | 0311 | 0414 | 0512 | 0612 | 0717 | 0813 | 0910 | 1008 | 1111 | 1215 |
|---------|------|------|------|------|------|------|------|------|------|------|------|------|
| 0 | 41 | 310 | 20 | 200 | 10 | 200 | 31 | 41 | 52 | 570 | 10 | 680 |
| 4 | 74 | 320 | 20 | 200 | 41 | 41 | 10 | <10 | 10 | 300 | 10 | 1400 |

Koliforma bakterier 35°C, MPN/100 ml

| Djup, m | 0113 | 0212 | 0311 | 0414 | 0512 | 0612 | 0717 | 0813 | 0910 | 1008 | 1111 | 1215 |
|---------|------|------|------|------|------|------|------|------|------|------|------|------|
| 0 | 130 | 880 | 120 | 1200 | 300 | 1300 | 360 | 470 | 1200 | 2900 | 170 | 2000 |
| 4 | 210 | 720 | 120 | 1400 | 280 | 410 | 250 | 510 | 470 | 1400 | 260 | 5200 |

Blockhusudden**Vattentemperatur, °C**

| Djup, m | 0114 | 0212 | 0311 | 0414 | 0512 | 0612 | 0717 | 0813 | 0910 | 1008 | 1111 | 1215 |
|---------|------|------|------|------|------|------|------|------|------|------|------|------|
| 0 | 2 | 1,2 | 2,5 | 5,4 | 8,2 | 10,9 | 16,5 | 16,8 | 16,3 | 13,3 | 10,2 | 7 |
| 4 | 2,4 | 1,5 | 2,5 | 5,4 | 7,3 | 10,6 | 15,7 | 16,5 | 15,8 | 13,1 | 10,4 | 7,8 |
| 8 | 3,9 | 1,7 | 2,9 | 4,7 | 6,7 | 10,2 | 13,2 | 15,1 | 13,9 | 12,8 | 11 | 8 |
| 12 | 4,7 | 3,3 | 2,7 | 3,7 | 5,6 | 8,1 | 11,7 | 12,6 | 11,9 | 11,9 | 11,1 | 9,2 |
| 16 | 5,1 | 3,8 | 2,7 | 3 | 3,6 | 6,4 | 8,7 | 10,2 | 10,7 | 11,2 | 11,3 | 9,8 |
| 20 | 5 | 3,6 | 2,5 | 2,7 | 3,6 | 5,3 | 7,8 | 9,1 | 10,5 | 11,3 | 11,2 | 9,9 |
| 24 | 4,9 | 3,1 | 2,7 | 2,7 | 2,8 | 4,6 | 7,6 | 8,8 | 10,3 | 11,3 | 11 | 9,7 |
| 28 | 4,9 | 3,5 | 2,5 | 2,7 | 2,8 | 4,1 | 6,9 | 8,3 | 9,8 | 11,3 | 10,8 | 9,7 |
| 32 | 4,7 | 3,8 | 2,4 | 2,6 | 2,7 | 3,7 | 6 | 7,5 | 9,2 | 10,7 | 10,5 | 9,5 |
| 36 | 4,7 | 3,6 | 2,4 | 2,7 | 3 | 3,9 | 6,1 | 7,2 | 8,7 | 9,6 | 10,2 | 9,6 |

Salinitet, PSU

| Djup, m | 0114 | 0212 | 0311 | 0414 | 0512 | 0612 | 0717 | 0813 | 0910 | 1008 | 1111 | 1215 |
|---------|------|------|------|------|------|------|------|------|------|------|------|------|
| 0 | 1,25 | 0,62 | 0,56 | 2,92 | 3,07 | 3,59 | 2,16 | 2,74 | 2,45 | 2 | 0,6 | 1,34 |
| 4 | 1,78 | 1,17 | 0,81 | 2,89 | 3,44 | 3,61 | 2,51 | 2,73 | 2,82 | 2,69 | 2,06 | 2,59 |
| 8 | 4,06 | 2,33 | 2,69 | 3,17 | 3,87 | 3,57 | 4,01 | 3,15 | 3,63 | 3,26 | 3,93 | 3,17 |
| 12 | 4,65 | 4,34 | 3,95 | 4,42 | 4,15 | 4,11 | 4,27 | 3,65 | 4,17 | 3,77 | 4,72 | 4,38 |
| 16 | 4,89 | 4,91 | 5,02 | 4,83 | 4,58 | 4,31 | 4,58 | 4,24 | 4,53 | 4,31 | 4,98 | 5,06 |
| 20 | 5,29 | 5,18 | 5,2 | 5,03 | 4,81 | 4,71 | 4,9 | 4,37 | 4,76 | 4,55 | 5,28 | 5,24 |
| 24 | 5,34 | 5,28 | 5,37 | 5,15 | 4,97 | 4,67 | 4,94 | 4,68 | 5 | 4,7 | 5,3 | 5,29 |
| 28 | 5,62 | 5,31 | 5,39 | 5,16 | 5,03 | 5 | 5,09 | 4,66 | 5,01 | 4,76 | 5,32 | 5,53 |
| 32 | 5,3 | 5,34 | 5,43 | 5,2 | 5,06 | 5,06 | 5,12 | 4,68 | 4,98 | 4,77 | 5,3 | 5,38 |
| 36 | 5,26 | 5,39 | 5,42 | 5,2 | 5,06 | 5,09 | 5,08 | 4,76 | 4,98 | 4,74 | 5,28 | 5,54 |

Syre, mg/l

| Djup, m | 0114 | 0212 | 0311 | 0414 | 0512 | 0612 | 0717 | 0813 | 0910 | 1008 | 1111 | 1215 |
|---------|------|------|------|------|------|------|------|------|------|------|------|------|
| 0 | 11,3 | 11,7 | 12,6 | 12,3 | 14 | 11,9 | 8,1 | 7,6 | 7,9 | 7,1 | 8,3 | 8,9 |
| 4 | 10,8 | 11,2 | 12,8 | 12,1 | 13,3 | 11,9 | 8 | 7,3 | 7,7 | 6,4 | 7 | 7,6 |
| 8 | 9 | 10,2 | 11,5 | 12,3 | 12,1 | 11,4 | 7,2 | 6,1 | 5,8 | 5,4 | 4,6 | 7,2 |
| 12 | 7,9 | 8,6 | 10,2 | 10,1 | 10,3 | 9,4 | 6,7 | 4,4 | 4,1 | 3,8 | 3,8 | 5,2 |
| 16 | 8,1 | 8,3 | 9,3 | 9,8 | 9,3 | 8,3 | 5,8 | 3,6 | 2,9 | 2,7 | 3,3 | 4,2 |
| 20 | 8,5 | 8,2 | 9,6 | 10,2 | 9,1 | 7,6 | 6,2 | 4,4 | 4 | 4 | 4 | 5,1 |
| 24 | 8,3 | 9,2 | 8,6 | 10 | 9,8 | 7,6 | 6,2 | 5,4 | 4,2 | 3,5 | 3,3 | 5,1 |
| 28 | 8,2 | 8,3 | 10 | 10,3 | 9,7 | 7,5 | 6,5 | 5,1 | 4 | 3,9 | 3,8 | 5,1 |
| 32 | 8,1 | 8,2 | 9,8 | 9,8 | 9,2 | 7,1 | 5,9 | 4,4 | 3,6 | 3,3 | 2,8 | 5,9 |
| 36 | 8,1 | 8,3 | 9,3 | 9,7 | 9,7 | 7,2 | 5,3 | 4,2 | 3 | 1,9 | 2,4 | 5,9 |

Syrgasmättnad, %

| Djup, m | 0114 | 0212 | 0311 | 0414 | 0512 | 0612 | 0717 | 0813 | 0910 | 1008 | 1111 | 1215 |
|---------|------|------|------|------|------|------|------|------|------|------|------|------|
| 0 | 83 | 83 | 93 | 99 | 120 | 110 | 84 | 80 | 82 | 69 | 74 | 74 |
| 4 | 80 | 81 | 95 | 98 | 110 | 110 | 82 | 76 | 79 | 62 | 64 | 65 |
| 8 | 70 | 74 | 87 | 98 | 100 | 100 | 71 | 62 | 58 | 52 | 43 | 62 |
| 12 | 63 | 66 | 77 | 79 | 84 | 82 | 63 | 42 | 39 | 36 | 36 | 47 |
| 16 | 66 | 65 | 71 | 75 | 73 | 69 | 52 | 33 | 27 | 25 | 31 | 38 |
| 20 | 69 | 64 | 73 | 78 | 71 | 62 | 54 | 39 | 37 | 38 | 38 | 47 |
| 24 | 67 | 71 | 66 | 76 | 75 | 61 | 54 | 48 | 39 | 33 | 31 | 46 |
| 28 | 67 | 65 | 76 | 79 | 74 | 59 | 55 | 45 | 36 | 37 | 36 | 47 |
| 32 | 65 | 65 | 74 | 75 | 70 | 56 | 49 | 38 | 32 | 31 | 26 | 54 |
| 36 | 65 | 65 | 71 | 74 | 75 | 57 | 44 | 36 | 27 | 17 | 22 | 54 |

Fosfatfosfor, µg/L

| Djup, m | 0114 | 0212 | 0311 | 0414 | 0512 | 0612 | 0717 | 0813 | 0910 | 1008 | 1111 | 1215 |
|---------|------|------|------|------|------|------|------|------|------|------|------|------|
| 0 | 22 | 21 | 19 | 12 | <1,0 | <1,0 | 6,7 | 11 | 10 | 23 | 20 | 31 |
| 4 | 26 | 23 | 20 | 12 | <1,0 | 1,5 | 6,6 | 12 | 10 | 27 | 29 | 42 |
| 8 | 39 | 27 | 27 | 12 | <1,0 | <1,0 | 7,7 | 21 | 25 | 34 | 47 | 46 |
| 12 | 44 | 39 | 37 | 30 | <1,0 | 1,2 | 16 | 36 | 49 | 50 | 67 | 57 |
| 16 | 43 | 39 | 43 | 31 | 12 | 2 | 33 | 47 | 54 | 56 | 56 | 59 |
| 20 | 37 | 36 | 35 | 30 | 3,3 | 1,6 | 29 | 41 | 45 | 48 | 50 | 50 |
| 24 | 39 | 32 | 32 | 30 | 4 | 6,4 | 31 | 37 | 47 | 47 | 75 | 51 |
| 28 | 41 | 37 | 32 | 32 | 17 | 15 | 30 | 44 | 54 | 44 | 56 | 50 |
| 32 | 46 | 45 | 34 | 35 | 29 | 22 | 41 | 75 | 63 | 58 | 81 | 50 |
| 36 | 42 | 46 | 37 | 35 | 34 | 25 | 53 | 75 | 74 | 120 | 120 | 51 |

Totalfosfor, µg/L

| Djup, m | 0114 | 0212 | 0311 | 0414 | 0512 | 0612 | 0717 | 0813 | 0910 | 1008 | 1111 | 1215 |
|---------|------|------|------|------|------|------|------|------|------|------|------|------|
| 0 | 30 | 29 | 26 | 32 | 28 | 24 | 23 | 29 | 35 | 38 | 30 | 40 |
| 4 | 34 | 30 | 28 | 33 | 38 | 28 | 29 | 39 | 31 | 41 | 41 | 53 |
| 8 | 48 | 39 | 35 | 31 | 21 | 26 | 23 | 41 | 45 | 43 | 57 | 54 |
| 12 | 54 | 44 | 43 | 44 | 24 | 29 | 28 | 52 | 60 | 64 | 79 | 70 |
| 16 | 50 | 45 | 50 | 43 | 35 | 27 | 45 | 63 | 63 | 66 | 65 | 67 |
| 20 | 44 | 40 | 40 | 39 | 21 | 19 | 40 | 53 | 54 | 54 | 58 | 55 |
| 24 | 46 | 36 | 37 | 38 | 25 | 19 | 42 | 47 | 56 | 53 | 92 | 63 |
| 28 | 49 | 41 | 38 | 42 | 33 | 25 | 41 | 55 | 63 | 49 | 66 | 59 |
| 32 | 61 | 53 | 40 | 46 | 41 | 47 | 54 | 98 | 78 | 67 | 98 | 62 |
| 36 | 55 | 70 | 47 | 52 | 54 | 37 | 71 | 96 | 100 | 160 | 150 | 62 |

Ammoniumkväve, µg/L

| Djup, m | 0114 | 0212 | 0311 | 0414 | 0512 | 0612 | 0717 | 0813 | 0910 | 1008 | 1111 | 1215 |
|---------|------|------|------|------|------|------|------|------|------|------|------|------|
| 0 | 43 | 61 | 12 | 60 | 4,9 | 5,5 | 81 | 65 | 42 | 65 | 32 | 48 |
| 4 | 70 | 110 | 16 | 59 | 7,4 | 6,2 | 83 | 70 | 43 | 63 | 59 | 91 |
| 8 | 240 | 99 | 21 | 44 | 14 | 9,5 | 100 | 91 | 80 | 76 | 66 | 75 |
| 12 | 420 | 560 | 64 | 210 | 92 | 56 | 130 | 100 | 170 | 280 | 340 | 180 |
| 16 | 92 | 320 | 48 | 100 | 130 | 150 | 170 | 60 | 50 | 89 | 71 | 64 |
| 20 | <3,0 | 30 | 7,2 | 36 | 45 | 76 | 110 | 40 | 21 | 7,6 | 6,8 | 18 |
| 24 | <3,0 | <3,0 | 4,7 | 4,9 | 11 | 58 | 110 | 68 | 15 | 5,5 | 38 | 7,7 |
| 28 | <3,0 | 3,4 | <3,0 | 6,5 | <3,0 | 66 | 89 | 75 | 20 | <3,0 | 6,3 | 4,5 |
| 32 | 5,7 | 4,4 | 3,4 | 9,5 | 5,5 | 75 | 120 | 130 | 19 | 12 | 11 | 4,2 |
| 36 | <3,0 | 9,6 | 8,2 | 4,6 | <3,0 | 81 | 150 | 150 | 48 | 55 | 41 | 3,7 |

Nitrit+nitratkväve, µg/L

| Djup, m | 0114 | 0212 | 0311 | 0414 | 0512 | 0612 | 0717 | 0813 | 0910 | 1008 | 1111 | 1215 |
|---------|------|------|------|------|------|------|------|------|------|------|------|------|
| 0 | 320 | 300 | 310 | 280 | 140 | 150 | 120 | 180 | 170 | 210 | 180 | 220 |
| 4 | 350 | 330 | 310 | 280 | 91 | 150 | 120 | 180 | 170 | 230 | 250 | 250 |
| 8 | 500 | 340 | 350 | 260 | 72 | 140 | 92 | 240 | 310 | 290 | 390 | 300 |
| 12 | 610 | 430 | 440 | 410 | 310 | 250 | 170 | 420 | 540 | 550 | 510 | 330 |
| 16 | 370 | 370 | 360 | 290 | 380 | 380 | 310 | 530 | 410 | 460 | 340 | 280 |
| 20 | 180 | 230 | 240 | 210 | 210 | 200 | 140 | 370 | 270 | 310 | 160 | 190 |
| 24 | 160 | 170 | 180 | 160 | 160 | 120 | 120 | 180 | 160 | 220 | 150 | 160 |
| 28 | 170 | 180 | 170 | 160 | 160 | 120 | 89 | 160 | 170 | 180 | 160 | 140 |
| 32 | 170 | 190 | 160 | 160 | 160 | 130 | 100 | 150 | 180 | 190 | 190 | 130 |
| 36 | 170 | 180 | 160 | 160 | 160 | 140 | 100 | 150 | 210 | 240 | 210 | 130 |

Totalkväve, µg/L

| Djup, m | 0114 | 0212 | 0311 | 0414 | 0512 | 0612 | 0717 | 0813 | 0910 | 1008 | 1111 | 1215 |
|---------|------|------|------|------|------|------|------|------|------|------|------|------|
| 0 | 750 | 780 | 690 | 780 | 700 | 580 | 610 | 640 | 650 | 710 | 630 | 640 |
| 4 | 800 | 840 | 700 | 760 | 630 | 610 | 610 | 650 | 670 | 690 | 710 | 660 |
| 8 | 1100 | 800 | 700 | 710 | 530 | 600 | 570 | 690 | 780 | 730 | 750 | 680 |
| 12 | 1300 | 1300 | 810 | 960 | 780 | 720 | 630 | 880 | 1100 | 1200 | 1100 | 800 |
| 16 | 740 | 1000 | 660 | 700 | 860 | 890 | 780 | 920 | 800 | 850 | 650 | 590 |
| 20 | 430 | 540 | 480 | 530 | 580 | 580 | 530 | 700 | 640 | 600 | 380 | 450 |
| 24 | 420 | 440 | 400 | 440 | 460 | 460 | 510 | 530 | 460 | 490 | 400 | 400 |
| 28 | 430 | 440 | 390 | 440 | 440 | 460 | 450 | 500 | 490 | 440 | 410 | 370 |
| 32 | 430 | 450 | 390 | 430 | 440 | 490 | 510 | 550 | 500 | 480 | 460 | 380 |
| 36 | 430 | 460 | 390 | 430 | 440 | 500 | 530 | 560 | 630 | 570 | 480 | 380 |

Kisel, µg/L

| Djup, m | 0114 | 0212 | 0311 | 0414 | 0512 | 0612 | 0717 | 0813 | 0910 | 1008 | 1111 | 1215 |
|---------|------|------|------|------|------|------|------|------|------|------|------|------|
| 0 | 1300 | 1600 | 1600 | 1100 | 310 | 150 | 310 | 390 | 410 | 670 | 690 | 990 |
| 4 | 1300 | 1600 | 1600 | 1100 | 270 | 150 | 320 | 400 | 370 | 700 | 870 | 1100 |
| 8 | 1300 | 1500 | 1400 | 1100 | 370 | 130 | 380 | 550 | 680 | 780 | 1100 | 1200 |

Escherichia coli, MPN/100 ml

| Djup, m | 0114 | 0212 | 0311 | 0414 | 0512 | 0612 | 0717 | 0813 | 0910 | 1008 | 1111 | 1215 |
|---------|------|------|------|------|------|------|------|------|------|------|------|------|
| 0 | 75 | 300 | 41 | 97 | <10 | <10 | 10 | 10 | 10 | 420 | 31 | 1100 |
| 4 | 63 | 110 | 10 | 63 | 10 | 31 | <10 | <10 | <10 | 280 | 10 | 2400 |

Koliforma bakterier 35°C, MPN/100 ml

| Djup, m | 0114 | 0212 | 0311 | 0414 | 0512 | 0612 | 0717 | 0813 | 0910 | 1008 | 1111 | 1215 |
|---------|------|------|------|------|------|------|------|------|------|------|------|------|
| 0 | 230 | 740 | 170 | 690 | 73 | 140 | 230 | 400 | 120 | 3700 | 190 | 9200 |
| 4 | 260 | 380 | 85 | 560 | 110 | 190 | 190 | 350 | 170 | 1200 | 210 | 9800 |

Halvkakssundet**Vattentemperatur, °C**

| Djup, m | 0113 | 0212 | 0311 | 0414 | 0512 | 0612 | 0717 | 0813 | 0910 | 1008 | 1111 | 1215 |
|---------|------|------|------|------|------|------|------|------|------|------|------|------|
| 0 | 1,1 | 1,2 | 2,7 | 6,2 | 8,3 | 12,5 | 17,6 | 17,3 | 16,2 | 13,2 | 10,1 | 7,1 |
| 4 | 1,4 | 1,6 | 2,7 | 5,7 | 7,7 | 12,5 | 15,6 | 17,3 | 15,8 | 13,1 | 10,4 | 7,2 |
| 8 | 1,3 | 2 | 2,8 | 4,5 | 7,1 | 11,2 | 13,9 | 16 | 14,5 | 13 | 10,7 | 7,9 |
| 12 | 3,4 | 3 | 2,8 | 3,7 | 5,2 | 10 | 10,8 | 11,4 | 12,7 | 12 | 11 | 9,1 |
| 16 | 4,4 | 3,3 | 2,9 | 3,1 | 4,6 | 6 | 9,2 | 10,4 | 11,1 | 11,5 | 11,2 | 9,6 |
| 20 | 4,6 | 3 | 2,3 | 2,8 | 3,4 | 5,5 | 8,7 | 9,8 | 10,9 | 11,7 | 11,1 | 9,7 |
| 24 | 4,6 | 2,8 | 2,3 | 2,5 | 3,1 | 5,2 | 8 | 9,6 | 10,8 | 11,7 | 11 | 9,6 |
| 28 | 4,5 | 2,8 | 2,3 | 2,5 | 2,9 | 5,1 | 7,8 | 9,1 | 10,6 | 11,5 | 10,7 | 9,5 |
| 32 | 4,5 | 2,7 | 2,3 | 2,5 | 2,8 | 4,1 | 7,1 | 8,3 | 9,9 | 10,6 | 10,6 | 9,3 |
| 36 | 4,4 | 2,9 | 2,3 | 2,6 | 2,6 | 3,5 | 6,4 | 7,1 | 8,9 | 9,7 | 10,5 | 9,3 |
| 40 | 4,4 | 2,7 | 2,2 | 2,7 | 2,6 | 3,4 | 6,1 | 6,7 | 8,6 | 9 | 10,3 | 9,5 |
| 45 | 4,3 | 2,6 | 2,2 | 2,5 | 2,6 | 3,3 | 6 | 6,5 | 7,5 | 8,5 | 10,2 | 9,5 |
| 50 | 4,1 | 2,6 | 2,2 | 2,7 | 2,9 | 3,3 | 6,2 | 6,3 | 7,3 | 8,2 | 9 | 9,6 |

Salinitet, PSU

| Djup, m | 0113 | 0212 | 0311 | 0414 | 0512 | 0612 | 0717 | 0813 | 0910 | 1008 | 1111 | 1215 |
|---------|------|------|------|------|------|------|------|------|------|------|------|------|
| 0 | 1,34 | 0,83 | 2,08 | 3,06 | 3,59 | 4,12 | 2,69 | 2,67 | 2,89 | 2,18 | 1,2 | 1,8 |
| 4 | 2,08 | 1,47 | 2,17 | 3,06 | 3,69 | 4,14 | 3,11 | 2,95 | 3,08 | 2,62 | 2,62 | 1,92 |
| 8 | 3,75 | 2,55 | 2,31 | 3,53 | 3,81 | 4,14 | 4,07 | 3,47 | 3,67 | 3,32 | 3,87 | 3,52 |
| 12 | 4,39 | 4,4 | 4,46 | 4,18 | 4,19 | 3,97 | 4,35 | 3,91 | 4,11 | 4,24 | 4,74 | 4,72 |
| 16 | 5,15 | 4,91 | 5,06 | 4,96 | 4,65 | 4,6 | 4,47 | 4,2 | 4,59 | 4,37 | 5,08 | 5,14 |
| 20 | 5,43 | 5,17 | 5,33 | 5,11 | 4,84 | 4,79 | 4,78 | 4,42 | 4,84 | 4,58 | 5,23 | 5,42 |
| 24 | 5,53 | 5,34 | 5,34 | 5,32 | 4,97 | 4,95 | 5,09 | 4,61 | 5,01 | 4,74 | 5,26 | 5,5 |
| 28 | 5,48 | 5,28 | 5,37 | 5,2 | 5 | 5,01 | 5,15 | 4,68 | 5,07 | 4,79 | 5,27 | 5,5 |
| 32 | 5,52 | 5,37 | 5,4 | 5,23 | 5,08 | 5,06 | 5,14 | 4,72 | 5,04 | 4,78 | 5,28 | 5,37 |
| 36 | 5,5 | 5,38 | 5,37 | 5,22 | 5,08 | 4,86 | 5,14 | 4,8 | 5 | 4,74 | 5,28 | 5,52 |
| 40 | 5,52 | 5,32 | 5,42 | 5,18 | 5,1 | 5,12 | 5,14 | 4,78 | 4,96 | 4,76 | 5,28 | 5,36 |
| 45 | 5,43 | 5,34 | 5,42 | 5,22 | 5,07 | 5,14 | 5,15 | 4,74 | 4,95 | 4,8 | 5,27 | 5,41 |
| 50 | 5,44 | 5,38 | 5,44 | 5,2 | 5,11 | 5,18 | 5,16 | 4,79 | 4,95 | 4,72 | 5,16 | 5,41 |

Syre, mg/l

| Djup, m | 0113 | 0212 | 0311 | 0414 | 0512 | 0612 | 0717 | 0813 | 0910 | 1008 | 1111 | 1215 |
|---------|------|------|------|------|------|------|------|------|------|------|------|------|
| 0 | 12,2 | 12 | 11,9 | 12,9 | 15,8 | 10,9 | 9,3 | 8,4 | 8,9 | 8,1 | 7,6 | 8,6 |
| 4 | 12,1 | 11,4 | 11,6 | 12,5 | 14,7 | 11,2 | 8,5 | 7,8 | 7,9 | 7,6 | 7,2 | 8,6 |
| 8 | 12 | 11 | 11,2 | 11,7 | 13,2 | 10,7 | 7,4 | 6,3 | 6 | 6,9 | 5,6 | 7,5 |
| 12 | 10 | 9,5 | 9,8 | 10,2 | 10,6 | 10,4 | 6,3 | 3,9 | 4,6 | 4 | 4,1 | 6,1 |
| 16 | 9,5 | 9,3 | 9,1 | 9,9 | 9,3 | 7,9 | 6 | 3,6 | 4,2 | 3,8 | 4,3 | 5,9 |
| 20 | 8,9 | 9,3 | 9,7 | 10,5 | 9,3 | 8,2 | 6,2 | 4,9 | 4,4 | 4,2 | 4,7 | 6,1 |
| 24 | 8,9 | 10 | 9,8 | 10,4 | 9,7 | 8,2 | 7,1 | 5,3 | 4,8 | 4,4 | 4,9 | 6,1 |
| 28 | 9,1 | 9,7 | 10,3 | 10 | 9,8 | 8,1 | 6,8 | 5,5 | 4,7 | 4,3 | 5,2 | 5,9 |
| 32 | 9,1 | 9,8 | 9,5 | 10 | 9,3 | 8 | 7,1 | 5,1 | 4,3 | 3,7 | 4,8 | 5,2 |
| 36 | 9 | 9,4 | 9,8 | 9,9 | 9,2 | 7,6 | 6,5 | 5,3 | 3,9 | 2,8 | 4,7 | 6,3 |
| 40 | 8,9 | 9,7 | 8,9 | 9,8 | 9,2 | 7,4 | 6,5 | 4,6 | 3,3 | 2,2 | 4 | 6,1 |
| 45 | 9,2 | 9,3 | 9,5 | 9,8 | 8,7 | 7,4 | 6,1 | 4,3 | 2,9 | 2,1 | 4,1 | 5,8 |
| 50 | 9,2 | 9,5 | 9,2 | 9,4 | 8,8 | 7,3 | 5,9 | 3,8 | 2,8 | 1,8 | 1,1 | 5,9 |

Syrgasmättnad, %

| Djup, m | 0113 | 0212 | 0311 | 0414 | 0512 | 0612 | 0717 | 0813 | 0910 | 1008 | 1111 | 1215 |
|---------|------|------|------|------|------|------|------|------|------|------|------|------|
| 0 | 87 | 86 | 89 | 110 | 140 | 110 | 99 | 89 | 92 | 78 | 68 | 72 |
| 4 | 87 | 83 | 87 | 100 | 130 | 110 | 88 | 83 | 81 | 74 | 66 | 72 |
| 8 | 87 | 81 | 84 | 93 | 110 | 100 | 73 | 65 | 60 | 67 | 52 | 65 |
| 12 | 77 | 73 | 75 | 80 | 86 | 95 | 59 | 37 | 45 | 38 | 38 | 55 |
| 16 | 76 | 72 | 70 | 76 | 74 | 66 | 54 | 33 | 39 | 36 | 41 | 54 |
| 20 | 72 | 72 | 73 | 80 | 72 | 67 | 55 | 45 | 41 | 40 | 44 | 56 |
| 24 | 72 | 77 | 74 | 79 | 75 | 67 | 62 | 48 | 45 | 42 | 46 | 56 |
| 28 | 73 | 74 | 78 | 76 | 75 | 66 | 59 | 49 | 44 | 41 | 48 | 54 |
| 32 | 73 | 75 | 72 | 76 | 71 | 63 | 61 | 45 | 39 | 34 | 45 | 47 |
| 36 | 72 | 72 | 74 | 75 | 70 | 59 | 54 | 45 | 35 | 25 | 44 | 57 |
| 40 | 71 | 74 | 67 | 75 | 70 | 58 | 54 | 39 | 29 | 20 | 37 | 55 |
| 45 | 73 | 71 | 72 | 75 | 66 | 57 | 51 | 36 | 25 | 19 | 38 | 53 |
| 50 | 73 | 73 | 70 | 72 | 68 | 57 | 49 | 32 | 24 | 16 | 9,9 | 54 |

Fosfatfosfor, µg/L

| Djup, m | 0113 | 0212 | 0311 | 0414 | 0512 | 0612 | 0717 | 0813 | 0910 | 1008 | 1111 | 1215 |
|---------|------|------|------|------|------|------|------|------|------|------|------|------|
| 0 | 20 | 21 | 24 | 2,2 | <1,0 | <1,0 | <1,0 | 2,1 | 3,7 | 20 | 24 | 34 |
| 4 | 23 | 24 | 24 | 2,9 | <1,0 | <1,0 | <1,0 | 5,7 | 5,2 | 20 | 30 | 35 |
| 8 | 30 | 28 | 25 | 11 | <1,0 | <1,0 | 6 | 11 | 16 | 23 | 40 | 42 |
| 12 | 34 | 36 | 41 | 25 | <1,0 | <1,0 | 20 | 41 | 33 | 44 | 51 | 48 |
| 16 | 37 | 35 | 35 | 31 | 2,8 | 1,4 | 30 | 43 | 48 | 52 | 44 | 47 |
| 20 | 33 | 32 | 30 | 27 | 1,5 | 3,5 | 27 | 40 | 41 | 43 | 41 | 41 |
| 24 | 33 | 31 | 31 | 27 | 1,4 | 8,1 | 26 | 32 | 35 | 38 | 41 | 44 |
| 28 | 32 | 32 | 30 | 28 | 9,2 | 8,3 | 26 | 33 | 37 | 40 | 43 | 45 |
| 32 | 33 | 31 | 31 | 30 | 22 | 12 | 27 | 35 | 42 | 47 | 46 | 45 |
| 36 | 35 | 35 | 32 | 31 | 32 | 21 | 30 | 45 | 52 | 67 | 50 | 46 |
| 40 | 34 | 33 | 34 | 32 | 32 | 21 | 33 | 48 | 66 | 86 | 58 | 47 |
| 45 | 34 | 33 | 34 | 33 | 33 | 26 | 37 | 52 | 70 | 97 | 65 | 52 |
| 50 | 34 | 34 | 48 | 33 | 35 | 38 | 46 | 90 | 89 | 120 | 150 | 50 |

Totalfosfor, µg/L

| Djup, m | 0113 | 0212 | 0311 | 0414 | 0512 | 0612 | 0717 | 0813 | 0910 | 1008 | 1111 | 1215 |
|---------|------|------|------|------|------|------|------|------|------|------|------|------|
| 0 | 29 | 29 | 31 | 27 | 40 | 38 | 18 | 23 | 30 | 35 | 34 | 41 |
| 4 | 32 | 30 | 31 | 27 | 36 | 21 | 24 | 28 | 30 | 35 | 40 | 43 |
| 8 | 39 | 34 | 33 | 31 | 25 | 21 | 22 | 29 | 36 | 35 | 47 | 51 |
| 12 | 42 | 42 | 47 | 38 | 20 | 21 | 32 | 56 | 45 | 49 | 60 | 58 |
| 16 | 47 | 41 | 40 | 43 | 23 | 17 | 41 | 58 | 57 | 59 | 50 | 55 |
| 20 | 40 | 36 | 35 | 37 | 21 | 15 | 36 | 51 | 50 | 47 | 46 | 48 |
| 24 | 44 | 34 | 36 | 36 | 17 | 19 | 41 | 40 | 42 | 42 | 46 | 50 |
| 28 | 39 | 35 | 35 | 36 | 20 | 19 | 33 | 40 | 46 | 45 | 50 | 51 |
| 32 | 41 | 36 | 36 | 38 | 32 | 21 | 35 | 42 | 47 | 52 | 52 | 52 |
| 36 | 44 | 38 | 37 | 42 | 41 | 30 | 38 | 54 | 57 | 79 | 58 | 55 |
| 40 | 43 | 38 | 41 | 45 | 41 | 44 | 42 | 57 | 75 | 100 | 69 | 55 |
| 45 | 43 | 38 | 41 | 44 | 42 | 39 | 46 | 63 | 83 | 120 | 84 | 63 |
| 50 | 50 | 44 | 66 | 47 | 45 | 57 | 59 | 120 | 110 | 150 | 200 | 73 |

Ammoniumkväve, µg/L

| Djup, m | 0113 | 0212 | 0311 | 0414 | 0512 | 0612 | 0717 | 0813 | 0910 | 1008 | 1111 | 1215 |
|---------|------|------|------|------|------|------|------|------|------|------|------|------|
| 0 | 26 | 70 | 24 | 8,2 | 5,1 | 6 | 11 | 30 | 22 | 42 | 46 | 50 |
| 4 | 22 | 97 | 5,2 | 8,1 | 8,3 | 7 | 42 | 51 | 26 | 41 | 69 | 53 |
| 8 | 16 | 110 | 23 | 32 | 6,5 | 15 | 83 | 60 | 51 | 34 | 52 | 50 |
| 12 | 31 | 140 | 61 | 140 | 36 | 26 | 140 | 110 | 75 | 33 | 44 | 130 |
| 16 | 37 | 150 | 14 | 140 | 24 | 84 | 170 | 47 | 17 | 32 | 4,3 | 100 |
| 20 | <3,0 | 24 | <3,0 | 6 | 16 | 55 | 110 | 62 | 12 | 6,8 | <3,0 | 5,4 |
| 24 | <3,0 | <3,0 | 3,8 | 4,3 | 9,7 | 38 | 67 | 62 | <3,0 | <3,0 | <3,0 | 3,8 |
| 28 | <3,0 | <3,0 | 3,4 | 3,9 | 14 | 37 | 59 | 69 | <3,0 | <3,0 | 3,9 | 3,9 |
| 32 | <3,0 | <3,0 | <3,0 | 3,8 | 3,5 | 38 | 63 | 64 | <3,0 | <3,0 | 4,5 | 4,4 |
| 36 | <3,0 | <3,0 | <3,0 | 3,8 | 3,2 | 47 | 74 | 77 | <3,0 | 4,2 | 5 | 3,3 |
| 40 | <3,0 | <3,0 | 3,4 | 4,4 | <3,0 | 42 | 76 | 77 | 3,2 | 11 | 3,5 | <3,0 |
| 45 | 4,4 | 4,9 | 3 | 4,3 | 5,1 | 44 | 77 | 83 | 6,8 | 13 | 11 | 3,8 |
| 50 | 6,3 | 13 | 8,7 | 5,4 | 4 | 53 | 90 | 130 | 13 | 27 | 47 | 5,1 |

Nitrit+nitratkväve, µg/L

| Djup, m | 0113 | 0212 | 0311 | 0414 | 0512 | 0612 | 0717 | 0813 | 0910 | 1008 | 1111 | 1215 |
|---------|------|------|------|------|------|------|------|------|------|------|------|------|
| 0 | 300 | 310 | 320 | 210 | 1,6 | 1,8 | 90 | 100 | 130 | 180 | 210 | 240 |
| 4 | 300 | 320 | 330 | 220 | 13 | 2,3 | 79 | 98 | 160 | 180 | 230 | 250 |
| 8 | 310 | 340 | 330 | 230 | 40 | 45 | 65 | 130 | 210 | 180 | 290 | 280 |
| 12 | 300 | 440 | 440 | 310 | 220 | 79 | 250 | 530 | 360 | 340 | 380 | 250 |
| 16 | 390 | 330 | 290 | 300 | 240 | 210 | 380 | 540 | 360 | 350 | 230 | 210 |
| 20 | 180 | 220 | 170 | 170 | 150 | 110 | 170 | 350 | 220 | 230 | 150 | 140 |
| 24 | 160 | 170 | 170 | 150 | 110 | 62 | 61 | 150 | 130 | 150 | 130 | 130 |
| 28 | 170 | 160 | 160 | 140 | 110 | 69 | 64 | 100 | 120 | 130 | 130 | 130 |
| 32 | 150 | 160 | 160 | 150 | 140 | 110 | 72 | 110 | 140 | 170 | 130 | 120 |
| 36 | 170 | 160 | 160 | 150 | 150 | 140 | 86 | 130 | 170 | 210 | 140 | 120 |
| 40 | 160 | 160 | 160 | 150 | 150 | 140 | 91 | 130 | 210 | 230 | 150 | 130 |
| 45 | 170 | 160 | 160 | 150 | 150 | 140 | 93 | 130 | 210 | 240 | 150 | 130 |
| 50 | 170 | 160 | 160 | 150 | 150 | 140 | 93 | 140 | 220 | 240 | 280 | 140 |

Totalkväve, µg/L

| Djup, m | 0113 | 0212 | 0311 | 0414 | 0512 | 0612 | 0717 | 0813 | 0910 | 1008 | 1111 | 1215 |
|---------|------|------|------|------|------|------|------|------|------|------|------|------|
| 0 | 710 | 790 | 690 | 650 | 650 | 430 | 530 | 530 | 590 | 680 | 640 | 650 |
| 4 | 700 | 810 | 690 | 660 | 590 | 420 | 530 | 540 | 610 | 640 | 720 | 650 |
| 8 | 650 | 810 | 690 | 650 | 500 | 490 | 490 | 540 | 640 | 590 | 640 | 640 |
| 12 | 670 | 870 | 790 | 790 | 670 | 540 | 710 | 970 | 800 | 700 | 710 | 710 |
| 16 | 710 | 750 | 540 | 730 | 700 | 630 | 880 | 890 | 720 | 890 | 520 | 580 |
| 20 | 450 | 520 | 400 | 440 | 560 | 460 | 580 | 700 | 550 | 530 | 410 | 380 |
| 24 | 430 | 430 | 400 | 400 | 440 | 370 | 400 | 490 | 410 | 500 | 410 | 370 |
| 28 | 430 | 430 | 390 | 410 | 390 | 370 | 390 | 420 | 390 | 400 | 420 | 360 |
| 32 | 420 | 420 | 380 | 410 | 420 | 390 | 400 | 440 | 410 | 430 | 430 | 340 |
| 36 | 430 | 430 | 390 | 410 | 420 | 460 | 430 | 490 | 450 | 490 | 430 | 350 |
| 40 | 430 | 420 | 380 | 450 | 430 | 430 | 430 | 490 | 490 | 510 | 440 | 360 |
| 45 | 430 | 420 | 380 | 420 | 410 | 450 | 430 | 530 | 530 | 520 | 390 | 360 |
| 50 | 430 | 450 | 400 | 430 | 410 | 480 | 460 | 540 | 520 | 550 | 550 | 360 |

Kisel, µg/L

| Djup, m | 0113 | 0212 | 0311 | 0414 | 0512 | 0612 | 0717 | 0813 | 0910 | 1008 | 1111 | 1215 |
|---------|------|------|------|------|------|------|------|------|------|------|------|------|
| 0 | 1300 | 1600 | 1500 | 1000 | 50 | <10 | 220 | 270 | 250 | 620 | 780 | 1000 |
| 4 | 1300 | 1500 | 1500 | 990 | 100 | <10 | 260 | 280 | 300 | 610 | 850 | 1000 |
| 8 | 1200 | 1400 | 1400 | 1100 | 230 | 64 | 350 | 410 | 520 | 650 | 1000 | 1100 |

Escherichia coli, MPN/100 ml

| Djup, m | 0113 | 0212 | 0311 | 0414 | 0512 | 0612 | 0717 | 0813 | 0910 | 1008 | 1111 | 1215 |
|---------|------|------|------|------|------|------|------|------|------|------|------|------|
| 0 | 63 | 130 | 52 | 10 | <10 | <10 | <10 | <10 | <10 | 330 | 30 | 470 |
| 4 | 52 | 120 | 110 | 52 | <10 | <10 | <10 | 20 | <10 | 75 | 41 | 530 |

Koliforma bakterier 35°C, MPN/100 ml

| Djup, m | 0113 | 0212 | 0311 | 0414 | 0512 | 0612 | 0717 | 0813 | 0910 | 1008 | 1111 | 1215 |
|---------|------|------|------|------|------|------|------|------|------|------|------|------|
| 0 | 170 | 430 | 180 | 190 | 10 | 20 | 97 | 560 | 210 | 1900 | 290 | 2300 |
| 4 | 130 | 370 | 10 | 220 | 31 | 10 | 41 | 3400 | 200 | 960 | 190 | 2600 |

Koviksudde**Vattentemperatur, °C**

| Djup, m | 0114 | 0219 | 0311 | 0414 | 0429 | 0512 | 0528 | 0612 | 0625 | 0717 | 0731 | 0813 | 0825 | 0910 | 0923 | 1008 | 1021 | 1111 | 1215 |
|---------|------|------|------|------|------|------|------|------|------|------|------|------|------|------|------|------|------|------|------|
| 0 | 1,6 | 0,4 | 2,8 | 6 | 7,4 | 8,7 | 10,4 | 12,4 | 14,1 | 18,5 | 18,1 | 19,2 | 15,9 | 16,7 | 14,6 | 13,2 | 10,1 | 9,7 | 7,2 |
| 4 | 1,6 | 0,4 | 2,9 | 5,9 | 7,5 | 7,8 | 10,2 | 12,3 | 14,2 | 16,3 | 18,5 | 18,5 | 15,6 | 16 | 14,6 | 13,1 | 10,2 | 9,9 | 7,2 |
| 8 | 1,6 | 0,9 | 2,9 | 4,5 | 7,2 | 7,2 | 10 | 12,2 | 14 | 15,4 | 17,4 | 17,4 | 15,5 | 15,4 | 14,7 | 13 | 10,9 | 10,3 | 7,2 |
| 12 | 1,5 | 3 | 2,7 | 3,3 | 6,6 | 6,1 | 8,4 | 10 | 12,4 | 13,1 | 15,6 | 13,5 | 12,5 | 13,4 | 14,1 | 13 | 11,9 | 10,9 | 7,9 |
| 16 | 1,8 | 3,2 | 2,1 | 2,7 | 3,4 | 4,5 | 6,4 | 7,7 | 10,4 | 10,4 | 11,8 | 12,2 | 12 | 12,6 | 12,8 | 12,7 | 12 | 11,1 | 9,1 |
| 20 | 3,5 | 2,6 | 1,9 | 2,6 | 3,1 | 3,8 | 5,5 | 7,2 | 9,7 | 9,8 | 10,5 | 11,5 | 11,5 | 12 | 12,2 | 12,4 | 11,8 | 10,8 | 9 |
| 24 | 3,5 | 2,4 | 1,9 | 2,6 | 2,8 | 3,6 | 4,6 | 6,3 | 9,5 | 9,5 | 9,9 | 10,7 | 10,9 | 11,6 | 11,2 | 12,1 | 11,5 | 10,6 | 9 |
| 28 | 3,5 | 2,1 | 1,9 | 2,4 | 2,7 | 3,5 | 4,1 | 6,1 | 9,1 | 9,1 | 9,4 | 10,2 | 10,7 | 11,3 | 11 | 11,7 | 11,3 | 10,6 | 8,9 |
| 32 | 3,6 | 2,1 | 1,9 | 2,6 | 2,6 | 3,2 | 3,8 | 6,1 | 8,8 | 8,7 | 8,5 | 8,9 | 10,8 | 11 | 10,2 | 11 | 11,3 | 10,5 | 8,9 |
| 36 | 3,6 | 2,1 | 1,9 | 2,6 | 2,8 | 3,1 | 3,5 | 6,1 | 8,6 | 8,9 | 8 | 8,2 | 10,2 | 11,1 | 9,7 | 10,6 | 11,3 | 10,5 | 9 |

Salinitet, PSU

| Djup, m | 0114 | 0219 | 0311 | 0414 | 0429 | 0512 | 0528 | 0612 | 0625 | 0717 | 0731 | 0813 | 0825 | 0910 | 0923 | 1008 | 1021 | 1111 | 1215 |
|---------|------|------|------|------|------|------|------|------|------|------|------|------|------|------|------|------|------|------|------|
| 0 | 2,65 | 1,08 | 2,45 | 3,01 | 3,39 | 3,79 | 4,05 | 3,96 | 3,83 | 3,38 | 2,94 | 3,07 | 3,54 | 3,63 | 2,96 | 2,61 | 2,74 | 1,53 | 2,25 |
| 4 | 2,55 | 1,12 | 2,51 | 3,03 | 3,39 | 3,8 | 4,13 | 3,96 | 3,84 | 3,86 | 3,42 | 3,18 | 3,56 | 3,77 | 2,96 | 2,63 | 2,84 | 2,04 | 2,39 |
| 8 | 2,65 | 1,87 | 3,19 | 3,54 | 3,38 | 3,83 | 4,06 | 3,97 | 3,87 | 4,31 | 3,87 | 3,58 | 3,67 | 4,06 | 3,02 | 3,1 | 3,44 | 3,21 | 2,44 |
| 12 | 3,13 | 4,31 | 4,47 | 4,31 | 3,61 | 4,07 | 4,27 | 4,37 | 4,47 | 4,6 | 4,34 | 4 | 3,8 | 4,37 | 4,11 | 3,97 | 4,36 | 4,39 | 4 |
| 16 | 3,56 | 4,95 | 5,13 | 4,86 | 4,66 | 4,55 | 4,68 | 4,45 | 4,76 | 4,72 | 4,65 | 4,25 | 5,06 | 4,69 | 4,89 | 4,54 | 4,89 | 5,13 | 5,09 |
| 20 | 4,95 | 5,08 | 5,33 | 5,27 | 4,85 | 4,9 | 4,92 | 4,63 | 4,96 | 4,91 | 4,93 | 4,48 | 5,17 | 4,95 | 5,06 | 4,78 | 4,97 | 4,91 | 5,3 |
| 24 | 5,16 | 5,12 | 5,36 | 5,36 | 4,95 | 4,97 | 5,06 | 5,06 | 5,02 | 5,11 | 5,08 | 4,93 | 5,23 | 5,08 | 5,11 | 4,87 | 4,99 | 5,23 | 5,49 |
| 28 | 5,2 | 5,41 | 5,4 | 5,22 | 4,94 | 5,06 | 5,09 | 4,84 | 5,05 | 5,27 | 5,14 | 4,99 | 5,27 | 5,14 | 5,11 | 4,9 | 5,06 | 5,33 | 5,39 |
| 32 | 5,25 | 5,33 | 5,41 | 5,36 | 4,98 | 5,03 | 5,12 | 5,14 | 5,04 | 5,29 | 5,2 | 4,94 | 5,3 | 5,17 | 5,13 | 4,89 | 5,06 | 5,35 | 5,54 |
| 36 | 5,32 | 5,4 | 5,41 | 5,19 | 4,99 | 5,04 | 5,14 | 4,87 | 5,03 | 5,27 | 5,19 | 4,95 | 5,25 | 5,19 | 5,14 | 4,85 | 5,05 | 5,39 | 5,59 |

Syre, mg/l

| Djup, m | 0114 | 0219 | 0311 | 0414 | 0429 | 0512 | 0528 | 0612 | 0625 | 0717 | 0731 | 0813 | 0825 | 0910 | 0923 | 1008 | 1021 | 1111 | 1215 |
|---------|------|------|------|------|------|------|------|------|------|------|------|------|------|------|------|------|------|------|------|
| 0 | 11 | 12,1 | 11,4 | 14,1 | 13,1 | 12,8 | 11,9 | 10,3 | 9,5 | 10 | 8,5 | 10,2 | 9,4 | 9,9 | 8,5 | 8,7 | 8,9 | 8 | 9 |
| 4 | 11,2 | 11,8 | 11,5 | 13,9 | 13,2 | 12,5 | 11,5 | fa | 9,4 | 8,7 | 8,8 | 9,3 | 8,7 | 7,9 | 8,3 | 8,8 | 8,8 | 8 | 8,9 |
| 8 | 11,5 | 9,4 | 10,9 | 12,3 | 13,9 | 12 | 11,7 | 10 | 9,5 | 8 | 8,2 | 7,3 | 9,1 | 7,1 | 8,1 | 7,9 | 8,1 | 7,7 | 8,8 |
| 12 | 11 | 9,3 | 9,6 | 10,9 | 13,7 | 10,4 | 10,6 | 8,8 | 8,8 | 6,9 | 7 | 5,6 | 8,8 | 5,4 | 6,7 | 6,8 | 4,7 | 4,9 | 7,9 |
| 16 | 10,6 | 11,9 | 10,1 | 10,6 | 10,8 | 9,8 | 10 | fa | 8 | 6,1 | 6,5 | 5,7 | 5,4 | 4,9 | 5,6 | 5,9 | 4,7 | 4,7 | 6,6 |
| 20 | 9,3 | 10 | 9,3 | 11 | 11,2 | 10,3 | 9,5 | 8,6 | 8,3 | 6,6 | 6,3 | 6,1 | 5,7 | 5,1 | 5,3 | 5,2 | 5,3 | 5,9 | 7 |
| 24 | 9,2 | 10,4 | 10,3 | 11 | 10,1 | 10,2 | 8,8 | 8,1 | 7,9 | 6,3 | 6,6 | 5,9 | 5,4 | 5,2 | 4,5 | 4,9 | 5,2 | 6 | 7,2 |
| 28 | 8,9 | 10,3 | 11,1 | 10,8 | 10,6 | 9,9 | 8,4 | 7,9 | 8,2 | 6,7 | 6,2 | 5,5 | 5,3 | 5,2 | 4 | 4 | 5,6 | 6,1 | 7,2 |
| 32 | 9,3 | 10,4 | 11,3 | 10,8 | 10,4 | 9,7 | 8,5 | 8,3 | 7,8 | 6,6 | 5,8 | 5,1 | 5,4 | 4,8 | 3,9 | 3,5 | 5,4 | 6,1 | 7 |
| 36 | 9 | 10,2 | 10,7 | 10,7 | 10,2 | 9,1 | 8,1 | 7,9 | 7,2 | 5,2 | 5,5 | 4,7 | 5,2 | 4,5 | 3,8 | 3,3 | 5,5 | 5,9 | 7,2 |

Syrgasmättnad, %

| Djup, m | 0114 | 0219 | 0311 | 0414 | 0429 | 0512 | 0528 | 0612 | 0625 | 0717 | 0731 | 0813 | 0825 | 0910 | 0923 | 1008 | 1021 | 1111 | 1215 |
|---------|------|------|------|------|------|------|------|------|------|------|------|------|------|------|------|------|------|------|------|
| 0 | 80 | 84 | 86 | 120 | 110 | 110 | 110 | 99 | 95 | 110 | 92 | 110 | 97 | 100 | 85 | 84 | 81 | 71 | 76 |
| 4 | 82 | 82 | 87 | 110 | 110 | 110 | 110 | fa | 94 | 91 | 97 | 100 | 89 | 82 | 83 | 85 | 80 | 72 | 75 |
| 8 | 84 | 67 | 83 | 97 | 120 | 100 | 110 | 96 | 95 | 82 | 87 | 78 | 93 | 73 | 81 | 77 | 75 | 70 | 74 |
| 12 | 80 | 71 | 73 | 84 | 110 | 86 | 93 | 80 | 85 | 67 | 73 | 55 | 85 | 53 | 67 | 66 | 45 | 46 | 68 |
| 16 | 78 | 92 | 76 | 81 | 84 | 78 | 84 | fa | 74 | 57 | 62 | 55 | 52 | 48 | 55 | 57 | 45 | 44 | 59 |
| 20 | 72 | 76 | 70 | 84 | 86 | 81 | 78 | 73 | 75 | 60 | 59 | 58 | 54 | 49 | 51 | 50 | 51 | 55 | 63 |
| 24 | 72 | 79 | 77 | 84 | 77 | 80 | 71 | 68 | 72 | 57 | 60 | 55 | 51 | 49 | 42 | 47 | 49 | 56 | 65 |
| 28 | 69 | 78 | 83 | 82 | 81 | 77 | 67 | 66 | 74 | 60 | 56 | 51 | 49 | 49 | 38 | 38 | 53 | 57 | 64 |
| 32 | 73 | 78 | 85 | 82 | 79 | 75 | 67 | 69 | 69 | 59 | 52 | 46 | 50 | 45 | 36 | 33 | 51 | 57 | 63 |
| 36 | 71 | 77 | 80 | 82 | 78 | 70 | 63 | 66 | 64 | 46 | 48 | 41 | 48 | 42 | 35 | 31 | 52 | 55 | 65 |

Fosfatfosfor, µg/L

| Djup, m | 0114 | 0219 | 0311 | 0414 | 0429 | 0512 | 0528 | 0612 | 0625 | 0717 | 0731 | 0813 | 0825 | 0910 | 0923 | 1008 | 1021 | 1111 | 1215 |
|---------|------|------|------|------|------|------|------|------|------|------|------|------|------|------|------|------|------|------|------|
| 0 | 27 | 22 | 23 | 1,1 | 1,1 | <1,0 | <1,0 | <1,0 | <1,0 | <1,0 | <1,0 | <1,0 | 1,2 | 1,5 | 11 | 12 | 7,6 | 26 | 37 |
| 4 | 27 | 22 | 24 | <1,0 | <1,0 | <1,0 | <1,0 | <1,0 | <1,0 | 1 | <1,0 | <1,0 | 1,1 | <1,0 | 11 | 12 | 8,3 | 26 | 37 |
| 8 | 27 | 24 | 28 | 5,8 | 1,2 | <1,0 | <1,0 | <1,0 | <1,0 | 1,8 | 1,6 | 1,2 | <1,0 | 2,5 | 11 | 14 | 13 | 26 | 37 |
| 12 | 30 | 34 | 33 | 23 | <1,0 | <1,0 | 6,5 | <1,0 | 1,7 | 5,9 | 8,4 | 21 | 2,2 | 24 | 18 | 20 | 36 | 41 | 38 |
| 16 | 29 | 34 | 29 | 27 | 1,1 | <1,0 | <1,0 | 3 | 9,2 | 18 | 20 | 24 | 28 | 35 | 28 | 27 | 35 | 34 | 39 |
| 20 | 31 | 30 | 27 | 24 | 5,9 | 1,5 | 2,4 | 8,3 | 15 | 21 | 24 | 26 | 29 | 28 | 32 | 32 | 33 | 40 | 37 |
| 24 | 30 | 29 | 28 | 24 | 12 | 2,6 | 4,7 | 15 | 17 | 26 | 27 | 30 | 31 | 32 | 40 | 35 | 35 | 35 | 37 |
| 28 | 30 | 28 | 28 | 25 | 15 | 5,3 | 5,3 | 16 | 19 | 26 | 30 | 34 | 35 | 36 | 45 | 42 | 35 | 37 | 38 |
| 32 | 31 | 28 | 28 | 25 | 20 | 3,9 | 5,3 | 17 | 20 | 29 | 34 | 37 | 36 | 40 | 50 | 10 | 36 | 37 | 37 |
| 36 | 30 | 28 | 29 | 24 | 19 | 3,4 | 7,6 | 17 | 24 | 34 | 36 | 41 | 36 | 43 | 59 | 51 | 38 | 38 | 37 |

Totalfosfor, µg/L

| Djup, m | 0114 | 0219 | 0311 | 0414 | 0429 | 0512 | 0528 | 0612 | 0625 | 0717 | 0731 | 0813 | 0825 | 0910 | 0923 | 1008 | 1021 | 1111 | 1215 |
|---------|------|------|------|------|------|------|------|------|------|------|------|------|------|------|------|------|------|------|------|
| 0 | 38 | 31 | 30 | 21 | 16 | 14 | 12 | 19 | 17 | 19 | 20 | 25 | 29 | 22 | 27 | 33 | 30 | 35 | 44 |
| 4 | 36 | 31 | 32 | 21 | 21 | 19 | 15 | 30 | 18 | 29 | 21 | 24 | 30 | 21 | 27 | 32 | 30 | 36 | 44 |
| 8 | 36 | 35 | 34 | 24 | 18 | 20 | 15 | 17 | 18 | 16 | 19 | 18 | 25 | 18 | 27 | 27 | 27 | 35 | 46 |
| 12 | 39 | 42 | 39 | 34 | 23 | 19 | 14 | 21 | 18 | 21 | 20 | 31 | 20 | 35 | 29 | 30 | 45 | 48 | 45 |
| 16 | 39 | 41 | 34 | 36 | 47 | 15 | 11 | 14 | 21 | 28 | 31 | 33 | 34 | 41 | 36 | 33 | 42 | 46 | 45 |
| 20 | 39 | 38 | 33 | 33 | 17 | 22 | 11 | 20 | 25 | 30 | 34 | 34 | 35 | 80 | 42 | 36 | 40 | 41 | 43 |
| 24 | 38 | 36 | 33 | 34 | 29 | 16 | 15 | 28 | 31 | 34 | 36 | 39 | 37 | 38 | 48 | 41 | 42 | 42 | 46 |
| 28 | 39 | 34 | 33 | 35 | 31 | 18 | 18 | 41 | 29 | 34 | 41 | 45 | 43 | 52 | 60 | 50 | 43 | 44 | 47 |
| 32 | 40 | 37 | 36 | 34 | 32 | 20 | 13 | 31 | 42 | 40 | 45 | 47 | 47 | 51 | 57 | 61 | 47 | 46 | 48 |
| 36 | 41 | 59 | 41 | 36 | 34 | 34 | 24 | 37 | 41 | 48 | 52 | 58 | 53 | 55 | 71 | 62 | 55 | 52 | 48 |

Ammoniumkväve, µg/L

| Djup, m | 0114 | 0219 | 0311 | 0414 | 0429 | 0512 | 0528 | 0612 | 0625 | 0717 | 0731 | 0813 | 0825 | 0910 | 0923 | 1008 | 1021 | 1111 | 1215 |
|---------|------|------|------|------|------|------|------|------|------|------|------|------|------|------|------|------|------|------|------|
| 0 | 18 | 60 | 25 | 8,1 | 4,9 | <3,0 | 5,1 | 4,2 | 8,9 | 16 | 23 | 5,5 | 11 | 10 | 30 | 9,7 | 12 | 48 | 53 |
| 4 | 19 | 60 | 25 | 5 | 5,5 | 4,6 | 5 | 3,3 | 7,6 | 48 | 21 | 16 | 13 | 17 | 30 | 11 | 13 | 55 | 51 |
| 8 | 18 | 64 | 28 | 12 | 5,8 | 4,6 | 5,1 | 3,6 | 14 | 43 | 35 | 23 | 15 | 20 | 33 | 23 | 23 | 48 | 46 |
| 12 | 15 | 110 | 22 | 10 | 3,9 | 13 | 13 | 22 | 16 | 67 | 57 | 54 | 36 | 33 | 39 | 30 | 18 | 35 | 12 |
| 16 | 11 | 67 | 3,4 | 5,2 | 5,2 | 7,3 | 7,7 | 21 | 40 | 98 | 98 | 51 | 43 | 15 | 22 | 23 | 3,1 | 5,6 | 3,9 |
| 20 | <3,0 | 27 | 3,1 | 3,9 | 6,9 | 4,6 | 10 | 30 | 41 | 80 | 82 | 58 | 34 | 17 | 14 | 14 | 5,5 | 7,4 | 3,8 |
| 24 | 3,7 | 10 | 3,5 | 5,4 | 7,4 | <3,0 | 18 | 40 | 41 | 63 | 71 | 59 | 29 | 9,4 | 13 | 8,1 | 6 | 3,3 | 4,3 |
| 28 | <3,0 | 5,2 | 4,2 | 4 | 8,9 | 26 | 22 | 36 | 42 | 48 | 70 | 64 | 23 | 14 | 10 | 9,8 | 12 | 3,5 | 3,3 |
| 32 | <3,0 | 3,8 | 3,9 | 5,1 | 9,2 | <3,0 | 22 | 38 | 48 | 56 | 82 | 67 | 24 | 16 | 3,5 | 3,5 | 4,1 | <3,0 | 4,6 |
| 36 | <3,0 | 3,8 | 5,3 | 5,8 | 10 | <3,0 | 25 | 35 | 64 | 79 | 78 | 79 | 27 | 25 | 8 | 5,3 | 8,2 | 3,4 | 4 |

Nitrit+nitratkväve, µg/L

| Djup, m | 0114 | 0219 | 0311 | 0414 | 0429 | 0512 | 0528 | 0612 | 0625 | 0717 | 0731 | 0813 | 0825 | 0910 | 0923 | 1008 | 1021 | 1111 | 1215 |
|---------|------|------|------|------|------|------|------|------|------|------|------|------|------|------|------|------|------|------|------|
| 0 | 300 | 310 | 320 | 61 | <1,0 | <1,0 | 1,5 | 1,3 | 4 | 14 | 50 | 1,5 | 33 | 9,9 | 110 | 130 | 100 | 210 | 260 |
| 4 | 300 | 310 | 330 | 69 | <1,0 | 1,1 | 2 | 1,3 | 4,6 | 11 | 24 | 6,3 | 32 | 30 | 110 | 130 | 100 | 200 | 260 |
| 8 | 300 | 300 | 340 | 160 | 3,2 | 1 | 1,3 | 1,2 | 8,1 | 7,6 | 15 | 11 | 22 | 21 | 100 | 120 | 79 | 170 | 260 |
| 12 | 290 | 350 | 320 | 230 | <1,0 | 17 | 5,5 | 18 | 8 | 25 | 29 | 190 | 14 | 170 | 74 | 90 | 250 | 290 | 220 |
| 16 | 270 | 290 | 190 | 210 | 88 | 63 | 17 | 26 | 25 | 92 | 84 | 140 | 65 | 230 | 75 | 86 | 170 | 120 | 180 |
| 20 | 180 | 200 | 140 | 140 | 74 | 28 | 20 | 19 | 23 | 64 | 69 | 74 | 60 | 96 | 80 | 98 | 110 | 210 | 140 |
| 24 | 150 | 160 | 140 | 130 | 94 | 47 | 37 | 27 | 24 | 39 | 55 | 57 | 64 | 94 | 110 | 100 | 110 | 120 | 120 |
| 28 | 150 | 130 | 140 | 130 | 100 | 62 | 51 | 29 | 26 | 32 | 57 | 63 | 69 | 90 | 130 | 120 | 100 | 110 | 130 |
| 32 | 150 | 130 | 130 | 130 | 120 | 69 | 67 | 26 | 34 | 39 | 64 | 83 | 73 | 93 | 150 | 26 | 100 | 110 | 110 |
| 36 | 140 | 130 | 140 | 130 | 110 | 81 | 91 | 26 | 49 | 52 | 71 | 97 | 77 | 93 | 160 | s | 100 | 110 | 120 |

Totalkväve, µg/L

| Djup, m | 0114 | 0219 | 0311 | 0414 | 0429 | 0512 | 0528 | 0612 | 0625 | 0717 | 0731 | 0813 | 0825 | 0910 | 0923 | 1008 | 1021 | 1111 | 1215 |
|---------|------|------|------|------|------|------|------|------|------|------|------|------|------|------|------|------|------|------|------|
| 0 | 670 | 770 | 670 | 570 | 530 | 380 | 380 | 390 | 440 | 430 | 510 | 480 | 580 | 450 | 560 | 600 | 610 | 690 | 640 |
| 4 | 670 | 770 | 670 | 580 | 520 | 400 | 400 | 400 | 440 | 510 | 490 | 470 | 610 | 470 | 550 | 600 | 590 | 660 | 640 |
| 8 | 670 | 740 | 660 | 570 | 560 | 400 | 420 | 400 | 440 | 390 | 430 | 380 | 520 | 430 | 540 | 530 | 490 | 530 | 630 |
| 12 | 640 | 760 | 610 | 560 | 480 | 400 | 350 | 450 | 360 | 450 | 420 | 550 | 440 | 550 | 450 | 450 | 610 | 620 | 530 |
| 16 | 610 | 640 | 420 | 500 | 430 | 440 | 330 | 350 | 360 | 490 | 490 | 480 | 380 | 580 | 390 | 560 | 470 | 360 | 450 |
| 20 | 460 | 500 | 370 | 410 | 400 | 350 | 320 | 320 | 360 | 430 | 440 | 400 | 360 | 390 | 370 | 450 | 420 | 480 | 390 |
| 24 | 420 | 440 | 370 | 400 | 390 | 350 | 330 | 350 | 350 | 380 | 400 | 380 | 370 | 380 | 400 | 370 | 420 | 360 | 360 |
| 28 | 420 | 400 | 360 | 400 | 420 | 380 | 360 | 330 | 350 | 340 | 390 | 390 | 360 | 400 | 410 | 450 | 450 | 340 | 370 |
| 32 | 410 | 400 | 350 | 400 | 410 | 640 | 370 | 360 | 370 | 370 | 470 | 410 | 380 | 390 | 420 | 420 | 390 | 410 | 360 |
| 36 | 400 | 400 | 360 | 410 | 430 | 410 | 420 | 360 | 440 | 420 | 440 | 450 | 390 | 400 | 460 | 430 | 410 | 400 | 370 |

Kisel, µg/L

| Djup, m | 0114 | 0219 | 0311 | 0414 | 0429 | 0512 | 0528 | 0612 | 0625 | 0717 | 0731 | 0813 | 0825 | 0910 | 0923 | 1008 | 1021 | 1111 | 1215 |
|---------|------|------|------|------|------|------|------|------|------|------|------|------|------|------|------|------|------|------|------|
| 0 | 1200 | 1500 | 1400 | 810 | 270 | 39 | 31 | <10 | 70 | 190 | 73 | 140 | 300 | 19 | 340 | 510 | 590 | 800 | 1000 |
| 4 | 1300 | 1500 | 1400 | 840 | 270 | 61 | 38 | 12 | 70 | 240 | 100 | 140 | 300 | 97 | 340 | 510 | 580 | 800 | 930 |
| 8 | 1200 | 1400 | 1300 | 980 | 290 | 140 | 20 | 13 | 77 | 320 | 220 | 300 | 300 | 260 | 330 | 490 | 590 | 780 | 1100 |
| 12 | 1200 | 1200 | 1200 | 1100 | 330 | 410 | 190 | 190 | 310 | 440 | 410 | 660 | 300 | 690 | 480 | 620 | 950 | 1100 | 1000 |
| 16 | 1100 | 1100 | 1000 | 1000 | 810 | 710 | 450 | 450 | 510 | 610 | 620 | 740 | 810 | 920 | 720 | 750 | 940 | 910 | 1000 |
| 20 | 980 | 1000 | 970 | 970 | 790 | 730 | 570 | 530 | 600 | 660 | 730 | 770 | 830 | 810 | 830 | 880 | 940 | 1100 | 970 |
| 24 | 920 | 980 | 960 | 960 | 850 | 760 | 720 | 680 | 620 | 780 | 810 | 900 | 880 | 900 | 1100 | 970 | 970 | 930 | 960 |
| 28 | 930 | 940 | 950 | 960 | 880 | 820 | 800 | 710 | 650 | 780 | 920 | 1100 | 960 | 1000 | 1200 | 1200 | 940 | 950 | 980 |
| 32 | 930 | 960 | 970 | 970 | 970 | 850 | 870 | 690 | 720 | 920 | 1100 | 1200 | 1000 | 1100 | 1300 | 1400 | 970 | 950 | 960 |
| 36 | 940 | 940 | 1000 | 950 | 930 | 920 | 970 | 700 | 850 | 1200 | 1100 | 1300 | 1000 | 1200 | 1400 | 1500 | 1000 | 970 | 960 |

Escherichia coli, MPN/100 ml

| Djup, m | 0114 | 0219 | 0311 | 0414 | 0429 | 0512 | 0528 | 0612 | 0625 | 0717 | 0731 | 0813 | 0825 | 0910 | 0923 | 1008 | 1021 | 1111 | 1215 |
|---------|------|------|------|------|------|------|------|------|------|------|------|------|------|------|------|------|------|------|------|
| 0 | 20 | 110 | 10 | <10 | <10 | <10 | <10 | <10 | 10 | 10 | 220 | <10 | 41 | <10 | <10 | 96 | 10 | 31 | 120 |
| 4 | 63 | 160 | 10 | <10 | <10 | <10 | <10 | <10 | <10 | <10 | 30 | <10 | 85 | <10 | <10 | 110 | 10 | 41 | 150 |

Koliforma bakterier 35°C, MPN/100 ml

| Djup, m | 0114 | 0219 | 0311 | 0414 | 0429 | 0512 | 0528 | 0612 | 0625 | 0717 | 0731 | 0813 | 0825 | 0910 | 0923 | 1008 | 1021 | 1111 | 1215 |
|---------|------|------|------|------|------|------|------|------|------|------|------|------|------|------|------|------|------|------|------|
| 0 | 110 | 460 | 10 | <10 | 20 | 20 | <10 | 31 | 52 | 20 | 2900 | 960 | 800 | 170 | 190 | 460 | 140 | 150 | 560 |
| 4 | 170 | 660 | 41 | <10 | <10 | 41 | <10 | 41 | 20 | <10 | 6500 | 1500 | 760 | 130 | 170 | 620 | 110 | 260 | 860 |

Solöfjärden**Vattentemperatur, °C**

| Djup, m | 0113 | 0217 | 0312 | 0414 | 0512 | 0612 | 0717 | 0813 | 0910 | 1008 | 1111 | 1215 |
|---------|------|------|------|------|------|------|------|------|------|------|------|------|
| 0 | 1 | 0,2 | 2,4 | 6,2 | 10,1 | 12,6 | 19,3 | 20 | 17,3 | 13 | 9,6 | 6,8 |
| 4 | 1,1 | 0,2 | 2,4 | 6,1 | 7,9 | 12,3 | 17,4 | 19 | 17 | 13 | 9,6 | 6,8 |
| 8 | 1 | 1,2 | 2,2 | 4,7 | 7,8 | 12 | 15,8 | 17,2 | 15,8 | 13 | 10 | 6,8 |
| 12 | 1,2 | 1,9 | 1,9 | 3,5 | 6,7 | 10 | 14,4 | 14,7 | 15,1 | 13 | 10,2 | 7,1 |
| 16 | 2,5 | 1,9 | 1,8 | 2,7 | 5,8 | 9,1 | 12,6 | 12,6 | 13,7 | 12,7 | 10,3 | 7,9 |
| 20 | 2,8 | 1,9 | 1,7 | 2,6 | 4,6 | 7,6 | 11 | 11,5 | 12 | 12,3 | 10,3 | 8 |
| 24 | 3,1 | 1,9 | 1,7 | 2,5 | 3,9 | 6,9 | 9,8 | 10,6 | 11,9 | 11,9 | 10,2 | 8,2 |
| 28 | 3,2 | 1,9 | 1,8 | 2,5 | 3,9 | 6,4 | 9 | 10,2 | 11,1 | 11,7 | 10,2 | 8,2 |
| 32 | 3,3 | 2 | 1,8 | 2,4 | 3,5 | 6,3 | 8,6 | 10,1 | 10,6 | 11,6 | 10,2 | 8,2 |
| 36 | 3,4 | 2 | 1,8 | 2,3 | 3,3 | 6,1 | 8,1 | 9,3 | 10 | 11,4 | 10,2 | 8,2 |
| 40 | 3,6 | 2 | 1,8 | 2,4 | 3,1 | 5,9 | 7,9 | 8,9 | 10,2 | 11 | 10,1 | 8,2 |
| 44 | 3,7 | 2,1 | 1,9 | 2,7 | 3,4 | 6,5 | 8 | 8,8 | 9,9 | 10,9 | 10,1 | 8,3 |

Salinitet, PSU

| Djup, m | 0113 | 0217 | 0312 | 0414 | 0512 | 0612 | 0717 | 0813 | 0910 | 1008 | 1111 | 1215 |
|---------|------|------|------|------|------|------|------|------|------|------|------|------|
| 0 | 3,54 | 1,48 | 2,54 | 3,03 | 3,77 | 4,14 | 4,24 | 3,18 | 3,91 | 3,15 | 2,44 | 2,95 |
| 4 | 3,59 | 1,49 | 2,56 | 3,06 | 3,86 | 4,14 | 4,36 | 3,33 | 3,95 | 3,24 | 2,63 | 2,96 |
| 8 | 3,62 | 2,65 | | 3,65 | 4,02 | 4,43 | 4,5 | 3,72 | 4,24 | 3,41 | 3,08 | 3,08 |
| 12 | 3,81 | 4,8 | 4,79 | 4,5 | 4,39 | 4,47 | 4,71 | 4,94 | 4,57 | 3,61 | 3,87 | 3,45 |
| 16 | 5 | 5,21 | 5,23 | 5,12 | 4,61 | 4,91 | 5,02 | 4,7 | 4,95 | 4,42 | 4,96 | 4,62 |
| 20 | 5,4 | 5,4 | 5,33 | 5,19 | 4,98 | 4,83 | 5,23 | 5,27 | 5,11 | 4,74 | 5,4 | 5,25 |
| 24 | 5,67 | 5,52 | 5,39 | 5,26 | 5,09 | 4,92 | 5,32 | 4,95 | 5,23 | 4,93 | 5,42 | 5,39 |
| 28 | 5,67 | 5,54 | 5,44 | 5,24 | 5,11 | 5,26 | 5,34 | 5,33 | 5,23 | 5 | 5,46 | 5,45 |
| 32 | 5,72 | 5,59 | 5,47 | 5,27 | 5,12 | 4,99 | 5,37 | 5,33 | 5,22 | 4,99 | 5,5 | 5,47 |
| 36 | 5,73 | 5,58 | 5,46 | 5,26 | 5,15 | 5,26 | 5,4 | 4,79 | 5,22 | 5,01 | 5,54 | 5,48 |
| 40 | 5,78 | 5,45 | 5,51 | 5,29 | 5,16 | 5,26 | 5,36 | 5,28 | 5,2 | 4,95 | 5,54 | 5,45 |
| 44 | 5,75 | 5,55 | 5,48 | 5,28 | 5,17 | 5,26 | 5,37 | 4,76 | 5,2 | 4,96 | 5,52 | 5,48 |

Syre, mg/l

| Djup, m | 0113 | 0217 | 0312 | 0414 | 0512 | 0612 | 0717 | 0813 | 0910 | 1008 | 1111 | 1215 |
|---------|------|------|------|------|------|------|------|------|------|------|------|------|
| 0 | 12,5 | 12,3 | 12,6 | 14,1 | 12,9 | 10,6 | 9,3 | 9,3 | 10 | 9,5 | 8,7 | 10 |
| 4 | 12,4 | 12,2 | 12 | 13,6 | 12,4 | 10,4 | 9,3 | 8,8 | 9,7 | 9,3 | 8,8 | 10 |
| 8 | 12,5 | 11,2 | 12 | 12,8 | 11,6 | 10,4 | 8,5 | 7,1 | 7,8 | 9,2 | 8,4 | 9,9 |
| 12 | 12,4 | 10,5 | 11,6 | 12,2 | 10,8 | 9,8 | 8,2 | 6,3 | 7,2 | 8,4 | 7,7 | 9,4 |
| 16 | 11,4 | 10,5 | 11,3 | 11,1 | 11 | 9,6 | 7,8 | ft | 6,4 | 7 | 7,2 | 8,6 |
| 20 | 11,1 | 10,8 | 11,5 | 11,2 | 9,9 | 9,6 | 7,5 | 6,3 | 6,1 | 6,3 | 6,8 | 8,4 |
| 24 | 10,9 | 10 | 11,3 | 10,7 | 10,1 | 9,6 | 7,5 | 6,4 | 5,8 | 5,8 | 6,7 | 8,4 |
| 28 | 10,5 | 10,5 | 11,3 | 10,8 | 10 | 9,4 | 7,1 | 6 | 5,4 | 5,1 | 6,5 | 8,4 |
| 32 | 10,6 | 10,4 | 11 | 10,3 | 9,5 | 9,1 | 7,3 | 6,1 | 5,2 | 5,1 | 6,4 | 8,2 |
| 36 | 10,3 | 10,4 | 12,5 | 10 | 9,6 | 8,7 | 6,9 | 5,5 | 4,8 | 4,9 | 6,4 | 8,3 |
| 40 | 9,8 | 10,3 | 10,6 | 10 | 9,3 | 9,1 | 6,6 | 4,8 | 4,7 | 3,8 | 6,3 | 8,1 |
| 44 | 9,8 | 10 | 10,6 | 9,7 | 8,6 | 8,9 | 6 | 4,3 | 4,2 | 3,7 | 5,9 | 8,2 |

Syrgasmättnad, %

| Djup, m | 0113 | 0217 | 0312 | 0414 | 0512 | 0612 | 0717 | 0813 | 0910 | 1008 | 1111 | 1215 |
|---------|------|------|------|------|------|------|------|------|------|------|------|------|
| 0 | 90 | 86 | 94 | 120 | 120 | 100 | 100 | 100 | 110 | 92 | 78 | 84 |
| 4 | 90 | 85 | 89 | 110 | 110 | 100 | 99 | 97 | 100 | 90 | 79 | 84 |
| 8 | 90 | 81 | | 100 | 100 | 99 | 88 | 76 | 81 | 89 | 76 | 83 |
| 12 | 90 | 78 | 87 | 95 | 91 | 89 | 83 | 64 | 74 | 82 | 70 | 80 |
| 16 | 87 | 79 | 84 | 85 | 91 | 86 | 76 | ft | 64 | 68 | 66 | 75 |
| 20 | 85 | 81 | 86 | 85 | 79 | 83 | 70 | 60 | 59 | 61 | 63 | 73 |
| 24 | 84 | 75 | 84 | 81 | 80 | 82 | 68 | 59 | 56 | 55 | 62 | 74 |
| 28 | 82 | 79 | 84 | 82 | 79 | 79 | 64 | 55 | 51 | 49 | 60 | 74 |
| 32 | 83 | 78 | 82 | 78 | 74 | 76 | 65 | 56 | 48 | 48 | 59 | 72 |
| 36 | 81 | 78 | 93 | 76 | 75 | 73 | 60 | 49 | 44 | 46 | 59 | 73 |
| 40 | 77 | 77 | 79 | 76 | 72 | 76 | 58 | 43 | 43 | 36 | 58 | 71 |
| 44 | 77 | 75 | 79 | 74 | 67 | 75 | 52 | 38 | 38 | 35 | 54 | 72 |

Fosfatfosfor, µg/L

| Djup, m | 0113 | 0217 | 0312 | 0414 | 0512 | 0612 | 0717 | 0813 | 0910 | 1008 | 1111 | 1215 |
|---------|------|------|------|------|------|------|------|------|------|------|------|------|
| 0 | 27 | 20 | 20 | <1,0 | <1,0 | <1,0 | <1,0 | 1,9 | 1 | 7,9 | 25 | 37 |
| 4 | 28 | 20 | 21 | 1,6 | <1,0 | <1,0 | 2,3 | 2 | 1,7 | 8,8 | 25 | 37 |
| 8 | 27 | 23 | | <1,0 | <1,0 | <1,0 | 2,8 | 1,8 | 3,1 | 8,4 | 25 | 37 |
| 12 | 28 | 25 | 23 | 3,5 | <1,0 | 4 | 6,5 | 11 | 7,9 | 9,2 | 26 | 36 |
| 16 | 27 | 25 | 23 | 16 | <1,0 | 7,4 | 14 | 19 | 18 | 21 | 27 | 34 |
| 20 | 27 | 24 | 24 | 19 | 1,4 | 12 | 20 | 23 | 23 | 27 | 31 | 33 |
| 24 | 27 | 25 | 25 | 22 | 4,2 | 13 | 23 | 26 | 28 | 32 | 33 | 33 |
| 28 | 27 | 25 | 27 | 24 | 5,8 | 16 | 26 | 29 | 32 | 38 | 34 | 33 |
| 32 | 27 | 26 | 27 | 26 | 11 | 17 | 28 | 31 | 39 | 38 | 35 | 33 |
| 36 | 28 | 26 | 28 | 27 | 16 | 20 | 30 | 39 | 46 | 42 | 35 | 34 |
| 40 | 31 | 25 | 28 | 28 | 19 | 24 | 33 | 49 | 47 | 52 | 35 | 34 |
| 44 | 31 | 26 | 29 | 29 | 25 | 19 | 39 | 57 | 57 | 59 | 44 | 34 |

Totalfosfor, µg/L

| Djup, m | 0113 | 0217 | 0312 | 0414 | 0512 | 0612 | 0717 | 0813 | 0910 | 1008 | 1111 | 1215 |
|---------|------|------|------|------|------|------|------|------|------|------|------|------|
| 0 | 37 | 31 | 29 | 26 | 14 | 20 | 20 | 22 | 21 | 31 | 35 | 45 |
| 4 | 36 | 32 | 29 | 29 | 24 | 16 | 23 | 27 | 28 | 31 | 35 | 44 |
| 8 | 36 | 32 | 30 | 20 | 16 | 25 | 18 | 19 | 20 | 26 | 34 | 43 |
| 12 | 36 | 33 | 29 | 22 | 18 | 20 | 19 | 27 | 21 | 25 | 34 | 42 |
| 16 | 36 | 33 | 29 | 28 | 16 | 21 | 24 | 22 | 28 | 29 | 34 | 40 |
| 20 | 35 | 33 | 30 | 30 | 16 | 61 | 32 | 31 | 31 | 35 | 37 | 40 |
| 24 | 34 | 32 | 31 | 32 | 16 | 23 | 32 | 35 | 35 | 40 | 39 | 39 |
| 28 | 33 | 32 | 33 | 33 | 18 | 26 | 36 | 39 | 40 | 47 | 40 | 41 |
| 32 | 36 | 35 | 33 | 39 | 22 | 27 | 37 | 41 | 45 | 46 | 41 | 39 |
| 36 | 35 | 32 | 35 | 39 | 28 | 32 | 38 | 52 | 54 | 48 | 41 | 42 |
| 40 | 42 | 35 | 35 | 38 | 30 | 40 | 44 | 66 | 54 | 64 | 40 | 41 |
| 44 | 42 | 37 | 37 | 40 | 45 | 32 | 55 | 81 | 75 | 75 | 57 | 43 |

Ammoniumkväve, µg/L

| Djup, m | 0113 | 0217 | 0312 | 0414 | 0512 | 0612 | 0717 | 0813 | 0910 | 1008 | 1111 | 1215 |
|---------|------|------|------|------|------|------|------|------|------|------|------|------|
| 0 | 13 | 66 | 21 | 6,5 | 3,1 | 3,3 | 3,2 | 14 | 5,6 | 4,6 | 53 | 22 |
| 4 | 14 | 65 | 22 | 11 | 4,1 | 5,8 | 18 | 17 | 5,1 | 7,1 | 54 | 21 |
| 8 | 14 | 57 | | 7,2 | 3,1 | 4 | 12 | 13 | 7,5 | 9,1 | 50 | 18 |
| 12 | 12 | 19 | 8,4 | 6,7 | 3,7 | 10 | 17 | 23 | 8,4 | 9,8 | 38 | 14 |
| 16 | 4,1 | 9,4 | 3,7 | 5,9 | <3,0 | 16 | 25 | 28 | 14 | 20 | 19 | 5,6 |
| 20 | <3,0 | 5,2 | <3,0 | 4,6 | 3,4 | 20 | 32 | 28 | 9 | 14 | 13 | 4,2 |
| 24 | <3,0 | 3,3 | <3,0 | 4,4 | <3,0 | 20 | 38 | 24 | 3,5 | 5,9 | 5,3 | 4,1 |
| 28 | <3,0 | 3,2 | <3,0 | 4,7 | 3,9 | 27 | 32 | 25 | <3,0 | 3,2 | 5,2 | 4,3 |
| 32 | <3,0 | <3,0 | 3,1 | 5 | <3,0 | 22 | 35 | 24 | <3,0 | <3,0 | 4 | 4,5 |
| 36 | <3,0 | <3,0 | <3,0 | 6,3 | <3,0 | 28 | 37 | 34 | <3,0 | <3,0 | 4,1 | 4,9 |
| 40 | <3,0 | 6,3 | <3,0 | 5,1 | 3,5 | 30 | 43 | 50 | <3,0 | <3,0 | 4,2 | 4,6 |
| 44 | <3,0 | 3,4 | 3,1 | 5,7 | <3,0 | 26 | 52 | 56 | 4,2 | 5,4 | 8,4 | 4,1 |

Nitrit+nitratkväve, µg/L

| Djup, m | 0113 | 0217 | 0312 | 0414 | 0512 | 0612 | 0717 | 0813 | 0910 | 1008 | 1111 | 1215 |
|---------|------|------|------|------|------|------|------|------|------|------|------|------|
| 0 | 280 | 310 | 280 | 23 | <1,0 | 1,3 | <1,0 | 1,4 | <1,0 | 82 | 190 | 250 |
| 4 | 280 | 310 | 280 | 37 | 1,1 | 1,5 | <1,0 | 1,4 | <1,0 | 81 | 180 | 250 |
| 8 | 280 | 290 | | 70 | 1,1 | 1,5 | 1,2 | 2,5 | <1,0 | 66 | 160 | 250 |
| 12 | 270 | 180 | 150 | 66 | 1,1 | 3,9 | 4,6 | 12 | 6,3 | 56 | 140 | 230 |
| 16 | 180 | 140 | 120 | 88 | 1,3 | 6,2 | 9,1 | 25 | 29 | 61 | 94 | 160 |
| 20 | 180 | 120 | 120 | 94 | 8,4 | 11 | 15 | 35 | 49 | 72 | 87 | 110 |
| 24 | 120 | 120 | 110 | 100 | 15 | 14 | 23 | 43 | 65 | 84 | 89 | 100 |
| 28 | 120 | 120 | 110 | 110 | 23 | 18 | 30 | 48 | 75 | 99 | 89 | 100 |
| 32 | 120 | 120 | 110 | 120 | 50 | 19 | 34 | 50 | 89 | 99 | 89 | 99 |
| 36 | 120 | 120 | 120 | 130 | 72 | 25 | 38 | 63 | 99 | 100 | 88 | 98 |
| 40 | 130 | 130 | 120 | 130 | 86 | 29 | 42 | 74 | 100 | 120 | 88 | 99 |
| 44 | 130 | 120 | 120 | 130 | 99 | 23 | 46 | 79 | 120 | 130 | 95 | 100 |

Totalkväve, µg/L

| Djup, m | 0113 | 0217 | 0312 | 0414 | 0512 | 0612 | 0717 | 0813 | 0910 | 1008 | 1111 | 1215 |
|---------|------|------|------|------|------|------|------|------|------|------|------|------|
| 0 | 620 | 770 | 650 | 580 | 370 | 330 | 380 | 410 | 430 | 580 | 660 | 560 |
| 4 | 630 | 770 | 640 | 570 | 420 | 360 | 400 | 430 | 410 | 530 | 650 | 570 |
| 8 | 620 | 690 | | 480 | 370 | 330 | 380 | 360 | 360 | 480 | 530 | 570 |
| 12 | 610 | 470 | 420 | 410 | 340 | 320 | 350 | 320 | 340 | 450 | 460 | 530 |
| 16 | 470 | 410 | 370 | 360 | 320 | 330 | 320 | 310 | 320 | 380 | 360 | 440 |
| 20 | 420 | 380 | 360 | 360 | 300 | 340 | 340 | 320 | 320 | 390 | 350 | 360 |
| 24 | 380 | 370 | 350 | 370 | 300 | 290 | 330 | 310 | 330 | 360 | 320 | 330 |
| 28 | 390 | 360 | 360 | 370 | 320 | 320 | 340 | 320 | 330 | 370 | 310 | 340 |
| 32 | 380 | 370 | 350 | 400 | 310 | 290 | 340 | 320 | 360 | 370 | 360 | 330 |
| 36 | 380 | 370 | 350 | 400 | 340 | 310 | 340 | 360 | 360 | 370 | 360 | 340 |
| 40 | 390 | 380 | 360 | 390 | 360 | 340 | 360 | 400 | 360 | 400 | 370 | 350 |
| 44 | 390 | 380 | 370 | 400 | 400 | 320 | 400 | 420 | 400 | 410 | 390 | 330 |

Kisel, µg/L

| Djup, m | 0113 | 0217 | 0312 | 0414 | 0512 | 0612 | 0717 | 0813 | 0910 | 1008 | 1111 | 1215 |
|---------|------|------|------|------|------|------|------|------|------|------|------|------|
| 0 | 1200 | 1500 | 1300 | 760 | 62 | 84 | 260 | 93 | 60 | 470 | 770 | 1000 |
| 4 | 1200 | 1500 | 1300 | 770 | 98 | 96 | 290 | 90 | 77 | 480 | 760 | 980 |
| 8 | 1000 | 1400 | | 830 | 180 | 120 | 330 | 280 | 240 | 470 | 740 | 990 |

Escherichia coli, MPN/100 ml

| Djup, m | 0113 | 0217 | 0312 | 0414 | 0512 | 0612 | 0717 | 0813 | 0910 | 1008 | 1111 | 1215 |
|---------|------|------|------|------|------|------|------|------|------|------|------|------|
| 0 | <10 | 63 | <10 | <10 | <10 | <10 | <10 | <10 | <10 | 20 | 10 | 20 |
| 4 | 10 | 41 | 10 | <10 | <10 | <10 | <10 | <10 | <10 | 20 | 30 | 31 |

Koliforma bakterier 35°C, MPN/100 ml

| Djup, m | 0113 | 0217 | 0312 | 0414 | 0512 | 0612 | 0717 | 0813 | 0910 | 1008 | 1111 | 1215 |
|---------|------|------|------|------|------|------|------|------|------|------|------|------|
| 0 | 110 | 180 | 10 | <10 | 20 | 20 | 10 | 2400 | 3100 | 290 | 190 | 110 |
| 4 | 20 | 160 | 20 | 10 | 31 | 20 | <10 | 8200 | 370 | 250 | 120 | 200 |

Oxdjupet**Vattentemperatur, °C**

| Djup, m | 0113 | 0217 | 0312 | 0415 | 0429 | 0512 | 0528 | 0612 | 0625 | 0716 | 0731 | 0807 | 0812 | 0825 | 0909 | 0923 | 1008 | 1021 | 1111 | 1215 |
|---------|------|------|------|------|------|------|------|------|------|------|------|------|------|------|------|------|------|------|------|------|
| 0 | 0,9 | 0,2 | 2,5 | 7,1 | 7,2 | 8,9 | 10,8 | 12,3 | 13,4 | 17,1 | 18,4 | 18,4 | 18,5 | 15,5 | 16,8 | 15 | 13 | 10,1 | 9,8 | 6,6 |
| 4 | 1 | 0,3 | 2,5 | 6 | 7,2 | 7,7 | 10,3 | 12,1 | 13,6 | 16,9 | 18,3 | 18,3 | 18,1 | 15,5 | 16,2 | 15 | 13 | 10,1 | 9,9 | 6,6 |
| 8 | 1,8 | 1,3 | 2,1 | 4,2 | 6,9 | 7,4 | 9,6 | 10,6 | 12,7 | 16 | 17,9 | 17,9 | 17,7 | 15,4 | 15,5 | 14,4 | 13 | 10,8 | 10,2 | 6,8 |
| 12 | 2,9 | 1,7 | 2 | 2,9 | 5,7 | 5,8 | 8,2 | 9,5 | 7,9 | 13,3 | 15,7 | 15,7 | 14,6 | 15,1 | 14,3 | 13,3 | 13 | 11,5 | 10,6 | 8,3 |
| 16 | 3,1 | 1,9 | 1,7 | 2,5 | 2,9 | 4,3 | 7,1 | 8,7 | 7 | 11,2 | 11,7 | 11,7 | 9,6 | 12,6 | 13,5 | 12,7 | 12,6 | 11,2 | 10,3 | 8,2 |
| 18 | 3,1 | 2,2 | 1,7 | 2,5 | 2,6 | 3,4 | 5,8 | 8,3 | 6,3 | 9,5 | 10,8 | 10,8 | 8,3 | 11,3 | 13,1 | 12,5 | 10,6 | 10,4 | 10,1 | 8,1 |

Salinitet, PSU

| Djup, m | 0113 | 0217 | 0312 | 0415 | 0429 | 0512 | 0528 | 0612 | 0625 | 0716 | 0731 | 0807 | 0812 | 0825 | 0909 | 0923 | 1008 | 1021 | 1111 | 1215 |
|---------|------|------|------|------|------|------|------|------|------|------|------|------|------|------|------|------|------|------|------|------|
| 0 | 3,51 | 1,54 | 2,7 | 3,09 | 3,7 | 3,88 | 4,26 | 4,22 | 4,17 | 4,34 | 3,64 | 3,64 | 3,47 | 4,11 | 3,98 | 3,39 | 3,16 | 3,12 | 2,64 | 2,98 |
| 4 | 3,55 | 1,62 | 2,98 | 3,22 | 3,71 | 4 | 4,27 | 4,25 | 4,2 | 4,36 | 3,7 | 3,69 | 3,61 | 4,12 | 4,17 | 3,4 | 3,23 | 3,13 | 2,86 | 2,96 |
| 8 | 4,32 | 3,93 | 4,21 | 4,17 | 3,72 | 4,06 | 4,39 | 4,63 | 4,34 | 4,5 | 3,84 | 3,84 | 3,81 | 4,15 | 4,52 | 3,52 | 3,56 | 4,12 | 4,15 | 3,13 |
| 12 | 5,71 | 5,58 | 4,83 | 5,14 | 4,02 | 4,66 | 4,75 | 4,5 | 5,17 | 5,02 | 4,84 | 4,85 | | 4,21 | 4,91 | 4,83 | 4,39 | 5,48 | 5,5 | 5,36 |
| 16 | 5,79 | 5,66 | 5,18 | 5,3 | 5,09 | 5,04 | 5,11 | 4,69 | 5,26 | 5,16 | 5,33 | 5,33 | 5,39 | 4,96 | 5,15 | 5,23 | 5 | 5,64 | 5,68 | 5,6 |
| 18 | 5,72 | 5,58 | 5,72 | 5,39 | 5,17 | 5,21 | 5,14 | 4,74 | 5,27 | 5,4 | 5,34 | 5,34 | 5,44 | 5,33 | 5,23 | 5,33 | 5,14 | 5,66 | 5,69 | 5,63 |

Syre, mg/l

| Djup, m | 0113 | 0217 | 0312 | 0415 | 0429 | 0512 | 0528 | 0612 | 0625 | 0716 | 0731 | 0807 | 0812 | 0825 | 0909 | 0923 | 1008 | 1021 | 1111 | 1215 |
|---------|------|------|------|------|------|------|------|------|------|------|------|------|------|------|------|------|------|------|------|------|
| 0 | 11,9 | 12,3 | 12,2 | 15,6 | 13,3 | 11,5 | 11 | 10,2 | 9,8 | 12,3 | 8,9 | 8,9 | 9 | 8,7 | 9,6 | 8,5 | 9,1 | 9,7 | 9,2 | 10,2 |
| 4 | 12 | 12,1 | 12,2 | 14,5 | 14,1 | 11,3 | 10,7 | 10 | 9,6 | 9,2 | 8,7 | 8,7 | 8,9 | 8,8 | 8,5 | 8,5 | 9,1 | 9,8 | 9 | 10 |
| 8 | 11,2 | 11,3 | 11,6 | 12,8 | 14,1 | 11,9 | 10,5 | 9,3 | 9,3 | 9,1 | 8,4 | 8,4 | 8,4 | 8,9 | 7,6 | 8,1 | 8,5 | 8,2 | 7,9 | 9,8 |
| 12 | 10,5 | 11,1 | 11,7 | 12,2 | 13 | 10,4 | 10,4 | 9,3 | 9,1 | 8 | 7,1 | 7,1 | 6,6 | 8,7 | 6,5 | 6,6 | 7,4 | 6,8 | 7,5 | 8,4 |
| 16 | 10,4 | 10,7 | 11,7 | 11,9 | 11,5 | 10,1 | 10,1 | 9,3 | 8,8 | 7,6 | 7 | 7 | 6,8 | ae | 6,3 | 6,1 | 6,1 | 7 | 6,9 | 8,3 |
| 18 | 10,6 | 9,9 | 11,2 | 11,1 | 10,9 | 9,6 | 9,8 | 9,3 | 8,5 | 7,7 | 6,8 | 6,8 | 7,1 | 6,6 | 6,1 | 6 | 5,4 | 6,1 | 6,3 | 8,3 |

Syrgasmättnad, %

| Djup, m | 0113 | 0217 | 0312 | 0415 | 0429 | 0512 | 0528 | 0612 | 0625 | 0716 | 0731 | 0807 | 0812 | 0825 | 0909 | 0923 | 1008 | 1021 | 1111 | 1215 |
|---------|------|------|------|------|------|------|------|------|------|------|------|------|------|------|------|------|------|------|------|------|
| 0 | 86 | 86 | 91 | 130 | 110 | 100 | 100 | 98 | 96 | 130 | 97 | 97 | 98 | 90 | 100 | 86 | 88 | 88 | 83 | 85 |
| 4 | 87 | 85 | 91 | 120 | 120 | 97 | 98 | 96 | 95 | 97 | 95 | 95 | 96 | 91 | 89 | 86 | 88 | 89 | 81 | 83 |
| 8 | 83 | 82 | 87 | 100 | 120 | 100 | 95 | 86 | 90 | 95 | 91 | 91 | 90 | 91 | 78 | 81 | 83 | 76 | 72 | 82 |
| 12 | 81 | 83 | 88 | 94 | 110 | 210 | 91 | 84 | 79 | 79 | 74 | 74 | | 89 | 66 | 65 | 72 | 65 | 70 | 74 |
| 16 | 81 | 80 | 87 | 91 | 88 | 80 | 86 | 82 | 75 | 71 | 67 | 67 | 62 | ae | 63 | 60 | 59 | 66 | 64 | 73 |
| 18 | 82 | 75 | 84 | 85 | 83 | 75 | 81 | 82 | 71 | 70 | 64 | 64 | 63 | 62 | 60 | 58 | 50 | 57 | 58 | 73 |

Fosfatfosfor, µg/L

| Djup, m | 0113 | 0217 | 0312 | 0415 | 0429 | 0512 | 0528 | 0612 | 0625 | 0716 | 0731 | 0807 | 0812 | 0825 | 0909 | 0923 | 1008 | 1021 | 1111 | 1215 |
|---------|------|------|------|------|------|------|------|------|------|------|------|------|------|------|------|------|------|------|------|------|
| 0 | 28 | 20 | 21 | 2,4 | <1,0 | <1,0 | <1,0 | <1,0 | <1,0 | <1,0 | 4,7 | | <1,0 | 3,7 | <1,0 | 4,7 | 9,9 | 5,1 | 23 | 36 |
| 4 | 28 | 20 | 22 | 1 | <1,0 | <1,0 | <1,0 | <1,0 | <1,0 | <1,0 | 5,2 | | <1,0 | 3,6 | 1,7 | 5 | 10 | 6 | 23 | 36 |
| 8 | 27 | 22 | 23 | <1,0 | 1,2 | <1,0 | <1,0 | 2,4 | 1,6 | 1,4 | 7 | | 1,3 | 3,7 | 6 | 6,5 | 12 | 13 | 26 | 36 |
| 12 | 25 | 22 | 22 | 11 | <1,0 | <1,0 | 1,1 | 5 | 16 | 11 | 8,3 | | | 5,3 | 13 | 21 | 17 | 23 | 26 | 31 |
| 16 | 24 | 22 | 18 | 19 | 9,7 | 1,4 | 2,3 | 7,9 | 20 | 17 | 16 | | 26 | 18 | 19 | 24 | 24 | 25 | 32 | 33 |
| 18 | 25 | 28 | 24 | 27 | 24 | 8,6 | 5,7 | 9,4 | 26 | 24 | 21 | | 35 | 22 | 20 | 26 | 38 | 36 | 39 | 36 |

Totalfosfor, µg/L

| Djup, m | 0113 | 0217 | 0312 | 0415 | 0429 | 0512 | 0528 | 0612 | 0625 | 0716 | 0731 | 0807 | 0812 | 0825 | 0909 | 0923 | 1008 | 1021 | 1111 | 1215 |
|---------|------|------|------|------|------|------|------|------|------|------|------|------|------|------|------|------|------|------|------|------|
| 0 | 35 | 30 | 29 | 28 | 22 | 16 | 13 | 16 | 16 | 21 | 20 | | 19 | 21 | 21 | 25 | 28 | 31 | 33 | 42 |
| 4 | 36 | 30 | 30 | 24 | 15 | 17 | 13 | 15 | 19 | 24 | 19 | | 22 | 20 | 24 | 26 | 29 | 31 | 33 | 43 |
| 8 | 35 | 31 | 30 | 20 | 16 | 18 | 12 | 22 | 17 | 21 | 22 | | 21 | 22 | 27 | 23 | 27 | 33 | 34 | 44 |
| 12 | 32 | 29 | 30 | 21 | 21 | 14 | 13 | 20 | 24 | 21 | 22 | | 21 | 21 | 25 | 31 | 26 | 30 | 33 | 37 |
| 16 | 33 | 30 | 28 | 29 | 18 | 13 | 13 | 23 | 27 | 25 | 26 | | 33 | 27 | 28 | 31 | 31 | 33 | 38 | 40 |
| 18 | 33 | 39 | 29 | 37 | 32 | 16 | 14 | 23 | 34 | 36 | 29 | | 43 | 30 | 31 | 32 | 42 | 43 | 44 | 46 |

Ammoniumkväve, µg/L

| Djup, m | 0113 | 0217 | 0312 | 0415 | 0429 | 0512 | 0528 | 0612 | 0625 | 0716 | 0731 | 0807 | 0812 | 0825 | 0909 | 0923 | 1008 | 1021 | 1111 | 1215 |
|---------|------|------|------|------|------|------|------|------|------|------|------|------|------|------|------|------|------|------|------|------|
| 0 | 14 | 65 | 21 | <3,0 | 4,1 | <3,0 | 3,9 | 3,5 | <3,0 | <3,0 | 17 | | 7,5 | 10 | 13 | 23 | 4,2 | 8,4 | 51 | 17 |
| 4 | 14 | 65 | 22 | 3,9 | 4 | <3,0 | 4,7 | 3,3 | 3,8 | <3,0 | 20 | | 15 | 7,7 | 13 | 23 | 7,6 | 9,3 | 51 | 17 |
| 8 | 8,8 | 30 | 13 | <3,0 | 3,2 | 3,7 | 4,3 | 6,8 | 4,5 | 4,8 | 24 | | 12 | 6,3 | 22 | 23 | 11 | 18 | 34 | 17 |
| 12 | <3,0 | <3,0 | 6,6 | <3,0 | 4 | 3,8 | 4,1 | 14 | 27 | 15 | 22 | | | 16 | 10 | 17 | 21 | 11 | 5,4 | 3,8 |
| 16 | <3,0 | <3,0 | 4,2 | 3,1 | 4,3 | <3,0 | 5,8 | 15 | 29 | 27 | 32 | | 20 | 15 | 19 | 12 | 9,2 | 5,5 | <3,0 | 4,3 |
| 18 | <3,0 | <3,0 | <3,0 | <3,0 | 8,1 | 3,6 | 8,8 | 17 | 31 | 27 | 31 | | 8,1 | 13 | 9,4 | 7,8 | <3,0 | <3,0 | 3 | 7,1 |

Nitrit+nitratkväve, µg/L

| Djup, m | 0113 | 0217 | 0312 | 0415 | 0429 | 0512 | 0528 | 0612 | 0625 | 0716 | 0731 | 0807 | 0812 | 0825 | 0909 | 0923 | 1008 | 1021 | 1111 | 1215 |
|---------|------|------|------|------|------|------|------|------|------|------|------|------|------|------|------|------|------|------|------|------|
| 0 | 280 | 310 | 270 | 1,4 | <1,0 | 1 | 1,6 | 100 | <1,0 | 1,6 | 3 | | 1,4 | 2,7 | 1,3 | 44 | 92 | 76 | 180 | 250 |
| 4 | 280 | 310 | 260 | 11 | <1,0 | 1,2 | 2 | 100 | <1,0 | 1,5 | 3,7 | | 2,1 | 2,6 | 1,7 | 45 | 90 | 77 | 170 | 250 |
| 8 | 240 | 200 | 190 | 47 | <1,0 | 1,1 | 1,9 | 100 | 1,5 | 2,2 | 4,7 | | 2,6 | 1,9 | 2,9 | 43 | 76 | 68 | 120 | 240 |
| 12 | 120 | 110 | 140 | 61 | <1,0 | <1,0 | 1,9 | 100 | 14 | 5,6 | 7 | | | 4,6 | 16 | 48 | 49 | 58 | 73 | 100 |
| 16 | 120 | 100 | 120 | 85 | 52 | 3,2 | 2,1 | 17 | 21 | 12 | 15 | | 42 | 34 | 29 | 49 | 64 | 59 | 77 | 86 |
| 18 | 130 | 110 | 100 | 100 | 90 | 29 | 5,8 | 12 | 35 | 26 | 20 | | 66 | 47 | 38 | 56 | 91 | 79 | 85 | 88 |

Totalkväve, µg/L

| Djup, m | 0113 | 0217 | 0312 | 0415 | 0429 | 0512 | 0528 | 0612 | 0625 | 0716 | 0731 | 0807 | 0812 | 0825 | 0909 | 0923 | 1008 | 1021 | 1111 | 1215 |
|---------|------|------|------|------|------|------|------|------|------|------|------|------|------|------|------|------|------|------|------|------|
| 0 | 620 | 770 | 640 | 540 | 420 | 380 | 330 | 320 | 380 | 380 | 370 | | 410 | 400 | 470 | 500 | 540 | 590 | 610 | 590 |
| 4 | 620 | 760 | 610 | 520 | 420 | 430 | 360 | 330 | 390 | 410 | 370 | | 420 | 390 | 470 | 470 | 510 | 570 | 600 | 600 |
| 8 | 550 | 540 | 480 | 400 | 420 | 370 | 360 | 320 | 360 | 370 | 380 | | 410 | 390 | 410 | 460 | 520 | 500 | 520 | 590 |
| 12 | 380 | 360 | 410 | 320 | 440 | 330 | 360 | 330 | 310 | 310 | 370 | | | 380 | 340 | 360 | 380 | 340 | 350 | 340 |
| 16 | 370 | 350 | 370 | 340 | 330 | 310 | 320 | 320 | 290 | 320 | 350 | | 320 | 350 | 340 | 320 | 340 | 340 | 290 | 320 |
| 18 | 380 | 360 | 340 | 340 | 370 | 320 | 310 | 340 | 310 | 330 | 330 | | 330 | 320 | 320 | 320 | 350 | 340 | 300 | 350 |

Kisel, µg/L

| Djup, m | 0113 | 0217 | 0312 | 0415 | 0429 | 0512 | 0528 | 0612 | 0625 | 0716 | 0731 | 0807 | 0812 | 0825 | 0909 | 0923 | 1008 | 1021 | 1111 | 1215 |
|---------|------|------|------|------|------|------|------|------|------|------|------|------|------|------|------|------|------|------|------|------|
| 0 | 1200 | 1500 | 1300 | 570 | 280 | 120 | 120 | 120 | 130 | 290 | 320 | | 110 | 310 | 110 | 200 | 490 | 560 | 750 | 1000 |
| 4 | 1100 | 1500 | 1300 | 680 | 280 | 170 | 130 | 150 | 150 | 260 | 340 | | 150 | 310 | 170 | 200 | 490 | 570 | 750 | 1000 |
| 8 | 1100 | 1100 | 1100 | 720 | 280 | 200 | 180 | 250 | 230 | 330 | 360 | | 190 | 320 | 330 | 230 | 510 | 610 | 750 | 990 |

Escherichia coli, MPN/100 ml

| Djup, m | 0113 | 0217 | 0312 | 0415 | 0429 | 0512 | 0528 | 0612 | 0625 | 0716 | 0731 | 0807 | 0812 | 0825 | 0909 | 0923 | 1008 | 1021 | 1111 | 1215 |
|---------|------|------|------|------|------|------|------|------|------|------|------|------|------|------|------|------|------|------|------|------|
| 0 | <10 | 41 | <10 | <10 | <10 | <10 | <10 | <10 | <10 | 10 | 41 | | <10 | <10 | <10 | 10 | 52 | <10 | <10 | 20 |
| 4 | 20 | 10 | 10 | <10 | <10 | <10 | | <10 | <10 | 10 | <10 | | <10 | <10 | <10 | <10 | 63 | <10 | <10 | 31 |

Koliforma bakterier 35°C, MPN/100 ml

| Djup, m | 0113 | 0217 | 0312 | 0415 | 0429 | 0512 | 0528 | 0612 | 0625 | 0716 | 0731 | 0807 | 0812 | 0825 | 0909 | 0923 | 1008 | 1021 | 1111 | 1215 |
|---------|------|------|------|------|------|------|------|------|------|------|------|------|------|------|------|------|------|------|------|------|
| 0 | 31 | 110 | 20 | <10 | 10 | 20 | 20 | 31 | 31 | 210 | 3900 | | 330 | 1100 | 290 | 98 | 380 | 85 | 75 | 110 |
| 4 | 84 | 63 | 41 | <10 | <10 | 20 | | 20 | 31 | 170 | 2200 | | 450 | 520 | 320 | 120 | 410 | 20 | 75 | 150 |

Trälhavet II

Vattentemperatur, °C

| Djup, m | 0113 | 0217 | 0312 | 0415 | 0429 | 0513 | 0528 | 0611 | 0625 | 0716 | 0731 | 0812 | 0825 | 0909 | 0923 | 1007 | 1021 | 1113 | 1215 |
|---------|------|------|------|------|------|------|------|------|------|------|------|------|------|------|------|------|------|------|------|
| 0 | 1 | 0,3 | 2,4 | 6,9 | 5,7 | 9,5 | 10,4 | 12,2 | 13,2 | 17,7 | 20,3 | 18,3 | 14,9 | 17,3 | 14,4 | 13,1 | 10,8 | 9,9 | 6,8 |
| 4 | 1 | 0,7 | 2,4 | 5,3 | 5,7 | 7,9 | 9,8 | 11,3 | 12,9 | 16,2 | 19,6 | 18,2 | 14,7 | 16,9 | 14,4 | 13,1 | 10,8 | 9,9 | 6,9 |
| 8 | 1,5 | 1,1 | 2,3 | 4,3 | 5,4 | 6,9 | 8,8 | 10 | 12,6 | 15 | 19,2 | 15,9 | 13,8 | 15,7 | 14,4 | 13,1 | 10,8 | 10,1 | 7,1 |
| 12 | 1,5 | 1,4 | 2,1 | 3,6 | 3,9 | 5,7 | 7,9 | 8,5 | 10,6 | 14,6 | 18,4 | 13,9 | 13,2 | 14,8 | 14,3 | 13,1 | 11 | 10,2 | 7,2 |
| 16 | 1,6 | 1,5 | 1,8 | 3 | 3,1 | 5,1 | 7 | 7,2 | 8,6 | 12 | 15,2 | 12,5 | 13,1 | 14,1 | 13,7 | 12,6 | 11,3 | 10,2 | 7,4 |
| 20 | 1,9 | 1,6 | 1,7 | 2,8 | 3,1 | 4,8 | 6,3 | 6,7 | 8 | 10,1 | 11,7 | 10,5 | 10,7 | 12,7 | 12,7 | 12,3 | 11,2 | 10,3 | 7,7 |
| 30 | 2,9 | 1,7 | 1,6 | 2,4 | 2,9 | 3,6 | 4,3 | 6,3 | 6,6 | 7,7 | 7,8 | 8,3 | 8,2 | 8,6 | 9,6 | 10,1 | 10,6 | 9,9 | 7,7 |
| 40 | 3,4 | 2,1 | 1,8 | 2,4 | 2,6 | 3,2 | 3,8 | 6 | 5,8 | 7,4 | 7,6 | 7,8 | 8,1 | 8,4 | 8,6 | 8,7 | 8,8 | 9,9 | 7,6 |
| 50 | 3,4 | 2,3 | 1,8 | 2,6 | 2,6 | 3,3 | 3,8 | 4,9 | 6,2 | 7,3 | 7,2 | 6,9 | 8,1 | 8,6 | 8,5 | 8,6 | 8,6 | 9,8 | 7,5 |
| 55 | 3,4 | 2,3 | 1,8 | 2,6 | 2,7 | 3,5 | 3,9 | 4,5 | 6,4 | 7,3 | 7,5 | 6,6 | 8,1 | 8,8 | 8,5 | 8,5 | 8,5 | 9,8 | 7,5 |

Salinitet, PSU

| Djup, m | 0113 | 0217 | 0312 | 0415 | 0429 | 0513 | 0528 | 0611 | 0625 | 0716 | 0731 | 0812 | 0825 | 0909 | 0923 | 1007 | 1021 | 1113 | 1215 |
|---------|------|------|------|------|------|------|------|------|------|------|------|------|------|------|------|------|------|------|------|
| 0 | 4,38 | 2,43 | 3,22 | 3,58 | 4,44 | 4,26 | 4,62 | 4,45 | 4,72 | 4,52 | 4,74 | 4,72 | 4,85 | 4,24 | | 4,26 | 4,5 | 3,66 | 3,84 |
| 4 | 4,52 | 3,5 | 3,46 | 4,12 | 4,47 | 4,43 | 4,67 | 4,68 | 4,73 | 4,7 | | 4,74 | 4,82 | 4,35 | 4,84 | 4,31 | 4,52 | 4,02 | 3,85 |
| 8 | 5,45 | 4,55 | 4,32 | 4,53 | 4,45 | 4,7 | 4,89 | 4,94 | 4,75 | 4,98 | 4,75 | 5,18 | 4,82 | 4,72 | 4,88 | 4,61 | 4,64 | 5,3 | 4,52 |
| 12 | 5,6 | 5,34 | 5 | 4,8 | 4,87 | 4,99 | 5,08 | 5,12 | 5,02 | 5,25 | 4,81 | 5,37 | 5,37 | 4,96 | 5,05 | 5,02 | 4,98 | 5,62 | 5,52 |
| 16 | 5,64 | 5,47 | 5,4 | 5,11 | 5,06 | 5,15 | 5,19 | 5,33 | 5,23 | 5,23 | 5,14 | 5,4 | 5,44 | 5,19 | 5,36 | 5,27 | 5,59 | 5,71 | 5,29 |
| 20 | 5,48 | 5,59 | 5,48 | 5,17 | 5,13 | 5,38 | 5,31 | 5,4 | 5,29 | 5,36 | 5,31 | 5,4 | 5,43 | 5,37 | 5,44 | 5,5 | 5,63 | 5,74 | 5,54 |
| 30 | 5,9 | 5,62 | 5,58 | 5,55 | 5,2 | 5,46 | 5,44 | 5,43 | 5,29 | 5,53 | 5,5 | 5,46 | 5,48 | 5,46 | 5,52 | 5,71 | 5,7 | 5,81 | 5,63 |
| 40 | 6,02 | 5,55 | 5,58 | 5,36 | 5,2 | 5,51 | 5,39 | 5,44 | 5,29 | 5,56 | 5,54 | 5,47 | 5,43 | 5,47 | 5,52 | 5,58 | 5,65 | 5,81 | 5,65 |
| 50 | 6,06 | 5,71 | 5,62 | 5,37 | 5,2 | 5,53 | 5,52 | 5,44 | 5,35 | 5,56 | 5,56 | 5,51 | 5,53 | 5,6 | 5,58 | 5,67 | 5,65 | 5,8 | 5,65 |
| 55 | 6,08 | 5,67 | 5,59 | 5,62 | 5,2 | 5,51 | 5,5 | 5,44 | 5,36 | 5,55 | 5,56 | 5,52 | 5,58 | 5,63 | 5,55 | 5,58 | 5,66 | 5,81 | 5,66 |

Syre, mg/l

| Djup, m | 0113 | 0217 | 0312 | 0415 | 0429 | 0513 | 0528 | 0611 | 0625 | 0716 | 0731 | 0812 | 0825 | 0909 | 0923 | 1007 | 1021 | 1113 | 1215 |
|---------|------|------|------|------|------|------|------|------|------|------|------|------|------|------|------|------|------|------|------|
| 0 | 12 | 12,5 | 12,2 | 14 | 12,4 | 12,3 | 10,7 | 10,3 | 9,3 | 9,3 | 8,2 | 8,4 | 8,6 | 10 | 8,5 | 9,2 | 9 | 8,9 | 9,6 |
| 4 | 11,9 | 12 | 11,8 | 13,5 | 12,4 | 12 | 10,6 | 10,4 | 9,6 | 8,8 | 8,2 | 7,8 | 8,4 | 9,5 | 8,4 | 8,6 | 8,8 | 8,9 | 9,7 |
| 8 | 11,5 | 12 | 11,8 | 12,6 | 12,5 | 11,6 | 10,5 | 9,7 | 9,6 | 8,4 | 8,5 | 7 | 8,4 | 7,8 | 8,4 | 8,2 | 8,8 | 8,1 | 9,3 |
| 12 | 11,7 | 11,8 | 11 | 12 | 11,2 | 10,9 | 10,5 | 9,1 | 9,1 | 8,2 | 7,9 | 7 | 6,8 | 6,8 | 7,6 | 7,5 | 8,7 | 7,6 | 9,2 |
| 16 | 11,5 | 11 | 11,4 | 12,6 | 11,3 | 10,5 | 10,3 | 9,3 | 9,7 | 8,3 | 7,4 | 7,1 | 6,7 | 6,7 | 6,8 | 6,7 | 7,2 | 7,4 | 8,8 |
| 20 | fa | 11,6 | 11,2 | 12,3 | 11,4 | 10,6 | 9,6 | 9,4 | ft | 8,5 | 6,9 | 7 | 6,7 | 6,2 | 6,3 | 6,2 | 6,5 | 7,8 | 8,6 |
| 30 | 10,2 | 11,3 | 11,1 | 11,5 | 11 | 9,9 | 9,8 | 9,1 | 9,4 | 8,3 | fp | 7,5 | 6,9 | 6,4 | 5,9 | 5,4 | 6,5 | 6,8 | 8,3 |
| 40 | 9,9 | 10,6 | 10,7 | 11,2 | 10,6 | 10 | 9 | 8,7 | 8,7 | 7,7 | 7,1 | 7,4 | 6,3 | 6 | 5,8 | 5 | 4,7 | 7,1 | 8,4 |
| 50 | 10,1 | 10,5 | 10,2 | 11,2 | 9,3 | 9,1 | 8,9 | 8,5 | 8,8 | 7,8 | 7,1 | fa | 6,7 | 5,6 | 5,4 | 4,8 | 4,1 | 6,8 | 8,4 |
| 55 | 9,6 | 10,2 | 10,6 | 11 | 9,9 | 9,1 | 8,5 | 8 | 8,8 | 8,4 | 7,6 | 6,6 | 6,2 | 5,2 | 5 | 4,4 | 4,3 | 6,5 | 8,4 |

Syrgasmättnad, %

| Djup, m | 0113 | 0217 | 0312 | 0415 | 0429 | 0513 | 0528 | 0611 | 0625 | 0716 | 0731 | 0812 | 0825 | 0909 | 0923 | 1007 | 1021 | 1113 | 1215 |
|---------|------|------|------|------|------|------|------|------|------|------|------|------|------|------|------|------|------|------|------|
| 0 | 87 | 88 | 91 | 120 | 100 | 110 | 99 | 99 | 91 | 100 | 93 | 92 | 88 | 110 | | 90 | 84 | 81 | 81 |
| 4 | 86 | 86 | 88 | 110 | 100 | 100 | 96 | 98 | 94 | 92 | | 85 | 85 | 100 | 85 | 84 | 82 | 81 | 82 |
| 8 | 85 | 87 | 89 | 100 | 100 | 98 | 93 | 89 | 93 | 86 | 95 | 73 | 84 | 81 | 85 | 80 | 82 | 75 | 79 |
| 12 | 87 | 87 | 83 | 94 | 88 | 90 | 92 | 81 | 85 | 83 | 87 | 70 | 67 | 69 | 77 | 74 | 82 | 70 | 79 |
| 16 | 86 | 82 | 85 | 97 | 87 | 85 | 88 | 80 | 86 | 79 | 76 | 69 | 66 | 67 | 68 | 65 | 68 | 68 | 76 |
| 20 | fa | 86 | 84 | 94 | 88 | 86 | 81 | 80 | ft | 79 | 65 | 65 | 63 | 61 | 62 | 60 | 61 | 72 | 75 |
| 30 | 79 | 84 | 83 | 87 | 85 | 78 | 78 | 76 | 79 | 72 | fp | 66 | 61 | 57 | 54 | 50 | 61 | 62 | 72 |
| 40 | 78 | 80 | 80 | 85 | 81 | 78 | 71 | 73 | 72 | 67 | 62 | 65 | 55 | 53 | 52 | 45 | 42 | 65 | 73 |
| 50 | 79 | 80 | 76 | 85 | 71 | 130 | 70 | 69 | 74 | 68 | 61 | fa | 59 | 50 | 48 | 43 | 36 | 62 | 73 |
| 55 | 75 | 77 | 79 | 84 | 76 | 71 | 67 | 64 | 74 | 72 | 66 | 56 | 54 | 46 | 44 | 39 | 38 | 60 | 73 |

Fosfatfosfor, µg/L

| Djup, m | 0113 | 0217 | 0312 | 0415 | 0429 | 0513 | 0528 | 0611 | 0625 | 0716 | 0731 | 0812 | 0825 | 0909 | 0923 | 1007 | 1021 | 1113 | 1215 |
|---------|------|------|------|------|------|------|------|------|------|------|------|------|------|------|------|------|------|------|------|
| 0 | 27 | 21 | 20 | 1,4 | <1,0 | <1,0 | <1,0 | <1,0 | 1,6 | 1,1 | 4 | 1,9 | 5 | <1,0 | 4,3 | 9,4 | 12 | 23 | 34 |
| 4 | 27 | 21 | 20 | 1,8 | <1,0 | <1,0 | <1,0 | <1,0 | 1,7 | 2,8 | | 1,8 | 7,6 | 2,9 | 10 | 11 | 12 | 22 | 34 |
| 8 | 23 | 21 | 20 | 1,6 | <1,0 | <1,0 | <1,0 | 3,8 | 2,6 | 5,5 | 5 | 7,7 | 7 | 8,1 | 11 | 13 | 13 | 20 | 31 |
| 12 | 20 | 20 | 22 | 1,2 | <1,0 | <1,0 | 2,4 | 6,8 | 8 | 7 | 6,5 | 14 | 17 | 10 | 14 | 15 | 14 | 22 | 27 |
| 16 | 23 | 20 | 23 | 4 | 4,8 | <1,0 | 4,1 | 11 | 12 | 13 | 9,7 | 16 | 21 | 14 | 19 | 19 | 23 | 24 | 27 |
| 20 | 23 | 21 | 24 | 7,1 | 6,9 | 2,9 | 5,8 | 14 | 14 | 18 | 16 | 22 | 24 | 20 | 22 | 24 | 27 | 24 | 29 |
| 30 | 25 | 22 | 25 | 19 | 15 | 8,7 | 14 | 16 | 20 | 26 | 31 | 29 | 35 | 39 | 37 | 38 | 29 | 36 | 31 |
| 40 | 29 | 27 | 27 | 27 | 22 | 15 | 23 | 21 | 27 | 29 | 35 | 36 | 41 | 44 | 49 | 54 | 57 | 35 | 31 |
| 50 | 29 | 30 | 30 | 26 | 28 | 23 | 26 | 26 | 30 | 40 | 39 | 47 | 40 | 49 | 56 | 66 | 74 | 41 | 33 |
| 55 | 33 | 29 | 27 | 28 | 28 | 28 | 29 | 29 | 31 | 42 | 37 | 50 | 44 | 62 | 71 | 73 | 77 | 45 | 35 |

Totalfosfor, µg/L

| Djup, m | 0113 | 0217 | 0312 | 0415 | 0429 | 0513 | 0528 | 0611 | 0625 | 0716 | 0731 | 0812 | 0825 | 0909 | 0923 | 1007 | 1021 | 1113 | 1215 |
|---------|------|------|------|------|------|------|------|------|------|------|------|------|------|------|------|------|------|------|------|
| 0 | 36 | 31 | 28 | 19 | 9,4 | 13 | 12 | 11 | 15 | 17 | 19 | 18 | 23 | 24 | 22 | 27 | 27 | 34 | 41 |
| 4 | 35 | 30 | 29 | 27 | 8,8 | 14 | 13 | 12 | 17 | 22 | | 20 | 28 | 24 | 24 | 28 | 28 | 32 | 40 |
| 8 | 31 | 28 | 27 | 20 | 8,4 | 14 | 13 | 14 | 17 | 20 | 18 | 21 | 25 | 25 | 24 | 25 | 26 | 29 | 39 |
| 12 | 30 | 28 | 28 | 18 | 8,5 | 8,8 | 14 | 17 | 19 | 18 | 17 | 21 | 28 | 24 | 24 | 23 | 26 | 29 | 33 |
| 16 | 30 | 27 | 28 | 16 | 11 | 12 | 13 | 19 | 20 | 23 | 20 | 24 | 26 | 24 | 26 | 25 | 32 | 29 | 34 |
| 20 | 30 | 27 | 29 | 21 | 14 | 11 | 14 | 21 | 21 | 31 | 22 | 29 | 29 | 29 | 31 | 30 | 34 | 30 | 34 |
| 30 | 32 | 27 | 31 | 28 | 23 | 17 | 20 | 23 | 30 | 36 | 39 | 35 | 40 | 47 | 41 | 43 | 36 | 44 | 38 |
| 40 | 35 | 37 | 33 | 35 | 31 | 23 | 28 | 29 | 37 | 39 | 43 | 47 | 49 | 52 | 53 | 59 | 64 | 44 | 38 |
| 50 | 37 | 44 | 44 | 39 | 41 | 34 | 33 | 34 | 43 | 49 | 49 | 62 | 50 | 59 | 62 | 76 | 89 | 52 | 41 |
| 55 | 41 | 45 | 43 | 40 | 40 | 42 | 36 | 39 | 46 | 56 | 51 | 71 | 58 | 84 | 86 | 90 | 95 | 57 | 49 |

Ammoniumkväve, µg/L

| Djup, m | 0113 | 0217 | 0312 | 0415 | 0429 | 0513 | 0528 | 0611 | 0625 | 0716 | 0731 | 0812 | 0825 | 0909 | 0923 | 1007 | 1021 | 1113 | 1215 |
|---------|------|------|------|------|------|------|------|------|------|------|------|------|------|------|------|------|------|------|------|
| 0 | 9,2 | 55 | 17 | <3,0 | 3,6 | <3,0 | 3,2 | 3,9 | 4,2 | <3,0 | 15 | <3,0 | 6,2 | <3,0 | 5,8 | 3,4 | 7,5 | 37 | 14 |
| 4 | 10 | 34 | 14 | <3,0 | <3,0 | 3,1 | 3,7 | 3,5 | <3,0 | <3,0 | | 5,2 | 14 | 6,6 | 9,3 | 5,1 | 8,5 | 32 | 14 |
| 8 | 3,3 | 15 | 8,4 | <3,0 | 3,1 | 3,2 | 4,4 | 5 | 4 | 4,1 | 14 | 6,5 | 10 | 4,1 | 12 | 12 | 9,7 | 15 | 7,9 |
| 12 | <3,0 | <3,0 | 3,8 | <3,0 | 3,5 | 4,3 | 5,6 | 8,1 | 5,8 | 4,7 | 16 | 27 | 12 | 4 | 14 | 13 | 10 | 3,1 | 3,4 |
| 16 | <3,0 | <3,0 | <3,0 | 4,8 | 4,8 | 5 | 6,7 | 18 | 6,6 | 15 | 21 | 27 | 19 | 4,7 | 13 | 9 | 9,3 | <3,0 | 4,3 |
| 20 | <3,0 | <3,0 | <3,0 | 3,2 | 4,5 | 5,8 | 8,5 | 20 | 8,6 | 24 | 22 | 19 | 8,4 | <3,0 | 7,7 | <3,0 | 9,9 | 4,8 | 4,8 |
| 30 | <3,0 | 3,1 | <3,0 | <3,0 | 4,7 | 4,9 | 12 | 22 | 27 | 19 | 24 | 3,3 | 6 | <3,0 | <3,0 | <3,0 | 4,3 | 3,5 | 4 |
| 40 | <3,0 | 3,9 | <3,0 | <3,0 | 4,8 | 8,9 | 14 | 21 | 29 | 19 | 18 | 4,8 | 13 | <3,0 | <3,0 | <3,0 | <3,0 | 3,9 | 3,3 |
| 50 | <3,0 | <3,0 | <3,0 | 3,6 | 5,4 | 14 | 15 | 23 | 24 | 22 | 14 | 6,6 | 7,6 | <3,0 | 3,4 | <3,0 | 9,6 | <3,0 | 4,5 |
| 55 | <3,0 | 7 | 3,1 | 3,1 | 6,4 | 16 | 17 | 23 | 23 | 25 | 13 | 6,9 | 4,2 | <3,0 | 5,1 | 3,3 | 3,6 | 3,2 | 4,3 |

Nitrit+nitratkväve, µg/L

| Djup, m | 0113 | 0217 | 0312 | 0415 | 0429 | 0513 | 0528 | 0611 | 0625 | 0716 | 0731 | 0812 | 0825 | 0909 | 0923 | 1007 | 1021 | 1113 | 1215 |
|---------|------|------|------|------|------|------|------|------|------|------|------|------|------|------|------|------|------|------|------|
| 0 | 240 | 280 | 240 | <1,0 | <1,0 | 2,1 | 1,6 | 6,7 | <1,0 | 1,2 | 2,1 | 1,5 | 2,1 | 1,3 | 2,9 | 35 | 45 | 140 | 220 |
| 4 | 230 | 230 | 230 | <1,0 | <1,0 | 1,7 | 1,6 | <1,0 | <1,0 | 1,2 | | 1,6 | 3,3 | 1,2 | 13 | 36 | 45 | 120 | 220 |
| 8 | 120 | 170 | 170 | <1,0 | <1,0 | 1,4 | 1,5 | 1,4 | <1,0 | 1,2 | 2,2 | 4,7 | 3 | 2,9 | 15 | 33 | 40 | 60 | 170 |
| 12 | 100 | 110 | 130 | 3,1 | <1,0 | 1,5 | 1,9 | 3,1 | <1,0 | <1,0 | 2,4 | 12 | 19 | 6,7 | 20 | 29 | 32 | 62 | 82 |
| 16 | 110 | 98 | 110 | 27 | 16 | 1,8 | 2,2 | 7,2 | 1,6 | 4,6 | 3,7 | 19 | 30 | 16 | 32 | 43 | 51 | 63 | 99 |
| 20 | 110 | 93 | 100 | 51 | 19 | 2,1 | 3,5 | 12 | 5,6 | 14 | 8,2 | 35 | 49 | 42 | 46 | 65 | 64 | 60 | 84 |
| 30 | 100 | 92 | 96 | 85 | 55 | 15 | 25 | 19 | 23 | 33 | 43 | 56 | 67 | 75 | 75 | 85 | 66 | 75 | 86 |
| 40 | 100 | 110 | 98 | 94 | 78 | 46 | 45 | 32 | 38 | 37 | 48 | 66 | 73 | 73 | 83 | 94 | 100 | 72 | 84 |
| 50 | 100 | 110 | 100 | 100 | 93 | 52 | 48 | 40 | 38 | 43 | 54 | 76 | 70 | 73 | 86 | 97 | 110 | 77 | 87 |
| 55 | 110 | 110 | 100 | 100 | 94 | 52 | 51 | 42 | 38 | 47 | 54 | 79 | 72 | 79 | 96 | 100 | 110 | 81 | 89 |

Totalkväve, µg/L

| Djup, m | 0113 | 0217 | 0312 | 0415 | 0429 | 0513 | 0528 | 0611 | 0625 | 0716 | 0731 | 0812 | 0825 | 0909 | 0923 | 1007 | 1021 | 1113 | 1215 |
|---------|------|------|------|------|------|------|------|------|------|------|------|------|------|------|------|------|------|------|------|
| 0 | 540 | 700 | 590 | 430 | 350 | 360 | 290 | 320 | 330 | 360 | 360 | 350 | 370 | 400 | | 430 | 390 | 510 | 540 |
| 4 | 540 | 590 | 560 | 410 | 370 | 360 | 320 | 290 | 330 | 360 | | 370 | 390 | 370 | 340 | 440 | 400 | 470 | 530 |
| 8 | 400 | 470 | 460 | 340 | 370 | 340 | 280 | 280 | 320 | 330 | 360 | 290 | 390 | 330 | 350 | 420 | 390 | 340 | 440 |
| 12 | 380 | 350 | 390 | 340 | 320 | 340 | 280 | 270 | 290 | 290 | 340 | 300 | 310 | 310 | 330 | 340 | 350 | 320 | 310 |
| 16 | 370 | 340 | 350 | 300 | 320 | 330 | 270 | 260 | 260 | 300 | 310 | 300 | 300 | 300 | 310 | 330 | 330 | 320 | 330 |
| 20 | 360 | 330 | 340 | 310 | 290 | 330 | 290 | 260 | 260 | 320 | 290 | 310 | 300 | 300 | 310 | 330 | 340 | 310 | 310 |
| 30 | 350 | 330 | 330 | 310 | 320 | 300 | 290 | 270 | 300 | 310 | 310 | 310 | 330 | 330 | 320 | 340 | 330 | 320 | 320 |
| 40 | 350 | 360 | 340 | 330 | 350 | 330 | 360 | 280 | 330 | 320 | 320 | 320 | 390 | 320 | 330 | 350 | 350 | 330 | 310 |
| 50 | 350 | 360 | 330 | 360 | 370 | 340 | 330 | 280 | 320 | 330 | 320 | 350 | 360 | 330 | 330 | 370 | 380 | 340 | 310 |
| 55 | 350 | 360 | 350 | 340 | 380 | 340 | 330 | 290 | 310 | 340 | 310 | 360 | 350 | 370 | 360 | 400 | 390 | 330 | 340 |

Kisel, µg/L

| Djup, m | 0113 | 0217 | 0312 | 0415 | 0429 | 0513 | 0528 | 0611 | 0625 | 0716 | 0731 | 0812 | 0825 | 0909 | 0923 | 1007 | 1021 | 1113 | 1215 |
|---------|------|------|------|------|------|------|------|------|------|------|------|------|------|------|------|------|------|------|------|
| 0 | 1100 | 1400 | 1200 | 500 | 440 | 160 | 250 | 110 | 320 | 330 | 330 | 350 | 440 | 200 | 410 | 470 | 570 | 730 | 940 |
| 4 | 1100 | 1200 | 1200 | 420 | 450 | 210 | 270 | 220 | 310 | 360 | | 350 | 450 | 220 | 420 | 470 | 570 | 720 | 950 |
| 8 | 890 | 1000 | 1000 | 480 | 460 | 320 | 360 | 350 | 330 | 400 | 350 | 480 | 460 | 390 | 430 | 500 | 560 | 660 | 870 |
| 12 | 860 | 860 | 950 | 570 | 610 | 460 | 430 | 460 | 450 | 460 | 380 | 560 | 600 | 480 | 500 | 540 | 570 | 690 | 750 |
| 16 | 770 | 860 | 900 | 670 | 730 | 530 | 490 | 570 | 570 | 520 | 470 | 600 | 640 | 550 | 620 | 640 | 700 | 700 | 780 |
| 20 | 820 | 830 | 880 | 730 | 710 | 590 | 540 | 620 | 580 | 600 | 560 | 700 | 720 | 650 | 670 | 730 | 770 | 700 | 800 |
| 30 | 830 | 840 | 870 | 820 | 780 | 720 | 710 | 660 | 690 | 750 | 840 | 800 | 890 | 980 | 870 | 950 | 790 | 870 | 820 |
| 40 | 850 | 930 | 890 | 840 | 820 | 790 | 820 | 760 | 810 | 780 | 870 | 910 | 980 | 1000 | 1000 | 1200 | 1200 | 840 | 800 |
| 50 | 840 | 930 | 920 | 870 | 870 | 860 | 850 | 840 | 820 | 890 | 920 | 1000 | 950 | 1000 | 1100 | 1300 | 1400 | 920 | 810 |
| 55 | 880 | 930 | 920 | 880 | 880 | 890 | 870 | 860 | 810 | 920 | 910 | 1100 | 980 | 1200 | 1200 | 1400 | 1400 | 980 | 830 |

Escherichia coli, MPN/100 ml

| Djup, m | 0113 | 0217 | 0312 | 0415 | 0429 | 0513 | 0528 | 0611 | 0625 | 0716 | 0731 | 0812 | 0825 | 0909 | 0923 | 1007 | 1021 | 1113 | 1215 |
|---------|------|------|------|------|------|------|------|------|------|------|------|------|------|------|------|------|------|------|------|
| 0 | <10 | 41 | <10 | <10 | <10 | <10 | <10 | <10 | <10 | 30 | 10 | <10 | <10 | <10 | <10 | <10 | <10 | 20 | <10 |
| 4 | 10 | 31 | <10 | <10 | <10 | <10 | <10 | <10 | <10 | <10 | <10 | <10 | <10 | <10 | <10 | <10 | <10 | <10 | 10 |

Koliforma bakterier 35°C, MPN/100 ml

| Djup, m | 0113 | 0217 | 0312 | 0415 | 0429 | 0513 | 0528 | 0611 | 0625 | 0716 | 0731 | 0812 | 0825 | 0909 | 0923 | 1007 | 1021 | 1113 | 1215 |
|---------|------|------|------|------|------|------|------|------|------|------|------|------|------|------|------|------|------|------|------|
| 0 | 41 | 150 | <10 | <10 | 20 | 20 | <10 | 10 | <10 | 270 | 4900 | 4900 | 3700 | 620 | 290 | 41 | 20 | 97 | 41 |
| 4 | 20 | 140 | <10 | <10 | <10 | 20 | 10 | <10 | <10 | 270 | 3400 | 3900 | 3100 | 1200 | 150 | 41 | 20 | 97 | 120 |

Nyvarp**Vattentemperatur, °C**

| Djup, m | 0217 | 0415 | 0513 | 0611 | 0716 | 0812 | 0909 | 1007 |
|---------|------|------|------|------|------|------|------|------|
| 0 | 0,1 | 5,6 | 9,2 | 12,8 | 17,9 | 18,6 | 17,2 | 13,1 |
| 4 | 0,1 | 5 | 7,7 | 12 | 17,6 | 18,4 | 16,6 | 13,1 |
| 8 | 0,7 | 5 | 6,8 | 10,3 | 15,5 | 18,4 | 15,9 | 13,1 |
| 12 | 1,4 | 3,8 | 6 | 8,3 | 14,1 | 15,1 | 15,3 | 13,2 |
| 16 | 1,4 | 3,4 | 6,1 | 8 | 12,3 | 13,7 | 14,5 | 13,1 |
| 20 | 1,5 | 3,3 | 5,7 | 7,7 | 10,5 | 12,5 | 12,5 | 12,9 |
| 30 | 1,6 | 3,3 | 5,2 | 7 | 8,3 | 10,4 | 9,6 | 10,8 |
| 40 | 1,9 | 2,9 | 3,7 | 6,5 | 7,6 | 8,6 | 9,5 | 9,2 |
| 50 | 2,3 | 2,8 | 3,3 | 4,7 | 6,3 | 6,8 | 8,4 | 7,6 |
| 55 | 2,8 | 3 | 3,4 | 4,5 | 6,4 | 6,6 | 8,1 | 7,4 |

Salinitet, PSU

| Djup, m | 0217 | 0415 | 0513 | 0611 | 0716 | 0812 | 0909 | 1007 |
|---------|------|------|------|------|------|------|------|------|
| 0 | 3 | 4,14 | 4,6 | 4,83 | 4,8 | 4,52 | 4,51 | 4,57 |
| 4 | 3,03 | 4,17 | 4,68 | 4,86 | 4,81 | 4,48 | 4,65 | 4,2 |
| 8 | 4,25 | 4,24 | 4,86 | 5 | 5,09 | 4,65 | 4,8 | 4,94 |
| 12 | 5,55 | 5,15 | 5,08 | 5,28 | 5,19 | 5,44 | 5,1 | 5,19 |
| 16 | 5,59 | 5,11 | 5,28 | 5,47 | 5,26 | 5,5 | 5,41 | 5,38 |
| 20 | 5,68 | 5,23 | 5,46 | 5,51 | 5,47 | 5,58 | 5,47 | 5,38 |
| 30 | 5,67 | 5,31 | 5,51 | 5,53 | 5,58 | 5,67 | 5,55 | 5,05 |
| 40 | 5,69 | 5,37 | 5,55 | 5,53 | 5,56 | 5,6 | 5,62 | 5,67 |
| 50 | 5,4 | 5,47 | 5,59 | 5,5 | 5,58 | 5,51 | 5,61 | 5,59 |
| 55 | 5,83 | 5,38 | 5,59 | 5,5 | 5,59 | 5,5 | 5,58 | 5,72 |

Syre, mg/l

| Djup, m | 0217 | 0415 | 0513 | 0611 | 0716 | 0812 | 0909 | 1007 |
|---------|------|------|------|------|------|------|------|------|
| 0 | 12,8 | 14,4 | 12,4 | 10,2 | 9,4 | 9,2 | 9,2 | 9,4 |
| 4 | 12,6 | 14,2 | 12,8 | 9,9 | 9,9 | 9,2 | 8,5 | 8,7 |
| 8 | 12,2 | 13,8 | 11,8 | 9,4 | 9 | 9,1 | 7,5 | 8,2 |
| 12 | 11,8 | 12,2 | 11,2 | 9,5 | 8,5 | 7,1 | 7,1 | 7,6 |
| 16 | 11,8 | 11,9 | 11,2 | 9,9 | 8 | 7,2 | 7 | 7 |
| 20 | 11,8 | 11,7 | 11,1 | 9,9 | 7,9 | 7,4 | 5,8 | 6,8 |
| 30 | 11,7 | 11,3 | 10,7 | 9,8 | 8,2 | 7,4 | 6,8 | 5,8 |
| 40 | 11 | 10,6 | 10,1 | 9,7 | 8,5 | 7,2 | 6,3 | 5,7 |
| 50 | 10,4 | 10 | 9,4 | 8,8 | 7,7 | 7,2 | 5,9 | 5 |
| 55 | 9,6 | 10,2 | 9,1 | 8,6 | 7,8 | 7 | 5,4 | 4,7 |

Syrgasmättnad, %

| Djup, m | 0217 | 0415 | 0513 | 0611 | 0716 | 0812 | 0909 | 1007 |
|---------|------|------|------|------|------|------|------|------|
| 0 | 90 | 120 | 110 | 99 | 100 | 100 | 98 | 92 |
| 4 | 88 | 110 | 110 | 95 | 110 | 100 | 90 | 85 |
| 8 | 88 | 110 | 100 | 87 | 93 | 100 | 78 | 81 |
| 12 | 87 | 96 | 93 | 84 | 85 | 73 | 73 | 75 |
| 16 | 87 | 93 | 94 | 87 | 78 | 72 | 71 | 69 |
| 20 | 88 | 91 | 92 | 86 | 74 | 72 | 56 | 67 |
| 30 | 87 | 88 | 87 | 84 | 72 | 69 | 62 | 54 |
| 40 | 83 | 82 | 79 | 82 | 74 | 64 | 57 | 51 |
| 50 | 79 | 77 | 73 | 71 | 65 | 61 | 52 | 43 |
| 55 | 74 | 79 | 71 | 69 | 66 | 59 | 47 | 41 |

Fosfatfosfor, µg/L

| Djup, m | 0217 | 0415 | 0513 | 0611 | 0716 | 0812 | 0909 | 1007 |
|---------|------|------|------|------|------|------|------|------|
| 0 | 20 | <1,0 | <1,0 | <1,0 | 1,8 | 1,2 | 1,8 | 5,7 |
| 4 | 20 | <1,0 | <1,0 | 1,1 | 2 | 1,1 | 2,4 | 6,3 |
| 8 | 19 | <1,0 | <1,0 | 4,2 | 3,9 | 2,1 | 5,3 | 9,8 |
| 12 | 19 | <1,0 | 1 | 8,1 | 6,4 | 9,7 | 9,3 | 14 |
| 16 | 19 | 1,4 | 2,8 | 10 | 11 | 14 | 14 | 17 |
| 20 | 19 | 5 | 6,8 | 12 | 15 | 15 | 20 | 19 |
| 30 | 19 | 13 | 10 | 14 | 21 | 22 | 26 | 32 |
| 40 | 22 | 22 | 17 | 16 | 24 | 29 | 31 | 40 |
| 50 | 26 | 27 | 25 | 25 | 32 | 40 | 42 | 55 |
| 55 | 28 | 25 | 27 | 26 | 34 | 43 | 46 | 59 |

Totalfosfor, µg/L

| Djup, m | 0217 | 0415 | 0513 | 0611 | 0716 | 0812 | 0909 | 1007 |
|---------|------|------|------|------|------|------|------|------|
| 0 | 33 | 27 | 7,8 | 10 | 19 | 17 | 20 | 27 |
| 4 | 32 | 25 | 14 | 11 | 21 | 17 | 19 | 23 |
| 8 | 28 | 23 | 10 | 14 | 17 | 16 | 18 | 19 |
| 12 | 27 | 17 | 9 | 17 | 19 | 18 | 20 | 23 |
| 16 | 27 | 15 | 12 | 18 | 20 | 22 | 22 | 25 |
| 20 | 27 | 19 | 13 | 20 | 25 | 23 | 27 | 26 |
| 30 | 27 | 24 | 19 | 22 | 29 | 30 | 33 | 37 |
| 40 | 31 | 33 | 26 | 24 | 31 | 38 | 38 | 46 |
| 50 | 37 | 39 | 34 | 33 | 40 | 50 | 51 | 65 |
| 55 | 41 | 36 | 35 | 35 | 44 | 53 | 58 | 69 |

Ammoniumkväve, µg/L

| Djup, m | 0217 | 0415 | 0513 | 0611 | 0716 | 0812 | 0909 | 1007 |
|---------|------|------|------|------|------|------|------|------|
| 0 | 41 | <3,0 | <3,0 | 3,3 | <3,0 | 3,8 | <3,0 | <3,0 |
| 4 | 40 | <3,0 | 3,4 | 3,7 | <3,0 | 4,5 | <3,0 | <3,0 |
| 8 | 18 | <3,0 | 4,5 | 5,1 | <3,0 | 6,4 | <3,0 | 6,7 |
| 12 | <3,0 | <3,0 | 4,7 | 8,8 | 3,6 | 12 | <3,0 | 13 |
| 16 | <3,0 | <3,0 | 4,6 | 10 | 6,4 | 18 | 5,6 | 9,9 |
| 20 | <3,0 | 3,5 | 5,8 | 12 | 17 | 17 | <3,0 | 10 |
| 30 | 3,2 | 5,3 | 7,8 | 18 | 17 | 15 | <3,0 | <3,0 |
| 40 | <3,0 | 3,9 | 7,9 | 17 | 15 | 11 | <3,0 | <3,0 |
| 50 | 6,1 | 4,2 | 11 | 23 | 22 | 5,5 | <3,0 | <3,0 |
| 55 | <3,0 | <3,0 | 8,7 | 18 | 27 | 11 | <3,0 | <3,0 |

Nitrit+nitratkväve, µg/L

| Djup, m | 0217 | 0415 | 0513 | 0611 | 0716 | 0812 | 0909 | 1007 |
|---------|------|------|------|------|------|------|------|------|
| 0 | 260 | 1,1 | 1,5 | <1,0 | 1,2 | 1,2 | 1 | 4 |
| 4 | 260 | 1,2 | 1,4 | <1,0 | 1,6 | 1,2 | 1,1 | 3,4 |
| 8 | 190 | <1,0 | 1,6 | 1 | 1 | 1,3 | <1,0 | 14 |
| 12 | 90 | <1,0 | 1,6 | 1,9 | <1,0 | 6,5 | 1,2 | 25 |
| 16 | 82 | 1,7 | 1,6 | 3,4 | 1,3 | 11 | 11 | 31 |
| 20 | 81 | 4,2 | 2,6 | 5,5 | 4,5 | 15 | 43 | 40 |
| 30 | 83 | 41 | 8,7 | 13 | 23 | 30 | 54 | 76 |
| 40 | 93 | 83 | 45 | 20 | 35 | 53 | 61 | 86 |
| 50 | 130 | 100 | 82 | 54 | 59 | 86 | 81 | 110 |
| 55 | 110 | 95 | 91 | 61 | 62 | 94 | 86 | 120 |

Totalkväve, µg/L

| Djup, m | 0217 | 0415 | 0513 | 0611 | 0716 | 0812 | 0909 | 1007 |
|---------|------|------|------|------|------|------|------|------|
| 0 | 640 | 420 | 320 | 280 | 350 | 350 | 340 | 400 |
| 4 | 650 | 410 | 350 | 310 | 350 | 370 | 330 | 380 |
| 8 | 500 | 400 | 330 | 270 | 320 | 340 | 300 | 330 |
| 12 | 330 | 310 | 300 | 250 | 300 | 290 | 340 | 330 |
| 16 | 310 | 290 | 280 | 250 | 280 | 280 | 280 | 320 |
| 20 | 310 | 290 | 270 | 250 | 280 | 280 | 300 | 340 |
| 30 | 310 | 290 | 290 | 300 | 300 | 290 | 300 | 340 |
| 40 | 330 | 330 | 370 | 280 | 290 | 330 | 320 | 330 |
| 50 | 380 | 350 | 480 | 330 | 330 | 350 | 340 | 380 |
| 55 | 360 | 360 | 370 | 320 | 330 | 380 | 350 | 390 |

Kisel, µg/L

| Djup, m | 0217 | 0415 | 0513 | 0611 | 0716 | 0812 | 0909 | 1007 |
|---------|------|------|------|------|------|------|------|------|
| 0 | 1300 | 450 | 280 | 310 | 340 | 280 | 270 | 450 |
| 4 | 1300 | 450 | 300 | 320 | 320 | 280 | 320 | 420 |
| 8 | 1100 | 450 | 390 | 390 | 390 | 310 | 390 | 460 |

Sollenkroka**Vattentemperatur, °C**

| Djup, m | 0219 | 0312 | 0415 | 0513 | 0611 | 0716 | 0812 | 0909 | 1007 | 1113 |
|---------|------|------|------|------|------|------|------|------|------|------|
| 0 | 0 | 2,4 | 5,6 | 9,6 | 12,6 | 18,1 | 18,8 | 17,3 | 13,1 | 9,7 |
| 4 | 0 | 2,5 | 5,2 | 8,1 | 11,5 | 16,6 | 18,6 | 17,2 | 13 | 9,7 |
| 8 | 0,5 | 2,2 | 4,7 | 7,1 | 9,7 | 15,7 | 17,7 | 15,8 | 13,1 | 9,9 |
| 12 | 0,8 | 1,7 | 4 | 6,6 | 9,1 | 15,4 | 15,6 | 15,3 | 13 | 9,9 |
| 16 | 1 | 1,7 | 3,9 | 6,4 | 8,4 | 13,7 | 13,4 | 15 | 12,9 | 10 |
| 20 | 1,1 | 1,6 | 3,7 | 6,2 | 7,7 | 11,5 | 12 | 13 | 12,6 | 10 |
| 30 | 1,2 | 1,6 | 3,5 | 5,4 | 7 | 9,5 | 9 | 10,8 | 11,8 | 10 |
| 40 | 1,4 | 1,6 | 3,5 | 5,5 | 6,9 | 9,6 | 9,1 | 10,7 | 11,7 | 10,1 |

Salinitet, PSU

| Djup, m | 0219 | 0312 | 0415 | 0513 | 0611 | 0716 | 0812 | 0909 | 1007 | 1113 |
|---------|------|------|------|------|------|------|------|------|------|------|
| 0 | 3,27 | 4,06 | 4,43 | 4,83 | 4,9 | 5,04 | 4,7 | 4,81 | 4,6 | 4,28 |
| 4 | 3,28 | 4,31 | 4,47 | 4,87 | 4,95 | 5,1 | 4,7 | 4,85 | 4,56 | 4,48 |
| 8 | 4,68 | 4,66 | 4,78 | 5,14 | 5,31 | 5,26 | 5,05 | 5,33 | 4,78 | 5,43 |
| 12 | 5,3 | 5,34 | 5,18 | 5,42 | 5,5 | 5,44 | 5,43 | 5,61 | 4,89 | 5,71 |
| 16 | 5,6 | 5,43 | 5,27 | 5,45 | 5,56 | 5,4 | 5,59 | 5,67 | 5,03 | 5,78 |
| 20 | 5,54 | 5,57 | 5,37 | 5,54 | 5,6 | 5,48 | 5,7 | 5,57 | 5,14 | 5,81 |
| 30 | 5,7 | 5,81 | 5,46 | 5,6 | 5,67 | 5,63 | 5,96 | 5,73 | 5,24 | 5,91 |
| 40 | 5,74 | 5,74 | 5,48 | 5,62 | 5,7 | 5,64 | 5,93 | 5,76 | 5,25 | 5,91 |

Syre, mg/l

| Djup, m | 0219 | 0312 | 0415 | 0513 | 0611 | 0716 | 0812 | 0909 | 1007 | 1113 |
|---------|------|------|------|------|------|------|------|------|------|------|
| 0 | 12,6 | 12 | 13,9 | 11,9 | 10,8 | 11 | 9 | 9,5 | 8,6 | 9 |
| 4 | 12,6 | 12 | 13,5 | 11,9 | 10,4 | 10 | 9,1 | 9,6 | 8,6 | 8,8 |
| 8 | 11,8 | 11,8 | 12,7 | 11,5 | 10,5 | 8,8 | 8,9 | 8 | 8,1 | 10,1 |
| 12 | 12,1 | 11 | 12,1 | 11,5 | 10,6 | 8,9 | 8,1 | 8 | 8,1 | 8,7 |
| 16 | 11,9 | 11,2 | 11,7 | 11,4 | 10,5 | 8,4 | 7,8 | 7,8 | 7,9 | 8,5 |
| 20 | 12 | 11,1 | 11,5 | 11,5 | 10,4 | 7,9 | 7,8 | 7,1 | 7,9 | 8,3 |
| 30 | 11,8 | 11,3 | 11,2 | 10,9 | 10,3 | 8,6 | 8,5 | 6,6 | 7,1 | 8 |
| 40 | 11,7 | 11 | 11,3 | 10,9 | 10 | 8,1 | 7,8 | 6,3 | 7 | 8,2 |

Syrgasmättnad, %

| Djup, m | 0219 | 0312 | 0415 | 0513 | 0611 | 0716 | 0812 | 0909 | 1007 | 1113 |
|---------|------|------|------|------|------|------|------|------|------|------|
| 0 | 88 | 90 | 110 | 110 | 100 | 120 | 100 | 100 | 84 | 81 |
| 4 | 88 | 91 | 110 | 100 | 99 | 110 | 100 | 100 | 84 | 80 |
| 8 | 85 | 89 | 100 | 98 | 96 | 92 | 97 | 84 | 80 | 93 |
| 12 | 88 | 82 | 96 | 97 | 95 | 93 | 84 | 83 | 79 | 80 |
| 16 | 87 | 83 | 92 | 96 | 93 | 83 | 77 | 80 | 77 | 78 |
| 20 | 88 | 83 | 90 | 96 | 91 | 75 | 75 | 70 | 77 | 76 |
| 30 | 87 | 84 | 88 | 90 | 88 | 78 | 77 | 62 | 68 | 74 |
| 40 | 87 | 79 | 88 | 90 | 85 | 74 | 70 | 59 | 67 | 76 |

Fosfatfosfor, µg/L

| Djup, m | 0219 | 0312 | 0415 | 0513 | 0611 | 0716 | 0812 | 0909 | 1007 | 1113 |
|---------|------|------|------|------|------|------|------|------|------|------|
| 0 | 22 | 17 | <1,0 | <1,0 | 1,3 | <1,0 | 1,5 | <1,0 | 8,7 | 18 |
| 4 | 22 | 15 | <1,0 | <1,0 | 1,8 | 1 | 2,3 | 2,1 | 10 | 18 |
| 8 | 21 | 16 | 1,2 | <1,0 | 5,1 | 3 | 5 | 6,6 | 12 | 19 |
| 12 | 20 | 21 | 3,1 | 3,6 | 7,1 | 3,8 | 7,2 | 8,3 | 13 | 19 |
| 16 | 20 | 21 | 5 | 4,5 | 11 | 7,6 | 13 | 10 | 14 | 19 |
| 20 | 21 | 21 | 7 | 5,7 | 11 | 14 | 16 | 19 | 16 | 19 |
| 30 | 21 | 23 | 12 | 9,6 | 13 | 17 | 24 | 25 | 22 | 21 |
| 40 | 22 | 23 | 13 | 9,8 | 14 | 18 | 24 | 26 | 23 | 21 |

Totalfosfor, µg/L

| Djup, m | 0219 | 0312 | 0415 | 0513 | 0611 | 0716 | 0812 | 0909 | 1007 | 1113 |
|---------|------|------|------|------|------|------|------|------|------|------|
| 0 | 32 | 28 | 17 | <5,0 | 11 | 15 | 16 | 17 | 22 | 29 |
| 4 | 32 | 30 | 22 | 15 | 16 | 15 | 23 | 19 | 23 | 28 |
| 8 | 30 | 27 | 23 | 14 | 21 | 15 | 23 | 20 | 22 | 27 |
| 12 | 27 | 27 | 21 | 14 | 20 | 14 | 18 | 18 | 23 | 26 |
| 16 | 26 | 27 | 23 | 13 | 19 | 18 | 22 | 22 | 22 | 25 |
| 20 | 27 | 27 | 25 | 14 | 19 | 23 | 23 | 26 | 22 | 28 |
| 30 | 27 | 28 | 24 | 18 | 20 | 25 | 29 | 31 | 28 | 27 |
| 40 | 28 | 28 | 24 | 17 | 22 | 26 | 31 | 34 | 29 | 27 |

Ammoniumkväve, µg/L

| Djup, m | 0219 | 0312 | 0415 | 0513 | 0611 | 0716 | 0812 | 0909 | 1007 | 1113 |
|---------|------|------|------|------|------|------|------|------|------|------|
| 0 | 34 | 6 | <3,0 | <3,0 | 3,6 | <3,0 | 4,7 | <3,0 | <3,0 | 27 |
| 4 | 36 | 3,9 | <3,0 | <3,0 | 5,6 | <3,0 | 10 | 5,1 | <3,0 | 22 |
| 8 | 13 | 3,7 | <3,0 | 4,9 | 5,4 | 4,6 | 19 | 7,7 | 4,8 | 14 |
| 12 | 5,1 | <3,0 | <3,0 | 5,5 | 5,5 | 4,1 | 11 | 7 | 9,7 | 10 |
| 16 | 3,2 | 3,2 | <3,0 | 4,7 | 4,1 | 7,6 | 11 | 9,1 | 8,6 | 8,8 |
| 20 | 3,2 | <3,0 | <3,0 | 5,2 | 6,4 | 9,5 | 14 | 6,4 | 10 | 11 |
| 30 | 3,1 | <3,0 | 5 | 6,4 | 8,3 | 17 | 6,1 | <3,0 | <3,0 | 7,9 |
| 40 | <3,0 | <3,0 | 4 | 4,2 | 6 | 17 | 7,8 | <3,0 | <3,0 | 6 |

Nitrit+nitratkväve, µg/L

| Djup, m | 0219 | 0312 | 0415 | 0513 | 0611 | 0716 | 0812 | 0909 | 1007 | 1113 |
|---------|------|------|------|------|------|------|------|------|------|------|
| 0 | 250 | 180 | <1,0 | 1,5 | <1,0 | <1,0 | 1,3 | 1,2 | 6,6 | 89 |
| 4 | 250 | 150 | <1,0 | 1,6 | <1,0 | <1,0 | 1,5 | <1,0 | 11 | 80 |
| 8 | 140 | 130 | <1,0 | 1,6 | <1,0 | 1 | 1,5 | 1,1 | 16 | 47 |
| 12 | 90 | 110 | <1,0 | 1,7 | <1,0 | 1,1 | 2,9 | 1,7 | 18 | 43 |
| 16 | 76 | 94 | 1,2 | 1,9 | 1,6 | 1,1 | 9,8 | 4,9 | 19 | 41 |
| 20 | 73 | 88 | 2,5 | 2 | 3,5 | 2,9 | 17 | 36 | 24 | 41 |
| 30 | 71 | 83 | 20 | 5,4 | 8,4 | 8 | 32 | 54 | 46 | 43 |
| 40 | 72 | 79 | 24 | 5,6 | 11 | 11 | 31 | 67 | 50 | 45 |

Totalkväve, µg/L

| Djup, m | 0219 | 0312 | 0415 | 0513 | 0611 | 0716 | 0812 | 0909 | 1007 | 1113 |
|---------|------|------|------|------|------|------|------|------|------|------|
| 0 | 630 | 500 | 340 | 290 | 310 | 350 | 350 | 340 | 340 | 430 |
| 4 | 630 | 460 | 360 | 330 | 360 | 340 | 350 | 360 | 340 | 410 |
| 8 | 440 | 410 | 350 | 300 | 270 | 310 | 350 | 330 | 320 | 330 |
| 12 | 350 | 350 | 290 | 300 | 240 | 270 | 300 | 300 | 330 | 310 |
| 16 | 310 | 340 | 290 | 280 | 210 | 280 | 300 | 310 | 310 | 300 |
| 20 | 300 | 320 | 300 | 290 | 260 | 290 | 320 | 320 | 320 | 320 |
| 30 | 300 | 310 | 300 | 300 | 270 | 280 | 280 | 320 | 310 | 300 |
| 40 | 310 | 310 | 280 | 290 | 240 | 270 | 280 | 320 | 320 | 300 |

Kisel, µg/L

| Djup, m | 0219 | 0312 | 0415 | 0513 | 0611 | 0716 | 0812 | 0909 | 1007 | 1113 |
|---------|------|------|------|------|------|------|------|------|------|------|
| 0 | 1200 | 1000 | 480 | 360 | 310 | 320 | 290 | 350 | 460 | 640 |
| 4 | 1200 | 970 | 490 | 380 | 350 | 340 | 290 | 380 | 470 | 630 |
| 8 | 960 | 940 | 530 | 440 | 460 | 370 | 360 | 470 | 510 | 620 |

NV Eknö**Vattentemperatur, °C**

| Djup, m | 0219 | 0312 | 0415 | 0513 | 0611 | 0716 | 0812 | 0909 | 1007 | 1113 |
|---------|------|------|------|------|------|------|------|------|------|------|
| 0 | 0,3 | 2 | 4,6 | 8,1 | 11,3 | 17,3 | 16,9 | 17 | 12,7 | 9,6 |
| 4 | 0,5 | 2 | 4,2 | 7,4 | 10,8 | 16,3 | 16,8 | 16,8 | 12,7 | 9,6 |
| 8 | 0,6 | 2 | 4,2 | 6,8 | 9,7 | 15,4 | 15,9 | 16,7 | 12,7 | 9,7 |
| 12 | 0,7 | 2 | 4 | 6,5 | 8,9 | 15,1 | 13,9 | 15,7 | 12,5 | 9,6 |
| 16 | 0,9 | 2 | 3,9 | 6,3 | 8,2 | 14,9 | 12,2 | 15,2 | 12,5 | 9,6 |
| 20 | 1 | 2 | 3,7 | 5,9 | 7,5 | 14,1 | 11,2 | 14,7 | 12,7 | 9,6 |
| 30 | 1,2 | 2,1 | 3,5 | 5,2 | 7,2 | 9,1 | 9,7 | 10,4 | 11,8 | 9,5 |
| 40 | 1,5 | 2,4 | 3,2 | 4,6 | 7,1 | 7,8 | 8,1 | 8,6 | 9,8 | 8,9 |
| 50 | 1,8 | 2,7 | 3,5 | 4,1 | 5,4 | 6,3 | 6,4 | 7,3 | 7,3 | 7,7 |

Salinitet, PSU

| Djup, m | 0219 | 0312 | 0415 | 0513 | 0611 | 0716 | 0812 | 0909 | 1007 | 1113 |
|---------|------|------|------|------|------|------|------|------|------|------|
| 0 | 5,24 | 5,56 | 5,36 | 5,46 | 5,53 | 5,56 | 5,55 | 5,57 | 5,11 | 5,87 |
| 4 | 5,51 | 5,55 | 5,43 | 5,54 | 5,53 | 5,58 | 5,59 | 5,58 | 5,37 | 5,87 |
| 8 | 5,68 | 5,56 | 5,4 | 5,6 | 5,66 | 5,56 | 5,62 | 5,57 | 5,14 | 5,87 |
| 12 | 5,7 | 5,56 | 5,42 | 5,6 | 5,71 | 5,58 | 5,73 | 5,54 | 5,28 | 5,89 |
| 16 | 5,75 | 5,6 | 5,44 | 5,64 | 5,77 | 5,62 | 5,9 | 5,6 | 5,28 | 5,94 |
| 20 | 5,79 | 5,58 | 5,45 | 5,6 | 5,84 | 5,65 | 6,01 | 5,6 | 5,99 | 5,94 |
| 30 | 5,8 | 5,95 | 5,5 | 5,65 | 5,92 | 5,91 | 6,25 | 5,88 | 6,07 | 6,01 |
| 40 | 5,89 | 6,18 | 5,78 | 5,84 | 6,06 | 6,14 | 6,37 | 6,22 | 5,61 | 6,49 |
| 50 | 5,96 | 6,35 | 6,1 | 6,68 | 6,79 | 6,8 | 6,91 | 6,82 | 6,22 | 7 |

Syre, mg/l

| Djup, m | 0219 | 0312 | 0415 | 0513 | 0611 | 0716 | 0812 | 0909 | 1007 | 1113 |
|---------|------|------|------|------|------|------|------|------|------|------|
| 0 | 12,6 | 12,4 | 12,8 | 11,2 | 10,1 | 11,3 | 9,5 | 9,9 | 9,7 | 9,1 |
| 4 | 12,4 | 12,8 | 12,8 | 11,5 | 10,6 | 10,8 | 9,5 | 10,1 | 9,4 | 9,1 |
| 8 | 12,5 | 12,2 | 12,7 | 11,6 | 10,3 | 9,5 | 9 | 10,2 | 9,2 | 8,9 |
| 12 | 12,4 | 12,4 | 12,4 | 11,2 | 10,2 | 9,5 | 8,4 | 8,6 | 8,9 | 8,7 |
| 16 | 12 | 12,3 | 12,2 | 11,2 | 10,3 | 9,3 | 8,2 | 7,7 | 9 | 8,6 |
| 20 | 12,3 | 12,6 | 12,4 | 10,9 | 10,2 | 9,1 | 7,7 | 7,6 | 9 | 8,3 |
| 30 | 11,9 | 11 | 11,8 | 10,7 | 9,8 | 8,8 | 7,5 | 7 | 8,4 | 8,2 |
| 40 | 11,4 | 11,5 | 10,6 | 9,8 | 9,6 | 8,6 | 7,1 | 6,7 | 6,5 | 5,9 |
| 50 | 11,2 | 10,6 | 9,3 | 6,2 | 5,8 | 6 | 5,3 | 3,7 | 4,8 | 3,8 |

Syrgasmättnad, %

| Djup, m | 0219 | 0312 | 0415 | 0513 | 0611 | 0716 | 0812 | 0909 | 1007 | 1113 |
|---------|------|------|------|------|------|------|------|------|------|------|
| 0 | 90 | 93 | 100 | 98 | 96 | 120 | 100 | 110 | 95 | 83 |
| 4 | 89 | 96 | 100 | 99 | 99 | 110 | 100 | 110 | 92 | 83 |
| 8 | 91 | 92 | 100 | 99 | 94 | 99 | 94 | 110 | 90 | 81 |
| 12 | 90 | 93 | 98 | 95 | 91 | 98 | 84 | 90 | 86 | 79 |
| 16 | 88 | 93 | 96 | 94 | 91 | 96 | 79 | 80 | 87 | 79 |
| 20 | 90 | 95 | 97 | 91 | 88 | 91 | 73 | 78 | 88 | 76 |
| 30 | 88 | 83 | 92 | 88 | 84 | 79 | 69 | 65 | 81 | 75 |
| 40 | 85 | 88 | 82 | 79 | 83 | 75 | 63 | 60 | 59 | 53 |
| 50 | 84 | 82 | 73 | 50 | 48 | 51 | 45 | 32 | 42 | 33 |

Fosfatfosfor, µg/L

| Djup, m | 0219 | 0312 | 0415 | 0513 | 0611 | 0716 | 0812 | 0909 | 1007 | 1113 |
|---------|------|------|------|------|------|------|------|------|------|------|
| 0 | 19 | 9,7 | 6 | 3,3 | 5 | <1,0 | 2,9 | 2,3 | 10 | 20 |
| 4 | 19 | 9,5 | 7 | 3,9 | 5,3 | 1,5 | 2,9 | 3,8 | 10 | 20 |
| 8 | 19 | 9,5 | 6,9 | 4,9 | 7 | 3,7 | 4,6 | 4 | 12 | 21 |
| 12 | 19 | 10 | 7,3 | 5,4 | 7,6 | 4,5 | 9,6 | 6,1 | 13 | 21 |
| 16 | 20 | 10 | 7,3 | 6,3 | 9,4 | 4,9 | 14 | 7,9 | 14 | 22 |
| 20 | 20 | 11 | 8,7 | 7,9 | 12 | 6,5 | 19 | 10 | 14 | 23 |
| 30 | 21 | 20 | 12 | 11 | 13 | 17 | 25 | 24 | 18 | 25 |
| 40 | 24 | 22 | 24 | 19 | 15 | 25 | 34 | 34 | 33 | 38 |
| 50 | 25 | 26 | 33 | 48 | 54 | 54 | 60 | 61 | 55 | 59 |

Totalfosfor, µg/L

| Djup, m | 0219 | 0312 | 0415 | 0513 | 0611 | 0716 | 0812 | 0909 | 1007 | 1113 |
|---------|------|------|------|------|------|------|------|------|------|------|
| 0 | 26 | 21 | 17 | 13 | 15 | 20 | 17 | 18 | 24 | 27 |
| 4 | 27 | 22 | 18 | 14 | 15 | 19 | 18 | 21 | 23 | 28 |
| 8 | 25 | 24 | 18 | 14 | 17 | 15 | 17 | 20 | 20 | 28 |
| 12 | 25 | 21 | 18 | 13 | 17 | 15 | 20 | 17 | 20 | 28 |
| 16 | 30 | 21 | 19 | 13 | 18 | 15 | 21 | 17 | 21 | 29 |
| 20 | 26 | 21 | 18 | 14 | 20 | 17 | 25 | 18 | 21 | 30 |
| 30 | 27 | 25 | 21 | 17 | 20 | 23 | 31 | 31 | 23 | 31 |
| 40 | 29 | 27 | 31 | 25 | 23 | 31 | 40 | 38 | 37 | 44 |
| 50 | 32 | 32 | 42 | 58 | 61 | 61 | 63 | 72 | 58 | 70 |

Ammoniumkväve, µg/L

| Djup, m | 0219 | 0312 | 0415 | 0513 | 0611 | 0716 | 0812 | 0909 | 1007 | 1113 |
|---------|------|------|------|------|------|------|------|------|------|------|
| 0 | 5,2 | 4 | <3,0 | 3,8 | 3,1 | <3,0 | <3,0 | <3,0 | <3,0 | 7 |
| 4 | 3,3 | 3,7 | <3,0 | 3,1 | <3,0 | <3,0 | <3,0 | <3,0 | <3,0 | 7,6 |
| 8 | <3,0 | 3,9 | <3,0 | 3,1 | 3 | <3,0 | 4,5 | <3,0 | 4,9 | 6,5 |
| 12 | <3,0 | 4,4 | <3,0 | 5,1 | 4,1 | <3,0 | 5,5 | <3,0 | 7,3 | 6,1 |
| 16 | <3,0 | 3,6 | <3,0 | 7,5 | 3,9 | 3 | 12 | <3,0 | 8,4 | 6,6 |
| 20 | <3,0 | 4 | <3,0 | 6,3 | 6 | 5,9 | 11 | <3,0 | 9,2 | 6,9 |
| 30 | <3,0 | <3,0 | 5,9 | 5,6 | 5,6 | <3,0 | 13 | <3,0 | 8,4 | 10 |
| 40 | <3,0 | <3,0 | 3,2 | 6,5 | 5,9 | 3,5 | 3,3 | <3,0 | <3,0 | <3,0 |
| 50 | <3,0 | <3,0 | 3,7 | 9,8 | 6,7 | 11 | 4,7 | 3,1 | 5,6 | <3,0 |

Nitrit+nitratkväve, µg/L

| Djup, m | 0219 | 0312 | 0415 | 0513 | 0611 | 0716 | 0812 | 0909 | 1007 | 1113 |
|---------|------|------|------|------|------|------|------|------|------|------|
| 0 | 95 | 20 | <1,0 | 2,2 | <1,0 | <1,0 | 1,1 | <1,0 | 2,4 | 43 |
| 4 | 76 | 20 | <1,0 | 2,6 | <1,0 | <1,0 | 1,1 | <1,0 | 4,2 | 43 |
| 8 | 64 | 21 | <1,0 | 2,2 | <1,0 | <1,0 | 1,1 | <1,0 | 8,8 | 43 |
| 12 | 63 | 25 | <1,0 | 2,1 | <1,0 | <1,0 | 1,3 | <1,0 | 12 | 44 |
| 16 | 61 | 25 | 1,3 | 2,2 | <1,0 | <1,0 | 9,5 | <1,0 | 14 | 46 |
| 20 | 61 | 27 | 2,5 | 2,8 | 1,6 | 1,1 | 22 | 3,8 | 15 | 47 |
| 30 | 63 | 61 | 16 | 7,9 | 2,7 | 4,1 | 33 | 46 | 26 | 51 |
| 40 | 72 | 66 | 58 | 35 | 5,5 | 24 | 48 | 57 | 68 | 78 |
| 50 | 76 | 73 | 83 | 100 | 110 | 86 | 97 | 100 | 98 | 110 |

Totalkväve, µg/L

| Djup, m | 0219 | 0312 | 0415 | 0513 | 0611 | 0716 | 0812 | 0909 | 1007 | 1113 |
|---------|------|------|------|------|------|------|------|------|------|------|
| 0 | 350 | 290 | 270 | 290 | 240 | 360 | 310 | 320 | 320 | 300 |
| 4 | 330 | 290 | 260 | 300 | 260 | 310 | 320 | 310 | 310 | 300 |
| 8 | 300 | 280 | 270 | 300 | 250 | 270 | 290 | 320 | 290 | 300 |
| 12 | 300 | 280 | 260 | 280 | 240 | 270 | 270 | 280 | 290 | 300 |
| 16 | 290 | 280 | 260 | 270 | 230 | 260 | 310 | 270 | 290 | 310 |
| 20 | 290 | 280 | 260 | 270 | 250 | 260 | 270 | 260 | 290 | 300 |
| 30 | 290 | 290 | 270 | 270 | 240 | 240 | 290 | 320 | 290 | 330 |
| 40 | 300 | 290 | 350 | 300 | 240 | 270 | 290 | 340 | 320 | 310 |
| 50 | 310 | 300 | 330 | 390 | 350 | 360 | 350 | 370 | 360 | 340 |

Kisel, µg/L

| Djup, m | 0219 | 0312 | 0415 | 0513 | 0611 | 0716 | 0812 | 0909 | 1007 | 1113 |
|---------|------|------|------|------|------|------|------|------|------|------|
| 0 | 840 | 660 | 570 | 480 | 480 | 290 | 430 | 480 | 560 | 640 |
| 4 | 800 | 660 | 570 | 480 | 490 | 330 | 440 | 480 | 550 | 640 |
| 8 | 770 | 660 | 560 | 500 | 480 | 360 | 460 | 480 | 560 | 640 |

Hammarby sjö**Vattentemperatur, °C**

| Djup, m | 0428 | 0527 | 0623 | 0728 | 0826 | 0922 | 1022 | 1110 |
|---------|------|------|------|------|------|------|------|------|
| 0 | 7,3 | 10 | 15,3 | 19,3 | 15,8 | 15,3 | 11 | 10,1 |
| 4 | 6,5 | 8,2 | 13,6 | 18,2 | 15,8 | 15,1 | 11,8 | 10 |

Salinitet, PSU

| Djup, m | 0428 | 0527 | 0623 | 0728 | 0826 | 0922 | 1022 | 1110 |
|---------|------|------|------|------|------|------|------|------|
| 0 | 2,1 | 2,57 | 2,07 | 1,55 | 1,64 | 1,78 | 2,42 | 0,1 |
| 4 | 2,81 | 3,83 | 2,98 | 2 | 1,79 | 2,15 | 2,92 | 0,09 |

Syre, mg/l

| Djup, m | 0428 | 0527 | 0623 | 0728 | 0826 | 0922 | 1022 | 1110 |
|---------|------|------|------|------|------|------|------|------|
| 0 | 12,1 | 11,2 | 8,4 | 8,8 | 7,4 | 6,6 | 7 | 8,3 |
| 4 | 11,4 | 10 | 8,3 | 7,7 | 7,4 | 5,9 | 6,4 | 8,5 |

Syrgasmättnad, %

| Djup, m | 0428 | 0527 | 0623 | 0728 | 0826 | 0922 | 1022 | 1110 |
|---------|------|------|------|------|------|------|------|------|
| 0 | 100 | 100 | 85 | 97 | 76 | 67 | 65 | 74 |
| 4 | 95 | 87 | 81 | 83 | 76 | 60 | 60 | 75 |

Fosfatfosfor, µg/L

| Djup, m | 0428 | 0527 | 0623 | 0728 | 0826 | 0922 | 1022 | 1110 |
|---------|------|------|------|------|------|------|------|------|
| 0 | 2,7 | 1,2 | 1,2 | <1,0 | 12 | 21 | 22 | 15 |
| 4 | 2,9 | <1,0 | 1,2 | 1,2 | 12 | 26 | 29 | 15 |

Totalfosfor, µg/L

| Djup, m | 0428 | 0527 | 0623 | 0728 | 0826 | 0922 | 1022 | 1110 |
|---------|------|------|------|------|------|------|------|------|
| 0 | 24 | 36 | 33 | 25 | 37 | 41 | 40 | 28 |
| 4 | 31 | 32 | 41 | 35 | 39 | 46 | 46 | 27 |

Ammoniumkväve, µg/L

| Djup, m | 0428 | 0527 | 0623 | 0728 | 0826 | 0922 | 1022 | 1110 |
|---------|------|------|------|------|------|------|------|------|
| 0 | 10 | 26 | 49 | 17 | 47 | 77 | 99 | 12 |
| 4 | 26 | 65 | 38 | 21 | 50 | 98 | 110 | 12 |

Nitrit+nitratkväve, µg/L

| Djup, m | 0428 | 0527 | 0623 | 0728 | 0826 | 0922 | 1022 | 1110 |
|---------|------|------|------|------|------|------|------|------|
| 0 | 220 | 160 | 100 | 16 | 160 | 170 | 230 | 130 |
| 4 | 300 | 190 | 160 | 61 | 170 | 210 | 290 | 130 |

Totalkväve, µg/L

| Djup, m | 0428 | 0527 | 0623 | 0728 | 0826 | 0922 | 1022 | 1110 |
|---------|------|------|------|------|------|------|------|------|
| 0 | 730 | 650 | 770 | 610 | 710 | 740 | 730 | 600 |
| 4 | 850 | 700 | 770 | 620 | 700 | 800 | 840 | 600 |

Kisel, µg/L

| Djup, m | 0428 | 0527 | 0623 | 0728 | 0826 | 0922 | 1022 | 1110 |
|---------|------|------|------|------|------|------|------|------|
| 0 | 600 | 160 | 240 | <10 | 330 | 510 | 770 | 650 |
| 4 | 740 | 330 | 340 | 44 | 350 | 570 | 840 | 650 |

Escherichia coli, MPN/100 ml

| Djup, m | 0428 | 0527 | 0623 | 0728 | 0826 | 0922 | 1022 | 1110 |
|---------|------|------|------|------|------|------|------|------|
| 0 | 20 | 63 | 10 | 31 | 220 | 20 | 10 | <10 |
| 4 | 41 | 52 | 10 | 20 | 110 | 63 | 20 | 10 |

Koliforma bakterier 35°C, MPN/100 ml

| Djup, m | 0428 | 0527 | 0623 | 0728 | 0826 | 0922 | 1022 | 1110 |
|---------|------|------|------|------|------|------|------|------|
| 0 | 200 | 410 | 120 | 590 | 1100 | 880 | 860 | 190 |
| 4 | 250 | 390 | 85 | 470 | 1500 | 930 | 470 | 160 |

Karantänbojen**Vattentemperatur, °C**

| Djup, m | 0428 | 0527 | 0623 | 0728 | 0826 | 0922 | 1022 | 1110 |
|---------|------|------|------|------|------|------|------|------|
| 0 | 8 | 10,6 | 14,8 | 19,4 | 14,9 | 14,9 | 11 | 9,8 |
| 4 | 7 | 9,7 | 14,8 | 19,3 | 14,8 | 14,8 | 10,9 | 10,3 |
| 8 | 4,9 | 8,5 | 12,8 | 15,2 | 14,5 | 13,9 | 10,9 | 10,1 |
| 12 | 3,9 | 7,9 | 10,7 | 13,7 | 12 | 12,5 | 10,7 | 10,8 |
| 16 | 3 | 5,4 | 8,3 | 11,2 | 10 | 11,3 | 11,4 | 11 |
| 20 | 3 | 4,9 | 7,7 | 8,8 | 10 | 10,9 | 11,2 | 10,9 |

Salinitet, PSU

| Djup, m | 0428 | 0527 | 0623 | 0728 | 0826 | 0922 | 1022 | 1110 |
|---------|------|------|------|------|------|------|------|------|
| 0 | 3,28 | 3,83 | 3,63 | 3 | 3 | 3,02 | 3,41 | 1,81 |
| 4 | 3,45 | 3,85 | 3,67 | 3,34 | 3,59 | 3,3 | 3,43 | 2,61 |
| 8 | 3,88 | 4,01 | 4,13 | 3,9 | 3,68 | 3,81 | 3,43 | 3,23 |
| 12 | 4,27 | 4,15 | 4,41 | 4,39 | 4,19 | 4,27 | 3,56 | 4,39 |
| 16 | 4,79 | 4,54 | 4,7 | 4,61 | 4,7 | 4,54 | 4,46 | 4,89 |
| 20 | 4,85 | 4,72 | 4,81 | 4,83 | 4,78 | 4,74 | 4,87 | 4,95 |

Syre, mg/l

| Djup, m | 0428 | 0527 | 0623 | 0728 | 0826 | 0922 | 1022 | 1110 |
|---------|------|------|------|------|------|------|------|------|
| 0 | 15 | 12,1 | 9,9 | 9,7 | 10 | 8,1 | 8 | 8,3 |
| 4 | 14,1 | 11,9 | 9,8 | 8,1 | 9 | 7,2 | 7,7 | 7,3 |
| 8 | 10,9 | 10,7 | 7,9 | 6 | 8,3 | 5,2 | 7,8 | 7,1 |
| 12 | 9,5 | 10,4 | 6,5 | 4,8 | 3,8 | 3,3 | 7,8 | 3,1 |
| 16 | 8,1 | 8,1 | 5,5 | 4,1 | 2,6 | 1,8 | 2,8 | 1,1 |
| 20 | 8,2 | 6,1 | 5,1 | 2,7 | 2,1 | 1,1 | 1,2 | <0,2 |

Syrgasmättnad, %

| Djup, m | 0428 | 0527 | 0623 | 0728 | 0826 | 0922 | 1022 | 1110 |
|---------|------|------|------|------|------|------|------|------|
| 0 | 130 | 110 | 100 | 110 | 100 | 82 | 74 | 74 |
| 4 | 120 | 110 | 99 | 90 | 91 | 73 | 71 | 66 |
| 8 | 87 | 94 | 77 | 61 | 83 | 52 | 72 | 64 |
| 12 | 74 | 90 | 60 | 47 | 36 | 32 | 72 | 29 |
| 16 | 62 | 66 | 48 | 38 | 24 | 17 | 26 | 10 |
| 20 | 63 | 49 | 44 | 24 | 19 | 9,9 | 11 | <2,9 |

Fosfatfosfor, µg/L

| Djup, m | 0428 | 0527 | 0623 | 0728 | 0826 | 0922 | 1022 | 1110 |
|---------|------|------|------|------|------|------|------|------|
| 0 | <1,0 | <1,0 | <1,0 | <1,0 | <1,0 | 12 | 24 | 27 |
| 4 | <1,0 | <1,0 | <1,0 | <1,0 | <1,0 | 19 | 24 | 32 |
| 8 | <1,0 | <1,0 | <1,0 | 8,7 | 4,5 | 34 | 24 | 34 |
| 12 | <1,0 | <1,0 | 1,2 | 19 | 38 | 49 | 23 | 65 |
| 16 | 15 | 1,7 | 10 | 49 | 75 | 89 | 64 | 110 |
| 20 | 19 | 3,5 | 37 | 120 | 90 | 120 | 100 | 130 |

Totalfosfor, µg/L

| Djup, m | 0428 | 0527 | 0623 | 0728 | 0826 | 0922 | 1022 | 1110 |
|---------|------|------|------|------|------|------|------|------|
| 0 | 23 | 25 | 24 | 22 | 35 | 34 | 40 | 62 |
| 4 | 32 | 22 | 27 | 24 | 41 | 38 | 39 | 42 |
| 8 | 20 | 20 | 24 | 31 | 28 | 48 | 40 | 47 |
| 12 | 15 | 19 | 25 | 31 | 50 | 60 | 40 | 75 |
| 16 | 29 | 19 | 30 | 62 | 88 | 99 | 78 | 130 |
| 20 | 30 | 41 | 50 | 140 | 97 | 130 | 110 | 160 |

Ammoniumkväve, µg/L

| Djup, m | 0428 | 0527 | 0623 | 0728 | 0826 | 0922 | 1022 | 1110 |
|---------|------|------|------|------|------|------|------|------|
| 0 | 3,9 | 6,8 | 16 | 15 | 13 | 24 | 51 | 59 |
| 4 | 5,5 | 12 | 18 | 37 | 29 | 49 | 51 | 68 |
| 8 | 7,9 | 33 | 58 | 120 | 29 | 57 | 47 | 82 |
| 12 | 11 | 38 | 94 | 200 | 41 | 57 | 41 | 42 |
| 16 | 20 | 89 | 150 | 140 | 31 | 53 | 42 | 66 |
| 20 | 13 | 130 | 180 | 340 | 29 | 79 | 64 | 120 |

Nitrit+nitratkväve, µg/L

| Djup, m | 0428 | 0527 | 0623 | 0728 | 0826 | 0922 | 1022 | 1110 |
|---------|------|------|------|------|------|------|------|------|
| 0 | <1,0 | 4,4 | 32 | 20 | 70 | 140 | 180 | 220 |
| 4 | 34 | 23 | 31 | 28 | 89 | 150 | 180 | 230 |
| 8 | 190 | 55 | 52 | 96 | 120 | 200 | 180 | 170 |
| 12 | 230 | 73 | 64 | 43 | 320 | 320 | 150 | 360 |
| 16 | 240 | 170 | 68 | 190 | 300 | 350 | 230 | 280 |
| 20 | 210 | 120 | 62 | 140 | 300 | 260 | 180 | 120 |

Totalkväve, µg/L

| Djup, m | 0428 | 0527 | 0623 | 0728 | 0826 | 0922 | 1022 | 1110 |
|---------|------|------|------|------|------|------|------|------|
| 0 | 590 | 460 | 490 | 550 | 660 | 650 | 620 | 700 |
| 4 | 590 | 470 | 520 | 580 | 650 | 610 | 630 | 680 |
| 8 | 630 | 460 | 550 | 600 | 610 | 650 | 620 | 650 |
| 12 | 630 | 460 | 540 | 660 | 700 | 740 | 620 | 750 |
| 16 | 580 | 580 | 580 | 650 | 640 | 740 | 610 | 660 |
| 20 | 530 | 680 | 580 | 840 | 630 | 670 | 550 | 570 |

Kisel, µg/L

| Djup, m | 0428 | 0527 | 0623 | 0728 | 0826 | 0922 | 1022 | 1110 |
|---------|------|------|------|------|------|------|------|------|
| 0 | 72 | <10 | 68 | 10 | 380 | 420 | 760 | 800 |
| 4 | 300 | 11 | 68 | 130 | 460 | 440 | 760 | 850 |
| 8 | 860 | 150 | 210 | 450 | 500 | 660 | 770 | 880 |

Escherichia coli, MPN/100 ml

| Djup, m | 0428 | 0527 | 0623 | 0728 | 0826 | 0922 | 1022 | 1110 |
|---------|------|------|------|------|------|------|------|------|
| 0 | <10 | <10 | <10 | <10 | 110 | <10 | 10 | 63 |

Koliforma bakterier 35°C, MPN/100 ml

| Djup, m | 0428 | 0527 | 0623 | 0728 | 0826 | 0922 | 1022 | 1110 |
|---------|------|------|------|------|------|------|------|------|
| 0 | 20 | 20 | <10 | 480 | 830 | 63 | 210 | 470 |

Blomskär**Vattentemperatur, °C**

| Djup, m | 0428 | 0527 | 0623 | 0728 | 0826 | 0922 | 1022 | 1110 |
|---------|------|------|------|------|------|------|------|------|
| 0 | 7,5 | 10,8 | 15,3 | 24,2 | 15,2 | 15,8 | 10,4 | 9,3 |
| 4 | 7,4 | 10,6 | 15,3 | 22,7 | 15 | 15,8 | 10,1 | 9,2 |
| 8 | 5,2 | 10,1 | 15,3 | 16,6 | 15 | 15,6 | 10,1 | 10,2 |
| 12 | 4 | 7,5 | 12 | 14,4 | 13,3 | 12,7 | 10,2 | 11,1 |
| 16 | 3,2 | 6,1 | 9,8 | 10,9 | 11,2 | 11,3 | 10,1 | 11,2 |
| 20 | 2,9 | 4,1 | 8 | 8,4 | 11,6 | 10,5 | 10,1 | 11,2 |
| 24 | 2,9 | 3,7 | 7,7 | 8,3 | 9,2 | 10,1 | 10,2 | 10,9 |
| 27 | 3,1 | 3,8 | 7,8 | 8,2 | 9 | 9,8 | 10,2 | 10,5 |

Salinitet, PSU

| Djup, m | 0428 | 0527 | 0623 | 0728 | 0826 | 0922 | 1022 | 1110 |
|---------|------|------|------|------|------|------|------|------|
| 0 | 3,38 | 4 | 4,03 | 3,74 | 3,93 | 3,46 | 3,38 | 2,34 |
| 4 | 3,38 | 4,02 | 4,04 | 3,68 | 3,93 | 3,47 | 3,42 | 2,85 |
| 8 | 3,74 | 4,05 | 4,06 | 4,11 | 3,94 | 3,44 | 3,44 | 3,33 |
| 12 | 4,18 | 4,36 | 4,39 | 4,38 | 4,44 | 4,47 | 3,51 | 4,54 |
| 16 | 4,59 | 4,56 | 4,57 | 4,68 | 4,71 | 4,73 | 4,04 | 4,91 |
| 20 | 4,83 | 4,86 | 4,78 | 4,92 | 4,8 | 4,83 | 4,93 | 4,99 |
| 24 | 4,86 | 4,91 | 4,84 | 4,94 | 4,8 | 4,75 | 4,92 | 5,02 |
| 27 | 4,88 | 4,91 | 4,84 | 4,94 | 4,81 | 4,81 | 4,92 | 5,01 |

Syre, mg/l

| Djup, m | 0428 | 0527 | 0623 | 0728 | 0826 | 0922 | 1022 | 1110 |
|---------|------|------|------|------|------|------|------|------|
| 0 | 13,8 | 11,4 | 10 | 8,6 | 9 | 8,2 | 9 | 8,7 |
| 4 | 13,8 | 11,6 | 10 | 8,2 | 8,8 | 8,2 | 8,7 | 9,5 |
| 8 | 12,1 | 11,2 | 10 | 6,5 | 8,6 | 7,9 | 8,9 | 8 |
| 12 | 9,7 | 8,7 | 6,6 | 4,3 | 4,7 | 3,4 | 8,5 | 4 |
| 16 | 8,7 | 8 | 5,8 | 4,6 | 3,2 | 2,2 | 6,4 | 0,9 |
| 20 | 8,6 | 6,1 | 5,7 | 3,7 | 2,9 | 1 | 0,9 | 1 |
| 24 | 8,1 | 5 | 5,4 | 2,3 | 0,9 | 0,3 | s | <0,2 |
| 27 | 7,9 | 5 | 5,1 | 1,6 | <0,2 | <0,2 | s | s |

Syrgasmättnad, %

| Djup, m | 0428 | 0527 | 0623 | 0728 | 0826 | 0922 | 1022 | 1110 |
|---------|------|------|------|------|------|------|------|------|
| 0 | 120 | 110 | 100 | 100 | 92 | 85 | 82 | 77 |
| 4 | 120 | 110 | 100 | 97 | 90 | 85 | 79 | 84 |
| 8 | 98 | 100 | 100 | 69 | 88 | 81 | 81 | 73 |
| 12 | 76 | 75 | 63 | 43 | 46 | 33 | 77 | 37 |
| 16 | 67 | 66 | 53 | 43 | 30 | 21 | 58 | 8,8 |
| 20 | 66 | 48 | 50 | 32 | 28 | 9,3 | 8,6 | 9,7 |
| 24 | 62 | 39 | 47 | 20 | 8,1 | 2,9 | s | <2,9 |
| 27 | 61 | 39 | 44 | 14 | <2,7 | <2,8 | s | s |

Sulfid (H₂S), mg/l

| Djup, m | 0428 | 0527 | 0623 | 0728 | 0826 | 0922 | 1022 | 1110 |
|---------|------|------|------|------|------|------|------|------|
| 24 | | | | | | | 1,2 | |
| 27 | | | | | | | 1,91 | 0,9 |

Fosfatfosfor, µg/L

| Djup, m | 0428 | 0527 | 0623 | 0728 | 0826 | 0922 | 1022 | 1110 |
|---------|------|------|------|------|------|------|------|------|
| 0 | <1,0 | <1,0 | <1,0 | <1,0 | 1,4 | 11 | 11 | 26 |
| 4 | <1,0 | <1,0 | <1,0 | 3,3 | 1,9 | 11 | 12 | 22 |
| 8 | <1,0 | <1,0 | <1,0 | 5,2 | 2,1 | 13 | 12 | 25 |
| 12 | <1,0 | <1,0 | 1,1 | 32 | 29 | 50 | 13 | 47 |
| 16 | 1,3 | <1,0 | 4 | 33 | 48 | 75 | 31 | 87 |
| 20 | 11 | 1,1 | 26 | 76 | 61 | 110 | 94 | 100 |
| 24 | 20 | 3,1 | 49 | 140 | 150 | 150 | 200 | 120 |
| 27 | 20 | 3,9 | 67 | 160 | 170 | 210 | 290 | 160 |

Totalfosfor, µg/L

| Djup, m | 0428 | 0527 | 0623 | 0728 | 0826 | 0922 | 1022 | 1110 |
|---------|------|------|------|------|------|------|------|------|
| 0 | 29 | 22 | 20 | 19 | 27 | 30 | 38 | 39 |
| 4 | 50 | 24 | 20 | 26 | 34 | 29 | 37 | 35 |
| 8 | 25 | 19 | 21 | 18 | 27 | 29 | 38 | 35 |
| 12 | 27 | 21 | 24 | 44 | 38 | 60 | 34 | 54 |
| 16 | 17 | 22 | 24 | 41 | 57 | 87 | 45 | 100 |
| 20 | 24 | 25 | 41 | 87 | 69 | 120 | 110 | 120 |
| 24 | 29 | 38 | 66 | 150 | 160 | 160 | 240 | 140 |
| 27 | 34 | 52 | 83 | 190 | 190 | 220 | 280 | 200 |

Ammoniumkväve, µg/L

| Djup, m | 0428 | 0527 | 0623 | 0728 | 0826 | 0922 | 1022 | 1110 |
|---------|------|------|------|------|------|------|------|------|
| 0 | 5 | 9 | 11 | 4,8 | 18 | 46 | 17 | 69 |
| 4 | 5,4 | 10 | 8,2 | 28 | 24 | 47 | 20 | 72 |
| 8 | 9,6 | 16 | 7,9 | 66 | 22 | 50 | 19 | 71 |
| 12 | 8 | 45 | 92 | 260 | 41 | 60 | 19 | 24 |
| 16 | <3,0 | 52 | 120 | 180 | 22 | 39 | 28 | 24 |
| 20 | <3,0 | 72 | 150 | 290 | 19 | 55 | 43 | 77 |
| 24 | 15 | 110 | 180 | 450 | 62 | 110 | 270 | 180 |
| 27 | 36 | 110 | 200 | 500 | 93 | 250 | 590 | 350 |

Nitrit+nitratkväve, µg/L

| Djup, m | 0428 | 0527 | 0623 | 0728 | 0826 | 0922 | 1022 | 1110 |
|---------|------|------|------|------|------|------|------|------|
| 0 | <1,0 | 9,9 | 11 | 1,7 | 28 | 47 | 110 | 200 |
| 4 | 1,2 | 19 | 11 | 2,2 | 29 | 48 | 110 | 160 |
| 8 | 110 | 14 | 11 | 24 | 35 | 57 | 110 | 160 |
| 12 | 210 | 54 | 35 | 26 | 270 | 210 | 110 | 240 |
| 16 | 220 | 82 | 53 | 80 | 360 | 250 | 140 | 220 |
| 20 | 210 | 120 | 58 | 87 | 350 | 240 | 210 | 130 |
| 24 | 200 | 130 | 57 | 76 | 320 | 150 | 78 | 24 |
| 27 | 190 | 130 | 56 | 70 | 220 | 28 | 15 | s |

Totalkväve, µg/L

| Djup, m | 0428 | 0527 | 0623 | 0728 | 0826 | 0922 | 1022 | 1110 |
|---------|------|------|------|------|------|------|------|------|
| 0 | 550 | 410 | 460 | 410 | 530 | 560 | 620 | 710 |
| 4 | 550 | 420 | 450 | 460 | 520 | 550 | 610 | 650 |
| 8 | 560 | 380 | 430 | 430 | 500 | 530 | 620 | 600 |
| 12 | 610 | 440 | 520 | 660 | 560 | 630 | 560 | 560 |
| 16 | 550 | 460 | 530 | 590 | 600 | 610 | 550 | 540 |
| 20 | 510 | 560 | 520 | 650 | 600 | 630 | 560 | 530 |
| 24 | 510 | 770 | 560 | 780 | 690 | 600 | 730 | 580 |
| 27 | 530 | 940 | 580 | 860 | 620 | 670 | 890 | 810 |

Kisel, µg/L

| Djup, m | 0428 | 0527 | 0623 | 0728 | 0826 | 0922 | 1022 | 1110 |
|---------|------|------|------|------|------|------|------|------|
| 0 | 200 | 79 | 62 | 160 | 450 | 180 | 640 | 770 |
| 4 | 200 | 97 | 62 | 190 | 450 | 180 | 650 | 710 |
| 8 | 720 | 110 | 63 | 380 | 460 | 220 | 660 | 750 |

Escherichia coli, MPN/100 ml

| Djup, m | 0428 | 0527 | 0623 | 0728 | 0826 | 0922 | 1022 | 1110 |
|---------|------|------|------|------|------|------|------|------|
| 0 | <10 | <10 | <10 | <10 | <10 | <10 | 10 | 20 |

Koliforma bakterier 35°C, MPN/100 ml

| Djup, m | 0428 | 0527 | 0623 | 0728 | 0826 | 0922 | 1022 | 1110 |
|---------|------|------|------|------|------|------|------|------|
| 0 | <10 | 31 | <10 | 2000 | 340 | 120 | 130 | 220 |

Kyrkfjärden (S)**Vattentemperatur, °C**

| Djup, m | 0220 | 0428 | 0623 | 0728 | 0908 | 1022 |
|---------|------|------|------|------|------|------|
| 0 | 0,4 | 9,1 | 18,8 | 24,4 | 18,6 | 9,9 |
| 2 | 1,1 | 9,1 | 18,8 | 24,3 | 18,6 | 9,9 |
| 4 | 1,3 | 9 | 18,7 | 21,3 | 17,8 | 9,9 |
| 6 | 1,9 | 7,2 | 17,7 | 17,8 | 16,9 | 9,9 |
| 8 | 2,7 | 4,9 | 14,4 | 15 | 11,6 | 9,9 |
| 10 | 2,7 | 3,6 | 11,2 | 11,2 | 15,7 | 9,9 |
| 12 | 3 | 3,6 | 9 | 8,1 | 8 | 9,8 |
| 14 | 2,9 | 3,7 | 7,9 | 7,3 | 7,7 | 8,1 |

Salinitet, PSU

| Djup, m | 0220 | 0428 | 0623 | 0728 | 0908 | 1022 |
|---------|------|------|------|------|------|------|
| 0 | 2,27 | 2,88 | 3,65 | 3,9 | 3,94 | 3,75 |
| 2 | 2,98 | 2,89 | 3,64 | 3,9 | 3,93 | 3,7 |
| 4 | 3,25 | 2,91 | 3,64 | 3,91 | 3,94 | 3,72 |
| 6 | 3,87 | 3,1 | 3,77 | 3,99 | 3,95 | 3,7 |
| 8 | 3,94 | 3,51 | 3,86 | 4 | 3,97 | 3,76 |
| 10 | 3,96 | 3,71 | 3,8 | 3,91 | 4,02 | 3,72 |
| 12 | 4,02 | 3,79 | 3,86 | 3,93 | 3,98 | 3,74 |
| 14 | 4,02 | 3,78 | 3,88 | 3,94 | 4,03 | 3,85 |

Syre, mg/l

| Djup, m | 0220 | 0428 | 0623 | 0728 | 0908 | 1022 |
|---------|------|------|------|------|------|------|
| 0 | 12,6 | 12,4 | 9,9 | 8,6 | 9,6 | 8,5 |
| 2 | 11,8 | 12,2 | 9,7 | 8,6 | 9,2 | 8,4 |
| 4 | 10,4 | 12 | 9,9 | 8,2 | 8,3 | 8,3 |
| 6 | 8,8 | 9,7 | 9,1 | 5 | 6,2 | 8,3 |
| 8 | 7 | 3,1 | 5,6 | 2,2 | s | 8,2 |
| 10 | 7,3 | 1,6 | 1,1 | 0,4 | 2,2 | 8,2 |
| 12 | 3,7 | 0,2 | s | s | s | s |
| 14 | 3,5 | s | s | s | s | s |

Syrgasmättnad, %

| Djup, m | 0220 | 0428 | 0623 | 0728 | 0908 | 1022 |
|---------|------|------|------|------|------|------|
| 0 | 89 | 110 | 110 | 110 | 110 | 77 |
| 2 | 85 | 110 | 110 | 110 | 100 | 76 |
| 4 | 76 | 110 | 110 | 95 | 90 | 75 |
| 6 | 65 | 82 | 98 | 54 | 66 | 75 |
| 8 | 53 | 25 | 56 | 22 | s | 74 |
| 10 | 55 | 12 | 10 | 3,6 | 23 | 74 |
| 12 | 28 | <2,4 | s | s | s | s |
| 14 | 27 | s | s | s | s | s |

Sulfid (H₂S), mg/l

| Djup, m | 0220 | 0428 | 0623 | 0728 | 0908 | 1022 |
|---------|------|------|------|------|-------|-------|
| 8 | | | | | <0,10 | |
| 12 | | | 2,1 | 3,28 | 6,09 | <0,10 |
| 14 | | 1,16 | 4,59 | 7,38 | 10,3 | 5,09 |

Fosfatfosfor, µg/L

| Djup, m | 0220 | 0428 | 0623 | 0728 | 0908 | 1022 |
|---------|------|------|------|------|------|------|
| 0 | 21 | <1,0 | <1,0 | <1,0 | <1,0 | 12 |
| 4 | 26 | <1,0 | <1,0 | 3,8 | 1,1 | 12 |
| 8 | 53 | <1,0 | 11 | 27 | 2,3 | 13 |
| 12 | 81 | 2,1 | 110 | 170 | 210 | 35 |
| 14 | 86 | 180 | 190 | 230 | 290 | 380 |

Totalfosfor, µg/L

| Djup, m | 0220 | 0428 | 0623 | 0728 | 0908 | 1022 |
|---------|------|------|------|------|------|------|
| 0 | 35 | 25 | 22 | 17 | 26 | 43 |
| 4 | 42 | 57 | 30 | 30 | 27 | 43 |
| 8 | 61 | 32 | 45 | 44 | 32 | 41 |
| 12 | 94 | 49 | 140 | 200 | 260 | 61 |
| 14 | 95 | 170 | 230 | 260 | 330 | 380 |

Ammoniumkväve, µg/L

| Djup, m | 0220 | 0428 | 0623 | 0728 | 0908 | 1022 |
|---------|------|------|------|------|------|------|
| 0 | 39 | 3,8 | 4,3 | 5,4 | 15 | 66 |
| 4 | 11 | 3,4 | 14 | 35 | 5,6 | 67 |
| 8 | 3,8 | 5 | 130 | 170 | <3,0 | 67 |
| 12 | 6,5 | 81 | 620 | 950 | 1000 | 190 |
| 14 | 8,3 | 590 | 1100 | 1400 | 1600 | 2500 |

Nitrit+nitratkväve, µg/L

| Djup, m | 0220 | 0428 | 0623 | 0728 | 0908 | 1022 |
|---------|------|------|------|------|------|------|
| 0 | 370 | <1,0 | 1,2 | 1,5 | 1,3 | 6,9 |
| 4 | 440 | <1,0 | 1,8 | 1,5 | 1,1 | 6,8 |
| 8 | 430 | 110 | 12 | 8,3 | s | 6,9 |
| 12 | 510 | 210 | s | s | s | 7,6 |
| 14 | 510 | s | s | s | s | 26 |

Totalkväve, µg/L

| Djup, m | 0220 | 0428 | 0623 | 0728 | 0908 | 1022 |
|---------|------|------|------|------|------|------|
| 0 | 820 | 590 | 460 | 450 | 510 | 630 |
| 4 | 820 | 590 | 590 | 530 | 510 | 630 |
| 8 | 770 | 600 | 590 | 580 | 470 | 620 |
| 12 | 870 | 840 | 1100 | 1400 | 1700 | 720 |
| 14 | 870 | 1000 | 1700 | 1900 | 2200 | 2600 |

Kisel, µg/L

| Djup, m | 0220 | 0428 | 0623 | 0728 | 0908 | 1022 |
|---------|------|------|------|------|------|------|
| 0 | 1500 | 300 | <10 | 120 | 250 | 600 |

Askrikefjärden**Vattentemperatur, °C**

| Djup, m | 0428 | 0527 | 0623 | 0728 | 0826 | 0922 | 1022 | 1110 |
|---------|------|------|------|------|------|------|------|------|
| 0 | 7,4 | 10,9 | 15,8 | 23,2 | 15,5 | 15,6 | 10,5 | 9,2 |
| 4 | 6,7 | 10,1 | 15,7 | 20,1 | 15,3 | 15,6 | 10,5 | 9,6 |
| 8 | 4,9 | 9,3 | 15 | 16,5 | 15,1 | 15,5 | 10,5 | 10,3 |
| 12 | 3,5 | 7,5 | 12,8 | 14,3 | 14,9 | 13,8 | 10,5 | 11,2 |
| 16 | 2,6 | 5,7 | 9,5 | 10,9 | 11,9 | 12,1 | 11,7 | 11,4 |
| 20 | 2,6 | 4,5 | 8,1 | 9,4 | 10,9 | 11,5 | 11,9 | 11,3 |
| 24 | 2,4 | 3,8 | 7,2 | 8,5 | 10,5 | 10,9 | 11,4 | 10,9 |
| 28 | 2,5 | 3,7 | 7,2 | 8,2 | 9,8 | 10,8 | 11,3 | 10,5 |

Salinitet, PSU

| Djup, m | 0428 | 0527 | 0623 | 0728 | 0826 | 0922 | 1022 | 1110 |
|---------|------|------|------|------|------|------|------|------|
| 0 | 3,38 | 4,02 | 3,83 | 3,75 | 3,93 | 3,39 | 3 | 2,52 |
| 4 | 3,46 | 4,06 | 3,87 | 3,86 | 3,96 | 3,46 | 3,07 | 2,68 |
| 8 | 3,94 | 4,09 | 4,18 | 4,16 | 3,99 | 3,56 | 3,31 | 3,28 |
| 12 | 4,33 | 4,34 | 4,38 | 4,36 | 4,24 | 4,41 | 3,76 | 4,45 |
| 16 | 4,9 | 4,57 | 4,63 | 4,68 | 4,69 | 4,73 | 4,89 | 5,06 |
| 20 | 4,94 | 4,85 | 4,91 | 4,89 | 4,93 | 4,97 | 5,2 | 5,19 |
| 24 | 5,04 | 4,98 | 5,08 | 5,08 | 5,09 | 5,05 | 5,25 | 5,26 |
| 28 | 5,07 | 5,1 | 5,11 | 5,11 | 5,11 | 4,97 | 5,25 | 5,31 |

Syre, mg/l

| Djup, m | 0428 | 0527 | 0623 | 0728 | 0826 | 0922 | 1022 | 1110 |
|---------|------|------|------|------|------|------|------|------|
| 0 | 12,7 | 11,2 | 10,3 | 8,6 | 9,4 | 8,6 | 9,3 | 9,3 |
| 4 | 12,7 | 11,2 | 10,1 | 8,8 | 8,6 | 8,7 | 9,2 | 9,1 |
| 8 | 11,4 | 10,5 | 9,5 | 7,2 | 8 | 8,5 | 8,9 | 7,7 |
| 12 | 9,7 | 9,9 | 8,1 | 6 | 7 | 5,4 | 8,1 | 4,8 |
| 16 | 10 | 8,9 | 6,4 | 5,2 | 4,4 | 4,3 | 3,8 | 4,4 |
| 20 | 10,5 | 9,4 | 6,8 | 4,9 | 4,3 | 4,3 | 3,8 | 4,3 |
| 24 | 10,3 | 8,2 | 6,7 | 4,9 | 4,6 | 3,5 | 3,4 | 3,6 |
| 28 | 9,4 | 7,1 | 6,7 | 4,5 | 4,2 | 2,5 | 3,3 | 4,1 |

Syrgasmättnad, %

| Djup, m | 0428 | 0527 | 0623 | 0728 | 0826 | 0922 | 1022 | 1110 |
|---------|------|------|------|------|------|------|------|------|
| 0 | 110 | 100 | 110 | 100 | 97 | 88 | 85 | 82 |
| 4 | 110 | 100 | 100 | 100 | 88 | 89 | 84 | 81 |
| 8 | 92 | 94 | 97 | 76 | 82 | 87 | 82 | 70 |
| 12 | 75 | 85 | 79 | 60 | 71 | 54 | 74 | 45 |
| 16 | 76 | 73 | 58 | 48 | 42 | 41 | 36 | 42 |
| 20 | 80 | 75 | 60 | 44 | 40 | 41 | 36 | 41 |
| 24 | 78 | 64 | 57 | 43 | 43 | 33 | 32 | 34 |
| 28 | 71 | 56 | 57 | 39 | 38 | 23 | 31 | 38 |

Fosfatfosfor, µg/L

| Djup, m | 0428 | 0527 | 0623 | 0728 | 0826 | 0922 | 1022 | 1110 |
|---------|------|------|------|------|------|------|------|------|
| 0 | 1 | <1,0 | <1,0 | <1,0 | 1,3 | 8,8 | 9,2 | 24 |
| 4 | <1,0 | <1,0 | <1,0 | 1,5 | 1,5 | 8,8 | 9,3 | 23 |
| 8 | <1,0 | <1,0 | <1,0 | 1,6 | 3,4 | 10 | 12 | 25 |
| 12 | 1,2 | <1,0 | 1,2 | 3,6 | 10 | 24 | 19 | 38 |
| 16 | 18 | <1,0 | 5 | 24 | 34 | 36 | 40 | 38 |
| 20 | 21 | <1,0 | 13 | 28 | 39 | 38 | 37 | 41 |
| 24 | 27 | <1,0 | 20 | 33 | 36 | 47 | 46 | 49 |
| 28 | 29 | <1,0 | 21 | 38 | 44 | 52 | 48 | 50 |

Totalfosfor, µg/L

| Djup, m | 0428 | 0527 | 0623 | 0728 | 0826 | 0922 | 1022 | 1110 |
|---------|------|------|------|------|------|------|------|------|
| 0 | 35 | 20 | 15 | 23 | 24 | 29 | 30 | 38 |
| 4 | 25 | 20 | 20 | 23 | 27 | 34 | 29 | 36 |
| 8 | 24 | 18 | 16 | 15 | 20 | 29 | 35 | 36 |
| 12 | 14 | 16 | 22 | 15 | 21 | 34 | 35 | 46 |
| 16 | 31 | 15 | 21 | 33 | 40 | 43 | 49 | 44 |
| 20 | 32 | 13 | 33 | 36 | 45 | 45 | 44 | 47 |
| 24 | 48 | 13 | 34 | 42 | 48 | 53 | 55 | 57 |
| 28 | 39 | 15 | 36 | 49 | 52 | 61 | 58 | 64 |

Ammoniumkväve, µg/L

| Djup, m | 0428 | 0527 | 0623 | 0728 | 0826 | 0922 | 1022 | 1110 |
|---------|------|------|------|------|------|------|------|------|
| 0 | 3,4 | 6,2 | 3,7 | 4,3 | 9,7 | 34 | 14 | 65 |
| 4 | 3,7 | 9,9 | 6 | 10 | 20 | 38 | 17 | 64 |
| 8 | 4,4 | 20 | 14 | 38 | 23 | 42 | 27 | 54 |
| 12 | 9,5 | 31 | 64 | 86 | 36 | 48 | 27 | 20 |
| 16 | 3,1 | 38 | 95 | 140 | 21 | 18 | 14 | <3,0 |
| 20 | <3,0 | 21 | 81 | 120 | 27 | 3,4 | 3,7 | <3,0 |
| 24 | 3,3 | 12 | 67 | 92 | 33 | 6 | 7,9 | 3,9 |
| 28 | 5,1 | 16 | 62 | 95 | 36 | 12 | 8,5 | 6,2 |

Nitrit+nitratkväve, µg/L

| Djup, m | 0428 | 0527 | 0623 | 0728 | 0826 | 0922 | 1022 | 1110 |
|---------|------|------|------|------|------|------|------|------|
| 0 | <1,0 | 7,1 | 1,5 | 1,8 | 3,1 | 57 | 100 | 190 |
| 4 | 8,2 | 5,9 | 1,6 | 2 | 19 | 57 | 100 | 170 |
| 8 | 100 | 14 | 4,3 | 22 | 53 | 51 | 100 | 170 |
| 12 | 220 | 48 | 24 | 34 | 63 | 110 | 110 | 240 |
| 16 | 180 | 110 | 50 | 65 | 220 | 210 | 160 | 160 |
| 20 | 150 | 81 | 49 | 69 | 170 | 180 | 130 | 140 |
| 24 | 150 | 94 | 58 | 64 | 110 | 180 | 140 | 140 |
| 28 | 160 | 110 | 68 | 68 | 150 | 170 | 140 | 130 |

Totalkväve, µg/L

| Djup, m | 0428 | 0527 | 0623 | 0728 | 0826 | 0922 | 1022 | 1110 |
|---------|------|------|------|------|------|------|------|------|
| 0 | 550 | 360 | 420 | 410 | 470 | 540 | 580 | 650 |
| 4 | 550 | 360 | 420 | 440 | 490 | 540 | 560 | 660 |
| 8 | 500 | 360 | 420 | 410 | 440 | 500 | 600 | 600 |
| 12 | 590 | 380 | 490 | 450 | 450 | 500 | 530 | 600 |
| 16 | 480 | 410 | 480 | 520 | 530 | 560 | 490 | 450 |
| 20 | 420 | 350 | 430 | 470 | 480 | 500 | 400 | 410 |
| 24 | 420 | 420 | 410 | 430 | 430 | 470 | 430 | 450 |
| 28 | 440 | 390 | 410 | 440 | 420 | 460 | 430 | 450 |

Kisel, µg/L

| Djup, m | 0428 | 0527 | 0623 | 0728 | 0826 | 0922 | 1022 | 1110 |
|---------|------|------|------|------|------|------|------|------|
| 0 | 190 | 82 | 39 | 170 | 350 | 200 | 590 | 740 |
| 4 | 330 | 110 | 42 | 220 | 370 | 200 | 590 | 730 |
| 8 | 710 | 140 | 74 | 330 | 420 | 200 | 630 | 750 |

Escherichia coli, MPN/100 ml

| Djup, m | 0428 | 0527 | 0623 | 0728 | 0826 | 0922 | 1022 | 1110 |
|---------|------|------|------|------|------|------|------|------|
| 0 | <10 | <10 | <10 | <10 | <10 | <10 | 10 | <10 |

Koliforma bakterier 35°C, MPN/100 ml

| Djup, m | 0428 | 0527 | 0623 | 0728 | 0826 | 0922 | 1022 | 1110 |
|---------|------|------|------|------|------|------|------|------|
| 0 | <10 | <10 | 31 | 2500 | 340 | 200 | 98 | 63 |

Norra Vaxholmsfjärden**Vattentemperatur, °C**

| Djup, m | 0428 | 0527 | 0623 | 0728 | 0826 | 0922 | 1022 | 1110 |
|---------|------|------|------|------|------|------|------|------|
| 0 | 7,3 | 10,7 | 15,5 | 20,8 | 16,1 | 15,6 | 10,4 | 9,8 |
| 4 | 7,1 | 10,1 | 15,4 | 20 | 16 | 15,6 | 10,4 | 9,8 |
| 8 | 6,6 | 9,6 | 14,7 | 16,7 | 15,9 | 15,7 | 10,5 | 10 |
| 12 | 5,2 | 9,2 | 13,7 | 15 | 15,8 | 15,6 | 10,6 | 10,6 |
| 16 | 4,9 | 8,7 | 13 | 14,4 | 15,6 | 15,2 | 10,8 | 10,8 |
| 20 | 4,9 | 8,6 | 12,4 | 14 | 14,9 | 14,8 | 10,9 | 10,8 |
| 24 | 4,9 | 8,8 | 12,3 | 13,6 | 14,3 | 14,8 | 12,1 | 10,8 |

Salinitet, PSU

| Djup, m | 0428 | 0527 | 0623 | 0728 | 0826 | 0922 | 1022 | 1110 |
|---------|------|------|------|------|------|------|------|------|
| 0 | 3,4 | 4,12 | 4,1 | 4,17 | 3,94 | 3,38 | 3,17 | 2,77 |
| 4 | 3,43 | 4,14 | 4,19 | 4,15 | 3,96 | 3,4 | 3,26 | 2,8 |
| 8 | 3,51 | 4,15 | 4,32 | 4,4 | 3,97 | 3,44 | 3,38 | 3,31 |
| 12 | 3,71 | 4,18 | 4,36 | 4,4 | 4,06 | 3,97 | 3,54 | 3,66 |
| 16 | 3,76 | 4,24 | 4,41 | 4,46 | 4,21 | 4,21 | 3,55 | 3,81 |
| 20 | 3,77 | 4,27 | 4,4 | 4,5 | 4,31 | 4,24 | 3,59 | 3,84 |
| 24 | 3,79 | 4,3 | 4,39 | 4,52 | 4,35 | 4,24 | 4,04 | 3,85 |

Syre, mg/l

| Djup, m | 0428 | 0527 | 0623 | 0728 | 0826 | 0922 | 1022 | 1110 |
|---------|------|------|------|------|------|------|------|------|
| 0 | 13,8 | 10,7 | 9,7 | 8,6 | 7,9 | 8,5 | 9,8 | 9,1 |
| 4 | 13,4 | 10,5 | 9,4 | 8,4 | 7,9 | 8,7 | 9,7 | 9 |
| 8 | 13,4 | 10,4 | 8,2 | 6,2 | 7,7 | 8,3 | 9,5 | 7,9 |
| 12 | 11,5 | 9,3 | 7,3 | 3,8 | 6,3 | 5,4 | 9 | 7 |
| 16 | 11,2 | 9 | 7 | 4,4 | 4,9 | 4,4 | 8,5 | 6,3 |
| 20 | 11 | 8,5 | 6,5 | 4,1 | 1,7 | 3,6 | 8,2 | 6 |
| 24 | 11 | 8,4 | 5,9 | 2,9 | <0,2 | 2,8 | 4,1 | 6,3 |

Syrgasmättnad, %

| Djup, m | 0428 | 0527 | 0623 | 0728 | 0826 | 0922 | 1022 | 1110 |
|---------|------|------|------|------|------|------|------|------|
| 0 | 120 | 99 | 100 | 99 | 82 | 87 | 90 | 82 |
| 4 | 110 | 96 | 97 | 95 | 82 | 89 | 89 | 81 |
| 8 | 110 | 94 | 83 | 65 | 80 | 85 | 87 | 72 |
| 12 | 93 | 83 | 72 | 39 | 65 | 56 | 83 | 64 |
| 16 | 90 | 80 | 68 | 44 | 51 | 45 | 79 | 58 |
| 20 | 88 | 75 | 63 | 41 | 17 | 37 | 76 | 56 |
| 24 | 88 | 74 | 57 | 29 | <3,1 | 28 | 39 | 58 |

Fosfatfosfor, µg/L

| Djup, m | 0428 | 0527 | 0623 | 0728 | 0826 | 0922 | 1022 | 1110 |
|---------|------|------|------|------|------|------|------|------|
| 0 | <1,0 | <1,0 | <1,0 | <1,0 | 3 | 7,9 | 6,3 | 24 |
| 4 | <1,0 | <1,0 | <1,0 | 1,7 | 4,6 | 9,1 | 6,2 | 24 |
| 8 | <1,0 | <1,0 | 1,3 | 8,1 | 7 | 8,7 | 7,2 | 25 |
| 12 | <1,0 | <1,0 | 6,1 | 21 | 17 | 36 | 9,5 | 29 |
| 16 | <1,0 | 6,9 | 22 | 35 | 37 | 57 | 13 | 34 |
| 20 | <1,0 | 8,8 | 34 | 63 | 82 | 74 | 18 | 39 |
| 24 | <1,0 | 17 | 44 | 120 | 200 | 94 | 88 | 34 |

Totalfosfor, µg/L

| Djup, m | 0428 | 0527 | 0623 | 0728 | 0826 | 0922 | 1022 | 1110 |
|---------|------|------|------|------|------|------|------|------|
| 0 | 16 | 19 | 19 | 19 | 24 | 25 | 29 | 34 |
| 4 | 21 | 19 | 24 | 20 | 25 | 29 | 28 | 35 |
| 8 | 17 | 22 | 26 | 21 | 24 | 32 | 29 | 36 |
| 12 | 22 | 25 | 24 | 34 | 32 | 67 | 31 | 38 |
| 16 | 22 | 28 | 40 | 46 | 48 | 67 | 32 | 43 |
| 20 | 19 | 30 | 53 | 69 | 98 | 85 | 36 | 50 |
| 24 | 24 | 41 | 60 | 130 | 220 | 110 | 90 | 44 |

Ammoniumkväve, µg/L

| Djup, m | 0428 | 0527 | 0623 | 0728 | 0826 | 0922 | 1022 | 1110 |
|---------|------|------|------|------|------|------|------|------|
| 0 | <3,0 | 5,2 | 12 | 8,1 | 18 | 33 | 14 | 55 |
| 4 | <3,0 | 6,7 | 16 | 17 | 21 | 36 | 16 | 56 |
| 8 | 3,4 | 7,7 | 18 | 32 | 24 | 35 | 21 | 84 |
| 12 | 6,8 | 11 | 56 | 79 | 36 | 94 | 29 | 68 |
| 16 | 13 | 41 | 99 | 140 | 38 | 110 | 35 | 83 |
| 20 | 17 | 58 | 150 | 220 | 33 | 140 | 54 | 110 |
| 24 | 13 | 82 | 170 | 400 | 120 | 170 | 150 | 96 |

Nitrit+nitratkväve, µg/L

| Djup, m | 0428 | 0527 | 0623 | 0728 | 0826 | 0922 | 1022 | 1110 |
|---------|------|------|------|------|------|------|------|------|
| 0 | <1,0 | 1,5 | 2,1 | 3,3 | 6,9 | 52 | 69 | 170 |
| 4 | <1,0 | 1,3 | 1,9 | 4 | 11 | 51 | 62 | 170 |
| 8 | <1,0 | 1,7 | 1,9 | 8,7 | 17 | 46 | 57 | 120 |
| 12 | 32 | 2,4 | 4,3 | 7,8 | 51 | 47 | 52 | 140 |
| 16 | 67 | 4,2 | 7,9 | 19 | 100 | 65 | 55 | 130 |
| 20 | 70 | 4,8 | 9,1 | 25 | 220 | 76 | 59 | 130 |
| 24 | 65 | 4,4 | 9,5 | 23 | 95 | 84 | 120 | 140 |

Totalkväve, µg/L

| Djup, m | 0428 | 0527 | 0623 | 0728 | 0826 | 0922 | 1022 | 1110 |
|---------|------|------|------|------|------|------|------|------|
| 0 | 490 | 340 | 390 | 440 | 420 | 510 | 550 | 640 |
| 4 | 480 | 350 | 420 | 450 | 470 | 510 | 550 | 610 |
| 8 | 490 | 360 | 390 | 390 | 430 | 510 | 530 | 570 |
| 12 | 550 | 350 | 400 | 430 | 440 | 510 | 520 | 570 |
| 16 | 510 | 360 | 440 | 490 | 470 | 590 | 510 | 570 |
| 20 | 530 | 380 | 500 | 590 | 590 | 600 | 590 | 620 |
| 24 | 510 | 420 | 510 | 710 | 580 | 620 | 650 | 580 |

Kisel, µg/L

| Djup, m | 0428 | 0527 | 0623 | 0728 | 0826 | 0922 | 1022 | 1110 |
|---------|------|------|------|------|------|------|------|------|
| 0 | 240 | 160 | 110 | 280 | 330 | 200 | 560 | 730 |
| 4 | 250 | 140 | 120 | 300 | 350 | 200 | 550 | 720 |
| 8 | 340 | 190 | 190 | 510 | 370 | 200 | 550 | 760 |

Escherichia coli, MPN/100 ml

| Djup, m | 0428 | 0527 | 0623 | 0728 | 0826 | 0922 | 1022 | 1110 |
|---------|------|------|------|------|------|------|------|------|
| 0 | <10 | 10 | 30 | <10 | <10 | 31 | <10 | <10 |

Koliforma bakterier 35°C, MPN/100 ml

| Djup, m | 0428 | 0527 | 0623 | 0728 | 0826 | 0922 | 1022 | 1110 |
|---------|------|------|------|------|------|------|------|------|
| 0 | 10 | 41 | 190 | 9800 | 540 | 170 | 160 | 98 |

Torsbyholmen**Vattentemperatur, °C**

| Djup, m | 0429 | 0528 | 0625 | 0731 | 0825 | 0923 | 1021 | 1113 |
|---------|------|------|------|------|------|------|------|------|
| 0 | 7,9 | 11,3 | 14,5 | 18,8 | 16,1 | 15,1 | 10,3 | 9,6 |
| 4 | 7,4 | 10 | 14,2 | 18,6 | 16 | 15,1 | 10,3 | 9,5 |
| 8 | 7,4 | 9,3 | 14,2 | 17,8 | 16 | 14,9 | 11,1 | 9,7 |
| 12 | 7,1 | 8,4 | 14 | 16,6 | 15,9 | 14,7 | 11,4 | 10,7 |
| 16 | 5,4 | 6,9 | 8,8 | 12,8 | 15 | 14 | 11,8 | 10,9 |
| 20 | 2,9 | 5,8 | 7,1 | 10,2 | 11,6 | 12,4 | 11,2 | 10,1 |
| 24 | 2,9 | 4,5 | 6,7 | 9,9 | 10,3 | 11,6 | 11 | 10,1 |

Salinitet, PSU

| Djup, m | 0429 | 0528 | 0625 | 0731 | 0825 | 0923 | 1021 | 1113 |
|---------|------|------|------|------|------|------|------|------|
| 0 | 3,46 | 4,11 | 4,04 | 3,93 | 3,75 | 3,13 | 3,16 | 2,35 |
| 4 | 3,49 | 4,27 | 4,06 | 4,14 | 3,77 | 3,16 | 3,13 | 2,48 |
| 8 | 3,52 | 4,42 | 4,07 | 4,3 | 3,75 | 3,15 | 3,95 | 2,85 |
| 12 | 3,52 | 4,47 | 4,13 | 4,42 | 3,77 | 3,18 | 4,59 | 4,24 |
| 16 | 3,8 | 4,57 | 4,79 | 4,8 | 4,17 | 4,59 | 5,06 | 5,16 |
| 20 | 4,81 | 5,01 | 4,97 | 5,08 | 5 | 5,06 | 5,19 | 5,53 |
| 24 | 4,98 | 5,08 | 5,08 | 5,17 | 5,14 | 5,12 | 5,1 | 5,54 |

Syre, mg/l

| Djup, m | 0429 | 0528 | 0625 | 0731 | 0825 | 0923 | 1021 | 1113 |
|---------|------|------|------|------|------|------|------|------|
| 0 | 13,9 | 11,2 | 10,1 | 8,9 | 8,8 | 9,1 | 10,2 | 9,3 |
| 4 | 13,6 | 11 | 10 | 8,7 | 8,8 | 8,9 | 10 | 9,2 |
| 8 | 13,2 | 10,7 | 9,9 | 8,5 | 8,6 | 8,7 | 8,3 | 8,6 |
| 12 | 13,6 | 10,4 | 9,8 | 7,8 | 8,6 | 8,5 | 7,3 | 6,8 |
| 16 | 11,7 | 9,4 | 8 | 9,2 | 7,2 | 5,7 | 6 | 6,3 |
| 20 | 9,7 | 9,4 | 7,4 | 6,8 | 5,1 | 4,8 | 4,6 | 5,8 |
| 24 | 9,8 | 8,6 | 7,4 | 6,4 | 4,7 | 4,2 | 3,5 | 5,7 |

Syrgasmättnad, %

| Djup, m | 0429 | 0528 | 0625 | 0731 | 0825 | 0923 | 1021 | 1113 |
|---------|------|------|------|------|------|------|------|------|
| 0 | 120 | 110 | 100 | 98 | 92 | 92 | 93 | 83 |
| 4 | 120 | 100 | 100 | 96 | 91 | 90 | 91 | 82 |
| 8 | 110 | 96 | 99 | 92 | 89 | 88 | 77 | 77 |
| 12 | 120 | 91 | 98 | 82 | 89 | 86 | 69 | 63 |
| 16 | 95 | 80 | 71 | 89 | 73 | 57 | 57 | 59 |
| 20 | 74 | 78 | 63 | 63 | 48 | 46 | 43 | 53 |
| 24 | 74 | 69 | 63 | 58 | 43 | 40 | 33 | 53 |

Fosfatfosfor, µg/L

| Djup, m | 0429 | 0528 | 0625 | 0731 | 0825 | 0923 | 1021 | 1113 |
|---------|------|------|------|------|------|------|------|------|
| 0 | <1,0 | <1,0 | <1,0 | <1,0 | 3,9 | 5 | 1,8 | 24 |
| 4 | <1,0 | <1,0 | <1,0 | 10 | 2,6 | 4,7 | 2,6 | 24 |
| 8 | <1,0 | <1,0 | <1,0 | 6 | 2 | 6,2 | 15 | 24 |
| 12 | <1,0 | <1,0 | <1,0 | 6,9 | 2,4 | 6,7 | 21 | 27 |
| 16 | <1,0 | 1,1 | 5,8 | 17 | 8,7 | 20 | 29 | 37 |
| 20 | 1,9 | 3,5 | 22 | 25 | 31 | 33 | 46 | 43 |
| 24 | 12 | 7,3 | 28 | 30 | 42 | 44 | 57 | 42 |

Totalfosfor, µg/L

| Djup, m | 0429 | 0528 | 0625 | 0731 | 0825 | 0923 | 1021 | 1113 |
|---------|------|------|------|------|------|------|------|------|
| 0 | 15 | 13 | 15 | 18 | 21 | 23 | 30 | 36 |
| 4 | 14 | 16 | 15 | 22 | 24 | 24 | 31 | 35 |
| 8 | 14 | 15 | 15 | 18 | 23 | 24 | 28 | 34 |
| 12 | 16 | 15 | 14 | 18 | 22 | 23 | 31 | 35 |
| 16 | 17 | 15 | 16 | 24 | 19 | 30 | 37 | 44 |
| 20 | 12 | 12 | 31 | 31 | 37 | 42 | 52 | 52 |
| 24 | 23 | 16 | 36 | 37 | 51 | 52 | 68 | 53 |

Ammoniumkväve, µg/L

| Djup, m | 0429 | 0528 | 0625 | 0731 | 0825 | 0923 | 1021 | 1113 |
|---------|------|------|------|------|------|------|------|------|
| 0 | 4,7 | 3,6 | 3,2 | 16 | 20 | 18 | 4,6 | 43 |
| 4 | 4 | 3,8 | 3,6 | 70 | 22 | 19 | 5 | 43 |
| 8 | 3,6 | 4,3 | 3,3 | 27 | 20 | 21 | 16 | 41 |
| 12 | 3,8 | 5,8 | <3,0 | 31 | 16 | 22 | 14 | 37 |
| 16 | 4,6 | 11 | 14 | 59 | 27 | 51 | 3,7 | 3,5 |
| 20 | 3,7 | 12 | 66 | 69 | 98 | 23 | <3,0 | 3,5 |
| 24 | 3,6 | 22 | 64 | 79 | 76 | 17 | 6,6 | 3,2 |

Nitrit+nitratkväve, µg/L

| Djup, m | 0429 | 0528 | 0625 | 0731 | 0825 | 0923 | 1021 | 1113 |
|---------|------|------|------|------|------|------|------|------|
| 0 | <1,0 | 1,3 | <1,0 | 4,7 | 1,5 | 61 | 36 | 200 |
| 4 | <1,0 | 1,5 | <1,0 | 4,7 | 1,8 | 60 | 40 | 190 |
| 8 | <1,0 | 1,6 | <1,0 | 3,1 | 1,9 | 69 | 66 | 180 |
| 12 | <1,0 | 1,8 | <1,0 | 6,1 | 2 | 73 | 70 | 120 |
| 16 | <1,0 | 4,9 | 11 | 15 | 13 | 54 | 94 | 130 |
| 20 | 110 | 14 | 29 | 29 | 54 | 90 | 120 | 100 |
| 24 | 110 | 34 | 34 | 36 | 69 | 110 | 130 | 100 |

Totalkväve, µg/L

| Djup, m | 0429 | 0528 | 0625 | 0731 | 0825 | 0923 | 1021 | 1113 |
|---------|------|------|------|------|------|------|------|------|
| 0 | 500 | 370 | 380 | 420 | 430 | 500 | 560 | 640 |
| 4 | 440 | 310 | 370 | 410 | 440 | 500 | 550 | 630 |
| 8 | 470 | 320 | 390 | 400 | 440 | 510 | 450 | 580 |
| 12 | 450 | 370 | 370 | 370 | 440 | 510 | 400 | 470 |
| 16 | 420 | 340 | 310 | 370 | 390 | 430 | 380 | 390 |
| 20 | 420 | 310 | 390 | 370 | 420 | 390 | 390 | 360 |
| 24 | 400 | 330 | 360 | 380 | 430 | 400 | 420 | 360 |

Kisel, µg/L

| Djup, m | 0429 | 0528 | 0625 | 0731 | 0825 | 0923 | 1021 | 1113 |
|---------|------|------|------|------|------|------|------|------|
| 0 | 260 | 32 | 110 | 200 | 210 | 210 | 530 | 780 |
| 4 | 220 | 140 | 110 | 260 | 210 | 210 | 540 | 770 |
| 8 | 210 | 170 | 110 | 310 | 220 | 230 | 610 | 760 |

Escherichia coli, MPN/100 ml

| Djup, m | 0429 | 0528 | 0625 | 0731 | 0825 | 0923 | 1021 | 1113 |
|---------|------|------|------|------|------|------|------|------|
| 0 | <10 | <10 | <10 | <10 | <10 | <10 | 120 | <10 |

Koliforma bakterier 35°C, MPN/100 ml

| Djup, m | 0429 | 0528 | 0625 | 0731 | 0825 | 0923 | 1021 | 1113 |
|---------|------|------|------|--------|------|------|------|------|
| 0 | <10 | <10 | <10 | >24000 | 1300 | 63 | 680 | 120 |

Ikorn**Vattentemperatur, °C**

| Djup, m | 0429 | 0528 | 0625 | 0731 | 0825 | 0923 | 1021 |
|---------|------|------|------|------|------|------|------|
| 0 | 6,7 | 10 | 13,5 | 21,6 | 15,1 | 15,2 | 10,4 |
| 4 | 6,6 | 9,8 | 13,4 | 21,4 | 15 | 15,3 | 10,4 |
| 8 | 5,8 | 9,7 | 13 | 19,4 | 14,4 | 15 | 10,4 |
| 12 | 4 | 9,5 | 10 | 17,8 | 13,6 | 13,8 | 10,4 |
| 16 | 3,3 | 7,9 | 8,1 | 14,3 | 11,8 | 13,1 | 10,5 |
| 20 | 3 | 6,6 | 7,2 | 11,7 | 10,1 | 12,5 | 10,8 |
| 30 | 2,7 | 4,8 | 6,5 | 7,4 | 7,5 | 9 | 9,9 |
| 40 | 2,7 | 4 | 5,2 | 6,7 | 6,3 | 7,5 | 8,5 |
| 45 | 2,9 | 3,9 | 4,9 | 6,2 | 6,3 | 6,7 | 7,8 |

Salinitet, PSU

| Djup, m | 0429 | 0528 | 0625 | 0731 | 0825 | 0923 | 1021 |
|---------|------|------|------|------|------|------|------|
| 0 | 4,3 | 4,86 | 4,84 | 5,14 | 5,03 | 4,7 | 4,57 |
| 4 | 4,3 | 4,81 | 4,85 | 5,2 | 5,03 | 4,68 | 4,57 |
| 8 | 4,48 | 4,92 | 4,87 | 5,23 | 5,21 | 4,8 | 4,56 |
| 12 | 4,92 | 4,9 | 5,14 | 5,26 | 5,39 | 5,29 | 4,71 |
| 16 | 5,02 | 5,09 | 5,22 | 5,37 | 5,39 | 5,31 | 4,71 |
| 20 | 5,09 | 5,2 | 5,24 | 5,39 | 5,42 | 5,34 | 5 |
| 30 | 5,15 | 5,49 | 5,32 | 5,48 | 5,45 | 5,41 | 5,37 |
| 40 | 5,27 | 5,56 | 5,33 | 5,53 | 5,5 | 5,42 | 5,35 |
| 45 | 5,25 | 5,53 | 5,33 | 5,55 | 5,51 | 5,44 | 5,43 |

Syre, mg/l

| Djup, m | 0429 | 0528 | 0625 | 0731 | 0825 | 0923 | 1021 |
|---------|------|------|------|------|------|------|------|
| 0 | 13,1 | 11,4 | 10,1 | 8,5 | 8 | 8,8 | 9,3 |
| 4 | 13,1 | 11,4 | 9,8 | 8 | 8,1 | 8,9 | 8,9 |
| 8 | 12,6 | 11,5 | 9,7 | 8,1 | 7 | 8,3 | 9,3 |
| 12 | 11,4 | 11,6 | 9,2 | 7,9 | 6,3 | 6,6 | 9,3 |
| 16 | 11 | 10,8 | 9 | 7,2 | 6,1 | 6,3 | 8,8 |
| 20 | 11,3 | 10,5 | 8,9 | 7,1 | 6,5 | 6,1 | 7,8 |
| 30 | 10,9 | 10,4 | 9,5 | 7,3 | 6,5 | 6,1 | 5,8 |
| 40 | 9,3 | 9,5 | 8,6 | 7 | 6,4 | 5,4 | 5,4 |
| 45 | 8,8 | 9,3 | 8,2 | 6,9 | 5,8 | 4,6 | 4,9 |

Syrgasmättnad, %

| Djup, m | 0429 | 0528 | 0625 | 0731 | 0825 | 0923 | 1021 |
|---------|------|------|------|------|------|------|------|
| 0 | 110 | 100 | 100 | 100 | 82 | 90 | 86 |
| 4 | 110 | 100 | 97 | 94 | 83 | 92 | 82 |
| 8 | 100 | 100 | 95 | 90 | 71 | 85 | 86 |
| 12 | 90 | 100 | 84 | 86 | 63 | 66 | 86 |
| 16 | 85 | 94 | 79 | 73 | 58 | 62 | 81 |
| 20 | 87 | 89 | 76 | 68 | 60 | 59 | 73 |
| 30 | 83 | 84 | 80 | 63 | 56 | 55 | 53 |
| 40 | 71 | 75 | 70 | 60 | 54 | 47 | 48 |
| 45 | 68 | 74 | 66 | 58 | 49 | 39 | 43 |

Fosfatfosfor, µg/L

| Djup, m | 0429 | 0528 | 0625 | 0731 | 0825 | 0923 | 1021 |
|---------|------|------|------|------|------|------|------|
| 0 | <1,0 | <1,0 | 1,6 | 1,8 | 7,3 | 4,4 | 10 |
| 4 | 1,5 | <1,0 | 1,9 | 2,8 | 7,9 | 4,6 | 10 |
| 8 | <1,0 | <1,0 | 2,9 | 3,2 | 12 | 7,8 | 10 |
| 12 | 1,9 | <1,0 | 10 | 4,3 | 15 | 20 | 11 |
| 16 | 2,4 | 4,9 | 15 | 12 | 20 | 22 | 13 |
| 20 | 2,5 | 7,5 | 16 | 18 | 23 | 25 | 20 |
| 30 | 14 | 14 | 17 | 29 | 33 | 34 | 35 |
| 40 | 32 | 26 | 29 | 39 | 34 | 49 | 44 |
| 45 | 38 | 28 | 36 | 53 | 52 | 77 | 59 |

Totalfosfor, µg/L

| Djup, m | 0429 | 0528 | 0625 | 0731 | 0825 | 0923 | 1021 |
|---------|------|------|------|------|------|------|------|
| 0 | 11 | 11 | 15 | 19 | 21 | 19 | 22 |
| 4 | 13 | 12 | 13 | 18 | 22 | 16 | 24 |
| 8 | 11 | 11 | 13 | 18 | 21 | 18 | 23 |
| 12 | 12 | 11 | 20 | 14 | 23 | 27 | 24 |
| 16 | 10 | 13 | 23 | 19 | 26 | 27 | 24 |
| 20 | 12 | 15 | 29 | 24 | 29 | 31 | 29 |
| 30 | 22 | 20 | 24 | 38 | 40 | 40 | 42 |
| 40 | 39 | 33 | 37 | 50 | 48 | 56 | 52 |
| 45 | 52 | 36 | 51 | 67 | 80 | 97 | 70 |

Ammoniumkväve, µg/L

| Djup, m | 0429 | 0528 | 0625 | 0731 | 0825 | 0923 | 1021 |
|---------|------|------|------|------|------|------|------|
| 0 | <3,0 | 3 | <3,0 | 17 | 14 | 6,3 | 4,1 |
| 4 | 3,8 | <3,0 | <3,0 | 33 | 14 | 6,7 | 5 |
| 8 | <3,0 | 3,7 | 4,2 | 31 | 14 | 8 | 4,6 |
| 12 | 3,3 | 3,5 | 5,1 | 25 | 10 | 23 | 4,2 |
| 16 | 3,1 | 5,4 | 5,5 | 24 | 9,8 | 13 | 5,1 |
| 20 | 3,1 | 5,7 | 9,8 | 18 | 9,9 | 17 | 9,1 |
| 30 | 4,4 | 8,3 | 20 | 6,5 | 7,2 | 3,4 | <3,0 |
| 40 | 5,6 | 11 | 21 | 6,4 | 10 | 3,7 | 3,6 |
| 45 | 5,8 | 13 | 22 | 10 | 9 | 5,5 | 3,7 |

Nitrit+nitratkväve, µg/L

| Djup, m | 0429 | 0528 | 0625 | 0731 | 0825 | 0923 | 1021 |
|---------|------|------|------|------|------|------|------|
| 0 | <1,0 | 1,6 | <1,0 | 2,2 | 1,3 | 1,3 | 19 |
| 4 | <1,0 | 1,2 | <1,0 | 2,5 | 2,2 | 1,2 | 20 |
| 8 | <1,0 | 1,5 | <1,0 | 2 | 6,5 | 8,1 | 20 |
| 12 | <1,0 | 1,5 | 1,9 | 2,7 | 13 | 40 | 21 |
| 16 | <1,0 | 2,8 | 9 | 5,8 | 38 | 46 | 24 |
| 20 | 1 | 4,2 | 12 | 11 | 54 | 57 | 47 |
| 30 | 55 | 17 | 23 | 50 | 65 | 71 | 84 |
| 40 | 110 | 55 | 52 | 69 | 76 | 88 | 92 |
| 45 | 120 | 62 | 61 | 84 | 100 | 110 | 100 |

Totalkväve, µg/L

| Djup, m | 0429 | 0528 | 0625 | 0731 | 0825 | 0923 | 1021 |
|---------|------|------|------|------|------|------|------|
| 0 | 380 | 280 | 340 | 350 | 370 | 340 | 370 |
| 4 | 430 | 330 | 300 | 410 | 340 | 330 | 380 |
| 8 | 370 | 290 | 280 | 360 | 340 | 320 | 360 |
| 12 | 320 | 280 | 270 | 310 | 290 | 330 | 360 |
| 16 | 310 | 270 | 260 | 290 | 300 | 320 | 350 |
| 20 | 300 | 260 | 280 | 290 | 370 | 340 | 370 |
| 30 | 330 | 250 | 280 | 310 | 350 | 320 | 340 |
| 40 | 390 | 330 | 310 | 330 | 390 | 340 | 360 |
| 45 | 400 | 320 | 330 | 370 | 430 | 400 | 400 |

Kisel, µg/L

| Djup, m | 0429 | 0528 | 0625 | 0731 | 0825 | 0923 | 1021 |
|---------|------|------|------|------|------|------|------|
| 0 | 340 | 340 | 320 | 380 | 470 | 280 | 520 |
| 4 | 330 | 350 | 320 | 390 | 470 | 270 | 530 |
| 8 | 380 | 350 | 350 | 400 | 550 | 360 | 530 |

Djurö**Vattentemperatur, °C**

| Djup, m | 0219 | 0312 | 0415 | 0513 | 0611 | 0716 | 0812 | 0909 | 1007 | 1113 |
|---------|------|------|------|------|------|------|------|------|------|------|
| 0 | 0,1 | 2 | 5,5 | 9,5 | 12,7 | 18,4 | 18,3 | 17,4 | 13 | 9,6 |
| 4 | 0,4 | 2 | 4,8 | 6,8 | 10,4 | 17,6 | 17,5 | 17,2 | 12,9 | 9,7 |
| 8 | 0,8 | 2,1 | 4,2 | 6,2 | 9,5 | 16,4 | 15,2 | 16,9 | 12,9 | 9,6 |
| 12 | 1,3 | 2,1 | 3,9 | 5,9 | 9,3 | 15,2 | 13,2 | 15,6 | 12,7 | 9,6 |
| 16 | 1,3 | 2 | 3,6 | 5,8 | 8,4 | 15 | 12,9 | 14,9 | 12,6 | 9,6 |
| 20 | 1,4 | 2 | 3,6 | 5,3 | 7,7 | 14,5 | 10,4 | 14,6 | 12,3 | 9,6 |
| 30 | 1,7 | 1,8 | 3,3 | 4,9 | 6,8 | 9,5 | 9 | 10,7 | 10,8 | 9,7 |
| 35 | 1,8 | 2 | 3,2 | 4,8 | 6,7 | 8,2 | 8,2 | 9,5 | 9,9 | 9,6 |

Salinitet, PSU

| Djup, m | 0219 | 0312 | 0415 | 0513 | 0611 | 0716 | 0812 | 0909 | 1007 | 1113 |
|---------|------|------|------|------|------|------|------|------|------|------|
| 0 | 3,99 | 4,97 | 4,92 | 5,12 | 5,29 | 5,15 | 5,3 | 5,19 | 5,43 | 5,57 |
| 4 | 4,91 | 5,51 | 5,23 | 5,46 | 5,51 | 5,2 | 5,41 | 5,21 | 5,49 | 5,77 |
| 8 | 5,37 | 5,01 | 5,34 | 5,51 | 5,58 | 5,42 | 5,56 | 5,26 | 5,11 | 5,98 |
| 12 | 5,72 | 5,09 | 5,39 | 5,52 | 5,6 | 5,52 | 5,67 | 5,47 | 5,09 | 5,96 |
| 16 | 5,75 | 5,44 | 5,43 | 5,58 | 5,61 | 5,55 | 5,8 | 5,51 | 5,13 | 6,01 |
| 20 | 5,84 | 5,45 | 5,44 | 5,58 | 5,63 | 5,55 | 5,94 | 5,52 | 5,13 | 6,03 |
| 30 | 5,95 | 5,82 | 5,52 | 5,73 | 5,82 | 5,86 | 6,11 | 5,85 | 6,06 | 6,09 |
| 35 | 5,96 | 5,96 | 5,66 | 5,81 | 5,94 | 5,97 | 6,25 | 5,99 | 5,74 | 6,2 |

Syre, mg/l

| Djup, m | 0219 | 0312 | 0415 | 0513 | 0611 | 0716 | 0812 | 0909 | 1007 | 1113 |
|---------|------|------|------|------|------|------|------|------|------|------|
| 0 | 12,8 | 12,5 | 12,6 | 11,4 | 10,7 | 11,9 | 11,1 | 9,7 | 8,4 | 9,7 |
| 4 | 12,2 | 12,7 | 12,4 | 12 | 11,2 | 11,7 | 8,8 | 10 | 8,1 | 9,3 |
| 8 | 11,8 | 12,8 | 11,8 | 11,3 | 11,1 | 10,3 | 8,2 | 9,6 | 8 | 9 |
| 12 | 11,9 | 12,8 | 11,9 | 11,2 | 10,8 | 9,1 | 7,9 | 8,3 | 8,1 | 9 |
| 16 | 11,2 | 12,8 | 11,5 | 11,1 | 10,9 | 8,2 | 7,9 | 7,8 | 7,8 | 8,8 |
| 20 | 11,5 | 12,5 | 11,6 | 10,7 | 10,5 | 8,8 | 7,5 | 8 | 8,1 | 8,7 |
| 30 | 11,2 | 11,7 | 11,1 | 10,4 | 10,3 | 8,5 | 7,5 | 6,5 | 6,9 | 8,4 |
| 35 | 11,1 | 11,3 | 10,7 | 10,4 | 10,4 | 8,2 | 7,2 | 6,5 | 6,3 | 7,9 |

Syrgasmättnad, %

| Djup, m | 0219 | 0312 | 0415 | 0513 | 0611 | 0716 | 0812 | 0909 | 1007 | 1113 |
|---------|------|------|------|------|------|------|------|------|------|------|
| 0 | 90 | 94 | 100 | 100 | 100 | 130 | | 100 | 83 | 88 |
| 4 | 87 | 95 | 100 | 100 | 100 | 130 | 95 | 110 | 80 | 85 |
| 8 | 86 | 96 | 94 | 95 | 100 | 110 | 85 | 100 | 78 | 82 |
| 12 | 88 | 96 | 94 | 93 | 98 | 94 | 78 | 86 | 79 | 82 |
| 16 | 83 | 96 | 90 | 92 | 97 | 84 | 78 | 80 | 76 | 80 |
| 20 | 85 | 94 | 91 | 88 | 91 | 89 | 70 | 82 | 78 | 79 |
| 30 | 84 | 88 | 86 | 85 | 88 | 77 | 68 | 61 | 65 | 77 |
| 35 | 83 | 85 | 83 | 84 | 89 | 73 | 64 | 59 | 58 | 72 |

Fosfatfosfor, µg/L

| Djup, m | 0219 | 0312 | 0415 | 0513 | 0611 | 0716 | 0812 | 0909 | 1007 | 1113 |
|---------|------|------|------|------|------|------|------|------|------|------|
| 0 | 20 | 14 | 1,1 | <1,0 | 2,9 | <1,0 | 1,1 | 1,5 | 12 | 18 |
| 4 | 19 | 15 | 3,2 | 3,4 | 5,1 | <1,0 | 2 | 2,9 | 12 | 21 |
| 8 | 21 | 15 | 5,4 | 4,7 | 7,2 | 1,3 | 6,6 | 3,2 | 13 | 23 |
| 12 | 23 | 14 | 6,5 | 6,8 | 7,5 | 1,7 | 12 | 6,3 | 13 | 24 |
| 16 | 23 | 13 | 8,7 | 7,5 | 8,8 | 2,7 | 16 | 8,9 | 14 | 24 |
| 20 | 24 | 13 | 10 | 8,6 | 11 | 4,4 | 20 | 10 | 16 | 24 |
| 30 | 25 | 23 | 13 | 13 | 14 | 16 | 27 | 24 | 26 | 25 |
| 35 | 26 | 24 | 19 | 16 | 17 | 21 | 32 | 28 | 31 | 29 |

Totalfosfor, µg/L

| Djup, m | 0219 | 0312 | 0415 | 0513 | 0611 | 0716 | 0812 | 0909 | 1007 | 1113 |
|---------|------|------|------|------|------|------|------|------|------|------|
| 0 | 31 | 25 | 15 | 10 | 13 | 27 | 22 | 20 | 25 | 27 |
| 4 | 25 | 25 | 16 | 15 | 16 | 16 | 20 | 18 | 22 | 28 |
| 8 | 25 | 25 | 19 | 14 | 19 | 16 | 18 | 18 | 21 | 30 |
| 12 | 25 | 24 | 21 | 14 | 18 | 13 | 20 | 18 | 24 | 30 |
| 16 | 27 | 22 | 22 | 17 | 18 | 13 | 24 | 18 | 21 | 31 |
| 20 | 27 | 23 | 21 | 16 | 19 | 13 | 26 | 18 | 22 | 30 |
| 30 | 28 | 28 | 22 | 20 | 21 | 25 | 32 | 29 | 36 | 31 |
| 35 | 29 | 30 | 27 | 21 | 25 | 28 | 37 | 34 | 36 | 34 |

Ammoniumkväve, µg/L

| Djup, m | 0219 | 0312 | 0415 | 0513 | 0611 | 0716 | 0812 | 0909 | 1007 | 1113 |
|---------|------|------|------|------|------|------|------|------|------|------|
| 0 | <3,0 | 3 | <3,0 | 3,8 | <3,0 | <3,0 | 3,5 | <3,0 | <3,0 | 6,3 |
| 4 | <3,0 | 3,1 | <3,0 | <3,0 | 5,8 | <3,0 | 4,8 | <3,0 | <3,0 | 6,3 |
| 8 | <3,0 | 3,3 | <3,0 | <3,0 | 11 | 4 | 6,7 | <3,0 | 3,9 | 6,3 |
| 12 | <3,0 | 3,4 | <3,0 | <3,0 | 4,8 | 5,6 | 8 | 3 | 6,7 | 5,9 |
| 16 | 3,3 | 3,1 | <3,0 | 4,1 | 4,7 | 5,4 | 6,3 | <3,0 | 8,7 | 5,1 |
| 20 | 4 | 3 | <3,0 | 5,1 | 11 | 5,7 | 8 | <3,0 | 6,9 | 5,2 |
| 30 | 3,9 | <3,0 | <3,0 | 6,3 | 13 | 5,4 | 5 | <3,0 | 3,9 | 4 |
| 35 | 3,9 | 3,2 | <3,0 | 6,1 | 7,2 | 3,5 | 4,3 | <3,0 | <3,0 | <3,0 |

Nitrit+nitratkväve, µg/L

| Djup, m | 0219 | 0312 | 0415 | 0513 | 0611 | 0716 | 0812 | 0909 | 1007 | 1113 |
|---------|------|------|------|------|------|------|------|------|------|------|
| 0 | 200 | 95 | <1,0 | 1,6 | <1,0 | 1,5 | 1,5 | 1,5 | 11 | 39 |
| 4 | 120 | 95 | <1,0 | 1,6 | <1,0 | <1,0 | 1,4 | 1,2 | 12 | 43 |
| 8 | 99 | 93 | <1,0 | 1,7 | <1,0 | <1,0 | 2 | 1,5 | 14 | 47 |
| 12 | 84 | 86 | 1,7 | 2 | <1,0 | 1,1 | 7,3 | 1,3 | 14 | 48 |
| 16 | 81 | 54 | 5,5 | 2,4 | 1,4 | <1,0 | 19 | 1,7 | 15 | 50 |
| 20 | 79 | 49 | 8,9 | 3,3 | 3 | 1,1 | 28 | 2,9 | 20 | 51 |
| 30 | 78 | 74 | 25 | 16 | 6,8 | 3,4 | 37 | 46 | 50 | 54 |
| 35 | 79 | 75 | 47 | 25 | 10 | 14 | 46 | 52 | 61 | 61 |

Totalkväve, µg/L

| Djup, m | 0219 | 0312 | 0415 | 0513 | 0611 | 0716 | 0812 | 0909 | 1007 | 1113 |
|---------|------|------|------|------|------|------|------|------|------|------|
| 0 | 530 | 370 | 300 | 300 | 240 | 460 | 360 | 330 | 320 | 310 |
| 4 | 410 | 370 | 260 | 290 | 260 | 390 | 320 | 330 | 310 | 320 |
| 8 | 360 | 370 | 280 | 270 | 290 | 320 | 300 | 330 | 300 | 300 |
| 12 | 320 | 360 | 280 | 270 | 240 | 290 | 270 | 300 | 300 | 300 |
| 16 | 310 | 320 | 280 | 270 | 240 | 280 | 270 | 270 | 300 | 300 |
| 20 | 320 | 300 | 270 | 280 | 250 | 280 | 260 | 270 | 300 | 300 |
| 30 | 310 | 300 | 290 | 280 | 260 | 260 | 280 | 300 | 310 | 300 |
| 35 | 310 | 330 | 290 | 300 | 230 | 260 | 280 | 300 | 310 | 300 |

Kisel, µg/L

| Djup, m | 0219 | 0312 | 0415 | 0513 | 0611 | 0716 | 0812 | 0909 | 1007 | 1113 |
|---------|------|------|------|------|------|------|------|------|------|------|
| 0 | 1100 | 850 | 550 | 430 | 420 | 310 | 410 | 430 | 530 | 610 |
| 4 | 930 | 840 | 570 | 520 | 480 | 310 | 420 | 430 | 540 | 650 |
| 8 | 840 | 850 | 590 | 540 | 500 | 340 | 470 | 450 | 550 | 670 |

Escherichia coli, MPN/100 ml

| Djup, m | 0219 | 0312 | 0415 | 0513 | 0611 | 0716 | 0812 | 0909 | 1007 | 1113 |
|---------|------|------|------|------|------|------|------|------|------|------|
| 0 | <10 | <10 | <10 | <10 | <10 | <10 | <10 | <10 | <10 | <10 |
| 4 | <10 | <10 | <10 | <10 | <10 | 10 | <10 | <10 | <10 | <10 |

Koliforma bakterier 35°C, MPN/100 ml

| Djup, m | 0219 | 0312 | 0415 | 0513 | 0611 | 0716 | 0812 | 0909 | 1007 | 1113 |
|---------|------|------|------|------|------|------|------|------|------|------|
| 0 | <10 | 10 | <10 | <10 | 20 | 260 | 2100 | 30 | 20 | 10 |
| 4 | <10 | <10 | <10 | <10 | 20 | 330 | 1700 | 41 | 30 | <10 |

Lännerstasundet**Vattentemperatur, °C**

| Djup, m | 0416 | 0514 | 0609 | 0715 | 0811 | 0908 | 1006 | 1112 |
|---------|------|------|------|------|------|------|------|------|
| 0 | 7,2 | 10,2 | 13,8 | 17,9 | 19 | 17,3 | 12,5 | 9,2 |
| 4 | 4,9 | 9,3 | 12,4 | 16,9 | 19,1 | 16,8 | 12,9 | 10,1 |
| 8 | 4,5 | 6,9 | 9,6 | 12,8 | 15,1 | 14,3 | 13,6 | 11,2 |
| 12 | 5 | 5,8 | 8,3 | 9,4 | 9,8 | 9,6 | 9,2 | 10,1 |
| 16 | 5,4 | 5,5 | 6,5 | 7,8 | 7,5 | 8,1 | 7,1 | 7,5 |
| 20 | 5,6 | 5,6 | 6,2 | 7,3 | 7 | 7,3 | 7,2 | 7 |
| 24 | 6 | 5,8 | 6,2 | 6,8 | 6,8 | 7,4 | 7 | 6,9 |

Salinitet, PSU

| Djup, m | 0416 | 0514 | 0609 | 0715 | 0811 | 0908 | 1006 | 1112 |
|---------|------|------|------|------|------|------|------|------|
| 0 | 2,38 | 3,61 | 3,91 | 3,1 | 3,16 | 3,2 | 2,62 | 1,48 |
| 4 | 3,03 | 3,68 | 3,9 | 3,39 | 3,25 | 3,42 | 2,73 | 2,06 |
| 8 | 3,41 | 3,94 | 4,03 | 4,06 | 3,88 | 3,84 | 3,39 | 3,48 |
| 12 | 4,11 | 4,15 | 4,06 | 4,15 | 4,09 | 4,21 | 4,09 | 3,97 |
| 16 | 4,16 | 4,27 | 4,14 | 4,21 | 4,06 | 4,28 | 4,12 | 4,17 |
| 20 | 4,27 | 4,32 | 4,2 | 4,23 | 4,21 | 4,28 | 4,16 | 4,2 |
| 24 | 4,17 | 4,33 | 4,21 | 4,25 | 4,04 | 4,31 | 4,11 | 4,08 |

Syre, mg/l

| Djup, m | 0416 | 0514 | 0609 | 0715 | 0811 | 0908 | 1006 | 1112 |
|---------|------|------|------|------|------|------|------|------|
| 0 | 13,1 | 13,9 | 10,8 | 11,7 | 8,8 | 10,7 | 9,5 | 8 |
| 4 | 11,4 | 13,5 | 10,5 | 9,2 | 8,2 | 8,2 | 6,9 | 7,9 |
| 8 | 10 | 11 | 8 | 4,2 | 2,9 | 4,1 | 1,6 | 4 |
| 12 | 3 | 1 | 3,6 | s | s | s | s | s |
| 16 | 0,8 | <0,2 | s | s | s | s | s | s |
| 20 | 0,7 | s | s | s | s | s | s | s |
| 24 | s | s | s | s | s | s | s | s |

Syrgasmättnad, %

| Djup, m | 0416 | 0514 | 0609 | 0715 | 0811 | 0908 | 1006 | 1112 |
|---------|------|------|------|------|------|------|------|------|
| 0 | 110 | 130 | 110 | 130 | 97 | 110 | 91 | 70 |
| 4 | 91 | 120 | 100 | 97 | 91 | 86 | 67 | 71 |
| 8 | 79 | 93 | 72 | 41 | 30 | 41 | 16 | 37 |
| 12 | 24 | 7,8 | 31 | s | s | s | s | s |
| 16 | 6,5 | <2,5 | s | s | s | s | s | s |
| 20 | 5,7 | s | s | s | s | s | s | s |
| 24 | s | s | s | s | s | s | s | s |

Sulfid (H₂S), mg/l

| Djup, m | 0416 | 0514 | 0609 | 0715 | 0811 | 0908 | 1006 | 1112 |
|---------|------|------|------|------|------|------|-------|------|
| 12 | | | | 0,44 | 1,43 | 2,55 | 3,39 | 1,55 |
| 16 | | | 0,79 | 2,98 | 5,03 | 4,81 | 8,1 | 9,58 |
| 20 | | 0,11 | 2,03 | 3,14 | 7,07 | 6,8 | 9,59 | 12,7 |
| 24 | 0,68 | 0,4 | 2,7 | 5,3 | 8,95 | 8,1 | 08,24 | 13,6 |

Fosfatfosfor, µg/L

| Djup, m | 0416 | 0514 | 0609 | 0715 | 0811 | 0908 | 1006 | 1112 |
|---------|------|------|------|------|------|------|------|------|
| 0 | <1,0 | <1,0 | <1,0 | 1,1 | <1,0 | <1,0 | <1,0 | 24 |
| 4 | 5,9 | <1,0 | <1,0 | 1,1 | <1,0 | 1,5 | 6,5 | 22 |
| 8 | 20 | <1,0 | 1 | 2,1 | 12 | 16 | 25 | 32 |
| 12 | 68 | <1,0 | 2,7 | 39 | 62 | 82 | 120 | 160 |
| 16 | 110 | 24 | 60 | 98 | 110 | 120 | 160 | 180 |
| 20 | 150 | 120 | 110 | 110 | 140 | 150 | 190 | 210 |
| 24 | 180 | 160 | 170 | 140 | 170 | 170 | 210 | 240 |

Totalfosfor, µg/L

| Djup, m | 0416 | 0514 | 0609 | 0715 | 0811 | 0908 | 1006 | 1112 |
|---------|------|------|------|------|------|------|------|------|
| 0 | 26 | 170 | 19 | 30 | 29 | 48 | 29 | 34 |
| 4 | 29 | 17 | 31 | 29 | 26 | 30 | 26 | 33 |
| 8 | 34 | 31 | 21 | 19 | 25 | 35 | 38 | 40 |
| 12 | 80 | 22 | 27 | 63 | 79 | 110 | 140 | 190 |
| 16 | 120 | 54 | 88 | 120 | 140 | 150 | 190 | 200 |
| 20 | 140 | 140 | 140 | 130 | 160 | 190 | 200 | 230 |
| 24 | 180 | 18 | 160 | 160 | 190 | 220 | 230 | 250 |

Ammoniumkväve, µg/L

| Djup, m | 0416 | 0514 | 0609 | 0715 | 0811 | 0908 | 1006 | 1112 |
|---------|------|------|------|------|------|------|------|------|
| 0 | 10 | 3,8 | 7,3 | 23 | 11 | 13 | 15 | 45 |
| 4 | 12 | 4,2 | 5,7 | 26 | 18 | 25 | 51 | 49 |
| 8 | 27 | 6,4 | 42 | 95 | 180 | 120 | 230 | 7,3 |
| 12 | <3,0 | 8,2 | 57 | 240 | 390 | 450 | 610 | 540 |
| 16 | 24 | 58 | 180 | 410 | 580 | 590 | 870 | 1000 |
| 20 | 99 | 140 | 300 | 440 | 720 | 740 | 970 | 1200 |
| 24 | 310 | 190 | 460 | 610 | 900 | 920 | 1100 | 1700 |

Nitrit+nitratkväve, µg/L

| Djup, m | 0416 | 0514 | 0609 | 0715 | 0811 | 0908 | 1006 | 1112 |
|---------|------|------|------|------|------|------|------|------|
| 0 | 120 | 1,6 | 1 | <1,0 | 7,7 | <1,0 | 38 | 200 |
| 4 | 240 | 1,7 | 1,2 | 1,3 | 2,3 | <1,0 | 110 | 190 |
| 8 | 260 | 29 | 58 | 42 | 34 | 130 | 92 | 290 |
| 12 | 420 | 140 | 10 | s | s | s | s | 24 |
| 16 | 370 | 84 | s | s | s | s | s | 13 |
| 20 | 180 | 7,1 | s | s | s | s | s | 16 |
| 24 | s | 6,8 | s | s | s | s | s | 20 |

Totalkväve, µg/L

| Djup, m | 0416 | 0514 | 0609 | 0715 | 0811 | 0908 | 1006 | 1112 |
|---------|------|------|------|------|------|------|------|------|
| 0 | 610 | 440 | 410 | 500 | 540 | 690 | 630 | 680 |
| 4 | 640 | 450 | 540 | 470 | 550 | 580 | 630 | 660 |
| 8 | 620 | 450 | 490 | 520 | 590 | 640 | 750 | 670 |
| 12 | 710 | 600 | 560 | 640 | 750 | 880 | 1100 | 1000 |
| 16 | 750 | 510 | 620 | 810 | 950 | 1100 | 1400 | 1400 |
| 20 | 650 | 550 | 810 | 850 | 1100 | 1200 | 1500 | 1600 |
| 24 | 710 | 540 | 850 | 970 | 1200 | 1500 | 1600 | 1800 |

Kisel, µg/L

| Djup, m | 0416 | 0514 | 0609 | 0715 | 0811 | 0908 | 1006 | 1112 |
|---------|------|------|------|------|------|------|------|------|
| 0 | 980 | 270 | 37 | 97 | 150 | 140 | 460 | 800 |
| 4 | 1100 | 250 | 34 | 140 | 160 | 61 | 530 | 780 |
| 8 | 1200 | 470 | 290 | 430 | 480 | 610 | 740 | 880 |

Baggensfjärden**Vattentemperatur, °C**

| Djup, m | 0211 | 0416 | 0514 | 0609 | 0715 | 0811 | 0908 | 1006 | 1112 |
|---------|------|------|------|------|------|------|------|------|------|
| 0 | 0,7 | 6 | 8,5 | 13,4 | 18,5 | 20,6 | 17,9 | 12,9 | 9,7 |
| 4 | 1 | 5,7 | 8,3 | 13 | 16,9 | 20 | 16,8 | 12,7 | 9,7 |
| 8 | 1,9 | 5,6 | 8,1 | 11,2 | 13 | 14,7 | 15,7 | 12,6 | 10 |
| 12 | 2,3 | 4,2 | 7,8 | 9,5 | 9,7 | 13,2 | 12 | 12,2 | 10 |
| 16 | 2,3 | 3,5 | 4,7 | 7,7 | 8,2 | 8,8 | 9,4 | 10,5 | 9,7 |
| 20 | 2,7 | 3,4 | 4 | 6 | 7,3 | 7,7 | 8,1 | 8 | 9 |
| 30 | 3,5 | 3,9 | 3,8 | 4,3 | 5,2 | 5,3 | 5,8 | 5,3 | 5,7 |
| 40 | 3,9 | 4,3 | 3,8 | 4,3 | 4,6 | 4,8 | 5,2 | 5,1 | 5 |
| 50 | 4 | 3,8 | 3,8 | 4,1 | 4,7 | 5 | 5,2 | 5 | 5 |

Salinitet, PSU

| Djup, m | 0211 | 0416 | 0514 | 0609 | 0715 | 0811 | 0908 | 1006 | 1112 |
|---------|------|------|------|------|------|------|------|------|------|
| 0 | 3,75 | 5 | 5,31 | 5,24 | 5,15 | 4,94 | 5,24 | 5,07 | 5,18 |
| 4 | 4,98 | 5,24 | 5,33 | 5,2 | 5,29 | 4,99 | 5,36 | 5,19 | 5,33 |
| 8 | 5,74 | 5,03 | 5,33 | 5,29 | 5,51 | 5,32 | 5,57 | 4,99 | 5,63 |
| 12 | 5,89 | 5,39 | 5,37 | 5,42 | 5,6 | 5,54 | 5,73 | 5,12 | 5,59 |
| 16 | 5,97 | 5,58 | 5,69 | 5,43 | 5,64 | 5,41 | 5,77 | 5,2 | 5,67 |
| 20 | 6,03 | 5,62 | 5,79 | 5,47 | 5,69 | 5,43 | 5,82 | 5,62 | 5,69 |
| 30 | 6,13 | 5,69 | 5,97 | 5,75 | 5,87 | 5,77 | 5,92 | 5,69 | 5,68 |
| 40 | 6,21 | 5,83 | 5,99 | 5,8 | 5,94 | 5,64 | 5,98 | 5,82 | 5,82 |
| 50 | 6,23 | 5,83 | 6,02 | 5,86 | 5,93 | 5,66 | 5,99 | 5,72 | 5,85 |

Syre, mg/l

| Djup, m | 0211 | 0416 | 0514 | 0609 | 0715 | 0811 | 0908 | 1006 | 1112 |
|---------|------|------|------|------|------|------|------|------|------|
| 0 | 12,6 | 13,4 | 10,7 | 10,7 | 11 | 9,1 | 10,3 | 9,3 | 8,7 |
| 4 | 12,2 | 13,7 | 11,6 | 10,7 | 9,5 | 8,4 | 10 | 8,3 | 8,8 |
| 8 | 11,4 | 13,4 | 11,4 | 10,6 | 7,9 | 6,5 | 8,6 | 7,9 | 8,3 |
| 12 | 10,9 | 11,5 | 11,5 | 9,9 | 7,1 | 6,4 | 5,5 | 6,9 | 7,8 |
| 16 | 10,7 | 9,5 | 8,8 | 9,2 | 6,6 | 5,2 | 4,9 | 5,2 | 7 |
| 20 | 10,3 | 9 | 8,2 | 8,4 | 6,5 | 5,6 | 4,8 | 3,7 | 6,2 |
| 30 | 8,9 | 7,9 | 7 | 6,9 | 5 | 4,3 | 3,7 | 2,5 | 2,1 |
| 40 | 8,4 | 7,3 | 6,8 | 5,8 | 4,5 | 3,4 | 2,6 | 1,8 | 1 |
| 50 | 7,6 | 7 | 6,6 | 5,4 | 4,2 | 3,5 | 2,5 | 1,7 | 0,6 |

Syrgasmättnad, %

| Djup, m | 0211 | 0416 | 0514 | 0609 | 0715 | 0811 | 0908 | 1006 | 1112 |
|---------|------|------|------|------|------|------|------|------|------|
| 0 | 90 | 110 | 95 | 110 | 120 | 100 | 110 | 91 | 79 |
| 4 | 89 | 110 | 100 | 110 | 100 | 95 | 110 | 81 | 80 |
| 8 | 86 | 110 | 100 | 100 | 78 | 66 | 90 | 77 | 76 |
| 12 | 83 | 92 | 100 | 90 | 64 | 63 | 53 | 67 | 72 |
| 16 | 81 | 74 | 71 | 80 | 58 | 46 | 44 | 48 | 64 |
| 20 | 79 | 70 | 65 | 70 | 56 | 49 | 42 | 32 | 56 |
| 30 | 70 | 63 | 55 | | 41 | 35 | 31 | 21 | 17 |
| 40 | 67 | 58 | 54 | 46 | 36 | 28 | 21 | 15 | 8,2 |
| 50 | 61 | 55 | 52 | 43 | 34 | 28 | 21 | 14 | 4,8 |

Fosfatfosfor, µg/L

| Djup, m | 0211 | 0416 | 0514 | 0609 | 0715 | 0811 | 0908 | 1006 | 1112 |
|---------|------|------|------|------|------|------|------|------|------|
| 0 | 26 | <1,0 | <1,0 | 2,7 | 1,2 | <1,0 | <1,0 | 3,7 | 16 |
| 4 | 28 | <1,0 | 1,2 | 2,9 | 1,1 | <1,0 | <1,0 | 8,1 | 16 |
| 8 | 31 | <1,0 | 2 | 4,9 | 7,2 | 13 | 1,8 | 11 | 21 |
| 12 | 32 | 4,3 | 2 | 9,7 | 16 | 16 | 18 | 17 | 23 |
| 16 | 31 | 11 | 19 | 15 | 21 | 26 | 27 | 31 | 27 |
| 20 | 35 | 19 | 23 | 20 | 27 | 30 | 31 | 43 | 32 |
| 30 | 39 | 32 | 38 | 47 | 50 | 54 | 52 | 70 | 64 |
| 40 | 39 | 38 | 43 | 52 | 60 | 63 | 73 | 88 | 99 |
| 50 | 39 | 38 | 48 | 59 | 61 | 64 | 75 | 92 | 120 |

Totalfosfor, µg/L

| Djup, m | 0211 | 0416 | 0514 | 0609 | 0715 | 0811 | 0908 | 1006 | 1112 |
|---------|------|------|------|------|------|------|------|------|------|
| 0 | 32 | 32 | 16 | 15 | 21 | 18 | 19 | 24 | 25 |
| 4 | 35 | 36 | 16 | 16 | 24 | 22 | 19 | 23 | 27 |
| 8 | 35 | 37 | 14 | 18 | 20 | 23 | 18 | 23 | 28 |
| 12 | 36 | 21 | 15 | 21 | 25 | 25 | 30 | 27 | 29 |
| 16 | 35 | 28 | 32 | 26 | 29 | 32 | 37 | 38 | 34 |
| 20 | 39 | 36 | 35 | 30 | 33 | 35 | 44 | 48 | 38 |
| 30 | 42 | 45 | 48 | 51 | 55 | 58 | 63 | 77 | 70 |
| 40 | 43 | 44 | 52 | 57 | 63 | 72 | 86 | 98 | 100 |
| 50 | 42 | 45 | 58 | 62 | 65 | 73 | 90 | 110 | 130 |

Ammoniumkväve, µg/L

| Djup, m | 0211 | 0416 | 0514 | 0609 | 0715 | 0811 | 0908 | 1006 | 1112 |
|---------|------|------|------|------|------|------|------|------|------|
| 0 | 22 | 4,3 | 3,2 | 3,4 | 6,2 | <3,0 | <3,0 | <3,0 | 14 |
| 4 | <3,0 | 4,5 | <3,0 | 3 | <3,0 | 22 | <3,0 | 6,7 | 16 |
| 8 | <3,0 | 4,2 | 6 | 4,6 | 5,7 | 67 | 20 | 5,9 | 14 |
| 12 | <3,0 | <3,0 | 5,1 | 3,8 | 5,5 | 40 | 3,2 | 4,4 | 8,2 |
| 16 | 3,3 | 3 | 4,5 | 13 | 6,2 | 9,4 | <3,0 | <3,0 | <3,0 |
| 20 | <3,0 | 3,1 | 4,2 | 9,5 | 4,3 | <3,0 | 9,1 | <3,0 | <3,0 |
| 30 | <3,0 | 3,5 | <3,0 | 17 | 5,7 | <3,0 | 3,2 | <3,0 | <3,0 |
| 40 | <3,0 | <3,0 | 3,6 | 25 | 15 | 38 | 26 | 19 | <3,0 |
| 50 | <3,0 | 9,1 | 9,9 | 49 | 34 | 55 | 32 | 41 | 34 |

Nitrit+nitratkväve, µg/L

| Djup, m | 0211 | 0416 | 0514 | 0609 | 0715 | 0811 | 0908 | 1006 | 1112 |
|---------|------|------|------|------|------|------|------|------|------|
| 0 | 220 | <1,0 | 1,2 | <1,0 | 1,7 | 1,2 | 42 | 1,5 | 29 |
| 4 | 160 | <1,0 | <1,0 | <1,0 | 1,4 | 2,6 | 1 | 11 | 32 |
| 8 | 130 | 1,1 | <1,0 | 1,2 | 1,6 | 13 | 1,4 | 19 | 41 |
| 12 | 120 | 1 | 1,4 | 1,9 | 2 | 21 | 49 | 37 | 54 |
| 16 | 110 | 1,2 | 13 | 8,2 | 4,3 | 40 | 69 | 79 | 73 |
| 20 | 130 | 1,4 | 20 | 22 | 18 | 39 | 78 | 110 | 85 |
| 30 | 130 | 120 | 100 | 110 | 130 | 150 | 140 | 180 | 160 |
| 40 | 130 | 140 | 120 | 130 | 160 | 170 | 180 | 200 | 230 |
| 50 | 140 | 140 | 130 | 130 | 160 | 170 | 180 | 200 | 230 |

Totalkväve, µg/L

| Djup, m | 0211 | 0416 | 0514 | 0609 | 0715 | 0811 | 0908 | 1006 | 1112 |
|---------|------|------|------|------|------|------|------|------|------|
| 0 | 560 | 470 | 280 | 310 | 420 | 380 | 360 | 380 | 350 |
| 4 | 450 | 470 | 280 | 320 | 380 | 390 | 380 | 380 | 360 |
| 8 | 380 | 490 | 280 | 300 | 320 | 380 | 370 | 340 | 330 |
| 12 | 360 | 320 | 300 | 330 | 300 | 320 | 340 | 330 | 330 |
| 16 | 350 | 320 | 270 | 310 | 280 | 330 | 350 | 340 | 330 |
| 20 | 370 | 310 | 280 | 290 | 280 | 300 | 370 | 370 | 340 |
| 30 | 380 | 380 | 350 | 360 | 400 | 410 | 430 | 450 | 420 |
| 40 | 380 | 390 | 350 | 390 | 460 | 490 | 490 | 500 | 510 |
| 50 | 380 | 400 | 370 | 440 | 440 | 490 | 490 | 510 | 550 |

Kisel, µg/L

| Djup, m | 0211 | 0416 | 0514 | 0609 | 0715 | 0811 | 0908 | 1006 | 1112 |
|---------|------|------|------|------|------|------|------|------|------|
| 0 | 1200 | 580 | 580 | 520 | 410 | 190 | 270 | 430 | 630 |
| 4 | 1000 | 580 | 590 | 520 | 440 | 230 | 290 | 470 | 640 |
| 8 | 920 | 580 | 590 | 560 | 560 | 560 | 360 | 510 | 670 |
| 12 | 910 | 600 | 600 | 610 | 680 | 620 | 650 | 600 | 700 |
| 16 | 870 | 700 | 790 | 670 | 740 | 760 | 790 | 790 | 750 |
| 20 | 910 | 810 | 840 | 760 | 800 | 810 | 850 | 950 | 800 |
| 30 | 940 | 950 | 1000 | 1100 | 1100 | 1100 | 1100 | 1300 | 1300 |
| 40 | 980 | 1000 | 1100 | 1100 | 1200 | 1300 | 1400 | 1500 | 1500 |
| 50 | 1000 | 1100 | 1100 | 1200 | 1300 | 1400 | 1400 | 1600 | 1600 |

Farstaviken**Vattentemperatur, °C**

| Djup, m | 0220 | 0416 | 0514 | 0609 | 0715 | 0811 | 0908 | 1006 | 1112 |
|---------|------|------|------|------|------|------|------|------|------|
| 0 | 1,5 | 8 | 11 | 15,8 | 18,5 | 20,9 | 18,4 | 12,9 | 8,3 |
| 4 | 1,6 | 6 | 8,1 | 15,1 | 15,1 | 20,6 | 16,6 | 13 | 9,2 |
| 8 | 3 | 3,9 | 5,1 | 7,7 | 9,6 | 11,5 | 13,5 | 12,6 | 10 |
| 12 | 3,4 | 4 | 4,1 | 5,1 | 5,7 | 6,1 | 6,6 | 6,3 | 6,6 |
| 16 | 3,4 | 4,1 | 4,1 | 4,9 | 6 | 5,5 | 5,4 | 5,5 | 5,2 |

Salinitet, PSU

| Djup, m | 0220 | 0416 | 0514 | 0609 | 0715 | 0811 | 0908 | 1006 | 1112 |
|---------|------|------|------|------|------|------|------|------|------|
| 0 | 5,01 | 4,97 | 5,32 | 5,33 | 5,3 | 4,97 | 5,37 | 4,75 | 4,42 |
| 4 | 5,17 | 5,08 | 5,36 | 5,28 | 5,42 | 5,09 | 5,46 | 5,18 | 4,84 |
| 8 | 5,77 | 5,4 | 5,64 | 5,5 | 5,54 | 5,47 | 5,62 | 5,32 | 5,23 |
| 12 | 5,91 | 5,63 | 5,81 | 5,62 | 5,7 | 5,67 | 5,82 | 5,65 | 5,71 |
| 16 | 5,96 | 5,62 | 5,81 | 5,68 | 5,74 | 5,51 | 5,87 | 5,27 | 5,75 |

Syre, mg/l

| Djup, m | 0220 | 0416 | 0514 | 0609 | 0715 | 0811 | 0908 | 1006 | 1112 |
|---------|------|------|------|------|------|------|------|------|------|
| 0 | 12,2 | 11,8 | 11,1 | 10 | 9,2 | 8,4 | 9,8 | 9 | 10,2 |
| 4 | 11,4 | 14,4 | 11,5 | 10 | 8,4 | 8,2 | 8,7 | 7,9 | 7,7 |
| 8 | 7,7 | 9,3 | 8 | 8 | 3,9 | 2,4 | 1,1 | 2,5 | 4,8 |
| 12 | 5,8 | 3 | s | <0,2 | s | s | s | s | s |
| 16 | 4,7 | 2,1 | s | s | s | s | s | s | s |

Syrgasmättnad, %

| Djup, m | 0220 | 0416 | 0514 | 0609 | 0715 | 0811 | 0908 | 1006 | 1112 |
|---------|------|------|------|------|------|------|------|------|------|
| 0 | 90 | 100 | 100 | 100 | 100 | 97 | 110 | 88 | 89 |
| 4 | 85 | 120 | 100 | 100 | 87 | 94 | 92 | 78 | 69 |
| 8 | 60 | 73 | 65 | 70 | 35 | 23 | 11 | 24 | 44 |
| 12 | 45 | 24 | s | <2,5 | s | s | s | s | s |
| 16 | 37 | 17 | s | s | s | s | s | s | s |

Sulfid (H₂S), mg/l

| Djup, m | 0220 | 0416 | 0514 | 0609 | 0715 | 0811 | 0908 | 1006 | 1112 |
|---------|------|------|------|------|------|------|------|------|------|
| 12 | | | 0,33 | | 3,61 | 5,42 | 4,84 | 9,15 | 11 |
| 16 | | | 2,22 | 5,28 | 7,69 | 15,1 | 16,1 | 23,1 | 21,9 |

Fosfatfosfor, µg/L

| Djup, m | 0220 | 0416 | 0514 | 0609 | 0715 | 0811 | 0908 | 1006 | 1112 |
|---------|------|------|------|------|------|------|------|------|------|
| 0 | 25 | <1,0 | <1,0 | 2 | 3,5 | 3,2 | 1,9 | 1,6 | 6,1 |
| 4 | 29 | <1,0 | <1,0 | 1,8 | 5,8 | 3,2 | 1,6 | 2,2 | 11 |
| 8 | 44 | 2,6 | 9,2 | 15 | 32 | 46 | 21 | 7,5 | 36 |
| 12 | 77 | 65 | 58 | 80 | 140 | 180 | 180 | 240 | 340 |
| 16 | 69 | 84 | 80 | 150 | 200 | 310 | 340 | 480 | 570 |

Totalfosfor, µg/L

| Djup, m | 0220 | 0416 | 0514 | 0609 | 0715 | 0811 | 0908 | 1006 | 1112 |
|---------|------|------|------|------|------|------|------|------|------|
| 0 | 37 | 11 | 12 | 16 | 19 | 25 | 20 | 22 | 31 |
| 4 | 38 | 35 | 14 | 17 | 24 | 20 | 23 | 18 | 23 |
| 8 | 50 | 22 | 33 | 38 | 53 | 64 | 48 | 39 | 44 |
| 12 | 61 | 80 | 90 | 100 | 160 | 200 | 240 | 270 | 300 |
| 16 | 76 | 110 | 120 | 170 | 230 | 340 | 410 | 440 | 510 |

Ammoniumkväve, µg/L

| Djup, m | 0220 | 0416 | 0514 | 0609 | 0715 | 0811 | 0908 | 1006 | 1112 |
|---------|------|------|------|------|------|------|------|------|------|
| 0 | 4,8 | 3,4 | 4,7 | 3,2 | 9,6 | 21 | 12 | 5,1 | 5,8 |
| 4 | 3 | 4,2 | <3,0 | 3,6 | 10 | 21 | <3,0 | 4,4 | 28 |
| 8 | 4,2 | <3,0 | 5,4 | 3,6 | 9,2 | 66 | 17 | 32 | 100 |
| 12 | 13 | <3,0 | 5,2 | 36 | 270 | 450 | 390 | 690 | 1100 |
| 16 | 72 | 4,5 | 63 | 380 | 590 | 1400 | 1400 | 2100 | 2700 |

Nitrit+nitratkväve, µg/L

| Djup, m | 0220 | 0416 | 0514 | 0609 | 0715 | 0811 | 0908 | 1006 | 1112 |
|---------|------|------|------|------|------|------|------|------|------|
| 0 | 170 | <1,0 | 1,5 | <1,0 | 1,4 | 3,7 | <1,0 | <1,0 | 58 |
| 4 | 170 | <1,0 | 1,3 | <1,0 | 1,7 | 2,6 | <1,0 | <1,0 | 37 |
| 8 | 200 | 1,3 | 2,6 | 1,5 | 1,8 | 1,4 | 1,2 | 1,6 | 19 |
| 12 | 230 | 1,5 | 2,2 | 2,6 | s | s | s | s | 7,5 |
| 16 | 230 | 170 | 2,8 | s | s | s | s | s | 24 |

Totalkväve, µg/L

| Djup, m | 0220 | 0416 | 0514 | 0609 | 0715 | 0811 | 0908 | 1006 | 1112 |
|---------|------|------|------|------|------|------|------|------|------|
| 0 | 480 | 300 | 280 | 310 | 400 | 380 | 390 | 450 | 490 |
| 4 | 510 | 500 | 290 | 310 | 370 | 380 | 360 | 360 | 390 |
| 8 | 460 | 350 | 330 | 360 | 360 | 390 | 400 | 450 | 420 |
| 12 | 500 | 330 | 340 | 460 | 740 | 920 | 1000 | 1200 | 1400 |
| 16 | 560 | 510 | 430 | 840 | 1100 | 1800 | 2100 | 2400 | 2800 |

Kisel, µg/L

| Djup, m | 0220 | 0416 | 0514 | 0609 | 0715 | 0811 | 0908 | 1006 | 1112 |
|---------|------|------|------|------|------|------|------|------|------|
| 0 | 1200 | 300 | 450 | 430 | 410 | 170 | 270 | 380 | 810 |
| 4 | 1100 | 420 | 510 | 440 | 530 | 170 | 320 | 360 | 690 |
| 8 | 1100 | 670 | 730 | 680 | 850 | 790 | 650 | 670 | 820 |

Ägnöfjärden**Vattentemperatur, °C**

| Djup, m | 0211 | 0416 | 0514 | 0609 | 0715 | 0811 | 0908 | 1006 | 1112 |
|---------|------|------|------|------|------|------|------|------|------|
| 0 | 0,5 | 5,3 | 7,8 | 13,1 | 17,7 | 18,8 | 17,9 | 13 | 8,5 |
| 4 | 1,1 | 5,1 | 7,8 | 12,6 | 16,3 | 15 | 17,1 | 12,9 | 9,1 |
| 8 | 1,3 | 5 | 7,3 | 8,4 | 15,4 | 12,7 | 15,8 | 12,8 | 10 |
| 12 | 1,3 | 4,9 | 5 | 7,4 | 15 | 11,2 | 15,1 | 12,6 | 9,9 |
| 16 | 1,4 | 4,3 | 4,7 | 7,2 | 14,2 | 10,5 | 15 | 12,5 | 9,9 |
| 20 | 1,5 | 3,3 | 4,6 | 6,7 | 13,7 | 9 | 14,4 | 12,3 | 10 |
| 26 | 1,7 | 3,1 | 4,1 | 6 | 8,9 | 8,6 | 12,4 | 11,9 | 10,1 |

Salinitet, PSU

| Djup, m | 0211 | 0416 | 0514 | 0609 | 0715 | 0811 | 0908 | 1006 | 1112 |
|---------|------|------|------|------|------|------|------|------|------|
| 0 | 4,59 | 5,48 | 5,55 | 5,41 | 5,53 | 5,17 | 5,67 | 5,16 | 4,99 |
| 4 | 5,59 | 5,31 | 5,54 | 5,42 | 5,58 | 5,39 | 5,72 | 5,51 | 5,44 |
| 8 | 5,79 | 5,32 | 5,56 | 5,48 | 5,58 | 5,44 | 5,75 | 5,54 | 5,79 |
| 12 | 5,82 | 5,32 | 5,66 | 5,5 | 5,6 | 5,53 | 5,74 | 5,2 | 5,95 |
| 16 | 5,82 | 5,76 | 5,67 | 5,52 | 5,58 | 5,54 | 5,8 | 5,74 | 5,84 |
| 20 | 5,85 | 5,66 | 5,69 | 5,56 | 5,6 | 5,63 | 5,72 | 5,33 | 5,79 |
| 26 | 5,93 | 5,45 | 5,69 | 5,64 | 5,81 | 5,68 | 5,79 | 5,48 | 5,86 |

Syre, mg/l

| Djup, m | 0211 | 0416 | 0514 | 0609 | 0715 | 0811 | 0908 | 1006 | 1112 |
|---------|------|------|------|------|------|------|------|------|------|
| 0 | 12,7 | 13,3 | 11,6 | 10,5 | 12,9 | 8,5 | 10,6 | 9,4 | 9,7 |
| 4 | 11,9 | 13,3 | 11,3 | 10,7 | 10,5 | 7,4 | 11 | 9 | 9,5 |
| 8 | 12,3 | 13 | 11,4 | 10,2 | 9,6 | 7,1 | 8,6 | 8,7 | 9,2 |
| 12 | 12 | 12,7 | 10,6 | 10,5 | 9,7 | 6,7 | 7,9 | 8,4 | 9,3 |
| 16 | 12 | 12,7 | 10,3 | 10,3 | 9,1 | 6,3 | 7,8 | 8,6 | 9 |
| 20 | 11,7 | 11,1 | 10 | 9,6 | 8,6 | 5,7 | 6,9 | 8,4 | 9 |
| 26 | 11,3 | 10,5 | 9,7 | 8,9 | 6,5 | 5,5 | 5,6 | 7,4 | 8,2 |

Syrgasmättnad, %

| Djup, m | 0211 | 0416 | 0514 | 0609 | 0715 | 0811 | 0908 | 1006 | 1112 |
|---------|------|------|------|------|------|------|------|------|------|
| 0 | 90 | 110 | 100 | 100 | 140 | 94 | 120 | 92 | 86 |
| 4 | 87 | 110 | 99 | 100 | 110 | 76 | 120 | 88 | 85 |
| 8 | 91 | 110 | 98 | 90 | 99 | 69 | 90 | 85 | 85 |
| 12 | 89 | 100 | 86 | 91 | 100 | 63 | 81 | 82 | 86 |
| 16 | 89 | 100 | 83 | 89 | 92 | 59 | 80 | 84 | 83 |
| 20 | 87 | 86 | 81 | 82 | 86 | 51 | 70 | 81 | 83 |
| 26 | 85 | 81 | 77 | 74 | 58 | 49 | 54 | 71 | 76 |

Fosfatfosfor, µg/L

| Djup, m | 0211 | 0416 | 0514 | 0609 | 0715 | 0811 | 0908 | 1006 | 1112 |
|---------|------|------|------|------|------|------|------|------|------|
| 0 | 25 | 2,8 | <1,0 | 2,8 | <1,0 | <1,0 | <1,0 | 7,1 | 12 |
| 4 | 23 | 3,8 | 2 | 1,3 | <1,0 | 4,8 | 1,3 | 8,8 | 15 |
| 8 | 23 | 3,5 | 3,2 | 9,1 | 1,6 | 15 | <1,0 | 11 | 18 |
| 12 | 23 | 3,8 | 9,3 | 8,8 | 2,4 | 20 | 1,2 | 14 | 20 |
| 16 | 23 | 4,2 | 11 | 12 | 5,2 | 25 | 4,4 | 14 | 20 |
| 20 | 25 | 11 | 13 | 17 | 6,6 | 33 | 9,5 | 16 | 20 |
| 26 | 28 | 15 | 15 | 24 | 30 | 37 | 23 | 22 | 24 |

Totalfosfor, µg/L

| Djup, m | 0211 | 0416 | 0514 | 0609 | 0715 | 0811 | 0908 | 1006 | 1112 |
|---------|------|------|------|------|------|------|------|------|------|
| 0 | 32 | 17 | 16 | 17 | 33 | 18 | 21 | 24 | 29 |
| 4 | 29 | 17 | 17 | 17 | 20 | 17 | 21 | 21 | 27 |
| 8 | 28 | 17 | 17 | 21 | 14 | 20 | 17 | 22 | 26 |
| 12 | 28 | 17 | 20 | 19 | 15 | 25 | 18 | 23 | 26 |
| 16 | 27 | 20 | 23 | 20 | 16 | 31 | 17 | 24 | 26 |
| 20 | 30 | 27 | 28 | 25 | 18 | 41 | 26 | 25 | 27 |
| 26 | 32 | 54 | 32 | 36 | 49 | 48 | 43 | 34 | 34 |

Ammoniumkväve, µg/L

| Djup, m | 0211 | 0416 | 0514 | 0609 | 0715 | 0811 | 0908 | 1006 | 1112 |
|---------|------|------|------|------|------|------|------|------|------|
| 0 | 9,2 | 3,1 | <3,0 | 3,3 | <3,0 | <3,0 | 9,8 | <3,0 | 3,6 |
| 4 | <3,0 | <3,0 | <3,0 | 4,9 | 4,6 | 6,7 | <3,0 | 6,5 | 4 |
| 8 | <3,0 | <3,0 | <3,0 | 4,3 | <3,0 | 26 | <3,0 | 8,9 | <3,0 |
| 12 | <3,0 | <3,0 | 3,5 | 3,7 | 7,8 | 18 | 34 | 9,1 | 3,5 |
| 16 | 3 | <3,0 | 3,8 | 6,9 | 4 | 17 | <3,0 | 7,1 | 5,1 |
| 20 | 4,7 | <3,0 | 5,8 | 12 | 5,2 | 18 | 4,9 | 7,3 | 6,2 |
| 26 | <3,0 | 3,8 | 6,2 | 22 | 7,1 | 13 | 6,9 | 7,8 | 8,1 |

Nitrit+nitratkväve, µg/L

| Djup, m | 0211 | 0416 | 0514 | 0609 | 0715 | 0811 | 0908 | 1006 | 1112 |
|---------|------|------|------|------|------|------|------|------|------|
| 0 | 180 | <1,0 | 1,3 | <1,0 | 1,5 | 1,2 | <1,0 | 2,8 | 37 |
| 4 | 100 | <1,0 | 1,3 | <1,0 | 1,2 | 4,6 | <1,0 | 5,3 | 31 |
| 8 | 86 | <1,0 | 1,4 | 1,4 | <1,0 | 16 | <1,0 | 11 | 32 |
| 12 | 86 | <1,0 | 2,3 | 1,5 | 1,8 | 28 | 1,6 | 18 | 36 |
| 16 | 86 | <1,0 | 3,2 | 3,1 | 1,3 | 40 | 1,1 | 17 | 38 |
| 20 | 92 | 1,3 | 3,5 | 11 | 2,2 | 53 | 8,3 | 22 | 39 |
| 26 | 99 | 1,6 | 4 | 28 | 9,3 | 59 | 44 | 34 | 50 |

Totalkväve, µg/L

| Djup, m | 0211 | 0416 | 0514 | 0609 | 0715 | 0811 | 0908 | 1006 | 1112 |
|---------|------|------|------|------|------|------|------|------|------|
| 0 | 490 | 300 | 260 | 290 | 480 | 370 | 370 | 330 | 410 |
| 4 | 360 | 290 | 270 | 290 | 340 | 310 | 350 | 310 | 360 |
| 8 | 330 | 300 | 270 | 270 | 300 | 310 | 330 | 310 | 300 |
| 12 | 320 | 310 | 240 | 270 | 310 | 300 | 330 | 310 | 300 |
| 16 | 330 | 310 | 250 | 250 | 290 | 300 | 300 | 290 | 300 |
| 20 | 330 | 330 | 260 | 260 | 300 | 340 | 320 | 300 | 300 |
| 26 | 340 | 370 | 260 | 290 | 340 | 350 | 350 | 320 | 330 |

Kisel, µg/L

| Djup, m | 0211 | 0416 | 0514 | 0609 | 0715 | 0811 | 0908 | 1006 | 1112 |
|---------|------|------|------|------|------|------|------|------|------|
| 0 | 1100 | 570 | 580 | 510 | 380 | 250 | 390 | 490 | 620 |
| 4 | 860 | 570 | 580 | 510 | 390 | 470 | 410 | 500 | 630 |
| 8 | 820 | 560 | 590 | 620 | 400 | 590 | 460 | 540 | 630 |

Erstaviken**Vattentemperatur, °C**

| Djup, m | 0416 | 0514 | 0609 | 0715 | 0811 | 0908 | 1006 | 1112 |
|---------|------|------|------|------|------|------|------|------|
| 0 | 4,4 | 8 | 13 | 18 | 17,1 | 17,2 | 13,1 | 9,5 |
| 4 | 4,8 | 7,9 | 12,1 | 16,8 | 15,7 | 16,7 | 13 | 9,5 |
| 8 | 4,4 | 7,9 | 10,1 | 16 | 14,1 | 16 | 13 | 9,5 |
| 12 | 4,5 | 7,7 | 7,8 | 15,3 | 13 | 15,6 | 12,9 | 9,8 |
| 16 | 4,2 | 6,7 | 7,5 | 13,4 | 11,9 | 14,9 | 12,8 | 10 |
| 20 | 4 | 4,4 | 6,9 | 10,4 | 10,9 | 13,6 | 12,3 | 9,7 |
| 30 | 2,4 | 3,1 | 4,8 | 6,7 | 6,6 | 7,4 | 8,3 | 9,1 |
| 40 | 2,7 | 2,8 | 3,3 | 5,2 | 5,2 | 5,9 | 5,9 | 6,5 |
| 50 | 2,9 | 2,9 | 3,2 | 4,3 | 4,6 | 5,7 | 5,3 | 5,2 |
| 60 | 2,9 | 2,8 | 3,4 | 4,6 | 4,5 | 6,3 | 5 | 5,1 |

Salinitet, PSU

| Djup, m | 0416 | 0514 | 0609 | 0715 | 0811 | 0908 | 1006 | 1112 |
|---------|------|------|------|------|------|------|------|------|
| 0 | 5,34 | 5,55 | 5,47 | 5,55 | 5,55 | 5,72 | 5,63 | 5,79 |
| 4 | 5,36 | 5,55 | 5,48 | 5,56 | 5,53 | 5,71 | 5,58 | 5,66 |
| 8 | 5,34 | 5,56 | 5,44 | 5,56 | 5,58 | 5,73 | 5,22 | 5,61 |
| 12 | 5,52 | 5,56 | 5,49 | 5,56 | 5,41 | 5,73 | 5,58 | 5,7 |
| 16 | 5,55 | 5,58 | 5,55 | 5,59 | 5,46 | 5,71 | 5,62 | 5,76 |
| 20 | 5,37 | 5,7 | 5,56 | 5,63 | 5,5 | 5,77 | 5,68 | 5,82 |
| 30 | 5,72 | 5,87 | 5,63 | 5,77 | 5,58 | 5,95 | 5,86 | 5,82 |
| 40 | 6,1 | 6,1 | 5,96 | 5,89 | 5,88 | 6,06 | 5,47 | 5,78 |
| 50 | 5,94 | 6,12 | 5,99 | 5,98 | 5,93 | 6,08 | 5,95 | 5,79 |
| 60 | 5,92 | 6,14 | 6,01 | 5,99 | 5,74 | 6,07 | 5,5 | 5,82 |

Syre, mg/l

| Djup, m | 0416 | 0514 | 0609 | 0715 | 0811 | 0908 | 1006 | 1112 |
|---------|------|------|------|------|------|------|------|------|
| 0 | 13,2 | 11,5 | 10,6 | 12,5 | 8,6 | 10,6 | 9,3 | 10 |
| 4 | 13 | 11,3 | 10,7 | 10,7 | 8 | 10,1 | 9 | 9,6 |
| 8 | 13,1 | 11,1 | 10,3 | 9,9 | 6,8 | 8,8 | 9,2 | 9,7 |
| 12 | 12,6 | 11,4 | 10,2 | 9,5 | 6,9 | 8,7 | 8,6 | 9,3 |
| 16 | 12,6 | 11,1 | 10,2 | 8,9 | 7 | 7,9 | 8,7 | 9 |
| 20 | 12,6 | 10,1 | 10 | fa | 6,8 | 7,4 | 7,7 | 7,9 |
| 30 | 9,7 | 8,9 | 8,7 | 6,3 | 6 | 5,6 | 5,2 | 6,6 |
| 40 | 8,4 | 7,4 | 7 | 7,2 | 5 | 4,5 | 3,8 | 3,7 |
| 50 | 8,3 | 7,2 | 6,4 | 5,5 | 4,1 | 4,2 | 3,4 | 2,5 |
| 60 | 8,4 | 7 | 6,3 | 5 | 4,5 | 3,9 | 3,1 | 2,2 |

Syrgasmättnad, %

| Djup, m | 0416 | 0514 | 0609 | 0715 | 0811 | 0908 | 1006 | 1112 |
|---------|------|------|------|------|------|------|------|------|
| 0 | 110 | 100 | 100 | 140 | 92 | 110 | 92 | 91 |
| 4 | 110 | 99 | 100 | 110 | 83 | 110 | 89 | 87 |
| 8 | 100 | 97 | 95 | 100 | 69 | 93 | 90 | 88 |
| 12 | 100 | 99 | 89 | 98 | 68 | 91 | 84 | 85 |
| 16 | 100 | 94 | 88 | 89 | 67 | 81 | 85 | 83 |
| 20 | 100 | 81 | 85 | fa | 64 | 74 | 75 | 72 |
| 30 | 74 | 69 | 70 | 53 | 51 | 49 | 46 | 59 |
| 40 | 65 | 57 | 55 | 59 | 41 | 38 | 32 | 31 |
| 50 | 64 | 56 | 50 | 44 | 33 | 35 | 28 | 20 |
| 60 | 65 | 54 | 49 | 41 | 36 | 33 | 25 | 18 |

Fosfatfosfor, µg/L

| Djup, m | 0416 | 0514 | 0609 | 0715 | 0811 | 0908 | 1006 | 1112 |
|---------|------|------|------|------|------|------|------|------|
| 0 | 2,5 | 2,6 | 3,2 | 1,3 | <1,0 | <1,0 | 7 | 17 |
| 4 | 2,4 | 2,4 | 3,8 | <1,0 | 5,6 | 1,1 | 7,3 | 17 |
| 8 | 2 | 2,5 | 5,7 | 1,6 | 11 | 1,2 | 7,8 | 17 |
| 12 | 2 | 2,4 | 10 | 2,5 | 16 | 2 | 10 | 18 |
| 16 | 3,2 | 3,4 | 12 | 7,8 | 19 | 5,9 | 11 | 21 |
| 20 | 3,7 | 11 | 14 | 14 | 22 | 11 | 16 | 27 |
| 30 | 25 | 23 | 25 | 31 | 38 | 37 | 40 | 35 |
| 40 | 42 | 48 | 51 | 50 | 59 | 62 | 68 | 63 |
| 50 | 48 | 50 | 62 | 68 | 75 | 76 | 80 | 86 |
| 60 | 47 | 50 | 62 | 79 | 73 | 86 | 80 | 93 |

Totalfosfor, µg/L

| Djup, m | 0416 | 0514 | 0609 | 0715 | 0811 | 0908 | 1006 | 1112 |
|---------|------|------|------|------|------|------|------|------|
| 0 | 16 | 14 | 19 | 35 | 22 | 26 | 24 | 24 |
| 4 | 18 | 15 | 16 | 15 | 34 | 23 | 24 | 25 |
| 8 | 16 | 15 | 17 | 15 | 17 | 16 | 20 | 25 |
| 12 | 14 | 15 | 15 | 15 | 21 | 16 | 22 | 24 |
| 16 | 15 | 14 | 20 | 18 | 25 | 19 | 21 | 27 |
| 20 | 16 | 22 | 22 | 23 | 26 | 23 | 28 | 33 |
| 30 | 39 | 36 | 33 | 39 | 44 | 51 | 45 | 68 |
| 40 | 51 | 60 | 58 | 55 | 64 | 70 | 78 | 57 |
| 50 | 58 | 62 | 68 | 72 | 82 | 90 | 92 | 94 |
| 60 | 56 | 63 | 67 | 97 | 82 | 120 | 98 | 110 |

Ammoniumkväve, µg/L

| Djup, m | 0416 | 0514 | 0609 | 0715 | 0811 | 0908 | 1006 | 1112 |
|---------|------|------|------|------|------|------|------|------|
| 0 | <3,0 | <3,0 | 6,7 | <3,0 | <3,0 | <3,0 | <3,0 | <3,0 |
| 4 | <3,0 | <3,0 | <3,0 | 5,5 | 28 | 4,7 | 3,7 | 3,5 |
| 8 | <3,0 | 3,5 | 5,6 | 7,1 | 37 | <3,0 | 6,9 | <3,0 |
| 12 | 4,1 | <3,0 | 4,8 | 6,5 | 39 | 5,8 | 11 | 4,3 |
| 16 | <3,0 | 7,7 | 10 | 12 | 31 | 14 | 12 | 3,2 |
| 20 | 3,2 | 4,5 | 13 | 9,3 | 23 | 17 | 6,7 | 3,2 |
| 30 | 3,3 | 7,4 | 12 | 7,2 | <3,0 | 3,1 | <3,0 | <3,0 |
| 40 | 4,2 | 5,2 | 28 | 3,6 | 3,3 | <3,0 | <3,0 | <3,0 |
| 50 | <3,0 | 7,5 | 18 | 7,4 | 13 | 4,1 | <3,0 | <3,0 |
| 60 | 3 | 13 | 23 | 40 | 18 | 5,8 | 6,2 | 8,6 |

Nitrit+nitratkväve, µg/L

| Djup, m | 0416 | 0514 | 0609 | 0715 | 0811 | 0908 | 1006 | 1112 |
|---------|------|------|------|------|------|------|------|------|
| 0 | <1,0 | 1,5 | <1,0 | 1,2 | 1,2 | 1,2 | <1,0 | 30 |
| 4 | <1,0 | 1,5 | <1,0 | 1,6 | 6,8 | 1,3 | 1,4 | 30 |
| 8 | <1,0 | 1,5 | <1,0 | <1,0 | 10 | 1,2 | 2,2 | 31 |
| 12 | <1,0 | 1,4 | 1,7 | 1,7 | 18 | 1,4 | 7,6 | 34 |
| 16 | <1,0 | 1,3 | 2,8 | 1,9 | 25 | 3,6 | 11 | 45 |
| 20 | <1,0 | 3,1 | 4,5 | 4,2 | 32 | 15 | 26 | 63 |
| 30 | 1,7 | 5,2 | 22 | 29 | 66 | 74 | 88 | 84 |
| 40 | 73 | 74 | 79 | 79 | 110 | 110 | 120 | 130 |
| 50 | 110 | 87 | 110 | 110 | 130 | 120 | 140 | 150 |
| 60 | 110 | 95 | 110 | 110 | 130 | 120 | 150 | 160 |

Totalkväve, µg/L

| Djup, m | 0416 | 0514 | 0609 | 0715 | 0811 | 0908 | 1006 | 1112 |
|---------|------|------|------|------|------|------|------|------|
| 0 | 290 | 250 | 290 | 630 | 370 | 430 | 310 | 300 |
| 4 | 320 | 270 | 270 | 370 | 390 | 400 | 320 | 300 |
| 8 | 320 | 270 | 300 | 310 | 310 | 310 | 290 | 300 |
| 12 | 310 | 270 | 260 | 310 | 310 | 310 | 290 | 300 |
| 16 | 300 | 250 | 260 | 290 | 310 | 320 | 300 | 300 |
| 20 | 310 | 250 | 270 | 280 | 320 | 320 | 310 | 330 |
| 30 | 310 | 270 | 270 | 300 | 330 | 350 | 350 | 390 |
| 40 | 350 | 300 | 480 | 350 | 380 | 380 | 370 | 380 |
| 50 | 370 | 330 | 390 | 390 | 400 | 420 | 400 | 420 |
| 60 | 370 | 350 | 410 | 490 | 420 | 440 | 420 | 440 |

Kisel, µg/L

| Djup, m | 0416 | 0514 | 0609 | 0715 | 0811 | 0908 | 1006 | 1112 |
|---------|------|------|------|------|------|------|------|------|
| 0 | 520 | 550 | 530 | 420 | 400 | 370 | 500 | 640 |
| 4 | 510 | 550 | 530 | 440 | 470 | 390 | 500 | 640 |
| 8 | 510 | 540 | 560 | 440 | 540 | 400 | 500 | 650 |

Siktdjup med kikare, m

| Provpunkt | Veckonr | 3 | 7 | 8 | 11 | 16 | 18 | 20 | 22 | 24 | 26 | 29 | 31 | 33 | 35 | 37 | 39 | 41 | 43 | 46 | 51 |
|-----------------------|---------|-----|------|------|-----|-----|-----|-----|-----|------|-----|-----|-----|-----|-----|-----|-----|------|-----|------|-----|
| Slussen | | 3,7 | 3,5 | | 5,1 | 3,9 | | 3,7 | | 2,5 | | 5 | | 4,9 | | 4 | | 4 | | 3,8 | 2,8 |
| Blockhusudden | | 4,3 | 3,6 | | 4,1 | 5,4 | | 3 | | 3,3 | | 4,6 | | 4,3 | | 4,1 | | 4 | | 4,1 | 3,3 |
| Halvkakssundet | | 3,5 | 3,5 | | 5,1 | 4,5 | | 4,1 | | 3,9 | | 3,4 | | 4,9 | | 4 | | 4 | | 4,5 | 4,5 |
| Koviksudde | | 5,3 | | 4,5 | 5,4 | 3,4 | 2,5 | 4,8 | 4,9 | 3,85 | 3,4 | 4 | 3,2 | 4 | 3,3 | 3,9 | 4,5 | 4 | 4,6 | 4 | 5,2 |
| Solöfjärden | | 5,7 | | 4,3 | 5,3 | 3,2 | | 5 | | 5,6 | | 4,6 | | 4,8 | | 4,7 | | 3,6 | | 5,4 | 5,9 |
| Oxdjupet | | 5,9 | | 4,4 | 5,8 | 2,9 | 3,1 | 4,5 | 6,2 | 5,2 | 3,5 | 4,4 | 5,7 | 4,1 | 4,7 | 4,3 | 4,4 | 4,1 | 4,1 | 5,5 | 6 |
| Trälhavet II | | 6,5 | | 4,6 | 6 | 3,5 | 4,4 | 5,3 | 6,7 | 5,1 | 4,4 | 3,9 | 5,3 | 5,5 | 5 | 5,2 | 5,3 | 4,2 | 5,9 | 6,5 | 6,3 |
| Nyvarp | | | | 5 | | 2,9 | | 7,9 | | 6,7 | | 5,4 | | 5 | | 6 | | 4,5 | | | |
| Sollenkroka | | | | 5,5 | 6,3 | 4,6 | | 8,6 | | 7,5 | | 4,5 | | 6 | | 6,7 | | 6,3 | | 7,8 | |
| NV Eknö | | | | 11,3 | 8,1 | 10 | | 10 | | 8,8 | | 4,4 | | 5,9 | | 6,5 | | 10,3 | | 14,1 | |
| Hammarby sjö | | | | | | | 3 | | 2,5 | | 2,8 | | 2,5 | | 3,3 | | 3,8 | | | 3,6 | |
| Karantänbojen | | | | | | | 2,1 | | 3,6 | | 3,1 | | 2,3 | | 2,9 | | 4,1 | | 4,7 | 4,8 | |
| Blomskär | | | | | | | 2,5 | | 3,5 | | 3,1 | | 5,4 | | 3,9 | | 4 | | 4,4 | 5,5 | |
| Kyrkfjärden (S) | | | | 3,4 | | | 2,5 | | | | 5,4 | | 5,5 | | | 4,5 | | | 3,7 | | |
| Askrikefjärden | | | | | | | 2,7 | | 4,4 | | 3,2 | | 4,6 | | 3,8 | | 4,8 | | 4,6 | 5,7 | |
| Norra Vaxholmsfjärden | | | | | | | 2,7 | | 4,9 | | 3,1 | | 4,4 | | 4,4 | | 4 | | 4,5 | 5,8 | |
| Torsbyholmen | | | | | | | 2,9 | | 6,1 | | 3,3 | | 5,5 | | 4,1 | | 4,5 | | 3,9 | 5,1 | |
| Ikorn | | | | | | | 4,5 | | 7,1 | | 4,5 | | 4,6 | | 4,9 | | 6,5 | | 6,4 | | |
| Djurö | | | | 7,4 | 6,8 | 7,4 | | 9 | | 8,1 | | 2,5 | | 5,6 | | 6,6 | | 8,5 | | 14 | |
| Lännerstasundet | | | | | | 3,6 | | 3,4 | | 3,3 | | 3,3 | | 5,1 | | 3 | | 3,6 | | 5,1 | |
| Baggensfjärden | | | 7,8 | | | 4,6 | | 6,8 | | 5,3 | | 4 | | 4,4 | | 6,4 | | 5,1 | | 10,2 | |
| Farstaviken | | | | 4,8 | | 5,8 | | 6,1 | | 4,5 | | 4,4 | | 7,1 | | 6,3 | | 4 | | 4,5 | |
| Ägnöfjärden | | | 10,9 | | | 7 | | 6,9 | | 6 | | 2,1 | | 4,4 | | 5,2 | | 5,3 | | 7,9 | |
| Erstaviken | | | | | | 6,9 | | 7,4 | | 7,1 | | 2,5 | | 4,4 | | 4,8 | | 5,4 | | 11,2 | |

Klorofyll a, µg/L

| Provpunkt | Veckonr | 3 | 7 | 8 | 11 | 16 | 18 | 20 | 22 | 24 | 26 | 29 | 31 | 33 | 35 | 37 | 39 | 41 | 43 | 46 | 51 |
|-----------------------|---------|------|------|------|-----|-----|-----|-----|-----|-----|-----|-----|-----|-----|-----|-----|-----|-----|-----|-----|------|
| Slussen | | 1,5 | ≤1,3 | | 2,6 | 6,4 | | 37 | | 62 | | 3,3 | | 4,1 | | 8,7 | | 9,8 | | 5,4 | ≤1,3 |
| Blockhusudden | | 1,1 | ≤1,2 | | 2,4 | 8 | | 38 | | 19 | | 4,6 | | 4,6 | | 11 | | 8,1 | | 4,6 | 1 |
| Halvkakssundet | | ≤1,3 | ≤1,1 | | 1,8 | 13 | | 36 | | 12 | | 8,7 | | 5,6 | | 16 | | 10 | | 3,7 | 1,1 |
| Koviksudde | | 1,5 | | ≤1,2 | 2,2 | 22 | 23 | 7,7 | 7,3 | 7,6 | 9 | 7,2 | 7,1 | 9,4 | 17 | 25 | 9,3 | 17 | 12 | 3,5 | 1 |
| Solöfjärden | | 1,6 | | 1,1 | 3,4 | 26 | | 7,2 | | 3,5 | | 3,4 | | 5,9 | | 9,8 | | 18 | | 3,2 | 1,1 |
| Oxdjupet | | ≤1,4 | | 1 | 2,2 | 32 | 9,6 | 6,9 | 2,9 | 3 | 6,8 | 4 | 2,3 | 6 | 5,1 | 10 | 8,3 | 14 | 19 | 3,3 | 1,2 |
| Trälhavet II | | 1,4 | | 1,1 | 3,2 | 24 | 11 | 4,3 | 2,1 | 3 | 3,4 | 3,4 | 2,1 | 5 | 4,5 | 4,8 | 3,8 | 11 | 8 | 4,5 | 1,5 |
| Nyvarp | | | | 1,2 | | 29 | | 2,2 | | 1,8 | | 2,7 | | 3,7 | | 3,8 | | 9,2 | | | |
| Sollenkroka | | | | 2,3 | 3,9 | 11 | | 3,3 | | 2,9 | | 4,5 | | 3,1 | | 3,3 | | 6,6 | | 6,7 | |
| NV Eknö | | | | 1,9 | 5,5 | 2,2 | | 2,1 | | 1,8 | | 6,2 | | 3,3 | | 3,9 | | 5,7 | | 3,2 | |
| Hammarby sjö | | | | | | | 15 | | 27 | | 21 | | 40 | | 10 | | 10 | | 5,8 | 6,2 | |
| Karantänbojen | | | | | | | 31 | | 14 | | 12 | | 14 | | 34 | | 11 | | 5,5 | 3,3 | |
| Blomskär | | | | | | | 27 | | 6,8 | | 8,3 | | 2,4 | | 13 | | 7,6 | | 16 | 5,8 | |
| Kyrkfjärden (S) | | | | 4,1 | | | 13 | | | | 3,8 | | 3,6 | | | 7 | | | 14 | | |
| Askrikefjärden | | | | | | | 25 | | 6,2 | | 8,5 | | 3,7 | | 12 | | 7,4 | | 14 | 4,7 | |
| Norra Vaxholmsfjärden | | | | | | | 20 | | 4,5 | | 5,8 | | 3,5 | | 7,3 | | 7,7 | | 15 | 3,1 | |
| Torsbyholmen | | | | | | | 13 | | 3,5 | | 7,9 | | 3,2 | | 7 | | 11 | | 25 | 9 | |
| Ikorn | | | | | | | 7,1 | | 1,8 | | 4,4 | | 2,7 | | 3,1 | | 3,9 | | 6,2 | | |
| Djurö | | | | 3,4 | 4,9 | 2,9 | | 2,9 | | 1,9 | | 8 | | 3,4 | | 4,2 | | 3,5 | | 4,1 | |
| Lännerstasundet | | | | | | 12 | | 12 | | 12 | | 8,7 | | 6,6 | | 23 | | 18 | | 3,9 | |
| Baggensfjärden | | | 2 | | | 21 | | 1,9 | | 2,8 | | 5,6 | | 4,2 | | 4,4 | | 5,5 | | 4,5 | |
| Farstaviken | | | | 3,7 | | 11 | | 1,6 | | 2,6 | | 3 | | 3,1 | | 4,6 | | 7,7 | | 9,5 | |
| Ägnöfjärden | | | 2 | | | 4,2 | | 2,3 | | 1,9 | | 11 | | 3,7 | | 6,2 | | 4,5 | | 8,5 | |
| Erstaviken | | | | | | 5,8 | | 1,8 | | 1,6 | | 14 | | 6 | | 8,7 | | 4,8 | | 2,9 | |

Absorbans 420 filtr., A.U.

| Provpunkt | Veckonr | 3 | 7 | 8 | 11 | 16 | 18 | 20 | 22 | 24 | 26 | 29 | 31 | 33 | 35 | 37 | 39 | 41 | 43 | 46 | 51 |
|----------------|---------|------|------|------|------|------|------|------|------|------|------|------|------|------|------|------|------|------|------|------|------|
| Slussen | | 0,07 | 0,07 | | 0,07 | 0,03 | | 0,06 | | 0,04 | | 0,05 | | 0,04 | | 0,05 | | 0,05 | | 0,06 | 0,05 |
| Blockhusudden | | 0,06 | 0,07 | | 0,06 | 0,04 | | 0,05 | | 0,04 | | 0,04 | | 0,04 | | 0,03 | | 0,04 | | 0,05 | 0,05 |
| Halvkakssundet | | 0,06 | 0,06 | | 0,05 | 0,03 | | 0,04 | | 0,03 | | 0,04 | | 0,04 | | 0,04 | | 0,04 | | 0,05 | 0,04 |
| Koviksudde | | 0,04 | | 0,06 | 0,04 | 0,03 | 0,04 | 0,03 | 0,03 | 0,03 | 0,03 | 0,03 | 0,04 | 0,04 | 0,03 | 0,03 | 0,04 | 0,04 | 0,04 | 0,05 | 0,04 |
| Solöfjärden | | 0,03 | | 0,05 | 0,04 | 0,03 | | 0,03 | | 0,03 | | 0,03 | | 0,03 | | 0,03 | | 0,03 | | 0,04 | 0,03 |
| Oxdjupet | | 0,03 | | 0,05 | 0,04 | 0,04 | 0,03 | 0,03 | 0,02 | 0,03 | 0,03 | 0,03 | 0,02 | 0,03 | 0,03 | 0,03 | 0,03 | 0,03 | 0,04 | 0,04 | 0,03 |
| Trälhavet II | | 0,03 | | 0,04 | 0,04 | 0,04 | 0,03 | 0,03 | 0,02 | 0,03 | 0,02 | 0,03 | 0,02 | 0,02 | 0,02 | 0,02 | | 0,03 | 0,02 | 0,03 | 0,03 |
| Nyvarp | | | | 0,04 | | 0,03 | | 0,03 | | 0,02 | | 0,03 | | 0,02 | | 0,02 | | 0,03 | | | |
| Sollenkroka | | | | 0,04 | 0,03 | 0,03 | | 0,02 | | 0,02 | | 0,02 | | 0,02 | | 0,02 | | 0,02 | | 0,02 | |
| NV Eknö | | | | 0,02 | 0,01 | 0,02 | | 0,02 | | 0,02 | | 0,01 | | 0,02 | | 0,02 | | 0,02 | | 0,02 | |
| Djurö | | | | 0,03 | 0,02 | 0,02 | | 0,02 | | 0,02 | | 0,02 | | 0,02 | | 0,02 | | 0,02 | | 0,02 | |

Centralbron, veckostation

| Vecka | Månad och dag | Fosfatfosfor µg/L | Totalfosfor µg/L | Ammonium- kväve µg/L | Nitrit+nitrat- kväve µg/L | Totalkväve µg/L | TOC mg/l | Turbiditet FNU | Klorofyll a µg/L | Absorbans 420 filtr. A.U. |
|-------|---------------|----------------------|---------------------|----------------------------|---------------------------------|--------------------|-------------|-------------------|---------------------|---------------------------------|
| 1 | 0102 | 14 | 21 | 3,8 | 250 | 690 | 9,4 | 1,6 | 1,5 | 0,063 |
| 2 | 0107 | 14 | 21 | 6,9 | 240 | 670 | 9,1 | 1,4 | 1,2 | 0,066 |
| 3 | 0113 | 14 | 23 | 6,6 | 240 | 690 | 9,6 | 1,4 | 1,2 | 0,069 |
| 4 | 0120 | 16 | 24 | 4,5 | 250 | 700 | 9,5 | 1,8 | 1,3 | 0,065 |
| 5 | 0127 | 14 | 25 | <3,0 | 270 | 700 | 9,3 | 1,7 | 1,2 | 0,067 |
| 6 | 0203 | 16 | 28 | 3,1 | 270 | 700 | 9,5 | 1,9 | 1,1 | 0,071 |
| 7 | 0210 | 18 | 25 | 5,1 | 280 | 690 | 9,6 | 1,6 | 1,2 | 0,069 |
| 8 | 0217 | 15 | 26 | 3,4 | 260 | 700 | 9 | 1,7 | 1,3 | 0,068 |
| 9 | 0225 | 18 | 30 | 5 | 270 | 700 | 9,3 | 1,8 | 1,4 | 0,07 |
| 10 | 0304 | 17 | 30 | 5,9 | 270 | 690 | 9,2 | 1,7 | 1,7 | 0,069 |
| 11 | 0312 | 16 | 25 | 6,2 | 280 | 690 | 9,5 | 1,8 | 2,6 | 0,068 |
| 12 | 0319 | 15 | 28 | 5 | 280 | 700 | 9,1 | 2,1 | 3,1 | 0,076 |
| 13 | 0327 | 12 | 29 | 9,4 | 270 | 700 | 9,3 | 2,1 | 4,3 | 0,062 |
| 14 | 0403 | 14 | 26 | 5 | 300 | 630 | 9,4 | 1,9 | 7,2 | 0,069 |
| 15 | 0410 | 7,1 | 25 | 6 | 190 | 650 | 10 | 3,2 | 12 | 0,071 |
| 16 | 0417 | 3,7 | 23 | 10 | 170 | 610 | 10 | 2,3 | 9,7 | 0,094 |
| 17 | 0424 | 4,5 | 21 | 12 | 160 | 590 | 10 | 1,6 | 6,7 | 0,074 |
| 18 | 0430 | 5,1 | 20 | 10 | 120 | 580 | 9,9 | 2 | 9,1 | 0,062 |
| 19 | 0508 | 6,1 | 25 | 12 | 110 | 700 | 9,4 | 1,9 | 12 | 0,093 |
| 20 | 0515 | 5,3 | 20 | 12 | 62 | 510 | 10 | 1,4 | 10,8 | 0,056 |
| 21 | 0522 | 3,5 | 14 | 57 | 63 | 570 | 9,4 | 2,6 | 9 | 0,07 |
| 22 | 0530 | 8,7 | 21 | 14 | <1 | 580 | 9,9 | 1,8 | 14,1 | 0,08 |
| 23 | 0605 | 5,3 | 21 | 13 | 1,8 | 540 | 9,1 | 1,8 | 8,6 | 0,061 |
| 24 | 0613 | 38 | 39 | 130 | <1 | 530 | 9,8 | 2,1 | 8,5 | 0,059 |
| 25 | 0619 | 3,2 | 21 | 34 | 3 | 620 | 9,1 | 2,9 | 5,9 | 0,063 |
| 26 | 0626 | <1 | 15 | 25 | 4 | 620 | 9,1 | 1,6 | 5,7 | 0,051 |
| 27 | 0703 | <1 | 16 | 11 | 1,1 | 600 | 8,8 | 1,3 | 6,8 | 0,047 |
| 28 | 0711 | 6,7 | 28 | 15 | 2,4 | 460 | 9,2 | 1,4 | 6,6 | 0,062 |
| 29 | 0717 | 4,4 | 15 | 11 | 1,5 | 480 | 9,1 | 1,2 | 5,3 | 0,069 |
| 30 | 0724 | 4,6 | 23 | 12 | 3,5 | 460 | 9,4 | 1 | 5,1 | 0,062 |
| 31 | 0731 | 4,9 | 17 | 13 | 7,2 | 410 | 8,9 | 1,5 | 5,7 | 0,055 |
| 32 | 0807 | 4 | 18 | 15 | 12 | 460 | 8,6 | 1,2 | 6,1 | 0,054 |
| 33 | 0814 | 3,8 | 24 | 7 | <1 | 460 | 9,2 | 2 | 0,8 | 0,053 |
| 34 | 0821 | 3,1 | 21 | 7 | 1,7 | 450 | 9,7 | 2,2 | 9,1 | 0,047 |
| 35 | 0829 | <1 | 28 | 9 | 11 | 440 | 9,1 | 1,2 | 11 | 0,049 |
| 36 | 0904 | <1 | 14 | 4 | 2 | 510 | 8,3 | 1,1 | 12 | 0,039 |
| 37 | 0911 | 2,6 | 16 | 10 | 1,6 | 510 | 9 | 1,2 | 13,2 | 0,051 |
| 38 | 0918 | 6,4 | 19 | 27 | 9,5 | 480 | 10 | 1,6 | 28,7 | 0,051 |
| 39 | 0926 | 4 | 22 | 17 | 1,4 | 530 | 9,4 | 1,2 | 18 | 0,056 |
| 40 | 1003 | 3,8 | 21 | 8 | <1 | 470 | 9,6 | 1,5 | 19,6 | 0,055 |
| 41 | 1009 | 7,6 | 20 | 14 | 5,3 | 570 | 9,3 | 1,3 | 20 | 0,078 |
| 42 | 1017 | 12 | 25 | 19 | 10 | 610 | 8,4 | 1,4 | 19,8 | 0,056 |
| 43 | fp | fp | fp | fp | fp | fp | fp | fp | fp | fp |
| 44 | 1031 | 11 | 28 | 19 | 45 | 500 | 9,8 | 1,7 | 11,4 | 0,052 |
| 45 | 1107 | 16 | 26 | 7 | 110 | 540 | 9,3 | 1,9 | 6,9 | 0,052 |
| 46 | 1114 | 16 | 26 | 7 | 130 | 580 | 9,4 | 1,8 | 4,9 | 0,054 |
| 47 | 1121 | 20 | 29 | 6 | 160 | 530 | 9 | 1,7 | 3,2 | 0,061 |
| 48 | 1127 | 19 | 27 | 5 | 160 | 510 | 8,2 | 1,7 | 2,3 | 0,055 |
| 49* | fp | fp | fp | fp | fp | fp | fp | fp | fp | fp |
| 50* | 1208 | 20 | 28 | 7 | 170 | 560 | 8,7 | 2,1 | 1,8 | 0,058 |
| 50 | 1212 | 22 | 29 | 7 | 170 | 550 | 8,8 | 1,6 | 1,5 | 0,054 |
| 51 | 1217 | 20 | 29 | 6 | 170 | 590 | 8,8 | 1,8 | 1,4 | 0,055 |
| 52 | 1223 | 20 | 25 | 4 | 190 | 620 | 8 | 1,2 | 0,8 | 0,051 |

* Provtagningen vecka 49 uteblev, men som kompensation provtogs istället både måndag och fredag i vecka 50.

Undersökningar i Stockholms skärgård 2025

Plankton

Undersökningar i Stockholms skärgård 2025

Bilaga B – Plankton



Akkred. nr 1959
Provning
ISO/IEC 17025



Akkred. nr. 10300
Provning
ISO/IEC 17025



© Calluna AB 2026

Rapporten bör citeras: Andersson M & Rautiainen K (2026). Undersökningar i Stockholms skärgård 2025 – Bilaga B – Plankton. Calluna AB.

Internt projekt: ASO0121e Recipientkontroll Stockholms Skärgård 2025

Projektorganisation

Projektledare: Sofia Kling, Miranda Nilsson (Calluna AB)

Provtagare: Björn Borgiel, Nina Halvarsson, Miranda Nilsson, Magnus Tillström, Robert Karlström (Calluna AB)

Analysator: Växtplankton – Jonas Forsberg, Iveta Jurgensone & Jon Karlsson; Djurplankton – Ivan Berg (Pelagia Nature & Environment AB)

Indexberäkning och statusklassning: Louise Franzén (Pelagia Nature & Environment AB)

Författare: Marie Andersson, Kalle Rautiainen (Calluna AB)

Kvalitetssäkring: Annika Stål Delbanco (Calluna AB)

Beställare: Stockholm Vatten och Avfall (kontaktperson Joakim Lücke), på uppdrag av Eurofins Water Testing Sweden AB

Innehåll

| | | |
|----------|-------------------------------------------------|-----------|
| 1 | Sammanfattning..... | 4 |
| 2 | Bakgrund | 5 |
| 3 | Årets arbete | 5 |
| 3.1 | Provtagning | 5 |
| 3.2 | Provanalyser | 6 |
| 3.3 | Databearbetning och statusklassning | 7 |
| 4 | Planktonsamhället 2003–2025 | 9 |
| 4.1 | Beskrivning av växtplanktonsamhället 2025 | 9 |
| 4.2 | Ekologisk status | 14 |
| 4.3 | Cyanobakterier | 20 |
| 4.4 | Potentiellt toxiska plankton 2025 | 23 |
| 4.5 | Djurplankton 2015–2025..... | 26 |
| 5 | Litteratur | 30 |

APPENDIX 1. Växtplankton 2025. Analysresultat från Pelagia Nature & Environment AB

APPENDIX 2. Djurplankton 2025. Analysresultat från Pelagia Nature & Environment AB

APPENDIX 3. Taxonomisk fördelning av växtplankton.

1 Sammanfattning

I samband med Stockholm Vatten och Avfalls miljöövervakning av Stockholms skärgård har växtplanktonprover insamlats årligen sedan 1940-talet. Under 2025 undersöktes växtplankton (biovolym, klorofyll *a*, förekomst av potentiellt toxiska plankton) vid åtta skärgårdsstationer och djurplankton vid en station. Denna rapport innehåller beskrivningar av resultaten från 2025 samt statusbedömningar för växtplankton baserat på biovolym och klorofyll *a* från 2023–2025.

Under 2025 noterades likvärdiga nivåer av biovolym växtplankton mot tidigare års provtagningar. De högsta biovolymerna producerades i juni för Blockhusudden och Baggensfjärden, i juli för Ägnöfjärden och NV Eknö, i april för Trälhavet, Sollenkroka och Farstaviken och i oktober för Koviksudde. Årsmaxima av biovolym noterades vid Blockhusudden i juni då kiselalger blommade.

Bland cyanobakterierna påträffades *Nostocales* i störst biovolym, följt av *Oscillatoriales* och *Chroococcales*.

Abundansen av potentiellt toxiska cyanobakterier översteg inte WHO:s gränsvärde för badvatten vid något tillfälle och den toxiska cyanobakterien *Nodularia* noterades inte alls under året. Koncentrationer över 1500 celler/l av den potentiellt toxiska dinoflagellaten *Dinophysis acuminata* uppmättes någon gång under året vid samtliga provtagningsstationer.

Den sammanvägda bedömningen av ekologisk status (baserad på klorofyll *a* och biovolym 2023–2025) påvisar *god* status vid Trälhavet och Sollenkroka, och *måttlig* status vid fem stationer (Blockhusudden, NV Eknö, Farstaviken, Baggensfjärden och Ägnöfjärden). En station (Koviksudde) påvisar *otillfredsställande* status.

Förändringar av stationernas sammanvägda statusklassningar har varierat under 2025. Koviksudde är framförallt den station där man kan se en trend som pekar nedåt och sjunker i år även till *otillfredsställande* status. Blockhusudden får för 2025 en förbättrad status och landar på *måttlig*. Vid Trälhavet och Sollenkroka syns ingen trend utan verkar relativt stabilt ligga kvar på *god* status. Farstaviken som hade *god* status under 2021–2023 ligger har likt förra året *måttlig* status men stiger något avseende ekologisk kvot. För övriga stationer (NV Eknö, Baggensfjärden och Ägnöfjärden) har trenden de senaste åren varit positiv men bryts i år genom försämringar av den ekologiska kvoten. Detta leder till försämrade status för Baggensfjärden och Ägnöfjärden (nu *måttlig* status), medan NV Eknö ligger kvar på samma status som tidigare (*måttlig*).

Vid Koviksudde genomfördes även provtagning av djurplankton och där kunde det under 2025 noteras en högre biomassa av djurplankton jämfört med föregående år, med årsmaximum i mitten av juli då hinnkräftan *Bosmina* påträffades i stor omfattning.

2 Bakgrund

Växtplankton har i Stockholm Vatten och Avfalls regi provtagits och analyserats i Stockholms skärgård sedan 1940-talet och alla prover finns sparade. Konserveringsstatus är av varierande nivå. En del av dessa prover är analyserade men inte sammanställda, medan andra aldrig har analyserats. En del av proverna har både analyserats och rapporterats, och ingår i den serie som innevarande rapport utgör del av.

3 Årets arbete

3.1 Provtagning

Växtplanktonprover togs av Calluna AB vid 8 stationer (totalt 96 prover) under 2025. Ett växtplanktonprov från Farstaviken i september gick sönder under transport och finns därför inte med i resultaten. Djurplanktonprover samlades in från en station, Koviksudde. Totalt insamlades 19 djurplanktonprover. Stationernas läge framgår av figur 1 samt tabell 1 och 2. Vattenprover togs även för analys av salinitet i samband med växtplanktonproverna enligt HaV (2016a).

Proverna samlades in mellan januari och december 2025, provtagningsdatum för växtplankton framgår av figur 2–3 samt i appendix 1. Djupintegrerade prover (0–5 m) togs med ett 5 meter långt Rambergör och analyserades med avseende på växtplanktonarter, biovolym och klorofyll *a*-koncentration. Provinsamlingen avviker från metoden i bedömningsgrunderna (Naturvårdsverket 2007, HaV 2019) och den metod Calluna är ackrediterad för (HaV 2016b). I bedömningsgrunderna (Naturvårdsverket 2007, HaV 2019) fastslås att djupintegrerat prov från 0–10 meter (vid djup större än 12 meter) skall användas för biovolymanalys medan ett prov för klorofyll *a* skall tas från 0,5 meters djup. Provtagningen kan därmed anses ackrediterad, men modifierad enligt beställarens önskemål. Djurplankton provtogs enligt HaV (2016c) samt HELCOM (2021). Djurplanktonproverna konserverades med Lugol, vilket avviker från rekommendationen att konservera med formaldehyd (HaV 2016c och HELCOM 2021). Konservering med Lugol har godkänts av analyserande laboratorium, samt av Stockholm Vatten och Avfall.



Figur 1. Provpunkter i Stockholms skärgård. Röda punkter indikerar Stockholmsrecipienten från innerskärgård till ytterskärgård medan de blå punkterna indikerar den södra skärgården, Gustavsbergsrecipienten. Förkortningarna av provpunkternas namn redogörs för i tabell 2.

Tabell 1. Stationer, antal provtagningar samt antal analyserade växtplanktonprover från respektive station under år 2025. Koordinaterna är angivna i WGS 84.

| Recipientområde | Station | Latitud | Longitud | Antal analyserade prov |
|-------------------------------------------------------|----------------|-----------|-----------|------------------------|
| Stockholms skärgård, Stockholmsrecipienten | Blockhusudden | 59°19,15' | 18°09,16' | 12 |
| | Koviksudde | 59°21,97' | 18°20,59' | 19 |
| | Trälhavet | 59°26,37' | 18°23,44' | 18 |
| | Sollenkroka | 59°22,70' | 18°40,40' | 10 |
| | NV Eknö | 59°18,83' | 18°51,16' | 10 |
| Stockholms södra skärgård, Gustavsbergsrecipienten | Farstaviken | 59°19,52' | 18°22,64' | 9 |
| | Baggensfjärden | 59°17,71' | 18°19,19' | 9 |
| | Ägnöfjärden | 59°16,11' | 18°23,02' | 9 |

3.2 Provanalyser

Växtplanktonproverna har analyserats med avseende på biovolym av Pelagia Nature & Environment AB (härefter Pelagia). Före år 2013 analyserades proverna med icke-standardiserade metoder som refererades till som "K2" och "K2 förenklad". Sedan år 2013 har biovolym bestämts genom fullanalys (Utermöhlteknik) enligt HaV (2019), Naturvårdsverkets (2007), HELCOM (2023), samt den svenska standarden SS-EN 15204:2006. Denna metod är vedertagen för statusklassning och ger en mindre mätosäkerhet än de förenklade metoder som tidigare använts inom övervakningsprogrammet. I tidigare analysrapporter från Pelagia har växtplanktontaxan redovisats i åtta större grupper; *Bacillariophyceae* (Kiselalger), *Chlorophyceae* (Grönalger), *Chrysophyceae* (Guldalger), *Cryptophyceae* (Rekylalger), *Cyanophyceae* (Cyanobakterier), *Dinophyceae* (Dinoflagellater), *Euglenoidea* (Ögonalger) och "Övriga taxa". Sedan 2020 har analyserna av växtplankton utförts på en mer finskalig nivå i enlighet med HELCOM (2023) genom att flera dominerande klasser har brutits ut från de större grupperna. Bland

andra har *Litostomatea* och *Ebriophyceae* brutits ut från gruppen ”Övriga taxa” då dessa ofta utgjorde en betydande andel av gruppen. I denna rapport figurar vi dock valt att behålla de tidigare större grupperna för att enklare kunna jämföra med tidigare års data. För en mer utförlig fördelning av taxa hänvisar vi till analysrapporterna från Pelagia i Appendix 1. För jämförelse av den tidigare och nya taxafördelningen hänvisar vi till tabellen i Appendix 3.

Djurplanktonanalysen har utförts av Pelagia enligt HaV (2016c), HELCOM (2021) samt den svenska standarden SS-EN 15110:2006. Om möjligt räknades minst 100 individer av de tre vanligaste förekommande taxa inom rotatorier och mesozoo-plankton.

Klorofyll *a* (SS 028146–1) och salinitet (SS-EN 27888:1994) har analyserats av Eurofins Water Testing Sweden AB som i likhet med Pelagia är ackrediterade av SWEDAC för sina analyser.

3.3 Databearbetning och statusklassning

Pelagia har utfört samtliga statusklassningar. Övrig databearbetning, figurframställning, tolkning av data och rapportskrivning har utförts av Calluna. Statusklassningar för år 2025 är baserade på senaste utgåvan av Havs- och vattenmyndighetens föreskrifter om klassificering och miljö kvalitetsnormer avseende ytvatten (HaV 2019).

Tabell 2. Områdesindelning av Stockholms skärgård och aktuella provtagningsstationer. Typindelningen följer HaV (2017). Farstaviken i södra skärgården är egentligen för liten för att typindelas men betraktas här som tillhörande typområde 24.

| Typområde | Skärgårdsområde | Station |
|-----------|----------------------------------------------------------|-------------------------------------------------------|
| 24 | Stockholms innerskärgård – Stockholmsrecipient | BLO =Blockhusudden KOV =Koviksudde |
| 12 | Stockholms centrala mellanskärgård – Stockholmsrecipient | TRÄ =Trälhavet SOL =Sollenkroka |
| 15 | Stockholms ytterskärgård – Stockholmsrecipient | EKN =NV Eknö |
| (24) | Stockholms södra innerskärgård – Gustavsbergsrecipient | FAR =Farstaviken |
| 12 | Stockholms södra mellanskärgård – Gustavsbergsrecipient | BAG =Baggensfjärden ÄGN =Ägnöfjärden |

3.3.1 Angående statusklassning

Enligt EU:s vattendirektiv ska vattenförekomster uppnå god ekologisk status inom olika tidsramar. Om en vattenförekomst inte uppnår minst god status på den femgradiga skalan (dålig, otillfredsställande, måttlig, god, hög) krävs således förbättringsåtgärder.

För att bedöma ekologisk status har Naturvårdsverket (2007) och HaV (2019) tagit fram bedömningsgrunder där växtplankton är en av flera kvalitetsfaktorer som vägs in i den ekologiska statusbedömningen. Bedömningar av kvalitetsfaktorn växtplankton kan utgå ifrån klorofyll *a*-halt och/eller växtplanktonbiovolym under sommarmånaderna. Bedömningsgrunderna fram till och med 2018 rekommenderade minst tre års månatlig provtagning i juni till och med augusti. Enligt de nyare bedömningsgrunderna är statusklassningar av växtplankton numera baserade på data från juli–augusti, vilket gör att viss felmarginal kan uppstå vid jämförelse med data från tidigare års statusklassningar. För att lättare kunna jämföra data från tidigare år har vi ändå valt att presentera statusklassningarna tillsammans. Statusklassningen enligt HaV (2019) har även ändrats från en skala av 0–4,99 till 0–1. Dock är klasserna fortfarande jämnt fördelade på en femgradig skala. Även här har vi valt att presentera senare års data utifrån den tidigare klassningsskalan för att enklare kunna jämföra data. För år 2024 finns data i sådan utsträckning, varför inga andra månadsvärden tagits med i beräkningarna av ekologisk status. Vid tidigare års statusbedömningar har sommarvärden, när det ansetts nödvändigt, kompletterats med värden från maj och/eller september. I den senaste utgåvan av Hav (2019) har även ekvationen för beräkning av referensvärde för klorofyll ändrats.

Referensvärden finns för Sveriges olika så kallade typområden (TO) som bestäms utifrån HaV (2017). Inom undersökningsområdet finns tre TO: 12, 15 och 24. Analysresultaten har, i enlighet med bedömningsgrunderna (Naturvårdsverket 2007, HaV 2019), räknats om till ekologiska kvoter. För TO24 och TO12 ingår salinitet som en parameter vid beräkningen.

3.3.2 Angående utvärderingen av cyanobakterier

I rådataprotokollen (appendix 1) redovisas olika typer av cyanobakterier i tre olika typer av enheter; antal celler per liter, antal kolonier per liter eller antal filament per liter. De filamentösa cyanobakterierna (ex *Aphanizomenon*, *Dolichospermum*, *Planktolyngbya* och *Planktothrix*) anges i antal filament, där varje enhet filament har en längd på 100 µm i enlighet med (HELCOM 2006).

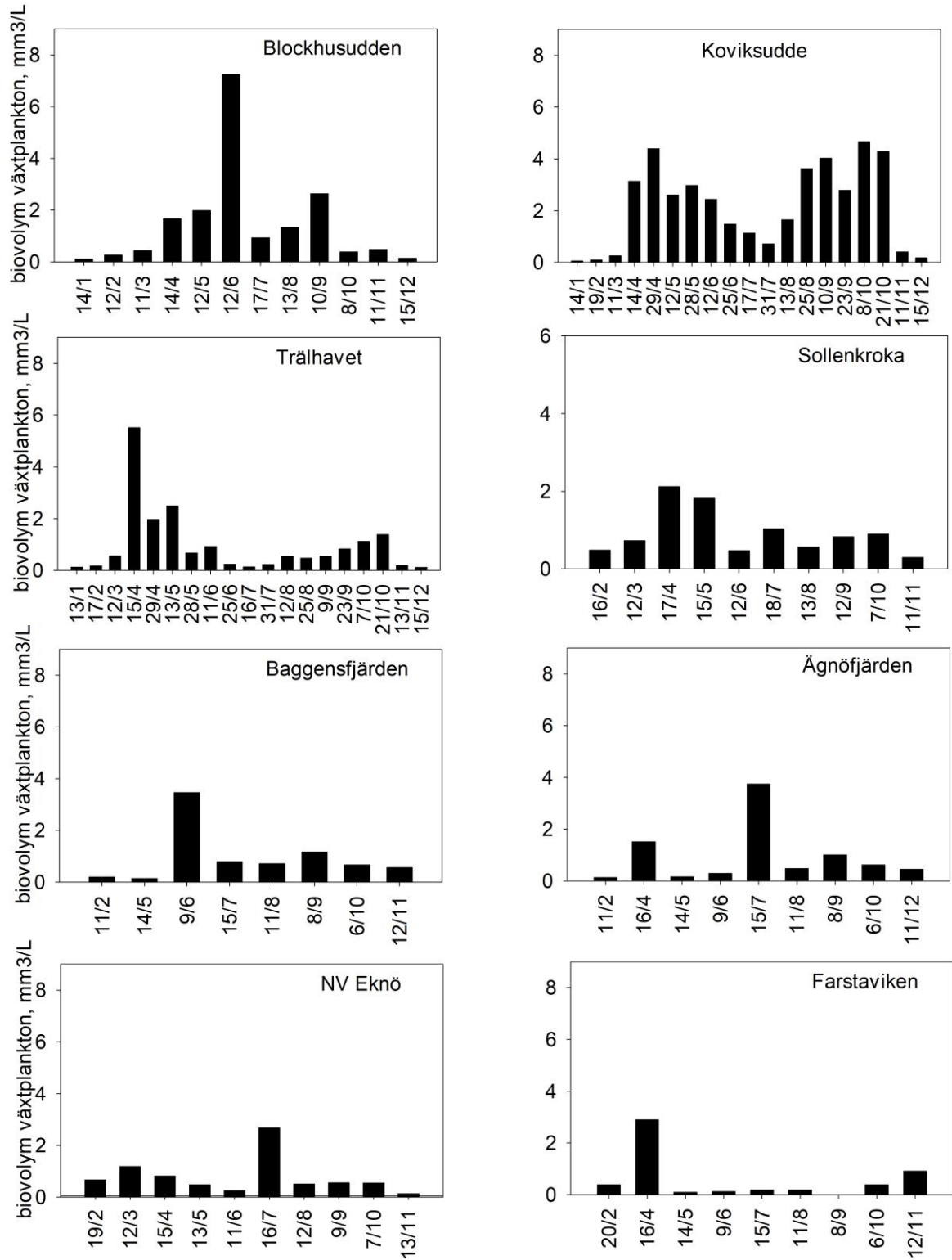
4 Planktonsamhället 2003–2025

Resultaten från 2025 presenteras nedan (kapitel 4.1). För jämförelser bakåt i tiden hänvisas till kapitel 4.2 som behandlar statusklassningar, totalbiovolym och klorofyllvärden.

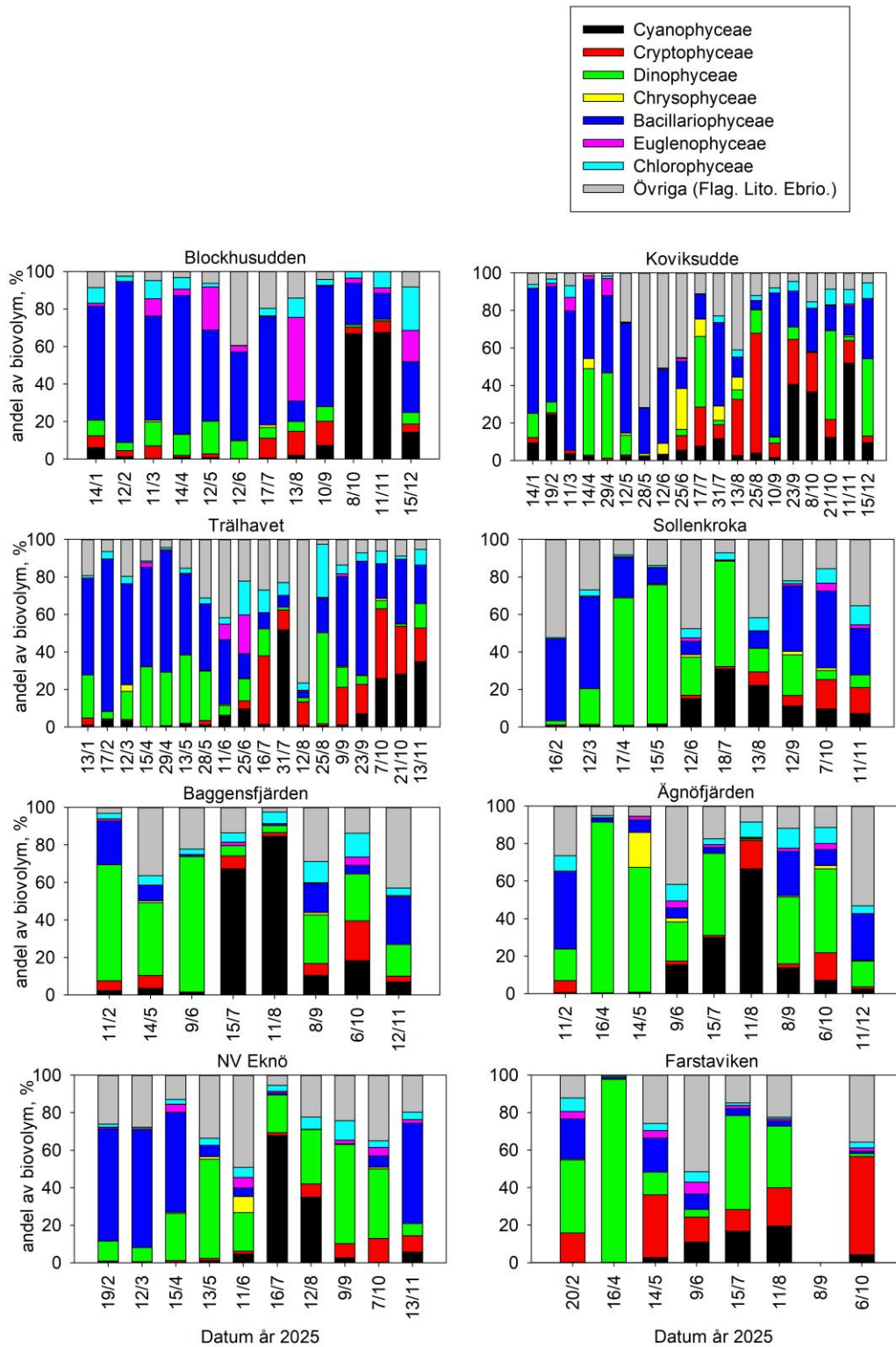
4.1 Beskrivning av växtplanktonsamhället 2025

Rådataprotokoll för alla växtplanktonanalyser återfinns i appendix 1.

Beroende på station var växtplanktonbiovolymen som högst under vårblomningen (Trälhavet, Farstaviken, Sollenkroka), sommaren (Blockhusudden, Baggensfjärden, Ägnöfjärden, NV Eknö) eller likvärdig under våren och hösten (Koviksudde) (figur 2). De högsta biovolymerna noterades vid Blockhusudden i juni (7,23 mm³/l). De övergripande biovolymerna under 2025 var i vissa fall lägre och i andra fall högre än föregående år. NV Eknö och Ägnöfjärden hör till de lokaler där högre biovolymtoppar noterades än tidigare år (figur 4–8).



Figur 2. Total biovolym för växtplankton på samtliga stationer under 2025. Data saknas för Farstaviken i september då provet gick sönder i transport.



Figur 3. Olika taxas andel av biovolymen vid samtliga stationer under 2025. Kategorin "Övriga" utgörs främst av oidentifierade monader och flagellater samt ciliaten *Mesodinium rubrum* (*Litostomatea*) och skelettflagellaten *Ebria tripartita* (*Ebriophyceae*). Data för Farstaviken i september saknas då provet gick sönder under transport. För rådatatabeller se appendix 1.

4.1.1 Växtplanktonsamhället under vintern (januari – mars) 2025

Planktonvolymerna var låga under vintern vid samtliga stationer (figur 2, appendix 1).

I den inre skärgården (Blockhusudden och Koviksudde) utgjorde kiselalger (Bacillariophyceae) den största andelen av växtplanktonsamhället, främst taxa inom *Centrales* (figur 3, appendix 1). Vid Koviksudde förekom även en betydande andel cyanobakterier i februari (25%).

Även i den centrala skärgården (Trälhavet och Sollenkroka) dominerade gruppen kiselalger, främst *Centrales*, under de flesta vintermånaderna. I februari dominerades dock växtplanktonsamhället i Sollenkroka av *Litostomatea* (övriga). Inom denna grupp var arten *Mesodinium rubrum* den mest förekommande.

Vid NV Eknö och Ägnöfjärden var också kiselalger mest förekommande under vintern. Vid NV Eknö var taxa *Thalassiosira* och *Skeletonema* vanligast i februari respektive mars. I Ägnöfjärden var *Centrales* det vanligaste taxonet.

Vid Baggensfjärden och Farstaviken utgjordes växtplanktonsamhället istället till störst del av dinoflagellater. I Baggensfjärden var *Amphidinium* den dominerande inom gruppen, medan *Dinophyceae* var det vanligaste taxonet av dinoflagellater i Farstaviken. Kiselalger av taxonet *Centrales* utgjorde även en betydande del av samhället i Farstaviken (21%).

4.1.2 Växtplanktonsamhället under våren och försommaren (april–juni) 2025

Med undantag för Ägnöfjärden och NV Eknö uppvisade majoriteten av stationerna den högsta totala biovolymen under våren eller försommaren (april, maj eller juni). Vid Koviksudde var biovolymen likvärdig under våren och hösten (figur 2, appendix 1).

För samtliga stationer var det främst kiselalger och dinoflagellater som dominerade biovolymen under våren. Vissa månader var dock övriga grupper mer framträdande vid vissa stationer. I Koviksudde var *Litostomatea* mest förekommande i maj, medan diatomer och encelliga grönalger (*Prasinophyceae*) dominerade i juni. I Trälhavet, Sollenkroka, Ägnöfjärden och NV Eknö var *Litostomatea* den mest förekommande gruppen i juni. I Farstaviken var uniceller den grupp som förekom mest under juni.

Andra grupper förekom i mindre omfattning eller något senare under försommaren. Exempelvis noterades guldalger (*Chrysophyceae*) i Koviksudde under juni. Rekyalger (*Cryptophyceae*) förekom också vid Koviksudde och Farstaviken under samma period. Cyanobakterier utgjorde en mindre andel av växtplanktonsamhället vid Sollenkroka, Ägnöfjärden och Farstaviken under försommaren (figur 3, appendix 1).

4.1.3 Växtplanktonsamhället under sensommaren (juli–september) 2025

I Stockholms inre skärgård (Blockhusudden och Koviksudde) var sammansättningen i juli dominerad av kiselalgerna *Bacillariophyceae* vid Blockhusudden medan det vid Koviksudde var dominans av dinoflagellaterna *Dinophyceae* vid första provtagningstillfället i juli och kiselalgerna *Bacillariophyceae* i slutet av juli. I augusti dominerade Ögonflagellater *Euglenophyceae* vid Blockhusudden medan övriga taxa och rekyalger utgjorde majoriteten av biovolymen vid Koviksudde. I början av september dominerade återigen kiselalgerna *Bacillariophyceae* vid båda stationerna men detta övergick till dominans av *Cyanophyceae* i stället i slutet av september vid Koviksudde (figur 3, appendix 1).

I centrala mellanskärgården (Trälhavet och Sollenkroka) var det vid Trälhavet rekyalger och övriga taxa som dominerade vid första provtillfället i juli för att sedan vara dominerat av *Cyanophyceae* och övriga taxa i slutet av juli. Vid Sollenkroka utgjordes majoriteten av biovolymen av *Dinophyceae* men även *Cyanophyceae* utgjorde en stor del av biovolymen.

I Baggensfjärden dominerade *Cyanophyceae* växtplanktonsamhället i såväl juli som augusti medan Ägnöfjärdens växtplanktonsamhälle till stor del utgjordes av dinoflagellater i juli och dominerades av *Cyanophyceae* i augusti.

I den yttre skärgården (NV Eknö) utgjorde *Cyanophyceae* majoriteten av biovolymen i juli följt av dinoflagellater, i augusti var biovolymen av *Cyanophyceae* och dinoflagellater i stort sett samma. I september dominerade dinoflagellater.

I Farstaviken präglades växtplanktonsamhället under juli till stor del av dinoflagellater under såväl juli som augusti.

4.1.4 Växtplanktonsamhället under hösten (oktober–december) 2025

I Stockholms inre skärgård (Blockhusudden och Koviksudde) bestod oktobers växtplanktonsamhälle främst av cyanobakterier vid Blockhusudden medan dinoflagellaterna *Dinophyceae* utgjorde majoriteten av biovolymen vid Koviksudde, även om cyanobakterier förekom där också. Cyanobakterierna bestod främst av *Planktolyngbya* och *Pseudanabaena* vid Blockhusudden och *Oscillatoriales* vid Koviksudde. I november dominerade fortsatt cyanobakterier vid Blockhusudden och utgjorde nu även majoriteten av biovolymen vid Koviksudde. Den mest förekommande cyanobakterien var *Pseudanabaena* vid såväl Blockhusudden som vid Koviksudde. I december utgjorde kiselalger *Bacillariophyceae*, egentliga grönalger *Chlorophyceae* och Ögonflagellater *Euglenophyceae* större delen av växtplanktonsamhället vid Blockhusudden, men cyanobakterier förekom likaså. Vid Koviksudde utgjordes majoriteten av växtplanktonsamhället av dinoflagellaterna *Dinophyceae* och kiselalger *Bacillariophyceae*, men även här förekom även cyanobakterier.

I centrala mellanskärgården (Trälhavet och Sollenkroka) förekom också cyanobakterier men utgjorde inte lika stor del av växtplanktonsamhället. I Trälhavet var de dominerande grupperna rekylalger *Cryptophyceae*, *Cyanophyceae*, och kiselalger *Bacillariophyceae*. Vid Sollenkroka dominerade kiselalger *Bacillariophyceae*. I november var *Cyanophyceae* dominerande vid Trälhavet medan Övriga taxa, främst ciliaterna *Litostomatea*, och *Bacillariophyceae* utgjorde majoriteten av biovolymen vid Sollenkroka.

I Baggensfjärden utgjorde dinoflagellater *Dinophyceae* majoriteten av biovolymen i oktober följt av rekylalger *Cryptophyceae* och cyanobakterier *Cyanophyceae*. I november dominerade övriga taxa främst i form av *Litostomatea*. Ägnöfjärdens biovolym utgjordes till största delen av dinoflagellater i oktober och övriga taxa främst i form av *Litostomatea* och *Bacillariophyceae* i november.

I Farstaviken utgjordes majoriteten av biovolymen av rekylalger och övriga taxa i oktober och främst dinoflagellater och övriga taxa i november.

I den yttre skärgården (NV Eknö) bestod den största delen av biovolymen i oktober av dinoflagellater och övriga taxa i form av *Litostomatea* och i november dominerade kiselalger *Bacillariophyceae*.

4.2 Ekologisk status

I kapitel 4.2.1–4.2.5 redovisas de olika områdenas statusklassningar.

Rådata för klorofyll *a* och biovolym som legat till grund för statusklassningarna presenteras i figur 4–8 (övre panelerna) samt i appendix 1. Statusklassningarna redovisas som löpande treårsmedelvärden för respektive typområde/station. De två första resultaten i varje serie är dock, av logiska skäl, endast ett-, respektive tvåårsmedelvärden. Status för varje separat ingående parameter (klorofyll *a* respektive biovolym) redovisas, liksom den sammanvägda växtplanktonstatusen. Resultaten från statusklassningarna framgår av de nedre panelerna i figur 4–8.

Som framgår av figur 4–8 (övre panelerna) samvarierar klorofyll *a* och biovolym generellt mycket väl; klorofyll *a*-koncentrationen (i $\mu\text{g/l}$) motsvarar ungefär 5 gånger biovolymen (i mm^3/l). Statusklassningarna med avseende på biovolym har vid samtliga stationer sedan tidsseriernas början varit högre än klassningarna som baserats på klorofyll *a*-halt. Samma mönster ses för 2025 års värden.

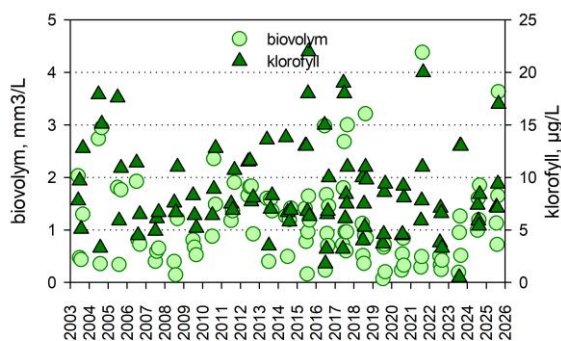
4.2.1 Stockholms inre skärgård (TO24); Koviksudde och Blockhusudden

Vid Koviksudde noterades höga biovolymerna av växtplankton under 2004. Därefter minskade volymerna för att nå en lägsta nivå under 2007–2009. Från 2010 ökade biovolymerna gradvis igen fram tills år 2012, för att därefter ånyo minska (figur 4 övre vänstra panelen). Mellan 2016–2018 noterades återigen höga värden medan de sjönk under 2019–2020. Under 2021 noterades den högsta toppen av växtplankton sedan 2011. Biovolymen sjönk under 2022 och låg då inom de lägsta intervallen som uppmätts vid Koviksudde. Därefter ökade halterna gradvis. År 2025 registrerades den tredje högsta biovolymen sedan mätningarna påbörjades, med en halt på $3,63 \text{ mm}^3/\text{l}$. De övriga biovolymhalterna låg inom de normala intervallen för stationen och varierade mellan $0,72$ och $1,65 \text{ mm}^3/\text{l}$. Halterna av klorofyll fluktuerade mellan $7,10$ – $17,00 \mu\text{g/l}$ (figur 4, övre vänstra panel).

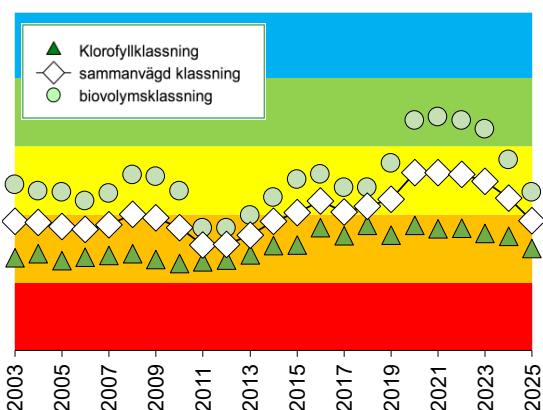
Vid Blockhusudden finns växtplanktondata sedan år 2013 (figur 4, övre högra panelen) och visar på stor variation för klorofyll och biovolym både inom och mellan åren. Under 2025 låg biovolymhalterna inom de lägsta intervallen sedan mätningarna inleddes. Sommarens uppmätta biovolymvärden varierade mellan $0,93$ – $1,34 \text{ mm}^3/\text{l}$ och halterna av klorofyll låg på $4,60 \mu\text{g/l}$ vid samtliga provtagningar.

Den sammanvägda statusklassningen för Koviksudde under 2023–2025 baserad på biovolym och klorofyll försämrades och sänktes från *måttlig* till *otillfredsställande*. Resultaten för både biovolym och klorofyll minskade för den aktuella perioden, men klassningarna kvarstår som *måttlig* respektive *otillfredsställande* (figur 4, nedre vänstra panelen). Däremot förbättrades statusen vid Blockhusudden för perioden 2023–2025 från *otillfredsställande* till *måttlig*. Resultaten för både biovolym och klorofyll ökade. Biovolymen behåller en *måttlig* status, medan klorofyllen fortfarande klassas som *otillfredsställande*, men ligger nu nära gränsen till *måttlig* status (Figur 4, nedre högra panelen).

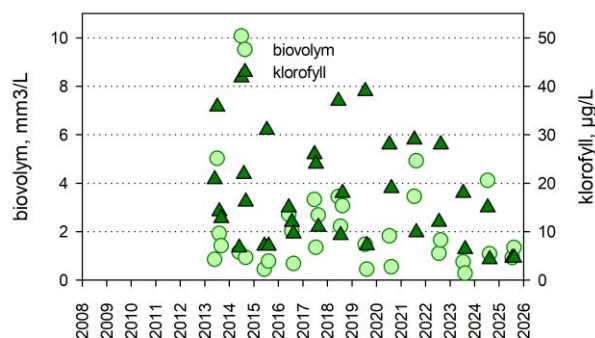
Stockholms inre skärgård (24), Koviksudde
Planktonbiovolym och klorofyll



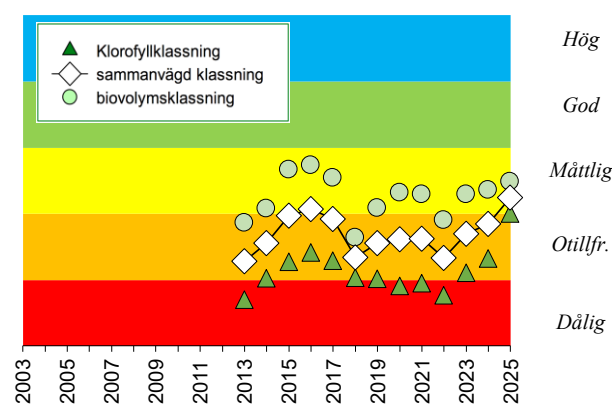
Statusklassning, löpande 3-årsmedel



Stockholms inre skärgård (24), Blockhusudden
Planktonbiovolym och klorofyll



Statusklassning, löpande 3-årsmedel



Figur 4. Klorofyll *a*-halt och växtplanktonbiovolym (övre panelerna) för (maj) juni–aug (sept) 2003–2025 samt statusbedömning enligt Naturvårdsverket 2007 och HaV 2019 (nedre panelerna) i Stockholms inre skärgård (TO24) vid Koviksudde och Blockhusudden. Status i figurerna är representerade av färger där röd = *dålig*, orange = *otillfredsställande*, gul = *måttlig*, grön = *god*, blå = *hög*. Från och med 2019 är statusklassningar av växtplankton baserade på data från juli–augusti. Därför presenteras biovolym- och klorofylldata (övre panelerna) endast från de månaderna under 2023–2025. Notera att axlarna i de övre panelerna har olika skala.

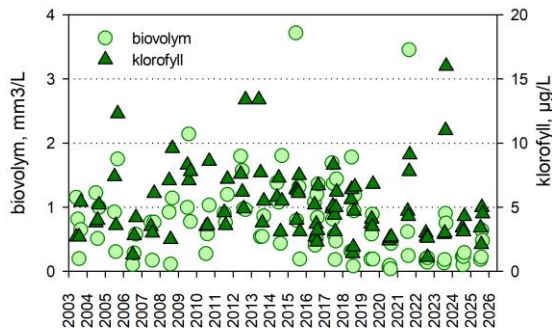
4.2.2 Stockholms centrala mellanskärgård (TO12); Trälhavet och Sollenkroka

Klorofyll och biovolym har sedan år 2003 varit mer variabla och högre vid Trälhavet än vid Sollenkroka (figur 5, övre panelerna). Vid Trälhavet är variationen inom enskilda år relativt stor men möjligtvis ökade båda variablerna under 2003–2005 och under 2006–2009, för att åren efter respektive period falla tillbaka till låga nivåer och under 2020 noterades de lägsta nivåerna av både biovolym och klorofyll för hela tidserien. Dock noterades höga nivåer av biovolym och klorofyll i augusti 2021, vilket främst utgjordes av blomningar av cyanobakterierna *Aphanizomenon* och *Planktolyngbya*. Även under 2023 registrerades höga klorofyllhalter. Därefter har nivåerna stabiliserats och legat inom de lägre intervallen för stationen. Under 2025 varierade biovolymen mellan 0,18–0,64 mm³/l, medan klorofyllhalterna låg mellan 2,1–5 µg/l (figur 5, övre vänstra panel).

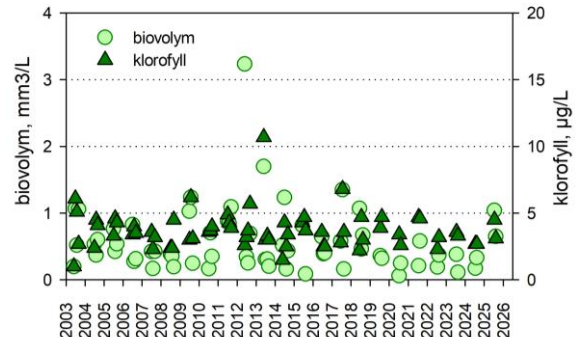
Vid Sollenkroka har båda parametrarna legat på relativt stabila nivåer sedan 2003, förutom år 2012 och 2013 då betydligt förhöjda värden noterades. Under 2025 ökade värdena något jämfört med föregående år. Biovolym varierade mellan 0,65–1,04 mm³/l och klorofyllhalterna fluktuerade mellan 3,1–4,5 µg/l (figur 5, övre högra panelen).

Trälhavet och Sollenkroka har sedan år 2003 statusklassats tillsammans (samklassats). Den sammanvägda statusen var *måttlig* fram till och med år 2010, för att under 2011–2013 vara på gränsen mellan *otillfredsställande* och *måttlig*. Statusen förbättrades något under 2014–2019 och ytterligare 2020 då den sammanvägda statusen ökade till *god*. Detta berodde främst på den förbättrade statusen för biovolym. Den sammanvägda statusen för 2023–2025 ligger fortsatt kvar på *god*, men nära gränsen till *måttlig*. Statusen för biovolym sänktes från *hög* under föregående perioden till *god* under den aktuella perioden. Klorofyllhalten ligger kvar på *måttlig* status (figur 5, nedre panelen).

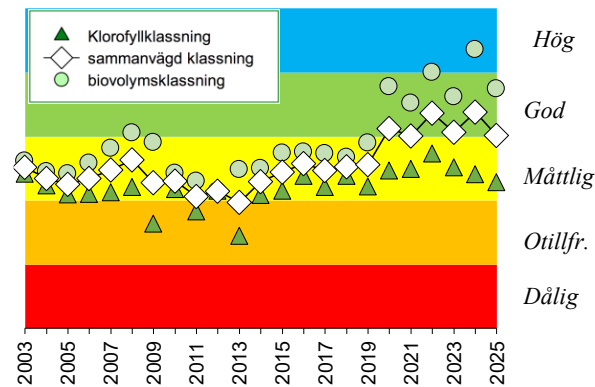
Stockholms c. mellanskärgård (12), Trälhavet
Planktonbiovolym och klorofyll



Stockholms c. mellanskärgård (12), Sollenkroka
Planktonbiovolym och klorofyll



Statusklassning, löpande 3-årsmedel



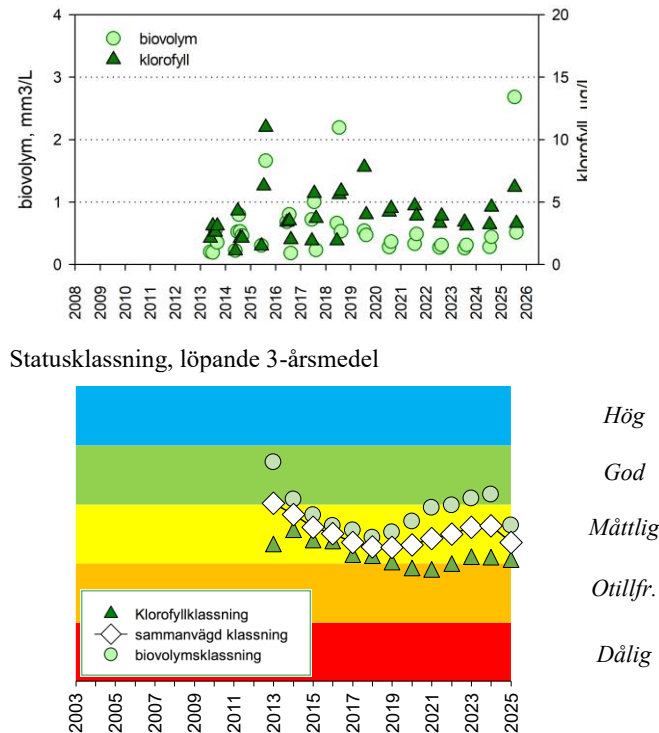
Figur 5. Klorofyll *a* och växtplanktonbiovolym (övre panelerna) för (maj) juni–aug (sept) 2003–2025 samt statusbedömning enligt Naturvårdsverket 2007 och HaV 2019 (nedre panelen) i Stockholms centrala mellanskärgård (TO12). Status i figurerna är representerade av färger där röd = *dålig*, orange = *otillfredsställande*, gul = *måttlig*, grön = *god*, blå = *hög*. Från och med 2019 är statusklassningar av växtplankton baserade på data från juli–augusti. Därför presenteras biovolym- och klorofylldata (övre panelerna) endast från de månaderna under 2023 – 2025. Observera att biovolymen den 28/5 2013 (6,8 mm³/l) och 31/8 2021 (4,49 mm³/l) i Trälhavet är högre än vad som ryms inom y-axeln.

4.2.3 Stockholms ytterskärgård (TO15); NV Eknö

Vid NV Eknö finns växtplanktondata sedan år 2013. Biovolymen och klorofyllhalterna ökade gradvis från mätningarnas början fram till 2018, för att därefter minska fram till 2023. Under 2024 noterades en viss ökning, och nivåerna fortsatte att stiga under 2025. Biovolymen varierade mellan 0,51–2,68 mm³/l under 2025, där 2,68 mm³/l är den högsta nivå som uppmätts sedan mätningarna påbörjades. Klorofyllhalterna registrerades mellan 3,3–6,2 µg/l, (figur 6, övre panelen).

Resultaten för den sammanvägda statusen NV Eknö har minskat för perioden 2023–2025, men bedöms som *måttlig*, i likhet med de senaste perioderna (figur 6, nedre panelen). Biovolymen ökade stadigt från 2019 och ledde till *god* status under 2023 och 2024, men under 2025 har statusen sänkts till *måttlig*. Klorofyllens status föll till *otillfredsställande* under 2020, men har sedan 2023 åter varit *måttlig*. Den tidigare uppåtgående trenden i den sammanvägda statusen, som observerats sedan 2019, verkar således ha vänt, vilket främst beror på försämringen av biovolymens status under 2025.

Stockholms ytterskärgård (15), NV Eknö Planktonbiovolym och klorofyll



Figur 6. Klorofyll a och växtplanktonbiovolym (övre panelen) för (maj) juni–aug (sept) 2013–2025 samt statusbedömning enligt Naturvårdsverket 2007 och HaV 2019 (nedre panelen) i Stockholms ytterskärgård (TO15). Status i figurerna är representerade av färger där röd = *dålig*, orange = *otillfredsställande*, gul = *måttlig*, grön = *god*, blå = *hög*. Från och med 2019 är statusklassningar av växtplankton baserade på data från juli–augusti. Därför presenteras biovolym- och klorofylldata (övre panelerna) endast från de månaderna under 2023–2025.

4.2.4 Stockholms södra innerskärgård (TO24 använt men ej fastställt); Farstaviken

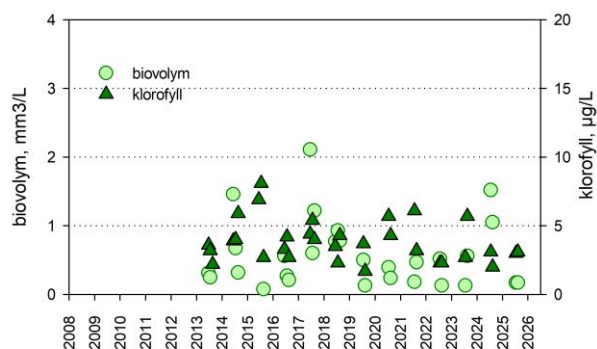
Farstaviken är inte klassad som en vattenförekomst och saknar därför ett tilldelat typområde i bedömningsgrunderna (Naturvårdsverket 2007, HaV 2019). I denna rapport (och tidigare rapporter i samma serie) har beräkningarna för Farstaviken gjorts utifrån antagandet att den tillhör typområde 24, Stockholms inre kustvatten. Från Farstaviken finns klassningsbara data från och med år 2013.

Biovolym och klorofyll i Farstaviken har generellt varit lägre än i Stockholmsrecipientens inre kustvatten (Koviksudde och Blockhusudden, jmf figurer 4 och 7, övre panelerna, notera skillnader i skala). Vissa år kan dock halterna skilja sig åt, exempelvis under 2015 då klorofyllhalterna i Farstaviken var betydligt högre och ett högt biovolymvärde på 13,2 mm³/l uppmättes i Farstaviken i juni 2015, i samband med en blomning av dinoflagellaten *Scrippsiella cf hangoei*.

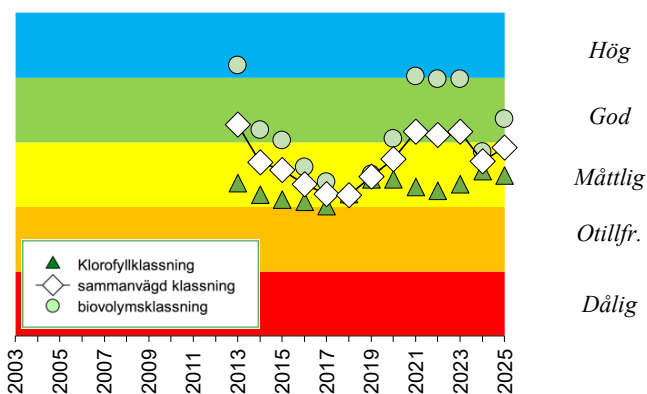
Under 2024 noterades en ökning i biovolym i jämförelse med de senaste årens data. Halterna minskade under 2025 och registrerades med 0,17 mm³/l för både juli och augusti, vilket ligger inom det lägsta intervallet för stationen. Halterna för klorofyll varierade mellan 3,0–3,1 µg/l under 2025 (figur 7, övre panelen).

Resultaten för den sammanvägda statusklassningen för Farstaviken under 2023–2025 har ökat, men klassningen kvarstår som *måttlig*, i likhet med 2024. Statusen för biovolym har dock förbättrats från *måttlig* till *hög*, medan statusen för klorofyll fortsatt som *måttlig*. Från 2018–2021 observerades en positiv trend i statusklassningen för Farstaviken, främst beroende på att klassningen av biovolym förbättrades. Sedan 2021 har dock utvecklingen planat ut och även sjunkit 2024. Under årets undersökning bryts dock denna utveckling och resultaten visar en generell förbättring (figur 7, nedre panelen).

Stockholms södra innerskärgård (24), Farstaviken
Planktonbiovolym och klorofyll



Statusklassning, löpande 3-årsmedel



Figur 7. Klorofyll *a* och växtplanktonbiovolym (övre panelen) för (maj) juni–aug (sept) 2013–2025 samt statusbedömning enligt Naturvårdsverket 2007 och HaV 2019 (nedre panelen) i Stockholms södra innerskärgård (TO24). Status i figurerna är representerade av färger där röd = *dålig*, orange = *otillfredsställande*, gul = *måttlig*, grön = *god*, blå = *hög*. Från och med 2019 är statusklassningar av växtplankton baserade på data från juli–augusti. Därför presenteras biovolym- och klorofylldata (övre panelerna) endast från de månaderna under 2023–2025. Biovolymen den 11/6 2015 (13,2 mm³/l) överstiger vald skala.

4.2.5 Stockholms södra mellanskärgård (TO12); Baggensfjärden och Ägnöfjärden

Klorofyllhalterna i Baggensfjärden har sedan 2003 legat omkring 4–6 µg/l. Under 2025 registrerades halter mellan 4,2–5,6 µg/l, vilket var något högre än under 2024, men fortfarande inom de normala intervallen för stationen. Biovolymen har normalt varit lägre än 1 mm³/l och har de sex senaste åren (2019–2024) legat på låga nivåer. Biovolymhalterna ökade något under 2024 och utvecklingen fortsätter under 2025, med halter mellan 0,71–0,79 mm³/l (figur 8, övre vänstra panelen).

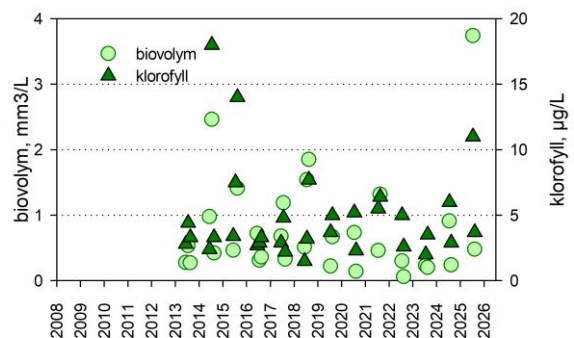
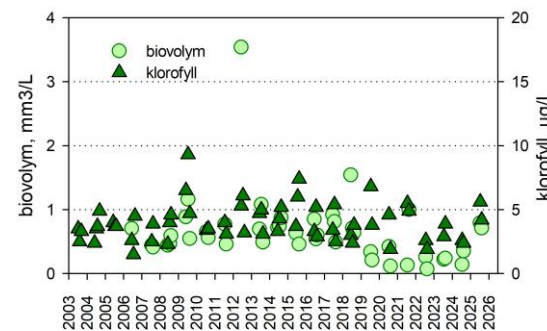
I Ägnöfjärden var biovolymen och klorofyllhalterna mycket höga under juli 2025 och registrerades till 3,74 mm³/l respektive 11 µg/l. Biovolymen utgör den högsta nivå som uppmättes sedan mätningarna inleddes. I augusti sjönk halterna till 0,48 mm³/l respektive 3,70 µg/l, vilket ligger inom de normala intervallen för stationen (figur 8, nedre vänstra panelen).

Den sammanvägda statusen för Baggensfjärden har visat en positiv utveckling sedan 2014 och ökade gradvis från *otillfredsställande* till *måttlig* för att sedan nå *god* status 2021. Den långsiktiga förbättringstrenden har dock brutits, och den sammanvägda statusen försämrades under perioden 2023–2025 och bedöms nu som *måttlig*. Försämringen beror främst på att biovolymstatus sjönk från *hög* till *god*. Även klorofyll minskade något, men statusen förblev *måttlig* (figur 8, nedre vänstra panelen).

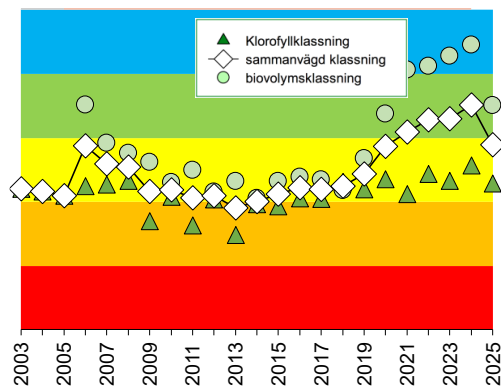
För Ägnöfjärden finns klassningsbara data från och med 2013. Från 2019 har den sammanvägda statusen visat en positiv utveckling och uppnådde för första gången *god* status under föregående perioden. Denna förbättringstrend bryts dock under perioden 2023–2025, då den sammanvägda statusen försämrades till *måttlig*. Statusen för klorofyll ligger kvar som *måttlig* medan biovolymens status sjunker kraftigt från *god* status på gränsen till *hög* under föregående perioden, till *måttlig* status under den aktuella perioden (figur 8, nedre högra panelen).

Stockholms s. mellanskärgård (12), Baggensfjärden
Planktonbiovolym och klorofyll

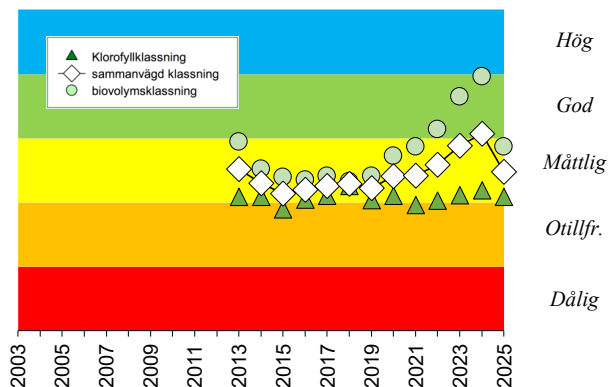
Stockholms s. mellanskärgård (12), Ägnöfjärden
Planktonbiovolym och klorofyll



Statusklassning, löpande 3-årsmedel



Statusklassning, löpande 3-årsmedel



Figur 8. Klorofyll *a* och växtplanktonbiovolym (övre panelerna) för (maj) juni–aug (sept) 2003–2025 samt statusbedömning enligt Naturvårdsverket 2007 och HaV 2019 (nedre panelerna) i Stockholms södra mellanskärgård (TO12). Status i figurerna är representerade av färger där röd = *dålig*, orange = *otillfredsställande*, gul = *måttlig*, grön = *god*, blå = *hög*. Från och med 2019 är statusklassningar av växtplankton baserade på data från juli–augusti. Därför presenteras biovolym- och klorofylldata (övre panelerna) endast från de månaderna under 2023–2025.

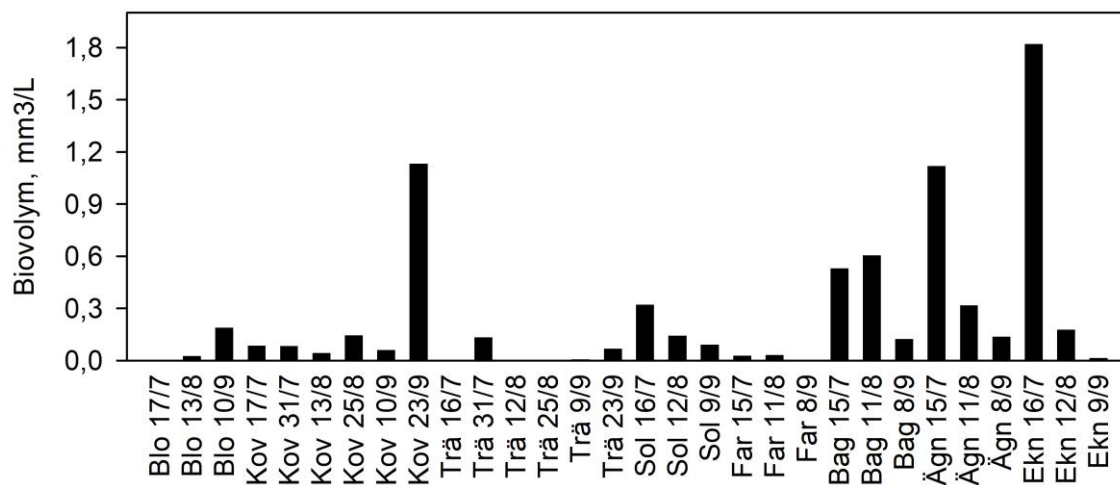
4.3 Cyanobakterier

De cyanobakterier som lever i den öppna vattenmassan delas in i tre ordningar: Chroococcales, Oscillatoriales och Nostocales. Chroococcales är små och påträffas som enstaka celler eller kluster och kan gynnas av näringsfattiga förhållanden (Andersson m. fl. 2015). *Woronichinia* är ett vanligt förekommande släkte bland Chroococcales i Östersjön. Oscillatoriales är trådformiga och bildar långa filament. De gynnas av näringsrika förhållanden och förekommer i större omfattning vid höga kvävehalter (Andersson m. fl. 2015). *Planktotrix* och *Planktolyngbya* är två vanliga släkten av Oscillatoriales som förekommer i Östersjön. Nostocales är också trådformiga och filamentösa men har så kallade heterocyster som kan fixera kväve. Detta gör att Nostocales ofta dominerar i förhållanden med höga fosforhalter och låga kvävehalter (Andersson m. fl. 2015). Till Nostocales hör släktena *Aphanizomenon*, *Dolichospermum* och *Nodularia*.

Cyanobakterier kan förekomma under hela året. Denna rapport fokuserar dock främst på sommarmånaderna juli till september då cyanobakterievolymen brukar vara som störst. Det är även den tid på året då algblomningsproblematik har störst inverkan på rekreation. Samma månader har använts i analyser tidigare år vilket skapar förutsättningar för jämförelser.

Under 2025 observerades halter av cyanobakterier under sensommaren med ett medelvärde av 0,25 mm³/l från provtagningarna i juli-september. Under 2025 uppmättes de högsta biovolymerna av cyanobakterier den 7 juli i ytterskärgården vid NV Eknö (1,8 mm³/l), den 8 oktober i innerskärgården vid Koviksudde (1,7 mm³/l, ej med i diagram), 23 september vid Koviksudde (1,1 mm³/l) samt 16 juli i Stockholms södra mellanskärgård vid Ägnö (1,1 mm³/l) (figur 9).

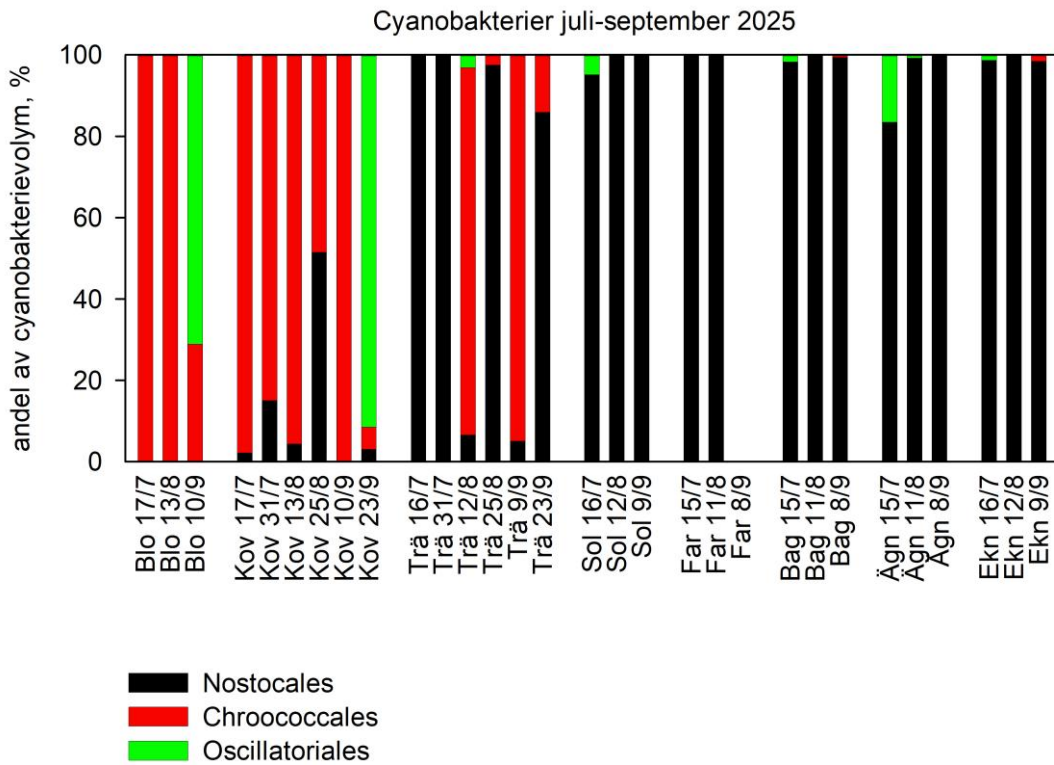
Biovolym för cyanobakterier juli-september 2025



Figur 9. Biovolym av cyanobakterier vid samtliga stationer, juli–september 2025. Stationernas namn följer samma förkortningar som i figur 1.

Cyanobakterier var under 2025 som mest förekommande på hösten/sensommaren, men förekom även under vintermånader i vissa stationer (figur 9, figur 3).

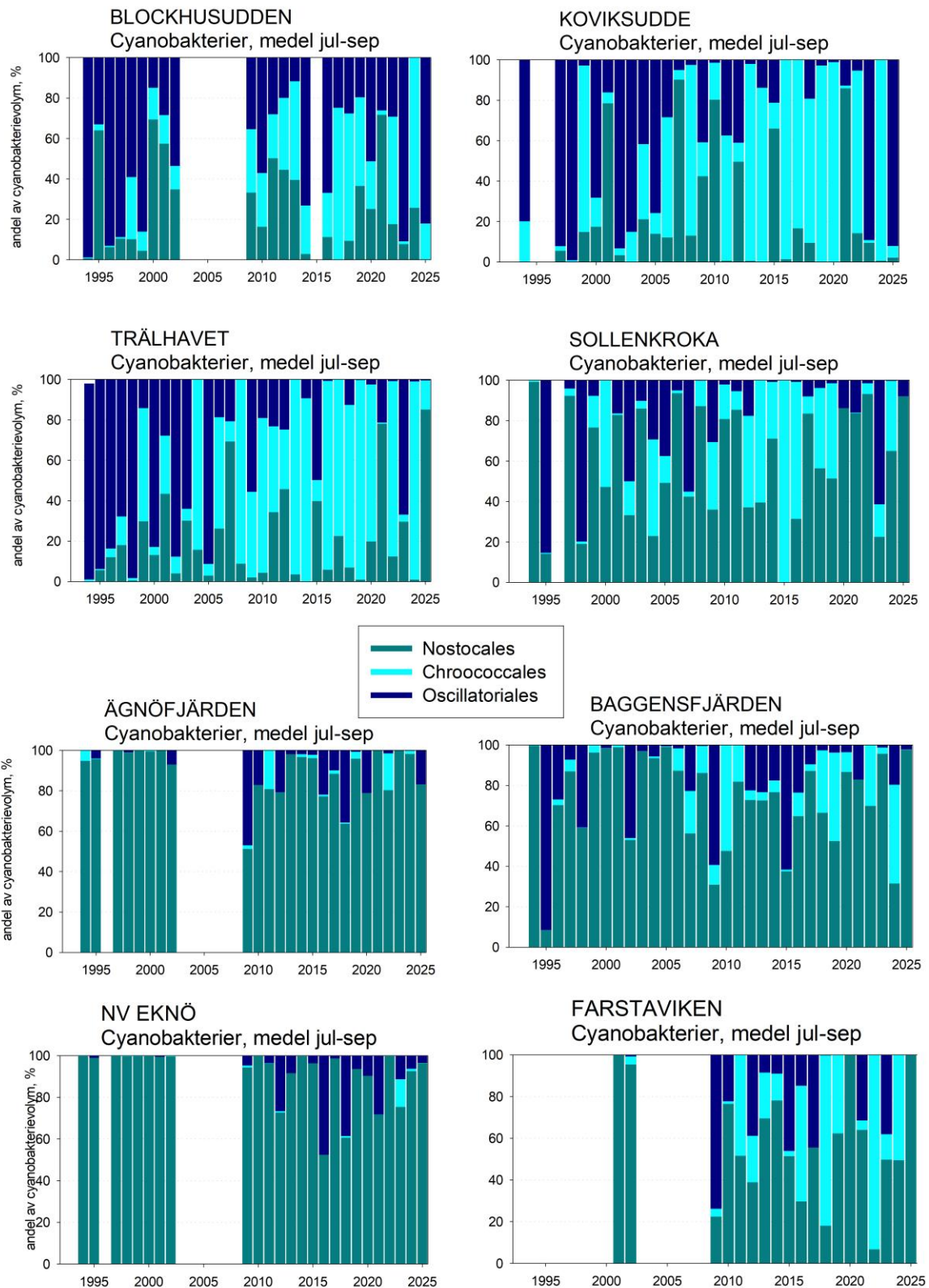
Under 2025 noterades en stor dominans av *Chroococcales* i innerskärgården (Blockhusudden och Koviksudde) förutom under den 10 september vid Blockhusudden och 23 september vid Koviksudde då *Oscillatoriales* dominerade i stället (figur 10 och 11). Likt tidigare år var *Nostocales* mer dominerande i yttre skärgården (NV Eknö) och i södra mellanskärgården (Baggensfjärden och Ägnöfjärden) under 2025 (figur 10).



Figur 10. Olika taxas andel av cyanobakteriebiovolymen för Stockholms innerskärgård (BLO Blockhusudden, KOV Koviksudde), Stockholms centrala mellanskärgård (TRÄ Trälhavet, SOL Sollenkroka), Stockholms yttreskärgård (EKN NV Eknö), Stockholms södra innerskärgård (FAR Farstaviken) och Stockholms södra mellanskärgård (BAG Baggensfjärden, ÄGN Ägnöfjärden), juli–september 2025. Stationernas namn följer samma förkortningar som i figur 1.

Från 90-talet till mitten av 00-talet var Oscillatoriales vanligt förekommande i den inre skärgården (Blockhusudden och Koviksudde) och vissa delar av den centrala mellanskärgården (Trälhavet) medan Nostocales dominerade i större omfattning i den yttre skärgården (NV Eknö) och södra mellanskärgården (Baggensfjärden och Ägnöfjärden).

Sedan 2010 har ordningen Chroococcales utgjort en större del av biovolymen i inner- och mellanskärgården (Blockhusudden, Koviksudde, Trälhavet och Sollenkroka) medan Nostocales har varit mer framträdande i de södra och yttre delarna av skärgården (Ägnöfjärden, Baggensfjärden, Farstaviken och NV Eknö) (figur 11). Dessa spatiala skillnader har historiskt setts som typiska då Nostocales har en klar fördel gentemot andra taxa ute i den yttre skärgården där kvävebegränsning ofta råder.



Figur 11. Sammansättning av cyanobakteriesamhällen vid provtagningsstationerna, baserat på årsmedelvärden juli–september 1994–2025.

4.4 Potentiellt toxiska plankton 2025

I Östersjön förekommer en del potentiellt toxiska plankton; dinoflagellater som *Dinophysis* och *Prorocentrum*, guldalger som *Chrysochromulina*, och olika cyanobakterier (*Nodularia*, *Aphanizomenon*, *Anabaena*, *Dolichospermum*, *Oscillatoria*, *Planktolyngbya*, *Planktothrix*, *Woronichinia*). I denna rapport har vi dock valt att fokusera på de taxa som är vanligast förekommande och som främst förknippas med toxicitet i Östersjön.

Bland cyanobakterierna är det främst *Nodularia* som förknippas med toxicitet i Östersjön. Under 2025 påträffades inga *Nodularia* (tabell 3 och appendix 1). Det totala antalet celler av potentiellt toxiska cyanobakterier var högre än under 2024 och majoriteten av dessa utgjordes av släktet *Snowella* som oftast förekom under de kallare månaderna. *Aphanizomenon* och *Dolichospermum* förekom också i stor utsträckning men då främst under de varmare månaderna. *Planktothrix agardhii* förekom också vid flera stationer men inte i lika stort antal. År 2025 uppmättes inga totalhalter av toxiska cyanobakterier över WHO:s gränsvärde. Det bör dock noteras att innebörden av gränsvärdet är osäkert. Värdet 100 miljoner celler per liter som gränsvärde för badvatten baseras på diskussioner i en WHO- skrift (WHO 2000) där man ansåg sig kunna visa att ett givet cellantal maximalt kan producera en viss mängd toxin. Med en teoretisk kallsupsvolym på 4 dl och antagandet att cellerna producerar högttoxiska levergifter resonerar de sig fram till gränsvärdet. Vidare analyseras filamentösa cyanobakterier som antal filament, vilka måste räknas om till celler för att kunna jämföras med gränsvärdet och därmed introduceras ytterligare en osäkerhetsfaktor.

Tabell 3. Förekomst av potentiellt toxiska cyanobakterier i Stockholms skärgård år 2025. Siffrorna anger miljoner celler per liter och gränsvärdet för "farligt badvatten" ligger på 100 miljoner celler/l (WHO 2000). Grönmarkering indikerar att gränsvärdet ej överskridits. Gränsvärdet överskreds inte vid någon lokal under 2025.

| | IAXA | JAN | FEB | MARS | APR | MAJ | JUN | JUL | AUG | SEPT | OKT | NOV | DEC | | | |
|-----------------------------------|-----------------------------------|----------------------|-------------|-------------|-------------|-------------|-------------|--------------|--------------|-------------|---------------|--------------|-------------|--------------|--------------|-------------|
| Blockhusudden | <i>Aphanizomenon</i> | 0,02 | | | | 0,14 | 0,17 | | | | | | | | | |
| | <i>Dolichospermum</i> sp. | 0,03 | | | | | | | | | 0,01 | | | | | |
| | <i>Snowella lacustris</i> | | | | | | | | | | | 48,99 | | | | |
| | <i>Planktothrix agardhii</i> | 0,04 | | | | 0,04 | 0,19 | | | | | 0,35 | | | | |
| | SUMMA | 0,09 | 0,00 | 0,00 | 0,00 | 0,18 | 0,36 | 0,00 | 0,00 | 0,00 | 0,01 | 49,34 | 0,09 | | | |
| Koviksudden | <i>Aphanizomenon</i> | 0,02 | 0,06 | | 0,13 | 1,96 | | 1,11 | 1,11 | 0,13 | 0,13 | 0,05 | 0,84 | 0,67 | | |
| | <i>Cuspidothrix issatschenkoi</i> | | | | | | | | | | | 0,33 | 0,04 | 0,42 | | |
| | <i>Snowella lacustris</i> | | | | | | | | | | | 0,47 | | 26,25 | | |
| | <i>Dolichospermum</i> sp. | | 0,22 | | | | | | | 0,12 | | 0,14 | 0,03 | | | |
| | SUMMA | 0,02 | 0,28 | 0,00 | 0,13 | 1,96 | 0,00 | 1,11 | 1,11 | 0,13 | 0,13 | 0,85 | 1,00 | 0,92 | 27,34 | |
| Trälhavet | <i>Aphanizomenon</i> | | 0,03 | | | 0,02 | | | 0,03 | 1,36 | 0,00 | 0,05 | 0,54 | 0,57 | 0,73 | 0,23 |
| | <i>Dolichospermum</i> sp. | | 0,03 | | 0,03 | | | 0,15 | | | | | | | | |
| | <i>Snowella lacustris</i> | | | | | | | | | | | 23,00 | 17,59 | | 3,83 | |
| | <i>Planktothrix agardhii</i> | | | 0,08 | | | | | | | | | | | | |
| | SUMMA | 0,00 | 0,07 | 0,08 | 0,03 | 0,02 | 0,00 | 0,15 | 0,03 | 1,36 | 0,00 | 0,05 | 0,00 | 23,54 | 18,16 | 0,73 |
| Sollenkroka | <i>Aphanizomenon</i> | | 0,02 | 0,10 | | | | 0,01 | 0,04 | | 0,61 | | 0,04 | | | |
| | <i>Snowella lacustris</i> | | | 3,06 | | | | | | | | | | | | |
| | <i>Dolichospermum</i> sp. | | | | | | 0,01 | | 3,44 | | | | | 0,02 | | |
| | SUMMA | 0,00 | 0,00 | 3,07 | 0,10 | 0,00 | 0,00 | 0,01 | 3,49 | 0,61 | 0,04 | 0,04 | 0,02 | 0,00 | 0,00 | 0,00 |
| | NV Eknö | <i>Aphanizomenon</i> | | | 0,01 | | 0,01 | | | 2,15 | 0,12 | 0,23 | | | 0,01 | |
| <i>Dolichospermum</i> sp. | | | | | | | | | 10,48 | 0,03 | | | | 0,01 | | |
| <i>Nodularia spumigena</i> | | | | | | | | | | | | | | | | |
| SUMMA | | 0,00 | 0,00 | 0,01 | 0,00 | 0,01 | 0,00 | 0,00 | 12,63 | 0,14 | 0,23 | 0,01 | 0,01 | 0,01 | 0,00 | 0,00 |
| Farstaviken | | <i>Aphanizomenon</i> | | | | | | 0,07 | 0,37 | | 0,41 | | saknas | 0,14 | | |
| | <i>Planktothrix agardhii</i> | | | | 0,03 | | 0,00 | | | | | saknas | 0,02 | | | |
| | <i>Dolichospermum</i> sp. | | | | | | 0,17 | | | | | saknas | | 0,01 | | |
| | SUMMA | 0,00 | 0,00 | 0,00 | 0,00 | 0,03 | 0,25 | 0,37 | 0,41 | 0,41 | saknas | 0,16 | 0,01 | 0,00 | 0,00 | 0,00 |
| | Baggensfjärden | <i>Aphanizomenon</i> | | 0,01 | | | | | 0,34 | 5,21 | 1,49 | 0,57 | | | | |
| <i>Planktothrix agardhii</i> | | | | | | 0,01 | | | | | | | | | | |
| <i>Cuspidothrix issatschenkoi</i> | | | | | | | 0,01 | | | | | | | | | |
| <i>Phormidium</i> | | | 0,03 | | | | | | | | | | | | | |
| <i>Dolichospermum</i> sp. | | | 0,03 | | | 0,00 | | 0,27 | 0,16 | | | | | | | |
| <i>Nodularia spumigena</i> | | | | | | | | | | | | | | | | |
| SUMMA | | 0,00 | 0,07 | 0,00 | 0,00 | 0,02 | 0,62 | 5,37 | 1,49 | 0,57 | 0,00 | 0,00 | 0,00 | 0,00 | 0,00 | 0,00 |
| Ägnöfjärden | <i>Aphanizomenon</i> | | 0,01 | | | 0,00 | | 5,30 | 3,21 | | | 0,19 | 0,02 | | | |
| | <i>Cuspidothrix issatschenkoi</i> | | | | | | | 6,65 | | | | | | | | |
| | <i>Snowella lacustris</i> | | | | | | | | | | | | 3,06 | | | |
| | <i>Dolichospermum</i> sp. | | | | 0,13 | 0,02 | | 0,45 | 11,54 | 0,01 | 1,53 | | 0,01 | | | |
| | <i>Nodularia spumigena</i> | | | | | | | | | | | | | | | |
| | SUMMA | 0,00 | 0,01 | 0,00 | 0,13 | 0,02 | 0,45 | 23,49 | 3,22 | 1,53 | 1,53 | 0,19 | 3,08 | 0,00 | 0,00 | 0,00 |

Bland övriga potentiella toxinproducenter i Östersjön påvisades dinoflagellaten *Dinophysis* men även dinoflagellaterna *Phalacroma rotundatum*, *Amphidinium*, *Heterocapsa*, *Gymnodium* och *Gonyaulax* liksom häftalgen *Chrysochromulina* förekom i undersökningsområdena (tabell 4 och appendix 1).

Släktet *Dinophysis* är välkänt för att producera toxiner som kan påverka människor. Förgiftningssymptom är diarré, magsmärtor med mera (Nordlander m. fl. 2011). Ofta är dess toxicitet förknippad med marina vatten, exempelvis utmed Sveriges västkust. Det finns studier som visar på typiska *Dinophysis*-toxiner i samband med cellernas förekomst i vattnet (se exempelvis Setälä m. fl. 2011) men vilka toxiner som produceras och vilka faktorer som styr toxinproduktion i Östersjön är inte helt klarlagt. Det finns norska gränsvärden för en del *Dinophysis*-arter, men de rör musselodlingar i marin miljö; ett eventuellt badgränsvärde torde ligga betydligt högre. För att ge en fingervisning har dock norska gränsvärden använts vid utvärdering av data. Vi har utvärderat data utifrån de lägsta satta gränsvärdena (1500 celler/l, *Dinophysis acuminata*). Gränsvärdet överskreds totalt 27 gånger och vid samtliga provpunkter (tabell 4).

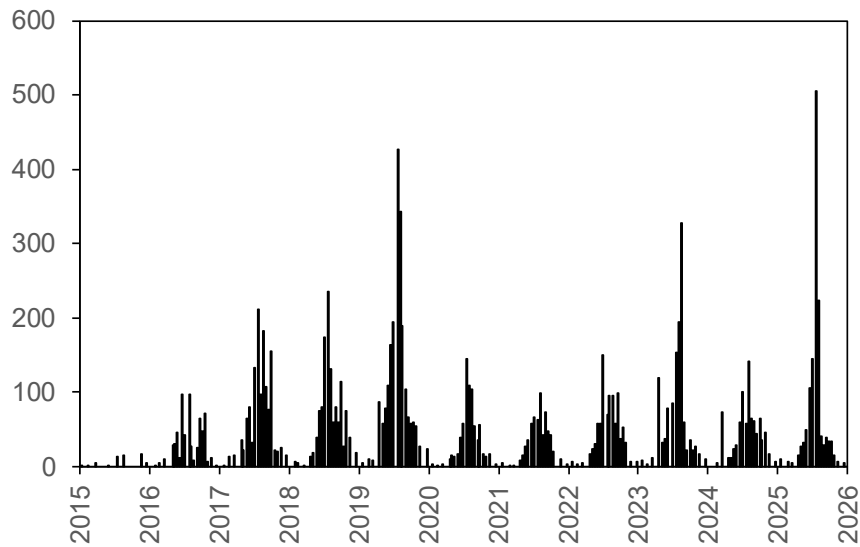
Tabell 4. Förekomst av potentiellt toxiska dinoflagellater i Stockholms skärgård år 2025. Siffrorna anger antal celler per liter vid olika månader. Röda siffror anger att gränsvärdet som är satt för *Dinophysis acuminata* om 1500 celler/l överskridits. Gränsvärdet är hämtat ur Nordlander m fl. (2011) samt Hulterantz och Skjevik (2012). Gränsvärdena gäller dock inte bad utan skörd av musslor för livsmedelskonsumtion. Troligen ligger riskhalter vid bad mycket högre. Inga lämpliga gränsvärden har hittats för övriga arter.

| | TAXA | JAN | FEB | MARS | APR | MAJ | JUN | JUL | AUG | SEPT | OKT | NOV | DEC | | | |
|----------------|------------------------------|-----|--------|------|--------|-------|--------|--------|-------|-------|--------|--------|-------|------|------|------|
| Blockhusuddén | <i>Heterocapsa</i> | | | | | 17840 | | | | | | | | | | |
| | <i>Gymnodium</i> | | | | | | 198132 | 98502 | 32812 | | | | | | | |
| | <i>Phalacroma rotundatum</i> | | | | | | | | 4182 | | | | | | | |
| | <i>Dinophysis acuminata</i> | | | | | | 4208 | | | 203 | 395 | | | | | |
| Koviksuddé | <i>Amphidinium</i> | | | | | | | | | | 16406 | | | | | |
| | <i>Phalacroma rotundatum</i> | | | | | | | | | 672 | | | | | | |
| | <i>Gymnodium</i> | | | | | | | | | 16406 | 99066 | 65624 | | | | |
| | <i>Heterocapsa</i> | | | | 110670 | 893 | 4465 | 10713 | 42852 | 1200 | 21426 | 14284 | | | | |
| | <i>Dinophysis acuminata</i> | | | | 893 | | 13400 | 200 | 1400 | 10716 | 3572 | | | | | |
| Trälhavet | <i>Heterocapsa</i> | | | | | | 8748 | | | | | | | | | |
| | <i>Amphidinium</i> | | | | | | 2198 | | | 7668 | 8793 | 23004 | | | | |
| | <i>Dinophysis acuminata</i> | | | 2861 | 956 | 198 | 2198 | 2780 | 4554 | 700 | 2098 | 1499 | 2861 | 1917 | 4396 | 1917 |
| Sollenkroka | <i>Amphidinium</i> | | | | | 2198 | | | | | | | | | | |
| | <i>Heterocapsa</i> | | | | 11467 | | | | | | | 167063 | 30672 | | | |
| | <i>Dinophysis acuminata</i> | | | | 101 | 2582 | | 15387 | | | 2187 | | 203 | | | |
| NV Eknö | <i>Amphidinium</i> | | | | | 2198 | | | | | | | | | | |
| | <i>Heterocapsa</i> | | | | | 35171 | | 38341 | | 7668 | | 11444 | | | | |
| | <i>Dinophysis acuminata</i> | | | | | | 395 | 5751 | 203 | 5751 | 956 | 304 | | | | |
| Farstaviken | <i>Amphidinium</i> | | 16150 | | 22888 | | | | | | | | | | | |
| | <i>Gymnodium</i> | | | | | 92598 | 27252 | | 11726 | | saknas | 15635 | | | | |
| | <i>Heterocapsa</i> | | 122690 | | 22888 | | | | | | saknas | | 38341 | | | |
| | <i>Dinophysis acuminata</i> | | | | 954 | 300 | 806 | 4939 | 4352 | | saknas | 1113 | | | | |
| Baggensfjärden | <i>Amphidinium</i> | | 22934 | | | | 4208 | | | | | 15336 | 8748 | | | |
| | <i>Gymnodium</i> | | | | | 27407 | 412775 | 8951 | | | | | | | | |
| | <i>Heterocapsa</i> | | | | | | | | | | | 15336 | 34992 | | | |
| | <i>Phalacroma rotundatum</i> | | | | | | 6912 | | | | | | | | | |
| | <i>Gonyaulax</i> | | | | | 300 | | 401 | | | | | | | | |
| | <i>Dinophysis acuminata</i> | | | 956 | | 1598 | | 9027 | | | 15387 | 4037 | 6561 | | | |
| Agnöfjärden | <i>Amphidinium</i> | | | | 11467 | | | 49533 | | | | 23004 | 1911 | | | |
| | <i>Gymnodium</i> | | | | | 7786 | | 363242 | 30990 | | | | | | | |
| | <i>Phalacroma rotundatum</i> | | | | | | | 12625 | | | | | | | | |
| | <i>Heterocapsa</i> | | | | 42046 | | 7668 | 66044 | | | 22934 | 191703 | | | | |
| | <i>Dinophysis acuminata</i> | | | | | 907 | 2120 | | | | 2867 | 1831 | 101 | | | |

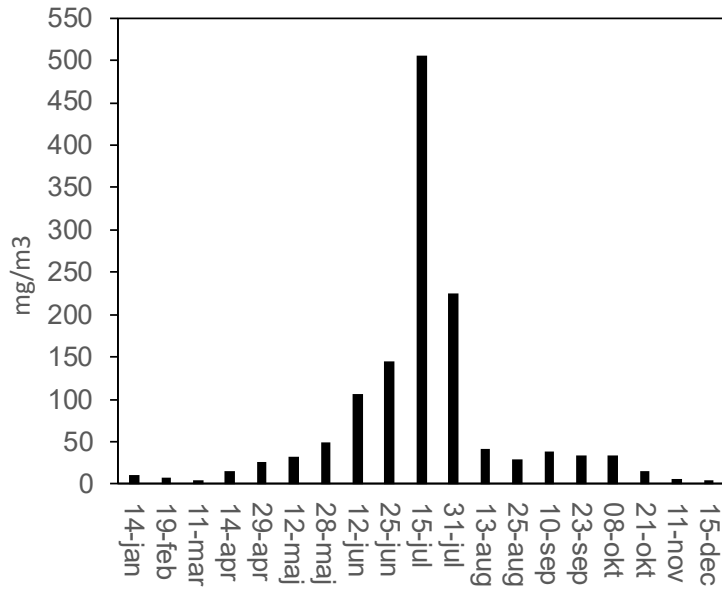
4.5 Djurplankton 2015–2025

Under 2025 var biomassan av djurplankton relativt hög och med den högsta toppen sedan undersökningen startades (figur 12). Vid en överblick över de senaste årens provtagningar kan man se en antydning till en trend av ökad biomassa av djurplankton mellan 2015–2019 som sedan bröts 2020 med lägre toppar av biomassa under de efterföljande åren, med undantag för 2023 och 2025. Under 2025 noterades den högsta biomassan av djurplankton sedan undersökningen startades, med årsmaximum i mitten av juli då det förekom som mest av hinnkräftor (fr.a. *Bosmina longispina*). En tidig topp av hoppkräftor (fr.a. *Eurytemora affinis*) som har observerats tidigare år under våren uteblev år 2025 (Figur 12, samt appendix 2).

Djurplanktonbiomassan visar ett tydligt mönster med en ökning under vårkanten fram till och med sommaren innan den klingar av fram på höstkanten (Figur 12). Den relativa fördelningen är över lag snarlik mellan åren där hoppkräftor dominerar på vårkanten, hinnkräftorna ökar under senvåren för att sedermera dominera under sommaren och hoppkräftorna återfår sin dominans på hösten. Hjuldjur är aldrig dominerande med avseende på biomassa.

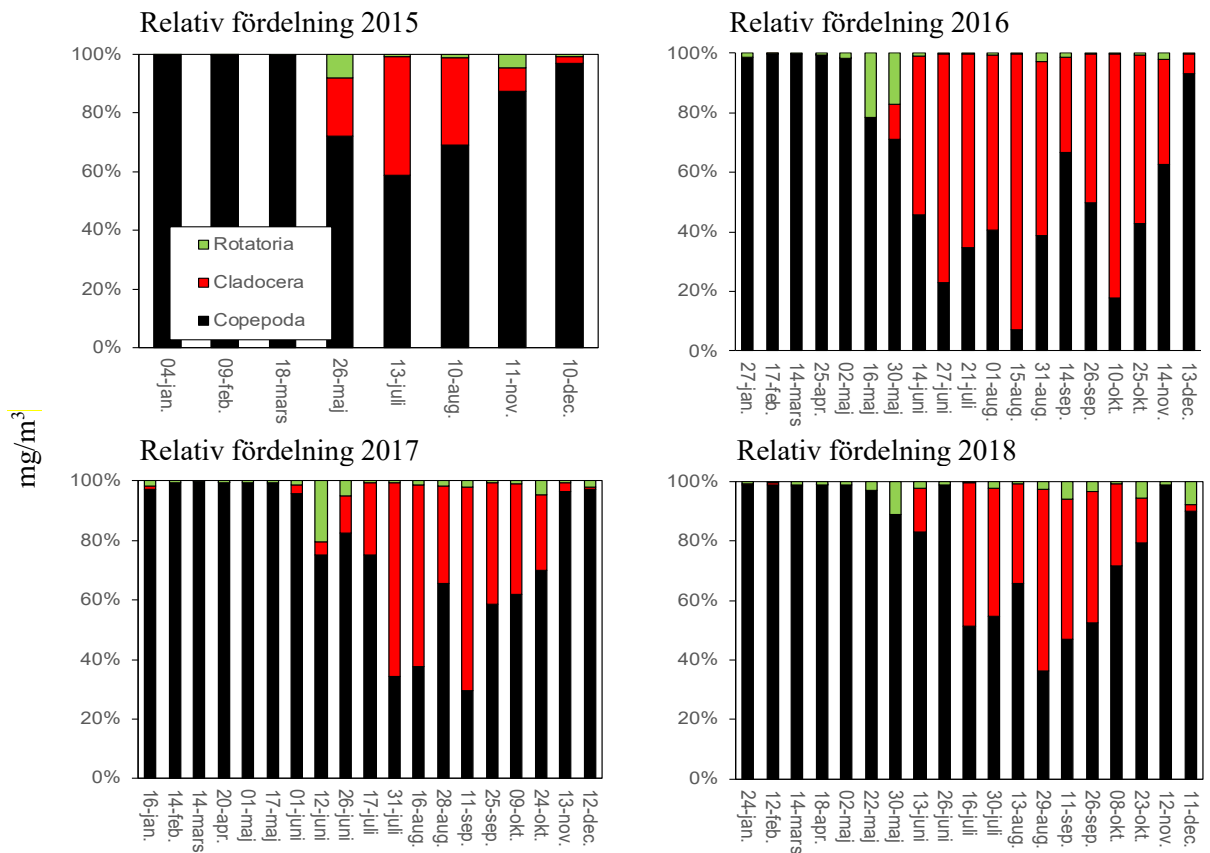


Figur 12. Total biomassa av djurplankton vid Koviksudde år 2015–2025. Total

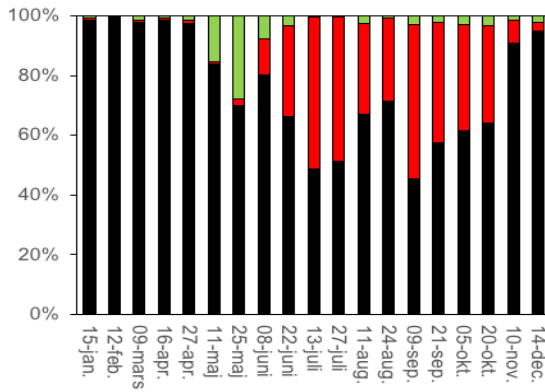


Figur 13. biomassa av djurplankton vid Koviksudde under 2025.

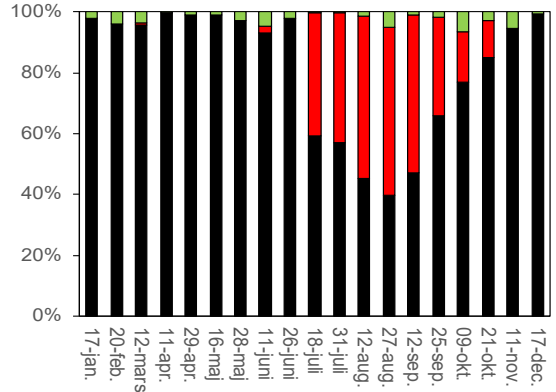
Djurplanktonsamhället vid Koviksudde var under jan–maj 2025 starkt dominerat av hoppkräftor (Copepoda) varefter den relativa förekomsten av hinnkräftor (Cladocera) ökade och utgjorde majoriteten av biomassan i juli och början på augusti för att återigen minska. Andelen hjuldjur (rotatoria) var som störst i början på september men var under alla månader den grupp som utgjorde den minsta andelen av biomassan (figur 14, samt appendix 2).



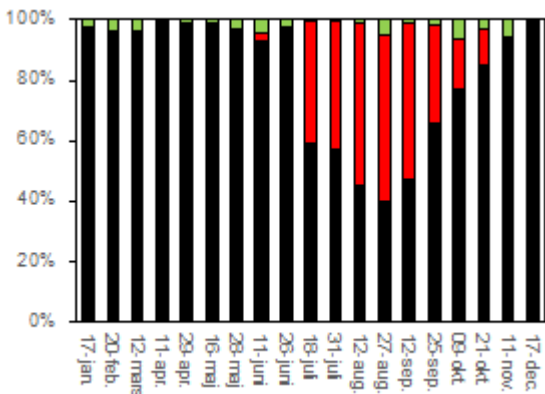
Relativ fördelning 2019



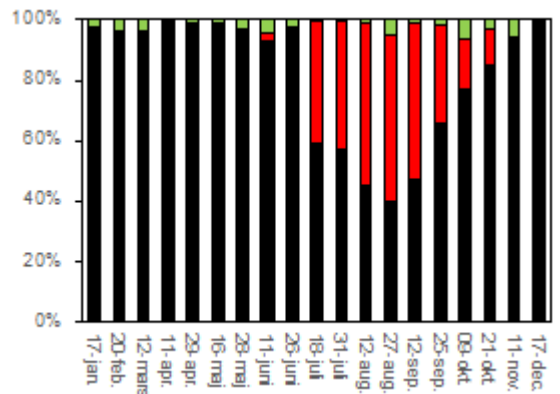
Relativ fördelning 2020



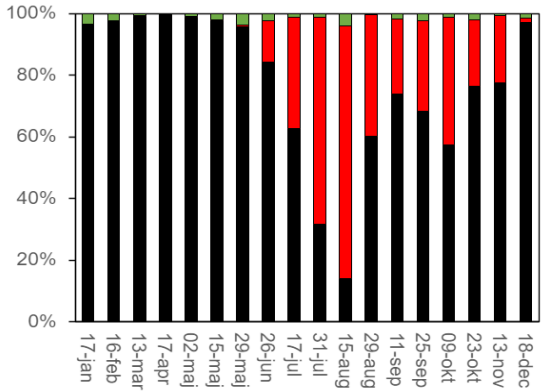
Relativ fördelning 2021



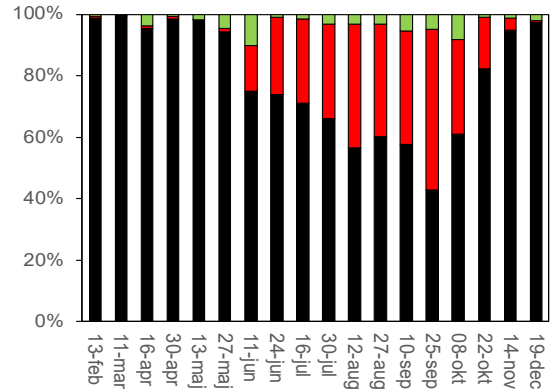
Relativ fördelning 2022



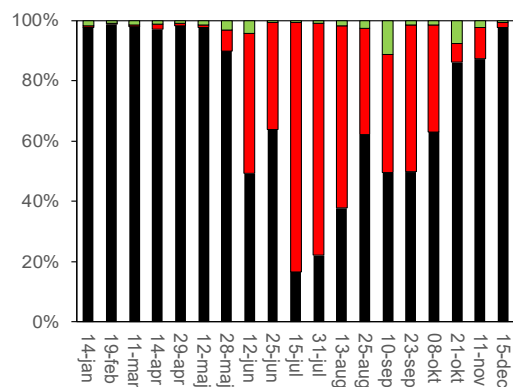
Relativ fördelning 2023



Relativ fördelning 2024



Relativ fördelning 2025



Figur 14. Djurplanktongruppers (Rotatoria – hjuldjur (grönt); Cladocera- hinnkräftor (rött); Copepoda – hoppkräftor (svart) andel av totalbiomassan vid Koviksudde år 2015–2025.

5 Litteratur

- Andersson S (2022). Undersökningar i Stockholms skärgård 2021 – Bilaga B – Plankton. Calluna AB.
- Andersson A, Högländer H, Karlsson C, Huseby S. (2015). Key role of phosphorus and nitrogen in regulating cyanobacterial community composition in the northern Baltic Sea. *Estuarine, Coastal and Shelf Science*.
- HaV (2019) Havs- och vattenmyndighetens föreskrifter om klassificering och miljö kvalitetsnormer avseende ytvatten. HVMFS 2019:25. Uppdaterad 2020-01-01.
- HaV (2017) Havs- och vattenmyndighetens föreskrifter och allmänna råd om kartläggning och analys av ytvatten enligt vattenförvaltningsförordningen (2004:660). HVMFS 2017:20. Uppdaterad 2020-01-01.
- HaV (2016a) Handledning för miljöövervakning - Kust och hav - Hydrografi och närsalter: - Trendövervakning. Version 1:2, 2016-09-16.
- HaV (2016b) Växtplankton. Kust och hav. Version 1:3, 2016-09-16.
- HaV (2016c) Djurplankton, trend- och områdesövervakning. Kust och hav. Version 1:2, 2016-12-07. Inklusive bilaga till kvalitetsmanual, Djurplankton Bilaga 5.4:1.
- HELCOM (2006) Biovolumes and size-classes of phytoplankton in the Baltic Sea. *Baltic Sea Environment Proceedings No.106*. Helsinki Commission. ISSN 0357-2994.
- HELCOM (2023) Guidelines for monitoring of phytoplankton species composition, abundance and biomass. Senast uppdaterad maj 2023.
- HELCOM (2021) Guidelines for monitoring of mesozooplankton. Senast uppdaterad september 2021.
- Hultcrantz C och Skjevik A-T (2012) Årsrapport 2011. Hydrografi & Växtplankton. Hallands Kustkontrollprogram. SMHI Rapport 2012-17.
- Aneer G, Löfgren S (2007) Algblomning - Några frågor och svar. Länsstyrelsen i Stockholms län.
- Naturvårdsverket (2007) Status, potential och kvalitetskrav för sjöar, vattendrag, kustvatten och vatten i övergångszon. Handbok 2007:4, utgåva 1; Bilaga B.
- Nordlander I, Persson M, Hallström H, Simonsson M, och Karlsson B (2011) Årsrapport 2009-2010. Kontrollprogrammet för tvåskaliga blötdjur. Livsmedelsverket Rapport 14-2011.
- Setälä O, Sapanen S, Autio R, Kankaanpää H och Erler K (2011) Dinoflagellate toxins in northern Baltic Sea phytoplankton and zooplankton assemblages. *Boreal Environment Research* 16: 509-520.
- SS-EN 15204:2006 Vattenundersökningar – Vägledning för bestämning av förekomst och sammansättning av fytoplankton genom inverterad mikroskopi (Utermöhl teknik). Utgåva 1. Fastställd 2006-09-28.
- WHO (2000) Health risks caused by freshwater cyanobacteria in recreational waters. *Journal of Toxicology and Environmental Health*, 3:323-347.



Ackred. nr 1959
Provning
ISO/IEC 17025



Inspecta Sertifikaatti Oy

Appendix 1

Växtplankton

Analysrapport från Pelagia Nature and Environment AB





PELAGIA

Analysrapport 2026-03-05
Reviderad 2026-03-19

UNDERSÖKNING, VÄXTPLANKTON: SKÄRGÅRDSSNITT 2025

På uppdrag av Eurofins Water Testing Sweden AB

Experter inom naturmiljö

Revisionen inkluderar:

- Kolumn med Antal/L inkluderad i samtliga artlistor på kundens begäran.

FÖRFATTARE:

Elin Lindmark

Jenny Lundbäck

DIREKT:

090 – 6951324
jenny.lundback@pelagia.se

KVALITETSGRANSKAT AV:

Jon Karlsson

Madelene Fridell



Ackrediterade metoder i denna rapport avser:
Analys och indexberäkning av växtplankton.

Laboratorier ackrediteras av Styrelsen för ackreditering och teknisk kontroll (SWEDAC) enligt svensk lag.
Den ackrediterade verksamheten vid laboratorierna uppfyller kraven i ISO/IEC 17025:2018.

Denna rapport får endast återges i sin helhet, om inte utfärdande laboratorium i förväg
skriftligen godkänt annat.

1. Inledning

Pelagia Nature & Environment AB har på uppdrag av Eurofins Water Testing Sweden AB utfört analys av 95 växtplanktonprover från åtta lokaler, så som de mottagits. Proverna är tagna av Calluna AB i projektet Skärgårdssnitt.

2. Material och metod

Analys utfördes av Jonas Forsberg, Susanne Gustafsson, Iveta Jurgensone och Jon Karlsson. Indexberäkning utfördes av Elin Lindmark och Jenny Lundbäck, samtliga inom Pelagia Nature & Environment AB.

Pelagia Nature & Environment AB är ett av SWEDAC ackrediterat organ för växtplanktonanalys (ackrediteringsnummer 1846).

Analys och indexberäkning är genomförda i enlighet med:

- Havs- och vattenmyndighetens föreskrifter om klassificering och miljö kvalitetsnormer avseende ytvatten (HVMFS 2019:25).
- Havs- och vattenmyndigheten bedömningsgrunder för ytvattenförekomster.
- Naturvårdsverkets Bedömningsgrunder för kust och vatten i övergångszon 2007:4.
- HELCOM combine manual. Biovolume file 2024. <https://nordicmicroalgae.org/biovolume-lists/>
- SS-EN 15204:2006.

Referensvärde från typologi 12n och 24 har använts för alla uträkningar i enlighet med NFS 2006:1.

Taxa som är potentiellt toxiska markeras med kryss (X) i artlistorna.

3. Resultat

Tabell 1. Sammanfattning av alla provtagningars index samt status vid Baggensfjärden år 2025. Statusen indikeras med följande färger: Blå = Hög, Grön = God, Gul = Måttlig, Orange = Otillfredsställande, Röd = Dålig.

| Lokal | Datum | Salinitet (PSU) | Biovolum (mm ³ /L) | Biovolum, EK | Biovolum, nEK | Klorofyll a (µg/L) | Klorofyll a, EK | Klorofyll a, nEK | Sammanvägd status |
|----------------|------------|-----------------|-------------------------------|--------------|---------------|--------------------|-----------------|------------------|-------------------|
| Baggensfjärden | 2025-02-11 | 3,75 | 0,20 | 1,00 | 1,00 | 2,0 | 1,00 | 1,00 | 1,00 |
| Baggensfjärden | 2025-05-14 | 5,31 | 0,14 | 1,00 | 1,00 | 1,9 | 0,82 | 0,82 | 0,91 |
| Baggensfjärden | 2025-06-09 | 5,24 | 3,46 | 0,05 | 0,13 | 2,8 | 0,56 | 0,53 | 0,33 |
| Baggensfjärden | 2025-07-15 | 5,15 | 0,79 | 0,24 | 0,40 | 5,6 | 0,29 | 0,34 | 0,37 |
| Baggensfjärden | 2025-08-11 | 4,94 | 0,71 | 0,28 | 0,42 | 4,2 | 0,39 | 0,43 | 0,43 |
| Baggensfjärden | 2025-09-08 | 5,24 | 1,17 | 0,16 | 0,30 | 4,4 | 0,36 | 0,41 | 0,35 |
| Baggensfjärden | 2025-10-06 | 5,07 | 0,76 | 0,25 | 0,41 | 5,5 | 0,29 | 0,34 | 0,38 |
| Baggensfjärden | 2025-11-12 | 5,18 | 0,56 | 0,34 | 0,46 | 4,5 | 0,35 | 0,40 | 0,43 |

Tabell 2. Sammanfattning av alla provtagningars index samt status vid Blockhusudden år 2025. Statusen indikeras med följande färger: Blå = Hög, Grön = God, Gul = Måttlig, Orange = Otillfredsställande, Röd = Dålig.

| Lokal | Datum | Salinitet (PSU) | Biovolum (mm ³ /L) | Biovolum, EK | Biovolum, nEK | Klorofyll a (µg/L) | Klorofyll a, EK | Klorofyll a, nEK | Sammanvägd status |
|---------------|------------|-----------------|-------------------------------|--------------|---------------|--------------------|-----------------|------------------|-------------------|
| Blockhusudden | 2025-01-14 | 1,25 | 0,11 | 1,00 | 1,00 | 1,1 | 1,00 | 1,00 | 1,00 |
| Blockhusudden | 2025-02-12 | 0,62 | 0,26 | 1,00 | 1,00 | <1,2 | 1,00 | 1,00 | 1,00 |
| Blockhusudden | 2025-03-11 | 0,56 | 0,44 | 1,00 | 1,00 | 2,4 | 1,00 | 1,00 | 1,00 |
| Blockhusudden | 2025-04-14 | 2,92 | 1,67 | 0,19 | 0,33 | 8,0 | 0,27 | 0,32 | 0,33 |
| Blockhusudden | 2025-05-12 | 3,07 | 1,98 | 0,15 | 0,29 | 38 | 0,06 | 0,08 | 0,18 |
| Blockhusudden | 2025-06-12 | 3,59 | 7,23 | 0,04 | 0,09 | 19 | 0,11 | 0,14 | 0,12 |
| Blockhusudden | 2025-07-17 | 2,16 | 0,93 | 0,39 | 0,49 | 4,6 | 0,53 | 0,51 | 0,50 |
| Blockhusudden | 2025-08-13 | 2,74 | 1,34 | 0,24 | 0,40 | 4,6 | 0,49 | 0,49 | 0,44 |
| Blockhusudden | 2025-09-10 | 2,45 | 2,63 | 0,13 | 0,26 | 11 | 0,21 | 0,26 | 0,26 |
| Blockhusudden | 2025-10-08 | 2,00 | 0,38 | 0,98 | 0,98 | 8,1 | 0,31 | 0,36 | 0,67 |
| Blockhusudden | 2025-11-11 | 0,60 | 0,48 | 1,00 | 1,00 | 4,6 | 0,64 | 0,58 | 0,79 |
| Blockhusudden | 2025-12-15 | 1,34 | 0,14 | 1,00 | 1,00 | 1,0 | 1,00 | 1,00 | 1,00 |

Tabell 3. Sammanfattning av alla provtagningars index samt status vid Farstaviken år 2025. Statusen indikeras med följande färger: Blå = Hög, Grön = God, Gul = Måttlig, Orange = Otillfredsställande, Röd = Dålig.

| Lokal | Datum | Salinitet (PSU) | Biovolym (mm ³ /L) | Biovolym, EK | Biovolym nEK | Klorofyll a (µg/L) | Klorofyll a, EK | Klorofyll a, nEK | Sammanvägd status |
|-------------|------------|-----------------|-------------------------------|--------------|--------------|--------------------|-----------------|------------------|-------------------|
| Farstaviken | 2025-02-20 | 5,01 | 0,38 | 0,86 | 0,90 | 3,7 | 0,61 | 0,56 | 0,73 |
| Farstaviken | 2025-04-16 | 4,97 | 2,89 | 0,07 | 0,17 | 11 | 0,15 | 0,20 | 0,18 |
| Farstaviken | 2025-05-14 | 5,32 | 0,09 | 1,00 | 1,00 | 1,6 | 0,97 | 0,97 | 0,99 |
| Farstaviken | 2025-06-09 | 5,33 | 0,12 | 1,00 | 1,00 | 2,6 | 0,60 | 0,56 | 0,78 |
| Farstaviken | 2025-07-15 | 5,30 | 0,17 | 1,00 | 1,00 | 3,0 | 0,52 | 0,51 | 0,75 |
| Farstaviken | 2025-08-11 | 4,97 | 0,17 | 1,00 | 1,00 | 3,1 | 0,53 | 0,51 | 0,76 |
| Farstaviken | 2025-10-06 | 4,75 | 0,38 | 0,55 | 0,59 | 7,7 | 0,22 | 0,27 | 0,43 |
| Farstaviken | 2025-11-12 | 4,42 | 0,91 | 0,25 | 0,40 | 9,5 | 0,19 | 0,24 | 0,32 |



Tabell 4. Sammanfattning av alla provtagningars index samt status vid Koviksudde år 2025. Statusen indikeras med följande färger: Blå = Hög, Grön = God, Gul = Måttlig, Orange = Otillfredsställande, Röd = Dålig.

| Lokal | Datum | Salinitet (PSU) | Biovolym (mm ³ /L) | Biovolym, EK | Biovolym, nEK | Klorofyll a (µg/L) | Klorofyll a, EK | Klorofyll a, nEK | Sammanvägd status |
|------------|------------|-----------------|-------------------------------|--------------|---------------|--------------------|-----------------|------------------|-------------------|
| Koviksudde | 2025-01-14 | 2,65 | 0,06 | 1,00 | 1,00 | 1,5 | 1,00 | 1,00 | 1,00 |
| Koviksudde | 2025-02-19 | 1,08 | 0,10 | 1,00 | 1,00 | ≤1,2 | 1,00 | 1,00 | 1,00 |
| Koviksudde | 2025-03-11 | 2,45 | 0,26 | 1,00 | 1,00 | 2,2 | 1,00 | 1,00 | 1,00 |
| Koviksudde | 2025-04-14 | 3,01 | 3,14 | 0,10 | 0,22 | 22 | 0,10 | 0,13 | 0,18 |
| Koviksudde | 2025-04-29 | 3,39 | 4,40 | 0,06 | 0,16 | 23 | 0,09 | 0,12 | 0,14 |
| Koviksudde | 2025-05-12 | 3,79 | 2,61 | 0,10 | 0,22 | 7,7 | 0,25 | 0,30 | 0,26 |
| Koviksudde | 2025-05-28 | 4,05 | 2,98 | 0,08 | 0,20 | 7,3 | 0,26 | 0,31 | 0,26 |
| Koviksudde | 2025-06-12 | 3,96 | 2,44 | 0,10 | 0,23 | 7,6 | 0,25 | 0,30 | 0,26 |
| Koviksudde | 2025-06-25 | 3,83 | 1,48 | 0,17 | 0,32 | 9,0 | 0,22 | 0,27 | 0,29 |
| Koviksudde | 2025-07-17 | 3,38 | 1,13 | 0,25 | 0,41 | 7,2 | 0,29 | 0,34 | 0,37 |
| Koviksudde | 2025-07-31 | 2,94 | 0,72 | 0,43 | 0,52 | 7,1 | 0,31 | 0,36 | 0,44 |
| Koviksudde | 2025-08-13 | 3,07 | 1,65 | 0,18 | 0,33 | 9,4 | 0,23 | 0,28 | 0,30 |
| Koviksudde | 2025-08-25 | 3,54 | 3,63 | 0,08 | 0,19 | 17 | 0,12 | 0,16 | 0,17 |
| Koviksudde | 2025-09-10 | 3,63 | 4,02 | 0,07 | 0,17 | 25 | 0,08 | 0,11 | 0,14 |
| Koviksudde | 2025-09-23 | 2,96 | 2,79 | 0,11 | 0,24 | 9,3 | 0,24 | 0,29 | 0,26 |
| Koviksudde | 2025-10-08 | 2,61 | 4,67 | 0,07 | 0,18 | 17 | 0,13 | 0,18 | 0,18 |
| Koviksudde | 2025-10-21 | 2,74 | 4,29 | 0,08 | 0,19 | 12 | 0,19 | 0,24 | 0,21 |
| Koviksudde | 2025-11-11 | 1,53 | 0,41 | 1,00 | 1,00 | 3,5 | 0,75 | 0,72 | 0,86 |
| Koviksudde | 2025-12-15 | 2,25 | 0,18 | 1,00 | 1,00 | 1,0 | 1,00 | 1,00 | 1,00 |

Tabell 5. Sammanfattning av alla provtagningars index samt status vid NV Eknö år 2025. Statusen indikeras med följande färger: Blå = Hög, Grön = God, Gul = Måttlig, Orange = Otillfredsställande, Röd = Dålig.

| Lokal | Datum | Salinitet (PSU) | Biovolum (mm ³ /L) | Biovolum, EK | Biovolum, nEK | Klorofyll a (µg/L) | Klorofyll a, EK | Klorofyll a, nEK | Sammanvägd status |
|---------|------------|-----------------|-------------------------------|--------------|---------------|--------------------|-----------------|------------------|-------------------|
| NV Eknö | 2025-02-19 | 5,24 | 0,67 | 0,45 | 0,53 | 1,9 | 1,00 | 1,00 | 0,76 |
| NV Eknö | 2025-03-12 | 5,56 | 1,18 | 0,14 | 0,28 | 5,5 | 0,27 | 0,32 | 0,30 |
| NV Eknö | 2025-04-15 | 5,36 | 0,81 | 0,22 | 0,38 | 2,2 | 0,70 | 0,65 | 0,51 |
| NV Eknö | 2025-05-13 | 5,46 | 0,49 | 0,36 | 0,48 | 2,1 | 0,73 | 0,69 | 0,58 |
| NV Eknö | 2025-06-11 | 5,53 | 0,25 | 0,69 | 0,76 | 1,8 | 0,84 | 0,84 | 0,80 |
| NV Eknö | 2025-07-16 | 5,56 | 2,68 | 0,06 | 0,16 | 6,2 | 0,24 | 0,29 | 0,23 |
| NV Eknö | 2025-08-12 | 5,55 | 0,51 | 0,34 | 0,46 | 3,3 | 0,46 | 0,47 | 0,46 |
| NV Eknö | 2025-09-09 | 5,57 | 0,57 | 0,30 | 0,44 | 3,9 | 0,38 | 0,42 | 0,43 |
| NV Eknö | 2025-10-07 | 5,11 | 0,55 | 0,35 | 0,47 | 5,7 | 0,28 | 0,33 | 0,40 |
| NV Eknö | 2025-11-13 | 5,87 | 0,13 | 1,00 | 1,00 | 3,2 | 0,45 | 0,46 | 0,73 |

Tabell 6. Sammanfattning av alla provtagningars index samt status vid Sollenkroka år 2025. Statusen indikeras med följande färger: Blå = Hög, Grön = God, Gul = Måttlig, Orange = Otillfredsställande, Röd = Dålig.

| Lokal | Datum | Salinitet (PSU) | Biovolum (mm ³ /L) | Biovolum, EK | Biovolum, nEK | Klorofyll a (µg/L) | Klorofyll a, EK | Klorofyll a, nEK | Sammanvägd status |
|-------------|------------|-----------------|-------------------------------|--------------|---------------|--------------------|-----------------|------------------|-------------------|
| Sollenkroka | 2025-02-19 | 7 | 0,48 | 1,00 | 1,00 | 2,3 | 1,00 | 1,00 | 1,00 |
| Sollenkroka | 2025-03-12 | 4,06 | 0,73 | 0,33 | 0,46 | 3,9 | 0,48 | 0,48 | 0,47 |
| Sollenkroka | 2025-04-15 | 4,43 | 2,12 | 0,11 | 0,23 | 11 | 0,16 | 0,21 | 0,22 |
| Sollenkroka | 2025-05-13 | 4,83 | 1,82 | 0,11 | 0,24 | 3,3 | 0,51 | 0,50 | 0,37 |
| Sollenkroka | 2025-06-11 | 4,90 | 0,48 | 0,42 | 0,51 | 2,9 | 0,57 | 0,54 | 0,53 |
| Sollenkroka | 2025-07-16 | 5,04 | 1,04 | 0,19 | 0,33 | 4,5 | 0,36 | 0,41 | 0,37 |
| Sollenkroka | 2025-08-12 | 4,70 | 0,65 | 0,32 | 0,45 | 3,1 | 0,55 | 0,53 | 0,49 |
| Sollenkroka | 2025-09-09 | 4,81 | 0,83 | 0,25 | 0,40 | 3,3 | 0,51 | 0,50 | 0,45 |
| Sollenkroka | 2025-10-07 | 4,60 | 0,90 | 0,24 | 0,40 | 6,6 | 0,26 | 0,31 | 0,36 |
| Sollenkroka | 2025-11-13 | 4,28 | 0,30 | 0,78 | 0,84 | 6,7 | 0,27 | 0,32 | 0,58 |

Tabell 7. Sammanfattning av alla provtagningars index samt status vid Trälhavet år 2025. Statusen indikeras med följande färger: Blå = Hög, Grön = God, Gul = Måttlig, Orange = Otillfredsställande, Röd = Dålig.

| Lokal | Datum | Salinitet (PSU) | Biovolyt (mm ³ /L) | Biovolyt, EK | Biovolyt, nEK | Klorofyll a (µg/L) | Klorofyll a, EK | Klorofyll a, nEK | Sammanvägd status |
|-----------|------------|-----------------|-------------------------------|--------------|---------------|--------------------|-----------------|------------------|-------------------|
| Trälhavet | 2025-01-13 | 4,38 | 0,13 | 1,00 | 1,00 | 1,4 | 1,00 | 1,00 | 1,00 |
| Trälhavet | 2025-02-17 | 2,43 | 0,18 | 1,00 | 1,00 | 1,1 | 1,00 | 1,00 | 1,00 |
| Trälhavet | 2025-03-12 | 3,22 | 0,56 | 0,52 | 0,58 | 3,2 | 0,66 | 0,59 | 0,58 |
| Trälhavet | 2025-04-15 | 3,58 | 5,68 | 0,05 | 0,12 | 24 | 0,08 | 0,11 | 0,12 |
| Trälhavet | 2025-04-29 | 4,44 | 1,98 | 0,11 | 0,24 | 11 | 0,16 | 0,21 | 0,23 |
| Trälhavet | 2025-05-13 | 4,26 | 2,50 | 0,09 | 0,22 | 4,3 | 0,42 | 0,45 | 0,33 |
| Trälhavet | 2025-05-28 | 4,62 | 0,69 | 0,31 | 0,44 | 2,1 | 0,82 | 0,82 | 0,63 |
| Trälhavet | 2025-06-11 | 4,45 | 1,05 | 0,21 | 0,37 | 3,0 | 0,59 | 0,55 | 0,46 |
| Trälhavet | 2025-06-25 | 4,72 | 0,36 | 0,58 | 0,62 | 3,4 | 0,50 | 0,49 | 0,56 |
| Trälhavet | 2025-07-16 | 4,52 | 0,18 | 1,00 | 1,00 | 3,4 | 0,52 | 0,50 | 0,75 |
| Trälhavet | 2025-07-31 | 4,74 | 0,22 | 0,94 | 0,96 | 2,1 | 0,81 | 0,81 | 0,88 |
| Trälhavet | 2025-08-12 | 4,72 | 0,64 | 0,33 | 0,46 | 5,0 | 0,34 | 0,39 | 0,42 |
| Trälhavet | 2025-08-25 | 4,85 | 0,48 | 0,43 | 0,52 | 4,5 | 0,37 | 0,41 | 0,46 |
| Trälhavet | 2025-09-09 | 4,24 | 0,70 | 0,33 | 0,46 | 4,8 | 0,38 | 0,42 | 0,44 |
| Trälhavet | 2025-09-23 | 4,84 | 0,99 | 0,21 | 0,36 | 3,8 | 0,44 | 0,46 | 0,41 |
| Trälhavet | 2025-10-07 | 4,26 | 1,79 | 0,13 | 0,26 | 11 | 0,17 | 0,22 | 0,24 |
| Trälhavet | 2025-10-21 | 4,50 | 1,38 | 0,16 | 0,30 | 8,0 | 0,22 | 0,27 | 0,28 |
| Trälhavet | 2025-11-13 | 3,66 | 0,18 | 1,00 | 1,00 | 4,5 | 0,44 | 0,46 | 0,73 |
| Trälhavet | 2025-12-15 | 3,84 | 0,12 | 1,00 | 1,00 | 1,5 | 1,00 | 1,00 | 1,00 |

Tabell 8. Sammanfattning av alla provtagningars index samt status vid Ägnöfjärden år 2025. Statusen indikeras med följande färger: Blå = Hög, Grön = God, Gul = Måttlig, Orange = Otillfredsställande, Röd = Dålig.

| Lokal | Datum | Salinitet (PSU) | Biovolum (mm ³ /L) | Biovolum, EK | Biovolum, nEK | Klorofyll a (µg/L) | Klorofyll a, EK | Klorofyll a, nEK | Sammanvägd status |
|-------------|------------|-----------------|-------------------------------|--------------|---------------|--------------------|-----------------|------------------|-------------------|
| Ägnöfjärden | 2025-02-11 | 4,59 | 0,13 | 1,00 | 1,00 | 2,0 | 1,00 | 1,00 | 1,00 |
| Ägnöfjärden | 2025-04-16 | 5,48 | 1,51 | 0,12 | 0,24 | 4,2 | 0,36 | 0,41 | 0,33 |
| Ägnöfjärden | 2025-05-14 | 5,55 | 0,15 | 1,00 | 1,00 | 2,3 | 0,65 | 0,59 | 0,79 |
| Ägnöfjärden | 2025-06-09 | 5,41 | 0,29 | 0,62 | 0,68 | 1,9 | 0,81 | 0,81 | 0,74 |
| Ägnöfjärden | 2025-07-15 | 5,53 | 3,74 | 0,05 | 0,11 | 11 | 0,14 | 0,18 | 0,15 |
| Ägnöfjärden | 2025-08-11 | 5,17 | 0,48 | 0,39 | 0,50 | 3,7 | 0,43 | 0,45 | 0,47 |
| Ägnöfjärden | 2025-09-08 | 5,67 | 1,01 | 0,17 | 0,31 | 6,2 | 0,24 | 0,29 | 0,30 |
| Ägnöfjärden | 2025-10-06 | 5,16 | 0,62 | 0,31 | 0,44 | 4,5 | 0,35 | 0,40 | 0,42 |
| Ägnöfjärden | 2025-11-12 | 4,99 | 0,45 | 0,44 | 0,52 | 8,5 | 0,19 | 0,24 | 0,38 |

Baggensfjärden

Det.: Jon Karlsson, Pelagia Nature & Environment AB

Provtagningsdatum: 2025-02-11

Analysdatum: 2025-09-25

Typindelning: 12n

| Grupp | Taxa | Storlek (µm) | Biovolym (mm ³ /l) | Pot. toxisk | Antal/L |
|---------------------------------|---------------------------------|---------------|-------------------------------|-------------|---------|
| Bacillariophyceae | Asterionella formosa | 3-4x60-80 | 0,00026 | | 304 |
| Bacillariophyceae | Centrales | 40-50 | 0,03418 | | 956 |
| Bacillariophyceae | Centrales | 50-60 | 0,00662 | | 101 |
| Bacillariophyceae | Chaetoceros | 5x5 | 0,00063 | | 7645 |
| Bacillariophyceae | Chaetoceros minimus | 1-2x5-7 | 0,00008 | | 7645 |
| Bacillariophyceae | Pennales | 4-5x10-15 | 0,00043 | | 3822 |
| Bacillariophyceae | Skeletonema | 3x3-5 | 0,00004 | | 1318 |
| Bacillariophyceae | Thalassiosira | 40-50 | 0,00363 | | 101 |
| Chlorophyceae | Chlorophyceae | 4-6 | 0,00124 | | 19112 |
| Chlorophyceae | Chlorophyceae | 6-8 | 0,00275 | | 15290 |
| Chlorophyceae | Desmodesmus bicellularis | 2-3x4-6 | 0,00076 | | 22934 |
| Chlorophyceae | Monoraphidium | 2-3x40-50 | 0,00001 | | 101 |
| Chlorophyceae | Monoraphidium contortum | 1,2-1,5x15-20 | 0,00003 | | 3822 |
| Cryptophyceae | Cryptomonas | 6x12-17 | 0,00455 | X | 26757 |
| Cryptophyceae | Hemiselmis | 3x4-6 | 0,00086 | | 57336 |
| Cryptophyceae | Plagioselmis | 3-4x5-7 | 0,00134 | | 53514 |
| Cryptophyceae | Plagioselmis | 5-7x7-9 | 0,00278 | | 26757 |
| Cryptophyceae | Rhodomonas | 5-6x11-14 | 0,00096 | | 7645 |
| Cyanophyceae | Aphanizomenon | 4x100 | 0,00038 | X | 304 |
| Cyanophyceae | Cyanophyceae | 2 | 0,00008 | | 19112 |
| Cyanophyceae | Dolichospermum | 7-9x100 | 0,00320 | X | 956 |
| Cyanophyceae | Phormidium | 3x100 | 0,00068 | X | 956 |
| Dinophyceae | Amphidinium | 20-25 | 0,03445 | X | 22934 |
| Dinophyceae | Dinophyceae | <10 | 0,01000 | | 19112 |
| Dinophyceae | Dinophyceae | 15-20 | 0,01072 | | 3822 |
| Dinophyceae | Dinophyceae | 25-30 | 0,01040 | | 956 |
| Dinophyceae | Dinophyceae | 40 | 0,00340 | | 101 |
| Dinophyceae | Dinophysis | 30-40 | 0,00675 | X | 956 |
| Dinophyceae | Gymnodiniales | <10 | 0,00360 | | 7645 |
| Dinophyceae | Gymnodiniales | 10-15 | 0,00933 | | 11467 |
| Dinophyceae | Peridiniella catenata | 24-26 | 0,01563 | | 3822 |
| Dinophyceae | Peridiniella catenata | 31-35 | 0,01797 | | 1911 |
| Euglenophyceae | Eutreptiella | 7-9x15-20 | 0,00224 | | 3822 |
| Pyramimonadophyceae | Pyramimonas | 4x3 | 0,00064 | | 26757 |
| Pyramimonadophyceae | Pyramimonas | 5-7x5 | 0,00046 | | 3822 |
| Telonemea | Telonema subtile | 4x7 | 0,00044 | | 11467 |
| Thecofilosea | Ebria tripartita | 23-27 | 0,00274 | | 956 |
| Trebouxiophyceae | Koliella | 1,5x30-50 | 0,00015 | | 3822 |
| Unicells classes incertae sedis | Unicells species incertae sedis | <2 | 0,00076 | | 191120 |
| Unicells classes incertae sedis | Unicells species incertae sedis | 2-3 | 0,00104 | | 129962 |
| Unicells classes incertae sedis | Unicells species incertae sedis | 3-5 | 0,00126 | | 38224 |
| | Värde | Ref | EK | nEK | |
| Klorofyll | 2,00 | 3,09 | 1,00 | 1,00 | |
| Biovolym | 0,20 | 0,52 | 1,00 | 1,00 | |
| Sammanvägd status, nEK | | | | 1,00 | |



Baggensfjärden

Det.: Susanne Gustafsson, Pelagia Nature & Environment AB

Provtagningsdatum: 2025-05-14

Analysdatum: 2026-02-28

Typindelning: 12n

| Grupp | Taxa | Storlek (µm) | Biovolym (mm ³ /l) | Pot. toxisk | Antal/L |
|---------------------------------|---------------------------------|---------------|-------------------------------|-------------|---------|
| Bacillariophyceae | Centrales | 40-50 | 0,01072 | | 300 |
| Bacillariophyceae | Chaetoceros | 6x6 | 0,00026 | | 1798 |
| Bacillariophyceae | Chaetoceros minimus | 1-2x5-7 | 0,00030 | | 27007 |
| Bacillariophyceae | Pennales | 4-6x15-25 | 0,00018 | | 899 |
| Bacillariophyceae | Pennales | 1-3x40-50 | 0,00001 | | 100 |
| Bacillariophyceae | Pennales | 4-6x35-50 | 0,00029 | | 699 |
| Bacillariophyceae | Skeletonema | 3x6-8 | 0,00014 | | 2924 |
| Chlorophyceae | Monoraphidium contortum | 1,2-1,5x15-20 | 0,00028 | | 34724 |
| Chlorophyceae | Monoraphidium contortum | 1,5-2x20-30 | 0,00023 | | 11575 |
| Chrysophyceae | Dinobryon | 2-4x3-5 | 0,00161 | | 84880 |
| Coccolithophyceae | Chrysochromulina | 2-4 | 0,00070 | X | 50157 |
| Cryptophyceae | Cryptomonas | 7-8x16-18 | 0,00617 | X | 15433 |
| Cryptophyceae | Hemiselmis | 3x4-6 | 0,00104 | | 69448 |
| Cryptophyceae | Plagioselmis | 4-5x7-9 | 0,00146 | | 27007 |
| Cryptophyceae | Rhodomonas | 4-6x7-9 | 0,00107 | | 15433 |
| Cryptophyta incertae sedis | Katablepharis | 5-6x7-9 | 0,00147 | | 11575 |
| Cyanophyceae | Aphanocapsa | 2-4 | 0,00328 | | 11575 |
| Cyanophyceae | Dolichospermum | 4-5x100 | 0,00011 | X | 100 |
| Cyanophyceae | Planktolyngbya | 2x100 | 0,00085 | | 2697 |
| Cyanophyceae | Planktothrix | 4x100 | 0,00075 | X | 599 |
| Dinophyceae | Dinophysis | 20-25 | 0,00180 | X | 899 |
| Dinophyceae | Dinophysis | 25-30 | 0,00253 | X | 699 |
| Dinophyceae | Gonyaulax | 20-25 | 0,00125 | X | 300 |
| Dinophyceae | Gymnodinium | 4-6x5-10 | 0,00195 | X | 27007 |
| Dinophyceae | Gymnodinium | 14-17x20-25 | 0,00078 | X | 400 |
| Dinophyceae | Peridiniella catenata | 20-23 | 0,02310 | | 8292 |
| Dinophyceae | Peridiniella catenata | 24-26 | 0,01430 | | 3497 |
| Dinophyceae | Peridiniella catenata | 27-30 | 0,00689 | | 1199 |
| Dinophyceae | Protoperidinium | 20x25 | 0,00192 | | 699 |
| Dinophyceae | Protoperidinium bipes | 12-14x18-22 | 0,00004 | | 100 |
| Litostomatea | Mesodinium rubrum | 10-14 | 0,00038 | | 300 |
| Litostomatea | Mesodinium rubrum | 20-27 | 0,00074 | | 100 |
| Litostomatea | Mesodinium rubrum | 45-55 | 0,00654 | | 100 |
| Pyramimonadophyceae | Pyramimonas | 4x3 | 0,00037 | | 15433 |
| Pyramimonadophyceae | Pyramimonas | 8-10x6 | 0,00625 | | 23149 |
| Thecofilosea | Ebria tripartita | 23-27 | 0,00837 | | 2924 |
| Trebouxiophyceae | Koliella | 1,5x30-50 | 0,00004 | | 975 |
| Unicells classes incertae sedis | Unicells species incertae sedis | <2 | 0,00235 | | 586454 |
| Unicells classes incertae sedis | Unicells species incertae sedis | 2-3 | 0,00469 | | 586454 |
| Unicells classes incertae sedis | Unicells species incertae sedis | 3-5 | 0,00968 | | 293227 |
| Unicells classes incertae sedis | Unicells species incertae sedis | 5-7 | 0,01657 | | 146612 |
| | Värde | Ref | EK | nEK | |
| Klorofyll | 1,90 | 1,56 | 0,82 | 0,82 | |
| Biovolym | 0,14 | 0,18 | 1,00 | 1,00 | |
| Sammanvägd status, nEK | | | | 0,91 | |



Baggensfjärden

Det.: Jonas Forsberg, Pelagia Nature & Environment AB

Provtagningsdatum: 2025-06-09

Analysdatum: 2026-02-27

Typindelning: 12n

| Grupp | Taxa | Storlek (µm) | Biovolym (mm ³ /l) | Pot. toxisk | Antal/L |
|---------------------------------|----------------------------|---------------|-------------------------------|-------------|---------|
| Bacillariophyceae | Chaetoceros wighamii | 15-17x11-13 | 0,01827 | | 12625 |
| Bacillariophyceae | Chaetoceros wighamii | 21-22x14-16 | 0,00883 | | 2704 |
| Bacillariophyceae | Chaetoceros wighamii | 8x8 | 0,00035 | | 1014 |
| Bacillariophyceae | Chaetoceros wighamii | 11-12x11-12 | 0,00129 | | 1352 |
| Bacillariophyceae | Cylindrotheca closterium | 3-4x25-28 | 0,00005 | | 338 |
| Bacillariophyceae | Fragilaria crotonensis | 4-5x80-100 | 0,00126 | | 1014 |
| Bacillariophyceae | Pennales | 7-9x70-100 | 0,00080 | | 338 |
| Bacillariophyceae | Pennales | 4-6x35-50 | 0,00014 | | 338 |
| Bacillariophyceae | Pennales | 7-9x35-50 | 0,00040 | | 338 |
| Bacillariophyceae | Pennales | 7-9x50-70 | 0,00057 | | 338 |
| Chlorophyceae | Chlamydomonas | 5-6 | 0,00152 | | 16511 |
| Chlorophyceae | Chlamydomonas | 6-10 | 0,09725 | | 313709 |
| Chlorophyceae | Monoraphidium contortum | 1.2-1.5x15-20 | 0,00007 | | 8416 |
| Chlorophyceae | Monoraphidium contortum | 1.5-2x20-30 | 0,00004 | | 2028 |
| Choanoflagellata | Choanoflagellata | 4-5 | 0,00079 | | 16511 |
| Chrysophyceae | Dinobryon | 3-5x4-6 | 0,00069 | | 16511 |
| Chrysophyceae | Dinobryon suecicum | 3-5x7-9 | 0,00221 | | 33022 |
| Chrysophyceae | Ochromonas | 3-5x6-8 | 0,00439 | | 115577 |
| Coccolithophyceae | Chrysochromulina | 2-4 | 0,00069 | X | 49533 |
| Cryptophyceae | Cryptomonadales | 4.5x8 | 0,00089 | | 16511 |
| Cryptophyceae | Hemiselmis | 3x4-6 | 0,00025 | | 16511 |
| Cryptophyceae | Teleaulax | 5-6x11-15 | 0,00619 | | 49533 |
| Cryptophyta incertae sedis | Katablepharis | 5-6x7-9 | 0,00419 | | 33022 |
| Cyanophyceae | Anathece clathrata | 0.4-2x0.8-3.5 | 0,01255 | | 330220 |
| Cyanophyceae | Aphanizomenon | 5x100 | 0,03304 | X | 16833 |
| Cyanophyceae | Cuspidothrix issatschenkoi | 4.5x100 | 0,00108 | X | 676 |
| Cyanophyceae | Dolichospermum | 4-6 | 0,00053 | X | 8112 |
| Dinophyceae | Amphidinium | 30-40 | 0,03239 | X | 4208 |
| Dinophyceae | Gymnodinium | 4-6x5-10 | 0,02972 | X | 412775 |
| Dinophyceae | Noctiluca scintillans | 150-300 | 2,01500 | | 338 |
| Dinophyceae | Oblea rotunda CPX | 36-42 | 0,04722 | | 1690 |
| Dinophyceae | Peridinales | 20-27 | 0,00058 | | 338 |
| Dinophyceae | Peridinales | 10-15 | 0,05969 | | 82555 |
| Dinophyceae | Peridinales | 15-20 | 0,00866 | | 4208 |
| Dinophyceae | Phalacroma rotundatum | 35-40 | 0,00605 | X | 1014 |
| Dinophyceae | Phalacroma rotundatum | 40-45 | 0,03940 | X | 4208 |
| Dinophyceae | Phalacroma rotundatum | 45-55 | 0,02488 | X | 1690 |
| Dinophyceae | Proto-peridinium | 35x40 | 0,01402 | | 1014 |
| Dinophyceae | Proto-peridinium | 55x60 | 0,21860 | | 4208 |
| Litostomatea | Mesodinium rubrum | 16-20 | 0,14750 | | 42082 |
| Litostomatea | Mesodinium rubrum | 20-27 | 0,31360 | | 42082 |
| Litostomatea | Mesodinium rubrum | 27-33 | 0,05946 | | 4208 |
| Litostomatea | Mesodinium rubrum | 33-37 | 0,09442 | | 4208 |
| Pyramimonadophyceae | Pyramimonas | 4x3 | 0,00119 | | 49533 |
| Telonemea | Telonema subtile | 2-4x5-7 | 0,00030 | | 16511 |
| Unicells classes incertae sedis | Unicell | <2 | 0,00383 | | 957635 |
| Unicells classes incertae sedis | Unicell | 2-3 | 0,03329 | | 4160759 |
| Unicells classes incertae sedis | Unicell | 3-5 | 0,09481 | | 2872905 |
| Unicells classes incertae sedis | Unicell | 5-7 | 0,01866 | | 165110 |
| | Värde | Ref | EK | nEK | |
| Klorofyll | 2,80 | 1,58 | 0,56 | 0,53 | |
| Biovolym | 3,46 | 0,18 | 0,05 | 0,13 | |
| Sammanvägd status, nEK | | | | 0,33 | |



Baggensfjärden

Det.: Susanne Gustafsson, Pelagia Nature & Environment AB

Provtagningsdatum: 2025-07-15

Analysdatum: 2026-02-27

Typindelning: 12n

| Grupp | Taxa | Storlek (µm) | Biovolym (mm ³ /l) | Pot. toxisk | Antal/L |
|---------------------------------|---------------------------------|---------------|-------------------------------|-------------|---------|
| Chlorophyceae | Chlamydomonas | 5-6 | 0,00428 | | 46484 |
| Chlorophyceae | Chlorophyceae | 2-4 | 0,00098 | | 69727 |
| Chlorophyceae | Desmodesmus | 3-4x6-8 | 0,00140 | | 7747 |
| Chlorophyceae | Monoraphidium | 1-2x8-12 | 0,00167 | | 185938 |
| Chlorophyceae | Monoraphidium contortum | 1,2-1,5x15-20 | 0,00043 | | 54232 |
| Coccolithophyceae | Chrysochromulina | 4-6 | 0,00655 | X | 100716 |
| Cryptophyceae | Cryptomonas | 7-8x16-18 | 0,02479 | X | 61979 |
| Cryptophyceae | Hemiselmis | 3x4-6 | 0,01011 | | 674024 |
| Cryptophyceae | Plagioselmis | 3-4x5-7 | 0,00794 | | 317643 |
| Cryptophyceae | Rhodomonas | 5-6x11-14 | 0,01162 | | 92969 |
| Cyanophyceae | Aphanizomenon | 5x100 | 0,51090 | X | 260254 |
| Cyanophyceae | Aphanocapsa | 0,8-1,5 | 0,00042 | | 23242 |
| Cyanophyceae | Dolichospermum | 5-7x100 | 0,00907 | X | 4814 |
| Cyanophyceae | Planktolyngbya | 2x100 | 0,00922 | | 29352 |
| Dinophyceae | Dinophysis | 15-20 | 0,00193 | X | 2006 |
| Dinophyceae | Dinophysis | 20-25 | 0,00644 | X | 3210 |
| Dinophyceae | Dinophysis | 25-30 | 0,00944 | X | 2608 |
| Dinophyceae | Dinophysis | 30-40 | 0,00851 | X | 1204 |
| Dinophyceae | Gonyaulax | 25-35 | 0,00213 | X | 201 |
| Dinophyceae | Gonyaulax | 35-45 | 0,00504 | X | 201 |
| Dinophyceae | Gymnodinium | 7-10x10-15 | 0,00260 | X | 7747 |
| Dinophyceae | Gymnodinium | 18-23x25-35 | 0,00558 | X | 1204 |
| Dinophyceae | Prorocentrum | 15x20 | 0,00097 | | 802 |
| Euglenophyceae | Eutreptiella | 5-7x10-15 | 0,00914 | | 38737 |
| Euglenophyceae | Eutreptiella | 5-7x15-20 | 0,00256 | | 7747 |
| Euglenophyceae | Trachelomonas | 6-10x10-15 | 0,00358 | | 7747 |
| Litostomatea | Mesodinium rubrum | 16-20 | 0,00914 | | 2608 |
| Litostomatea | Mesodinium rubrum | 20-27 | 0,02541 | | 3410 |
| Litostomatea | Mesodinium rubrum | 27-33 | 0,00567 | | 401 |
| Pyramimonadophyceae | Pyramimonas | 4x3 | 0,00558 | | 232422 |
| Pyramimonadophyceae | Pyramimonas | 5-7x5 | 0,02417 | | 201432 |
| Thecofilosea | Ebria tripartita | 17-23 | 0,01147 | | 7827 |
| Thecofilosea | Ebria tripartita | 23-27 | 0,01680 | | 5870 |
| Trebouxiophyceae | Oocystis | 4-5x7-8 | 0,00062 | | 7827 |
| Unicells classes incertae sedis | Unicells species incertae sedis | <2 | 0,00397 | | 991661 |
| Unicells classes incertae sedis | Unicells species incertae sedis | 2-3 | 0,01711 | | 2138269 |
| Unicells classes incertae sedis | Unicells species incertae sedis | 3-5 | 0,01150 | | 348633 |
| | Värde | Ref | EK | nEK | |
| Klorofyll | 5,60 | 1,60 | 0,29 | 0,34 | |
| Biovolym | 0,79 | 0,19 | 0,24 | 0,40 | |
| Sammanvägd status, nEK | | | | 0,37 | |



Baggensfjärden

Det.: Jon Karlsson, Pelagia Nature & Environment AB

Provtagningsdatum: 2025-08-11

Analysdatum: 2026-02-17

Typindelning: 12n

| Grupp | Taxa | Storlek (µm) | Biovolym (mm ³ /l) | Pot. toxisk | Antal/L |
|---------------------------------|---------------------------------|--------------|-------------------------------|-------------|---------|
| Bacillariophyceae | Centrales | 27-32 | 0,00419 | | 395 |
| Bacillariophyceae | Centrales | 32-40 | 0,00333 | | 198 |
| Chlorophyceae | Chlamydomonas | 10-15 | 0,00894 | | 8748 |
| Chlorophyceae | Chlorophyceae | 4-6 | 0,00398 | | 61235 |
| Chlorophyceae | Chlorophyceae | 6-8 | 0,00315 | | 17496 |
| Chlorophyceae | Sphaerocystis schroeteri | 7-8 | 0,00166 | | 7513 |
| Cryptophyceae | Cryptophyceae | 5x10 | 0,00215 | | 26244 |
| Cryptophyceae | Hemiselmis | 3x4-6 | 0,00538 | | 358664 |
| Cryptophyceae | Plagioselmis | 3-4x5-7 | 0,00372 | | 148714 |
| Cryptophyceae | Plagioselmis | 5-7x7-9 | 0,00182 | | 17496 |
| Cryptophyceae | Teleaulax | 5-6x11-15 | 0,00109 | | 8748 |
| Cyanophyceae | Aphanizomenon | 4x100 | 0,09339 | X | 74355 |
| Cyanophyceae | Aphanizomenon klebahnii | 5x100 | 0,51090 | | 260241 |
| Dinophyceae | Dinophyceae | <10 | 0,00915 | | 17496 |
| Dinophyceae | Dinophyceae | 10-15 | 0,01788 | | 17496 |
| Pyramimonadophyceae | Pyramimonas | 4x3 | 0,00903 | | 376160 |
| Pyramimonadophyceae | Pyramimonas | 5-7x5 | 0,01680 | | 139966 |
| Trebouxiophyceae | Oocystis | 5-6x8-12 | 0,00025 | | 1582 |
| Unicells classes incertae sedis | Unicells species incertae sedis | <2 | 0,00441 | | 1102229 |
| Unicells classes incertae sedis | Unicells species incertae sedis | 2-3 | 0,00504 | | 629845 |
| Unicells classes incertae sedis | Unicells species incertae sedis | 3-5 | 0,00866 | | 262436 |
| | Värde | Ref | EK | nEK | |
| Klorofyll | 4,20 | 1,65 | 0,39 | 0,43 | |
| Biovolym | 0,71 | 0,20 | 0,28 | 0,42 | |
| Sammanvägd status, nEK | | | | 0,43 | |



Baggensfjärden

Det.: Jon Karlsson, Pelagia Nature & Environment AB

Provtagningsdatum: 2025-09-08

Analysdatum: 2026-02-16

Typindelning: 12n

| Grupp | Taxa | Storlek (µm) | Biovolym (mm ³ /l) | Pot. toxisk | Antal/L |
|---------------------------------|---------------------------------|--------------|-------------------------------|-------------|---------|
| Bacillariophyceae | Centrales | 60-70 | 0,03855 | | 596 |
| Bacillariophyceae | Centrales | 22-27 | 0,01348 | | 2198 |
| Bacillariophyceae | Centrales | 27-32 | 0,04659 | | 4396 |
| Bacillariophyceae | Centrales | 32-40 | 0,07398 | | 4396 |
| Bacillariophyceae | Centrales | 40-50 | 0,00711 | | 199 |
| Chlorophyceae | Chlorophyceae | 4-6 | 0,01257 | | 193442 |
| Chlorophyceae | Chlorophyceae | 6-8 | 0,01424 | | 79135 |
| Chlorophyceae | Scenedesmus | 6-7x16-20 | 0,00350 | | 2198 |
| Chlorophyceae | Sphaerocystis | 7-8 | 0,00680 | | 30775 |
| Cryptophyceae | Cryptomonas | 7-8x16-18 | 0,01407 | X | 35171 |
| Cryptophyceae | Cryptomonas | 10-13x20-26 | 0,03358 | X | 26378 |
| Cryptophyceae | Cryptophyceae | 4,5x8 | 0,00047 | | 8793 |
| Cryptophyceae | Cryptophyceae | 5x10 | 0,00144 | | 17586 |
| Cryptophyceae | Hemiselmis | 3x4-6 | 0,00132 | | 87928 |
| Cryptophyceae | Plagioselmis | 3-4x5-7 | 0,00374 | | 149478 |
| Cryptophyceae | Plagioselmis | 5-7x7-9 | 0,00640 | | 61550 |
| Cryptophyceae | Teleaulax | 5-6x11-15 | 0,01209 | | 96721 |
| Cyanophyceae | Aphanizomenon | 4x100 | 0,03589 | X | 28577 |
| Cyanophyceae | Aphanizomenon klebahnii | 5x100 | 0,08630 | | 43964 |
| Cyanophyceae | Microcystis | 3-7 | 0,00077 | X | 11922 |
| Dictyochophyceae | Pseudopedinella | 5-7 | 0,00795 | | 70342 |
| Dictyochophyceae | Pseudopedinella | 7-9 | 0,00707 | | 26378 |
| Dinophyceae | Dinophyceae | <10 | 0,00460 | | 8793 |
| Dinophyceae | Dinophyceae | 20-25 | 0,05241 | | 8793 |
| Dinophyceae | Dinophyceae | 25-30 | 0,07178 | | 6595 |
| Dinophyceae | Dinophyceae | 40 | 0,07362 | | 2198 |
| Dinophyceae | Dinophysis | 25-30 | 0,00796 | X | 2198 |
| Dinophyceae | Dinophysis | 30-40 | 0,09322 | X | 13189 |
| Euglenophyceae | Eutreptiella | 5-7x15-20 | 0,00580 | | 17586 |
| Litostomatea | Mesodinium rubrum | 16-20 | 0,18500 | | 52757 |
| Litostomatea | Mesodinium rubrum | 27-33 | 0,12420 | | 8793 |
| Pyramimonadophyceae | Pyramimonas | 4x3 | 0,00781 | | 325334 |
| Pyramimonadophyceae | Pyramimonas | 5-7x5 | 0,04115 | | 342919 |
| Pyramimonadophyceae | Pyramimonas | 8-10x6 | 0,04511 | | 167063 |
| Trebouxiophyceae | Koliella | 2x30 | 0,00044 | | 8793 |
| Trebouxiophyceae | Oocystis | 4-5x7-8 | 0,00139 | | 17586 |
| Unicells classes incertae sedis | Unicells species incertae sedis | <2 | 0,00331 | | 826523 |
| Unicells classes incertae sedis | Unicells species incertae sedis | 2-3 | 0,00957 | | 1195821 |
| Unicells classes incertae sedis | Unicells species incertae sedis | 3-5 | 0,01625 | | 492397 |
| | Värde | Ref | EK | nEK | |
| Klorofyll | 4,40 | 1,58 | 0,36 | 0,41 | |
| Biovolym | 1,17 | 0,18 | 0,16 | 0,30 | |
| Sammanvägd status, nEK | | | | 0,35 | |



Baggensfjärden

Det.: Jon Karlsson, Pelagia Nature & Environment AB

Provtagningsdatum: 2025-10-06

Analysdatum: 2026-02-11

Typindelning: 12n

| Grupp | Taxa | Storlek (µm) | Biovolym (mm ³ /l) | Pot. toxisk | Antal/L |
|---------------------------------|---------------------------------|---------------|-------------------------------|-------------|---------|
| Bacillariophyceae | Centrales | 7-12 | 0,00391 | | 7668 |
| Bacillariophyceae | Centrales | 12-17 | 0,02641 | | 15336 |
| Chlorophyceae | Chlorophyceae | 4-6 | 0,01246 | | 191703 |
| Chlorophyceae | Chlorophyceae | 6-8 | 0,01380 | | 76681 |
| Chlorophyceae | Chlorophyceae | 4-6x6-10 | 0,00081 | | 7668 |
| Chlorophyceae | Scenedesmus | 4-5x8-12 | 0,00325 | | 15336 |
| Choanoflagellata | Choanoflagellata | 4x5 | 0,00097 | | 23004 |
| Cryptophyceae | Cryptomonas | 7-8x16-18 | 0,03067 | X | 76681 |
| Cryptophyceae | Cryptomonas | 10-13x20-26 | 0,00976 | X | 7668 |
| Cryptophyceae | Cryptomonas | 13-14x26-30 | 0,03276 | X | 15336 |
| Cryptophyceae | Cryptophyceae | 4.5x8 | 0,00290 | | 53677 |
| Cryptophyceae | Cryptophyceae | 7x10-12 | 0,01426 | | 76681 |
| Cryptophyceae | Cryptophyceae | 10x15 | 0,00802 | | 15336 |
| Cryptophyceae | Hemiselmis | 3x4-6 | 0,00299 | | 199371 |
| Cryptophyceae | Plagioselmis | 3-4x5-7 | 0,00498 | | 199371 |
| Cryptophyceae | Plagioselmis | 5-7x7-9 | 0,01914 | | 184034 |
| Cryptophyceae | Teleaulax | 5-6x11-15 | 0,01725 | | 138026 |
| Cyanophyceae | Anathece bachmannii | 0.5-1x0.8-2 | 0,00422 | | 383405 |
| Cyanophyceae | Aphanizomenon klebahnii | 5x100 | 0,10160 | | 51759 |
| Cyanophyceae | Planktolynghya | 2x100 | 0,00241 | | 7668 |
| Cyanophyceae | Pseudanabaena | 2x100 | 0,00482 | | 15336 |
| Cyanophyceae | Woronichinia compacta | 1.5-3.4x3-5.6 | 0,00920 | | 613448 |
| Dictyochophyceae | Apedinella | 9 | 0,00878 | | 23004 |
| Dictyochophyceae | Pseudopedinella | 9-11 | 0,07620 | | 145694 |
| Dinophyceae | Amphidinium | 20-25 | 0,02303 | X | 15336 |
| Dinophyceae | Dinophyceae | <10 | 0,00802 | | 15336 |
| Dinophyceae | Dinophyceae | 10-15 | 0,03918 | | 38341 |
| Dinophyceae | Dinophyceae | 15-20 | 0,06453 | | 23004 |
| Dinophyceae | Dinophysis | 30-40 | 0,02710 | X | 3834 |
| Dinophyceae | Dinophysis | 45-50 | 0,00371 | X | 203 |
| Dinophyceae | Heterocapsa | 5-7x10-12 | 0,00202 | X | 15336 |
| Euglenophyceae | Eutreptiella | 5-7x10-15 | 0,00181 | | 7668 |
| Euglenophyceae | Eutreptiella | 5-7x15-20 | 0,01012 | | 30672 |
| Euglenophyceae | Trachelomonas | 6-10x10-15 | 0,01417 | | 30672 |
| Euglenophyceae | Trachelomonas volvocina | 8-12 | 0,00401 | | 7668 |
| Litostomatea | Mesodinium rubrum | 16-20 | 0,01344 | | 3834 |
| Litostomatea | Mesodinium rubrum | 20-27 | 0,01428 | | 1917 |
| Pyramimonadophyceae | Pyramimonas | 4x3 | 0,00644 | | 268384 |
| Pyramimonadophyceae | Pyramimonas | 5-7x5 | 0,02116 | | 176366 |
| Pyramimonadophyceae | Pyramimonas | 8-10x6 | 0,02070 | | 76681 |
| Telonemea | Telonema | 6-7x12 | 0,00259 | | 15336 |
| Thecofilosea | Ebria tripartita | 23-27 | 0,02195 | | 7668 |
| Trebouxiophyceae | Koliella | 2x30 | 0,00077 | | 15336 |
| Trebouxiophyceae | Oocystis | 4-5x7-8 | 0,00485 | | 61345 |
| Trebouxiophyceae | Oocystis | 5-6x8-12 | 0,00121 | | 7668 |
| Unicells classes incertae sedis | Unicells species incertae sedis | <2 | 0,00479 | | 1196216 |
| Unicells classes incertae sedis | Unicells species incertae sedis | 2-3 | 0,01546 | | 1932349 |
| Unicells classes incertae sedis | Unicells species incertae sedis | 3-5 | 0,02176 | | 659452 |
| | Värde | Ref | EK | nEK | |
| Klorofyll | 5,50 | 1,62 | 0,29 | 0,34 | |
| Biovolym | 0,76 | 0,19 | 0,25 | 0,41 | |
| Sammanvägd status, nEK | | | | 0,38 | |



Baggensfjärden

Det.: Jon Karlsson, Pelagia Nature & Environment AB

Provtagningsdatum: 2025-11-12

Analysdatum: 2026-02-03

Typindelning: 12n

| Grupp | Taxa | Storlek (µm) | Biovolum (mm ³ /l) | Pot. toxisk | Antal/L |
|---------------------------------|---------------------------------|---------------|-------------------------------|-------------|---------|
| Bacillariophyceae | Centrales | 7-12 | 0,01338 | | 26244 |
| Bacillariophyceae | Centrales | 32-40 | 0,11040 | | 6561 |
| Bacillariophyceae | Centrales | 40-50 | 0,01414 | | 395 |
| Bacillariophyceae | Chaetoceros | 11-15x11-15 | 0,00167 | | 1384 |
| Bacillariophyceae | Chaetoceros | 9x9 | 0,00087 | | 2175 |
| Bacillariophyceae | Nitzschia acicularis | 1.5-2x18-22 | 0,00007 | | 2187 |
| Bacillariophyceae | Pennales | 2x15-25 | 0,00035 | | 8748 |
| Bacillariophyceae | Skeletonema | 3x6-8 | 0,00054 | | 10935 |
| Chlorophyceae | Chlorophyceae | 4-6 | 0,00171 | | 26244 |
| Chlorophyceae | Chlorophyceae | 6-10x11-15 | 0,00761 | | 17496 |
| Chlorophyceae | Monoraphidium | 2-3x40-50 | 0,00103 | | 8748 |
| Chlorophyceae | Scenedesmus | 4-5x8-12 | 0,00004 | | 198 |
| Cryptophyceae | Cryptomonas | 7-8x16-18 | 0,00350 | X | 8748 |
| Cryptophyceae | Cryptomonas | 10-13x20-26 | 0,00278 | X | 2187 |
| Cryptophyceae | Hemiselmis | 3x4-6 | 0,00013 | | 8748 |
| Cryptophyceae | Plagioselmis | 3-4x5-7 | 0,00087 | | 34992 |
| Cryptophyceae | Plagioselmis | 5-7x7-9 | 0,00364 | | 34992 |
| Cryptophyceae | Teleaulax | 5-6x11-15 | 0,00656 | | 52487 |
| Cyanophyceae | Planktolyngbya | 2x100 | 0,00824 | | 26244 |
| Cyanophyceae | Pseudanabaena | 2x100 | 0,00549 | | 17496 |
| Cyanophyceae | Woronichinia compacta | 1.5-3.4x3-5.6 | 0,02493 | | 1662101 |
| Dinophyceae | Amphidinium | 20-25 | 0,01314 | X | 8748 |
| Dinophyceae | Dinophyceae | 25-30 | 0,02380 | | 2187 |
| Dinophyceae | Dinophyceae | 40 | 0,00662 | | 198 |
| Dinophyceae | Dinophysis | 30-40 | 0,04637 | X | 6561 |
| Dinophyceae | Heterocapsa | 5-7x10-12 | 0,00462 | X | 34992 |
| Euglenophyceae | Trachelomonas | 6-10x10-15 | 0,00404 | | 8748 |
| Litostomatea | Mesodinium rubrum | 16-20 | 0,01533 | | 4374 |
| Litostomatea | Mesodinium rubrum | 20-27 | 0,01629 | | 2187 |
| Litostomatea | Mesodinium rubrum | 33-37 | 0,19630 | | 8748 |
| Pyramimonadophyceae | Pyramimonas | 4x3 | 0,00210 | | 87479 |
| Pyramimonadophyceae | Pyramimonas | 5-7x5 | 0,00315 | | 26244 |
| Trebouxiophyceae | Crucigenia quadrata | 5-6 | 0,00609 | | 17496 |
| Unicells classes incertae sedis | Unicells species incertae sedis | <2 | 0,00245 | | 612350 |
| Unicells classes incertae sedis | Unicells species incertae sedis | 2-3 | 0,00364 | | 454888 |
| Unicells classes incertae sedis | Unicells species incertae sedis | 3-5 | 0,00693 | | 209948 |
| | Värde | Ref | EK | nEK | |
| Klorofyll | 4,50 | 1,59 | 0,35 | 0,40 | |
| Biovolum | 0,56 | 0,19 | 0,34 | 0,46 | |
| Sammanvägd status, nEK | | | | 0,43 | |

Blockhusudden

Det.: Jon Karlsson, Pelagia Nature & Environment AB

Provtagningsdatum: 2025-01-14

Analysdatum: 2025-09-24

Typindelning: 24

| Grupp | Taxa | Storlek (µm) | Biovolym (mm ³ /l) | Pot. toxisk | Antal/L |
|---------------------------------|---------------------------------|--------------|-------------------------------|-------------|---------|
| Bacillariophyceae | Asterionella formosa | 3-4x60-80 | 0,00052 | | 608 |
| Bacillariophyceae | Aulacoseira | 6x10-15 | 0,00518 | | 15290 |
| Bacillariophyceae | Aulacoseira | 8x20-25 | 0,00148 | | 1217 |
| Bacillariophyceae | Centrales | 60-70 | 0,00656 | | 101 |
| Bacillariophyceae | Centrales | 22-27 | 0,02930 | | 4778 |
| Bacillariophyceae | Centrales | 32-40 | 0,01608 | | 956 |
| Bacillariophyceae | Chaetoceros | 5x5 | 0,00032 | | 3822 |
| Bacillariophyceae | Chaetoceros minimus | 1-2x5-7 | 0,00004 | | 3822 |
| Bacillariophyceae | Pennales | 4-6x35-50 | 0,00013 | | 304 |
| Bacillariophyceae | Pennales | 4-6x50-70 | 0,00012 | | 203 |
| Bacillariophyceae | Thalassiosira | 27-32 | 0,01013 | | 956 |
| Chlorophyceae | Chlorophyceae | 4-6 | 0,00025 | | 3822 |
| Chlorophyceae | Chlorophyceae | 6-8 | 0,00206 | | 11467 |
| Chlorophyceae | Monoraphidium | 2-3x40-50 | 0,00001 | | 101 |
| Chlorophyceae | Monoraphidium cf. dybowskii | 2-6x8-12 | 0,00032 | | 3822 |
| Chlorophyceae | Monoraphidium contortum | 1,5-2x20-30 | 0,00008 | | 3822 |
| Cryptophyceae | Cryptomonadales | 4,5x8 | 0,00021 | | 3822 |
| Cryptophyceae | Cryptomonadales | 10x15 | 0,00200 | | 3822 |
| Cryptophyceae | Cryptomonas | 7-8x16-18 | 0,00153 | X | 3822 |
| Cryptophyceae | Cryptomonas | 6x12-17 | 0,00195 | X | 11467 |
| Cryptophyceae | Hemiselmis | 3x4-6 | 0,00011 | | 7645 |
| Cryptophyceae | Plagioselmis | 3-4x5-7 | 0,00019 | | 7645 |
| Cryptophyceae | Plagioselmis | 5-7x7-9 | 0,00119 | | 11467 |
| Cyanophyceae | Aphanizomenon | 4x100 | 0,00120 | X | 956 |
| Cyanophyceae | Aphanocapsa | 0,8-1,5 | 0,00010 | | 114672 |
| Cyanophyceae | Dolichospermum | 4-5x100 | 0,00101 | X | 956 |
| Cyanophyceae | Planktolyngbya | 1,5x100 | 0,00474 | | 26757 |
| Dinophyceae | Dinophyceae | 10-15 | 0,00781 | | 7645 |
| Dinophyceae | Gymnodiniales | 10-15 | 0,00125 | | 3822 |
| Dinophyceae | Gymnodiniales | 27-40 | 0,00063 | | 101 |
| Euglenophyceae | Trachelomonas | 6-10x10-15 | 0,00177 | | 3822 |
| Litostomatea | Mesodinium rubrum | 16-20 | 0,00107 | | 304 |
| Litostomatea | Mesodinium rubrum | 27-33 | 0,00143 | | 101 |
| Litostomatea | Mesodinium rubrum | 33-37 | 0,00228 | | 101 |
| Trebouxiophyceae | Lagerheimia | 3x5-6 | 0,00010 | | 3822 |
| Trebouxiophyceae | Oocystis | 5-6x8-12 | 0,00006 | | 406 |
| Unicells classes incertae sedis | Unicells species incertae sedis | <2 | 0,00070 | | 175830 |
| Unicells classes incertae sedis | Unicells species incertae sedis | 2-3 | 0,00055 | | 68803 |
| Unicells classes incertae sedis | Unicells species incertae sedis | 3-5 | 0,00202 | | 61158 |
| Unicells classes incertae sedis | Unicells species incertae sedis | 5-7 | 0,00173 | | 15290 |
| Zygnematophyceae | Closterium | 6-7x150-250 | 0,00676 | | 1911 |
| | Värde | Ref | EK | nEK | |
| Klorofyll | 1,10 | 5,12 | 1,00 | 1,00 | |
| Biovolym | 0,11 | 1,07 | 1,00 | 1,00 | |
| Sammanvägd status, nEK | | | | 1,00 | |



Blockhusudden

Det.: Jon Karlsson, Pelagia Nature & Environment AB

Provtagningsdatum: 2025-02-12

Analysdatum: 2025-09-24

Typindelning: 24

| Grupp | Taxa | Storlek (µm) | Biovolym (mm ³ /l) | Pot. toxisk | Antal/L |
|---------------------------------|---------------------------------|--------------|-------------------------------|-------------|---------|
| Bacillariophyceae | Asterionella formosa | 3-4x60-80 | 0,00069 | | 810 |
| Bacillariophyceae | Aulacoseira | 6x10-15 | 0,00517 | | 15259 |
| Bacillariophyceae | Aulacoseira | 8x20-25 | 0,03836 | | 31472 |
| Bacillariophyceae | Aulacoseira | 7x15-20 | 0,04621 | | 68665 |
| Bacillariophyceae | Centrales | 7-12 | 0,00195 | | 3815 |
| Bacillariophyceae | Centrales | 17-22 | 0,02396 | | 7629 |
| Bacillariophyceae | Centrales | 27-32 | 0,05054 | | 4769 |
| Bacillariophyceae | Centrales | 32-40 | 0,03210 | | 1907 |
| Bacillariophyceae | Nitzschia cf. acicularis | 3x35-45 | 0,00018 | | 954 |
| Bacillariophyceae | Pennales | 4-6x15-25 | 0,00076 | | 3815 |
| Bacillariophyceae | Pennales | 20-30x90-120 | 0,00199 | | 101 |
| Bacillariophyceae | Pennales | 4-6x35-50 | 0,00009 | | 202 |
| Bacillariophyceae | Thalassiosira | 27-32 | 0,02021 | | 1907 |
| Bacillariophyceae | Urosolenia longiseta | 2-4x120-160 | 0,00314 | | 3815 |
| Chlorophyceae | Chlamydomonas | 10-15 | 0,00390 | | 3815 |
| Chlorophyceae | Chlorophyceae | 2-4 | 0,00027 | | 19074 |
| Chlorophyceae | Chlorophyceae | 4-6 | 0,00074 | | 11444 |
| Chlorophyceae | Monoraphidium | 2-3x40-50 | 0,00045 | | 3815 |
| Choanoflagellata | Choanoflagellata | 4x5 | 0,00016 | | 3815 |
| Cryptophyceae | Cryptomonadales | 4,5x8 | 0,00041 | | 7629 |
| Cryptophyceae | Cryptomonas | 7-8x16-18 | 0,00458 | X | 11444 |
| Cryptophyceae | Cryptomonas | 10-13x20-26 | 0,00243 | X | 1907 |
| Cryptophyceae | Plagioselmis | 3-4x5-7 | 0,00038 | | 15259 |
| Cryptophyceae | Plagioselmis | 5-7x7-9 | 0,00040 | | 3815 |
| Cryptophyceae | Rhodomonas | 4-6x7-9 | 0,00026 | | 3815 |
| Cyanophyceae | Aphanocapsa | 1-2 | 0,00015 | | 76294 |
| Cyanophyceae | Planktolyngbya | 1,5x100 | 0,00338 | | 19074 |
| Dinophyceae | Dinophyceae | 15-20 | 0,01070 | | 3815 |
| Dinophyceae | Gymnodiniales | 27-40 | 0,00067 | | 101 |
| Klebsormidiophyceae | Elakatothrix | 5-6x25-30 | 0,00166 | | 7629 |
| Unicells classes incertae sedis | Unicells species incertae sedis | <2 | 0,00061 | | 152588 |
| Unicells classes incertae sedis | Unicells species incertae sedis | 2-3 | 0,00104 | | 129700 |
| Unicells classes incertae sedis | Unicells species incertae sedis | 3-5 | 0,00176 | | 53406 |
| Unicells classes incertae sedis | Unicells species incertae sedis | 5-7 | 0,00302 | | 26703 |
| Zygnematophyceae | Closterium | 6-7x150-250 | 0,00036 | | 101 |
| | Värde | Ref | EK | nEK | |
| Klorofyll | 1,20 | 5,72 | 1,00 | 1,00 | |
| Biovolym | 0,26 | 1,25 | 1,00 | 1,00 | |
| Sammanvägd status, nEK | | | | 1,00 | |

Blockhusudden

Det.: Jon Karlsson, Pelagia Nature & Environment AB

Provtagningsdatum: 2025-03-11

Analysdatum: 2025-09-25

Typindelning: 24

| Grupp | Taxa | Storlek (µm) | Biovolym (mm ³ /l) | Pot. toxisk | Antal/L |
|---------------------------------|---------------------------------|--------------|-------------------------------|-------------|---------|
| Bacillariophyceae | Asterionella formosa | 3-4x60-80 | 0,01316 | | 15336 |
| Bacillariophyceae | Aulacoseira | 8x20-25 | 0,02103 | | 17253 |
| Bacillariophyceae | Aulacoseira | 7x15-20 | 0,05677 | | 84349 |
| Bacillariophyceae | Centrales | 7-12 | 0,03129 | | 61345 |
| Bacillariophyceae | Centrales | 12-17 | 0,05282 | | 30672 |
| Bacillariophyceae | Centrales | 17-22 | 0,02408 | | 7668 |
| Bacillariophyceae | Centrales | 27-32 | 0,02371 | | 2237 |
| Bacillariophyceae | Centrales | 32-40 | 0,01369 | | 814 |
| Bacillariophyceae | Pennales | 10-12x50-70 | 0,00051 | | 203 |
| Bacillariophyceae | Pennales | 12-20x90-120 | 0,00205 | | 203 |
| Bacillariophyceae | Pennales | 4-6x15-25 | 0,00307 | | 15336 |
| Bacillariophyceae | Pennales | 1-3x70-100 | 0,00008 | | 610 |
| Bacillariophyceae | Pennales | 4-6x35-50 | 0,00034 | | 814 |
| Chlorophyceae | Chlamydomonas | 5-6 | 0,00282 | | 30672 |
| Chlorophyceae | Chlamydomonas | 10-15 | 0,02351 | | 23004 |
| Chlorophyceae | Chlorogonium minimum | 3-4x25-30 | 0,00069 | | 7668 |
| Chlorophyceae | Chlorophyceae | 4-6 | 0,00548 | | 84349 |
| Chlorophyceae | Chlorophyceae | 6-8 | 0,00414 | | 23004 |
| Chlorophyceae | Desmodesmus bicellularis | 2-3x4-6 | 0,00101 | | 30672 |
| Chlorophyceae | Monoraphidium contortum | 1,5-2x20-30 | 0,00061 | | 30672 |
| Chlorophyceae | Monoraphidium contortum | 2-3x20-30 | 0,00063 | | 15336 |
| Chrysophyceae | Chrysococcus | 6-8 | 0,00414 | | 23004 |
| Cryptophyceae | Cryptomonadales | 4,5x8 | 0,00083 | | 15336 |
| Cryptophyceae | Cryptomonadales | 10x15 | 0,00401 | | 7668 |
| Cryptophyceae | Cryptomonas | 7-8x16-18 | 0,00613 | X | 15336 |
| Cryptophyceae | Cryptomonas | 10-13x20-26 | 0,00026 | X | 203 |
| Cryptophyceae | Cryptomonas | 6x12-17 | 0,00782 | X | 46009 |
| Cryptophyceae | Plagioselmis | 3-4x5-7 | 0,00249 | | 99685 |
| Cryptophyceae | Plagioselmis | 5-7x7-9 | 0,00718 | | 69013 |
| Cyanophyceae | Aphanocapsa | 1-2 | 0,00061 | | 306724 |
| Cyanophyceae | Planktolyngbya | 1,5x100 | 0,00136 | | 7668 |
| Dinophyceae | Dinophyceae | 20-25 | 0,04571 | | 7668 |
| Dinophyceae | Dinophyceae | 25-30 | 0,00664 | | 610 |
| Dinophyceae | Gymnodiniales | <10 | 0,00361 | | 7668 |
| Euglenophyceae | Trachelomonas | 10-20 | 0,04063 | | 23004 |
| Trebouxiophyceae | Koliella | 1,5x30-50 | 0,00087 | | 23004 |
| Trebouxiophyceae | Lagerheimia | 3x5-6 | 0,00020 | | 7668 |
| Unicells classes incertae sedis | Unicells species incertae sedis | <2 | 0,00172 | | 429411 |
| Unicells classes incertae sedis | Unicells species incertae sedis | 2-3 | 0,00209 | | 260714 |
| Unicells classes incertae sedis | Unicells species incertae sedis | 3-5 | 0,00658 | | 199369 |
| Unicells classes incertae sedis | Unicells species incertae sedis | 5-7 | 0,01040 | | 92017 |
| Zygnematophyceae | Closterium | 4-5x80-100 | 0,00293 | | 3834 |
| | Värde | Ref | EK | nEK | |
| Klorofyll | 2,40 | 2,95 | 1,00 | 1,00 | |
| Biovolym | 0,44 | 0,48 | 1,00 | 1,00 | |
| Sammanvägd status, nEK | | | | 1,00 | |



Blockhusudden

Det.: Jon Karlsson, Pelagia Nature & Environment AB

Provtagningsdatum: 2025-04-14

Analysdatum: 2025-10-21

Typindelning: 24

| Grupp | Taxa | Storlek (µm) | Biovolum (mm ³ /l) | Pot. toxisk | Antal/L |
|-------------------|---------------------------|---------------|-------------------------------|-------------|---------|
| Bacillariophyceae | Asterionella formosa | 3-4x60-80 | 0,02138 | | 24921 |
| Bacillariophyceae | Aulacoseira | 6x10-15 | 0,00520 | | 15336 |
| Bacillariophyceae | Aulacoseira | 7x15-20 | 0,02193 | | 32589 |
| Bacillariophyceae | Centrales | 17-22 | 0,16850 | | 53677 |
| Bacillariophyceae | Centrales | 22-27 | 0,09406 | | 15336 |
| Bacillariophyceae | Centrales | 27-32 | 0,12190 | | 11502 |
| Bacillariophyceae | Centrales | 40-50 | 0,06857 | | 1917 |
| Bacillariophyceae | Chaetoceros | 6-8x11-13 | 0,05697 | | 176366 |
| Bacillariophyceae | Diatoma tenuis | 4x30-50 | 0,36810 | | 575108 |
| Bacillariophyceae | Fragilaria | 3-4x30-40 | 0,00137 | | 4068 |
| Bacillariophyceae | Gyrosigma | 17-20x120-150 | 0,00657 | | 203 |
| Bacillariophyceae | Navicula | 14-16x50-70 | 0,00132 | | 203 |
| Bacillariophyceae | Nitzschia cf. acicularis | 3x35-45 | 0,00865 | | 46009 |
| Bacillariophyceae | Pennales | 10-12x70-110 | 0,01369 | | 3834 |
| Bacillariophyceae | Pennales | 2x15-25 | 0,01779 | | 444750 |
| Bacillariophyceae | Pennales | 1-3x100-150 | 0,00036 | | 1917 |
| Bacillariophyceae | Pennales | 4-6x50-70 | 0,00460 | | 7668 |
| Bacillariophyceae | Thalassiosira | 50-60 | 0,25040 | | 3834 |
| Chlorophyceae | Chlamydomonas | 10-15 | 0,07053 | | 69013 |
| Chlorophyceae | Chlorophyceae | 4-6 | 0,00947 | | 145694 |
| Chlorophyceae | Chlorophyceae | 6-8 | 0,00828 | | 46009 |
| Chlorophyceae | Chlorophyceae | 6-10x11-15 | 0,00334 | | 7668 |
| Chlorophyceae | Desmodesmus bicellularis | 2-3x4-6 | 0,00380 | | 115022 |
| Chlorophyceae | Monoraphidium | 2-3x40-50 | 0,00181 | | 15336 |
| Chlorophyceae | Monoraphidium cf. minutum | 1-2x5-7 | 0,00005 | | 7668 |
| Chlorophyceae | Monoraphidium contortum | 1,2-1,5x15-20 | 0,00018 | | 23004 |
| Chlorophyceae | Monoraphidium contortum | 3-4x20-30 | 0,00184 | | 23004 |
| Chlorophyceae | Monoraphidium contortum | 4-5x30-40 | 0,00284 | | 15336 |
| Chlorophyceae | Monoraphidium komarkovae | 1,5x50-80 | 0,00029 | | 7668 |
| Cryptophyceae | Cryptomonadales | 7x10-12 | 0,00285 | | 15336 |
| Cryptophyceae | Cryptomonas | 7-8x16-18 | 0,00307 | X | 7668 |
| Cryptophyceae | Cryptomonas | 6x12-17 | 0,00521 | X | 30672 |
| Cryptophyceae | Hemiselmis | 3x4-6 | 0,00081 | | 53677 |
| Cryptophyceae | Plagioselmis | 3-4x5-7 | 0,00192 | | 76681 |
| Cryptophyceae | Plagioselmis | 5-7x7-9 | 0,00319 | | 30672 |
| Cyanophyceae | Cyanophyceae | 3 | 0,00129 | | 92017 |
| Cyanophyceae | Cyanophyceae | 1 | 0,00008 | | 153362 |
| Cyanophyceae | Planktolyngbya | 2x100 | 0,01505 | | 47925 |
| Dictyochophyceae | Pseudopedinella | 7-9 | 0,00206 | | 7668 |
| Dinophyceae | Dinophyceae | <10 | 0,01604 | | 30672 |
| Dinophyceae | Dinophyceae | 10-15 | 0,02351 | | 23004 |
| Dinophyceae | Dinophyceae | 20-25 | 0,04571 | | 7668 |
| Dinophyceae | Dinophyceae | 25-30 | 0,04173 | | 3834 |
| Dinophyceae | Dinophyceae | 20-25 | 0,04571 | | 7668 |
| Dinophyceae | Peridiniella catenata | 27-30 | 0,00935 | | 1627 |
| Dinophyceae | Protoperdinium | 45x50 | 0,00586 | | 203 |
| Euglenophyceae | Eutreptiella | 5-7x15-20 | 0,01265 | | 38341 |
| Euglenophyceae | Eutreptiella | 7-9x20-25 | 0,03469 | | 46009 |
| Euglenophyceae | Eutreptiella | 9-11x10-15 | 0,00502 | | 7668 |
| Euglenophyceae | Trachelomonas | 6-10x10-15 | 0,00354 | | 7668 |
| Litostomatea | Mesodinium rubrum | 16-20 | 0,00143 | | 407 |

Artlistan fortsätter på nästa sida.

UNDERSÖKNING, VÄXTPLANKTON: SKÄRGÅRDSSNITT 2025

| | | | | |
|---------------------------------|---------------------------------|------------|-----------|------------|
| Litostomatea | Mesodinium rubrum | 20-27 | 0,00455 | 610 |
| Telonemea | Telonema subtile | 5-6x8 | 0,00065 | 7668 |
| Trebouxiophyceae | Koliella | 1,5x30-50 | 0,00087 | 23004 |
| Unicells classes incertae sedis | Unicells species incertae sedis | <2 | 0,00656 | 1640963 |
| Unicells classes incertae sedis | Unicells species incertae sedis | 2-3 | 0,00883 | 1104199 |
| Unicells classes incertae sedis | Unicells species incertae sedis | 3-5 | 0,01265 | 383403 |
| Unicells classes incertae sedis | Unicells species incertae sedis | 5-7 | 0,01906 | 168697 |
| | Värde | Ref | EK | nEK |
| Klorofyll | 8,00 | 2,20 | 0,27 | 0,32 |
| Biovolym | 1,67 | 0,31 | 0,19 | 0,33 |
| Sammanvägd status, nEK | | | | 0,33 |

Blockhusudden

Det.: Jon Karlsson, Pelagia Nature & Environment AB

Provtagningsdatum: 2025-05-12

Analysdatum: 2026-01-08

Typindelning: 24

| Grupp | Taxa | Storlek (µm) | Biovolum (mm ³ /l) | Pot. toxisk | Antal/L |
|-------------------|--------------------------|---------------|-------------------------------|-------------|---------|
| Bacillariophyceae | Asterionella formosa | 3-4x80-100 | 0,00276 | | 2503 |
| Bacillariophyceae | Aulacoseira | 7x15-20 | 0,00480 | | 7136 |
| Bacillariophyceae | Centrales | 60-70 | 0,00259 | | 40 |
| Bacillariophyceae | Centrales | 17-22 | 0,03921 | | 12488 |
| Bacillariophyceae | Centrales | 27-32 | 0,02122 | | 2002 |
| Bacillariophyceae | Centrales | 32-40 | 0,06738 | | 4004 |
| Bacillariophyceae | Centrales | 40-50 | 0,05370 | | 1502 |
| Bacillariophyceae | Centrales | 50-60 | 0,00522 | | 80 |
| Bacillariophyceae | Chaetoceros | 16-20x11-15 | 0,05367 | | 23192 |
| Bacillariophyceae | Chaetoceros | 5x5 | 0,00104 | | 12488 |
| Bacillariophyceae | Chaetoceros | 8x8 | 0,02441 | | 71360 |
| Bacillariophyceae | Chaetoceros | 10x10 | 0,00981 | | 17840 |
| Bacillariophyceae | Diatoma tenuis | 4x30-50 | 0,49550 | | 774256 |
| Bacillariophyceae | Diatoma vulgare | 5-6x15-25 | 0,01864 | | 39248 |
| Bacillariophyceae | Fragilaria | 2-3x15-30 | 0,00468 | | 67792 |
| Bacillariophyceae | Gyrosigma | 17-20x120-150 | 0,01618 | | 501 |
| Bacillariophyceae | Navicula | 9-11x30-40 | 0,00210 | | 1001 |
| Bacillariophyceae | Nitzschia acicularis | 3x35-45 | 0,00201 | | 10704 |
| Bacillariophyceae | Nitzschia acicularis | 1,5-2x18-22 | 0,00328 | | 96336 |
| Bacillariophyceae | Pauliella taeniata | 3x12-20 | 0,01291 | | 83848 |
| Bacillariophyceae | Pennales | 10-12x70-110 | 0,00536 | | 1502 |
| Bacillariophyceae | Pennales | 4-6x15-25 | 0,05209 | | 260464 |
| Bacillariophyceae | Pennales | 2x15-25 | 0,00557 | | 139152 |
| Bacillariophyceae | Pennales | 1-3x25-40 | 0,00280 | | 57088 |
| Bacillariophyceae | Pennales | 4-6x50-70 | 0,02282 | | 38038 |
| Bacillariophyceae | Pennales | 4-6x70-100 | 0,02978 | | 35035 |
| Bacillariophyceae | Skeletonema | 3x3-5 | 0,00075 | | 26760 |
| Bacillariophyceae | Skeletonema | 5x7-10 | 0,00327 | | 19624 |
| Chlorophyceae | Chlamydomonas | 10-15 | 0,02188 | | 21408 |
| Chlorophyceae | Chlorophyceae | 4-6 | 0,00255 | | 39248 |
| Chlorophyceae | Chlorophyceae | 6-8 | 0,00771 | | 42816 |
| Chlorophyceae | Chlorophyceae | 6-10x11-15 | 0,00078 | | 1784 |
| Chlorophyceae | Desmodesmus bicellularis | 2-3x4-6 | 0,00018 | | 5352 |
| Chlorophyceae | Monoraphidium | 1-2x8-12 | 0,00010 | | 10704 |
| Chlorophyceae | Monoraphidium | 1x50-60 | 0,00012 | | 5352 |
| Chlorophyceae | Monoraphidium | 2-3x40-50 | 0,00190 | | 16056 |
| Chlorophyceae | Monoraphidium contortum | 1,2-1,5x15-20 | 0,00030 | | 37464 |
| Chlorophyceae | Monoraphidium contortum | 1,5-2x20-30 | 0,00175 | | 87416 |
| Chlorophyceae | Scenedesmus | 3-4x6-8 | 0,00032 | | 1784 |
| Cryptophyceae | Cryptomonadales | 10x15 | 0,01213 | | 23192 |
| Cryptophyceae | Cryptomonas | 7-8x16-18 | 0,00571 | X | 14272 |
| Cryptophyceae | Cryptomonas | 10-13x20-26 | 0,01363 | X | 10704 |
| Cryptophyceae | Hemiselmis | 3x4-6 | 0,00008 | | 5352 |
| Cryptophyceae | Plagioselmis | 3-4x5-7 | 0,00049 | | 19624 |
| Cryptophyceae | Plagioselmis | 5-7x7-9 | 0,00297 | | 28544 |
| Cryptophyceae | Teleaulax | 5-6x11-15 | 0,00112 | | 8920 |
| Cyanophyceae | Aphanizomenon | 3x100 | 0,00505 | X | 7136 |
| Cyanophyceae | Planktolyngbya | 1,5x100 | 0,00821 | | 46384 |
| Cyanophyceae | Planktothrix | 6x100 | 0,00566 | X | 2002 |
| Dictyochophyceae | Pseudopedinella | 7-9 | 0,00096 | | 3568 |
| Dinophyceae | Dinophyceae | 10-15 | 0,01094 | | 10704 |

Artlistan fortsätter på nästa sida.

UNDERSÖKNING, VÄXTPLANKTON: SKÄRGÅRDSSNITT 2025

| | | | | | |
|---------------------------------|---------------------------------|------------|-----------|------------|--------|
| Dinophyceae | Dinophyceae | 20-25 | 0,02127 | | 3568 |
| Dinophyceae | Dinophyceae | 25-30 | 0,05447 | | 5005 |
| Dinophyceae | Dinophyceae | 45 | 0,09547 | | 2002 |
| Dinophyceae | Gymnodiniales | <10 | 0,00420 | | 8920 |
| Dinophyceae | Heterocapsa | 7-10x12-15 | 0,00599 | X | 17840 |
| Dinophyceae | Peridiniella catenata | 20-23 | 0,00558 | | 2002 |
| Dinophyceae | Peridiniella catenata | 27-30 | 0,02300 | | 4004 |
| Dinophyceae | Peridiniella catenata | 31-35 | 0,03765 | | 4004 |
| Dinophyceae | Peridiniella catenata | 36-40 | 0,08623 | | 6006 |
| Euglenophyceae | Eutreptiella | 5-7x10-15 | 0,09347 | | 396048 |
| Euglenophyceae | Eutreptiella | 5-7x20-25 | 0,22840 | | 538768 |
| Euglenophyceae | Eutreptiella | 9-11x20-30 | 0,13070 | | 99904 |
| Euglenophyceae | Trachelomonas | 6-10x10-15 | 0,00247 | | 5352 |
| Litostomatea | Mesodinium rubrum | 16-20 | 0,02106 | | 6006 |
| Litostomatea | Mesodinium rubrum | 20-27 | 0,08950 | | 12012 |
| Trebouxiophyceae | Koliella | 1,5x30-50 | 0,00027 | | 7136 |
| Trebouxiophyceae | Lagerheimia | 3x5-6 | 0,00005 | | 1784 |
| Unicells classes incertae sedis | Unicells species incertae sedis | <2 | 0,00227 | | 567312 |
| Unicells classes incertae sedis | Unicells species incertae sedis | 2-3 | 0,00391 | | 488816 |
| Unicells classes incertae sedis | Unicells species incertae sedis | 3-5 | 0,00871 | | 264032 |
| | Värde | Ref | EK | nEK | |
| Klorofyll | 38,00 | 2,15 | 0,06 | 0,08 | |
| Biovolyt | 1,98 | 0,30 | 0,15 | 0,29 | |
| Sammanvägd status, nEK | | | | 0,18 | |



PELAGIA

Blockhusudden

Det.: Jonas Forsberg, Pelagia Nature & Environment AB

Provtagningsdatum: 2025-06-12

Analysdatum: 2026-02-24

Typindelning: 24

| Grupp | Taxa | Storlek (µm) | Biovolym (mm ³ /l) | Pot. toxisk | Antal/L |
|---------------------------------|--------------------------|--------------|-------------------------------|-------------|---------|
| Bacillariophyceae | Asterionella formosa | 3-4x100-120 | 0,00137 | | 1014 |
| Bacillariophyceae | Aulacoseira islandica | 5-7x10-14 | 0,00080 | | 2366 |
| Bacillariophyceae | Chaetoceros ceratosporus | 6-7x9-11 | 0,00119 | | 4208 |
| Bacillariophyceae | Chaetoceros wighamii | 17-18x17-18 | 0,00683 | | 2028 |
| Bacillariophyceae | Chaetoceros wighamii | 15-17x8-10 | 0,04061 | | 42082 |
| Bacillariophyceae | Chaetoceros wighamii | 9x9 | 0,03477 | | 71539 |
| Bacillariophyceae | Chaetoceros wighamii | 13-14x13-14 | 0,07152 | | 46290 |
| Bacillariophyceae | Coscinodiscus | 60-70 | 0,21860 | | 1690 |
| Bacillariophyceae | Diatoma tenuis | 3x30-50 | 0,00455 | | 12625 |
| Bacillariophyceae | Diatoma tenuis | 4x50-70 | 0,54130 | | 563906 |
| Bacillariophyceae | Diatoma tenuis | 4x70-90 | 1,67000 | | 1304558 |
| Bacillariophyceae | Diatoma vulgaris | 5-6x15-25 | 0,00800 | | 16833 |
| Bacillariophyceae | Navicula | 4-6x20-30 | 0,00158 | | 4208 |
| Bacillariophyceae | Nitzschia longissima | 3-5x25-30 | 0,00598 | | 33022 |
| Bacillariophyceae | Nitzschia longissima | 3x65-85 | 0,00238 | | 8416 |
| Bacillariophyceae | Skeletonema | 7x7-10 | 0,01651 | | 50498 |
| Bacillariophyceae | Thalassiosira baltica | 90-110 | 0,23880 | | 1014 |
| Bacillariophyceae | Thalassiosira baltica | 50-60 | 0,54960 | | 8416 |
| Chlorophyceae | Ankistrodesmus arcuatus | 1.5-2x25-30 | 0,00015 | | 4208 |
| Chlorophyceae | Chlorophyceae | 4-6 | 0,00215 | | 33022 |
| Chlorophyceae | Monoraphidium contortum | 1.5-2x20-30 | 0,00219 | | 109413 |
| Choanoflagellata | Choanoflagellata | 2-3 | 0,00357 | | 445797 |
| Chrysophyceae | Ochromonas | 3-5x6-8 | 0,00439 | | 115577 |
| Coccolithophyceae | Chrysochromulina | 2-4 | 0,00231 | X | 165110 |
| Cryptophyceae | Cryptomonas | 10-13x20-26 | 0,00043 | X | 338 |
| Cryptophyceae | Teleaulax | 5-6x11-15 | 0,00206 | | 16511 |
| Cyanophyceae | Aphanizomenon | 5x100 | 0,01652 | X | 8416 |
| Cyanophyceae | Dolichospermum | 4-6 | 0,00574 | X | 88372 |
| Dictyochophyceae | Pseudopedinella | 5-7 | 0,00933 | | 82555 |
| Dinophyceae | Dinophyceae | 10-15 | 0,03375 | | 33022 |
| Dinophyceae | Dinophyceae | 15-20 | 0,46310 | | 165110 |
| Dinophyceae | Dinophysis | 50-60 | 0,11540 | X | 4208 |
| Dinophyceae | Gymnodinium | 4-6x5-10 | 0,01427 | X | 198132 |
| Dinophyceae | Protoperdinium | 35x40 | 0,05817 | | 4208 |
| Euglenophyceae | Eutreptiella | 5-7x15-20 | 0,23970 | | 726484 |
| Euglenophyceae | Eutreptiella | 7-9x25-30 | 0,00031 | | 338 |
| Litostomatea | Mesodinium rubrum | 16-20 | 0,00119 | | 338 |
| Litostomatea | Mesodinium rubrum | 20-27 | 0,59580 | | 79956 |
| Litostomatea | Mesodinium rubrum | 27-33 | 0,65410 | | 46290 |
| Litostomatea | Mesodinium rubrum | 33-37 | 1,32200 | | 58915 |
| Thecofilosea | Ebria tripartita | 37-43 | 0,19730 | | 16833 |
| Unicells classes incertae sedis | Unicell | <2 | 0,00264 | | 660438 |
| Unicells classes incertae sedis | Unicell | 2-3 | 0,03434 | | 4292847 |
| Unicells classes incertae sedis | Unicell | 3-5 | 0,03378 | | 1023679 |
| Unicells classes incertae sedis | Unicell | 5-7 | 0,00373 | | 33022 |
| | Värde | Ref | EK | nEK | |
| Klorofyll | 19,00 | 2,01 | 0,11 | 0,14 | |
| Biovolym | 7,23 | 0,27 | 0,04 | 0,09 | |
| Sammanvägd status, nEK | | | | 0,12 | |



Blockhusudden

Det.: Jonas Forsberg, Pelagia Nature & Environment AB

Provtagningsdatum: 2025-07-17

Analysdatum: 2026-02-25

Typindelning: 24

| Grupp | Taxa | Storlek (µm) | Biovolym (mm ³ /l) | Pot. toxisk | Antal/L |
|----------------------------|---------------------------|---------------|-------------------------------|-------------|---------|
| Bacillariophyceae | Asterionella formosa | 3-4x60-80 | 0,00346 | | 4033 |
| Bacillariophyceae | Aulacoseira islandica | 7-9x9-14 | 0,00191 | | 3025 |
| Bacillariophyceae | Chaetoceros ceratosporus | 10-12x12-15 | 0,00040 | | 336 |
| Bacillariophyceae | Chaetoceros wighamii | 21-22x6-10 | 0,00234 | | 1344 |
| Bacillariophyceae | Chaetoceros wighamii | 9x9 | 0,01220 | | 25106 |
| Bacillariophyceae | Chaetoceros wighamii | 11-12x11-12 | 0,00799 | | 8369 |
| Bacillariophyceae | Cylindrotheca closterium | 2-3x10-12 | 0,00095 | | 32834 |
| Bacillariophyceae | Cylindrotheca closterium | 3-4x25-28 | 0,00181 | | 12553 |
| Bacillariophyceae | Detonula confervacea | 5-6x13-15 | 0,01528 | | 46028 |
| Bacillariophyceae | Diatoma tenuis | 4x30-50 | 0,02410 | | 37660 |
| Bacillariophyceae | Diatoma vulgare | 5-6x15-25 | 0,02584 | | 54397 |
| Bacillariophyceae | Fragilaria crotonensis | 3-4x30-50 | 0,00028 | | 1344 |
| Bacillariophyceae | Navicula | 18-22x70-90 | 0,00484 | | 336 |
| Bacillariophyceae | Pennales | 4-6x15-25 | 0,00020 | | 1008 |
| Bacillariophyceae | Pennales | 4-6x25-35 | 0,00251 | | 8369 |
| Bacillariophyceae | Skeletonema | 6x7-10 | 0,00284 | | 12553 |
| Bacillariophyceae | Thalassiosira baltica | 90-110 | 0,15830 | | 672 |
| Bacillariophyceae | Thalassiosira baltica | 60-70 | 0,27060 | | 4184 |
| Chlorophyceae | Ankistrodesmus arcuatus | 1.5-2x25-30 | 0,00015 | | 4184 |
| Chlorophyceae | Ankistrodesmus arcuatus | 4-4.5x50-60 | 0,00014 | | 336 |
| Chlorophyceae | Chlorophyceae | 2-4 | 0,00207 | | 147753 |
| Chlorophyceae | Monoraphidium contortum | 1.5-2x20-30 | 0,00050 | | 25106 |
| Chlorophyceae | Monoraphidium contortum | 4-5x30-40 | 0,00077 | | 4184 |
| Chlorophyceae | Monoraphidium komarkovae | 2-3x30-50 | 0,00002 | | 336 |
| Chlorophyceae | Monoraphidium komarkovae | 2-3x50-80 | 0,00048 | | 4184 |
| Chlorophyceae | Pseudopediastrum boryanum | 35-45x7-10 | 0,00359 | | 336 |
| Chlorophyceae | Schroederia setigera | 3-5x60-70 | 0,00018 | | 672 |
| Coccolithophyceae | Chrysochromulina | 2-4 | 0,00184 | X | 131336 |
| Cryptophyceae | Cryptomonas | 10-13x20-26 | 0,00043 | X | 336 |
| Cryptophyceae | Cryptomonas | 13-14x26-30 | 0,00894 | X | 4184 |
| Cryptophyceae | Hemiselmis | 3x4-6 | 0,00665 | | 443259 |
| Cryptophyceae | Plagioselmis | 3-4x5-7 | 0,01642 | | 656680 |
| Cryptophyceae | Plagioselmis | 4-5x7-9 | 0,02128 | | 394008 |
| Cryptophyceae | Teleaulax | 6-7x13-16 | 0,04390 | | 229838 |
| Cryptophyta incertae sedis | Katablepharis | 8-10x12-15 | 0,02817 | | 49251 |
| Cyanophyceae | Woronichinia | 2-5 | 0,00527 | | 41844 |
| Cyanophyceae | Woronichinia compacta | 1.5-3.4x3-5.6 | 0,00089 | | 3025 |
| Dictyochophyceae | Pseudopedinella | 7-9 | 0,01320 | | 49251 |
| Dinophyceae | Dinophyceae | <10 | 0,03434 | | 65668 |
| Dinophyceae | Gymnodinium | 4-6x5-10 | 0,00709 | X | 98502 |
| Dinophyceae | Heterocapsa rotundata | 5-7x10-12 | 0,00867 | | 65668 |
| Dinophyceae | Peridinales | 20-27 | 0,00220 | | 336 |
| Euglenophyceae | Eutreptiella | 5-7x10-15 | 0,00387 | | 16417 |
| Litostomatea | Mesodinium rubrum | 20-27 | 0,00250 | | 336 |
| Pyramimonadophyceae | Pyramimonas | 4x3 | 0,00473 | | 197004 |
| Pyramimonadophyceae | Pyramimonas | 5-7x5 | 0,02167 | | 180587 |

Artlistan fortsätter på nästa sida.

UNDERSÖKNING, VÄXTPLANKTON: SKÄRGÅRDSSNITT 2025

| | | | | |
|---------------------------------|-------------------|------------|-----------|------------|
| Unicells classes incertae sedis | Unicell | <2 | 0,00552 | 1379032 |
| Unicells classes incertae sedis | Unicell | 2-3 | 0,05280 | 6599654 |
| Unicells classes incertae sedis | Unicell | 3-5 | 0,09210 | 2790899 |
| Zygnematophyceae | Closterium acutum | 4x100-150 | 0,00221 | 4184 |
| | Värde | Ref | EK | nEK |
| Klorofyll | 4,60 | 2,43 | 0,53 | 0,51 |
| Biovolym | 0,93 | 0,36 | 0,39 | 0,49 |
| Sammanvägd status, nEK | | | | 0,50 |



Blockhusudden

Det.: Jonas Forsberg, Pelagia Nature & Environment AB

Provtagningsdatum: 2025-08-13

Analysdatum: 2026-02-27

Typindelning: 24

| Grupp | Taxa | Storlek (µm) | Biovolum (mm ³ /l) | Pot. toxisk | Antal/L |
|---------------------------------|---------------------------------------------|---------------|-------------------------------|-------------|---------|
| Bacillariophyceae | Asterionella formosa | 3-4x80-100 | 0,00148 | | 1343 |
| Bacillariophyceae | Chaetoceros wighamii | 15-16x15-16 | 0,00978 | | 4182 |
| Bacillariophyceae | Coscinodiscus | 70-90 | 0,06748 | | 336 |
| Bacillariophyceae | Fragilaria crotonensis | 3-4x30-50 | 0,00014 | | 672 |
| Bacillariophyceae | Pennales | 4-6x15-25 | 0,01969 | | 98437 |
| Bacillariophyceae | Pennales | 4-6x50-70 | 0,00502 | | 8363 |
| Bacillariophyceae | Pennales | 7-9x35-50 | 0,00158 | | 1343 |
| Bacillariophyceae | Rhizosolenia longiseta | 4-7x120-160 | 0,01251 | | 4182 |
| Bacillariophyceae | Tabellaria flocculosa var. asterionelloides | 6-8x80-90 | 0,02728 | | 13096 |
| Chlorophyceae | Ankistrodesmus arcuatus | 1.5-2x15-20 | 0,00001 | | 336 |
| Chlorophyceae | Chlorophyceae | 2-4 | 0,00253 | | 180467 |
| Chlorophyceae | Coelastrum astroideum | 6 | 0,00091 | | 8059 |
| Chlorophyceae | Coelastrum astroideum | 8 | 0,00207 | | 7723 |
| Chlorophyceae | Desmodesmus armatus | 3-3.5x8-12 | 0,00015 | | 672 |
| Chlorophyceae | Desmodesmus bicellularis | 2-3x4-6 | 0,00054 | | 16406 |
| Chlorophyceae | Kirchneriella obesa | 6-8x12-16 | 0,00024 | | 1343 |
| Chlorophyceae | Monoraphidium contortum | 1.2-1.5x15-20 | 0,00013 | | 16726 |
| Chlorophyceae | Monoraphidium komarkovae | 1.5x30-50 | 0,00001 | | 336 |
| Chlorophyceae | Mychonastes jurisii | 4-5 | 0,01260 | | 262498 |
| Chlorophyceae | Planktosphaeria gelatinosa | 7-9 | 0,00879 | | 32812 |
| Chlorophyceae | Schroederia setigera | 3-5x60-70 | 0,00018 | | 672 |
| Chlorophyceae | Sphaerocystis schroeteri | 5-6 | 0,00400 | | 45998 |
| Chlorophyceae | Sphaerocystis schroeteri | 9-10 | 0,00563 | | 12545 |
| Cryptophyceae | Cryptomonas | 10-13x20-26 | 0,09049 | X | 71087 |
| Cryptophyceae | Cryptomonas | 13-14x26-30 | 0,04466 | X | 20908 |
| Cryptophyceae | Hemiselmis | 3x4-6 | 0,00074 | | 49218 |
| Cryptophyceae | Plagioselmis | 3-4x5-7 | 0,00164 | | 65624 |
| Cryptophyceae | Plagioselmis | 4-5x7-9 | 0,00266 | | 49218 |
| Cryptophyceae | Plagioselmis | 5-7x7-9 | 0,00512 | | 49218 |
| Cryptophyceae | Teleaulax | 5-6x11-15 | 0,00410 | | 32812 |
| Cryptophyceae | Teleaulax | 6-7x13-16 | 0,00627 | | 32812 |
| Cryptophyceae | Teleaulax | 6-8x15-19 | 0,01501 | | 49218 |
| Cyanophyceae | Gomphosphaeria aponina | 4-6.5x8-12 | 0,00110 | | 7723 |
| Cyanophyceae | Woronichinia compacta | 1.5-3.4x3-5.6 | 0,00069 | | 2351 |
| Cyanophyceae | Woronichinia naegeliana | 1.5-5x4.5-6 | 0,02560 | | 54361 |
| Dinophyceae | Gymnodinium | 4-6x5-10 | 0,00236 | X | 32812 |
| Dinophyceae | Heterocapsa rotundata | 5-7x10-12 | 0,00650 | | 49218 |
| Dinophyceae | Phalacroma rotundatum | 45-55 | 0,06155 | X | 4182 |
| Klebsormidiophyceae | Elakatothrix genevensis | 4-6x25-35 | 0,00007 | | 336 |
| Litostomatea | Mesodinium rubrum | 16-20 | 0,13190 | | 37634 |
| Litostomatea | Mesodinium rubrum | 20-27 | 0,31160 | | 41816 |
| Litostomatea | Mesodinium rubrum | 27-33 | 0,05909 | | 4182 |
| Litostomatea | Mesodinium rubrum | 33-37 | 0,09383 | | 4182 |
| Pyramimonadophyceae | Pyramimonas | 4x3 | 0,00079 | | 32812 |
| Pyramimonadophyceae | Pyramimonas | 5-7x5 | 0,00591 | | 49218 |
| Thecofilosea | Ebria tripartita | 33-37 | 0,03284 | | 4182 |
| Trebouxiophyceae | Oocystis | 4-5x7-8 | 0,01166 | | 147655 |
| Trebouxiophyceae | Oocystis | 5-6x8-12 | 0,01037 | | 65624 |
| Unicells classes incertae sedis | Unicell | <2 | 0,00683 | | 1706234 |
| Unicells classes incertae sedis | Unicell | 2-3 | 0,06116 | | 7645243 |

Artlistan fortsätter på nästa sida.

UNDERSÖKNING, VÄXTPLANKTON: SKÄRGÅRDSSNITT 2025

| | | | | |
|---------------------------------|-----------------------|---------------|-----------|------------|
| Unicells classes incertae sedis | Unicell | 3-5 | 0,08446 | 2559352 |
| Unicells classes incertae sedis | Unicell | 5-7 | 0,00371 | 32812 |
| Zygnematophyceae | Closterium acutum | 4x100-150 | 0,00221 | 4182 |
| Zygnematophyceae | Closterium kuetzingii | 16-23x370-450 | 0,06849 | 1679 |
| | Värde | Ref | EK | nEK |
| Klorofyll | 4,60 | 2,25 | 0,49 | 0,49 |
| Biovolum | 1,34 | 0,32 | 0,24 | 0,40 |
| Sammanvägd status, nEK | | | | 0,44 |



PELAGIA

Blockhusudden

Det.: Jon Karlsson, Pelagia Nature & Environment AB

Provtagningsdatum: 2025-09-10

Analysdatum: 2026-02-13

Typindelning: 24

| Grupp | Taxa | Storlek (µm) | Biovolym (mm ³ /l) | Pot. toxisk | Antal/L |
|---------------------------------|---------------------------------|---------------|-------------------------------|-------------|---------|
| Bacillariophyceae | Asterionella formosa | 3-4x60-80 | 0,00087 | | 1017 |
| Bacillariophyceae | Centrales | 7-12 | 0,00782 | | 15336 |
| Bacillariophyceae | Centrales | 27-32 | 0,30470 | | 28755 |
| Bacillariophyceae | Centrales | 32-40 | 0,83870 | | 49842 |
| Bacillariophyceae | Centrales | 40-50 | 0,41140 | | 11502 |
| Bacillariophyceae | Fragilaria | 7-8x60-80 | 0,13430 | | 65178 |
| Bacillariophyceae | Pennales | 2x15-25 | 0,00031 | | 7668 |
| Chlorophyceae | Chlamydomonas | 10-15 | 0,00784 | | 7668 |
| Chlorophyceae | Chlorophyceae | 4-6 | 0,00498 | | 76681 |
| Chlorophyceae | Chlorophyceae | 6-8 | 0,00966 | | 53677 |
| Chlorophyceae | Chlorophyceae | 4-6x6-10 | 0,00886 | | 84349 |
| Chlorophyceae | Desmodesmus | 4-5x8-12 | 0,00325 | | 7668 |
| Chlorophyceae | Desmodesmus | 4-5x8-12 | 0,00163 | | 7668 |
| Chlorophyceae | Monoraphidium contortum | 1,5-2x20-30 | 0,00061 | | 30672 |
| Chlorophyceae | Monoraphidium contortum | 3-4x20-30 | 0,00123 | | 15336 |
| Chlorophyceae | Monoraphidium dybowskii | 2-6x8-12 | 0,00129 | | 15336 |
| Chlorophyceae | Pediastrum duplex | 40-60x8-10 | 0,00359 | | 203 |
| Chlorophyceae | Scenedesmus quadricauda | 6-7x16-20 | 0,02442 | | 15336 |
| Chlorophyceae | Sphaerocystis | 7-8 | 0,00063 | | 2848 |
| Chlorophyceae | Stauridium tetras | 4-6x15-20 | 0,00922 | | 7668 |
| Cryptophyceae | Cryptomonas | 7-8x16-18 | 0,02761 | X | 69013 |
| Cryptophyceae | Cryptomonas | 10-13x20-26 | 0,13670 | X | 107353 |
| Cryptophyceae | Cryptomonas | 13-14x26-30 | 0,16380 | X | 76681 |
| Cryptophyceae | Cryptophyceae | 4,5x8 | 0,00166 | | 30672 |
| Cryptophyceae | Cryptophyceae | 5x10 | 0,00440 | | 53677 |
| Cryptophyceae | Hemiselmis | 3x4-6 | 0,00276 | | 184034 |
| Cryptophyceae | Plagioselmis | 3-4x5-7 | 0,00134 | | 53677 |
| Cryptophyceae | Rhodomonas | 5-6x11-14 | 0,00192 | | 15336 |
| Cryptophyceae | Teleaulax | 5-6x11-15 | 0,00096 | | 7668 |
| Cyanophyceae | Cyanophyceae | 3 | 0,00043 | | 30672 |
| Cyanophyceae | Planktolyngbya | 2x100 | 0,13480 | | 429414 |
| Cyanophyceae | Pseudanabaena | 2x100 | 0,04575 | | 145694 |
| Cyanophyceae | Woronichinia compacta | 1,5-3,4x3-5,6 | 0,00920 | | 613448 |
| Dinophyceae | Ceratium hirundinella | 30-34 | 0,02858 | | 1917 |
| Dinophyceae | Dinophyceae | <10 | 0,03609 | | 69013 |
| Dinophyceae | Dinophyceae | 10-15 | 0,02351 | | 23004 |
| Dinophyceae | Dinophyceae | 15-20 | 0,02151 | | 7668 |
| Dinophyceae | Dinophyceae | 20-25 | 0,09142 | | 15336 |
| Dinophyceae | Dinophysis | 30-40 | 0,00144 | X | 203 |
| Euglenophyceae | Trachelomonas volvocina | 8-12 | 0,00401 | | 7668 |
| Litostomatea | Mesodinium rubrum | 20-27 | 0,07142 | | 9585 |
| Pyramimonadophyceae | Pyramimonas | 4x3 | 0,00129 | | 53677 |
| Pyramimonadophyceae | Pyramimonas | 5-7x5 | 0,00276 | | 23004 |
| Trebouxiophyceae | Koliella | 2x30 | 0,00153 | | 30672 |
| Trebouxiophyceae | Oocystis | 5-6x8-12 | 0,00485 | | 30672 |
| Unicells classes incertae sedis | Unicells species incertae sedis | <2 | 0,00442 | | 1104199 |
| Unicells classes incertae sedis | Unicells species incertae sedis | 2-3 | 0,01055 | | 1318905 |
| Unicells classes incertae sedis | Unicells species incertae sedis | 3-5 | 0,01873 | | 567436 |
| Zygnematophyceae | Closterium | 10-11x150-250 | 0,00170 | | 203 |
| | Värde | Ref | EK | nEK | |
| Klorofyll | 11,00 | 2,34 | 0,21 | 0,26 | |
| Biovolym | 2,63 | 0,34 | 0,13 | 0,26 | |
| Sammanvägd status, nEK | | | | 0,26 | |



Blockhusudden

Det.: Jon Karlsson, Pelagia Nature & Environment AB

Provtagningsdatum: 2025-10-08

Analysdatum: 2026-02-10

Typindelning: 24

| Grupp | Taxa | Storlek (µm) | Biovolym (mm ³ /l) | Pot. toxisk | Antal/L |
|---------------------------------|---------------------------------|---------------|-------------------------------|-------------|---------|
| Bacillariophyceae | Aulacoseira | 8x20-25 | 0,00096 | | 791 |
| Bacillariophyceae | Aulacoseira granulata | 5-7x10-20 | 0,00184 | | 4349 |
| Bacillariophyceae | Aulacoseira italica | 10-12x25-31 | 0,00818 | | 2966 |
| Bacillariophyceae | Centrales | 17-22 | 0,02747 | | 8748 |
| Bacillariophyceae | Centrales | 32-40 | 0,00665 | | 395 |
| Bacillariophyceae | Centrales | 50-60 | 0,01291 | | 198 |
| Bacillariophyceae | Chaetoceros minimus | 1-2x5-7 | 0,00010 | | 8748 |
| Bacillariophyceae | Diatoma tenuis | 4x30-50 | 0,02239 | | 34992 |
| Bacillariophyceae | Pennales | 2x15-25 | 0,00035 | | 8748 |
| Bacillariophyceae | Pennales | 4-6x50-70 | 0,00262 | | 4374 |
| Bacillariophyceae | Skeletonema | 3x6-8 | 0,00032 | | 6561 |
| Chlorophyceae | Chlorophyceae | 4-6 | 0,00398 | | 61235 |
| Chlorophyceae | Chlorophyceae | 6-8 | 0,00315 | | 17496 |
| Chlorophyceae | Monoraphidium contortum | 1,2-1,5x15-20 | 0,00007 | | 8748 |
| Chlorophyceae | Monoraphidium contortum | 2-3x20-30 | 0,00144 | | 34992 |
| Chlorophyceae | Monoraphidium dybowskii | 2-6x8-12 | 0,00073 | | 8748 |
| Chlorophyceae | Scenedesmus | 4-5x8-12 | 0,00186 | | 8748 |
| Cryptophyceae | Cryptomonas | 7-8x16-18 | 0,00350 | X | 8748 |
| Cryptophyceae | Cryptomonas | 10-13x20-26 | 0,00557 | X | 4374 |
| Cryptophyceae | Cryptomonas | 13-14x26-30 | 0,00169 | X | 791 |
| Cryptophyceae | Cryptophyceae | 4,5x8 | 0,00094 | | 17496 |
| Cryptophyceae | Plagioselmis | 3-4x5-7 | 0,00066 | | 26244 |
| Cryptophyceae | Plagioselmis | 5-7x7-9 | 0,00091 | | 8748 |
| Cyanophyceae | Aphanizomenon klebahnii | 5x100 | 0,00859 | | 4374 |
| Cyanophyceae | Aphanocapsa | 0,8-1,5 | 0,00031 | | 349916 |
| Cyanophyceae | Cuspidothrix issatschenkoi | 4,5x100 | 0,00126 | X | 791 |
| Cyanophyceae | Cyanophyceae | 2 | 0,00018 | | 43740 |
| Cyanophyceae | Dolichospermum | 4-5x100 | 0,00021 | X | 198 |
| Cyanophyceae | Oscillatoriales | 3x100 | 0,01237 | | 17496 |
| Cyanophyceae | Planktolyngbya | 2x100 | 0,11260 | | 358664 |
| Cyanophyceae | Pseudanabaena | 2x100 | 0,11260 | | 358664 |
| Cyanophyceae | Pseudanabaena | 1,5x10 | 0,00126 | | 69983 |
| Cyanophyceae | Woronichinia compacta | 1,5-3,4x3-5,6 | 0,00525 | | 349916 |
| Dinophyceae | Dinophyceae | 25-30 | 0,00215 | | 198 |
| Dinophyceae | Dinophysis | 30-40 | 0,00280 | X | 395 |
| Pyramimonadophyceae | Pyramimonas | 4x3 | 0,00021 | | 8748 |
| Trebouxiophyceae | Koliella | 2x30 | 0,00219 | | 43740 |
| Unicells classes incertae sedis | Unicells species incertae sedis | <2 | 0,00196 | | 489880 |
| Unicells classes incertae sedis | Unicells species incertae sedis | 2-3 | 0,00210 | | 262436 |
| Unicells classes incertae sedis | Unicells species incertae sedis | 3-5 | 0,00635 | | 192453 |
| Zygnematophyceae | Closterium | 4-5x80-100 | 0,00015 | | 198 |
| | Värde | Ref | EK | nEK | |
| Klorofyll | 8,10 | 2,48 | 0,31 | 0,36 | |
| Biovolym | 0,38 | 0,37 | 0,98 | 0,98 | |
| Sammanvägd status, nEK | | | | 0,67 | |



Blockhusudden

Det.: Jon Karlsson, Pelagia Nature & Environment AB

Provtagningsdatum: 2025-11-11

Analysdatum: 2026-02-03

Typindelning: 24

| Grupp | Taxa | Storlek (µm) | Biovolym (mm ³ /l) | Pot. toxisk | Antal/L |
|---------------------------------|---------------------------------|---------------|-------------------------------|-------------|---------|
| Bacillariophyceae | Asterionella formosa | 3-4x40-60 | 0,00097 | | 1582 |
| Bacillariophyceae | Aulacoseira | 8x20-25 | 0,03199 | | 26243 |
| Bacillariophyceae | Centrales | 17-22 | 0,00687 | | 2187 |
| Bacillariophyceae | Centrales | 27-32 | 0,00210 | | 198 |
| Bacillariophyceae | Centrales | 40-50 | 0,00707 | | 198 |
| Bacillariophyceae | Pennales | 2x15-25 | 0,00035 | | 8748 |
| Bacillariophyceae | Rhizosolenia longiseta | 4-7x70-120 | 0,01776 | | 8748 |
| Chlorophyceae | Ankistrodesmus fusiformis | 2x35-40 | 0,00068 | | 17495 |
| Chlorophyceae | Chlorophyceae | 4-6 | 0,00512 | | 78731 |
| Chlorophyceae | Chlorophyceae | 6-10x11-15 | 0,00381 | | 8748 |
| Chlorophyceae | Coelastrum | 7-9 | 0,02813 | | 104975 |
| Chlorophyceae | Desmodesmus bicellularis | 2-3x4-6 | 0,00029 | | 8748 |
| Chlorophyceae | Monoraphidium | 2-3x40-50 | 0,00103 | | 8748 |
| Chlorophyceae | Monoraphidium dybowskii | 2-6x8-12 | 0,00220 | | 26244 |
| Choanoflagellata | Choanoflagellata | 4x5 | 0,00037 | | 8748 |
| Cryptophyceae | Cryptomonadales | 4,5x8 | 0,00142 | | 26244 |
| Cryptophyceae | Cryptomonas | 7-8x16-18 | 0,01750 | X | 43740 |
| Cryptophyceae | Cryptomonas | 10-13x20-26 | 0,00278 | X | 2187 |
| Cryptophyceae | Hemiselmis | 3x4-6 | 0,00066 | | 43740 |
| Cryptophyceae | Plagioselmis | 3-4x5-7 | 0,00153 | | 61235 |
| Cryptophyceae | Plagioselmis | 5-7x7-9 | 0,00182 | | 17496 |
| Cryptophyceae | Teleaulax | 5-6x11-15 | 0,00328 | | 26244 |
| Cyanophyceae | Aphanocapsa | 0,8-1,5 | 0,00016 | | 174958 |
| Cyanophyceae | Planktolyngbya | 2x100 | 0,10160 | | 323672 |
| Cyanophyceae | Planktothrix | 6x100 | 0,04944 | X | 17495 |
| Cyanophyceae | Pseudanabaena | 2x100 | 0,16210 | | 516126 |
| Cyanophyceae | Pseudanabaena | 1,5x10 | 0,00331 | | 183706 |
| Cyanophyceae | Snowella | 1-4 | 0,00392 | X | 489882 |
| Cyanophyceae | Woronichinia compacta | 1,5-3,4x3-5,6 | 0,00492 | | 328035 |
| Euglenophyceae | Trachelomonas | 6-10x10-15 | 0,00404 | | 8748 |
| Trebouxiophyceae | Koliella | 1,5x30-50 | 0,00033 | | 8748 |
| Unicells classes incertae sedis | Unicells species incertae sedis | <2 | 0,00091 | | 227444 |
| Unicells classes incertae sedis | Unicells species incertae sedis | 2-3 | 0,00490 | | 612350 |
| Unicells classes incertae sedis | Unicells species incertae sedis | 3-5 | 0,00808 | | 244940 |
| | Värde | Ref | EK | nEK | |
| Klorofyll | 4,60 | 2,94 | 0,64 | 0,58 | |
| Biovolym | 0,48 | 0,48 | 1,00 | 1,00 | |
| Sammanvägd status, nEK | | | | 0,79 | |

Blockhusudden

Det.: Jon Karlsson, Pelagia Nature & Environment AB

Provtagningsdatum: 2025-12-15

Analysdatum: 2026-02-05

Typindelning: 24

| Grupp | Taxa | Storlek (µm) | Biovolym (mm ³ /l) | Pot. toxisk | Antal/L |
|---------------------------------|---------------------------------|---------------|-------------------------------|-------------|---------|
| Bacillariophyceae | Aulacoseira distans | 6-10x6-10 | 0,01407 | | 34992 |
| Bacillariophyceae | Centrales | 12-17 | 0,01506 | | 8748 |
| Bacillariophyceae | Centrales | 32-40 | 0,00665 | | 395 |
| Bacillariophyceae | Chaetoceros minimus | 1-2x5-7 | 0,00019 | | 17496 |
| Bacillariophyceae | Pennales | 4-6x25-35 | 0,00262 | | 8748 |
| Bacillariophyceae | Skeletonema | 3x6-8 | 0,00043 | | 8748 |
| Chlorophyceae | Chlorophyceae | 4-6 | 0,00569 | | 87479 |
| Chlorophyceae | Chlorophyceae | 6-8 | 0,00472 | | 26244 |
| Chlorophyceae | Monoraphidium contortum | 1,2-1,5x15-20 | 0,00014 | | 17496 |
| Chlorophyceae | Monoraphidium contortum | 3-4x20-30 | 0,00070 | | 8748 |
| Cryptophyceae | Cryptomonadales | 4,5x8 | 0,00094 | | 17496 |
| Cryptophyceae | Cryptomonas | 7-8x16-18 | 0,00350 | X | 8748 |
| Cryptophyceae | Cryptophyceae | 5x10 | 0,00072 | | 8748 |
| Cryptophyceae | Teleaulax | 5-6x11-15 | 0,00109 | | 8748 |
| Cyanophyceae | Aphanizomenon | 4x100 | 0,00549 | X | 4374 |
| Cyanophyceae | Planktolyngbya | 2x100 | 0,00549 | | 17495 |
| Cyanophyceae | Pseudanabaena | 1,5x10 | 0,00205 | | 113723 |
| Cyanophyceae | Woronichinia compacta | 1,5-3,4x3-5,6 | 0,00656 | | 437395 |
| Cyanophyceae | Woronichinia naegeliana | 1,5-5x4,5-6 | 0,00114 | | 47448 |
| Dinophyceae | Dinophyceae | 10-15 | 0,00894 | | 8748 |
| Litostomatea | Mesodinium rubrum | 16-20 | 0,00767 | | 2187 |
| Litostomatea | Mesodinium rubrum | 20-27 | 0,01629 | | 2187 |
| Unicells classes incertae sedis | Unicells species incertae sedis | <2 | 0,00154 | | 384905 |
| Unicells classes incertae sedis | Unicells species incertae sedis | 2-3 | 0,00574 | | 717324 |
| Unicells classes incertae sedis | Unicells species incertae sedis | 3-5 | 0,00462 | | 139966 |
| Zygnematophyceae | Closterium | 4-5x80-100 | 0,00167 | | 2187 |
| Zygnematophyceae | Closterium aciculare | 5-6x350-400 | 0,02046 | | 6561 |
| | Värde | Ref | EK | nEK | |
| Klorofyll | 1,00 | 5,04 | 1,00 | 1,00 | |
| Biovolym | 0,14 | 1,05 | 1,00 | 1,00 | |
| Sammanvägd status, nEK | | | | 1,00 | |

Farstaviken

Det.: Jon Karlsson, Pelagia Nature & Environment AB

Provtagningsdatum: 2025-02-20

Analysdatum: 2025-10-01

Typindelning: 24

| Grupp | Taxa | Storlek (µm) | Biovolym (mm ³ /l) | Pot. toxisk | Antal/L |
|---------------------------------|---------------------------------|--------------|-------------------------------|-------------|---------|
| Bacillariophyceae | Centrales | 17-22 | 0,00602 | | 1917 |
| Bacillariophyceae | Centrales | 50-60 | 0,06641 | | 1017 |
| Bacillariophyceae | Chaetoceros | 6-8x11-13 | 0,00495 | | 15336 |
| Bacillariophyceae | Chaetoceros | 6x6 | 0,00221 | | 15336 |
| Bacillariophyceae | Skeletonema | 4x7-8 | 0,00126 | | 13419 |
| Chlorophyceae | Chlorophyceae | 4-6 | 0,00748 | | 115022 |
| Chlorophyceae | Chlorophyceae | 6-8 | 0,00276 | | 15336 |
| Chlorophyceae | Desmodesmus bicellularis | 2-3x4-6 | 0,00025 | | 7668 |
| Chrysophyceae | Dinobryon | 3-5x4-6 | 0,00032 | | 7668 |
| Cryptophyceae | Cryptomonadales | 4,5x8 | 0,00166 | | 30672 |
| Cryptophyceae | Cryptomonadales | 10x15 | 0,03609 | | 69013 |
| Cryptophyceae | Cryptomonas | 6x12-17 | 0,00261 | X | 15336 |
| Cryptophyceae | Hemiselmis | 3x4-6 | 0,00184 | | 122690 |
| Cryptophyceae | Plagioselmis | 3-4x5-7 | 0,01035 | | 414077 |
| Cryptophyceae | Plagioselmis | 5-7x7-9 | 0,00718 | | 69013 |
| Cyanophyceae | Aphanocapsa | 1-2 | 0,00031 | | 153362 |
| Dictyochophyceae | Pseudopedinella | 5-7 | 0,00173 | | 15336 |
| Dinophyceae | Amphidinium | 20-25 | 0,02303 | X | 15336 |
| Dinophyceae | Amphidinium | 30-40 | 0,00626 | X | 814 |
| Dinophyceae | Dinophyceae | <10 | 0,04010 | | 76681 |
| Dinophyceae | Dinophyceae | 25-30 | 0,02086 | | 1917 |
| Dinophyceae | Heterocapsa | 5-7x10-12 | 0,01620 | X | 122690 |
| Dinophyceae | Heterocapsa triquetra | 21-23x32-34 | 0,00170 | | 407 |
| Dinophyceae | Peridiniella catenata | 27-30 | 0,00935 | | 1627 |
| Dinophyceae | Peridiniella catenata | 31-35 | 0,03060 | | 3254 |
| Euglenophyceae | Eutreptiella | 7-9x20-25 | 0,01156 | | 15336 |
| Euglenophyceae | Trachelomonas | 6-10x10-15 | 0,00354 | | 7668 |
| Pyramimonadophyceae | Pyramimonas | 4x3 | 0,00865 | | 360401 |
| Pyramimonadophyceae | Pyramimonas | 5-7x5 | 0,00828 | | 69013 |
| Unicells classes incertae sedis | Unicells species incertae sedis | <2 | 0,00816 | | 2039701 |
| Unicells classes incertae sedis | Unicells species incertae sedis | 2-3 | 0,01043 | | 1303569 |
| Unicells classes incertae sedis | Unicells species incertae sedis | 3-5 | 0,01771 | | 536764 |
| Unicells classes incertae sedis | Unicells species incertae sedis | 5-7 | 0,01040 | | 92017 |
| | Värde | Ref | EK | nEK | |
| Klorofyll | 3,70 | 2,27 | 0,61 | 0,56 | |
| Biovolym | 0,38 | 0,33 | 0,86 | 0,90 | |
| Sammanvägd status, nEK | | | | 0,73 | |



Farstaviken

Det.: Jon Karlsson, Pelagia Nature & Environment AB

Provtagningsdatum: 2025-04-16

Analysdatum: 2026-01-13

Typindelning: 24

| Grupp | Taxa | Storlek (µm) | Biovolym (mm ³ /l) | Pot. toxisk | Antal/L |
|---------------------------------|---------------------------------|--------------|-------------------------------|-------------|---------|
| Bacillariophyceae | Chaetoceros | 8x15-17 | 0,00430 | | 7629 |
| Bacillariophyceae | Chaetoceros | 5x5 | 0,00412 | | 49591 |
| Bacillariophyceae | Chaetoceros | 7x7 | 0,00612 | | 26703 |
| Bacillariophyceae | Diatoma tenuis | 3x30-50 | 0,00275 | | 7629 |
| Bacillariophyceae | Melosira | 8-10x15-20 | 0,00425 | | 3815 |
| Bacillariophyceae | Nitzschia acicularis | 1,5-2x18-22 | 0,00026 | | 7629 |
| Bacillariophyceae | Pennales | 2x15-25 | 0,00107 | | 26703 |
| Bacillariophyceae | Skeletonema | 3x3-5 | 0,00032 | | 11444 |
| Chlorophyceae | Chlorophyceae | 4-6 | 0,00645 | | 99182 |
| Chlorophyceae | Chlorophyceae | 6-8 | 0,00687 | | 38147 |
| Chlorophyceae | Chlorophyceae | 4-6x6-10 | 0,00200 | | 19074 |
| Chlorophyceae | Monoraphidium | 2-3x40-50 | 0,00045 | | 3815 |
| Chlorophyceae | Monoraphidium contortum | 1,5-2x20-30 | 0,00008 | | 3815 |
| Cryptophyceae | Cryptomonadales | 4,5x8 | 0,00021 | | 3815 |
| Cryptophyceae | Cryptomonadales | 10x15 | 0,00200 | | 3815 |
| Cryptophyceae | Hemiselmis | 3x4-6 | 0,00023 | | 15259 |
| Cryptophyceae | Plagioselmis | 3-4x5-7 | 0,00019 | | 7629 |
| Cryptophyceae | Plagioselmis | 5-7x7-9 | 0,00238 | | 22888 |
| Cyanophyceae | Pseudanabaena | 1x10 | 0,00012 | | 15259 |
| Dictyochophyceae | Pseudopedinella | 7-9 | 0,00102 | | 3815 |
| Dinophyceae | Amphidinium | 25-30 | 0,05903 | X | 22888 |
| Dinophyceae | Dinophyceae | 15-20 | 0,06420 | | 22888 |
| Dinophyceae | Dinophyceae | 20-25 | 0,09096 | | 15259 |
| Dinophyceae | Dinophyceae | 25-30 | 0,28030 | | 25750 |
| Dinophyceae | Dinophyceae | 40 | 0,09583 | | 2861 |
| Dinophyceae | Dinophysis | 30-40 | 0,00674 | X | 954 |
| Dinophyceae | Gymnodiniales | <10 | 0,01258 | | 26703 |
| Dinophyceae | Gymnodiniales | 10-15 | 0,02795 | | 34332 |
| Dinophyceae | Gymnodiniales | 15-20 | 0,01765 | | 7629 |
| Dinophyceae | Gymnodiniales | 27-40 | 0,00257 | | 202 |
| Dinophyceae | Heterocapsa | 5-7x10-12 | 0,00302 | X | 22888 |
| Dinophyceae | Peridiniella catenata | 20-23 | 0,75460 | | 270851 |
| Dinophyceae | Peridiniella catenata | 27-30 | 1,11800 | | 194555 |
| Dinophyceae | Peridiniella catenata | 31-35 | 0,28700 | | 30518 |
| Euglenophyceae | Eutreptiella | 5-7x10-15 | 0,00090 | | 3815 |
| Euglenophyceae | Eutreptiella | 5-7x20-25 | 0,00162 | | 3815 |
| Euglenophyceae | Trachelomonas | 6-10x10-15 | 0,00176 | | 3815 |
| Pyramimonadophyceae | Pyramimonas | 4x3 | 0,00147 | | 61035 |
| Pyramimonadophyceae | Pyramimonas | 5-7x5 | 0,00137 | | 11444 |
| Thecofilosea | Ebria tripartita | 23-27 | 0,01092 | | 3815 |
| Unicells classes incertae sedis | Unicells species incertae sedis | <2 | 0,00192 | | 480652 |
| Unicells classes incertae sedis | Unicells species incertae sedis | 2-3 | 0,00250 | | 312805 |
| Unicells classes incertae sedis | Unicells species incertae sedis | 3-5 | 0,00604 | | 183106 |
| | Värde | Ref | EK | nEK | |
| Klorofyll | 11,00 | 1,64 | 0,15 | 0,20 | |
| Biovolym | 2,89 | 0,20 | 0,07 | 0,17 | |
| Sammanvägd status, nEK | | | | 0,18 | |



Farstaviken

Det.: Susanne Gustafsson, Pelagia Nature & Environment AB

Provtagningsdatum: 2025-05-14

Analysdatum: 2026-02-23

Typindelning: 24

| Grupp | Taxa | Storlek (µm) | Biovolym (mm ³ /l) | Pot. toxisk | Antal/L |
|---------------------------------|---------------------------------|--------------|-------------------------------|-------------|---------|
| Bacillariophyceae | Aulacoseira | 6x10-15 | 0,00044 | | 1299 |
| Bacillariophyceae | Diatoma | 2-4x8-20 | 0,00233 | | 18516 |
| Bacillariophyceae | Diatoma | 2-4x20-40 | 0,00368 | | 13643 |
| Bacillariophyceae | Diatoma | 4-6x20-40 | 0,01023 | | 13643 |
| Chlorophyceae | Chlamydomonas | 5-6 | 0,00284 | | 30866 |
| Chlorophyceae | Chlorophyceae | 2-4 | 0,00065 | | 46299 |
| Cryptophyceae | Cryptomonas | 7-8x16-18 | 0,00926 | X | 23150 |
| Cryptophyceae | Hemiselmis | 3x4-6 | 0,00313 | | 208346 |
| Cryptophyceae | Plagioselmis | 4-5x7-9 | 0,00875 | | 162047 |
| Cryptophyceae | Rhodomonas | 4-6x7-9 | 0,00958 | | 138897 |
| Cyanophyceae | Aphanocapsa | 0,8-1,5 | 0,00042 | | 23150 |
| Cyanophyceae | Planktothrix | 4x100 | 0,00201 | X | 1598 |
| Dinophyceae | Dinophyceae | 20-25 | 0,00298 | | 500 |
| Dinophyceae | Dinophyceae | 25-30 | 0,00109 | | 100 |
| Dinophyceae | Dinophysis | 15-20 | 0,00029 | X | 300 |
| Dinophyceae | Gymnodinium | 4-6x5-10 | 0,00667 | X | 92598 |
| Dinophyceae | Protoperdinium | 15x20 | 0,00012 | | 100 |
| Euglenophyceae | Eutreptiella | 5-7x10-15 | 0,00364 | | 15433 |
| Litostomatea | Mesodinium rubrum | 14-16 | 0,00022 | | 100 |
| Unicells classes incertae sedis | Unicells species incertae sedis | <2 | 0,00191 | | 478423 |
| Unicells classes incertae sedis | Unicells species incertae sedis | 2-3 | 0,00648 | | 810233 |
| Unicells classes incertae sedis | Unicells species incertae sedis | 3-5 | 0,01120 | | 339526 |
| Unicells classes incertae sedis | Unicells species incertae sedis | 5-7 | 0,00349 | | 30866 |
| | Flagellates | 3-5 | 0,00044 | | 23150 |
| | Värde | Ref | EK | nEK | |
| Klorofyll | 1,60 | 1,56 | 0,97 | 0,97 | |
| Biovolym | 0,09 | 0,18 | 1,00 | 1,00 | |
| Sammanvägd status, nEK | | | | 0,99 | |

Farstaviken

Det.: Susanne Gustafsson, Pelagia Nature & Environment AB

Provtagningsdatum: 2025-06-09

Analysdatum: 2026-02-24

Typindelning: 24

| Grupp | Taxa | Storlek (µm) | Biovolym (mm ³ /l) | Pot. toxisk | Antal/L |
|---------------------------------|---------------------------------|---------------|-------------------------------|-------------|---------|
| Bacillariophyceae | Centrales | 7-12 | 0,00794 | | 15572 |
| Bacillariophyceae | Pennales | 4-6x15-25 | 0,00138 | | 6883 |
| Bacillariophyceae | Pennales | 1-3x25-40 | 0,00058 | | 11800 |
| Chlorophyceae | Chlamydomonas | 5-6 | 0,00215 | | 23359 |
| Chlorophyceae | Chlorophyceae | 2-4 | 0,00387 | | 276410 |
| Chlorophyceae | Monoraphidium | 1-2x8-12 | 0,00011 | | 11679 |
| Chlorophyceae | Monoraphidium contortum | 1,2-1,5x15-20 | 0,00056 | | 70076 |
| Coccolithophyceae | Chrysochromulina | 4-6 | 0,00253 | X | 38931 |
| Cryptophyceae | Cryptomonas | 7-8x16-18 | 0,00623 | X | 15572 |
| Cryptophyceae | Hemiselmis | 3x4-6 | 0,00239 | | 159617 |
| Cryptophyceae | Plagioselmis | 4-5x7-9 | 0,00189 | | 35038 |
| Cryptophyceae | Teleaulax | 5-6x11-15 | 0,00535 | | 42824 |
| Cryptophyta incertae sedis | Katablepharis | 6-8x8-12 | 0,00100 | | 3893 |
| Cyanophyceae | Anathece minutissima | 0,8-1x1-2 | 0,00010 | | 7786 |
| Cyanophyceae | Aphanizomenon | 4,5x100 | 0,00577 | X | 3629 |
| Cyanophyceae | Dolichospermum | 4-5x100 | 0,00481 | X | 4536 |
| Cyanophyceae | Dolichospermum | 5-7x100 | 0,00114 | X | 605 |
| Cyanophyceae | Planktolyngbya | 2x100 | 0,00028 | | 907 |
| Cyanophyceae | Planktothrix | 4x100 | 0,00025 | X | 202 |
| Cyanophyceae | Pseudanabaena | 1,5x100 | 0,00061 | | 3427 |
| Dinophyceae | Dinophyceae | 15-20 | 0,00113 | | 403 |
| Dinophyceae | Dinophysis | 15-20 | 0,00019 | X | 202 |
| Dinophyceae | Dinophysis | 20-25 | 0,00121 | X | 605 |
| Dinophyceae | Gymnodinium | 4-6x5-10 | 0,00196 | X | 27252 |
| Dinophyceae | Protoperidinium | 15x20 | 0,00024 | | 202 |
| Euglenophyceae | Eutreptiella | 5-7x10-15 | 0,00735 | | 31145 |
| Litostomatea | Mesodinium rubrum | 27-33 | 0,00285 | | 202 |
| Thecofilosea | Ebria tripartita | 17-23 | 0,00720 | | 4917 |
| Unicells classes incertae sedis | Unicells species incertae sedis | <2 | 0,00255 | | 638468 |
| Unicells classes incertae sedis | Unicells species incertae sedis | 2-3 | 0,01576 | | 1969909 |
| Unicells classes incertae sedis | Unicells species incertae sedis | 3-5 | 0,02133 | | 646255 |
| Unicells classes incertae sedis | Unicells species incertae sedis | 5-7 | 0,00792 | | 70076 |
| | Värde | Ref | EK | nEK | |
| Klorofyll | 2,60 | 1,56 | 0,60 | 0,56 | |
| Biovolym | 0,12 | 0,18 | 1,00 | 1,00 | |
| Sammanvägd status, nEK | | | | 0,78 | |

Farstaviken

Det.: Susanne Gustafsson, Pelagia Nature & Environment AB

Provtagningsdatum: 2025-07-15

Analysdatum: 2026-02-23

Typindelning: 24

| Grupp | Taxa | Storlek (µm) | Biovolym (mm ³ /l) | Pot. toxisk | Antal/L |
|---------------------------------|---------------------------------|--------------|-------------------------------|-------------|---------|
| Bacillariophyceae | Pennales | 10-12x35-50 | 0,00347 | | 1967 |
| Bacillariophyceae | Pennales | 4-6x15-25 | 0,00315 | | 15733 |
| Cryptophyceae | Cryptomonas | 7-8x16-18 | 0,00623 | X | 15572 |
| Cryptophyceae | Cryptomonas | 10-13x20-26 | 0,00751 | X | 5900 |
| Cryptophyceae | Hemiselmis | 3x4-6 | 0,00280 | | 186869 |
| Cryptophyceae | Plagioselmis | 4-5x7-9 | 0,00357 | | 66183 |
| Cyanophyceae | Aphanizomenon | 4,5x100 | 0,02917 | X | 18346 |
| Dinophyceae | Dinophyceae | 20-25 | 0,02345 | | 3933 |
| Dinophyceae | Dinophyceae | 25-30 | 0,02414 | | 2218 |
| Dinophyceae | Dinophyceae | 40 | 0,00675 | | 202 |
| Dinophyceae | Dinophysis acuminata | 28-32 | 0,01745 | X | 3528 |
| Dinophyceae | Dinophysis acuminata | 33-37 | 0,00242 | X | 302 |
| Dinophyceae | Dinophysis acuminata | 38-42 | 0,01346 | X | 1109 |
| Euglenophyceae | Eutreptiella | 5-7x10-15 | 0,00276 | | 11679 |
| Litostomatea | Mesodinium rubrum | 16-20 | 0,00141 | | 403 |
| Litostomatea | Mesodinium rubrum | 20-27 | 0,00150 | | 202 |
| Trebouxiophyceae | Oocystis | 4-5x7-8 | 0,00246 | | 31145 |
| Unicells classes incertae sedis | Unicells species incertae sedis | <2 | 0,00178 | | 443813 |
| Unicells classes incertae sedis | Unicells species incertae sedis | 2-3 | 0,00741 | | 926558 |
| Unicells classes incertae sedis | Unicells species incertae sedis | 3-5 | 0,00398 | | 120686 |
| Unicells classes incertae sedis | Unicells species incertae sedis | 5-7 | 0,00572 | | 50610 |
| | Flagellates | 7-10 | 0,00423 | | 23359 |
| | Värde | Ref | EK | nEK | |
| Klorofyll | 3,00 | 1,56 | 0,52 | 0,51 | |
| Biovolym | 0,17 | 0,18 | 1,00 | 1,00 | |
| Sammanvägd status, nEK | | | | 0,75 | |

Farstaviken

Det.: Susanne Gustafsson, Pelagia Nature & Environment AB

Provtagningsdatum: 2025-08-11

Analysdatum: 2026-02-23

Typindelning: 24

| Grupp | Taxa | Storlek (µm) | Biovolym (mm ³ /l) | Pot. toxisk | Antal/L |
|---------------------------------|---------------------------------|---------------|-------------------------------|-------------|---------|
| Bacillariophyceae | Pennales | 4-6x15-25 | 0,00434 | | 21718 |
| Bacillariophyceae | Skeletonema | 4x7-8 | 0,00013 | | 1417 |
| Chlorophyceae | Chlorophyceae | 2-4 | 0,00071 | | 50814 |
| Chlorophyceae | Desmodesmus | 2-3x5-6 | 0,00056 | | 7818 |
| Chlorophyceae | Monoraphidium | 1-2x8-12 | 0,00011 | | 11726 |
| Chlorophyceae | Monoraphidium contortum | 1,2-1,5x15-20 | 0,00016 | | 19544 |
| Coccolithophyceae | Chrysochromulina | 4-6 | 0,00102 | X | 15635 |
| Cryptophyceae | Cryptomonas | 7-8x16-18 | 0,01876 | X | 46906 |
| Cryptophyceae | Cryptomonas | 10-13x20-26 | 0,01005 | X | 7898 |
| Cryptophyceae | Hemiselmis | 3x4-6 | 0,00416 | | 277525 |
| Cryptophyceae | Plagioselmis | 4-5x7-9 | 0,00169 | | 31270 |
| Cyanophyceae | Aphanizomenon | 4,5x100 | 0,03299 | X | 20746 |
| Dinophyceae | Dinophyceae | 20-25 | 0,00845 | | 1417 |
| Dinophyceae | Dinophyceae | 25-30 | 0,01212 | | 1113 |
| Dinophyceae | Dinophysis acuminata | 28-32 | 0,00150 | X | 304 |
| Dinophyceae | Dinophysis acuminata | 33-37 | 0,03244 | X | 4048 |
| Dinophyceae | Gymnodinium | 4-6x5-10 | 0,00084 | X | 11726 |
| Dinophyceae | Protoperdinium | 15x20 | 0,00049 | | 405 |
| Euglenophyceae | Eutreptiella | 5-7x10-15 | 0,00185 | | 7818 |
| Litostomatea | Mesodinium rubrum | 10-14 | 0,00013 | | 101 |
| Litostomatea | Mesodinium rubrum | 27-33 | 0,00429 | | 304 |
| Thecofilosea | Ebria tripartita | 23-27 | 0,01978 | | 6910 |
| Unicells classes incertae sedis | Unicells species incertae sedis | <2 | 0,00181 | | 453421 |
| Unicells classes incertae sedis | Unicells species incertae sedis | 2-3 | 0,00607 | | 758307 |
| Unicells classes incertae sedis | Unicells species incertae sedis | 3-5 | 0,00400 | | 121173 |
| | Flagellates | 5-7 | 0,00125 | | 19544 |
| | Värde | Ref | EK | nEK | |
| Klorofyll | 3,10 | 1,64 | 0,53 | 0,51 | |
| Biovolym | 0,17 | 0,20 | 1,00 | 1,00 | |
| Sammanvägd status, nEK | | | | 0,76 | |

Farstaviken

Det.: Susanne Gustafsson, Pelagia Nature & Environment AB

Provtagningsdatum: 2025-10-06

Analysdatum: 2026-02-24

Typindelning: 24

| Grupp | Taxa | Storlek (µm) | Biovolym (mm ³ /l) | Pot. toxisk | Antal/L |
|---------------------------------|-----------------------------------------|--------------|-------------------------------|-------------|---------|
| Bacillariophyceae | Aulacoseira granulata var. angustissima | 3-4x22-27 | 0,00007 | | 304 |
| Bacillariophyceae | Centrales | 3-7 | 0,00075 | | 11726 |
| Bacillariophyceae | Diatoma | 2-4x8-20 | 0,00050 | | 3949 |
| Bacillariophyceae | Fragilaria crotonensis | 4-5x80-100 | 0,00100 | | 810 |
| Bacillariophyceae | Pennales | 4-5x10-15 | 0,00156 | | 13821 |
| Bacillariophyceae | Pennales | 1-3x70-100 | 0,00063 | | 4936 |
| Bacillariophyceae | Skeletonema | 5x7-10 | 0,00022 | | 1316 |
| Chlorophyceae | Chlamydomonas | 5-6 | 0,00396 | | 42997 |
| Chlorophyceae | Desmodesmus | 2-3x5-6 | 0,00084 | | 11726 |
| Chlorophyceae | Monoraphidium | 1-2x8-12 | 0,00011 | | 11726 |
| Chlorophyceae | Pseudosphaerocystis lacustris | 9-11x7-9 | 0,00655 | | 15635 |
| Coccolithophyceae | Chrysochromulina | 4-6 | 0,00330 | X | 50814 |
| Cryptophyceae | Cryptomonas | 7-8x16-18 | 0,09850 | X | 246254 |
| Cryptophyceae | Cryptomonas | 10-13x20-26 | 0,01382 | X | 10859 |
| Cryptophyceae | Cryptomonas | 13-14x26-30 | 0,01054 | X | 4936 |
| Cryptophyceae | Hemiselmis | 3x4-6 | 0,00258 | | 171987 |
| Cryptophyceae | Plagioselmis | 4-5x7-9 | 0,00253 | | 46906 |
| Cryptophyceae | Rhodomonas | 5-6x11-14 | 0,06645 | | 531597 |
| Cryptophyceae | Teleaulax | 5-6x11-15 | 0,00440 | | 35179 |
| Cryptophyta incertae sedis | Katablepharis | 5-6x7-9 | 0,00844 | | 66450 |
| Cryptophyta incertae sedis | Katablepharis | 6-8x8-12 | 0,00200 | | 7818 |
| Cyanophyceae | Aphanizomenon | 4,5x100 | 0,01094 | X | 6882 |
| Cyanophyceae | Planktolyngbya | 2,5x100 | 0,00050 | | 1012 |
| Cyanophyceae | Planktothrix | 1,5x100 | 0,00016 | X | 911 |
| Cyanophyceae | Pseudanabaena | 2x100 | 0,00429 | | 13662 |
| Dinophyceae | Dinophyceae | 15-20 | 0,00085 | | 304 |
| Dinophyceae | Dinophyceae | 20-25 | 0,00121 | | 202 |
| Dinophyceae | Dinophysis | 15-20 | 0,00049 | X | 506 |
| Dinophyceae | Dinophysis | 20-25 | 0,00122 | X | 607 |
| Dinophyceae | Gymnodinium | 4-6x5-10 | 0,00084 | X | 11726 |
| Dinophyceae | Gymnodinium | 7-10x10-15 | 0,00131 | X | 3909 |
| Dinophyceae | Protoperidinium | 15x20 | 0,00037 | | 304 |
| Euglenophyceae | Eutreptiella | 5-7x10-15 | 0,00646 | | 27362 |
| Litostomatea | Mesodinium rubrum | 16-20 | 0,00355 | | 1012 |
| Litostomatea | Mesodinium rubrum | 20-27 | 0,00452 | | 607 |
| Litostomatea | Mesodinium rubrum | 45-55 | 0,09268 | | 1417 |
| Unicells classes incertae sedis | Unicells species incertae sedis | <2 | 0,00525 | | 1313357 |
| Unicells classes incertae sedis | Unicells species incertae sedis | 2-3 | 0,00907 | | 1133552 |
| Unicells classes incertae sedis | Unicells species incertae sedis | 3-5 | 0,00297 | | 89902 |
| Unicells classes incertae sedis | Unicells species incertae sedis | 5-7 | 0,00442 | | 39088 |
| | Värde | Ref | EK | nEK | |
| Klorofyll | 7,70 | 1,70 | 0,22 | 0,27 | |
| Biovolym | 0,38 | 0,21 | 0,55 | 0,59 | |
| Sammanvägd status, nEK | | | | 0,43 | |

Farstaviken

Det.: Jon Karlsson, Pelagia Nature & Environment AB

Provtagningsdatum: 2025-11-12

Analysdatum: 2026-02-09

Typindelning: 24

| Grupp | Taxa | Storlek (µm) | Biovolym (mm ³ /l) | Pot. toxisk | Antal/L |
|---------------------------------|---------------------------------|---------------|-------------------------------|-------------|---------|
| Bacillariophyceae | Centrales | 60-70 | 0,01315 | | 203 |
| Bacillariophyceae | Centrales | 7-12 | 0,01173 | | 23004 |
| Bacillariophyceae | Centrales | 50-60 | 0,12520 | | 1917 |
| Bacillariophyceae | Chaetoceros | 6-8x11-13 | 0,00124 | | 3834 |
| Bacillariophyceae | Chaetoceros | 8x8 | 0,00262 | | 7668 |
| Bacillariophyceae | Nitzschia acicularis | 1,5-2x18-22 | 0,00078 | | 23004 |
| Bacillariophyceae | Skeletonema | 3x3-5 | 0,00472 | | 168698 |
| Chlorophyceae | Chlamydomonas | 6-10 | 0,00238 | | 7668 |
| Chlorophyceae | Chlamydomonas | 10-15 | 0,01567 | | 15336 |
| Chlorophyceae | Chlorophyceae | 4-6 | 0,00648 | | 99685 |
| Chlorophyceae | Chlorophyceae | 4-6x6-10 | 0,00564 | | 53677 |
| Chlorophyceae | Monoraphidium | 2-3x40-50 | 0,00023 | | 1917 |
| Chlorophyceae | Monoraphidium contortum | 1,2-1,5x15-20 | 0,00012 | | 15336 |
| Choanoflagellata | Choanoflagellata | 4x5 | 0,00064 | | 15336 |
| Cryptophyceae | Cryptomonas | 7-8x16-18 | 0,00613 | X | 15336 |
| Cryptophyceae | Cryptophyceae | 4,5x8 | 0,00083 | | 15336 |
| Cryptophyceae | Cryptophyceae | 10x15 | 0,00401 | | 7668 |
| Cryptophyceae | Hemiselmis | 3x4-6 | 0,00920 | | 613448 |
| Cryptophyceae | Plagioselmis | 3-4x5-7 | 0,00115 | | 46009 |
| Cryptophyceae | Teleaulax | 5-6x11-15 | 0,00479 | | 38341 |
| Cyanophyceae | Dolichospermum | 5-7x100 | 0,00077 | X | 407 |
| Cyanophyceae | Planktolyngbya | 2x100 | 0,03852 | | 122690 |
| Cyanophyceae | Pseudanabaena | 2x100 | 0,00722 | | 23004 |
| Cyanophyceae | Pseudanabaena | 1,5x10 | 0,00097 | | 53677 |
| Dictyochophyceae | Apedinella | 9 | 0,00293 | | 7668 |
| Dictyochophyceae | Pseudopedinella | 7-9 | 0,03083 | | 115022 |
| Dinophyceae | Dinophyceae | <10 | 0,00401 | | 7668 |
| Dinophyceae | Dinophyceae | 15-20 | 0,15060 | | 53677 |
| Dinophyceae | Dinophyceae | 20-25 | 0,18280 | | 30672 |
| Dinophyceae | Heterocapsa | 5-7x10-12 | 0,00506 | X | 38341 |
| Euglenophyceae | Eutreptiella | 5-7x15-20 | 0,03037 | | 92017 |
| Euglenophyceae | Trachelomonas | 6-10x10-15 | 0,00354 | | 7668 |
| Litostomatea | Mesodinium rubrum | 16-20 | 0,01344 | | 3834 |
| Litostomatea | Mesodinium rubrum | 20-27 | 0,02857 | | 3834 |
| Litostomatea | Mesodinium rubrum | 33-37 | 0,04301 | | 1917 |
| Pyramimonadophyceae | Pyramimonas | 4x3 | 0,01564 | | 651789 |
| Pyramimonadophyceae | Pyramimonas | 5-7x5 | 0,02116 | | 176366 |
| Telonemea | Telonema subtile | 5-6x8 | 0,00065 | | 7668 |
| Thecofilosea | Ebria tripartita | 27-33 | 0,07585 | | 15336 |
| Unicells classes incertae sedis | Unicells species incertae sedis | <2 | 0,00393 | | 981510 |
| Unicells classes incertae sedis | Unicells species incertae sedis | 2-3 | 0,01509 | | 1886340 |
| Unicells classes incertae sedis | Unicells species incertae sedis | 3-5 | 0,02126 | | 644116 |
| Zygnematophyceae | Closterium aciculare | 6x500-550 | 0,00102 | | 203 |
| | Värde | Ref | EK | nEK | |
| Klorofyll | 9,50 | 1,78 | 0,19 | 0,24 | |
| Biovolym | 0,91 | 0,22 | 0,25 | 0,40 | |
| Sammanvägd status, nEK | | | | 0,32 | |



PELAGIA

Koviksudde

Det.: Jon Karlsson, Pelagia Nature & Environment AB

Provtagningsdatum: 2025-01-14

Analysdatum: 2025-10-09

Typindelning: 24

| Grupp | Taxa | Storlek (µm) | Biovolym (mm ³ /l) | Pot. toxisk | Antal/L |
|---------------------------------|---------------------------------|--------------|-------------------------------|-------------|---------|
| Bacillariophyceae | Asterionella formosa | 3-4x80-100 | 0,00180 | | 1627 |
| Bacillariophyceae | Aulacoseira | 8x20-25 | 0,00248 | | 2034 |
| Bacillariophyceae | Aulacoseira | 7x15-20 | 0,00645 | | 9585 |
| Bacillariophyceae | Centrales | 70-90 | 0,02453 | | 203 |
| Bacillariophyceae | Centrales | 22-27 | 0,00374 | | 610 |
| Bacillariophyceae | Pennales | 1-3x70-100 | 0,00005 | | 407 |
| Bacillariophyceae | Pennales | 4-6x50-70 | 0,00115 | | 1917 |
| Bacillariophyceae | Skeletonema | 3x3-5 | 0,00007 | | 2441 |
| Chlorophyceae | Chlorophyceae | 4-6 | 0,00100 | | 15336 |
| Chlorophyceae | Desmodesmus bicellularis | 2-3x4-6 | 0,00025 | | 7668 |
| Cryptophyceae | Hemiselmis | 3x4-6 | 0,00046 | | 30672 |
| Cryptophyceae | Plagioselmis | 4-5x7-9 | 0,00041 | | 7668 |
| Cryptophyceae | Plagioselmis | 5-7x7-9 | 0,00080 | | 7668 |
| Cyanophyceae | Aphanizomenon | 4x100 | 0,00102 | X | 814 |
| Cyanophyceae | Planktolyngbya | 1,5x100 | 0,00407 | | 23004 |
| Cyanophyceae | Pseudanabaena | 2x100 | 0,00060 | | 1917 |
| Dinophyceae | Dinophyceae | 10-15 | 0,00784 | | 7668 |
| Unicells classes incertae sedis | Unicells species incertae sedis | <2 | 0,00150 | | 375737 |
| Unicells classes incertae sedis | Unicells species incertae sedis | 2-3 | 0,00092 | | 115022 |
| Unicells classes incertae sedis | Unicells species incertae sedis | 3-5 | 0,00127 | | 38341 |
| | Värde | Ref | EK | nEK | |
| Klorofyll | 1,50 | 3,91 | 1,00 | 1,00 | |
| Biovolym | 0,06 | 0,73 | 1,00 | 1,00 | |
| Sammanvägd status, nEK | | | | 1,00 | |

Koviksudde

Det.: Jon Karlsson, Pelagia Nature & Environment AB

Provtagningsdatum: 2025-02-19

Analysdatum: 2025-10-10

Typindelning: 24

| Grupp | Taxa | Storlek (µm) | Biovolym (mm ³ /l) | Pot. toxisk | Antal/L |
|---------------------------------|---------------------------------|--------------|-------------------------------|-------------|---------|
| Bacillariophyceae | Asterionella formosa | 3-4x60-80 | 0,00574 | | 6689 |
| Bacillariophyceae | Aulacoseira | 6x10-15 | 0,01037 | | 30579 |
| Bacillariophyceae | Aulacoseira | 8x20-25 | 0,00371 | | 3042 |
| Bacillariophyceae | Centrales | 7-12 | 0,00195 | | 3822 |
| Bacillariophyceae | Centrales | 17-22 | 0,00300 | | 956 |
| Bacillariophyceae | Centrales | 32-40 | 0,01608 | | 956 |
| Bacillariophyceae | Pennales | 4-6x15-25 | 0,00076 | | 3822 |
| Bacillariophyceae | Pennales | 5-8x211-240 | 0,01054 | | 1911 |
| Bacillariophyceae | Pennales | 1-3x25-40 | 0,00056 | | 11467 |
| Bacillariophyceae | Pennales | 4-6x50-70 | 0,00172 | | 2867 |
| Bacillariophyceae | Thalassiosira | 32-40 | 0,00683 | | 406 |
| Chlorophyceae | Chlorophyceae | 4-6 | 0,00149 | | 22934 |
| Chlorophyceae | Desmodesmus bicellularis | 2-3x4-6 | 0,00013 | | 3822 |
| Chlorophyceae | Monoraphidium contortum | 1,5-2x20-30 | 0,00015 | | 7645 |
| Chlorophyceae | Monoraphidium dybowskii | 2-6x8-12 | 0,00032 | | 3822 |
| Chlorophyceae | Monoraphidium komarkovae | 1,5x30-50 | 0,00018 | | 7645 |
| Cryptophyceae | Cryptomonas | 10-13x20-26 | 0,00026 | X | 203 |
| Cryptophyceae | Hemiselmis | 3x4-6 | 0,00006 | | 3822 |
| Cryptophyceae | Plagioselmis | 3-4x5-7 | 0,00019 | | 7645 |
| Cryptophyceae | Plagioselmis | 5-7x7-9 | 0,00040 | | 3822 |
| Cyanophyceae | Aphanizomenon | 4,5x100 | 0,00456 | X | 2867 |
| Cyanophyceae | Aphanocapsa | 0,8-1,5 | 0,00010 | | 114672 |
| Cyanophyceae | Dolichospermum | 5-7x100 | 0,01260 | X | 6689 |
| Cyanophyceae | Planktolyngbya | 2x100 | 0,00720 | | 22934 |
| Cyanophyceae | Woronichinia | 2-5 | 0,00005 | | 8112 |
| Dinophyceae | Dinophyceae | 20-25 | 0,00570 | | 956 |
| Euglenophyceae | Trachelomonas | 6-10x10-15 | 0,00177 | | 3822 |
| Unicells classes incertae sedis | Unicells species incertae sedis | <2 | 0,00128 | | 321082 |
| Unicells classes incertae sedis | Unicells species incertae sedis | 2-3 | 0,00092 | | 114672 |
| Unicells classes incertae sedis | Unicells species incertae sedis | 3-5 | 0,00101 | | 30579 |
| Zygnematophyceae | Closterium | 4-5x80-100 | 0,00073 | | 956 |
| Zygnematophyceae | Closterium cf. aciculare | 5-6x350-400 | 0,00032 | | 101 |
| | Värde | Ref | EK | nEK | |
| Klorofyll | 1,20 | 5,28 | 1,00 | 1,00 | |
| Biovolym | 0,10 | 1,12 | 1,00 | 1,00 | |
| Sammanvägd status, nEK | | | | 1,00 | |



Koviksudde

Det.: Jon Karlsson, Pelagia Nature & Environment AB

Provtagningsdatum: 2025-03-11

Analysdatum: 2025-10-14

Typindelning: 24

| Grupp | Taxa | Storlek (µm) | Biovolym (mm ³ /l) | Pot. toxisk | Antal/L |
|---------------------------------|---------------------------------|---------------|-------------------------------|-------------|---------|
| Bacillariophyceae | Asterionella formosa | 3-4x60-80 | 0,00105 | | 1220 |
| Bacillariophyceae | Aulacoseira | 6x10-15 | 0,01560 | | 46009 |
| Bacillariophyceae | Centrales | 12-17 | 0,03961 | | 23004 |
| Bacillariophyceae | Centrales | 27-32 | 0,10160 | | 9585 |
| Bacillariophyceae | Pennales | 4-5x10-15 | 0,00693 | | 61345 |
| Bacillariophyceae | Pennales | 4-6x25-35 | 0,02070 | | 69013 |
| Bacillariophyceae | Pennales | 1-3x70-100 | 0,00049 | | 3834 |
| Bacillariophyceae | Pennales | 1-3x100-150 | 0,00008 | | 407 |
| Bacillariophyceae | Pennales | 7-9x50-70 | 0,00322 | | 1917 |
| Chlorophyceae | Chlorophyceae | 4-6 | 0,00399 | | 61345 |
| Chlorophyceae | Desmodesmus bicellularis | 2-3x4-6 | 0,00051 | | 15336 |
| Chlorophyceae | Monoraphidium | 2-3x40-50 | 0,00181 | | 15336 |
| Chlorophyceae | Monoraphidium contortum | 1,2-1,5x15-20 | 0,00006 | | 7668 |
| Chlorophyceae | Stauridium tetras | 4-6x15-20 | 0,00922 | | 7668 |
| Cryptophyceae | Cryptomonadales | 10x15 | 0,00401 | | 7668 |
| Cryptophyceae | Plagioselmis | 3-4x5-7 | 0,00115 | | 46009 |
| Cyanophyceae | Cyanophyceae | 3 | 0,00054 | | 38340 |
| Cyanophyceae | Planktolyngbya | 2x100 | 0,00843 | | 26838 |
| Euglenophyceae | Eutreptiella | 5-7x10-15 | 0,00181 | | 7668 |
| Euglenophyceae | Eutreptiella | 7-9x20-25 | 0,00578 | | 7668 |
| Euglenophyceae | Trachelomonas | 6-10x10-15 | 0,01063 | | 23004 |
| Trebouxiophyceae | Koliella | 2x30 | 0,00038 | | 7668 |
| Unicells classes incertae sedis | Unicells species incertae sedis | <2 | 0,00472 | | 1180880 |
| Unicells classes incertae sedis | Unicells species incertae sedis | 2-3 | 0,00319 | | 398739 |
| Unicells classes incertae sedis | Unicells species incertae sedis | 3-5 | 0,00607 | | 184033 |
| Unicells classes incertae sedis | Unicells species incertae sedis | 5-7 | 0,00347 | | 30672 |
| | Värde | Ref | EK | nEK | |
| Klorofyll | 2,20 | 2,34 | 1,00 | 1,00 | |
| Biovolym | 0,26 | 0,34 | 1,00 | 1,00 | |
| Sammanvägd status, nEK | | | | 1,00 | |

Koviksudde

Det.: Iveta Jurgensone, Pelagia Nature & Environment AB

Provtagningsdatum: 2025-04-14

Analysdatum: 2026-02-09

Typindelning: 24

| Grupp | Taxa | Storlek (µm) | Biovolym (mm ³ /l) | Pot. toxisk | Antal/L |
|----------------|----------------------------|--------------|-------------------------------|-------------|---------|
| CHAROPHYCEAE | Koliella | 2x30 | 0,00080 | | 16074 |
| CHLOROPHYCEAE | Ankistrodesmus arcuatus | 1,5-2x25-30 | 0,00050 | | 14288 |
| CHLOROPHYCEAE | Monoraphidium contortum | 1,5-2x20-30 | 0,00179 | | 89250 |
| CHLOROPHYCEAE | Monoraphidium komarkovae | 1,5x50-80 | 0,00041 | | 10716 |
| CHRYSOPHYCEAE | Dinobryon faculiferum | 2-4x6-8 | 0,00035 | | 10713 |
| CHRYSOPHYCEAE | Pseudopedinella elastica | 9-11 | 0,11953 | | 228544 |
| CHRYSOPHYCEAE | Pseudopedinella pyriformis | 5-7 | 0,00686 | | 60707 |
| CRYPTOPHYCEAE | Cryptomonas | 13-14x26-30 | 0,00191 | | 893 |
| CRYPTOPHYCEAE | Hemiselmis virescens | 3x4-6 | 0,00054 | | 35710 |
| CRYPTOPHYCEAE | Plagioselmis prolonga | 4-5x7-9 | 0,01234 | | 228544 |
| CRYPTOPHYCEAE | Teleaulax | 4-5x8-11 | 0,00279 | | 46423 |
| CRYPTOPHYCEAE | Teleaulax | 5-6x11-15 | 0,00134 | | 10713 |
| DIATOMOPHYCEAE | Centrales | 7-12 | 0,00046 | | 893 |
| DIATOMOPHYCEAE | Centrales | 12-17 | 0,00154 | | 893 |
| DIATOMOPHYCEAE | Centrales | 3-7 | 0,03497 | | 546363 |
| DIATOMOPHYCEAE | Chaetoceros ceratosporus | 6-8x12-14 | 0,06752 | | 158865 |
| DIATOMOPHYCEAE | Chaetoceros holsaticus | 10-12x9-12 | 0,06676 | | 89250 |
| DIATOMOPHYCEAE | Chaetoceros tenuissimus | 3x3-5 | 0,00018 | | 7142 |
| DIATOMOPHYCEAE | Chaetoceros wighamii | 15-17x8-10 | 0,02241 | | 23218 |
| DIATOMOPHYCEAE | Chaetoceros wighamii | 12x5 | 0,03958 | | 99960 |
| DIATOMOPHYCEAE | Cylindrotheca closterium | 2-3x10-12 | 0,00259 | | 89250 |
| DIATOMOPHYCEAE | Diatoma tenuis | 3x30-50 | 0,63631 | | 1767528 |
| DIATOMOPHYCEAE | Diatoma tenuis | 3x50-70 | 0,40473 | | 749496 |
| DIATOMOPHYCEAE | Pennales | 4-6x25-35 | 0,00321 | | 10716 |
| DIATOMOPHYCEAE | Pennales | 5-8x180-210 | 0,00427 | | 893 |
| DIATOMOPHYCEAE | Synedra acus var. acus | 5x130-160 | 0,00324 | | 1786 |
| DIATOMOPHYCEAE | Thalassiosira baltica | 40-50 | 0,03194 | | 893 |
| DINOPHYCEAE | Biecheleria baltica | 25-27 | 1,00152 | | 108885 |
| DINOPHYCEAE | Biecheleria baltica | 28-30 | 0,33055 | | 25897 |
| DINOPHYCEAE | Gymnodiniales | 10-15 | 0,00073 | | 893 |
| DINOPHYCEAE | Heterocapsa | 11x17-19 | 0,06308 | | 110670 |
| DINOPHYCEAE | Peridiniella catenata | 27-30 | 0,02052 | | 3572 |
| DINOPHYCEAE | Preperidinium meunieri | 28x48 | 0,01178 | | 893 |
| DINOPHYCEAE | Protoperidinium pellucidum | 35-37x42 | 0,01817 | | 893 |
| EBRIIDEA | Ebria tripartita | 33-37 | 0,00701 | | 893 |
| EBRIIDEA | Ebria tripartita | 37-43 | 0,02094 | | 1786 |
| EUGLENOPHYCEAE | Eutreptiella | 5-7x10-15 | 0,02612 | | 110670 |
| EUGLENOPHYCEAE | Eutreptiella | 5-7x15-20 | 0,03947 | | 119595 |
| INCERTAE SEDIS | Katablepharis remigera | 6-8x8-12 | 0,00046 | | 1786 |
| INCERTAE SEDIS | Leucocryptos | 4x7 | 0,00068 | | 17855 |
| LITOSTOMATEA | Mesodinium rubrum | 16-20 | 0,00313 | | 893 |
| LITOSTOMATEA | Mesodinium rubrum | 20-27 | 0,00665 | | 893 |
| NOSTOCOPHYCEAE | Aphanizomenon flosaquae | 5x100 | 0,01227 | | 6251 |
| NOSTOCOPHYCEAE | Chroococcales | 2-3 | 0,04912 | | 6140256 |
| NOSTOCOPHYCEAE | Planktolyngbya | 1,5x100 | 0,00095 | | 5358 |
| NOSTOCOPHYCEAE | Pseudanabaena | 1,5x100 | 0,01059 | | 59831 |

Artlistan fortsätter på nästa sida.

| | | | | |
|-------------------------------|------------------|------------|-----------|------------|
| OTHERS | Flagellates | 3-5 | 0,00115 | 60707 |
| OTHERS | Flagellates | 5-7 | 0,00274 | 42852 |
| PRYMNESIOPHYCEAE | Chrysochromulina | 4-6 | 0,03203 | 492798 |
| PRYMNESIOPHYCEAE | Prymnesiales | 5-7x6-10 | 0,01037 | 78562 |
| | Värde | Ref | EK | nEK |
| Klorofyll | 22,00 | 2,17 | 0,10 | 0,13 |
| Biovolym | 3,14 | 0,31 | 0,10 | 0,22 |
| Sammanvägd status, nEK | | | | 0,18 |

Koviksudde

Det.: Jon Karlsson, Pelagia Nature & Environment AB

Provtagningsdatum: 2025-04-29

Analysdatum: 2025-10-16

Typindelning: 24

| Grupp | Taxa | Storlek (µm) | Biovolym (mm ³ /l) | Pot. toxisk | Antal/L |
|-------------------|--------------------------|---------------|-------------------------------|-------------|---------|
| Bacillariophyceae | Centrales | 40-50 | 0,06857 | | 1917 |
| Bacillariophyceae | Chaetoceros | 11-15x11-15 | 0,16890 | | 139941 |
| Bacillariophyceae | Chaetoceros | 16-20x11-15 | 0,03549 | | 15336 |
| Bacillariophyceae | Chaetoceros | 8x8 | 0,02360 | | 69013 |
| Bacillariophyceae | Diatoma | 2-4x20-40 | 0,06211 | | 230042 |
| Bacillariophyceae | Diatoma tenuis | 3x30-50 | 0,29260 | | 812813 |
| Bacillariophyceae | Diatoma tenuis | 4x30-50 | 1,04000 | | 1625627 |
| Bacillariophyceae | Nitzschia cf. acicularis | 3x35-45 | 0,00144 | | 7668 |
| Bacillariophyceae | Nitzschia cf. acicularis | 1,5-2x18-22 | 0,00261 | | 76681 |
| Bacillariophyceae | Pennales | 1-3x25-40 | 0,00150 | | 30672 |
| Bacillariophyceae | Pennales | 4-6x50-70 | 0,02645 | | 44091 |
| Bacillariophyceae | Pennales | 4-6x70-100 | 0,01629 | | 19170 |
| Bacillariophyceae | Skeletonema | 4x7-8 | 0,00013 | | 1424 |
| Bacillariophyceae | Thalassiosira | 32-40 | 0,02396 | | 1424 |
| Bacillariophyceae | Thalassiosira | 40-50 | 0,02183 | | 610 |
| Bacillariophyceae | Thalassiosira | 50-60 | 0,02656 | | 407 |
| Chlorophyceae | Chlorophyceae | 2-4 | 0,00397 | | 283720 |
| Chlorophyceae | Chlorophyceae | 4-6 | 0,00798 | | 122690 |
| Chlorophyceae | Desmodesmus bicellularis | 2-3x4-6 | 0,00228 | | 69013 |
| Chlorophyceae | Monoraphidium | 2-3x40-50 | 0,00905 | | 76681 |
| Chlorophyceae | Monoraphidium contortum | 1,2-1,5x15-20 | 0,00393 | | 490755 |
| Chlorophyceae | Monoraphidium contortum | 1,5-2x20-30 | 0,00675 | | 337394 |
| Chlorophyceae | Monoraphidium contortum | 2-3x20-30 | 0,00440 | | 107353 |
| Chlorophyceae | Monoraphidium contortum | 4-5x30-40 | 0,01135 | | 61344 |
| Chrysophyceae | Dinobryon | 3-5x4-6 | 0,00097 | | 23004 |
| Cryptophyceae | Cryptomonadales | 10x15 | 0,03208 | | 61345 |
| Cryptophyceae | Hemiselmis | 3x4-6 | 0,00104 | | 69013 |
| Cryptophyceae | Plagioselmis | 3-4x5-7 | 0,00460 | | 184034 |
| Cryptophyceae | Plagioselmis | 5-7x7-9 | 0,00558 | | 53677 |
| Cyanophyceae | Cyanophyceae | 2 | 0,00074 | | 184034 |
| Cyanophyceae | Planktolyngbya | 2x100 | 0,00963 | | 30672 |
| Cyanophyceae | Pseudanabaena | 2x100 | 0,00060 | | 1917 |
| Dinophyceae | Dinophyceae | 10-15 | 0,09404 | | 92017 |
| Dinophyceae | Dinophyceae | 15-20 | 0,19360 | | 69013 |
| Dinophyceae | Dinophyceae | 20-25 | 0,13710 | | 23004 |
| Dinophyceae | Dinophyceae | 25-30 | 0,27120 | | 24921 |
| Dinophyceae | Dinophyceae | 40 | 0,44940 | | 13419 |
| Dinophyceae | Dinophyceae | 45 | 0,27430 | | 5751 |
| Dinophyceae | Peridiniella catenata | 20-23 | 0,21360 | | 76680 |
| Dinophyceae | Peridiniella catenata | 27-30 | 0,31930 | | 55593 |
| Dinophyceae | Protoberidinium | 25x30 | 0,04997 | | 9585 |
| Euglenophyceae | Eutreptiella | 5-7x15-20 | 0,08604 | | 260714 |
| Euglenophyceae | Eutreptiella | 5-7x20-25 | 0,08453 | | 199369 |
| Euglenophyceae | Eutreptiella | 7-9x25-30 | 0,08475 | | 92017 |
| Euglenophyceae | Eutreptiella | 9-11x10-15 | 0,13040 | | 199369 |
| Euglenophyceae | Trachelomonas | 6-10x10-15 | 0,01063 | | 23004 |
| Litostomatea | Mesodinium rubrum | 20-27 | 0,02857 | | 3834 |
| Telonemea | Telonema subtile | 5-6x8 | 0,00065 | | 7668 |
| Telonemea | Telonema subtile | 2-4x5-7 | 0,00014 | | 7668 |
| Thecofilosea | Ebria tripartita | 23-27 | 0,02195 | | 7668 |

Artlistan fortsätter på nästa sida.

| | | | | |
|---------------------------------|---------------------------------|------------|-----------|------------|
| Trebouxiophyceae | Koliella | 1,5x30-50 | 0,00058 | 15336 |
| Unicells classes incertae sedis | Unicells species incertae sedis | <2 | 0,00534 | 1334241 |
| Unicells classes incertae sedis | Unicells species incertae sedis | 2-3 | 0,00442 | 552100 |
| Unicells classes incertae sedis | Unicells species incertae sedis | 3-5 | 0,00810 | 245378 |
| Unicells classes incertae sedis | Unicells species incertae sedis | 5-7 | 0,01213 | 107353 |
| | Värde | Ref | EK | nEK |
| Klorofyll | 23,00 | 2,06 | 0,09 | 0,12 |
| Biovolym | 4,40 | 0,28 | 0,06 | 0,16 |
| Sammanvägd status, nEK | | | | 0,14 |



Koviksudde

Det.: Iveta Jurgensone, Pelagia Nature & Environment AB

Provtagningsdatum: 2025-05-12

Analysdatum: 2026-02-11

Typindelning: 24

| Grupp | Taxa | Storlek (µm) | Biovolym (mm ³ /l) | Pot. toxisk | Antal/L |
|-------------------------------|----------------------------|--------------|-------------------------------|-------------|---------|
| CHAROPHYCEAE | Koliella | 2x30 | 0,00040 | | 8037 |
| CHLOROPHYCEAE | Ankistrodesmus arcuatus | 1,5-2x25-30 | 0,00063 | | 17860 |
| CHLOROPHYCEAE | Monoraphidium contortum | 1,5-2x20-30 | 0,00971 | | 485656 |
| CHLOROPHYCEAE | Monoraphidium griffithii | 3-4x30-35 | 0,00009 | | 893 |
| CHRYSOPHYCEAE | Pseudopedinella elastica | 9-11 | 0,02428 | | 46423 |
| CHRYSOPHYCEAE | Pseudopedinella pyriformis | 5-7 | 0,00404 | | 35710 |
| CRYPTOPHYCEAE | Cryptomonas | 15-18x30-35 | 0,00331 | | 893 |
| CRYPTOPHYCEAE | Hemiselmis virescens | 3x4-6 | 0,00011 | | 7142 |
| CRYPTOPHYCEAE | Plagioselmis prolunga | 4-5x7-9 | 0,00598 | | 110701 |
| CRYPTOPHYCEAE | Teleaulax | 4-5x8-11 | 0,00643 | | 107130 |
| CRYPTOPHYCEAE | Teleaulax | 5-6x11-15 | 0,00223 | | 17855 |
| DIATOMOPHYCEAE | Centrales | 12-17 | 0,00923 | | 5358 |
| DIATOMOPHYCEAE | Centrales | 3-7 | 0,00366 | | 57136 |
| DIATOMOPHYCEAE | Chaetoceros wighamii | 12x5 | 0,01379 | | 34827 |
| DIATOMOPHYCEAE | Chaetoceros wighamii | 15-17x8-10 | 0,01379 | | 14288 |
| DIATOMOPHYCEAE | Cylindrotheca closterium | 2-3x10-12 | 0,00295 | | 101745 |
| DIATOMOPHYCEAE | Diatoma tenuis | 3x30-50 | 0,63920 | | 1775544 |
| DIATOMOPHYCEAE | Diatoma tenuis | 3x50-70 | 0,72721 | | 1346688 |
| DIATOMOPHYCEAE | Navicula | 7-8x30-40 | 0,00105 | | 893 |
| DIATOMOPHYCEAE | Pennales | 4-6x25-35 | 0,00107 | | 3572 |
| DIATOMOPHYCEAE | Thalassiosira baltica | 60-70 | 0,05775 | | 893 |
| DIATOMOPHYCEAE | Thalassiosira baltica | 50-60 | 0,05831 | | 893 |
| DINOPHYCEAE | Amphidinium crassum | 15-20x25-30 | 0,01742 | | 6251 |
| DINOPHYCEAE | Dinophysis acuminata | 53-57 | 0,02827 | | 893 |
| DINOPHYCEAE | Gymnodiniales | 10-15 | 0,00291 | | 3572 |
| DINOPHYCEAE | Gymnodiniales | 27-40 | 0,01136 | | 893 |
| DINOPHYCEAE | Heterocapsa rotundata | 7-10x12-15 | 0,00030 | | 893 |
| DINOPHYCEAE | Peridiniella catenata | 24-26 | 0,07303 | | 17860 |
| DINOPHYCEAE | Peridiniella catenata | 27-30 | 0,12311 | | 21432 |
| DINOPHYCEAE | Protoperidinium pellucidum | 35-37x42 | 0,01817 | | 893 |
| EBRIIDEA | Ebria tripartita | 33-37 | 0,02104 | | 2679 |
| EBRIIDEA | Ebria tripartita | 37-43 | 0,13609 | | 11609 |
| EBRIIDEA | Ebria tripartita | 23-27 | 0,00767 | | 2679 |
| EUGLENOPHYCEAE | Eutreptiella | 5-7x10-15 | 0,00295 | | 12502 |
| EUGLENOPHYCEAE | Eutreptiella | 5-7x15-20 | 0,00236 | | 7144 |
| INCERTAE SEDIS | Katablepharis remigera | 6-8x8-12 | 0,00160 | | 6251 |
| LITOSTOMATEA | Mesodinium rubrum | 20-27 | 0,08650 | | 11609 |
| LITOSTOMATEA | Mesodinium rubrum | 27-33 | 0,31545 | | 22325 |
| LITOSTOMATEA | Mesodinium rubrum | 16-20 | 0,01879 | | 5358 |
| LITOSTOMATEA | Mesodinium rubrum | 37-45 | 0,08973 | | 2679 |
| NOSTOCOPHYCEAE | Aphanizomenon flosaquae | 5x100 | 0,01928 | | 9823 |
| NOSTOCOPHYCEAE | Chroococcales | 2-3 | 0,02469 | | 3086160 |
| NOSTOCOPHYCEAE | Chroococcales | <2 | 0,00143 | | 1426848 |
| NOSTOCOPHYCEAE | Pseudanabaena | 1,5x100 | 0,01185 | | 66975 |
| NOSTOCOPHYCEAE | Pseudanabaena | 2x100 | 0,00224 | | 7144 |
| OTHERS | Flagellates | 3-5 | 0,00183 | | 96417 |
| OTHERS | Flagellates | 5-7 | 0,00229 | | 35710 |
| OTHERS | Flagellates | 7-10 | 0,00194 | | 10713 |
| PRYMNESIOPHYCEAE | Chrysochromulina | 4-6 | 0,00395 | | 60707 |
| | Värde | Ref | EK | nEK | |
| Klorofyll | 7,70 | 1,95 | 0,25 | 0,30 | |
| Biovolym | 2,61 | 0,26 | 0,10 | 0,22 | |
| Sammanvägd status, nEK | | | | 0,26 | |



Koviksudde

Det.: Iveta Jurgensone, Pelagia Nature & Environment AB

Provtagningsdatum: 2025-05-28

Analysdatum: 2026-02-11

Typindelning: 24

| Grupp | Taxa | Storlek (µm) | Biovolym (mm ³ /l) | Pot. toxisk | Antal/L |
|-------------------------------|----------------------------|--------------|-------------------------------|-------------|---------|
| CHLOROPHYCEAE | Ankistrodesmus arcuatus | 1,5-2x25-30 | 0,00009 | | 2679 |
| CHLOROPHYCEAE | Monoraphidium contortum | 1,5-2x20-30 | 0,00536 | | 267825 |
| CHOANOFLLAGELLIDEA | Choanoflagellata | 4-5 | 0,00857 | | 178550 |
| CHRYSOPHYCEAE | Pseudopedinella elastica | 9-11 | 0,01121 | | 21426 |
| CHRYSOPHYCEAE | Pseudopedinella pyriformis | 5-7 | 0,00484 | | 42852 |
| CHRYSOPHYCEAE | Uroglena | 5-7 | 0,01453 | | 128556 |
| CRYPTOPHYCEAE | Cryptomonas | 10-13x20-26 | 0,00114 | | 893 |
| CRYPTOPHYCEAE | Teleaulax | 4-5x8-11 | 0,00150 | | 24997 |
| CRYPTOPHYCEAE | Teleaulax | 5-6x11-15 | 0,00223 | | 17855 |
| DIATOMOPHYCEAE | Centrales | 3-7 | 0,00183 | | 28568 |
| DIATOMOPHYCEAE | Chaetoceros ceratosporus | 6-8x12-14 | 0,00076 | | 1786 |
| DIATOMOPHYCEAE | Chaetoceros wighamii | 15-17x8-10 | 0,01379 | | 14288 |
| DIATOMOPHYCEAE | Chaetoceros wighamii | 12x5 | 0,01096 | | 27683 |
| DIATOMOPHYCEAE | Cylindrotheca closterium | 2-3x10-12 | 0,00013 | | 4465 |
| DIATOMOPHYCEAE | Diatoma tenuis | 3x30-50 | 0,20777 | | 577152 |
| DIATOMOPHYCEAE | Diatoma tenuis | 3x50-70 | 0,48914 | | 905808 |
| DINOPHYCEAE | Amphidinium | 10-15 | 0,00035 | | 893 |
| DINOPHYCEAE | Gymnodiniales | 15-20 | 0,00413 | | 1786 |
| DINOPHYCEAE | Peridiniella catenata | 24-26 | 0,01095 | | 2679 |
| EBRIIDEA | Ebria tripartita | 33-37 | 0,06311 | | 8037 |
| EBRIIDEA | Ebria tripartita | 37-43 | 0,18844 | | 16074 |
| EUGLENOPHYCEAE | Eutreptiella | 5-7x10-15 | 0,00169 | | 7144 |
| LITOSTOMATEA | Mesodinium rubrum | 16-20 | 0,76350 | | 217770 |
| LITOSTOMATEA | Mesodinium rubrum | 20-27 | 0,97090 | | 130305 |
| LITOSTOMATEA | Mesodinium rubrum | 27-33 | 0,05047 | | 3572 |
| LITOSTOMATEA | Mesodinium rubrum | 37-45 | 0,08973 | | 2679 |
| NOSTOCOPHYCEAE | Chroococcales | 2-3 | 0,02924 | | 3655296 |
| NOSTOCOPHYCEAE | Chroococcales | <2 | 0,00099 | | 993984 |
| NOSTOCOPHYCEAE | Pseudanabaena | 1,5x100 | 0,01739 | | 98230 |
| NOSTOCOPHYCEAE | Pseudanabaena | 2x100 | 0,00785 | | 25004 |
| OTHERS | Flagellates | 7-10 | 0,00065 | | 3571 |
| OTHERS | Flagellates | 3-5 | 0,00163 | | 85704 |
| OTHERS | Flagellates | 5-7 | 0,00069 | | 10713 |
| PRYMNESIOPHYCEAE | Chrysochromulina | 4-6 | 0,00325 | | 49994 |
| | Värde | Ref | EK | nEK | |
| Klorofyll | 7,30 | 1,88 | 0,26 | 0,31 | |
| Biovolym | 2,98 | 0,24 | 0,08 | 0,20 | |
| Sammanvägd status, nEK | | | | 0,26 | |



Koviksudde

Det.: Iveta Jurgensone, Pelagia Nature & Environment AB

Provtagningsdatum: 2025-06-12

Analysdatum: 2026-02-13

Typindelning: 24

| Grupp | Taxa | Storlek (µm) | Biovolym (mm³/l) | Pot. toxisk | Antal/L |
|-------------------------------|----------------------------|--------------|------------------|-------------|---------|
| CHLOROPHYCEAE | Monoraphidium contortum | 1,5-2x20-30 | 0,00564 | | 282109 |
| CHOANOFAGELLIDEA | Choanoflagellata | 4-5 | 0,01148 | | 3571 |
| CHRYSOPHYCEAE | Pseudopedinella elastica | 9-11 | 0,02428 | | 17855 |
| CHRYSOPHYCEAE | Pseudopedinella pyriformis | 5-7 | 0,03955 | | 893 |
| CHRYSOPHYCEAE | Uroglena | 5-7 | 0,07909 | | 4465 |
| CRYPTOPHYCEAE | Plagioselmis prolunga | 4-5x7-9 | 0,00058 | | 135736 |
| CRYPTOPHYCEAE | Teleaulax | 4-5x8-11 | 0,00107 | | 893 |
| CRYPTOPHYCEAE | Teleaulax | 5-6x11-15 | 0,00357 | | 364728 |
| DIATOMOPHYCEAE | Centrales | 3-7 | 0,00114 | | 929856 |
| DIATOMOPHYCEAE | Centrales | 7-12 | 0,00046 | | 10716 |
| DIATOMOPHYCEAE | Chaetoceros ceratosporus | 6-8x12-14 | 0,00190 | | 46423 |
| DIATOMOPHYCEAE | Chaetoceros cf. decipiens | 13-17x9-13 | 0,19872 | | 349958 |
| DIATOMOPHYCEAE | Cylindrotheca closterium | 2-3x10-12 | 0,00003 | | 1786 |
| DIATOMOPHYCEAE | Diatoma tenuis | 3x30-50 | 0,13130 | | 699916 |
| DIATOMOPHYCEAE | Diatoma tenuis | 3x50-70 | 0,50212 | | 54473 |
| DIATOMOPHYCEAE | Pennales | 4-6x25-35 | 0,00321 | | 65189 |
| DIATOMOPHYCEAE | Thalassiosira baltica | 50-60 | 0,11663 | | 27683 |
| DINOPHYCEAE | Gymnodiniales | 10-15 | 0,00145 | | 10713 |
| EBRIIDEA | Ebria tripartita | 37-43 | 0,07328 | | 17855 |
| EBRIIDEA | Ebria tripartita | 33-37 | 0,07714 | | 28568 |
| EUGLENOPHYCEAE | Eutreptiella | 5-7x10-15 | 0,01307 | | 1786 |
| EUGLENOPHYCEAE | Eutreptiella | 5-7x15-20 | 0,00472 | | 8176320 |
| INCERTAE SEDIS | Katablepharis remigera | 6-8x8-12 | 0,00046 | | 274967 |
| LITOSTOMATEA | Mesodinium rubrum | 16-20 | 0,19098 | | 1786 |
| LITOSTOMATEA | Mesodinium rubrum | 20-27 | 0,48572 | | 26790 |
| LITOSTOMATEA | Mesodinium rubrum | 27-33 | 0,39116 | | 1786 |
| NOSTOCOPHYCEAE | Aphanizomenon flosaquae | 5x100 | 0,00351 | | 55366 |
| NOSTOCOPHYCEAE | Chroococcales | 2-3 | 0,06541 | | 14288 |
| NOSTOCOPHYCEAE | Chroococcales | <2 | 0,00027 | | 3571 |
| NOSTOCOPHYCEAE | Pseudanabaena | 2x100 | 0,00056 | | 1786 |
| NOSTOCOPHYCEAE | Pseudanabaena | 1,5x100 | 0,00474 | | 132127 |
| OTHERS | Flagellates | 3-5 | 0,00251 | | 39281 |
| OTHERS | Flagellates | 5-7 | 0,00251 | | 239257 |
| PRASINOPHYCEAE | Pyramimonas | 6x8-10 | 0,00096 | | 6251 |
| PRYMNESIOPHYCEAE | Chrysochromulina | 4-6 | 0,00023 | | 9823 |
| | Värde | Ref | EK | nEK | |
| Klorofyll | 7,60 | 1,90 | 0,25 | 0,30 | |
| Biovolym | 2,44 | 0,25 | 0,10 | 0,23 | |
| Sammanvägd status, nEK | | | | 0,26 | |

Koviksudde

Det.: Iveta Jurgensone, Pelagia Nature & Environment AB

Provtagningsdatum: 2025-06-25

Analysdatum: 2026-02-15

Typindelning: 24

| Grupp | Taxa | Storlek (µm) | Biovolym (mm ³ /l) | Pot. toxisk | Antal/L |
|-------------------------------|----------------------------|---------------|-------------------------------|-------------|---------|
| CHAROPHYCEAE | Koliella | 2x30 | 0,00013 | | 893 |
| CHLOROPHYCEAE | Desmodesmus communis | 4-6x10-13 | 0,00056 | | 2679 |
| CHLOROPHYCEAE | Monoraphidium contortum | 1,5-2x20-30 | 0,00493 | | 246399 |
| CHLOROPHYCEAE | Tetraedron minimum | 7-9 | 0,00023 | | 2188368 |
| CHRYSOPHYCEAE | Pseudopedinella elastica | 9-11 | 0,04296 | | 289251 |
| CHRYSOPHYCEAE | Pseudopedinella pyriformis | 5-7 | 0,00121 | | 893 |
| CHRYSOPHYCEAE | Uroglena | 5-7 | 0,03874 | | 17855 |
| CRYPTOPHYCEAE | Hemiselmis virescens | 3x4-6 | 0,00150 | | 1786 |
| CRYPTOPHYCEAE | Plagioselmis prolunga | 3-4x5-7 | 0,04389 | | 17855 |
| CRYPTOPHYCEAE | Plagioselmis prolunga | 4-5x7-9 | 0,04242 | | 85728 |
| CRYPTOPHYCEAE | Teleaulax | 4-5x8-11 | 0,00600 | | 12502 |
| CRYPTOPHYCEAE | Teleaulax | 5-6x11-15 | 0,02143 | | 28576 |
| DIATOMOPHYCEAE | Centrales | 3-7 | 0,00114 | | 82133 |
| DIATOMOPHYCEAE | Centrales | 7-12 | 0,00091 | | 10713 |
| DIATOMOPHYCEAE | Chaetoceros ceratosporus | 6-8x12-14 | 0,00759 | | 893 |
| DIATOMOPHYCEAE | Chaetoceros cf. decipiens | 13-17x9-13 | 0,12551 | | 342816 |
| DIATOMOPHYCEAE | Diatoma tenuis | 3x30-50 | 0,00450 | | 1786 |
| DIATOMOPHYCEAE | Diatoma tenuis | 3x50-70 | 0,01543 | | 1786 |
| DIATOMOPHYCEAE | Thalassiosira baltica | 50-60 | 0,05831 | | 5358 |
| DINOPHYCEAE | Heterocapsa rotundata | 5-7x10-12 | 0,00047 | | 4465 |
| DINOPHYCEAE | Katodinium glaucum | 16x22 | 0,00112 | | 99988 |
| DINOPHYCEAE | Oblea rotunda | 22-28 | 0,04600 | | 1755504 |
| EBRIIDEA | Ebria tripartita | 33-37 | 0,07013 | | 785620 |
| EBRIIDEA | Ebria tripartita | 37-43 | 0,12562 | | 99988 |
| EUGLENOPHYCEAE | Eutreptiella | 5-7x10-15 | 0,01981 | | 171408 |
| EUGLENOPHYCEAE | Eutreptiella | 5-7x15-20 | 0,00501 | | 5358 |
| INCERTAE SEDIS | Katablepharis remigera | 6-8x8-12 | 0,00206 | | 217831 |
| INCERTAE SEDIS | Leucocryptos | 4x7 | 0,00285 | | 8104176 |
| INCERTAE SEDIS | Telonema subtile | 4x7 | 0,00136 | | 893 |
| LITOSTOMATEA | Mesodinium rubrum | 27-33 | 0,02524 | | 16967 |
| LITOSTOMATEA | Mesodinium rubrum | 33-37 | 0,04007 | | 151810 |
| LITOSTOMATEA | Mesodinium rubrum | 16-20 | 0,01879 | | 3571 |
| LITOSTOMATEA | Mesodinium rubrum | 20-27 | 0,03327 | | 893 |
| NOSTOCOPHYCEAE | Aphanizomenon flosaquae | 5x100 | 0,01052 | | 6251 |
| NOSTOCOPHYCEAE | Chroococcales | <2 | 0,00022 | | 83942 |
| NOSTOCOPHYCEAE | Chroococcales | 2-3 | 0,06483 | | 15181 |
| NOSTOCOPHYCEAE | Dolichospermum | 4-5x100 | 0,00095 | | 3703392 |
| NOSTOCOPHYCEAE | Pseudanabaena | 1,5x100 | 0,00300 | | 8037 |
| NOSTOCOPHYCEAE | Woronichinia compacta | 1,5-3,4x3-5,6 | 0,00228 | | 74991 |
| OTHERS | Flagellates | 3-5 | 0,00773 | | 35710 |
| OTHERS | Flagellates | 5-7 | 0,00137 | | 407094 |
| PRASINOPHYCEAE | Pyramimonas | 5x5-7 | 0,26260 | | 21426 |
| PRASINOPHYCEAE | Pyramimonas | 6x8-10 | 0,07810 | | 8930 |
| PRYMNESIOPHYCEAE | Chrysochromulina | 4-6 | 0,24072 | | 10716 |
| | Värde | Ref | EK | nEK | |
| Klorofyll | 9,00 | 1,94 | 0,22 | 0,27 | |
| Biovolym | 1,48 | 0,26 | 0,17 | 0,32 | |
| Sammanvägd status, nEK | | | | 0,29 | |



Koviksudde

Det.: Iveta Jurgensone, Pelagia Nature & Environment AB

Provtagningsdatum: 2025-07-17

Analysdatum: 2026-02-18

Typindelning: 24

| Grupp | Taxa | Storlek (µm) | Biovolym (mm ³ /l) | Pot. toxisk | Antal/L |
|-------------------------------|----------------------------|---------------|-------------------------------|-------------|----------|
| CHAROPHYCEAE | Koliella | 2x30 | 0,00002 | | 400 |
| CHLOROPHYCEAE | Monoraphidium contortum | 1,5-2x20-30 | 0,00006 | | 2800 |
| CHLOROPHYCEAE | Stauridium tetras | 4-6x20-35 | 0,00059 | | 200 |
| CHRYSOPHYCEAE | Kephyrion | 4-6x4-6 | 0,00023 | | 3571 |
| CHRYSOPHYCEAE | Pseudopedinella elastica | 9-11 | 0,02801 | | 53565 |
| CHRYSOPHYCEAE | Pseudopedinella pyriformis | 5-7 | 0,00726 | | 64278 |
| CHRYSOPHYCEAE | Uroglena | 5-7 | 0,00040 | | 3571 |
| CRYPTOPHYCEAE | Cryptomonas | 13-14x26-30 | 0,00128 | | 600 |
| CRYPTOPHYCEAE | Hemiselmis virescens | 3x4-6 | 0,02285 | | 1523040 |
| CRYPTOPHYCEAE | Plagioselmis prolunga | 3-4x5-7 | 0,03287 | | 1314624 |
| CRYPTOPHYCEAE | Plagioselmis prolunga | 4-5x7-9 | 0,10735 | | 1987968 |
| CRYPTOPHYCEAE | Teleaulax | 4-5x8-11 | 0,01628 | | 271396 |
| CRYPTOPHYCEAE | Teleaulax | 5-6x11-15 | 0,05401 | | 432091 |
| DIATOMOPHYCEAE | Actinocyclus octonarius | 50-60 | 0,03396 | | 400 |
| DIATOMOPHYCEAE | Centrales | 3-7 | 0,06105 | | 953904 |
| DIATOMOPHYCEAE | Chaetoceros cf. decipiens | 13-17x9-13 | 0,05651 | | 38600 |
| DIATOMOPHYCEAE | Diatoma tenuis | 3x30-50 | 0,00007 | | 200 |
| DIATOMOPHYCEAE | Nitzschia paleacea | 3x30-40 | 0,00010 | | 600 |
| DINOPHYCEAE | Dinophysis acuminata | 53-57 | 0,42427 | | 13400 |
| DINOPHYCEAE | Heterocapsa rotundata | 5-7x10-12 | 0,00141 | | 10713 |
| EBRIIDEA | Ebria tripartita | 33-37 | 0,01099 | | 1400 |
| EBRIIDEA | Ebria tripartita | 37-43 | 0,00703 | | 600 |
| EBRIIDEA | Ebria tripartita | 23-27 | 0,00515 | | 1800 |
| INCERTAE SEDIS | Katablepharis remigera | 6-8x8-12 | 0,00015 | | 600 |
| INCERTAE SEDIS | Telonema subtile | 4x7 | 0,00014 | | 3571 |
| LITOSTOMATEA | Mesodinium rubrum | 33-37 | 0,00898 | | 400 |
| LITOSTOMATEA | Mesodinium rubrum | 16-20 | 0,00280 | | 800 |
| LITOSTOMATEA | Mesodinium rubrum | 20-27 | 0,00596 | | 800 |
| NOSTOCOPHYCEAE | Chroococcales | <2 | 0,00047 | | 467801 |
| NOSTOCOPHYCEAE | Chroococcales | 2-3 | 0,08382 | | 10476912 |
| NOSTOCOPHYCEAE | Dolichospermum | 4-5x100 | 0,00191 | | 1800 |
| NOSTOCOPHYCEAE | Pseudanabaena | 1,5x100 | 0,00035 | | 2000 |
| NOSTOCOPHYCEAE | Woronichinia compacta | 1,5-3,4x3-5,6 | 0,00021 | | 14000 |
| OTHERS | Flagellates | 3-5 | 0,00740 | | 389239 |
| OTHERS | Flagellates | 5-7 | 0,00046 | | 7142 |
| PRASINOPHYCEAE | Pyramimonas | 6x8-10 | 0,01832 | | 67849 |
| PRASINOPHYCEAE | Pyramimonas | 5x5-7 | 0,05868 | | 488976 |
| PRYMNESIOPHYCEAE | Chrysochromulina | 4-6 | 0,06878 | | 1058112 |
| | Värde | Ref | EK | nEK | |
| Klorofyll | 7,20 | 2,07 | 0,29 | 0,34 | |
| Biovolym | 1,13 | 0,28 | 0,25 | 0,41 | |
| Sammanvägd status, nEK | | | | 0,37 | |



Koviksudde

Det.: Iveta Jurgensone, Pelagia Nature & Environment AB

Provtagningsdatum: 2025-07-31

Analysdatum: 2026-02-16

Typindelning: 24

| Grupp | Taxa | Storlek (µm) | Biovolym (mm ³ /l) | Pot. toxisk | Antal/L |
|------------------|----------------------------------|--------------|-------------------------------|-------------|---------|
| CHAROPHYCEAE | Closterium aciculare | 5-6x350-400 | 0,00187 | | 600 |
| CHAROPHYCEAE | Closterium acutum var. variabile | 4x80-100 | 0,00038 | | 1000 |
| CHAROPHYCEAE | Koliella | 2x30 | 0,00006 | | 1200 |
| CHLOROPHYCEAE | Ankistrodesmus arcuatus | 1,5-2x25-30 | 0,00007 | | 2000 |
| CHLOROPHYCEAE | Botryococcus | 3,5x6 | 0,00091 | | 24000 |
| CHLOROPHYCEAE | Coelastrum microporum | 7-8 | 0,00124 | | 5600 |
| CHLOROPHYCEAE | Desmodesmus communis | 4-6x10-13 | 0,00038 | | 600 |
| CHLOROPHYCEAE | Fusola viridis | 5x16 | 0,00007 | | 400 |
| CHLOROPHYCEAE | Monoraphidium contortum | 1,5-2x20-30 | 0,00016 | | 7800 |
| CHLOROPHYCEAE | Oocystis | 5-6x8-12 | 0,00025 | | 1600 |
| CHLOROPHYCEAE | Scenedesmus ellipticus | 4-6x10-15 | 0,00013 | | 200 |
| CHLOROPHYCEAE | Scenedesmus obtusus | 4-6x8-12 | 0,00031 | | 600 |
| CHLOROPHYCEAE | Sphaerocystis schroeteri | 9-10 | 0,02092 | | 46600 |
| CHLOROPHYCEAE | Stauridium tetras | 4-6x20-35 | 0,00059 | | 200 |
| CHOANOFAGELLIDEA | Choanoflagellatea | 4-5 | 0,00017 | | 3571 |
| CHRYSOPHYCEAE | Dinobryon | 2-4x8-10 | 0,00011 | | 2600 |
| CHRYSOPHYCEAE | Kephyrion | 4-6x4-6 | 0,00023 | | 3571 |
| CHRYSOPHYCEAE | Pseudopedinella elastica | 9-11 | 0,01494 | | 28568 |
| CHRYSOPHYCEAE | Pseudopedinella pyriformis | 5-7 | 0,00525 | | 46423 |
| CRYPTOPHYCEAE | Cryptomonas | 15-18x30-35 | 0,00444 | | 1200 |
| CRYPTOPHYCEAE | Hemiselmis virescens | 3x4-6 | 0,00043 | | 28568 |
| CRYPTOPHYCEAE | Plagioselmis prolonga | 3-4x5-7 | 0,01122 | | 448896 |
| CRYPTOPHYCEAE | Plagioselmis prolonga | 4-5x7-9 | 0,02597 | | 480960 |
| CRYPTOPHYCEAE | Teleaulax | 4-5x8-11 | 0,00343 | | 57136 |
| CRYPTOPHYCEAE | Teleaulax | 5-6x11-15 | 0,00714 | | 57136 |
| DIATOMOPHYCEAE | Centrales | 17-22 | 0,00063 | | 4371282 |
| DIATOMOPHYCEAE | Centrales | 3-7 | 0,27976 | | 200 |
| DIATOMOPHYCEAE | Centrales | 7-12 | 0,00224 | | 4400 |
| DIATOMOPHYCEAE | Chaetoceros cf. decipiens | 13-17x9-13 | 0,00088 | | 600 |
| DIATOMOPHYCEAE | Diatoma tenuis | 3x30-50 | 0,00151 | | 4200 |
| DIATOMOPHYCEAE | Diatoma tenuis | 3x50-70 | 0,00032 | | 600 |
| DIATOMOPHYCEAE | Fragilaria crotonensis | 4-5x50-80 | 0,00456 | | 7800 |
| DIATOMOPHYCEAE | Pennales | 4-6x25-35 | 0,00090 | | 3000 |
| DIATOMOPHYCEAE | Pennales | 4-6x50-70 | 0,00012 | | 200 |
| DIATOMOPHYCEAE | Skeletonema marinoi | 3x3-5 | 0,00020 | | 7200 |
| DIATOMOPHYCEAE | Tabellaria fenestrata | 6x40-50 | 0,02710 | | 8400 |
| DINOPHYCEAE | Dinophysis acuminata | 53-57 | 0,00633 | | 200 |
| DINOPHYCEAE | Gymnodiniales | 10-15 | 0,00130 | | 1600 |
| DINOPHYCEAE | Gymnodiniales | 15-20 | 0,00324 | | 1400 |
| DINOPHYCEAE | Heterocapsa rotundata | 5-7x10-12 | 0,00566 | | 42852 |
| EBRIIDEA | Ebria tripartita | 23-27 | 0,00172 | | 600 |
| EBRIIDEA | Ebria tripartita | 33-37 | 0,00942 | | 1200 |
| EBRIIDEA | Ebria tripartita | 37-43 | 0,01172 | | 1000 |
| EUGLENOPHYCEAE | Eutreptiella | 5-7x15-20 | 0,00007 | | 200 |
| INCERTAE SEDIS | Leucocryptos | 4x7 | 0,00095 | | 24997 |
| LITOSTOMATEA | Mesodinium rubrum | 16-20 | 0,01122 | | 3200 |
| LITOSTOMATEA | Mesodinium rubrum | 20-27 | 0,01639 | | 2200 |
| LITOSTOMATEA | Mesodinium rubrum | 27-33 | 0,01130 | | 800 |
| NOSTOCOPHYCEAE | Aphanizomenon flosaquae | 5x100 | 0,01256 | | 6400 |
| NOSTOCOPHYCEAE | Chroococcales | <2 | 0,00043 | | 428520 |

Artlistan fortsätter på nästa sida.

UNDERSÖKNING, VÄXTPLANKTON: SKÄRGÅRDSSNITT 2025

| | | | | |
|-------------------------------|-----------------------|---------------|-----------|------------|
| NOSTOCOPHYCEAE | Chroococcales | 2-3 | 0,06509 | 8136240 |
| NOSTOCOPHYCEAE | Pseudanabaena | 1,5x100 | 0,00269 | 15200 |
| NOSTOCOPHYCEAE | Snowella lacustris | 1,5-3,5x2-4 | 0,00080 | 80000 |
| NOSTOCOPHYCEAE | Woronichinia compacta | 1,5-3,4x3-5,6 | 0,00189 | 126000 |
| OTHERS | Flagellates | 3-5 | 0,00617 | 324961 |
| PRASINOPHYCEAE | Pyramimonas | 5x5-7 | 0,08946 | 745488 |
| PRASINOPHYCEAE | Pyramimonas | 5x5-7 | 0,00900 | 74991 |
| PRYMNESIOPHYCEAE | Chrysochromulina | 4-6 | 0,03387 | 521040 |
| | Värde | Ref | EK | nEK |
| Klorofyll | 7,10 | 2,19 | 0,31 | 0,36 |
| Biovolym | 0,72 | 0,31 | 0,43 | 0,52 |
| Sammanvägd status, nEK | | | | 0,44 |



Koviksudde

Det.: Iveta Jurgensone, Pelagia Nature & Environment AB

Provtagningsdatum: 2025-08-13

Analysdatum: 2026-02-20

Typindelning: 24

| Grupp | Taxa | Storlek (µm) | Biovolym (mm ³ /l) | Pot. toxisk | Antal/L |
|----------------|-----------------------------|---------------|-------------------------------|-------------|---------|
| CHAROPHYCEAE | Closterium aciculare | 5-6x350-400 | 0,00125 | | 400 |
| CHAROPHYCEAE | Koliella | 2x30 | 0,00001 | | 200 |
| CHAROPHYCEAE | Staurostrum anatinum | 75x35 | 0,02976 | | 200 |
| CHLOROPHYCEAE | Coelastrum microporum | 7-8 | 0,00212 | | 9600 |
| CHLOROPHYCEAE | Coelastrum pseudomicroporum | 6-7x7-10 | 0,00158 | | 8400 |
| CHLOROPHYCEAE | Desmodesmus communis | 4-6x10-13 | 0,00063 | | 1000 |
| CHLOROPHYCEAE | Monoraphidium contortum | 1,5-2x20-30 | 0,00002 | | 800 |
| CHLOROPHYCEAE | Oocystis | 5-6x8-12 | 0,00392 | | 24800 |
| CHLOROPHYCEAE | Oocystis borgei | 8-10x12-15 | 0,00320 | | 5600 |
| CHLOROPHYCEAE | Sphaerocystis schroeteri | 9-10 | 0,04948 | | 110200 |
| CHRYSOPHYCEAE | Dinobryon | 2-4x8-10 | 0,00001 | | 200 |
| CHRYSOPHYCEAE | Pseudopedinella elastica | 9-11 | 0,10085 | | 192834 |
| CRYPTOPHYCEAE | Cryptomonas | 10-13x20-26 | 0,09208 | | 72333 |
| CRYPTOPHYCEAE | Cryptomonas | 13-14x26-30 | 0,12398 | | 58045 |
| CRYPTOPHYCEAE | Cryptomonas | 15-18x30-35 | 0,16538 | | 44650 |
| CRYPTOPHYCEAE | Hemiselmis virescens | 3x4-6 | 0,00316 | | 210689 |
| CRYPTOPHYCEAE | Plagioselmis prolonga | 4-5x7-9 | 0,06493 | | 1202400 |
| CRYPTOPHYCEAE | Plagioselmis prolonga | 3-4x5-7 | 0,00223 | | 89275 |
| CRYPTOPHYCEAE | Teleaulax | 4-5x8-11 | 0,00600 | | 99988 |
| CRYPTOPHYCEAE | Teleaulax | 5-6x11-15 | 0,03482 | | 278538 |
| DIATOMOPHYCEAE | Actinocyclus octonarius | 33-37 | 0,01279 | | 400 |
| DIATOMOPHYCEAE | Asterionella formosa | 3-4x40-60 | 0,00012 | | 200 |
| DIATOMOPHYCEAE | Centrales | 3-7 | 0,09183 | | 1434864 |
| DIATOMOPHYCEAE | Chaetoceros cf. decipiens | 13-17x9-13 | 0,04304 | | 29400 |
| DIATOMOPHYCEAE | Fragilaria crotonensis | 4-5x50-80 | 0,01533 | | 26200 |
| DIATOMOPHYCEAE | Pennales | 4-6x25-35 | 0,00006 | | 200 |
| DIATOMOPHYCEAE | Tabellaria fenestrata | 6x40-50 | 0,01548 | | 4800 |
| DINOPHYCEAE | Dinophysis acuminata | 53-57 | 0,04433 | | 1400 |
| DINOPHYCEAE | Gymnodiniales | 20-27 | 0,00883 | | 1200 |
| DINOPHYCEAE | Heterocapsa rotundata | 5-7x10-12 | 0,03205 | | 242828 |
| EBRIIDEA | Ebria tripartita | 23-27 | 0,01145 | | 4000 |
| EBRIIDEA | Ebria tripartita | 33-37 | 0,08795 | | 11200 |
| EBRIIDEA | Ebria tripartita | 37-43 | 0,04924 | | 4200 |
| INCERTAE SEDIS | Katablepharis remigera | 6-8x8-12 | 0,00015 | | 600 |
| INCERTAE SEDIS | Leucocryptos | 4x7 | 0,00027 | | 7142 |
| INCERTAE SEDIS | Telonema subtile | 4x7 | 0,00014 | | 3571 |
| LITOSTOMATEA | Mesodinium rubrum | 33-37 | 0,04936 | | 2200 |
| LITOSTOMATEA | Mesodinium rubrum | 37-45 | 0,05359 | | 1600 |
| LITOSTOMATEA | Mesodinium rubrum | 27-33 | 0,02826 | | 2000 |
| LITOSTOMATEA | Mesodinium rubrum | 16-20 | 0,16280 | | 46436 |
| LITOSTOMATEA | Mesodinium rubrum | 20-27 | 0,09537 | | 12800 |
| NOSTOCOPHYCEAE | Aphanizomenon flosaquae | 5x100 | 0,00196 | | 1000 |
| NOSTOCOPHYCEAE | Chroococcales | <2 | 0,00012 | | 117843 |
| NOSTOCOPHYCEAE | Chroococcales | 2-3 | 0,03995 | | 4993968 |
| NOSTOCOPHYCEAE | Pseudanabaena | 1,5x100 | 0,00025 | | 1400 |
| NOSTOCOPHYCEAE | Snowella lacustris | 1,5-3,5x2-4 | 0,00060 | | 60000 |
| NOSTOCOPHYCEAE | Woronichinia compacta | 1,5-3,4x3-5,6 | 0,00042 | | 28000 |
| NOSTOCOPHYCEAE | Woronichinia naegeliana | 1,5-5x4,5-6 | 0,00120 | | 50000 |
| OTHERS | Flagellates | 5-7 | 0,00114 | | 17855 |

Artlistan fortsätter på nästa sida.

| | | | | |
|-------------------------------|------------------|------------|-----------|------------|
| OTHERS | Flagellates | 3-5 | 0,00312 | 164266 |
| PRASINOPHYCEAE | Pyramimonas | 5x5-7 | 0,01543 | 128556 |
| PRASINOPHYCEAE | Pyramimonas | 6x8-10 | 0,08870 | 328532 |
| PRYMNESIOPHYCEAE | Chrysochromulina | 4-6 | 0,00975 | 149982 |
| | Värde | Ref | EK | nEK |
| Klorofyll | 9,40 | 2,15 | 0,23 | 0,28 |
| Biovolym | 1,65 | 0,30 | 0,18 | 0,33 |
| Sammanvägd status, nEK | | | | 0,30 |

Koviksudde

Det.: Iveta Jurgensone, Pelagia Nature & Environment AB

Provtagningsdatum: 2025-08-25

Analysdatum: 2026-02-22

Typindelning: 24

| Grupp | Taxa | Storlek (µm) | Biovolym (mm ³ /l) | Pot. toxisk | Antal/L |
|-------------------------------|----------------------------|---------------|-------------------------------|-------------|---------|
| CHLOROPHYCEAE | Desmodesmus communis | 4-6x10-13 | 0,00112 | | 1786 |
| CHLOROPHYCEAE | Monoraphidium contortum | 1,5-2x20-30 | 0,00002 | | 893 |
| CHLOROPHYCEAE | Oocystis | 5-6x8-12 | 0,00959 | | 60724 |
| CHLOROPHYCEAE | Sphaerocystis schroeteri | 9-10 | 0,08099 | | 180386 |
| CHRYSOPHYCEAE | Pseudopedinella elastica | 9-11 | 0,01868 | | 35710 |
| CHRYSOPHYCEAE | Pseudopedinella pyriformis | 5-7 | 0,00726 | | 64278 |
| CRYPTOPHYCEAE | Cryptomonas | 10-13x20-26 | 0,45920 | | 360720 |
| CRYPTOPHYCEAE | Cryptomonas | 13-14x26-30 | 0,65064 | | 304608 |
| CRYPTOPHYCEAE | Cryptomonas | 15-18x30-35 | 1,08373 | | 292584 |
| CRYPTOPHYCEAE | Hemiselmis virescens | 3x4-6 | 0,00166 | | 110701 |
| CRYPTOPHYCEAE | Plagioselmis prolonga | 3-4x5-7 | 0,01944 | | 777552 |
| CRYPTOPHYCEAE | Plagioselmis prolonga | 4-5x7-9 | 0,07532 | | 1394784 |
| CRYPTOPHYCEAE | Teleaulax | 4-5x8-11 | 0,00407 | | 67849 |
| CRYPTOPHYCEAE | Teleaulax | 5-6x11-15 | 0,02187 | | 174979 |
| DIATOMOPHYCEAE | Centrales | 3-7 | 0,08721 | | 1362720 |
| DIATOMOPHYCEAE | Centrales | 12-17 | 0,00615 | | 3572 |
| DIATOMOPHYCEAE | Chaetoceros cf. decipiens | 13-17x9-13 | 0,00131 | | 893 |
| DIATOMOPHYCEAE | Fragilaria crotonensis | 4-5x50-80 | 0,02717 | | 46436 |
| DIATOMOPHYCEAE | Tabellaria fenestrata | 6x40-50 | 0,01440 | | 4465 |
| DIATOMOPHYCEAE | Thalassiosira baltica | 40-50 | 0,03194 | | 893 |
| DINOPHYCEAE | Dinophysis acuminata | 53-57 | 0,33929 | | 10716 |
| DINOPHYCEAE | Gymnodiniales | 20-27 | 0,00657 | | 893 |
| DINOPHYCEAE | Gymnodinium | 38-42x45-55 | 0,10020 | | 3572 |
| DINOPHYCEAE | Heterocapsa rotundata | 5-7x10-12 | 0,00283 | | 21426 |
| EBRIIDEA | Ebria tripartita | 23-27 | 0,02300 | | 8037 |
| EBRIIDEA | Ebria tripartita | 33-37 | 0,12623 | | 16074 |
| EBRIIDEA | Ebria tripartita | 37-43 | 0,11516 | | 9823 |
| INCERTAE SEDIS | Katablepharis remigera | 8-10x12-15 | 0,00051 | | 893 |
| INCERTAE SEDIS | Katablepharis remigera | 6-8x8-12 | 0,00137 | | 5358 |
| INCERTAE SEDIS | Leucocryptos | 4x7 | 0,00068 | | 17855 |
| INCERTAE SEDIS | Telonema subtile | 4x7 | 0,00014 | | 3571 |
| LITOSTOMATEA | Mesodinium rubrum | 27-33 | 0,01262 | | 893 |
| LITOSTOMATEA | Mesodinium rubrum | 20-27 | 0,03992 | | 5358 |
| LITOSTOMATEA | Mesodinium rubrum | 16-20 | 0,02192 | | 6251 |
| NOSTOCOPHYCEAE | Aphanizomenon flosaquae | 5x100 | 0,07187 | | 36613 |
| NOSTOCOPHYCEAE | Chroococcales | 2-3 | 0,03322 | | 4152288 |
| NOSTOCOPHYCEAE | Chroococcales | <2 | 0,00015 | | 149982 |
| NOSTOCOPHYCEAE | Dolichospermum | 4-5x100 | 0,00379 | | 3572 |
| NOSTOCOPHYCEAE | Microcystis flos-aquae | 3,5-4,8 | 0,02947 | | 893000 |
| NOSTOCOPHYCEAE | Pseudanabaena | 1,5x100 | 0,00285 | | 16074 |
| NOSTOCOPHYCEAE | Woronichinia compacta | 1,5-3,4x3-5,6 | 0,00549 | | 366130 |
| OTHERS | Flagellates | 3-5 | 0,00617 | | 324961 |
| OTHERS | Flagellates | 5-7 | 0,00114 | | 17855 |
| PRASINOPHYCEAE | Pyramimonas | 5x5-7 | 0,02185 | | 182121 |
| PRASINOPHYCEAE | Pyramimonas | 6x8-10 | 0,04821 | | 178550 |
| PRYMNESIOPHYCEAE | Chrysochromulina | 4-6 | 0,01253 | | 192834 |
| TREBOUXIOPHYCEAE | Mucidosphaerium pulchellum | 6-7 | 0,00308 | | 5358 |
| | Värde | Ref | EK | nEK | |
| Klorofyll | 17,00 | 2,02 | 0,12 | 0,16 | |
| Biovolym | 3,63 | 0,27 | 0,08 | 0,19 | |
| Sammanvägd status, nEK | | | | 0,17 | |



Koviksudde

Det.: Iveta Jurgensone, Pelagia Nature & Environment AB

Provtagningsdatum: 2025-09-10

Analysdatum: 2026-02-23

Typindelning: 24

| Grupp | Taxa | Storlek (µm) | Biovolym (mm ³ /l) | Pot. toxisk | Antal/L |
|----------------|----------------------------|---------------|-------------------------------|-------------|---------|
| CHAROPHYCEAE | Closterium aciculare | 5-6x350-400 | 0,00278 | | 893 |
| CHLOROPHYCEAE | Ankistrodesmus arcuatus | 1,5-2x25-30 | 0,00003 | | 893 |
| CHLOROPHYCEAE | Desmodesmus communis | 4-6x10-13 | 0,00224 | | 3572 |
| CHLOROPHYCEAE | Desmodesmus opoliensis | 3-5x12-14 | 0,00194 | | 4465 |
| CHLOROPHYCEAE | Monoraphidium contortum | 1,5-2x20-30 | 0,00002 | | 893 |
| CHLOROPHYCEAE | Oocystis | 5-6x8-12 | 0,01157 | | 73226 |
| CHLOROPHYCEAE | Oocystis borgei | 8-10x12-15 | 0,00409 | | 7144 |
| CHLOROPHYCEAE | Planktosphaeria gelatinosa | 7-9 | 0,00024 | | 893 |
| CHLOROPHYCEAE | Pseudopediastrum boryanum | 65-75x15-20 | 0,06011 | | 893 |
| CHLOROPHYCEAE | Sphaerocystis Schroeteri | 9-10 | 0,03007 | | 66975 |
| CHRYSOPHYCEAE | Pseudopedinella elastica | 9-11 | 0,00187 | | 3571 |
| CHRYSOPHYCEAE | Pseudopedinella pyriformis | 5-7 | 0,00363 | | 32139 |
| CRYPTOPHYCEAE | Cryptomonas | 10-13x20-26 | 0,05798 | | 45543 |
| CRYPTOPHYCEAE | Cryptomonas | 13-14x26-30 | 0,08965 | | 41971 |
| CRYPTOPHYCEAE | Cryptomonas | 15-18x30-35 | 0,09592 | | 25897 |
| CRYPTOPHYCEAE | Hemiselmis virescens | 3x4-6 | 0,00070 | | 46423 |
| CRYPTOPHYCEAE | Plagioselmis prolonga | 3-4x5-7 | 0,01383 | | 553104 |
| CRYPTOPHYCEAE | Plagioselmis prolonga | 4-5x7-9 | 0,04632 | | 857712 |
| CRYPTOPHYCEAE | Teleaulax | 4-5x8-11 | 0,00043 | | 7142 |
| CRYPTOPHYCEAE | Teleaulax | 5-6x11-15 | 0,00670 | | 53565 |
| DIATOMOPHYCEAE | Actinocyclus octonarius | 33-37 | 0,17132 | | 5358 |
| DIATOMOPHYCEAE | Actinocyclus octonarius | 38-42 | 0,29835 | | 6251 |
| DIATOMOPHYCEAE | Centrales | 3-7 | 0,10722 | | 1675344 |
| DIATOMOPHYCEAE | Chaetoceros cf. decipiens | 13-17x9-13 | 0,12420 | | 84835 |
| DIATOMOPHYCEAE | Fragilaria crotonensis | 4-5x50-80 | 0,40203 | | 687225 |
| DIATOMOPHYCEAE | Rhoicosphenia abbreviata | 5-6x23-27 | 0,00032 | | 893 |
| DIATOMOPHYCEAE | Thalassiosira baltica | 22-27 | 0,04381 | | 7144 |
| DIATOMOPHYCEAE | Thalassiosira baltica | 27-32 | 0,37856 | | 35720 |
| DIATOMOPHYCEAE | Thalassiosira baltica | 32-40 | 0,70629 | | 41971 |
| DIATOMOPHYCEAE | Thalassiosira baltica | 40-50 | 0,67074 | | 18753 |
| DIATOMOPHYCEAE | Thalassiosira baltica | 50-60 | 0,17494 | | 2679 |
| DINOPHYCEAE | Dinophysis acuminata | 53-57 | 0,11310 | | 3572 |
| DINOPHYCEAE | Heterocapsa rotundata | 5-7x10-12 | 0,00189 | | 14284 |
| DINOPHYCEAE | Oblea rotunda | 22-28 | 0,01314 | | 1786 |
| EBRIIDEA | Ebria tripartita | 33-37 | 0,01403 | | 1786 |
| EBRIIDEA | Ebria tripartita | 37-43 | 0,01047 | | 893 |
| INCERTAE SEDIS | Katablepharis remigera | 6-8x8-12 | 0,00686 | | 26790 |
| INCERTAE SEDIS | Leucocryptos | 4x7 | 0,00109 | | 28568 |
| INCERTAE SEDIS | Telonema subtile | 4x7 | 0,00068 | | 17855 |
| LITOSTOMATEA | Mesodinium rubrum | 27-33 | 0,06309 | | 4465 |
| LITOSTOMATEA | Mesodinium rubrum | 45-55 | 0,05842 | | 893 |
| LITOSTOMATEA | Mesodinium rubrum | 33-37 | 0,02004 | | 893 |
| LITOSTOMATEA | Mesodinium rubrum | 37-45 | 0,02991 | | 893 |
| LITOSTOMATEA | Mesodinium rubrum | 16-20 | 0,02505 | | 7144 |
| LITOSTOMATEA | Mesodinium rubrum | 20-27 | 0,07319 | | 9823 |
| NOSTOCOPHYCEAE | Chroococcales | <2 | 0,00014 | | 142840 |
| NOSTOCOPHYCEAE | Chroococcales | 2-3 | 0,04322 | | 5402784 |
| NOSTOCOPHYCEAE | Pseudanabaena | 1,5x100 | 0,00221 | | 12502 |
| NOSTOCOPHYCEAE | Pseudanabaena | 2x100 | 0,00140 | | 4465 |
| NOSTOCOPHYCEAE | Woronichinia compacta | 1,5-3,4x3-5,6 | 0,01460 | | 973370 |

Artlistan fortsätter på nästa sida.

| | | | | |
|-------------------------------|------------------|------------|-----------|------------|
| OTHERS | Flagellates | 5-7 | 0,00137 | 21426 |
| OTHERS | Flagellates | 3-5 | 0,00258 | 135698 |
| PRASINOPHYCEAE | Pyramimonas | 5x5-7 | 0,00343 | 28568 |
| PRASINOPHYCEAE | Pyramimonas | 6x8-10 | 0,00771 | 28568 |
| PRYMNESIOPHYCEAE | Chrysochromulina | 4-6 | 0,00928 | 142840 |
| | Värde | Ref | EK | nEK |
| Klorofyll | 25,00 | 2,00 | 0,08 | 0,11 |
| Biovolym | 4,02 | 0,27 | 0,07 | 0,17 |
| Sammanvägd status, nEK | | | | 0,14 |

Koviksudde

Det.: Jonas Forsberg, Pelagia Nature & Environment AB

Provtagningsdatum: 2025-09-23

Analysdatum: 2026-03-02

Typindelning: 24

| Grupp | Taxa | Storlek (µm) | Biovolym (mm ³ /l) | Pot. toxisk | Antal/L |
|----------------------------|----------------------------|---------------|-------------------------------|-------------|---------|
| Bacillariophyceae | Actinocyclus | 28-32 | 0,08568 | | 4182 |
| Bacillariophyceae | Actinocyclus | 38-42 | 0,19960 | | 4182 |
| Bacillariophyceae | Actinocyclus | 50-60 | 0,05701 | | 672 |
| Bacillariophyceae | Actinocyclus | 60-70 | 0,04705 | | 336 |
| Bacillariophyceae | Chaetoceros | 8x8 | 0,00561 | | 16406 |
| Bacillariophyceae | Chaetoceros wighamii | 12x5 | 0,00331 | | 8363 |
| Bacillariophyceae | Chaetoceros wighamii | 25-30x6-10 | 0,03575 | | 12545 |
| Bacillariophyceae | Chaetoceros wighamii | 8x8 | 0,00858 | | 25090 |
| Bacillariophyceae | Chaetoceros wighamii | 11-12x11-12 | 0,00128 | | 1343 |
| Bacillariophyceae | Chaetoceros wighamii | 15-16x15-16 | 0,00471 | | 2015 |
| Bacillariophyceae | Coscinodiscus | 30-40 | 0,01582 | | 672 |
| Bacillariophyceae | Diatoma vulgare | 8-12x25-35 | 0,01970 | | 8363 |
| Bacillariophyceae | Fragilaria crotonensis | 5-6x100-130 | 0,02920 | | 18469 |
| Bacillariophyceae | Pennales | 4-5x10-15 | 0,00185 | | 16406 |
| Bacillariophyceae | Pennales | 7-9x70-100 | 0,00080 | | 336 |
| Bacillariophyceae | Pennales | 4-6x35-50 | 0,00176 | | 4182 |
| Bacillariophyceae | Rhizosolenia longiseta | 4-7x70-120 | 0,01698 | | 8363 |
| Bacillariophyceae | Synedra ulna | 5-10x240-300 | 0,00204 | | 336 |
| Chlorophyceae | Ankistrodesmus arcuatus | 1.5-2x25-30 | 0,00132 | | 37634 |
| Chlorophyceae | Chlamydomonas | 6-10 | 0,01017 | | 32812 |
| Chlorophyceae | Chlorophyceae | 2-4 | 0,00161 | | 114843 |
| Chlorophyceae | Coelastrum astroideum | 6 | 0,00473 | | 41816 |
| Chlorophyceae | Coelastrum astroideum | 8 | 0,00897 | | 33453 |
| Chlorophyceae | Desmodesmus armatus | 3-3.5x8-12 | 0,00092 | | 4182 |
| Chlorophyceae | Desmodesmus armatus | 4-5x12-16 | 0,00496 | | 8363 |
| Chlorophyceae | Desmodesmus bicellularis | 2-3x4-6 | 0,00108 | | 32812 |
| Chlorophyceae | Desmodesmus communis | 3-4x10-12 | 0,00463 | | 16406 |
| Chlorophyceae | Desmodesmus communis | 7x17-20 | 0,00794 | | 4182 |
| Chlorophyceae | Monoraphidium | 1-2x8-12 | 0,00103 | | 114843 |
| Chlorophyceae | Monoraphidium contortum | 1.2-1.5x15-20 | 0,00010 | | 12545 |
| Chlorophyceae | Monoraphidium komarkovae | 1.5x30-50 | 0,00030 | | 12545 |
| Chlorophyceae | Pseudopediastrum boryanum | 25-35x5-7 | 0,00142 | | 336 |
| Chlorophyceae | Sphaerocystis Schroeteri | 5-6 | 0,05567 | | 639838 |
| Chlorophyceae | Treubaria triappendiculata | 6-8 | 0,00295 | | 16406 |
| Cryptophyceae | Cryptomonas | 7-8x16-18 | 0,02342 | X | 58542 |
| Cryptophyceae | Cryptomonas | 10-13x20-26 | 0,10110 | X | 79450 |
| Cryptophyceae | Cryptomonas | 13-14x26-30 | 0,27690 | X | 129630 |
| Cryptophyceae | Cryptomonas | 15-18x30-35 | 0,20140 | X | 54361 |
| Cryptophyceae | Hemiselmis | 3x4-6 | 0,00123 | | 82031 |
| Cryptophyceae | Plagioselmis | 3-4x5-7 | 0,00410 | | 164061 |
| Cryptophyceae | Plagioselmis | 4-5x7-9 | 0,00975 | | 180467 |
| Cryptophyceae | Plagioselmis | 5-7x7-9 | 0,00171 | | 16406 |
| Cryptophyceae | Teleaulax | 6-7x13-16 | 0,00940 | | 49218 |
| Cryptophyceae | Teleaulax | 6-8x15-19 | 0,04003 | | 131249 |
| Cryptophyta incertae sedis | Katablepharis | 5-6x7-9 | 0,00208 | | 16406 |
| Cryptophyta incertae sedis | Katablepharis | 6-8x8-12 | 0,00420 | | 16406 |
| Cyanophyceae | Aphanizomenon | 4x100 | 0,00337 | X | 2686 |
| Cyanophyceae | Cuspidothrix issatschenkoi | 4.5x100 | 0,02659 | X | 16726 |
| Cyanophyceae | Dolichospermum | 4-5x100 | 0,00443 | X | 4182 |
| Cyanophyceae | Gomphosphaeria aponina | 4-6.5x8-12 | 0,00297 | | 20908 |
| Cyanophyceae | Oscillatoriales | 3x100 | 1,03500 | | 1463543 |

Artlistan fortsätter på nästa sida.

UNDERSÖKNING, VÄXTPLANKTON: SKÄRGÅRDSSNITT 2025

| | | | | | |
|---------------------------------|----------------------------|---------------|-----------|------------|---------|
| Cyanophyceae | Snowella lacustris | 1.5-3.5x2-4 | 0,00005 | X | 4701 |
| Cyanophyceae | Woronichinia compacta | 1.5-3.4x3-5.6 | 0,05788 | | 196873 |
| Cyanophyceae | Woronichinia naegeliana | 1.5-5x4.5-6 | 0,00127 | | 2686 |
| Dinophyceae | Ceratium hirundinella | 50-60 | 0,01973 | | 336 |
| Dinophyceae | Dinophyceae | 10-15 | 0,01677 | | 16406 |
| Dinophyceae | Dinophyceae | 15-20 | 0,00188 | | 672 |
| Dinophyceae | Dinophyceae | 25-30 | 0,04551 | | 4182 |
| Dinophyceae | Dinophyceae | 45 | 0,03203 | | 672 |
| Dinophyceae | Gymnodinium | 4-6x5-10 | 0,00118 | X | 16406 |
| Dinophyceae | Phalacroma rotundatum | 45-55 | 0,00989 | X | 672 |
| Dinophyceae | Protoperidinium | 35x40 | 0,05780 | | 4182 |
| Klebsormidiophyceae | Elakatothrix genevensis | 4-6x25-35 | 0,00082 | | 4182 |
| Klebsormidiophyceae | Elakatothrix genevensis | 4-6x25-35 | 0,00013 | | 336 |
| Litostomatea | Mesodinium rubrum | 20-27 | 0,03116 | | 4182 |
| Litostomatea | Mesodinium rubrum | 33-37 | 0,00754 | | 336 |
| Litostomatea | Mesodinium rubrum | 45-55 | 0,02197 | | 336 |
| Pyramimonadophyceae | Pyramimonas | 4x3 | 0,00079 | | 32812 |
| Pyramimonadophyceae | Pyramimonas | 5-7x5 | 0,00984 | | 82031 |
| Trebouxiophyceae | Crucigenia quadrata | 5-6 | 0,00012 | | 336 |
| Trebouxiophyceae | Mucidosphaerium pulchellum | 3-4 | 0,00443 | | 49218 |
| Trebouxiophyceae | Oocystis | 5-6x8-12 | 0,00529 | | 33453 |
| Trebouxiophyceae | Oocystis | 6-8x12-17 | 0,00075 | | 2015 |
| Unicells classes incertae sedis | Unicell | <2 | 0,00591 | | 1476549 |
| Unicells classes incertae sedis | Unicell | 2-3 | 0,02467 | | 3084347 |
| Unicells classes incertae sedis | Unicell | 3-5 | 0,03032 | | 918742 |
| Zygnematophyceae | Closterium | 10-11x150-250 | 0,00281 | | 336 |
| Zygnematophyceae | Closterium acutum | 4x100-150 | 0,00035 | | 672 |
| Zygnematophyceae | Mougeotia | 6-7x60-90 | 0,00752 | | 3022 |
| | Värde | Ref | EK | nEK | |
| Klorofyll | 9,30 | 2,19 | 0,24 | 0,29 | |
| Biovolym | 2,79 | 0,31 | 0,11 | 0,24 | |
| Sammanvägd status, nEK | | | | 0,26 | |

Koviksudde

Det.: Jonas Forsberg, Pelagia Nature & Environment AB

Provtagningsdatum: 2025-10-08

Analysdatum: 2026-02-25

Typindelning: 24

| Grupp | Taxa | Storlek (µm) | Biovolym (mm ³ /l) | Pot. toxisk | Antal/L |
|----------------------------|---------------------------------------------|---------------|-------------------------------|-------------|---------|
| Bacillariophyceae | Acanthoceras zachariasii | 20-25x60-80 | 0,00334 | | 338 |
| Bacillariophyceae | Actinocyclus | 33-37 | 0,01081 | | 338 |
| Bacillariophyceae | Asterionella formosa | 3-4x60-80 | 0,00435 | | 5070 |
| Bacillariophyceae | Aulacoseira granulata | 4-7x25-35 | 0,03469 | | 50498 |
| Bacillariophyceae | Belonastrum berolinensis | 2.5-3x30-40 | 0,00031 | | 1352 |
| Bacillariophyceae | Centrales | 7-12 | 0,27790 | | 544863 |
| Bacillariophyceae | Centrales | 22-27 | 0,02581 | | 4208 |
| Bacillariophyceae | Coscinodiscus | 40-50 | 0,01692 | | 338 |
| Bacillariophyceae | Coscinodiscus | 50-60 | 0,02649 | | 338 |
| Bacillariophyceae | Coscinodiscus | 60-70 | 0,54430 | | 4208 |
| Bacillariophyceae | Fragilaria crotonensis | 4-5x50-80 | 0,00246 | | 4208 |
| Bacillariophyceae | Fragilaria crotonensis | 5-6x100-130 | 0,00748 | | 4732 |
| Bacillariophyceae | Fragilaria crotonensis | 4-5x80-100 | 0,00521 | | 4208 |
| Bacillariophyceae | Nitzschia | 3x8-12 | 0,00223 | X | 49533 |
| Bacillariophyceae | Rhizosolenia longiseta | 4-7x120-160 | 0,03777 | | 12625 |
| Bacillariophyceae | Skeletonema | 3x9-14 | 0,00008 | | 1014 |
| Bacillariophyceae | Tabellaria flocculosa var. asterionelloides | 6-8x80-90 | 0,00986 | | 4732 |
| Bacillariophyceae | Thalassiosira baltica | 22-27 | 0,02581 | | 4208 |
| Bacillariophyceae | Thalassiosira baltica | 27-32 | 0,04460 | | 4208 |
| Chlorophyceae | Ankistrodesmus arcuatus | 1.5-2x25-30 | 0,00015 | | 4208 |
| Chlorophyceae | Ankistrodesmus arcuatus | 2x35-45 | 0,00005 | | 676 |
| Chlorophyceae | Chlamydomonas | 5-6 | 0,00152 | | 16511 |
| Chlorophyceae | Chlamydomonas | 6-10 | 0,01024 | | 33022 |
| Chlorophyceae | Chlamydomonas | 10-15 | 0,01687 | | 16511 |
| Chlorophyceae | Chlamydomonas | 12x15 | 0,01866 | | 16511 |
| Chlorophyceae | Chlorophyceae | 2-4 | 0,00046 | | 33022 |
| Chlorophyceae | Desmodesmus armatus | 8-9x16-18 | 0,00414 | | 1690 |
| Chlorophyceae | Desmodesmus opoliensis | 3-5x12-14 | 0,00015 | | 338 |
| Chlorophyceae | Monoraphidium | 1-2x8-12 | 0,00015 | | 16511 |
| Chlorophyceae | Monoraphidium contortum | 1.2-1.5x15-20 | 0,00000 | | 338 |
| Chlorophyceae | Monoraphidium dybowskii | 2-6x8-12 | 0,00139 | | 16511 |
| Chlorophyceae | Pseudopediastrum boryanum | 35-45x7-10 | 0,00361 | | 338 |
| Chlorophyceae | Scenedesmus | 3-4x6-8 | 0,00076 | | 4208 |
| Cryptophyceae | Cryptomonas | 7-8x16-18 | 0,02020 | X | 50498 |
| Cryptophyceae | Cryptomonas | 10-13x20-26 | 0,13930 | X | 109413 |
| Cryptophyceae | Cryptomonas | 13-14x26-30 | 0,71010 | X | 332448 |
| Cryptophyceae | Hemiselmis | 3x4-6 | 0,00074 | | 49533 |
| Cryptophyceae | Plagioselmis | 3-4x5-7 | 0,00206 | | 82555 |
| Cryptophyceae | Teleaulax | 6-7x13-16 | 0,01892 | | 99066 |
| Cryptophyceae | Teleaulax | 6-8x15-19 | 0,09065 | | 297198 |
| Cryptophyta incertae sedis | Katablepharis | 5-6x7-9 | 0,00419 | | 33022 |
| Cyanophyceae | Aphanizomenon | 5x100 | 0,08261 | X | 42082 |
| Cyanophyceae | Cuspidothrix issatschenkoi | 4.5x100 | 0,00323 | X | 2028 |
| Cyanophyceae | Dolichospermum | 4-5x100 | 0,00161 | X | 1014 |
| Cyanophyceae | Gomphosphaeria aponina | 4-6.5x8-12 | 0,00077 | | 5408 |
| Cyanophyceae | Limnococcus limneticus | 6-8 | 0,00024 | | 1352 |
| Cyanophyceae | Microcystis | 3-7 | 0,00310 | X | 2366 |
| Cyanophyceae | Oscillatoriales | 3x100 | 1,50500 | | 2129375 |
| Cyanophyceae | Snowella septentrionalis | 1.2-3.4 | 0,00258 | | 429286 |
| Cyanophyceae | Woronichinia compacta | 1.5-3.4x3-5.6 | 0,11160 | | 379753 |
| Dictyochophyceae | Pseudopedinella | 9-11 | 0,00864 | | 16511 |

Artlistan fortsätter på nästa sida.

UNDERSÖKNING, VÄXTPLANKTON: SKÄRGÅRDSSNITT 2025

| | | | | | |
|---------------------------------|-------------------------------|------------|-----------|------------|---------|
| Dinophyceae | Gymnodinium | 4-6x5-10 | 0,00713 | X | 99066 |
| Dinophyceae | Heterocapsa minima | 7-9 | 0,00170 | | 16511 |
| Dinophyceae | Heterocapsa rotundata | 5-7x10-12 | 0,00218 | | 16511 |
| Dinophyceae | Peridinales | 20-27 | 0,00221 | | 338 |
| Litostomatea | Mesodinium rubrum | 20-27 | 0,18810 | | 25249 |
| Litostomatea | Mesodinium rubrum | 27-33 | 0,05946 | | 4208 |
| Litostomatea | Mesodinium rubrum | 45-55 | 0,27530 | | 4208 |
| Pyramimonadophyceae | Pyramimonas | 4x3 | 0,00119 | | 49533 |
| Pyramimonadophyceae | Pyramimonas | 5-7x5 | 0,03566 | | 297198 |
| Telonemea | Telonema subtile | 4x7 | 0,00126 | | 33022 |
| Thecofilosea | Ebria tripartita | 33-37 | 0,03305 | | 4208 |
| Thecofilosea | Ebria tripartita | 37-43 | 0,09867 | | 8416 |
| Trebouxiophyceae | Crucigenia quadrata | 5-6 | 0,00035 | | 1014 |
| Trebouxiophyceae | Dictyosphaerium subsolitarium | 3 | 0,00094 | | 16511 |
| Trebouxiophyceae | Koliella longiseta | 1.5x70-100 | 0,00003 | | 338 |
| Trebouxiophyceae | Oocystis borgei | 6-8x8-12 | 0,03804 | | 148599 |
| Unicells classes incertae sedis | Unicell | <2 | 0,00225 | | 561372 |
| Unicells classes incertae sedis | Unicell | 2-3 | 0,02827 | | 3533343 |
| Unicells classes incertae sedis | Unicell | 3-5 | 0,02288 | | 693460 |
| Zygnematophyceae | Closterium acutum | 4x100-150 | 0,00889 | | 16833 |
| Zygnematophyceae | Mougeotia | 6-7x60-90 | 0,01765 | | 7098 |
| | Värde | Ref | EK | nEK | |
| Klorofyll | 17,00 | 2,29 | 0,13 | 0,18 | |
| Biovolym | 4,67 | 0,33 | 0,07 | 0,18 | |
| Sammanvägd status, nEK | | | | 0,18 | |



PELAGIA

Koviksudde

Det.: Jonas Forsberg, Pelagia Nature & Environment AB

Provtagningsdatum: 2025-10-21

Analysdatum: 2026-03-04

Typindelning: 24

| Grupp | Taxa | Storlek (µm) | Biovolym (mm ³ /l) | Pot. toxisk | Antal/L |
|----------------------------|----------------------------|---------------|-------------------------------|-------------|---------|
| Bacillariophyceae | Actinocyclus | 38-42 | 0,03205 | | 672 |
| Bacillariophyceae | Asterionella formosa | 3-4x80-100 | 0,00333 | | 3022 |
| Bacillariophyceae | Aulacoseira granulata | 4-7x25-35 | 0,01149 | | 16726 |
| Bacillariophyceae | Centrales | 12-17 | 0,31080 | | 180467 |
| Bacillariophyceae | Chaetoceros wighamii | 9x9 | 0,00016 | | 336 |
| Bacillariophyceae | Chaetoceros wighamii | 15-16x15-16 | 0,00978 | | 4182 |
| Bacillariophyceae | Diatoma vulgare | 5-6x15-25 | 0,00495 | | 10410 |
| Bacillariophyceae | Fragilaria crotonensis | 4-5x50-80 | 0,00245 | | 4182 |
| Bacillariophyceae | Fragilaria crotonensis | 5-6x100-130 | 0,00053 | | 336 |
| Bacillariophyceae | Navicula GRP | 18-22x70-90 | 0,00967 | | 672 |
| Bacillariophyceae | Pennales | 4-6x15-25 | 0,00007 | | 336 |
| Bacillariophyceae | Pennales | 5-8x180-210 | 0,01998 | | 4182 |
| Bacillariophyceae | Pennales | 4-6x35-50 | 0,00176 | | 4182 |
| Bacillariophyceae | Pennales | 4-6x50-70 | 0,00020 | | 336 |
| Bacillariophyceae | Synedra ulna | 5-10x80-140 | 0,00083 | | 336 |
| Bacillariophyceae | Synedra ulna | 5-10x240-300 | 0,00204 | | 336 |
| Bacillariophyceae | Thalassiosira baltica | 40-50 | 0,14960 | | 4182 |
| Bicosoecophyceae | Bicosoeca | 1-3x3-5 | 0,00003 | | 4030 |
| Chlorophyceae | Ankistrodesmus arcuatus | 1.5-2x15-20 | 0,00001 | | 672 |
| Chlorophyceae | Ankistrodesmus arcuatus | 2x35-45 | 0,00140 | | 20908 |
| Chlorophyceae | Chlamydomonas | 10-15 | 0,01677 | | 16406 |
| Chlorophyceae | Chlorophyceae | 2-4 | 0,00115 | | 82031 |
| Chlorophyceae | Desmodesmus armatus | 3-3.5x8-12 | 0,00092 | | 4182 |
| Chlorophyceae | Desmodesmus armatus | 8-9x16-18 | 0,00082 | | 336 |
| Chlorophyceae | Kirchneriella | 3-5x9-11 | 0,00281 | | 33453 |
| Chlorophyceae | Monoraphidium contortum | 2-3x20-30 | 0,00001 | | 336 |
| Chlorophyceae | Monoraphidium dybowskii | 2-6x8-12 | 0,00138 | | 16406 |
| Chlorophyceae | Monoraphidium komarkovae | 2-3x30-50 | 0,00027 | | 4182 |
| Cryptophyceae | Cryptomonas | 7-8x16-18 | 0,01969 | X | 49218 |
| Cryptophyceae | Cryptomonas | 10-13x20-26 | 0,22970 | X | 180467 |
| Cryptophyceae | Cryptomonas | 13-14x26-30 | 0,14020 | X | 65624 |
| Cryptophyceae | Plagioselmis | 4-5x7-9 | 0,00089 | | 16406 |
| Cryptophyceae | Teleaulax | 4-5x8-11 | 0,00098 | | 16406 |
| Cryptophyceae | Teleaulax | 6-8x15-19 | 0,02002 | | 65624 |
| Cryptophyta incertae sedis | Katablepharis | 5-6x7-9 | 0,00625 | | 49218 |
| Cyanophyceae | Aphanizomenon | 4x100 | 0,04202 | X | 33453 |
| Cyanophyceae | Cuspidothrix issatschenkoi | 4.5x100 | 0,03324 | X | 20908 |
| Cyanophyceae | Planktolyngbya | 2.5x100 | 0,25250 | | 514337 |
| Cyanophyceae | Pseudanabaena | 2x100 | 0,11290 | | 359618 |
| Cyanophyceae | Snowella | 1-4 | 0,00210 | X | 262498 |
| Cyanophyceae | Woronichinia compacta | 1.5-3.4x3-5.6 | 0,08200 | | 278904 |
| Dictyochophyceae | Pseudopedinella | 9-11 | 0,00858 | | 16406 |
| Dinophyceae | Amphidinium | 15-20 | 0,01718 | X | 16406 |
| Dinophyceae | Dinophyceae | 40 | 0,01125 | | 336 |
| Dinophyceae | Gymnodinium | 4-6x5-10 | 0,00473 | X | 65624 |
| Dinophyceae | Noctiluca scintillans | 150-300 | 2,00200 | | 336 |
| Euglenophyceae | Eutreptiella | 9-11x40-60 | 0,00176 | | 672 |
| Euglenophyceae | Eutreptiella | 5-7x15-20 | 0,02166 | | 65624 |
| Litostomatea | Mesodinium rubrum | 45-55 | 0,27350 | | 4182 |
| Litostomatea | Mesodinium rubrum | 55-65 | 0,03796 | | 336 |
| Pyramimonadophyceae | Pyramimonas | 8-10x6 | 0,00443 | | 16406 |

Artlistan fortsätter på nästa sida.

UNDERSÖKNING, VÄXTPLANKTON: SKÄRGÅRDSSNITT 2025

| | | | | |
|---------------------------------|-----------------------|---------------|-----------|------------|
| Thecofilosea | Ebria tripartita | 37-43 | 0,00787 | 672 |
| Trebouxiophyceae | Koliella longiseta | 1.5x70-100 | 0,00033 | 4182 |
| Trebouxiophyceae | Neglectella solitaria | 15-20x22-25 | 0,00127 | 336 |
| Trebouxiophyceae | Oocystis | 4-5x7-8 | 0,00648 | 82031 |
| Trebouxiophyceae | Oocystis | 6-8x12-17 | 0,02441 | 65624 |
| Unicells classes incertae sedis | Unicell | <2 | 0,00486 | 1214051 |
| Unicells classes incertae sedis | Unicell | 2-3 | 0,01759 | 2198417 |
| Unicells classes incertae sedis | Unicell | 3-5 | 0,02382 | 721868 |
| Zygnematophyceae | Closterium | 10-11x150-250 | 0,00281 | 336 |
| Zygnematophyceae | Closterium | 30x150-200 | 0,26790 | 4182 |
| Zygnematophyceae | Mougeotia | 6-7x60-90 | 0,02088 | 8395 |
| | Värde | Ref | EK | nEK |
| Klorofyll | 12,00 | 2,25 | 0,19 | 0,24 |
| Biovolym | 4,29 | 0,32 | 0,08 | 0,19 |
| Sammanvägd status, nEK | | | | 0,21 |



PELAGIA

Koviksudde

Det.: Jon Karlsson, Pelagia Nature & Environment AB

Provtagningsdatum: 2025-11-11

Analysdatum: 2026-02-09

Typindelning: 24

| Grupp | Taxa | Storlek (µm) | Biovolym (mm ³ /l) | Pot. toxisk | Antal/L |
|---------------------------------|---------------------------------|---------------|-------------------------------|-------------|---------|
| Bacillariophyceae | Asterionella formosa | 3-4x40-60 | 0,00097 | | 1590 |
| Bacillariophyceae | Aulacoseira distans | 6-10x6-10 | 0,01414 | | 35171 |
| Bacillariophyceae | Aulacoseira granulata | 7-9x26-30 | 0,00252 | | 1788 |
| Bacillariophyceae | Centrales | 7-12 | 0,00448 | | 8793 |
| Bacillariophyceae | Centrales | 17-22 | 0,00690 | | 2198 |
| Bacillariophyceae | Centrales | 32-40 | 0,01672 | | 994 |
| Bacillariophyceae | Pennales | 4-6x70-100 | 0,00017 | | 199 |
| Bacillariophyceae | Rhizosolenia longiseta | 4-7x70-120 | 0,01785 | | 8793 |
| Chlorophyceae | Chlorophyceae | 4-6 | 0,00743 | | 114306 |
| Chlorophyceae | Desmodesmus bicellularis | 2-3x4-6 | 0,00087 | | 26378 |
| Chlorophyceae | Monoraphidium | 2-3x40-50 | 0,00104 | | 8793 |
| Chlorophyceae | Monoraphidium contortum | 1,5-2x20-30 | 0,00018 | | 8793 |
| Chrysophyceae | Mallomonas akrokomos | 6-7x20-22 | 0,00326 | | 8793 |
| Cryptophyceae | Cryptomonas | 10-13x20-26 | 0,02239 | X | 17586 |
| Cryptophyceae | Cryptomonas | 13-14x26-30 | 0,00297 | X | 1391 |
| Cryptophyceae | Cryptophyceae | 10-13x15-20 | 0,01704 | | 17586 |
| Cryptophyceae | Cryptophyceae | 4,5x8 | 0,00142 | | 26378 |
| Cryptophyceae | Hemiselmis | 3x4-6 | 0,00079 | | 52757 |
| Cryptophyceae | Plagioselmis | 3-4x5-7 | 0,00154 | | 61550 |
| Cryptophyceae | Plagioselmis | 4-5x7-9 | 0,00047 | | 8793 |
| Cryptophyceae | Teleaulax | 5-6x11-15 | 0,00220 | | 17586 |
| Cyanophyceae | Aphanizomenon klebahnii | 5x100 | 0,02158 | | 10991 |
| Cyanophyceae | Planktolyngbya | 1,5x100 | 0,02023 | | 114306 |
| Cyanophyceae | Pseudanabaena | 2x100 | 0,15740 | | 501190 |
| Cyanophyceae | Pseudanabaena | 1,5x10 | 0,00380 | | 211027 |
| Cyanophyceae | Woronichinia | 2-5 | 0,00369 | | 615496 |
| Cyanophyceae | Woronichinia compacta | 1,5-3,4x3-5,6 | 0,00528 | | 351712 |
| Dinophyceae | Dinophyceae | 10-15 | 0,00899 | | 8793 |
| Euglenophyceae | Trachelomonas | 6-10x10-15 | 0,00406 | | 8793 |
| Litostomatea | Mesodinium rubrum | 16-20 | 0,00771 | | 2198 |
| Litostomatea | Mesodinium rubrum | 20-27 | 0,00296 | | 397 |
| Trebouxiophyceae | Koliella | 2x30 | 0,00132 | | 26378 |
| Unicells classes incertae sedis | Unicells species incertae sedis | <2 | 0,00338 | | 844109 |
| Unicells classes incertae sedis | Unicells species incertae sedis | 2-3 | 0,00929 | | 1160650 |
| Unicells classes incertae sedis | Unicells species incertae sedis | 3-5 | 0,01277 | | 386883 |
| Zygnematophyceae | Closterium aciculare | 5-6x350-400 | 0,02056 | | 6595 |
| | Värde | Ref | EK | nEK | |
| Klorofyll | 3,50 | 2,63 | 0,75 | 0,72 | |
| Biovolym | 0,41 | 0,41 | 1,00 | 1,00 | |
| Sammanvägd status, nEK | | | | 0,86 | |

Koviksudde

Det.: Jon Karlsson, Pelagia Nature & Environment AB

Provtagningsdatum: 2025-12-15

Analysdatum: 2026-02-12

Typindelning: 24

| Grupp | Taxa | Storlek (µm) | Biovolum (mm ³ /l) | Pot. toxisk | Antal/L |
|---------------------------------|---------------------------------|---------------|-------------------------------|-------------|---------|
| Bacillariophyceae | Aulacoseira | 7x15-20 | 0,01036 | | 15387 |
| Bacillariophyceae | Centrales | 3-7 | 0,00113 | | 17586 |
| Bacillariophyceae | Centrales | 17-22 | 0,00125 | | 397 |
| Bacillariophyceae | Centrales | 27-32 | 0,00211 | | 199 |
| Bacillariophyceae | Centrales | 32-40 | 0,03699 | | 2198 |
| Bacillariophyceae | Fragilaria | 7-8x60-80 | 0,00532 | | 2583 |
| Chlorophyceae | Chlorophyceae | 4-6 | 0,00743 | | 114306 |
| Chlorophyceae | Chlorophyceae | 6-8 | 0,00158 | | 8793 |
| Chlorophyceae | Desmodesmus opoliensis | 3-5x12-14 | 0,00096 | | 2198 |
| Chlorophyceae | Monoraphidium contortum | 1,2-1,5x15-20 | 0,00028 | | 35171 |
| Chlorophyceae | Monoraphidium contortum | 1,5-2x20-30 | 0,00018 | | 8793 |
| Choanoflagellata | Choanoflagellata | 4x5 | 0,00037 | | 8793 |
| Cryptophyceae | Cryptomonas | 13-14x26-30 | 0,00470 | X | 2198 |
| Cryptophyceae | Cryptophyceae | 4,5x8 | 0,00095 | | 17586 |
| Cryptophyceae | Hemiselmis | 3x4-6 | 0,00026 | | 17586 |
| Cryptophyceae | Plagioselmis | 3-4x5-7 | 0,00044 | | 17586 |
| Cyanophyceae | Aphanizomenon klebahnii | 5x100 | 0,00432 | | 2198 |
| Cyanophyceae | Cyanophyceae | 2 | 0,00039 | | 96721 |
| Cyanophyceae | Planktolyngbya | 2,5x100 | 0,00432 | | 8793 |
| Cyanophyceae | Pseudanabaena | 2x100 | 0,00552 | | 17586 |
| Cyanophyceae | Pseudanabaena | 1,5x10 | 0,00095 | | 52757 |
| Cyanophyceae | Woronichinia | 2-5 | 0,00008 | | 13909 |
| Cyanophyceae | Woronichinia compacta | 1,5-3,4x3-5,6 | 0,00132 | | 87928 |
| Dinophyceae | Dinophyceae | 40 | 0,07362 | | 2198 |
| Trebouxiophyceae | Oocystis | 5-6x8-12 | 0,00278 | | 17586 |
| Unicells classes incertae sedis | Unicells species incertae sedis | <2 | 0,00331 | | 826523 |
| Unicells classes incertae sedis | Unicells species incertae sedis | 2-3 | 0,00295 | | 369298 |
| Unicells classes incertae sedis | Unicells species incertae sedis | 3-5 | 0,00290 | | 87928 |
| Zygnematophyceae | Closterium | 4-5x80-100 | 0,00168 | | 2198 |
| | Värde | Ref | EK | nEK | |
| Klorofyll | 1,00 | 4,24 | 1,00 | 1,00 | |
| Biovolum | 0,18 | 0,82 | 1,00 | 1,00 | |
| Sammanvägd status, nEK | | | | 1,00 | |



NV Eknö

Det.: Jon Karlsson, Pelagia Nature & Environment AB

Provtagningsdatum: 2025-02-19

Analysdatum: 2025-09-19

Typindelning: 24

| Grupp | Taxa | Storlek (µm) | Biovolym (mm ³ /l) | Pot. toxisk | Antal/L |
|---------------------------------|---------------------------------|--------------|-------------------------------|-------------|---------|
| Bacillariophyceae | Centrales | 22-27 | 0,00125 | | 203 |
| Bacillariophyceae | Centrales | 32-40 | 0,00342 | | 203 |
| Bacillariophyceae | Centrales | 50-60 | 0,01328 | | 203 |
| Bacillariophyceae | Chaetoceros | 6-8x11-13 | 0,00248 | | 7668 |
| Bacillariophyceae | Chaetoceros | 7x7 | 0,00351 | | 15336 |
| Bacillariophyceae | Pennales | 10-12x70-110 | 0,00073 | | 203 |
| Bacillariophyceae | Skeletonema | 3-4x11-15 | 0,02612 | | 208953 |
| Bacillariophyceae | Skeletonema | 4x7-8 | 0,02311 | | 245376 |
| Bacillariophyceae | Skeletonema | 6x7-10 | 0,04508 | | 199368 |
| Bacillariophyceae | Thalassiosira | 22-27 | 0,02351 | | 3834 |
| Bacillariophyceae | Thalassiosira | 32-40 | 0,00685 | | 407 |
| Bacillariophyceae | Thalassiosira | 50-60 | 0,25040 | | 3834 |
| Chlorophyceae | Chlorophyceae | 2-4 | 0,00064 | | 46009 |
| Chlorophyceae | Chlorophyceae | 6-8 | 0,00414 | | 23004 |
| Choanoflagellata | Choanoflagellata | 3x8 | 0,00029 | | 7668 |
| Cryptophyceae | Hemiselmis | 4x7 | 0,00058 | | 15336 |
| Cryptophyceae | Plagioselmis | 3-4x5-7 | 0,00077 | | 30672 |
| Cryptophyceae | Plagioselmis | 4-5x7-9 | 0,00041 | | 7668 |
| Cyanophyceae | Planktolyngbya | 1,5x100 | 0,00407 | | 23004 |
| Dinophyceae | Dinophyceae | <10 | 0,00401 | | 7668 |
| Dinophyceae | Dinophyceae | 20-25 | 0,04571 | | 7668 |
| Dinophyceae | Dinophyceae | 25-30 | 0,02086 | | 1917 |
| Euglenophyceae | Eutreptiella | 7-9x20-25 | 0,00578 | | 7668 |
| Litostomatea | Mesodinium rubrum | 14-16 | 0,05079 | | 23004 |
| Litostomatea | Mesodinium rubrum | 16-20 | 0,02688 | | 7668 |
| Litostomatea | Mesodinium rubrum | 27-33 | 0,02709 | | 1917 |
| Litostomatea | Mesodinium rubrum | 37-45 | 0,06421 | | 1917 |
| Pyramimonadophyceae | Pyramimonas | 5-7x5 | 0,00552 | | 46009 |
| Unicells classes incertae sedis | Unicells species incertae sedis | <2 | 0,00123 | | 306722 |
| Unicells classes incertae sedis | Unicells species incertae sedis | 2-3 | 0,00172 | | 214705 |
| Unicells classes incertae sedis | Unicells species incertae sedis | 3-5 | 0,00202 | | 61344 |
| | Värde | Ref | EK | nEK | |
| Klorofyll | 1,90 | 2,13 | 1,00 | 1,00 | |
| Biovolym | 0,67 | 0,30 | 0,45 | 0,53 | |
| Sammanvägd status, nEK | | | | 0,76 | |



NV Eknö

Det.: Jon Karlsson, Pelagia Nature & Environment AB

Provtagningsdatum: 2025-03-12

Analysdatum: 2025-09-22

Typindelning: 24

| Grupp | Taxa | Storlek (µm) | Biovolym (mm ³ /l) | Pot. toxisk | Antal/L |
|---------------------------------|---------------------------------|--------------|-------------------------------|-------------|---------|
| Bacillariophyceae | Centrales | 12-17 | 0,05266 | | 30579 |
| Bacillariophyceae | Centrales | 50-60 | 0,06240 | | 956 |
| Bacillariophyceae | Chaetoceros | 6x6 | 0,01486 | | 103205 |
| Bacillariophyceae | Chaetoceros | 5-6x7 | 0,00089 | | 7645 |
| Bacillariophyceae | Nitzschia cf. acicularis | 3x35-45 | 0,00144 | | 7645 |
| Bacillariophyceae | Pennales | 7-9x70-100 | 0,00227 | | 956 |
| Bacillariophyceae | Pennales | 4-6x25-35 | 0,00344 | | 11467 |
| Bacillariophyceae | Pennales | 4-6x35-50 | 0,00161 | | 3822 |
| Bacillariophyceae | Skeletonema | 6x9-14 | 0,19490 | | 626874 |
| Bacillariophyceae | Skeletonema | 6x15-25 | 0,01642 | | 30579 |
| Bacillariophyceae | Skeletonema | 3x3-5 | 0,08926 | | 3187882 |
| Bacillariophyceae | Skeletonema | 4x7-8 | 0,22180 | | 2354598 |
| Bacillariophyceae | Thalassiosira | 60-70 | 0,00656 | | 101 |
| Bacillariophyceae | Thalassiosira | 22-27 | 0,02344 | | 3822 |
| Bacillariophyceae | Thalassiosira | 32-40 | 0,01194 | | 710 |
| Bacillariophyceae | Thalassiosira | 40-50 | 0,03418 | | 956 |
| Chlorophyceae | Chlamydomonas | 10-15 | 0,00391 | | 3822 |
| Chlorophyceae | Chlorophyceae | 4-6 | 0,00199 | | 30579 |
| Chlorophyceae | Chlorophyceae | 6-8 | 0,00069 | | 3822 |
| Chlorophyceae | Desmodesmus bicellularis | 2-3x4-6 | 0,00013 | | 3822 |
| Chlorophyceae | Monoraphidium contortum | 2-3x20-30 | 0,00016 | | 3822 |
| Choanoflagellata | Choanoflagellata | 4x5 | 0,00064 | | 15290 |
| Cryptophyceae | Cryptomonadales | 7x10-12 | 0,00213 | | 11467 |
| Cryptophyceae | Cryptomonas | 7-8x16-18 | 0,00038 | X | 956 |
| Cryptophyceae | Hemiselmis | 3x4-6 | 0,00040 | | 26757 |
| Cryptophyceae | Plagioselmis | 3-4x5-7 | 0,00124 | | 49691 |
| Cryptophyceae | Plagioselmis | 4-5x7-9 | 0,00124 | | 22934 |
| Cyanophyceae | Aphanizomenon | 4x100 | 0,00051 | X | 406 |
| Dinophyceae | Dinophyceae | 10-15 | 0,00781 | | 7645 |
| Dinophyceae | Dinophyceae | 20-25 | 0,04557 | | 7645 |
| Dinophyceae | Gymnodiniales | 10-15 | 0,00933 | | 11467 |
| Dinophyceae | Peridiniella catenata | 27-30 | 0,02196 | | 3822 |
| Dinophyceae | Protoperidinium bipes | 17-21x23-26 | 0,00451 | | 3822 |
| Euglenophyceae | Eutreptiella | 7-9x15-20 | 0,00224 | | 3822 |
| Euglenophyceae | Eutreptiella | 7-9x25-30 | 0,00704 | | 7645 |
| Litostomatea | Mesodinium rubrum | 14-16 | 0,02532 | | 11467 |
| Litostomatea | Mesodinium rubrum | 16-20 | 0,06701 | | 19112 |
| Litostomatea | Mesodinium rubrum | 27-33 | 0,16200 | | 11467 |
| Litostomatea | Mesodinium rubrum | 37-45 | 0,06401 | | 1911 |
| Pyramimonadophyceae | Pyramimonas | 4x3 | 0,00101 | | 42046 |
| Pyramimonadophyceae | Pyramimonas | 5-7x5 | 0,00184 | | 15290 |
| Trebouxiophyceae | Koliella | 1,5x30-50 | 0,00015 | | 3822 |
| Unicells classes incertae sedis | Unicells species incertae sedis | <2 | 0,00083 | | 206410 |
| Unicells classes incertae sedis | Unicells species incertae sedis | 2-3 | 0,00159 | | 198765 |
| Unicells classes incertae sedis | Unicells species incertae sedis | 3-5 | 0,00353 | | 107027 |
| Unicells classes incertae sedis | Unicells species incertae sedis | 5-7 | 0,00259 | | 22934 |
| | Värde | Ref | EK | nEK | |
| Klorofyll | 5,50 | 1,50 | 0,27 | 0,32 | |
| Biovolym | 1,18 | 0,17 | 0,14 | 0,28 | |
| Sammanvägd status, nEK | | | | 0,30 | |

NV Eknö

Det.: Jon Karlsson, Pelagia Nature & Environment AB

Provtagningsdatum: 2025-04-15

Analysdatum: 2025-09-23

Typindelning: 24

| Grupp | Taxa | Storlek (µm) | Biovolym (mm ³ /l) | Pot. toxisk | Antal/L |
|---------------------------------|---------------------------------|--------------|-------------------------------|-------------|---------|
| Bacillariophyceae | Centrales | 50-60 | 0,01328 | | 203 |
| Bacillariophyceae | Chaetoceros | 8x15-17 | 0,05612 | | 99685 |
| Bacillariophyceae | Chaetoceros | 5x5 | 0,01337 | | 161030 |
| Bacillariophyceae | Chaetoceros | 7x7 | 0,07024 | | 306724 |
| Bacillariophyceae | Skeletonema | 3x3-5 | 0,02619 | | 935508 |
| Bacillariophyceae | Skeletonema | 3x6-8 | 0,01632 | | 329728 |
| Bacillariophyceae | Skeletonema | 5x7-10 | 0,01151 | | 69013 |
| Bacillariophyceae | Thalassiosira | 60-70 | 0,12400 | | 1917 |
| Bacillariophyceae | Thalassiosira | 27-32 | 0,10160 | | 9585 |
| Chlorophyceae | Chlorophyceae | 2-4 | 0,00021 | | 15336 |
| Chlorophyceae | Chlorophyceae | 4-6 | 0,00897 | | 138026 |
| Choanoflagellata | Choanoflagellata | 4x5 | 0,00161 | | 38341 |
| Chrysophyceae | Dinobryon | 3-5x4-6 | 0,00193 | | 46009 |
| Cryptophyceae | Cryptomonadales | 5x10 | 0,00440 | | 53677 |
| Cryptophyceae | Hemiselmis | 3x4-6 | 0,00150 | | 99685 |
| Cryptophyceae | Plagioselmis | 3-4x5-7 | 0,00153 | | 61345 |
| Cryptophyceae | Plagioselmis | 4-5x7-9 | 0,00083 | | 15336 |
| Cyanophyceae | Planktolyngbya | 2x100 | 0,00120 | | 3834 |
| Dictyochophyceae | Pseudopedinella | 7-9 | 0,00411 | | 15336 |
| Dinophyceae | Dinophyceae | 10-15 | 0,07053 | | 69013 |
| Dinophyceae | Dinophyceae | 25-30 | 0,04173 | | 3834 |
| Dinophyceae | Peridiniella catenata | 20-23 | 0,02267 | | 8136 |
| Dinophyceae | Peridiniella catenata | 24-26 | 0,02828 | | 6916 |
| Dinophyceae | Peridiniella catenata | 27-30 | 0,00701 | | 1220 |
| Dinophyceae | Protoperdinium | 25x30 | 0,02998 | | 5751 |
| Dinophyceae | Protoperdinium bipes | 12-14x18-22 | 0,00339 | | 7668 |
| Euglenophyceae | Eutreptiella | 9-11x20-30 | 0,03009 | | 23004 |
| Euglenophyceae | Phacus | 10-20x20-30 | 0,00452 | | 7668 |
| Litostomatea | Mesodinium rubrum | 16-20 | 0,05377 | | 15336 |
| Litostomatea | Mesodinium rubrum | 27-33 | 0,02709 | | 1917 |
| Pyramimonadophyceae | Pyramimonas | 4x3 | 0,00607 | | 253047 |
| Pyramimonadophyceae | Pyramimonas | 5x4-5 | 0,00598 | | 99685 |
| Telonemea | Telonema subtile | 5-6x8 | 0,00130 | | 15336 |
| Unicells classes incertae sedis | Unicells species incertae sedis | <2 | 0,00227 | | 567436 |
| Unicells classes incertae sedis | Unicells species incertae sedis | 2-3 | 0,00405 | | 506091 |
| Unicells classes incertae sedis | Unicells species incertae sedis | 3-5 | 0,00658 | | 199369 |
| Unicells classes incertae sedis | Unicells species incertae sedis | 5-7 | 0,01040 | | 92017 |
| | Värde | Ref | EK | nEK | |
| Klorofyll | 2,20 | 1,55 | 0,70 | 0,65 | |
| Biovolym | 0,81 | 0,18 | 0,22 | 0,38 | |
| Sammanvägd status, nEK | | | | 0,51 | |



NV Eknö

Det.: Jon Karlsson, Pelagia Nature & Environment AB

Provtagningsdatum: 2025-05-13

Analysdatum: 2026-02-19

Typindelning: 24

| Grupp | Taxa | Storlek (µm) | Biovolym (mm ³ /l) | Pot. toxisk | Antal/L |
|---------------------------------|---------------------------------|--------------|-------------------------------|-------------|---------|
| Bacillariophyceae | Centrales | 60-70 | 0,01285 | | 199 |
| Bacillariophyceae | Centrales | 7-12 | 0,00448 | | 8793 |
| Bacillariophyceae | Centrales | 22-27 | 0,00122 | | 199 |
| Bacillariophyceae | Chaetoceros | 6-8x11-13 | 0,00026 | | 795 |
| Bacillariophyceae | Chaetoceros | 5x5 | 0,00292 | | 35171 |
| Bacillariophyceae | Pennales | 1-3x25-40 | 0,00001 | | 199 |
| Bacillariophyceae | Pennales | 4-6x25-35 | 0,00528 | | 17586 |
| Bacillariophyceae | Pennales | 4-6x50-70 | 0,00083 | | 1391 |
| Bacillariophyceae | Skeletonema | 3x3-5 | 0,00123 | | 43964 |
| Chlorophyceae | Chlorophyceae | 4-6 | 0,00172 | | 26378 |
| Chlorophyceae | Chlorophyceae | 6-8 | 0,00633 | | 35171 |
| Chlorophyceae | Chlorophyceae | 4-6x6-10 | 0,00277 | | 26378 |
| Chlorophyceae | Monoraphidium contortum | 2-3x20-30 | 0,00144 | | 35171 |
| Chrysophyceae | Dinobryon | 2-4x3-5 | 0,00067 | | 35171 |
| Chrysophyceae | Dinobryon | 3-5x4-6 | 0,00111 | | 26378 |
| Cryptophyceae | Hemiselmis | 3x4-6 | 0,00040 | | 26378 |
| Cryptophyceae | Teleaulax | 5-6x11-15 | 0,00550 | | 43964 |
| Cyanophyceae | Aphanizomenon | 4x100 | 0,00075 | X | 596 |
| Cyanophyceae | Aphanothece | 1-2 | 0,00035 | | 351712 |
| Cyanophyceae | Planktolyngbya | 2x100 | 0,00345 | | 10991 |
| Dictyochophyceae | Pseudopedinella | 7-9 | 0,00471 | | 17586 |
| Dinophyceae | Amphidinium | 25-30 | 0,00567 | X | 2198 |
| Dinophyceae | Dinophyceae | 15-20 | 0,02466 | | 8793 |
| Dinophyceae | Dinophyceae | 25-30 | 0,02393 | | 2198 |
| Dinophyceae | Dinophyceae | 40 | 0,01331 | | 397 |
| Dinophyceae | Heterocapsa | 5-7x10-12 | 0,00464 | X | 35171 |
| Dinophyceae | Peridiniella catenata | 20-23 | 0,02450 | | 8793 |
| Dinophyceae | Peridiniella catenata | 24-26 | 0,14380 | | 35171 |
| Dinophyceae | Protoperdinium bipes | 17-21x23-26 | 0,01038 | | 8793 |
| Litostomatea | Mesodinium rubrum | 16-20 | 0,09248 | | 26378 |
| Litostomatea | Mesodinium rubrum | 20-27 | 0,04914 | | 6595 |
| Pyramimonadophyceae | Pyramimonas | 4x3 | 0,00084 | | 35171 |
| Pyramimonadophyceae | Pyramimonas | 5-7x5 | 0,00422 | | 35171 |
| Thecofilosea | Ebria tripartita | 27-33 | 0,01087 | | 2198 |
| Trebouxiophyceae | Koliella | 1,5x30-50 | 0,00033 | | 8793 |
| Unicells classes incertae sedis | Unicells species incertae sedis | <2 | 0,00295 | | 738595 |
| Unicells classes incertae sedis | Unicells species incertae sedis | 2-3 | 0,00746 | | 932037 |
| Unicells classes incertae sedis | Unicells species incertae sedis | 3-5 | 0,00813 | | 246198 |
| | Värde | Ref | EK | nEK | |
| Klorofyll | 2,10 | 1,52 | 0,73 | 0,69 | |
| Biovolym | 0,49 | 0,17 | 0,36 | 0,48 | |
| Sammanvägd status, nEK | | | | 0,58 | |



NV Eknö

Det.: Jon Karlsson, Pelagia Nature & Environment AB

Provtagningsdatum: 2025-06-11

Analysdatum: 2026-02-18

Typindelning: 24

| Grupp | Taxa | Storlek (µm) | Biovolym (mm ³ /l) | Pot. toxisk | Antal/L |
|---------------------------------|---------------------------------|---------------|-------------------------------|-------------|---------|
| Bacillariophyceae | Centrales | 32-40 | 0,00333 | | 198 |
| Bacillariophyceae | Chaetoceros | 6-8x11-13 | 0,00565 | | 17495 |
| Bacillariophyceae | Nitzschia acicularis | 1,5-2x18-22 | 0,00030 | | 8748 |
| Bacillariophyceae | Pennales | 1-3x50-70 | 0,00020 | | 2187 |
| Bacillariophyceae | Pennales | 4-6x50-70 | 0,00131 | | 2187 |
| Bacillariophyceae | Skeletonema | 3x6-8 | 0,00054 | | 10935 |
| Chlorophyceae | Chlorophyceae | 4-6 | 0,00853 | | 131219 |
| Chlorophyceae | Monoraphidium contortum | 1,2-1,5x15-20 | 0,00021 | | 26244 |
| Chrysophyceae | Chrysophyceae | 9-11 | 0,00915 | | 17496 |
| Chrysophyceae | Dinobryon | 3-5x4-6 | 0,00992 | | 236193 |
| Chrysophyceae | Dinobryon | 2-4x8-10 | 0,00184 | | 43740 |
| Chrysophyceae | Kephyrion | 4-6x4-6 | 0,00057 | | 8748 |
| Cryptophyceae | Hemiselmis | 3x4-6 | 0,00026 | | 17496 |
| Cryptophyceae | Plagioselmis | 3-4x5-7 | 0,00066 | | 26244 |
| Cryptophyceae | Plagioselmis | 5-7x7-9 | 0,00273 | | 26244 |
| Cyanophyceae | Aphanothece | 1-2 | 0,00070 | | 699832 |
| Cyanophyceae | Planktolyngbya | 2x100 | 0,01099 | | 34992 |
| Dinophyceae | Dinophyceae | <10 | 0,01373 | | 26244 |
| Dinophyceae | Dinophyceae | 10-15 | 0,00894 | | 8748 |
| Dinophyceae | Dinophyceae | 20-25 | 0,00118 | | 198 |
| Dinophyceae | Dinophyceae | 25-30 | 0,02380 | | 2187 |
| Dinophyceae | Dinophysis | 30-40 | 0,00140 | X | 198 |
| Dinophyceae | Dinophysis | 40-45 | 0,00259 | X | 198 |
| Euglenophyceae | Eutreptiella | 5-7x10-15 | 0,00826 | | 34992 |
| Euglenophyceae | Eutreptiella | 5-7x15-20 | 0,00577 | | 17496 |
| Litostomatea | Mesodinium rubrum | 16-20 | 0,00347 | | 989 |
| Litostomatea | Mesodinium rubrum | 27-33 | 0,00279 | | 198 |
| Litostomatea | Mesodinium rubrum | 33-37 | 0,09814 | | 4374 |
| Pyramimonadophyceae | Pyramimonas | 4x3 | 0,00084 | | 34992 |
| Pyramimonadophyceae | Pyramimonas | 5-7x5 | 0,00315 | | 26244 |
| Trebouxiophyceae | Koliella | 1,5x30-50 | 0,00066 | | 17496 |
| Unicells classes incertae sedis | Unicells species incertae sedis | <2 | 0,00189 | | 472384 |
| Unicells classes incertae sedis | Unicells species incertae sedis | 2-3 | 0,00588 | | 734819 |
| Unicells classes incertae sedis | Unicells species incertae sedis | 3-5 | 0,01097 | | 332418 |
| | Värde | Ref | EK | nEK | |
| Klorofyll | 1,80 | 1,51 | 0,84 | 0,84 | |
| Biovolym | 0,25 | 0,17 | 0,69 | 0,76 | |
| Sammanvägd status, nEK | | | | 0,80 | |

NV Eknö

Det.: Jon Karlsson, Pelagia Nature & Environment AB

Provtagningsdatum: 2025-07-16

Analysdatum: 2026-02-18

Typindelning: 24

| Grupp | Taxa | Storlek (µm) | Biovolym (mm ³ /l) | Pot. toxisk | Antal/L |
|---------------------------------|---------------------------------|--------------|-------------------------------|-------------|---------|
| Bacillariophyceae | Centrales | 50-60 | 0,02656 | | 407 |
| Bacillariophyceae | Nitzschia acicularis | 1,5-2x18-22 | 0,00026 | | 7668 |
| Bacillariophyceae | Pennales | 5-8x180-210 | 0,00097 | | 203 |
| Chlorophyceae | Chlamydomonas | 6-10 | 0,00238 | | 7668 |
| Chlorophyceae | Chlorophyceae | 4-6 | 0,02243 | | 345065 |
| Chlorophyceae | Chlorophyceae | 6-8 | 0,03037 | | 168698 |
| Chlorophyceae | Monoraphidium contortum | 2-3x20-30 | 0,00126 | | 30672 |
| Chrysophyceae | Dinobryon | 2-4x3-5 | 0,00015 | | 7668 |
| Chrysophyceae | Dinobryon | 2-4x8-10 | 0,00032 | | 7668 |
| Cryptophyceae | Cryptophyceae | 4,5x8 | 0,00248 | | 46009 |
| Cryptophyceae | Hemiselmis | 3x4-6 | 0,01231 | | 820487 |
| Cryptophyceae | Plagioselmis | 3-4x5-7 | 0,00422 | | 168698 |
| Cryptophyceae | Plagioselmis | 5-7x7-9 | 0,01196 | | 115022 |
| Cryptophyceae | Teleaulax | 5-6x11-15 | 0,00863 | | 69013 |
| Cyanophyceae | Aphanizomenon | 4x100 | 0,13480 | X | 107352 |
| Cyanophyceae | Aphanizomenon klebahnii | 5x100 | 1,06900 | | 544428 |
| Cyanophyceae | Dolichospermum | 5-7x100 | 0,59230 | X | 314388 |
| Cyanophyceae | Planktolyngbya | 2x100 | 0,02408 | | 76681 |
| Cyanophyceae | Pseudanabaena | 1x100 | 0,00061 | | 7668 |
| Dinophyceae | Dinophyceae | <10 | 0,05615 | | 107353 |
| Dinophyceae | Dinophyceae | 10-15 | 0,04702 | | 46009 |
| Dinophyceae | Dinophyceae | 15-20 | 0,10750 | | 38341 |
| Dinophyceae | Dinophyceae | 20-25 | 0,09142 | | 15336 |
| Dinophyceae | Dinophysis | 40-45 | 0,05025 | X | 3834 |
| Dinophyceae | Dinophysis | 45-50 | 0,03495 | X | 1917 |
| Dinophyceae | Heterocapsa | 5-7x10-12 | 0,00506 | X | 38341 |
| Dinophyceae | Heterocapsa triquetra | 14-15x19-21 | 0,12650 | | 115022 |
| Dinophyceae | Heterocapsa triquetra | 15x 22-24 | 0,02077 | | 15336 |
| Euglenophyceae | Eutreptiella | 5-7x10-15 | 0,01086 | | 46009 |
| Euglenophyceae | Trachelomonas | 10-20 | 0,01354 | | 7668 |
| Pyramimonadophyceae | Pyramimonas | 4x3 | 0,00902 | | 375737 |
| Pyramimonadophyceae | Pyramimonas | 8-10x6 | 0,01863 | | 69013 |
| Telonemea | Telonema subtile | 5-6x8 | 0,00065 | | 7668 |
| Thecofilosea | Ebria tripartita | 23-27 | 0,10970 | | 38341 |
| Trebouxiophyceae | Koliella | 1,5x30-50 | 0,00029 | | 7668 |
| Trebouxiophyceae | Koliella | 2x30 | 0,00153 | | 30672 |
| Unicells classes incertae sedis | Unicells species incertae sedis | <2 | 0,00472 | | 1180880 |
| Unicells classes incertae sedis | Unicells species incertae sedis | 2-3 | 0,01043 | | 1303569 |
| Unicells classes incertae sedis | Unicells species incertae sedis | 3-5 | 0,02075 | | 628780 |
| | Värde | Ref | EK | nEK | |
| Klorofyll | 6,20 | 1,50 | 0,24 | 0,29 | |
| Biovolym | 2,68 | 0,17 | 0,06 | 0,16 | |
| Sammanvägd status, nEK | | | | 0,23 | |

NV Eknö

Det.: Jon Karlsson, Pelagia Nature & Environment AB

Provtagningsdatum: 2025-08-12

Analysdatum: 2026-02-17

Typindelning: 24

| Grupp | Taxa | Storlek (µm) | Biovolym (mm ³ /l) | Pot. toxisk | Antal/L |
|---------------------------------|---------------------------------|--------------|-------------------------------|-------------|---------|
| Bacillariophyceae | Centrales | 3-7 | 0,00147 | | 23004 |
| Chlorophyceae | Chlorophyceae | 2-4 | 0,00086 | | 61345 |
| Chlorophyceae | Chlorophyceae | 4-6 | 0,01246 | | 191703 |
| Chlorophyceae | Monoraphidium contortum | 1,5-2x20-30 | 0,00077 | | 38341 |
| Cryptophyceae | Cryptomonas | 7-8x16-18 | 0,01534 | X | 38341 |
| Cryptophyceae | Hemiselmis | 3x4-6 | 0,00932 | | 621116 |
| Cryptophyceae | Plagioselmis | 3-4x5-7 | 0,00268 | | 107353 |
| Cryptophyceae | Plagioselmis | 5-7x7-9 | 0,00558 | | 53677 |
| Cryptophyceae | Teleaulax | 5-6x11-15 | 0,00288 | | 23004 |
| Cyanophyceae | Aphanizomenon | 4x100 | 0,00722 | X | 5751 |
| Cyanophyceae | Aphanizomenon klebahnii | 5x100 | 0,16560 | | 84348 |
| Cyanophyceae | Dolichospermum | 5-7x100 | 0,00038 | X | 203 |
| Cyanophyceae | Dolichospermum | 9-12x100 | 0,00386 | X | 610 |
| Dinophyceae | Dinophyceae | <10 | 0,04411 | | 84349 |
| Dinophyceae | Dinophyceae | 10-15 | 0,00784 | | 7668 |
| Dinophyceae | Dinophyceae | 20-25 | 0,09142 | | 15336 |
| Dinophyceae | Dinophysis | 40-45 | 0,00267 | X | 203 |
| Litostomatea | Mesodinium rubrum | 16-20 | 0,05377 | | 15336 |
| Litostomatea | Mesodinium rubrum | 20-27 | 0,02857 | | 3834 |
| Pyramimonadophyceae | Pyramimonas | 4x3 | 0,01104 | | 460086 |
| Pyramimonadophyceae | Pyramimonas | 5-7x5 | 0,00736 | | 61345 |
| Telonemea | Telonema subtile | 5-6x8 | 0,00065 | | 7668 |
| Thecofilosea | Ebria tripartita | 33-37 | 0,00320 | | 407 |
| Unicells classes incertae sedis | Unicells species incertae sedis | <2 | 0,00344 | | 858822 |
| Unicells classes incertae sedis | Unicells species incertae sedis | 2-3 | 0,01055 | | 1318905 |
| Unicells classes incertae sedis | Unicells species incertae sedis | 3-5 | 0,01366 | | 414075 |
| | Värde | Ref | EK | nEK | |
| Klorofyll | 3,30 | 1,50 | 0,46 | 0,47 | |
| Biovolym | 0,51 | 0,17 | 0,34 | 0,46 | |
| Sammanvägd status, nEK | | | | 0,46 | |

NV Eknö

Det.: Jon Karlsson, Pelagia Nature & Environment AB

Provtagningsdatum: 2025-09-09

Analysdatum: 2026-01-14

Typindelning: 24

| Grupp | Taxa | Storlek (µm) | Biovolym (mm ³ /l) | Pot. toxisk | Antal/L |
|---------------------------------|---------------------------------|--------------|-------------------------------|-------------|---------|
| Bacillariophyceae | Nitzschia acicularis | 1,5-2x18-22 | 0,00026 | | 7668 |
| Bacillariophyceae | Pennales | 1-3x50-70 | 0,00004 | | 407 |
| Bacillariophyceae | Skeletonema | 3x6-8 | 0,00003 | | 610 |
| Chlorophyceae | Chlorophyceae | 4-6 | 0,01296 | | 199371 |
| Chlorophyceae | Chlorophyceae | 6-8 | 0,00690 | | 38341 |
| Choanoflagellata | Choanoflagellata | 4x5 | 0,00097 | | 23004 |
| Chrysophyceae | Dinobryon | 3-5x4-6 | 0,00032 | | 7668 |
| Cryptophyceae | Cryptomonadales | 3,5x6 | 0,00019 | | 7668 |
| Cryptophyceae | Cryptomonadales | 7x10-12 | 0,00143 | | 7668 |
| Cryptophyceae | Cryptomonas | 7-8x16-18 | 0,01534 | X | 38341 |
| Cryptophyceae | Hemiselmis | 3x4-6 | 0,00357 | | 237711 |
| Cryptophyceae | Plagioselmis | 3-4x5-7 | 0,01112 | | 444750 |
| Cryptophyceae | Plagioselmis | 5-7x7-9 | 0,00399 | | 38341 |
| Cryptophyceae | Teleaulax | 4-5x8-11 | 0,00092 | | 15336 |
| Cryptophyceae | Teleaulax | 5-6x11-15 | 0,00479 | | 38341 |
| Cyanophyceae | Aphanizomenon | 4x100 | 0,01445 | X | 11502 |
| Cyanophyceae | Aphanothece | 1-2 | 0,00023 | | 230043 |
| Dictyochophyceae | Pseudopedinella | 3-5 | 0,00101 | | 30672 |
| Dinophyceae | Dinophyceae | 15-20 | 0,12910 | | 46009 |
| Dinophyceae | Dinophysis | 25-30 | 0,02081 | X | 5751 |
| Dinophyceae | Gymnodiniales | 10-15 | 0,06866 | | 84349 |
| Dinophyceae | Gymnodiniales | 15-20 | 0,05323 | | 23004 |
| Dinophyceae | Heterocapsa | 5-7x10-12 | 0,00101 | X | 7668 |
| Dinophyceae | Peridiniales | <10 | 0,01805 | | 84349 |
| Euglenophyceae | Eutreptiella | 5-7x10-15 | 0,00362 | | 15336 |
| Euglenophyceae | Trachelomonas | 6-10x10-15 | 0,00709 | | 15336 |
| Litostomatea | Mesodinium rubrum | 16-20 | 0,06049 | | 17253 |
| Litostomatea | Mesodinium rubrum | 20-27 | 0,02857 | | 3834 |
| Litostomatea | Mesodinium rubrum | 27-33 | 0,02709 | | 1917 |
| Pyramimonadophyceae | Pyramimonas | 4x3 | 0,01454 | | 605780 |
| Pyramimonadophyceae | Pyramimonas | 5-7x5 | 0,02300 | | 191703 |
| Thecofilosea | Ebria tripartita | 23-27 | 0,02195 | | 7668 |
| Trebouxiophyceae | Koliella | 1,5x30-50 | 0,00029 | | 7668 |
| Unicells classes incertae sedis | Unicells species incertae sedis | <2 | 0,00233 | | 582772 |
| Unicells classes incertae sedis | Unicells species incertae sedis | 2-3 | 0,00650 | | 812813 |
| Unicells classes incertae sedis | Unicells species incertae sedis | 3-5 | 0,00810 | | 245378 |
| | Värde | Ref | EK | nEK | |
| Klorofyll | 3,90 | 1,50 | 0,38 | 0,42 | |
| Biovolym | 0,57 | 0,17 | 0,30 | 0,44 | |
| Sammanvägd status, nEK | | | | 0,43 | |

NV Eknö

Det.: Jon Karlsson, Pelagia Nature & Environment AB

Provtagningsdatum: 2025-10-07

Analysdatum: 2026-01-19

Typindelning: 24

| Grupp | Taxa | Storlek (µm) | Biovolym (mm ³ /l) | Pot. toxisk | Antal/L |
|---------------------------------|---------------------------------|---------------|-------------------------------|-------------|---------|
| Bacillariophyceae | Centrales | 70-90 | 0,01223 | | 101 |
| Bacillariophyceae | Centrales | 7-12 | 0,00780 | | 15290 |
| Bacillariophyceae | Centrales | 32-40 | 0,00171 | | 101 |
| Bacillariophyceae | Chaetoceros | 9x9 | 0,00053 | | 1318 |
| Bacillariophyceae | Fragilaria | 7-8x60-80 | 0,00753 | | 5734 |
| Bacillariophyceae | Nitzschia acicularis | 1,5-2x18-22 | 0,00001 | | 203 |
| Bacillariophyceae | Skeletonema | 3x3-5 | 0,00128 | | 45869 |
| Bacillariophyceae | Skeletonema | 3x6-8 | 0,00189 | | 38224 |
| Chlorophyceae | Chlorophyceae | 4-6 | 0,00547 | | 84093 |
| Chlorophyceae | Chlorophyceae | 6-8 | 0,00413 | | 22934 |
| Chlorophyceae | Monoraphidium | 1-2x8-12 | 0,00003 | | 3822 |
| Choanoflagellata | Choanoflagellata | 4x5 | 0,00321 | | 76448 |
| Coccolithophyceae | Chrysochromulina | 5-10 | 0,00338 | X | 15290 |
| Cryptophyceae | Cryptomonadales | 4,5x8 | 0,00021 | | 3822 |
| Cryptophyceae | Cryptomonas | 7-8x16-18 | 0,02446 | X | 61158 |
| Cryptophyceae | Cryptomonas | 10-13x20-26 | 0,00487 | X | 3822 |
| Cryptophyceae | Hemiselmis | 3x4-6 | 0,00166 | | 110850 |
| Cryptophyceae | Plagioselmis | 3-4x5-7 | 0,00325 | | 129962 |
| Cryptophyceae | Plagioselmis | 5-7x7-9 | 0,01471 | | 141429 |
| Cryptophyceae | Teleaulax | 5-6x11-15 | 0,02055 | | 164363 |
| Cyanophyceae | Dolichospermum | 5-7x100 | 0,00038 | X | 203 |
| Cyanophyceae | Woronichinia compacta | 1,5-3,4x3-5,6 | 0,00057 | | 38224 |
| Dictyochophyceae | Pseudopedinella | 5-7 | 0,00130 | | 11467 |
| Dictyochophyceae | Pseudopedinella | 7-9 | 0,00410 | | 15290 |
| Dinophyceae | Dinophyceae | <10 | 0,07996 | | 152896 |
| Dinophyceae | Dinophyceae | 10-15 | 0,08204 | | 80270 |
| Dinophyceae | Dinophyceae | 15-20 | 0,01072 | | 3822 |
| Dinophyceae | Dinophyceae | 20-25 | 0,02279 | | 3822 |
| Dinophyceae | Dinophysis | 30-40 | 0,00675 | X | 956 |
| Euglenophyceae | Euglena | 8-12x25-35 | 0,00013 | | 101 |
| Euglenophyceae | Eutreptiella | 5-7x10-15 | 0,00361 | | 15290 |
| Euglenophyceae | Eutreptiella | 5-7x15-20 | 0,01892 | | 57336 |
| Euglenophyceae | Trachelomonas | 6-10x10-15 | 0,00177 | | 3822 |
| Litostomatea | Mesodinium rubrum | 16-20 | 0,03015 | | 8600 |
| Litostomatea | Mesodinium rubrum | 20-27 | 0,07120 | | 9556 |
| Litostomatea | Mesodinium rubrum | 33-37 | 0,06433 | | 2867 |
| Pyramimonadophyceae | Pseudoscourfieldia | 4-6 | 0,00008 | | 3822 |
| Pyramimonadophyceae | Pyramimonas | 4x3 | 0,00229 | | 95560 |
| Pyramimonadophyceae | Pyramimonas | 5-7x5 | 0,00688 | | 57336 |
| Unicells classes incertae sedis | Unicells species incertae sedis | <2 | 0,00260 | | 649808 |
| Unicells classes incertae sedis | Unicells species incertae sedis | 2-3 | 0,00905 | | 1131430 |
| Unicells classes incertae sedis | Unicells species incertae sedis | 3-5 | 0,00807 | | 244634 |
| | Värde | Ref | EK | nEK | |
| Klorofyll | 5,70 | 1,61 | 0,28 | 0,33 | |
| Biovolym | 0,55 | 0,19 | 0,35 | 0,47 | |
| Sammanvägd status, nEK | | | | 0,40 | |



NV Eknö

Det.: Jon Karlsson, Pelagia Nature & Environment AB

Provtagningsdatum: 2025-11-13

Analysdatum: 2026-01-26

Typindelning: 24

| Grupp | Taxa | Storlek (µm) | Biovolym (mm ³ /l) | Pot. toxisk | Antal/L |
|---------------------------------|---------------------------------|---------------|-------------------------------|-------------|---------|
| Bacillariophyceae | Centrales | 7-12 | 0,00195 | | 3815 |
| Bacillariophyceae | Centrales | 27-32 | 0,00322 | | 304 |
| Bacillariophyceae | Centrales | 50-60 | 0,06228 | | 954 |
| Bacillariophyceae | Chaetoceros | 11-15x11-15 | 0,00086 | | 708 |
| Bacillariophyceae | Pennales | 20-30x40-60 | 0,00095 | | 101 |
| Bacillariophyceae | Skeletonema | 3x3-5 | 0,00021 | | 7629 |
| Chlorophyceae | Chlorophyceae | 4-6 | 0,00099 | | 15259 |
| Chlorophyceae | Chlorophyceae | 6-8 | 0,00206 | | 11444 |
| Chlorophyceae | Monoraphidium | 2-3x40-50 | 0,00011 | | 954 |
| Chlorophyceae | Monoraphidium contortum | 1,5-2x20-30 | 0,00008 | | 3815 |
| Chlorophyceae | Monoraphidium minutum | 1-2x5-7 | 0,00003 | | 3815 |
| Choanoflagellata | Choanoflagellata | 4x5 | 0,00016 | | 3815 |
| Cryptophyceae | Cryptomonas | 7-8x16-18 | 0,00153 | X | 3815 |
| Cryptophyceae | Cryptomonas | 10-13x20-26 | 0,00243 | X | 1907 |
| Cryptophyceae | Hemiselmis | 3x4-6 | 0,00195 | | 129700 |
| Cryptophyceae | Plagioselmis | 3-4x5-7 | 0,00076 | | 30518 |
| Cryptophyceae | Plagioselmis | 5-7x7-9 | 0,00079 | | 7629 |
| Cryptophyceae | Teleaulax | 5-6x11-15 | 0,00382 | | 30518 |
| Cyanophyceae | Aphanizomenon | 4x100 | 0,00051 | X | 405 |
| Cyanophyceae | Planktolyngbya | 2x100 | 0,00060 | | 1907 |
| Cyanophyceae | Woronichinia | 2-5 | 0,00007 | | 11132 |
| Cyanophyceae | Woronichinia compacta | 1,5-3,4x3-5,6 | 0,00629 | | 419617 |
| Dinophyceae | Dinophyceae | <10 | 0,00399 | | 7629 |
| Dinophyceae | Dinophysis | 30-40 | 0,00215 | X | 304 |
| Dinophyceae | Heterocapsa | 5-7x10-12 | 0,00101 | X | 7629 |
| Dinophyceae | Heterocapsa | 7-10x12-15 | 0,00128 | X | 3815 |
| Euglenophyceae | Eutreptiella | 5-7x15-20 | 0,00252 | | 7629 |
| Litostomatea | Mesodinium rubrum | 16-20 | 0,01003 | | 2861 |
| Litostomatea | Mesodinium rubrum | 20-27 | 0,00711 | | 954 |
| Pyramimonadophyceae | Pyramimonas | 4x3 | 0,00082 | | 34332 |
| Pyramimonadophyceae | Pyramimonas | 8-10x6 | 0,00103 | | 3815 |
| Trebouxiophyceae | Oocystis | 5-6x8-12 | 0,00006 | | 405 |
| Unicells classes incertae sedis | Unicells species incertae sedis | <2 | 0,00110 | | 274658 |
| Unicells classes incertae sedis | Unicells species incertae sedis | 2-3 | 0,00330 | | 411988 |
| Unicells classes incertae sedis | Unicells species incertae sedis | 3-5 | 0,00403 | | 122070 |
| | Värde | Ref | EK | nEK | |
| Klorofyll | 3,20 | 1,43 | 0,45 | 0,46 | |
| Biovolym | 0,13 | 0,16 | 1,00 | 1,00 | |
| Sammanvägd status, nEK | | | | 0,73 | |

Sollenkroka

Det.: Jon Karlsson, Pelagia Nature & Environment AB

Provtagningsdatum: 2025-02-19

Analysdatum: 2025-10-08

Typindelning: 12n

| Grupp | Taxa | Storlek (µm) | Biovolym (mm ³ /l) | Pot. toxisk | Antal/L |
|---------------------------------|---------------------------------|--------------|-------------------------------|-------------|---------|
| Bacillariophyceae | Aulacoseira | 6x10-15 | 0,00679 | | 20028 |
| Bacillariophyceae | Centrales | 60-70 | 0,00655 | | 101 |
| Bacillariophyceae | Centrales | 22-27 | 0,01170 | | 1907 |
| Bacillariophyceae | Centrales | 40-50 | 0,06822 | | 1907 |
| Bacillariophyceae | Centrales | 50-60 | 0,01322 | | 202 |
| Bacillariophyceae | Chaetoceros | 6-8x11-13 | 0,00370 | | 11444 |
| Bacillariophyceae | Chaetoceros | 8x15-17 | 0,00046 | | 810 |
| Bacillariophyceae | Chaetoceros minimus | 3x10-15 | 0,00034 | | 3815 |
| Bacillariophyceae | Chaetoceros minimus | 1-2x5-7 | 0,00025 | | 22888 |
| Bacillariophyceae | Diatoma tenuis | 6x30-50 | 0,00248 | | 1720 |
| Bacillariophyceae | Diatoma vulgaris | 5-6x15-25 | 0,00272 | | 5722 |
| Bacillariophyceae | Pennales | 4-5x10-15 | 0,00043 | | 3815 |
| Bacillariophyceae | Pennales | 4-6x15-25 | 0,00076 | | 3815 |
| Bacillariophyceae | Pennales | 4-6x50-70 | 0,00057 | | 954 |
| Bacillariophyceae | Pennales | 7-9x25-35 | 0,00320 | | 3815 |
| Bacillariophyceae | Skeletonema | 4x7-8 | 0,00683 | | 72479 |
| Bacillariophyceae | Thalassiosira | 27-32 | 0,05054 | | 4769 |
| Bacillariophyceae | Thalassiosira | 32-40 | 0,03210 | | 1907 |
| Chlorophyceae | Chlorophyceae | 4-6 | 0,00223 | | 34332 |
| Chlorophyceae | Monoraphidium | 2-3x40-50 | 0,00045 | | 3815 |
| Chlorophyceae | Monoraphidium contortum | 1,5-2x20-30 | 0,00031 | | 15259 |
| Chlorophyceae | Monoraphidium contortum | 3-4x20-30 | 0,00031 | | 3815 |
| Chlorophyceae | Monoraphidium komarkovae | 2-3x50-80 | 0,00011 | | 954 |
| Cryptophyceae | Cryptomonadales | 10x15 | 0,00200 | | 3815 |
| Cryptophyceae | Cryptomonas | 7-8x16-18 | 0,00038 | X | 954 |
| Cryptophyceae | Hemiselmis | 3x4-6 | 0,00029 | | 19074 |
| Cryptophyceae | Plagioselmis | 3-4x5-7 | 0,00029 | | 11444 |
| Cryptophyceae | Plagioselmis | 5-7x7-9 | 0,00040 | | 3815 |
| Cyanophyceae | Planktolyngbya | 2x100 | 0,00210 | | 6676 |
| Dinophyceae | Dinophyceae | 25-30 | 0,00110 | | 101 |
| Dinophyceae | Peridiniella catenata | 31-35 | 0,00381 | | 405 |
| Dinophyceae | Peridiniella catenata | 36-40 | 0,00581 | | 405 |
| Litostomatea | Mesodinium rubrum | 20-27 | 0,02842 | | 3815 |
| Litostomatea | Mesodinium rubrum | 27-33 | 0,12130 | | 8583 |
| Litostomatea | Mesodinium rubrum | 33-37 | 0,08560 | | 3815 |
| Unicells classes incertae sedis | Unicells species incertae sedis | <2 | 0,00247 | | 617981 |
| Unicells classes incertae sedis | Unicells species incertae sedis | 2-3 | 0,00269 | | 335694 |
| Unicells classes incertae sedis | Unicells species incertae sedis | 3-5 | 0,00604 | | 183106 |
| Unicells classes incertae sedis | Unicells species incertae sedis | 5-7 | 0,00604 | | 53406 |
| | Värde | Ref | EK | nEK | |
| Klorofyll | 2,30 | 3,46 | 1,00 | 1,00 | |
| Biovolym | 0,48 | 0,61 | 1,00 | 1,00 | |
| Sammanvägd status, nEK | | | | 1,00 | |



Sollenkroka

Det.: Jon Karlsson, Pelagia Nature & Environment AB

Provtagningsdatum: 2025-03-12

Analysdatum: 2025-10-20

Typindelning: 12n

| Grupp | Taxa | Storlek (µm) | Biovolym (mm ³ /l) | Pot. toxisk | Antal/L |
|---------------------|---------------------------|--------------|-------------------------------|-------------|---------|
| Bacillariophyceae | Aulacoseira | 6x10-15 | 0,00907 | | 26757 |
| Bacillariophyceae | Aulacoseira | 8x20-25 | 0,00699 | | 5734 |
| Bacillariophyceae | Centrales | 7-12 | 0,00780 | | 15290 |
| Bacillariophyceae | Centrales | 22-27 | 0,00586 | | 956 |
| Bacillariophyceae | Centrales | 27-32 | 0,03038 | | 2867 |
| Bacillariophyceae | Centrales | 50-60 | 0,06240 | | 956 |
| Bacillariophyceae | Chaetoceros | 11-15x11-15 | 0,01384 | | 11467 |
| Bacillariophyceae | Chaetoceros | 6x6 | 0,00165 | | 11467 |
| Bacillariophyceae | Chaetoceros | 8x8 | 0,00392 | | 11467 |
| Bacillariophyceae | Melosira | 8-10x15-20 | 0,00135 | | 1217 |
| Bacillariophyceae | Navicula | 9-11x30-40 | 0,00401 | | 1911 |
| Bacillariophyceae | Navicula | 14-16x50-70 | 0,03096 | | 4778 |
| Bacillariophyceae | Nitzschia cf. acicularis | 3x35-45 | 0,00072 | | 3822 |
| Bacillariophyceae | Pennales | 10-12x70-110 | 0,00682 | | 1911 |
| Bacillariophyceae | Pennales | 12-20x90-120 | 0,00102 | | 101 |
| Bacillariophyceae | Pennales | 4-6x15-25 | 0,00306 | | 15290 |
| Bacillariophyceae | Pennales | 4-6x35-50 | 0,00642 | | 15290 |
| Bacillariophyceae | Skeletonema | 5x9-14 | 0,02641 | | 122317 |
| Bacillariophyceae | Skeletonema | 3x3-5 | 0,02826 | | 1009114 |
| Bacillariophyceae | Skeletonema | 4x7-8 | 0,05257 | | 558070 |
| Bacillariophyceae | Tabellaria fenestrata | 6x40-50 | 0,00327 | | 1014 |
| Bacillariophyceae | Thalassiosira | 60-70 | 0,00656 | | 101 |
| Bacillariophyceae | Thalassiosira | 27-32 | 0,01013 | | 956 |
| Bacillariophyceae | Thalassiosira | 40-50 | 0,03418 | | 956 |
| Chlorophyceae | Chlamydomonas | 6-10 | 0,00356 | | 11467 |
| Chlorophyceae | Chlamydomonas | 10-15 | 0,00391 | | 3822 |
| Chlorophyceae | Chlorophyceae | 4-6 | 0,00621 | | 95560 |
| Chlorophyceae | Chlorophyceae | 6-8 | 0,00757 | | 42046 |
| Chlorophyceae | Desmodesmus bicellularis | 2-3x4-6 | 0,00265 | | 80270 |
| Chlorophyceae | Monoraphidium | 2-3x40-50 | 0,00045 | | 3822 |
| Chlorophyceae | Monoraphidium cf. minutum | 1-2x5-7 | 0,00005 | | 7645 |
| Chlorophyceae | Monoraphidium contortum | 1,5-2x20-30 | 0,00015 | | 7645 |
| Cryptophyceae | Cryptomonadales | 10x15 | 0,00200 | | 3822 |
| Cryptophyceae | Hemiselmis | 3x4-6 | 0,00063 | | 42046 |
| Cryptophyceae | Plagioselmis | 3-4x5-7 | 0,00048 | | 19112 |
| Cryptophyceae | Plagioselmis | 4-5x7-9 | 0,00145 | | 26757 |
| Cyanophyceae | Aphanizomenon | 4x100 | 0,00102 | X | 811 |
| Cyanophyceae | Microcystis | 3-7 | 0,00053 | X | 8112 |
| Cyanophyceae | Planktolyngbya | 2x100 | 0,00360 | | 11467 |
| Cyanophyceae | Snowella | 1-4 | 0,00024 | X | 30579 |
| Dinophyceae | Dinophyceae | 10-15 | 0,00391 | | 3822 |
| Dinophyceae | Dinophyceae | 40 | 0,06401 | | 1911 |
| Dinophyceae | Peridiniella catenata | 31-35 | 0,07189 | | 7645 |
| Euglenophyceae | Trachelomonas | 6-10x10-15 | 0,00177 | | 3822 |
| Litostomatea | Mesodinium rubrum | 16-20 | 0,01005 | | 2867 |
| Litostomatea | Mesodinium rubrum | 20-27 | 0,08544 | | 11467 |
| Litostomatea | Mesodinium rubrum | 27-33 | 0,08102 | | 5734 |
| Pyramimonadophyceae | Pyramimonas | 4x3 | 0,00064 | | 26757 |
| Trebouxiophyceae | Koliella | 1,5x30-50 | 0,00004 | | 956 |

Artlistan fortsätter på nästa sida.

| | | | | |
|---------------------------------|---------------------------------|------------|-----------|------------|
| Unicells classes incertae sedis | Unicells species incertae sedis | <2 | 0,00312 | 779770 |
| Unicells classes incertae sedis | Unicells species incertae sedis | 2-3 | 0,00281 | 351661 |
| Unicells classes incertae sedis | Unicells species incertae sedis | 3-5 | 0,00631 | 191120 |
| Unicells classes incertae sedis | Unicells species incertae sedis | 5-7 | 0,00691 | 61158 |
| | Värde | Ref | EK | nEK |
| Klorofyll | 3,90 | 1,88 | 0,48 | 0,48 |
| Biovolym | 0,73 | 0,24 | 0,33 | 0,46 |
| Sammanvägd status, nEK | | | | 0,47 |

Sollenkroka

Det.: Jon Karlsson, Pelagia Nature & Environment AB

Provtagningsdatum: 2025-04-15

Analysdatum: 2025-10-24

Typindelning: 12n

| Grupp | Taxa | Storlek (µm) | Biovolym (mm ³ /l) | Pot. toxisk | Antal/L |
|-------------------|--------------------------|---------------|-------------------------------|-------------|---------|
| Bacillariophyceae | Centrales | 60-70 | 0,01312 | | 203 |
| Bacillariophyceae | Centrales | 12-17 | 0,00658 | | 3822 |
| Bacillariophyceae | Centrales | 22-27 | 0,01758 | | 2867 |
| Bacillariophyceae | Centrales | 27-32 | 0,04051 | | 3822 |
| Bacillariophyceae | Centrales | 32-40 | 0,04824 | | 2867 |
| Bacillariophyceae | Centrales | 40-50 | 0,13670 | | 3822 |
| Bacillariophyceae | Chaetoceros | 6-8x11-13 | 0,01358 | | 42046 |
| Bacillariophyceae | Chaetoceros | 6x6 | 0,04183 | | 290502 |
| Bacillariophyceae | Chaetoceros | 8x8 | 0,02353 | | 68803 |
| Bacillariophyceae | Diatoma tenuis | 3x30-50 | 0,04266 | | 118494 |
| Bacillariophyceae | Pennales | 10-12x70-110 | 0,00341 | | 956 |
| Bacillariophyceae | Pennales | 12-20x90-120 | 0,00102 | | 101 |
| Bacillariophyceae | Pennales | 4-6x15-25 | 0,01529 | | 76448 |
| Bacillariophyceae | Pennales | 4-6x35-50 | 0,01284 | | 30579 |
| Bacillariophyceae | Skeletonema | 3x3-5 | 0,01434 | | 512202 |
| Bacillariophyceae | Skeletonema | 3x6-8 | 0,00946 | | 191120 |
| Bacillariophyceae | Skeletonema | 5x7-10 | 0,01020 | | 61158 |
| Chlorophyceae | Chlamydomonas | 10-15 | 0,00781 | | 7645 |
| Chlorophyceae | Chlorophyceae | 4-6 | 0,00298 | | 45869 |
| Chlorophyceae | Chlorophyceae | 6-8 | 0,00482 | | 26757 |
| Chlorophyceae | Desmodesmus bicellularis | 2-3x4-6 | 0,00013 | | 3822 |
| Chlorophyceae | Monoraphidium | 1-2x8-12 | 0,00007 | | 7645 |
| Chlorophyceae | Monoraphidium | 1x50-60 | 0,00018 | | 7645 |
| Chlorophyceae | Monoraphidium contortum | 1,2-1,5x15-20 | 0,00009 | | 11467 |
| Chlorophyceae | Monoraphidium contortum | 1,5-2x20-30 | 0,00031 | | 15290 |
| Chlorophyceae | Monoraphidium contortum | 2-3x20-30 | 0,00110 | | 26757 |
| Chrysophyceae | Dinobryon | 2-4x3-5 | 0,00051 | | 26757 |
| Chrysophyceae | Dinobryon | 3-5x4-6 | 0,00080 | | 19112 |
| Cryptophyceae | Cryptomonadales | 4,5x8 | 0,00041 | | 7645 |
| Cryptophyceae | Cryptomonadales | 10x15 | 0,00600 | | 11467 |
| Cryptophyceae | Hemiselmis | 3x4-6 | 0,00046 | | 30579 |
| Cryptophyceae | Plagioselmis | 3-4x5-7 | 0,00076 | | 30579 |
| Cryptophyceae | Plagioselmis | 5-7x7-9 | 0,00159 | | 15290 |
| Cyanophyceae | Aphanizomenon | 4x100 | 0,00600 | X | 4778 |
| Cyanophyceae | Aphanothece | 1-2 | 0,00008 | | 76448 |
| Cyanophyceae | Cyanophyceae | 3 | 0,00037 | | 26757 |
| Cyanophyceae | Planktolynghya | 2x100 | 0,00450 | | 14334 |
| Dictyochophyceae | Pseudopedinella | 7-9 | 0,00102 | | 3822 |
| Dinophyceae | Dinophyceae | <10 | 0,00400 | | 7645 |
| Dinophyceae | Dinophyceae | 10-15 | 0,02344 | | 22934 |
| Dinophyceae | Dinophyceae | 20-25 | 0,15950 | | 26757 |
| Dinophyceae | Dinophyceae | 40 | 0,19200 | | 5734 |
| Dinophyceae | Dinophysis | 30-40 | 0,00072 | X | 101 |
| Dinophyceae | Heterocapsa | 8x15-17 | 0,00307 | X | 11467 |
| Dinophyceae | Peridiniella catenata | 20-23 | 0,24490 | | 87915 |
| Dinophyceae | Peridiniella catenata | 24-26 | 0,50020 | | 122317 |
| Dinophyceae | Peridiniella catenata | 31-35 | 0,25160 | | 26757 |
| Dinophyceae | Protoberidinium | 15x20 | 0,00464 | | 3822 |
| Dinophyceae | Protoberidinium | 20x25 | 0,01050 | | 3822 |
| Dinophyceae | Protoberidinium | 25x30 | 0,04483 | | 8600 |

Artlistan fortsätter på nästa sida.

UNDERSÖKNING, VÄXTPLANKTON: SKÄRGÅRDSSNITT 2025

| | | | | |
|---------------------------------|---------------------------------|------------|-----------|------------|
| Euglenophyceae | Eutreptiella | 7-9x15-20 | 0,00896 | 15290 |
| Euglenophyceae | Trachelomonas | 6-10x10-15 | 0,00177 | 3822 |
| Litostomatea | Mesodinium rubrum | 16-20 | 0,04355 | 12423 |
| Litostomatea | Mesodinium rubrum | 20-27 | 0,06408 | 8600 |
| Litostomatea | Mesodinium rubrum | 27-33 | 0,04051 | 2867 |
| Pyramimonadophyceae | Pyramimonas | 4x3 | 0,00055 | 22934 |
| Pyramimonadophyceae | Pyramimonas | 5-7x5 | 0,00229 | 19112 |
| Telonemea | Telonema subtile | 4x7 | 0,00029 | 7645 |
| Trebouxiophyceae | Koliella | 1,5x30-50 | 0,00015 | 3822 |
| Unicells classes incertae sedis | Unicells species incertae sedis | <2 | 0,00401 | 1001469 |
| Unicells classes incertae sedis | Unicells species incertae sedis | 2-3 | 0,00514 | 642163 |
| Unicells classes incertae sedis | Unicells species incertae sedis | 3-5 | 0,00933 | 282858 |
| Unicells classes incertae sedis | Unicells species incertae sedis | 5-7 | 0,00778 | 68803 |
| | Värde | Ref | EK | nEK |
| Klorofyll | 11,00 | 1,78 | 0,16 | 0,21 |
| Biovolym | 2,12 | 0,22 | 0,11 | 0,23 |
| Sammanvägd status, nEK | | | | 0,22 |

Sollenkroka

Det.: Jon Karlsson, Pelagia Nature & Environment AB

Provtagningsdatum: 2025-05-13

Analysdatum: 2026-02-20

Typindelning: 12n

| Grupp | Taxa | Storlek (µm) | Biovolym (mm ³ /l) | Pot. toxisk | Antal/L |
|---------------------------------|---------------------------------|---------------|-------------------------------|-------------|---------|
| Bacillariophyceae | Centrales | 32-40 | 0,01003 | | 596 |
| Bacillariophyceae | Centrales | 50-60 | 0,02595 | | 397 |
| Bacillariophyceae | Chaetoceros | 8x15-17 | 0,01361 | | 24180 |
| Bacillariophyceae | Chaetoceros | 10x10 | 0,01451 | | 26378 |
| Bacillariophyceae | Diatoma | 2-4x20-40 | 0,03798 | | 140685 |
| Bacillariophyceae | Nitzschia acicularis | 1,5-2x18-22 | 0,00030 | | 8793 |
| Bacillariophyceae | Pennales | 4-6x15-25 | 0,00879 | | 43964 |
| Bacillariophyceae | Pennales | 1-3x25-40 | 0,00086 | | 17586 |
| Bacillariophyceae | Pennales | 4-6x35-50 | 0,02585 | | 61550 |
| Bacillariophyceae | Pennales | 4-6x50-70 | 0,01715 | | 28577 |
| Chlorophyceae | Chlorophyceae | 4-6 | 0,01143 | | 175856 |
| Chlorophyceae | Chlorophyceae | 6-8 | 0,00633 | | 35171 |
| Chlorophyceae | Monoraphidium | 2-3x40-50 | 0,00104 | | 8793 |
| Chlorophyceae | Monoraphidium contortum | 1,2-1,5x15-20 | 0,00021 | | 26378 |
| Chlorophyceae | Monoraphidium contortum | 2-3x20-30 | 0,00180 | | 43964 |
| Choanoflagellata | Choanoflagellata | 4x5 | 0,00443 | | 105514 |
| Chrysophyceae | Dinobryon | 3-5x4-6 | 0,00332 | | 79135 |
| Cryptophyceae | Cryptomonas | 10-13x20-26 | 0,00280 | X | 2198 |
| Cryptophyceae | Cryptophyceae | 4,5x8 | 0,00047 | | 8793 |
| Cryptophyceae | Hemiselmis | 3x4-6 | 0,00053 | | 35171 |
| Cryptophyceae | Plagioselmis | 5-7x7-9 | 0,00366 | | 35171 |
| Cyanophyceae | Planktolyngbya | 2x100 | 0,02209 | | 70342 |
| Dictyochophyceae | Pseudopedinella | 5-7 | 0,00795 | | 70342 |
| Dinophyceae | Amphidinium | 30-40 | 0,01692 | X | 2198 |
| Dinophyceae | Dinophyceae | 10-15 | 0,01797 | | 17586 |
| Dinophyceae | Dinophyceae | 15-20 | 0,02466 | | 8793 |
| Dinophyceae | Dinophyceae | 25-30 | 0,23930 | | 21982 |
| Dinophyceae | Dinophyceae | 40 | 0,36810 | | 10991 |
| Dinophyceae | Peridiniella catenata | 24-26 | 0,31460 | | 76937 |
| Dinophyceae | Peridiniella catenata | 27-30 | 0,36620 | | 63748 |
| Euglenophyceae | Eutreptiella | 5-7x20-25 | 0,00373 | | 8793 |
| Litostomatea | Mesodinium rubrum | 16-20 | 0,09248 | | 26378 |
| Litostomatea | Mesodinium rubrum | 20-27 | 0,06552 | | 8793 |
| Litostomatea | Mesodinium rubrum | 27-33 | 0,06212 | | 4396 |
| Trebouxiophyceae | Koliella | 1,5x30-50 | 0,00067 | | 17586 |
| Unicells classes incertae sedis | Unicells species incertae sedis | <2 | 0,00295 | | 738595 |
| Unicells classes incertae sedis | Unicells species incertae sedis | 2-3 | 0,00971 | | 1213406 |
| Unicells classes incertae sedis | Unicells species incertae sedis | 3-5 | 0,01335 | | 404469 |
| | Värde | Ref | EK | nEK | |
| Klorofyll | 3,30 | 1,68 | 0,51 | 0,50 | |
| Biovolym | 1,82 | 0,20 | 0,11 | 0,24 | |
| Sammanvägd status, nEK | | | | 0,37 | |

Sollenkroka

Det.: Jon Karlsson, Pelagia Nature & Environment AB

Provtagningsdatum: 2025-06-11

Analysdatum: 2026-02-20

Typindelning: 12n

| Grupp | Taxa | Storlek (µm) | Biovolym (mm ³ /l) | Pot. toxisk | Antal/L |
|---------------------------------|---------------------------------|---------------|-------------------------------|-------------|---------|
| Bacillariophyceae | Chaetoceros | 8x15-17 | 0,00739 | | 13121 |
| Bacillariophyceae | Chaetoceros | 8x8 | 0,01197 | | 34992 |
| Bacillariophyceae | Chaetoceros minimus | 1-2x5-7 | 0,00010 | | 8748 |
| Bacillariophyceae | Nitzschia acicularis | 1,5-2x18-22 | 0,00030 | | 8748 |
| Bacillariophyceae | Pennales | 1-3x25-40 | 0,00129 | | 26244 |
| Bacillariophyceae | Pennales | 4-6x50-70 | 0,01050 | | 17495 |
| Bacillariophyceae | Pennales | 4-6x70-100 | 0,00034 | | 395 |
| Bacillariophyceae | Skeletonema | 3x6-8 | 0,00173 | | 34992 |
| Chlorophyceae | Chlorophyceae | 2-4 | 0,00196 | | 139966 |
| Chlorophyceae | Chlorophyceae | 4-6 | 0,00284 | | 43740 |
| Chlorophyceae | Monoraphidium contortum | 1,2-1,5x15-20 | 0,00084 | | 104975 |
| Chlorophyceae | Monoraphidium contortum | 2-3x20-30 | 0,00968 | | 236193 |
| Chlorophyceae | Monoraphidium contortum | 4-5x30-40 | 0,00162 | | 8748 |
| Choanoflagellata | Choanoflagellata | 4x5 | 0,00294 | | 69983 |
| Chrysophyceae | Dinobryon | 3-5x4-6 | 0,00184 | | 43740 |
| Chrysophyceae | Kephyrion | 4-6x4-6 | 0,00512 | | 78731 |
| Cryptophyceae | Cryptomonas | 13-14x26-30 | 0,00467 | X | 2187 |
| Cryptophyceae | Hemiselmis | 3x4-6 | 0,00052 | | 34992 |
| Cryptophyceae | Plagioselmis | 3-4x5-7 | 0,00044 | | 17496 |
| Cryptophyceae | Plagioselmis | 5-7x7-9 | 0,00091 | | 8748 |
| Cryptophyceae | Teleaulax | 5-6x11-15 | 0,00219 | | 17496 |
| Cyanophyceae | Aphanizomenon | 4x100 | 0,00050 | X | 395 |
| Cyanophyceae | Aphanizomenon klebahnii | 5x100 | 0,01717 | | 8748 |
| Cyanophyceae | Aphanocapsa | 0,8-1,5 | 0,00031 | | 349916 |
| Cyanophyceae | Cyanophyceae | 3 | 0,00159 | | 113723 |
| Cyanophyceae | Dolichospermum | 5-7x100 | 0,00037 | X | 198 |
| Cyanophyceae | Planktolyngbya | 2x100 | 0,04395 | | 139966 |
| Cyanophyceae | Pseudanabaena | 2x100 | 0,00824 | | 26244 |
| Dinophyceae | Dinophyceae | 10-15 | 0,00894 | | 8748 |
| Dinophyceae | Dinophyceae | 15-20 | 0,04908 | | 17496 |
| Dinophyceae | Dinophyceae | 25-30 | 0,00646 | | 593 |
| Dinophyceae | Dinophyceae | 40 | 0,00662 | | 198 |
| Dinophyceae | Dinophysis | 30-40 | 0,01546 | X | 2187 |
| Dinophyceae | Dinophysis | 40-45 | 0,00518 | X | 395 |
| Dinophyceae | Heterocapsa triquetra | 11x17-19 | 0,00499 | | 8748 |
| Euglenophyceae | Eutreptiella | 5-7x15-20 | 0,00866 | | 26244 |
| Litostomatea | Mesodinium rubrum | 16-20 | 0,06134 | | 17496 |
| Litostomatea | Mesodinium rubrum | 20-27 | 0,09777 | | 13121 |
| Litostomatea | Mesodinium rubrum | 27-33 | 0,03090 | | 2187 |
| Pyramimonadophyceae | Pyramimonas | 4x3 | 0,00189 | | 78731 |
| Pyramimonadophyceae | Pyramimonas | 5-7x5 | 0,00105 | | 8748 |
| Thecofilosea | Ebria tripartita | 23-27 | 0,00057 | | 198 |
| Thecofilosea | Ebria tripartita | 27-33 | 0,00196 | | 395 |
| Trebouxiophyceae | Koliella | 1,5x30-50 | 0,00100 | | 26244 |
| Trebouxiophyceae | Oocystis | 5-6x8-12 | 0,00276 | | 17496 |
| Unicells classes incertae sedis | Unicells species incertae sedis | <2 | 0,00392 | | 979759 |
| Unicells classes incertae sedis | Unicells species incertae sedis | 2-3 | 0,01148 | | 1434647 |
| Unicells classes incertae sedis | Unicells species incertae sedis | 3-5 | 0,01848 | | 559862 |
| | Värde | Ref | EK | nEK | |
| Klorofyll | 2,90 | 1,66 | 0,57 | 0,54 | |
| Biovolym | 0,48 | 0,20 | 0,42 | 0,51 | |
| Sammanvägd status, nEK | | | | 0,53 | |



Sollenkroka

Det.: Jon Karlsson, Pelagia Nature & Environment AB

Provtagningsdatum: 2025-07-16

Analysdatum: 2026-02-17

Typindelning: 12n

| Grupp | Taxa | Storlek (µm) | Biovolym (mm ³ /l) | Pot. toxisk | Antal/L |
|---------------------------------|---------------------------------|---------------|-------------------------------|-------------|---------|
| Bacillariophyceae | Pennales | 4-6x50-70 | 0,00264 | | 4396 |
| Chlorophyceae | Chlorophyceae | 2-4 | 0,00086 | | 61550 |
| Chlorophyceae | Chlorophyceae | 4-6 | 0,01372 | | 211027 |
| Chlorophyceae | Chlorophyceae | 6-8 | 0,00633 | | 35171 |
| Chlorophyceae | Monoraphidium contortum | 1,2-1,5x15-20 | 0,00218 | | 272577 |
| Chlorophyceae | Monoraphidium contortum | 2-3x20-30 | 0,01118 | | 272577 |
| Cryptophyceae | Hemiselmis | 3x4-6 | 0,00198 | | 131892 |
| Cryptophyceae | Plagioselmis | 3-4x5-7 | 0,00198 | | 79135 |
| Cryptophyceae | Plagioselmis | 5-7x7-9 | 0,00549 | | 52757 |
| Cryptophyceae | Teleaulax | 5-6x11-15 | 0,00440 | | 35171 |
| Cyanophyceae | Aphanizomenon | 4x100 | 0,00276 | X | 2198 |
| Cyanophyceae | Aphanizomenon klebahnii | 5x100 | 0,10790 | | 54955 |
| Cyanophyceae | Dolichospermum | 5-7x100 | 0,19460 | X | 103315 |
| Cyanophyceae | Planktolyngbya | 1,5x100 | 0,01556 | | 87928 |
| Dictyochophyceae | Pseudopedinella | 5-7 | 0,00099 | | 8793 |
| Dinophyceae | Dinophyceae | <10 | 0,05518 | | 105514 |
| Dinophyceae | Dinophyceae | 10-15 | 0,08088 | | 79135 |
| Dinophyceae | Dinophyceae | 15-20 | 0,02466 | | 8793 |
| Dinophyceae | Dinophyceae | 20-25 | 0,20970 | | 35171 |
| Dinophyceae | Dinophyceae | 25-30 | 0,07178 | | 6595 |
| Dinophyceae | Dinophysis | 25-30 | 0,02387 | X | 6595 |
| Dinophyceae | Dinophysis | 40-45 | 0,11520 | X | 8793 |
| Euglenophyceae | Eutreptiella | 5-7x10-15 | 0,00415 | | 17586 |
| Litostomatea | Mesodinium rubrum | 16-20 | 0,03083 | | 8793 |
| Litostomatea | Mesodinium rubrum | 20-27 | 0,00444 | | 596 |
| Pyramimonadophyceae | Pyramimonas | 4x3 | 0,00169 | | 70342 |
| Pyramimonadophyceae | Pyramimonas | 5-7x5 | 0,00211 | | 17586 |
| Thecofilosea | Ebria tripartita | 27-33 | 0,01087 | | 2198 |
| Trebouxiophyceae | Koliella | 1,5x30-50 | 0,00134 | | 35171 |
| Trebouxiophyceae | Koliella | 2x30 | 0,00528 | | 105514 |
| Unicells classes incertae sedis | Unicells species incertae sedis | <2 | 0,00366 | | 914451 |
| Unicells classes incertae sedis | Unicells species incertae sedis | 2-3 | 0,01069 | | 1336506 |
| Unicells classes incertae sedis | Unicells species incertae sedis | 3-5 | 0,01393 | | 422054 |
| | Värde | Ref | EK | nEK | |
| Klorofyll | 4,50 | 1,63 | 0,36 | 0,41 | |
| Biovolym | 1,04 | 0,19 | 0,19 | 0,33 | |
| Sammanvägd status, nEK | | | | 0,37 | |

Sollenkroka

Det.: Jon Karlsson, Pelagia Nature & Environment AB

Provtagningsdatum: 2025-08-12

Analysdatum: 2026-02-20

Typindelning: 12n

| Grupp | Taxa | Storlek (µm) | Biovolym (mm ³ /l) | Pot. toxisk | Antal/L |
|---------------------------------|---------------------------------|--------------|-------------------------------|-------------|---------|
| Bacillariophyceae | Centrales | 70-90 | 0,02453 | | 203 |
| Bacillariophyceae | Centrales | 27-32 | 0,00216 | | 203 |
| Bacillariophyceae | Centrales | 32-40 | 0,01369 | | 814 |
| Bacillariophyceae | Chaetoceros | 9x9 | 0,00231 | | 5751 |
| Bacillariophyceae | Rhizosolenia longiseta | 4-7x70-120 | 0,01557 | | 7668 |
| Chlorophyceae | Chlorophyceae | 2-4 | 0,00183 | | 130358 |
| Chlorophyceae | Chlorophyceae | 4-6 | 0,00249 | | 38341 |
| Chlorophyceae | Sphaerocystis | 7-8 | 0,01525 | | 69013 |
| Cryptophyceae | Cryptomonas | 7-8x16-18 | 0,01227 | X | 30672 |
| Cryptophyceae | Cryptomonas | 13-14x26-30 | 0,00819 | X | 3834 |
| Cryptophyceae | Cryptophyceae | 5x10 | 0,00063 | | 7668 |
| Cryptophyceae | Hemiselmis | 3x4-6 | 0,00828 | | 552103 |
| Cryptophyceae | Plagioselmis | 3-4x5-7 | 0,00230 | | 92017 |
| Cryptophyceae | Plagioselmis | 5-7x7-9 | 0,00638 | | 61345 |
| Cryptophyceae | Teleaulax | 5-6x11-15 | 0,00863 | | 69013 |
| Cyanophyceae | Aphanizomenon | 4x100 | 0,03852 | X | 30672 |
| Cyanophyceae | Aphanizomenon klebahnii | 5x100 | 0,10540 | | 53676 |
| Dictyochophyceae | Pseudopedinella | 5-7 | 0,00087 | | 7668 |
| Dinophyceae | Dinophyceae | <10 | 0,01604 | | 30672 |
| Dinophyceae | Dinophyceae | 10-15 | 0,02351 | | 23004 |
| Dinophyceae | Dinophyceae | 25-30 | 0,04173 | | 3834 |
| Euglenophyceae | Eutreptiella | 5-7x10-15 | 0,00181 | | 7668 |
| Litostomatea | Mesodinium rubrum | 16-20 | 0,05377 | | 15336 |
| Litostomatea | Mesodinium rubrum | 27-33 | 0,02709 | | 1917 |
| Pyramimonadophyceae | Pyramimonas | 4x3 | 0,01362 | | 567439 |
| Pyramimonadophyceae | Pyramimonas | 5-7x5 | 0,01196 | | 99685 |
| Thecofilosea | Ebria tripartita | 23-27 | 0,13170 | | 46009 |
| Thecofilosea | Ebria tripartita | 33-37 | 0,03011 | | 3834 |
| Unicells classes incertae sedis | Unicells species incertae sedis | <2 | 0,00350 | | 874158 |
| Unicells classes incertae sedis | Unicells species incertae sedis | 2-3 | 0,00810 | | 1012183 |
| Unicells classes incertae sedis | Unicells species incertae sedis | 3-5 | 0,01619 | | 490755 |
| | Värde | Ref | EK | nEK | |
| Klorofyll | 3,10 | 1,71 | 0,55 | 0,53 | |
| Biovolym | 0,65 | 0,21 | 0,32 | 0,45 | |
| Sammanvägd status, nEK | | | | 0,49 | |



Sollenkroka

Det.: Jon Karlsson, Pelagia Nature & Environment AB

Provtagningsdatum: 2025-09-09

Analysdatum: 2026-02-16

Typindelning: 12n

| Grupp | Taxa | Storlek (µm) | Biovolym (mm ³ /l) | Pot. toxisk | Antal/L |
|---------------------------------|---------------------------------|--------------|-------------------------------|-------------|---------|
| Bacillariophyceae | Centrales | 60-70 | 0,03836 | | 593 |
| Bacillariophyceae | Centrales | 7-12 | 0,00446 | | 8748 |
| Bacillariophyceae | Centrales | 27-32 | 0,02318 | | 2187 |
| Bacillariophyceae | Centrales | 32-40 | 0,07360 | | 4374 |
| Bacillariophyceae | Centrales | 40-50 | 0,00707 | | 198 |
| Bacillariophyceae | Centrales | 50-60 | 0,14280 | | 2187 |
| Bacillariophyceae | Nitzschia acicularis | 1,5-2x18-22 | 0,00030 | | 8748 |
| Chlorophyceae | Chlorophyceae | 4-6 | 0,00512 | | 78731 |
| Chlorophyceae | Chlorophyceae | 6-8 | 0,00158 | | 8748 |
| Chlorophyceae | Monoraphidium contortum | 3-4x20-30 | 0,00018 | | 2187 |
| Cryptophyceae | Cryptomonas | 7-8x16-18 | 0,01050 | X | 26244 |
| Cryptophyceae | Cryptophyceae | 5x10 | 0,00144 | | 17496 |
| Cryptophyceae | Hemiselmis | 3x4-6 | 0,00682 | | 454891 |
| Cryptophyceae | Plagioselmis | 3-4x5-7 | 0,00547 | | 218698 |
| Cryptophyceae | Plagioselmis | 5-7x7-9 | 0,01274 | | 122471 |
| Cryptophyceae | Teleaulax | 5-6x11-15 | 0,00984 | | 78731 |
| Cyanophyceae | Aphanizomenon | 4x100 | 0,00275 | X | 2187 |
| Cyanophyceae | Aphanizomenon klebahnii | 5x100 | 0,09015 | | 45925 |
| Dictyochophyceae | Pseudopedinella | 5-7 | 0,00494 | | 43740 |
| Dictyochophyceae | Pseudopedinella | 7-9 | 0,00938 | | 34992 |
| Dinophyceae | Dinophyceae | <10 | 0,07320 | | 139966 |
| Dinophyceae | Dinophyceae | 10-15 | 0,05364 | | 52487 |
| Dinophyceae | Dinophyceae | 15-20 | 0,02454 | | 8748 |
| Dinophyceae | Dinophysis | 40-45 | 0,02866 | X | 2187 |
| Euglenophyceae | Eutreptiella | 7-9x15-20 | 0,01025 | | 17496 |
| Litostomatea | Mesodinium rubrum | 16-20 | 0,12270 | | 34992 |
| Pyramimonadophyceae | Pyramimonas | 4x3 | 0,00378 | | 157462 |
| Pyramimonadophyceae | Pyramimonas | 5-7x5 | 0,00210 | | 17496 |
| Thecofilosea | Ebria tripartita | 23-27 | 0,02504 | | 8748 |
| Unicells classes incertae sedis | Unicells species incertae sedis | <2 | 0,00427 | | 1067238 |
| Unicells classes incertae sedis | Unicells species incertae sedis | 2-3 | 0,01246 | | 1557117 |
| Unicells classes incertae sedis | Unicells species incertae sedis | 3-5 | 0,01790 | | 542367 |
| | Värde | Ref | EK | nEK | |
| Klorofyll | 3,30 | 1,68 | 0,51 | 0,50 | |
| Biovolym | 0,83 | 0,21 | 0,25 | 0,40 | |
| Sammanvägd status, nEK | | | | 0,45 | |

Sollenkroka

Det.: Jon Karlsson, Pelagia Nature & Environment AB

Provtagningsdatum: 2025-10-07

Analysdatum: 2026-02-04

Typindelning: 12n

| Grupp | Taxa | Storlek (µm) | Biovolym (mm ³ /l) | Pot. toxisk | Antal/L |
|---------------------------------|---------------------------------|---------------|-------------------------------|-------------|---------|
| Bacillariophyceae | Centrales | 60-70 | 0,28430 | | 4396 |
| Bacillariophyceae | Centrales | 7-12 | 0,00448 | | 8793 |
| Bacillariophyceae | Centrales | 40-50 | 0,07862 | | 2198 |
| Bacillariophyceae | Chaetoceros | 10x10 | 0,00131 | | 2384 |
| Bacillariophyceae | Skeletonema | 3x6-8 | 0,00003 | | 596 |
| Chlorophyceae | Chlorophyceae | 4-6 | 0,01372 | | 211027 |
| Chlorophyceae | Chlorophyceae | 6-8 | 0,00317 | | 17586 |
| Chlorophyceae | Monoraphidium | 2-3x40-50 | 0,00104 | | 8793 |
| Chlorophyceae | Scenedesmus | 4-5x8-12 | 0,00047 | | 2198 |
| Chlorophyceae | Sphaerocystis | 5-6 | 0,01224 | | 140685 |
| Cryptophyceae | Cryptomonas | 7-8x16-18 | 0,02814 | X | 70342 |
| Cryptophyceae | Cryptomonas | 10-13x20-26 | 0,03358 | X | 26378 |
| Cryptophyceae | Cryptomonas | 13-14x26-30 | 0,03756 | X | 17586 |
| Cryptophyceae | Hemiselmis | 3x4-6 | 0,00277 | | 184649 |
| Cryptophyceae | Plagioselmis | 3-4x5-7 | 0,00330 | | 131892 |
| Cryptophyceae | Plagioselmis | 5-7x7-9 | 0,01006 | | 96721 |
| Cryptophyceae | Teleaulax | 5-6x11-15 | 0,02528 | | 202234 |
| Cyanophyceae | Dolichospermum | 7-9x100 | 0,00200 | X | 596 |
| Cyanophyceae | Microcystis | 3-7 | 0,03429 | X | 527568 |
| Cyanophyceae | Planktolyngbya | 2x100 | 0,01104 | | 35171 |
| Cyanophyceae | Pseudanabaena | 1,5x10 | 0,00253 | | 140685 |
| Cyanophyceae | Woronichinia compacta | 1,5-3,4x3-5,6 | 0,03693 | | 2461984 |
| Dictyochophyceae | Apedinella | 9 | 0,00335 | | 8793 |
| Dictyochophyceae | Pseudopedinella | 7-9 | 0,00943 | | 35171 |
| Dinophyceae | Dinophyceae | <10 | 0,02299 | | 43964 |
| Dinophyceae | Heterocapsa | 5-7x10-12 | 0,02205 | X | 167063 |
| Euglenophyceae | Eutreptiella | 5-7x10-15 | 0,00830 | | 35171 |
| Euglenophyceae | Eutreptiella | 5-7x15-20 | 0,02902 | | 87928 |
| Litostomatea | Mesodinium rubrum | 16-20 | 0,02312 | | 6595 |
| Litostomatea | Mesodinium rubrum | 27-33 | 0,06212 | | 4396 |
| Pyramimonadophyceae | Pyramimonas | 4x3 | 0,00907 | | 378090 |
| Pyramimonadophyceae | Pyramimonas | 5-7x5 | 0,01161 | | 96721 |
| Pyramimonadophyceae | Pyramimonas | 10-12x9 | 0,01907 | | 26378 |
| Thecofilosea | Ebria tripartita | 23-27 | 0,02516 | | 8793 |
| Unicells classes incertae sedis | Unicells species incertae sedis | <2 | 0,00331 | | 826523 |
| Unicells classes incertae sedis | Unicells species incertae sedis | 2-3 | 0,01069 | | 1336506 |
| Unicells classes incertae sedis | Unicells species incertae sedis | 3-5 | 0,01567 | | 474811 |
| | Värde | Ref | EK | nEK | |
| Klorofyll | 6,60 | 1,74 | 0,26 | 0,31 | |
| Biovolym | 0,90 | 0,22 | 0,24 | 0,40 | |
| Sammanvägd status, nEK | | | | 0,36 | |



Sollenkroka

Det.: Jon Karlsson, Pelagia Nature & Environment AB

Provtagningsdatum: 2025-11-13

Analysdatum: 2026-02-04

Typindelning: 12n

| Grupp | Taxa | Storlek (µm) | Biovolym (mm ³ /l) | Pot. toxisk | Antal/L |
|---------------------------------|---------------------------------|---------------|-------------------------------|-------------|---------|
| Bacillariophyceae | Centrales | 60-70 | 0,01315 | | 203 |
| Bacillariophyceae | Centrales | 32-40 | 0,03226 | | 1917 |
| Bacillariophyceae | Centrales | 40-50 | 0,02183 | | 610 |
| Bacillariophyceae | Chaetoceros | 8x8 | 0,00525 | | 15336 |
| Bacillariophyceae | Pennales | 4-6x35-50 | 0,00161 | | 3834 |
| Bacillariophyceae | Skeletonema | 3x6-8 | 0,00003 | | 610 |
| Chlorophyceae | Chlorophyceae | 4-6 | 0,00548 | | 84349 |
| Chlorophyceae | Chlorophyceae | 6-8 | 0,00276 | | 15336 |
| Chlorophyceae | Chlorophyceae | 4-6x6-10 | 0,00966 | | 92017 |
| Chlorophyceae | Monoraphidium | 2-3x40-50 | 0,00181 | | 15336 |
| Chlorophyceae | Monoraphidium contortum | 1.5-2x20-30 | 0,00015 | | 7668 |
| Chlorophyceae | Monoraphidium contortum | 2-3x20-30 | 0,00031 | | 7668 |
| Cryptophyceae | Cryptomonadales | 4.5x8 | 0,00083 | | 15336 |
| Cryptophyceae | Cryptomonas | 7-8x16-18 | 0,01227 | X | 30672 |
| Cryptophyceae | Cryptomonas | 10-13x20-26 | 0,01952 | X | 15336 |
| Cryptophyceae | Cryptomonas | 13-14x26-30 | 0,00087 | X | 407 |
| Cryptophyceae | Hemiselmis | 3x4-6 | 0,00081 | | 53677 |
| Cryptophyceae | Plagioselmis | 3-4x5-7 | 0,00077 | | 30672 |
| Cryptophyceae | Plagioselmis | 5-7x7-9 | 0,00239 | | 23004 |
| Cryptophyceae | Teleaulax | 5-6x11-15 | 0,00383 | | 30672 |
| Cyanophyceae | Aphanocapsa | 0.8-1.5 | 0,00028 | | 306724 |
| Cyanophyceae | Planktolyngbya | 2x100 | 0,00361 | | 11502 |
| Cyanophyceae | Pseudanabaena | 1.5x10 | 0,00055 | | 30672 |
| Cyanophyceae | Woronichinia compacta | 1.5-3.4x3-5.6 | 0,01725 | | 1150215 |
| Dinophyceae | Dinophysis | 30-40 | 0,00144 | X | 203 |
| Dinophyceae | Gymnodiniales | <10 | 0,01445 | | 30672 |
| Dinophyceae | Heterocapsa | 5-7x10-12 | 0,00405 | X | 30672 |
| Euglenophyceae | Eutreptiella | 5-7x15-20 | 0,00253 | | 7668 |
| Euglenophyceae | Trachelomonas | 6-10x10-15 | 0,00354 | | 7668 |
| Litostomatea | Mesodinium rubrum | 16-20 | 0,00672 | | 1917 |
| Litostomatea | Mesodinium rubrum | 27-33 | 0,08126 | | 5751 |
| Pyramimonadophyceae | Pyramimonas | 4x3 | 0,00018 | | 7668 |
| Thecofilosea | Ebria tripartita | 27-33 | 0,00101 | | 203 |
| Trebouxiophyceae | Crucigenia quadrata | 4-5 | 0,00147 | | 7668 |
| Trebouxiophyceae | Oocystis | 4-5x7-8 | 0,00242 | | 30672 |
| Trebouxiophyceae | Oocystis | 6-8x12-17 | 0,00571 | | 15336 |
| Unicells classes incertae sedis | Unicells species incertae sedis | <2 | 0,00196 | | 490755 |
| Unicells classes incertae sedis | Unicells species incertae sedis | 2-3 | 0,00626 | | 782141 |
| Unicells classes incertae sedis | Unicells species incertae sedis | 3-5 | 0,00860 | | 260714 |
| | Värde | Ref | EK | nEK | |
| Klorofyll | 6,70 | 1,82 | 0,27 | 0,32 | |
| Biovolym | 0,30 | 0,23 | 0,78 | 0,84 | |
| Sammanvägd status, nEK | | | | 0,58 | |



Trälhavet

Det.: Jon Karlsson, Pelagia Nature & Environment AB

Provtagningsdatum: 2025-01-13

Analysdatum: 2025-06-10

Typindelning: 12n

| Grupp | Taxa | Storlek (µm) | Biovolym (mm ³ /l) | Pot. toxisk | Antal/L |
|---------------------------------|---------------------------------|--------------|-------------------------------|-------------|---------|
| Bacillariophyceae | Aulacoseira | 6x10-15 | 0,00356 | | 10491 |
| Bacillariophyceae | Aulacoseira | 8x20-25 | 0,00370 | | 3036 |
| Bacillariophyceae | Centrales | 60-70 | 0,01309 | | 202 |
| Bacillariophyceae | Centrales | 7-12 | 0,00195 | | 3815 |
| Bacillariophyceae | Centrales | 12-17 | 0,00164 | | 954 |
| Bacillariophyceae | Centrales | 50-60 | 0,03304 | | 506 |
| Bacillariophyceae | Chaetoceros | 11-15x11-15 | 0,00024 | | 202 |
| Bacillariophyceae | Navicula | 9-11x30-40 | 0,00801 | | 3815 |
| Bacillariophyceae | Pennales | 1-3x25-40 | 0,00000 | | 101 |
| Bacillariophyceae | Pennales | 4-6x70-100 | 0,00162 | | 1907 |
| Chlorophyceae | Chlorophyceae | 4-6 | 0,00074 | | 11444 |
| Chlorophyceae | Monoraphidium contortum | 1,5-2x20-30 | 0,00031 | | 15259 |
| Chlorophyceae | Monoraphidium contortum | 2-3x20-30 | 0,00031 | | 7629 |
| Chlorophyceae | Monoraphidium dybowskii | 2-6x8-12 | 0,00032 | | 3815 |
| Cryptophyceae | Cryptomonadales | 5x10 | 0,00063 | | 7629 |
| Cryptophyceae | Cryptomonas | 4-5x8-12 | 0,00174 | X | 26703 |
| Cryptophyceae | Hemiselmis | 3x4-6 | 0,00034 | | 22888 |
| Cryptophyceae | Plagioselmis | 3-4x5-7 | 0,00076 | | 30518 |
| Cryptophyceae | Plagioselmis | 4-5x7-9 | 0,00144 | | 26703 |
| Cyanophyceae | Pseudanabaena | 1,5x100 | 0,00135 | | 7629 |
| Dinophyceae | Dinophyceae | 20-25 | 0,00569 | | 954 |
| Dinophyceae | Dinophysis | 30-40 | 0,02022 | X | 2861 |
| Dinophyceae | Gymnodiniales | 10-15 | 0,00311 | | 3815 |
| Dinophyceae | Gymnodiniales | <10 | 0,00064 | | 3815 |
| Litostomatea | Mesodinium rubrum | 20-27 | 0,02132 | | 2861 |
| Unicells classes incertae sedis | Unicells species incertae sedis | <2 | 0,00035 | | 87738 |
| Unicells classes incertae sedis | Unicells species incertae sedis | 2-3 | 0,00061 | | 76294 |
| Unicells classes incertae sedis | Unicells species incertae sedis | 3-5 | 0,00176 | | 53406 |
| Unicells classes incertae sedis | Unicells species incertae sedis | 5-7 | 0,00086 | | 7629 |
| | Värde | Ref | EK | nEK | |
| Klorofyll | 1,40 | 2,66 | 1,00 | 1,00 | |
| Biovolym | 0,13 | 0,41 | 1,00 | 1,00 | |
| Sammanvägd status, nEK | | | | 1,00 | |



Trälhavet

Det.: Jon Karlsson, Pelagia Nature & Environment AB

Provtagningsdatum: 2025-02-17

Analysdatum: 2025-06-12

Typindelning: 12n

| Grupp | Taxa | Storlek (µm) | Biovolym (mm ³ /l) | Pot. toxisk | Antal/L |
|---------------------------------|---------------------------------|--------------|-------------------------------|-------------|---------|
| Bacillariophyceae | Asterionella formosa | 3-4x60-80 | 0,00656 | | 7645 |
| Bacillariophyceae | Aulacoseira | 8x20-25 | 0,01048 | | 8600 |
| Bacillariophyceae | Centrales | 60-70 | 0,01312 | | 203 |
| Bacillariophyceae | Centrales | 7-12 | 0,00780 | | 15290 |
| Bacillariophyceae | Centrales | 12-17 | 0,01975 | | 11467 |
| Bacillariophyceae | Centrales | 22-27 | 0,02344 | | 3822 |
| Bacillariophyceae | Centrales | 27-32 | 0,01013 | | 956 |
| Bacillariophyceae | Centrales | 32-40 | 0,01608 | | 956 |
| Bacillariophyceae | Chaetoceros | 8x15-17 | 0,00040 | | 710 |
| Bacillariophyceae | Diatoma vulgaris | 5-6x15-25 | 0,00817 | | 17201 |
| Bacillariophyceae | Navicula | 7-8x30-40 | 0,00451 | | 3822 |
| Bacillariophyceae | Nitzschia | 10x180-240 | 0,00107 | X | 101 |
| Bacillariophyceae | Pennales | 10-12x50-70 | 0,00482 | | 1911 |
| Bacillariophyceae | Pennales | 10-12x70-110 | 0,00072 | | 203 |
| Bacillariophyceae | Pennales | 4-6x15-25 | 0,00917 | | 45869 |
| Bacillariophyceae | Pennales | 4-6x25-35 | 0,00344 | | 11467 |
| Bacillariophyceae | Skeletonema | 4x7-8 | 0,00025 | | 2636 |
| Bacillariophyceae | Thalassiosira | 27-32 | 0,00430 | | 406 |
| Chlorophyceae | Chlorophyceae | 4-6 | 0,00149 | | 22934 |
| Chlorophyceae | Chlorophyceae | 6-8 | 0,00069 | | 3822 |
| Chlorophyceae | Monoraphidium | 1-2x8-12 | 0,00003 | | 3822 |
| Chlorophyceae | Monoraphidium contortum | 1,5-2x20-30 | 0,00008 | | 3822 |
| Chlorophyceae | Monoraphidium contortum | 3-4x20-30 | 0,00031 | | 3822 |
| Cryptophyceae | Cryptomonas | 4-5x8-12 | 0,00050 | X | 7645 |
| Cryptophyceae | Hemiselmis | 3x4-6 | 0,00011 | | 7645 |
| Cryptophyceae | Plagioselmis | 3-4x5-7 | 0,00010 | | 3822 |
| Cryptophyceae | Plagioselmis | 4-5x7-9 | 0,00062 | | 11467 |
| Cyanophyceae | Aphanizomenon | 4x100 | 0,00140 | X | 1115 |
| Cyanophyceae | Aphanizomenon | 5x100 | 0,00119 | X | 608 |
| Cyanophyceae | Dolichospermum | 5-7x100 | 0,00180 | X | 956 |
| Cyanophyceae | Planktolyngbya | 1,5x100 | 0,00135 | | 7645 |
| Cyanophyceae | Pseudanabaena | 1,5x100 | 0,00068 | | 3822 |
| Dinophyceae | Dinophyceae | <10 | 0,00200 | | 3822 |
| Dinophyceae | Dinophyceae | 20-25 | 0,00363 | | 608 |
| Dinophyceae | Peridiniella catenata | 27-30 | 0,00117 | | 203 |
| Klebsormidiophyceae | Elakatothrix genevensis | 4-6x25-35 | 0,00075 | | 3822 |
| Litostomatea | Mesodinium rubrum | 10-14 | 0,00489 | | 3822 |
| Litostomatea | Mesodinium rubrum | 16-20 | 0,00107 | | 304 |
| Litostomatea | Mesodinium rubrum | 20-27 | 0,00076 | | 101 |
| Trebouxiophyceae | Koliella | 1,5x30-50 | 0,00015 | | 3822 |
| Trebouxiophyceae | Lagerheimia | 3x5-6 | 0,00010 | | 3822 |
| Unicells classes incertae sedis | Unicells species incertae sedis | <2 | 0,00028 | | 68803 |
| Unicells classes incertae sedis | Unicells species incertae sedis | 2-3 | 0,00089 | | 110850 |
| Unicells classes incertae sedis | Unicells species incertae sedis | 3-5 | 0,00177 | | 53514 |
| Unicells classes incertae sedis | Unicells species incertae sedis | 5-7 | 0,00173 | | 15290 |
| Zygnematophyceae | Closterium | 6-7x150-250 | 0,00338 | | 956 |
| | Värde | Ref | EK | nEK | |
| Klorofyll | 1,10 | 4,09 | 1,00 | 1,00 | |
| Biovolym | 0,18 | 0,78 | 1,00 | 1,00 | |
| Sammanvägd status, nEK | | | | 1,00 | |



Trälhavet

Det.: Jon Karlsson, Pelagia Nature & Environment AB

Provtagningsdatum: 2025-03-12

Analysdatum: 2025-08-14

Typindelning: 12n

| Grupp | Taxa | Storlek (µm) | Biovolym (mm ³ /l) | Pot. toxisk | Antal/L |
|---------------------------------|---------------------------------|---------------|-------------------------------|-------------|---------|
| Bacillariophyceae | Aulacoseira | 8x20-25 | 0,00935 | | 7668 |
| Bacillariophyceae | Centrales | 3-7 | 0,00147 | | 23004 |
| Bacillariophyceae | Centrales | 7-12 | 0,01173 | | 23004 |
| Bacillariophyceae | Centrales | 12-17 | 0,01320 | | 7668 |
| Bacillariophyceae | Centrales | 40-50 | 0,06857 | | 1917 |
| Bacillariophyceae | Chaetoceros | 5-6x7 | 0,00534 | | 46009 |
| Bacillariophyceae | Chaetoceros minimus | 1-2x5-7 | 0,00042 | | 38341 |
| Bacillariophyceae | Melosira | 7-9x10-15 | 0,00053 | | 814 |
| Bacillariophyceae | Pennales | 12-20x90-120 | 0,00205 | | 203 |
| Bacillariophyceae | Pennales | 2x15-25 | 0,00092 | | 23004 |
| Bacillariophyceae | Pennales | 1-3x25-40 | 0,00038 | | 7668 |
| Bacillariophyceae | Pennales | 4-6x25-35 | 0,04371 | | 145694 |
| Bacillariophyceae | Pennales | 1-3x100-150 | 0,00036 | | 1917 |
| Bacillariophyceae | Pennales | 4-6x35-50 | 0,00644 | | 15336 |
| Bacillariophyceae | Skeletonema | 7x9-14 | 0,02839 | | 67095 |
| Bacillariophyceae | Skeletonema | 5x7-10 | 0,04445 | | 266463 |
| Bacillariophyceae | Thalassiosira | 32-40 | 0,01711 | | 1017 |
| Bacillariophyceae | Thalassiosira | 40-50 | 0,02183 | | 610 |
| Bacillariophyceae | Thalassiosira | 50-60 | 0,02656 | | 407 |
| Chlorophyceae | Chlamydomonas | 6-10 | 0,00951 | | 30672 |
| Chlorophyceae | Chlorophyceae | 2-4 | 0,00075 | | 53677 |
| Chlorophyceae | Chlorophyceae | 4-6 | 0,00548 | | 84349 |
| Chlorophyceae | Desmodesmus bicellularis | 2-3x4-6 | 0,00557 | | 168698 |
| Chlorophyceae | Monoraphidium | 1-2x8-12 | 0,00007 | | 7668 |
| Chlorophyceae | Monoraphidium | 1x50-60 | 0,00018 | | 7668 |
| Chlorophyceae | Monoraphidium contortum | 1,2-1,5x15-20 | 0,00025 | | 30672 |
| Chrysophyceae | Chrysidiastrum cf. catenatum | 10-12x12-15 | 0,01967 | | 23004 |
| Cryptophyceae | Hemiselmis | 3x4-6 | 0,00046 | | 30672 |
| Cryptophyceae | Plagioselmis | 3-4x5-7 | 0,00115 | | 46009 |
| Cryptophyceae | Plagioselmis | 5-7x7-9 | 0,00319 | | 30672 |
| Cyanophyceae | Merismopedia | 0,5-3 | 0,00008 | | 7668 |
| Cyanophyceae | Planktolyngbya | 1,5x100 | 0,00679 | | 38341 |
| Cyanophyceae | Planktothrix | 6x100 | 0,01083 | X | 3834 |
| Dinophyceae | Dinophyceae | <10 | 0,00401 | | 7668 |
| Dinophyceae | Dinophyceae | 10-15 | 0,00784 | | 7668 |
| Dinophyceae | Dinophyceae | 20-25 | 0,03428 | | 5751 |
| Dinophyceae | Peridiniella catenata | 31-35 | 0,03826 | | 4068 |
| Litostomatea | Mesodinium rubrum | 14-16 | 0,01693 | | 7668 |
| Litostomatea | Mesodinium rubrum | 16-20 | 0,01344 | | 3834 |
| Litostomatea | Mesodinium rubrum | 20-27 | 0,04285 | | 5751 |
| Unicells classes incertae sedis | Unicells species incertae sedis | <2 | 0,00178 | | 444750 |
| Unicells classes incertae sedis | Unicells species incertae sedis | 2-3 | 0,00546 | | 682461 |
| Unicells classes incertae sedis | Unicells species incertae sedis | 3-5 | 0,01442 | | 437082 |
| Unicells classes incertae sedis | Unicells species incertae sedis | 5-7 | 0,01560 | | 138026 |
| | Värde | Ref | EK | nEK | |
| Klorofyll | 3,20 | 2,11 | 0,66 | 0,59 | |
| Biovolym | 0,56 | 0,29 | 0,52 | 0,58 | |
| Sammanvägd status, nEK | | | | 0,58 | |



Trälhavet

Det.: Jon Karlsson, Pelagia Nature & Environment AB

Provtagningsdatum: 2025-04-15

Analysdatum: 2025-08-19

Typindelning: 12n

| Grupp | Taxa | Storlek (µm) | Biovolym (mm ³ /l) | Pot. toxisk | Antal/L |
|---------------------|--------------------------|---------------|-------------------------------|-------------|---------|
| Bacillariophyceae | Centrales | 17-22 | 0,00602 | | 1917 |
| Bacillariophyceae | Centrales | 32-40 | 0,06452 | | 3834 |
| Bacillariophyceae | Centrales | 50-60 | 0,25040 | | 3834 |
| Bacillariophyceae | Chaetoceros | 6-8x11-13 | 0,11150 | | 345065 |
| Bacillariophyceae | Chaetoceros | 11-15x11-15 | 0,20360 | | 168698 |
| Bacillariophyceae | Chaetoceros | 7x7 | 0,10180 | | 444750 |
| Bacillariophyceae | Diatoma tenuis | 3x30-50 | 1,02700 | | 2852515 |
| Bacillariophyceae | Diatoma vulgare | 5-6x15-25 | 0,34970 | | 736133 |
| Bacillariophyceae | Nitzschia cf. acicularis | 3x35-45 | 0,03316 | | 176366 |
| Bacillariophyceae | Pennales | 7-9x70-100 | 0,01825 | | 7668 |
| Bacillariophyceae | Pennales | 4-6x25-35 | 0,02530 | | 84349 |
| Bacillariophyceae | Pennales | 4-6x35-50 | 0,03221 | | 76681 |
| Bacillariophyceae | Pennales | 4-6x50-70 | 0,00575 | | 9585 |
| Bacillariophyceae | Skeletonema | 3x6-8 | 0,10170 | | 2055037 |
| Bacillariophyceae | Skeletonema | 5x7-10 | 0,09209 | | 552100 |
| Bacillariophyceae | Thalassiosira | 60-70 | 0,49590 | | 7668 |
| Bacillariophyceae | Thalassiosira | 27-32 | 0,08127 | | 7668 |
| Chlorophyceae | Chlamydomonas | 10-15 | 0,01567 | | 15336 |
| Chlorophyceae | Chlorophyceae | 4-6 | 0,00648 | | 99685 |
| Chlorophyceae | Chlorophyceae | 6-8 | 0,01104 | | 61345 |
| Chlorophyceae | Desmodesmus bicellularis | 2-3x4-6 | 0,00076 | | 23004 |
| Chlorophyceae | Monoraphidium | 2-3x40-50 | 0,00272 | | 23004 |
| Chlorophyceae | Monoraphidium contortum | 1,2-1,5x15-20 | 0,00061 | | 76681 |
| Chlorophyceae | Monoraphidium contortum | 1,5-2x20-30 | 0,00123 | | 61345 |
| Chrysophyceae | Dinobryon | 3-5x4-6 | 0,00161 | | 38341 |
| Cryptophyceae | Cryptomonas | 7-8x16-18 | 0,00307 | X | 7668 |
| Cryptophyceae | Cryptomonas | 6x12-17 | 0,00130 | X | 7668 |
| Cryptophyceae | Plagioselmis | 3-4x5-7 | 0,00307 | | 122690 |
| Cryptophyceae | Plagioselmis | 4-5x7-9 | 0,00248 | | 46009 |
| Cyanophyceae | Planktolyngbya | 2x100 | 0,00482 | | 15336 |
| Dictyochophyceae | Pseudopedinella | 7-9 | 0,00822 | | 30672 |
| Dinophyceae | Dinophyceae | 10-15 | 0,06269 | | 61345 |
| Dinophyceae | Dinophyceae | 15-20 | 0,43020 | | 153362 |
| Dinophyceae | Dinophyceae | 20-25 | 0,04571 | | 7668 |
| Dinophyceae | Dinophyceae | 25-30 | 0,25040 | | 23004 |
| Dinophyceae | Gymnodiniales | 20-27 | 0,39500 | | 53677 |
| Dinophyceae | Peridinales | 15-20 | 0,06309 | | 30672 |
| Dinophyceae | Peridiniella catenata | 20-23 | 0,08545 | | 30672 |
| Dinophyceae | Peridiniella catenata | 24-26 | 0,43900 | | 107352 |
| Dinophyceae | Peridiniella catenata | 31-35 | 0,03605 | | 3834 |
| Euglenophyceae | Euglena | 8-12x25-35 | 0,02889 | | 23004 |
| Euglenophyceae | Eutreptiella | 5-7x10-15 | 0,01810 | | 76681 |
| Euglenophyceae | Eutreptiella | 5-7x15-20 | 0,06073 | | 184034 |
| Euglenophyceae | Eutreptiella | 7-9x25-30 | 0,03531 | | 38341 |
| Euglenophyceae | Trachelomonas | 6-10x10-15 | 0,00709 | | 15336 |
| Litostomatea | Mesodinium rubrum | 20-27 | 0,34280 | | 46009 |
| Litostomatea | Mesodinium rubrum | 33-37 | 0,25810 | | 11502 |
| Pyramimonadophyceae | Pyramimonas | 5-7x5 | 0,00460 | | 38341 |
| Trebouxiophyceae | Koliella | 1,5x30-50 | 0,00058 | | 15336 |
| Trebouxiophyceae | Koliella longiseta | 1,5x50-70 | 0,00131 | | 23004 |

Artlistan fortsätter på nästa sida.

| | | | | |
|---------------------------------|---------------------------------|------------|-----------|------------|
| Unicells classes incertae sedis | Unicells species incertae sedis | <2 | 0,00485 | 1211552 |
| Unicells classes incertae sedis | Unicells species incertae sedis | 2-3 | 0,00699 | 874158 |
| Unicells classes incertae sedis | Unicells species incertae sedis | 3-5 | 0,01771 | 536764 |
| Unicells classes incertae sedis | Unicells species incertae sedis | 5-7 | 0,01733 | 153361 |
| | Värde | Ref | EK | nEK |
| Klorofyll | 24,00 | 2,01 | 0,08 | 0,11 |
| Biovolym | 5,68 | 0,27 | 0,05 | 0,12 |
| Sammanvägd status, nEK | | | | 0,12 |

Trälhavet

Det.: Jon Karlsson, Pelagia Nature & Environment AB

Provtagningsdatum: 2025-04-29

Analysdatum: 2025-08-28

Typindelning: 12n

| Grupp | Taxa | Storlek (µm) | Biovolym (mm ³ /l) | Pot. toxisk | Antal/L |
|---------------------|-------------------------|--------------|-------------------------------|-------------|---------|
| Bacillariophyceae | Centrales | 7-12 | 0,00390 | | 7645 |
| Bacillariophyceae | Centrales | 32-40 | 0,04824 | | 2867 |
| Bacillariophyceae | Chaetoceros | 6-8x11-13 | 0,00864 | | 26757 |
| Bacillariophyceae | Chaetoceros | 7x7 | 0,01050 | | 45869 |
| Bacillariophyceae | Chaetoceros minimus | 1-2x5-7 | 0,00004 | | 3822 |
| Bacillariophyceae | Diatoma | 2-4x20-40 | 0,21360 | | 791237 |
| Bacillariophyceae | Diatoma tenuis | 3x30-50 | 0,07156 | | 198765 |
| Bacillariophyceae | Diatoma vulgaris | 5-6x15-25 | 0,03268 | | 68803 |
| Bacillariophyceae | Melosira | 7-9x10-15 | 0,00250 | | 3822 |
| Bacillariophyceae | Nitzschia | 3x8-12 | 0,00138 | X | 30579 |
| Bacillariophyceae | Nitzschia | 3x35-45 | 0,00206 | X | 11467 |
| Bacillariophyceae | Pennales | 1-3x25-40 | 0,00225 | | 45869 |
| Bacillariophyceae | Pennales | 4-6x50-70 | 0,05046 | | 84093 |
| Bacillariophyceae | Thalassiosira | 27-32 | 0,29370 | | 27712 |
| Bacillariophyceae | Thalassiosira | 40-50 | 0,10250 | | 2867 |
| Bacillariophyceae | Thalassiosira | 50-60 | 0,43680 | | 6689 |
| Chlorophyceae | Chlamydomonas | 10-15 | 0,00781 | | 7645 |
| Chlorophyceae | Chlorophyceae | 4-6 | 0,00298 | | 45869 |
| Chlorophyceae | Chlorophyceae | 6-8 | 0,00550 | | 30579 |
| Chlorophyceae | Monoraphidium | 1-2x8-12 | 0,00003 | | 3822 |
| Chlorophyceae | Monoraphidium | 2-3x40-50 | 0,00135 | | 11467 |
| Chlorophyceae | Monoraphidium contortum | 1,5-2x20-30 | 0,00199 | | 99382 |
| Chlorophyceae | Monoraphidium contortum | 2-3x20-30 | 0,00157 | | 38224 |
| Chlorophyceae | Monoraphidium contortum | 4-5x30-40 | 0,00141 | | 7645 |
| Choanoflagellata | Choanoflagellata | 4-5 | 0,00110 | | 22934 |
| Chrysophyceae | Dinobryon | 2-4x3-5 | 0,00022 | | 11467 |
| Cryptophyceae | Cryptophyceae | 7x10-12 | 0,00071 | | 3822 |
| Cryptophyceae | Hemiselmis | 3x4-6 | 0,00029 | | 19112 |
| Cryptophyceae | Plagioselmis | 3-4x5-7 | 0,00067 | | 26757 |
| Cryptophyceae | Plagioselmis | 5-7x7-9 | 0,00080 | | 7645 |
| Cyanophyceae | Dolichospermum | 4-5x100 | 0,00022 | X | 203 |
| Cyanophyceae | Dolichospermum | 7-9x100 | 0,00238 | X | 710 |
| Cyanophyceae | Planktolyngbya | 1,5x100 | 0,00880 | | 49691 |
| Dinophyceae | Dinophyceae | 20-25 | 0,04557 | | 7645 |
| Dinophyceae | Dinophyceae | 15-20 | 0,04289 | | 15290 |
| Dinophyceae | Dinophyceae | 40 | 0,03201 | | 956 |
| Dinophyceae | Dinophysis | 25-30 | 0,00346 | X | 956 |
| Dinophyceae | Gymnodiniales | 10-15 | 0,01867 | | 22934 |
| Dinophyceae | Peridinales | 20-27 | 0,15840 | | 91738 |
| Dinophyceae | Peridiniella catenata | 20-23 | 0,08519 | | 30579 |
| Dinophyceae | Peridiniella catenata | 24-26 | 0,17970 | | 43958 |
| Euglenophyceae | Eutreptiella | 9-11x10-15 | 0,01000 | | 15290 |
| Euglenophyceae | Trachelomonas | 6-10x10-15 | 0,00177 | | 3822 |
| Klebsormidiophyceae | Elakatothrix | 5-6x25-30 | 0,00083 | | 3822 |
| Litostomatea | Mesodinium rubrum | 16-20 | 0,03015 | | 8600 |
| Litostomatea | Mesodinium rubrum | 20-27 | 0,02136 | | 2867 |
| Litostomatea | Mesodinium rubrum | 33-37 | 0,00910 | | 406 |
| Trebouxiophyceae | Koliella | 1,5x30-50 | 0,00044 | | 11467 |

Artlistan fortsätter på nästa sida.

| | | | | |
|---------------------------------|---------------------------------|------------|-----------|------------|
| Unicells classes incertae sedis | Unicells species incertae sedis | <2 | 0,00144 | 359306 |
| Unicells classes incertae sedis | Unicells species incertae sedis | 2-3 | 0,00404 | 504557 |
| Unicells classes incertae sedis | Unicells species incertae sedis | 3-5 | 0,01060 | 321082 |
| Unicells classes incertae sedis | Unicells species incertae sedis | 5-7 | 0,00605 | 53514 |
| | Värde | Ref | EK | nEK |
| Klorofyll | 11,00 | 1,78 | 0,16 | 0,21 |
| Biovolym | 1,98 | 0,22 | 0,11 | 0,24 |
| Sammanvägd status, nEK | | | | 0,23 |

Trälhavet

Det.: Jon Karlsson, Pelagia Nature & Environment AB

Provtagningsdatum: 2025-05-13

Analysdatum: 2026-02-24

Typindelning: 12n

| Grupp | Taxa | Storlek (µm) | Biovolym (mm ³ /l) | Pot. toxisk | Antal/L |
|---------------------------------|---------------------------------|--------------|-------------------------------|-------------|---------|
| Bacillariophyceae | Centrales | 60-70 | 0,14140 | | 2187 |
| Bacillariophyceae | Centrales | 12-17 | 0,01506 | | 8748 |
| Bacillariophyceae | Centrales | 40-50 | 0,23470 | | 6561 |
| Bacillariophyceae | Chaetoceros | 11-15x11-15 | 0,00095 | | 791 |
| Bacillariophyceae | Chaetoceros | 10x10 | 0,10100 | | 183706 |
| Bacillariophyceae | Diatoma | 2-4x20-40 | 0,27870 | | 1032246 |
| Bacillariophyceae | Navicula | 4-6x20-30 | 0,00328 | | 8748 |
| Bacillariophyceae | Nitzschia acicularis | 1,5-2x18-22 | 0,00149 | | 43740 |
| Bacillariophyceae | Pennales | 2x15-25 | 0,01540 | | 384908 |
| Bacillariophyceae | Pennales | 1-3x25-40 | 0,00986 | | 201202 |
| Bacillariophyceae | Pennales | 4-6x35-50 | 0,19470 | | 463639 |
| Bacillariophyceae | Pennales | 4-6x50-70 | 0,05905 | | 98411 |
| Bacillariophyceae | Pennales | 4-6x70-100 | 0,02231 | | 26243 |
| Bacillariophyceae | Thalassiosira | 27-32 | 0,00419 | | 395 |
| Chlorophyceae | Chlorophyceae | 4-6 | 0,00682 | | 104975 |
| Chlorophyceae | Chlorophyceae | 6-8 | 0,01102 | | 61235 |
| Chlorophyceae | Monoraphidium contortum | 2-3x20-30 | 0,02080 | | 507378 |
| Chlorophyceae | Monoraphidium contortum | 4-5x30-40 | 0,02751 | | 148714 |
| Chrysophyceae | Dinobryon | 3-5x4-6 | 0,00037 | | 8748 |
| Chrysophyceae | Dinobryon | 2-4x8-10 | 0,00110 | | 26244 |
| Cryptophyceae | Cryptophyceae | 4,5x8 | 0,00047 | | 8748 |
| Cryptophyceae | Hemiselmis | 3x4-6 | 0,00013 | | 8748 |
| Cryptophyceae | Plagioselmis | 3-4x5-7 | 0,00044 | | 17496 |
| Cyanophyceae | Aphanizomenon | 4x100 | 0,00124 | X | 989 |
| Cyanophyceae | Cyanophyceae | 2 | 0,00018 | | 43740 |
| Cyanophyceae | Planktolyngbya | 2x100 | 0,04670 | | 148714 |
| Dictyochophyceae | Pseudopedinella | 5-7 | 0,00099 | | 8748 |
| Dinophyceae | Dinophyceae | 10-15 | 0,00894 | | 8748 |
| Dinophyceae | Dinophyceae | 20-25 | 0,05215 | | 8748 |
| Dinophyceae | Dinophyceae | 25-30 | 0,21420 | | 19682 |
| Dinophyceae | Dinophyceae | 40 | 0,36620 | | 10935 |
| Dinophyceae | Dinophysis | 40-45 | 0,00259 | X | 198 |
| Dinophyceae | Peridiniella catenata | 20-23 | 0,02437 | | 8748 |
| Dinophyceae | Peridiniella catenata | 24-26 | 0,14310 | | 34990 |
| Dinophyceae | Peridiniella catenata | 27-30 | 0,10050 | | 17495 |
| Euglenophyceae | Trachelomonas volvocina | 8-12 | 0,00458 | | 8748 |
| Litostomatea | Mesodinium rubrum | 16-20 | 0,06134 | | 17496 |
| Litostomatea | Mesodinium rubrum | 20-27 | 0,06518 | | 8748 |
| Litostomatea | Mesodinium rubrum | 33-37 | 0,19630 | | 8748 |
| Thecofilosea | Ebria tripartita | 23-27 | 0,01878 | | 6561 |
| Thecofilosea | Ebria tripartita | 27-33 | 0,02163 | | 4374 |
| Unicells classes incertae sedis | Unicells species incertae sedis | <2 | 0,00259 | | 647341 |
| Unicells classes incertae sedis | Unicells species incertae sedis | 2-3 | 0,00714 | | 892281 |
| Unicells classes incertae sedis | Unicells species incertae sedis | 3-5 | 0,01212 | | 367410 |
| | Värde | Ref | EK | nEK | |
| Klorofyll | 4,30 | 1,82 | 0,42 | 0,45 | |
| Biovolym | 2,50 | 0,23 | 0,09 | 0,22 | |
| Sammanvägd status, nEK | | | | 0,33 | |



Trälhavet

Det.: Jon Karlsson, Pelagia Nature & Environment AB

Provtagningsdatum: 2025-05-28

Analysdatum: 2026-03-03

Typindelning: 12n

| Grupp | Taxa | Storlek (µm) | Biovolym (mm ³ /l) | Pot. toxisk | Antal/L |
|---------------------------------|---------------------------------|---------------|-------------------------------|-------------|---------|
| Bacillariophyceae | Centrales | 27-32 | 0,02032 | | 1917 |
| Bacillariophyceae | Centrales | 40-50 | 0,13710 | | 3834 |
| Bacillariophyceae | Centrales | 50-60 | 0,03985 | | 610 |
| Bacillariophyceae | Chaetoceros wighamii | 13-14x13-14 | 0,03258 | | 21087 |
| Bacillariophyceae | Nitzschia acicularis | 1.5-2x18-22 | 0,00026 | | 7668 |
| Bacillariophyceae | Pennales | 1-3x25-40 | 0,00038 | | 7668 |
| Bacillariophyceae | Pennales | 4-6x25-35 | 0,00460 | | 15336 |
| Bacillariophyceae | Pennales | 4-6x50-70 | 0,00690 | | 11502 |
| Bacillariophyceae | Pennales | 4-6x70-100 | 0,00326 | | 3834 |
| Chlorophyceae | Chlorophyceae | 4-6 | 0,00548 | | 84349 |
| Chlorophyceae | Chlorophyceae | 6-8 | 0,00690 | | 38341 |
| Chlorophyceae | Monoraphidium contortum | 1.2-1.5x15-20 | 0,00043 | | 53677 |
| Chlorophyceae | Monoraphidium contortum | 2-3x20-30 | 0,00849 | | 207039 |
| Choanoflagellata | Choanoflagellata | 4x5 | 0,00032 | | 7668 |
| Chrysophyceae | Dinobryon | 3-5x4-6 | 0,00097 | | 23004 |
| Cryptophyceae | Cryptomonas | 7-8x16-18 | 0,00613 | X | 15336 |
| Cryptophyceae | Cryptomonas | 10-13x20-26 | 0,00976 | X | 7668 |
| Cyanophyceae | Anathece clathrata | 0.4-2x0.8-3.5 | 0,00077 | | 383405 |
| Cyanophyceae | Planktolyngbya | 2x100 | 0,00722 | | 23004 |
| Dictyochophyceae | Pseudopedinella | 5-7 | 0,00087 | | 7668 |
| Dinophyceae | Dinophyceae | 20-25 | 0,04571 | | 7668 |
| Dinophyceae | Dinophyceae | 25-30 | 0,02086 | | 1917 |
| Dinophyceae | Dinophyceae | 40 | 0,06421 | | 1917 |
| Dinophyceae | Peridiniella catenata | 27-30 | 0,04404 | | 7668 |
| Dinophyceae | Peridiniella catenata | 31-35 | 0,00765 | | 814 |
| Litostomatea | Mesodinium rubrum | 20-27 | 0,07142 | | 9585 |
| Litostomatea | Mesodinium rubrum | 27-33 | 0,08126 | | 5751 |
| Thecofilosea | Ebria tripartita | 17-23 | 0,02247 | | 15336 |
| Thecofilosea | Ebria tripartita | 33-37 | 0,01505 | | 1917 |
| Unicells classes incertae sedis | Unicells species incertae sedis | <2 | 0,00282 | | 705461 |
| Unicells classes incertae sedis | Unicells species incertae sedis | 2-3 | 0,01141 | | 1426257 |
| Unicells classes incertae sedis | Unicells species incertae sedis | 3-5 | 0,01063 | | 322058 |
| | Värde | Ref | EK | nEK | |
| Klorofyll | 2,10 | 1,73 | 0,82 | 0,82 | |
| Biovolym | 0,69 | 0,21 | 0,31 | 0,44 | |
| Sammanvägd status, nEK | | | | 0,63 | |



Trälhavet

Det.: Jon Karlsson, Pelagia Nature & Environment AB

Provtagningsdatum: 2025-06-11

Analysdatum: 2026-03-03

Typindelning: 12n

| Grupp | Taxa | Storlek (µm) | Biovolym (mm ³ /l) | Pot. toxisk | Antal/L |
|---------------------------------|---------------------------------|---------------|-------------------------------|-------------|---------|
| Bacillariophyceae | Aulacoseira | 7x15-20 | 0,00592 | | 8793 |
| Bacillariophyceae | Centrales | 32-40 | 0,14800 | | 8793 |
| Bacillariophyceae | Centrales | 50-60 | 0,01298 | | 199 |
| Bacillariophyceae | Chaetoceros | 6-8x11-13 | 0,00781 | | 24180 |
| Bacillariophyceae | Chaetoceros | 11-15x11-15 | 0,00096 | | 795 |
| Bacillariophyceae | Chaetoceros | 7x7 | 0,03020 | | 131892 |
| Bacillariophyceae | Diatoma | 2-4x20-40 | 0,02849 | | 105514 |
| Bacillariophyceae | Nitzschia acicularis | 1.5-2x18-22 | 0,00030 | | 8793 |
| Bacillariophyceae | Pennales | 4-6x25-35 | 0,03429 | | 114306 |
| Bacillariophyceae | Pennales | 1-3x100-150 | 0,00007 | | 397 |
| Bacillariophyceae | Pennales | 4-6x50-70 | 0,04748 | | 79135 |
| Bacillariophyceae | Pennales | 4-6x70-100 | 0,03176 | | 37369 |
| Chlorophyceae | Chlorophyceae | 4-6 | 0,01372 | | 211027 |
| Chlorophyceae | Chlorophyceae | 6-8 | 0,00791 | | 43964 |
| Chlorophyceae | Monoraphidium contortum | 1.2-1.5x15-20 | 0,00148 | | 184649 |
| Chlorophyceae | Monoraphidium contortum | 1.5-2x20-30 | 0,00686 | | 342919 |
| Choanoflagellata | Choanoflagellata | 4x5 | 0,00185 | | 43964 |
| Chrysophyceae | Dinobryon | 3-5x4-6 | 0,00148 | | 35171 |
| Cryptophyceae | Cryptophyceae | 4.5x8 | 0,00095 | | 17586 |
| Cryptophyceae | Cryptophyceae | 5x10 | 0,00072 | | 8793 |
| Cryptophyceae | Hemiselms | 3x4-6 | 0,00013 | | 8793 |
| Cyanophyceae | Aphanizomenon klebahnii | 5x100 | 0,01726 | | 8793 |
| Cyanophyceae | Dolichospermum | 5-7x100 | 0,00828 | X | 4396 |
| Cyanophyceae | Planktolyngbya | 2x100 | 0,03313 | | 105514 |
| Cyanophyceae | Pseudanabaena | 2x100 | 0,00276 | | 8793 |
| Dictyochophyceae | Pseudopedinella | 5-7 | 0,00497 | | 43964 |
| Dinophyceae | Amphidinium | 25-30 | 0,00567 | X | 2198 |
| Dinophyceae | Dinophyceae | 15-20 | 0,02466 | | 8793 |
| Dinophyceae | Dinophyceae | 25-30 | 0,00216 | | 199 |
| Dinophyceae | Dinophysis | 30-40 | 0,01554 | X | 2198 |
| Dinophyceae | Gymnodiniales | 10-15 | 0,00448 | | 8793 |
| Euglenophyceae | Eutreptiella | 9-11x10-15 | 0,02875 | | 43964 |
| Euglenophyceae | Eutreptiella | 9-11x15-20 | 0,04833 | | 52757 |
| Euglenophyceae | Trachelomonas | 6-10x10-15 | 0,00813 | | 17586 |
| Litostomatea | Mesodinium rubrum | 16-20 | 0,12330 | | 35171 |
| Litostomatea | Mesodinium rubrum | 20-27 | 0,06552 | | 8793 |
| Litostomatea | Mesodinium rubrum | 27-33 | 0,15530 | | 10991 |
| Pyramimonadophyceae | Pyramimonas | 4x3 | 0,00148 | | 61550 |
| Pyramimonadophyceae | Pyramimonas | 5-7x5 | 0,00211 | | 17586 |
| Thecofilosea | Ebria tripartita | 23-27 | 0,07549 | | 26378 |
| Thecofilosea | Ebria tripartita | 33-37 | 0,00156 | | 199 |
| Trebouxiophyceae | Koliella | 1.5x30-50 | 0,00033 | | 8793 |
| Unicells classes incertae sedis | Unicells species incertae sedis | <2 | 0,00359 | | 896866 |
| Unicells classes incertae sedis | Unicells species incertae sedis | 2-3 | 0,01224 | | 1529947 |
| Unicells classes incertae sedis | Unicells species incertae sedis | 3-5 | 0,01915 | | 580325 |
| | Värde | Ref | EK | nEK | |
| Klorofyll | 3,00 | 1,77 | 0,59 | 0,55 | |
| Biovolym | 1,05 | 0,22 | 0,21 | 0,37 | |
| Sammanvägd status, nEK | | | | 0,46 | |

Trälhavet

Det.: Jon Karlsson, Pelagia Nature & Environment AB

Provtagningsdatum: 2025-06-25

Analysdatum: 2026-03-04

Typindelning: 12n

| Grupp | Taxa | Storlek (µm) | Biovolym (mm ³ /l) | Pot. toxisk | Antal/L |
|---------------------------------|---------------------------------|---------------|-------------------------------|-------------|---------|
| Bacillariophyceae | Centrales | 70-90 | 0,02384 | | 198 |
| Bacillariophyceae | Centrales | 40-50 | 0,00707 | | 198 |
| Bacillariophyceae | Chaetoceros | 8x8 | 0,00972 | | 28430 |
| Bacillariophyceae | Pennales | 4-6x50-70 | 0,00131 | | 2187 |
| Chlorophyceae | Chlamydomonas | 10-15 | 0,00894 | | 8748 |
| Chlorophyceae | Chlorophyceae | 4-6 | 0,00626 | | 96227 |
| Chlorophyceae | Monoraphidium contortum | 1.2-1.5x15-20 | 0,00231 | | 288681 |
| Chlorophyceae | Monoraphidium contortum | 2-3x20-30 | 0,01542 | | 376160 |
| Chlorophyceae | Scenedesmus | 4-5x8-12 | 0,00186 | | 8748 |
| Choanoflagellata | Choanoflagellata | 4x5 | 0,00073 | | 17496 |
| Cryptophyceae | Cryptomonas | 7-8x16-18 | 0,00700 | X | 17496 |
| Cryptophyceae | Hemiselmis | 3x4-6 | 0,00144 | | 96227 |
| Cryptophyceae | Plagioselmis | 3-4x5-7 | 0,00197 | | 78731 |
| Cryptophyceae | Teleaulax | 5-6x11-15 | 0,00328 | | 26244 |
| Cyanophyceae | Aphanizomenon klebahnii | 5x100 | 0,01717 | | 8748 |
| Cyanophyceae | Planktolyngbya | 2x100 | 0,01373 | | 43740 |
| Dictyochophyceae | Pseudopedinella | 5-7 | 0,00099 | | 8748 |
| Dinophyceae | Dinophyceae | 15-20 | 0,02454 | | 8748 |
| Dinophyceae | Dinophysis | 25-30 | 0,00791 | X | 2187 |
| Dinophyceae | Dinophysis | 30-40 | 0,00419 | X | 593 |
| Dinophyceae | Heterocapsa | 5-7x10-12 | 0,00116 | X | 8748 |
| Euglenophyceae | Eutreptiella | 5-7x10-15 | 0,03716 | | 157462 |
| Euglenophyceae | Eutreptiella | 5-7x15-20 | 0,02887 | | 87479 |
| Litostomatea | Mesodinium rubrum | 16-20 | 0,03067 | | 8748 |
| Litostomatea | Mesodinium rubrum | 20-27 | 0,00442 | | 593 |
| Litostomatea | Mesodinium rubrum | 33-37 | 0,02218 | | 989 |
| Pyramimonadophyceae | Pyramimonas | 4x3 | 0,00945 | | 393656 |
| Pyramimonadophyceae | Pyramimonas | 5-7x5 | 0,01260 | | 104975 |
| Telonemea | Telonema subtile | 4x7 | 0,00033 | | 8748 |
| Thecofilosea | Ebria tripartita | 23-27 | 0,01252 | | 4374 |
| Trebouxiophyceae | Koliella | 1.5x30-50 | 0,00033 | | 8748 |
| Trebouxiophyceae | Koliella | 2x30 | 0,00087 | | 17496 |
| Unicells classes incertae sedis | Unicells species incertae sedis | <2 | 0,00574 | | 1434647 |
| Unicells classes incertae sedis | Unicells species incertae sedis | 2-3 | 0,01624 | | 2029501 |
| Unicells classes incertae sedis | Unicells species incertae sedis | 3-5 | 0,02078 | | 629845 |
| | Värde | Ref | EK | nEK | |
| Klorofyll | 3,40 | 1,71 | 0,50 | 0,49 | |
| Biovolym | 0,36 | 0,21 | 0,58 | 0,62 | |
| Sammanvägd status, nEK | | | | 0,56 | |



Trälhavet

Det.: Susanne Gustafsson, Pelagia Nature & Environment AB

Provtagningsdatum: 2025-07-16

Analysdatum: 2026-03-01

Typindelning: 12n

| Grupp | Taxa | Storlek (µm) | Biovolym (mm ³ /l) | Pot. toxisk | Antal/L |
|---------------------------------|---------------------------------|--------------|-------------------------------|-------------|---------|
| Bacillariophyceae | Centrales | 32-40 | 0,00341 | | 202 |
| Bacillariophyceae | Centrales | 40-50 | 0,01448 | | 405 |
| Chlorophyceae | Chlamydomonas | 5-6 | 0,00036 | | 3909 |
| Chlorophyceae | Monoraphidium | 1-2x8-12 | 0,00025 | | 27362 |
| Coccolithophyceae | Chrysochromulina | 2-4 | 0,00027 | X | 19544 |
| Cryptophyceae | Cryptomonas | 7-8x16-18 | 0,03909 | X | 97720 |
| Cryptophyceae | Cryptomonas | 10-13x20-26 | 0,00503 | X | 3949 |
| Cryptophyceae | Hemiselmis | 3x4-6 | 0,00076 | | 50814 |
| Cryptophyceae | Plagioselmis | 4-5x7-9 | 0,02491 | | 461238 |
| Cryptophyceae | Rhodomonas | 5-6x11-14 | 0,00538 | | 42997 |
| Cryptophyta incertae sedis | Katablepharis | 5-6x7-9 | 0,00149 | | 11726 |
| Cyanophyceae | Aphanizomenon | 5x100 | 0,00278 | X | 1417 |
| Dinophyceae | Dinophysis | 25-30 | 0,00842 | X | 2328 |
| Dinophyceae | Dinophysis | 30-40 | 0,00930 | X | 1316 |
| Dinophyceae | Dinophysis | 40-45 | 0,01194 | X | 911 |
| Litostomatea | Mesodinium rubrum | 16-20 | 0,00674 | | 1923 |
| Litostomatea | Mesodinium rubrum | 20-27 | 0,01206 | | 1619 |
| Pyramimonadophyceae | Pyramimonas | 4x3 | 0,00160 | | 66450 |
| Pyramimonadophyceae | Pyramimonas | 5-7x5 | 0,02251 | | 187622 |
| Unicells classes incertae sedis | Unicells species incertae sedis | <2 | 0,00109 | | 273616 |
| Unicells classes incertae sedis | Unicells species incertae sedis | 2-3 | 0,00394 | | 492509 |
| Unicells classes incertae sedis | Unicells species incertae sedis | 3-5 | 0,00077 | | 23453 |
| | Värde | Ref | EK | nEK | |
| Klorofyll | 3,40 | 1,76 | 0,52 | 0,50 | |
| Biovolym | 0,18 | 0,22 | 1,00 | 1,00 | |
| Sammanvägd status, nEK | | | | 0,75 | |

Trälhavet

Det.: Susanne Gustafsson, Pelagia Nature & Environment AB

Provtagningsdatum: 2025-07-31

Analysdatum: 2026-03-01

Typindelning: 12n

| Grupp | Taxa | Storlek (µm) | Biovolym (mm ³ /l) | Pot. toxisk | Antal/L |
|---------------------------------|---------------------------------|--------------|-------------------------------|-------------|---------|
| Bacillariophyceae | Centrales | 27-32 | 0,00212 | | 200 |
| Bacillariophyceae | Centrales | 40-50 | 0,00715 | | 200 |
| Bacillariophyceae | Centrales | 50-60 | 0,00652 | | 100 |
| Bacillariophyceae | Chaetoceros | 8x15-17 | 0,00017 | | 300 |
| Chlorophyceae | Chlorophyceae | 4-6 | 0,00050 | | 7716 |
| Chlorophyceae | Monoraphidium | 1-2x8-12 | 0,00007 | | 7716 |
| Coccolithophyceae | Chrysochromulina | 2-4 | 0,00022 | X | 15433 |
| Cryptophyceae | Cryptomonas | 7-8x16-18 | 0,00463 | X | 11575 |
| Cryptophyceae | Hemiselmis | 3x4-6 | 0,00776 | | 517006 |
| Cryptophyceae | Plagioselmis | 4-5x7-9 | 0,01188 | | 219917 |
| Cryptophyceae | Rhodomonas | 5-6x11-14 | 0,00338 | | 27007 |
| Cryptophyta incertae sedis | Katablepharis | 5-6x7-9 | 0,00098 | | 7716 |
| Cyanophyceae | Aphanizomenon | 5x100 | 0,13390 | X | 68215 |
| Dinophyceae | Dinophysis | 25-30 | 0,00109 | X | 300 |
| Dinophyceae | Dinophysis | 30-40 | 0,00282 | X | 400 |
| Litostomatea | Mesodinium rubrum | 16-20 | 0,00350 | | 999 |
| Litostomatea | Mesodinium rubrum | 45-55 | 0,00654 | | 100 |
| Pyramimonadophyceae | Pyramimonas | 4x3 | 0,00713 | | 297081 |
| Pyramimonadophyceae | Pyramimonas | 5-7x5 | 0,01019 | | 84880 |
| Thecofilosea | Ebria tripartita | 23-27 | 0,00558 | | 1949 |
| Unicells classes incertae sedis | Unicells species incertae sedis | <2 | 0,00127 | | 316377 |
| Unicells classes incertae sedis | Unicells species incertae sedis | 2-3 | 0,00204 | | 254641 |
| Unicells classes incertae sedis | Unicells species incertae sedis | 3-5 | 0,00242 | | 73306 |
| | Värde | Ref | EK | nEK | |
| Klorofyll | 2,10 | 1,70 | 0,81 | 0,81 | |
| Biovolym | 0,22 | 0,21 | 0,94 | 0,96 | |
| Sammanvägd status, nEK | | | | 0,88 | |

Trälhavet

Det.: Susanne Gustafsson, Pelagia Nature & Environment AB

Provtagningsdatum: 2025-08-12

Analysdatum: 2026-03-01

Typindelning: 12n

| Grupp | Taxa | Storlek (µm) | Biovolym (mm ³ /l) | Pot. toxisk | Antal/L |
|---------------------------------|---------------------------------|--------------|-------------------------------|-------------|---------|
| Bacillariophyceae | Centrales | 32-40 | 0,00672 | | 400 |
| Bacillariophyceae | Centrales | 40-50 | 0,01072 | | 300 |
| Bacillariophyceae | Chaetoceros | 10x10 | 0,00033 | | 599 |
| Bacillariophyceae | Cyclotella | 7-12 | 0,00197 | | 3858 |
| Chlorophyceae | Chlorophyceae | 4-6 | 0,00201 | | 30866 |
| Chlorophyceae | Monoraphidium | 1-2x8-12 | 0,00003 | | 3858 |
| Coccolithophyceae | Chrysochromulina | 2-4 | 0,00043 | X | 30866 |
| Cryptophyceae | Cryptomonas | 7-8x16-18 | 0,02778 | X | 69448 |
| Cryptophyceae | Cryptomonas | 10-13x20-26 | 0,00868 | X | 6822 |
| Cryptophyceae | Cryptomonas | 13-14x26-30 | 0,01249 | X | 5847 |
| Cryptophyceae | Hemiselmis | 3x4-6 | 0,00041 | | 27007 |
| Cryptophyceae | Plagioselmis | 4-5x7-9 | 0,02833 | | 524722 |
| Cryptophyceae | Rhodomonas | 5-6x11-14 | 0,00145 | | 11575 |
| Cyanophyceae | Aphanizomenon | 5x100 | 0,00039 | X | 200 |
| Cyanophyceae | Limnococcus limneticus | 6-8 | 0,00278 | | 15433 |
| Cyanophyceae | Microcystis | 3-7 | 0,00261 | X | 799 |
| Cyanophyceae | Planktolyngbya | 2x100 | 0,00019 | | 599 |
| Dinophyceae | Dinophysis | 30-40 | 0,01483 | X | 2098 |
| Euglenophyceae | Eutreptiella | 5-7x10-15 | 0,00455 | | 19291 |
| Litostomatea | Mesodinium rubrum | 14-16 | 0,04519 | | 20465 |
| Litostomatea | Mesodinium rubrum | 16-20 | 0,09566 | | 27286 |
| Litostomatea | Mesodinium rubrum | 20-27 | 0,20330 | | 27286 |
| Litostomatea | Mesodinium rubrum | 27-33 | 0,12390 | | 8771 |
| Pyramimonadophyceae | Pyramimonas | 4x3 | 0,00213 | | 88739 |
| Pyramimonadophyceae | Pyramimonas | 5-7x5 | 0,01852 | | 154328 |
| Pyramimonadophyceae | Pyramimonas | 8-10x6 | 0,00208 | | 7716 |
| Thecofilosea | Ebria tripartita | 23-27 | 0,01116 | | 3898 |
| Unicells classes incertae sedis | Unicells species incertae sedis | <2 | 0,00182 | | 455274 |
| Unicells classes incertae sedis | Unicells species incertae sedis | 2-3 | 0,00407 | | 509289 |
| Unicells classes incertae sedis | Unicells species incertae sedis | 3-5 | 0,00089 | | 27007 |
| | Värde | Ref | EK | nEK | |
| Klorofyll | 5,00 | 1,71 | 0,34 | 0,39 | |
| Biovolym | 0,64 | 0,21 | 0,33 | 0,46 | |
| Sammanvägd status, nEK | | | | 0,42 | |

Trälhavet

Det.: Susanne Gustafsson, Pelagia Nature & Environment AB

Provtagningsdatum: 2025-08-25

Analysdatum: 2026-02-28

Typindelning: 12n

| Grupp | Taxa | Storlek (µm) | Biovolym (mm ³ /l) | Pot. toxisk | Antal/L |
|---------------------------------|---------------------------------|--------------|-------------------------------|-------------|---------|
| Bacillariophyceae | Centrales | 32-40 | 0,03362 | | 1998 |
| Bacillariophyceae | Centrales | 40-50 | 0,04645 | | 1299 |
| Bacillariophyceae | Centrales | 50-60 | 0,00652 | | 100 |
| Bacillariophyceae | Chaetoceros | 10x10 | 0,00022 | | 400 |
| Bacillariophyceae | Fragilaria crotonensis | 4-5x50-80 | 0,00029 | | 500 |
| Bacillariophyceae | Tabellaria flocculosa | 5-7x10-20 | 0,00031 | | 699 |
| Coccolithophyceae | Chrysochromulina | 2-4 | 0,00016 | X | 11575 |
| Cryptophyceae | Cryptomonas | 7-8x16-18 | 0,04167 | X | 104171 |
| Cryptophyceae | Cryptomonas | 10-13x20-26 | 0,05210 | X | 40929 |
| Cryptophyceae | Cryptomonas | 13-14x26-30 | 0,01665 | X | 7796 |
| Cryptophyceae | Hemiselmis | 3x4-6 | 0,00029 | | 19291 |
| Cryptophyceae | Plagioselmis | 4-5x7-9 | 0,00729 | | 135037 |
| Cryptophyceae | Rhodomonas | 5-6x11-14 | 0,00579 | | 46298 |
| Cryptophyceae | Teleaulax | 5-6x11-15 | 0,00048 | | 3858 |
| Cyanophyceae | Aphanizomenon | 5x100 | 0,00490 | X | 2498 |
| Cyanophyceae | Pseudanabaena | 2x100 | 0,00013 | | 400 |
| Dinophyceae | Dinophysis | 20-25 | 0,00301 | X | 1499 |
| Euglenophyceae | Eutreptiella | 5-7x10-15 | 0,00273 | | 11575 |
| Litostomatea | Mesodinium rubrum | 14-16 | 0,02152 | | 9745 |
| Litostomatea | Mesodinium rubrum | 16-20 | 0,01708 | | 4873 |
| Litostomatea | Mesodinium rubrum | 20-27 | 0,15250 | | 20465 |
| Litostomatea | Mesodinium rubrum | 27-33 | 0,04131 | | 2924 |
| Pyramimonadophyceae | Pyramimonas | 4x3 | 0,00148 | | 61731 |
| Pyramimonadophyceae | Pyramimonas | 5-7x5 | 0,00972 | | 81022 |
| Thecofilosea | Ebria tripartita | 17-23 | 0,00286 | | 1949 |
| Unicells classes incertae sedis | Unicells species incertae sedis | <2 | 0,00082 | | 204485 |
| Unicells classes incertae sedis | Unicells species incertae sedis | 2-3 | 0,00512 | | 640470 |
| Unicells classes incertae sedis | Unicells species incertae sedis | 3-5 | 0,00318 | | 96455 |
| | Värde | Ref | EK | nEK | |
| Klorofyll | 4,50 | 1,67 | 0,37 | 0,41 | |
| Biovolym | 0,48 | 0,20 | 0,43 | 0,52 | |
| Sammanvägd status, nEK | | | | 0,46 | |

Trälhavet

Det.: Jon Karlsson, Pelagia Nature & Environment AB

Provtagningsdatum: 2025-09-09

Analysdatum: 2026-01-16

Typindelning: 12n

| Grupp | Taxa | Storlek (µm) | Biovolym (mm ³ /l) | Pot. toxisk | Antal/L |
|---------------------------------|---------------------------------|---------------|-------------------------------|-------------|---------|
| Bacillariophyceae | Centrales | 60-70 | 0,06168 | | 954 |
| Bacillariophyceae | Centrales | 17-22 | 0,01198 | | 3815 |
| Bacillariophyceae | Centrales | 27-32 | 0,07075 | | 6676 |
| Bacillariophyceae | Centrales | 32-40 | 0,03210 | | 1907 |
| Bacillariophyceae | Centrales | 40-50 | 0,06822 | | 1907 |
| Bacillariophyceae | Chaetoceros | 6-8x11-13 | 0,00246 | | 7629 |
| Bacillariophyceae | Fragilaria | 7-8x60-80 | 0,08640 | | 65805 |
| Chlorophyceae | Chlorophyceae | 4-6 | 0,00471 | | 72479 |
| Chlorophyceae | Chlorophyceae | 6-8 | 0,00481 | | 26703 |
| Chlorophyceae | Scenedesmus | 6-7x16-20 | 0,00304 | | 1907 |
| Chrysophyceae | Chrysococcus | 6-8 | 0,00137 | | 7629 |
| Cryptophyceae | Cryptomonadales | 10x15 | 0,00399 | | 7629 |
| Cryptophyceae | Cryptomonas | 7-8x16-18 | 0,04578 | X | 114441 |
| Cryptophyceae | Cryptomonas | 10-13x20-26 | 0,06799 | X | 53406 |
| Cryptophyceae | Hemiselmis | 3x4-6 | 0,00206 | | 137329 |
| Cryptophyceae | Plagioselmis | 3-4x5-7 | 0,00505 | | 202179 |
| Cryptophyceae | Plagioselmis | 5-7x7-9 | 0,00714 | | 68665 |
| Cryptophyceae | Teleaulax | 5-6x11-15 | 0,00858 | | 68665 |
| Cyanophyceae | Aphanizomenon klebahnii | 5x100 | 0,00040 | | 202 |
| Cyanophyceae | Woronichinia compacta | 1,5-3,4x3-5,6 | 0,00744 | | 495911 |
| Dictyochophyceae | Pseudopedinella | 7-9 | 0,00307 | | 11444 |
| Dinophyceae | Dinophyceae | <10 | 0,01397 | | 26703 |
| Dinophyceae | Dinophyceae | 10-15 | 0,01170 | | 11444 |
| Dinophyceae | Dinophyceae | 40 | 0,03194 | | 954 |
| Dinophyceae | Dinophysis | 25-30 | 0,00345 | X | 954 |
| Dinophyceae | Dinophysis | 30-40 | 0,01348 | X | 1907 |
| Euglenophyceae | Trachelomonas | 6-10x10-15 | 0,01057 | | 22888 |
| Litostomatea | Mesodinium rubrum | 20-27 | 0,02132 | | 2861 |
| Litostomatea | Mesodinium rubrum | 33-37 | 0,04280 | | 1907 |
| Pyramimonadophyceae | Pyramimonas | 4x3 | 0,00476 | | 198364 |
| Pyramimonadophyceae | Pyramimonas | 5-7x5 | 0,00961 | | 80109 |
| Thecofilosea | Ebria tripartita | 23-27 | 0,01092 | | 3815 |
| Trebouxiophyceae | Oocystis | 5-6x8-12 | 0,00603 | | 38147 |
| Unicells classes incertae sedis | Unicells species incertae sedis | <2 | 0,00253 | | 633240 |
| Unicells classes incertae sedis | Unicells species incertae sedis | 2-3 | 0,00800 | | 999451 |
| Unicells classes incertae sedis | Unicells species incertae sedis | 3-5 | 0,00982 | | 297547 |
| | Värde | Ref | EK | nEK | |
| Klorofyll | 4,80 | 1,83 | 0,38 | 0,42 | |
| Biovolym | 0,70 | 0,23 | 0,33 | 0,46 | |
| Sammanvägd status, nEK | | | | 0,44 | |

Trälhavet

Det.: Jon Karlsson, Pelagia Nature & Environment AB

Provtagningsdatum: 2025-09-23

Analysdatum: 2026-01-15

Typindelning: 12n

| Grupp | Taxa | Storlek (µm) | Biovolym (mm ³ /l) | Pot. toxisk | Antal/L |
|---------------------------------|---------------------------------|---------------|-------------------------------|-------------|---------|
| Bacillariophyceae | Centrales | 22-27 | 0,04703 | | 7668 |
| Bacillariophyceae | Centrales | 27-32 | 0,08127 | | 7668 |
| Bacillariophyceae | Centrales | 40-50 | 0,34280 | | 9585 |
| Bacillariophyceae | Centrales | 50-60 | 0,12520 | | 1917 |
| Bacillariophyceae | Navicula | 4-6x20-30 | 0,00288 | | 7668 |
| Chlorophyceae | Chlorophyceae | 4-6 | 0,00748 | | 115022 |
| Chlorophyceae | Chlorophyceae | 6-8 | 0,00276 | | 15336 |
| Chlorophyceae | Monoraphidium contortum | 1.5-2x20-30 | 0,00015 | | 7668 |
| Chlorophyceae | Pseudopediastrum boryanum | 35-45x7-10 | 0,00217 | | 203 |
| Chlorophyceae | Scenedesmus | 3-4x6-8 | 0,00138 | | 7668 |
| Chlorophyceae | Scenedesmus | 4-5x8-12 | 0,00325 | | 15336 |
| Cryptophyceae | Cryptomonadales | 3.5x6 | 0,00077 | | 30672 |
| Cryptophyceae | Cryptomonadales | 5x10 | 0,00063 | | 7668 |
| Cryptophyceae | Cryptomonas | 7-8x16-18 | 0,05521 | X | 138026 |
| Cryptophyceae | Cryptomonas | 10-13x20-26 | 0,06833 | X | 53677 |
| Cryptophyceae | Cryptomonas | 6x12-17 | 0,00913 | X | 53677 |
| Cryptophyceae | Hemiselmis | 3x4-6 | 0,00127 | | 84349 |
| Cryptophyceae | Plagioselmis | 3-4x5-7 | 0,00345 | | 138026 |
| Cryptophyceae | Plagioselmis | 5-7x7-9 | 0,00957 | | 92017 |
| Cryptophyceae | Teleaulax | 5-6x11-15 | 0,00671 | | 53677 |
| Cyanophyceae | Aphanizomenon | 4x100 | 0,03371 | X | 26838 |
| Cyanophyceae | Aphanizomenon klebahnii | 5x100 | 0,02634 | | 13419 |
| Cyanophyceae | Snowella | 1-4 | 0,00184 | X | 230043 |
| Cyanophyceae | Woronichinia compacta | 1.5-3.4x3-5.6 | 0,00805 | | 536767 |
| Dictyochophyceae | Pseudopedinella | 7-9 | 0,00206 | | 7668 |
| Dinophyceae | Dinophyceae | <10 | 0,02406 | | 46009 |
| Dinophyceae | Dinophyceae | 10-15 | 0,00784 | | 7668 |
| Dinophyceae | Dinophysis | 30-40 | 0,01355 | X | 1917 |
| Dinophyceae | Heterocapsa | 5-7x10-12 | 0,00101 | X | 7668 |
| Litostomatea | Mesodinium rubrum | 16-20 | 0,02688 | | 7668 |
| Litostomatea | Mesodinium rubrum | 20-27 | 0,01428 | | 1917 |
| Litostomatea | Mesodinium rubrum | 27-33 | 0,00862 | | 610 |
| Pyramimonadophyceae | Pyramimonas | 4x3 | 0,00828 | | 345065 |
| Pyramimonadophyceae | Pyramimonas | 5-7x5 | 0,01564 | | 130358 |
| Trebouxiophyceae | Oocystis | 3-4x7 | 0,00207 | | 46009 |
| Trebouxiophyceae | Oocystis | 5-6x8-12 | 0,00121 | | 7668 |
| Unicells classes incertae sedis | Unicells species incertae sedis | <2 | 0,00172 | | 429411 |
| Unicells classes incertae sedis | Unicells species incertae sedis | 2-3 | 0,00761 | | 950838 |
| Unicells classes incertae sedis | Unicells species incertae sedis | 3-5 | 0,01113 | | 337394 |
| | Värde | Ref | EK | nEK | |
| Klorofyll | 3,80 | 1,68 | 0,44 | 0,46 | |
| Biovolym | 0,99 | 0,20 | 0,21 | 0,36 | |
| Sammanvägd status, nEK | | | | 0,41 | |

Trälhavet

Det.: Jon Karlsson, Pelagia Nature & Environment AB

Provtagningsdatum: 2025-10-07

Analysdatum: 2026-02-05

Typindelning: 12n

| Grupp | Taxa | Storlek (µm) | Biovolym (mm ³ /l) | Pot. toxisk | Antal/L |
|---------------------|---------------------------|---------------|-------------------------------|-------------|---------|
| Bacillariophyceae | Centrales | 60-70 | 0,14220 | | 2198 |
| Bacillariophyceae | Centrales | 70-90 | 0,02396 | | 199 |
| Bacillariophyceae | Centrales | 22-27 | 0,01348 | | 2198 |
| Bacillariophyceae | Centrales | 32-40 | 0,00669 | | 397 |
| Bacillariophyceae | Centrales | 50-60 | 0,14350 | | 2198 |
| Bacillariophyceae | Nitzschia acicularis | 1,5-2x18-22 | 0,00090 | | 26378 |
| Bacillariophyceae | Pennales | 2x15-25 | 0,00070 | | 17586 |
| Chlorophyceae | Chlorophyceae | 4-6 | 0,00629 | | 96721 |
| Chlorophyceae | Chlorophyceae | 4-6x6-10 | 0,00277 | | 26378 |
| Chlorophyceae | Coelastrum | 7-9 | 0,02828 | | 105514 |
| Chlorophyceae | Monoraphidium | 2-3x40-50 | 0,00311 | | 26378 |
| Chlorophyceae | Monoraphidium contortum | 1,5-2x20-30 | 0,00053 | | 26378 |
| Chlorophyceae | Monoraphidium dybowskii | 2-6x8-12 | 0,00074 | | 8793 |
| Chlorophyceae | Monoraphidium minutum | 1-2x5-7 | 0,00012 | | 17586 |
| Chlorophyceae | Pseudopediastrum boryanum | 35-45x7-10 | 0,00212 | | 199 |
| Chlorophyceae | Scenedesmus | 4-5x8-12 | 0,00373 | | 17586 |
| Cryptophyceae | Cryptomonas | 7-8x16-18 | 0,08441 | X | 211027 |
| Cryptophyceae | Cryptomonas | 10-13x20-26 | 0,25740 | X | 202234 |
| Cryptophyceae | Cryptomonas | 13-14x26-30 | 0,28170 | X | 131892 |
| Cryptophyceae | Cryptophyceae | 10x15 | 0,00920 | | 17586 |
| Cryptophyceae | Hemiselmis | 3x4-6 | 0,00040 | | 26378 |
| Cryptophyceae | Plagioselmis | 3-4x5-7 | 0,00110 | | 43964 |
| Cryptophyceae | Plagioselmis | 5-7x7-9 | 0,01189 | | 114306 |
| Cryptophyceae | Rhodomonas | 5-6x11-14 | 0,00220 | | 17586 |
| Cryptophyceae | Teleaulax | 5-6x11-15 | 0,01868 | | 149478 |
| Cyanophyceae | Aphanizomenon | 4x100 | 0,03037 | X | 24180 |
| Cyanophyceae | Aphanizomenon | 2x100 | 0,00138 | X | 4396 |
| Cyanophyceae | Aphanizomenon klebahnii | 5x100 | 0,02158 | | 10991 |
| Cyanophyceae | Planktolyngbya | 2x100 | 0,07178 | | 228613 |
| Cyanophyceae | Pseudanabaena | 2x100 | 0,24020 | | 764974 |
| Cyanophyceae | Snowella | 1-4 | 0,00141 | X | 175856 |
| Cyanophyceae | Woronichinia compacta | 1,5-3,4x3-5,6 | 0,09760 | | 6506672 |
| Dictyochophyceae | Apedinella | 9 | 0,00671 | | 17586 |
| Dictyochophyceae | Pseudopedinella | 7-9 | 0,01414 | | 52757 |
| Dinophyceae | Dinophyceae | <10 | 0,00920 | | 17586 |
| Dinophyceae | Dinophyceae | 10-15 | 0,03594 | | 35171 |
| Dinophyceae | Dinophysis | 30-40 | 0,03107 | X | 4396 |
| Dinophyceae | Heterocapsa | 5-7x10-12 | 0,00116 | X | 8793 |
| Euglenophyceae | Eutreptiella | 5-7x10-15 | 0,00623 | | 26378 |
| Euglenophyceae | Eutreptiella | 5-7x15-20 | 0,02902 | | 87928 |
| Euglenophyceae | Eutreptiella | 9-11x15-20 | 0,01611 | | 17586 |
| Euglenophyceae | Trachelomonas | 6-10x10-15 | 0,01625 | | 35171 |
| Pyramimonadophyceae | Pyramimonas | 4x3 | 0,00675 | | 281370 |
| Pyramimonadophyceae | Pyramimonas | 5-7x5 | 0,03165 | | 263784 |
| Pyramimonadophyceae | Pyramimonas | 8-10x6 | 0,02374 | | 87928 |
| Trebouxiophyceae | Koliella | 1,5x30-50 | 0,00100 | | 26378 |
| Trebouxiophyceae | Oocystis | 4-5x7-8 | 0,00556 | | 70342 |

Artlistan fortsätter på nästa sida.

| | | | | |
|---------------------------------|---------------------------------|------------|-----------|------------|
| Trebouxiophyceae | Oocystis | 5-6x8-12 | 0,00556 | 35171 |
| Unicells classes incertae sedis | Unicells species incertae sedis | <2 | 0,00450 | 1125478 |
| Unicells classes incertae sedis | Unicells species incertae sedis | 2-3 | 0,01773 | 2215786 |
| Unicells classes incertae sedis | Unicells species incertae sedis | 3-5 | 0,02147 | 650667 |
| | Värde | Ref | EK | nEK |
| Klorofyll | 11,00 | 1,82 | 0,17 | 0,22 |
| Biovolym | 1,79 | 0,23 | 0,13 | 0,26 |
| Sammanvägd status, nEK | | | | 0,24 |

Trälhavet

Det.: Jon Karlsson, Pelagia Nature & Environment AB

Provtagningsdatum: 2025-10-21

Analysdatum: 2026-02-05

Typindelning: 12n

| Grupp | Taxa | Storlek (µm) | Biovolym (mm ³ /l) | Pot. toxisk | Antal/L |
|---------------------------------|---------------------------------|---------------|-------------------------------|-------------|---------|
| Bacillariophyceae | Aulacoseira | 7x15-20 | 0,00164 | | 2441 |
| Bacillariophyceae | Centrales | 60-70 | 0,12400 | | 1917 |
| Bacillariophyceae | Centrales | 32-40 | 0,06452 | | 3834 |
| Bacillariophyceae | Centrales | 40-50 | 0,27430 | | 7668 |
| Bacillariophyceae | Chaetoceros | 8x8 | 0,00787 | | 23004 |
| Bacillariophyceae | Pennales | 4-6x70-100 | 0,00069 | | 814 |
| Chlorophyceae | Chlamydomonas | 10-15 | 0,01567 | | 15336 |
| Chlorophyceae | Chlorophyceae | 6-8 | 0,00276 | | 15336 |
| Chlorophyceae | Monoraphidium | 2-3x40-50 | 0,00090 | | 7668 |
| Chlorophyceae | Monoraphidium contortum | 1,2-1,5x15-20 | 0,00006 | | 7668 |
| Chlorophyceae | Monoraphidium contortum | 3-4x20-30 | 0,00184 | | 23004 |
| Cryptophyceae | Cryptomonas | 7-8x16-18 | 0,01840 | X | 46009 |
| Cryptophyceae | Cryptomonas | 10-13x20-26 | 0,14640 | X | 115022 |
| Cryptophyceae | Cryptomonas | 13-14x26-30 | 0,18020 | X | 84349 |
| Cryptophyceae | Cryptophyceae | 5x10 | 0,00126 | | 15336 |
| Cryptophyceae | Plagioselmis | 3-4x5-7 | 0,00019 | | 7668 |
| Cryptophyceae | Teleaulax | 5-6x11-15 | 0,00192 | | 15336 |
| Cryptophyceae | Teleaulax | 6-8x15-19 | 0,00468 | | 15336 |
| Cyanophyceae | Aphanizomenon | 4x100 | 0,04575 | X | 36423 |
| Cyanophyceae | Planktolyngbya | 2x100 | 0,17820 | | 567439 |
| Cyanophyceae | Pseudanabaena | 2x100 | 0,09872 | | 314392 |
| Cyanophyceae | Pseudanabaena | 1,5x10 | 0,00235 | | 130358 |
| Cyanophyceae | Woronichinia compacta | 1,5-3,4x3-5,6 | 0,06556 | | 4370817 |
| Dictyochophyceae | Pseudopedinella | 7-9 | 0,00411 | | 15336 |
| Dinophyceae | Dinophysis | 30-40 | 0,01355 | X | 1917 |
| Dinophyceae | Heterocapsa | 5-7x10-12 | 0,00304 | X | 23004 |
| Euglenophyceae | Eutreptiella | 5-7x10-15 | 0,01810 | | 76681 |
| Euglenophyceae | Eutreptiella | 5-7x15-20 | 0,05061 | | 153362 |
| Euglenophyceae | Eutreptiella | 5-7x20-25 | 0,00650 | | 15336 |
| Euglenophyceae | Trachelomonas | 6-10x10-15 | 0,00354 | | 7668 |
| Litostomatea | Mesodinium rubrum | 27-33 | 0,02709 | | 1917 |
| Pyramimonadophyceae | Pyramimonas | 4x3 | 0,00074 | | 30672 |
| Trebouxiophyceae | Koliella | 1,5x30-50 | 0,00029 | | 7668 |
| Trebouxiophyceae | Koliella longiseta | 1,5x50-70 | 0,00044 | | 7668 |
| Trebouxiophyceae | Oocystis | 4-5x7-8 | 0,00006 | | 814 |
| Unicells classes incertae sedis | Unicells species incertae sedis | <2 | 0,00221 | | 552100 |
| Unicells classes incertae sedis | Unicells species incertae sedis | 2-3 | 0,00687 | | 858822 |
| Unicells classes incertae sedis | Unicells species incertae sedis | 3-5 | 0,00709 | | 214705 |
| Zygnematophyceae | Closterium | 4-5x80-100 | 0,00146 | | 1917 |
| | Värde | Ref | EK | nEK | |
| Klorofyll | 8,00 | 1,76 | 0,22 | 0,27 | |
| Biovolym | 1,38 | 0,22 | 0,16 | 0,30 | |
| Sammanvägd status, nEK | | | | 0,28 | |



Trälhavet

Det.: Jon Karlsson, Pelagia Nature & Environment AB

Provtagningsdatum: 2025-11-13

Analysdatum: 2026-01-19

Typindelning: 12n

| Grupp | Taxa | Storlek (µm) | Biovolym (mm ³ /l) | Pot. toxisk | Antal/L |
|---------------------------------|---------------------------------|---------------|-------------------------------|-------------|---------|
| Bacillariophyceae | Aulacoseira | 8x20-25 | 0,01869 | | 15336 |
| Bacillariophyceae | Centrales | 32-40 | 0,01027 | | 610 |
| Bacillariophyceae | Centrales | 40-50 | 0,00728 | | 203 |
| Bacillariophyceae | Pennales | 5-8x180-210 | 0,00097 | | 203 |
| Bacillariophyceae | Pennales | 4-6x50-70 | 0,00024 | | 407 |
| Chlorophyceae | Chlorophyceae | 4-6 | 0,00548 | | 84349 |
| Chlorophyceae | Chlorophyceae | 6-8 | 0,00414 | | 23004 |
| Chlorophyceae | Monoraphidium | 1-2x8-12 | 0,00007 | | 7668 |
| Chlorophyceae | Monoraphidium | 1x50-60 | 0,00035 | | 15336 |
| Chlorophyceae | Monoraphidium contortum | 1,5-2x20-30 | 0,00046 | | 23004 |
| Chlorophyceae | Monoraphidium minutum | 1-2x5-7 | 0,00005 | | 7668 |
| Cryptophyceae | Cryptomonadales | 4,5x8 | 0,00124 | | 23004 |
| Cryptophyceae | Cryptomonas | 7-8x16-18 | 0,00613 | X | 15336 |
| Cryptophyceae | Cryptomonas | 10-13x20-26 | 0,01952 | X | 15336 |
| Cryptophyceae | Hemiselmis | 3x4-6 | 0,00023 | | 15336 |
| Cryptophyceae | Plagioselmis | 3-4x5-7 | 0,00096 | | 38341 |
| Cryptophyceae | Plagioselmis | 5-7x7-9 | 0,00160 | | 15336 |
| Cryptophyceae | Teleaulax | 5-6x11-15 | 0,00288 | | 23004 |
| Cyanophyceae | Aphanizomenon | 4x100 | 0,01445 | X | 11502 |
| Cyanophyceae | Aphanocapsa | 0,8-1,5 | 0,00021 | | 230043 |
| Cyanophyceae | Planktolyngbya | 2x100 | 0,00662 | | 21087 |
| Cyanophyceae | Pseudanabaena | 2x100 | 0,01204 | | 38341 |
| Cyanophyceae | Snowella | 1-4 | 0,00031 | X | 38341 |
| Cyanophyceae | Woronichinia compacta | 1,5-3,4x3-5,6 | 0,02991 | | 1993706 |
| Dinophyceae | Dinophyceae | <10 | 0,00802 | | 15336 |
| Dinophyceae | Dinophyceae | 10-15 | 0,01567 | | 15336 |
| Trebouxiophyceae | Oocystis | 5-6x8-12 | 0,00485 | | 30672 |
| Unicells classes incertae sedis | Unicells species incertae sedis | <2 | 0,00080 | | 199369 |
| Unicells classes incertae sedis | Unicells species incertae sedis | 2-3 | 0,00417 | | 521427 |
| Unicells classes incertae sedis | Unicells species incertae sedis | 3-5 | 0,00456 | | 138025 |
| | Värde | Ref | EK | nEK | |
| Klorofyll | 4,50 | 1,99 | 0,44 | 0,46 | |
| Biovolym | 0,18 | 0,27 | 1,00 | 1,00 | |
| Sammanvägd status, nEK | | | | 0,73 | |



Trälhavet

Det.: Jon Karlsson, Pelagia Nature & Environment AB

Provtagningsdatum: 2025-12-15

Analysdatum: 2026-01-16

Typindelning: 12n

| Grupp | Taxa | Storlek (µm) | Biovolym (mm ³ /l) | Pot. toxisk | Antal/L |
|---------------------------------|---------------------------------|---------------|-------------------------------|-------------|---------|
| Bacillariophyceae | Centrales | 32-40 | 0,00342 | | 203 |
| Chlorophyceae | Chlorophyceae | 4-6 | 0,00299 | | 46009 |
| Chlorophyceae | Monoraphidium contortum | 1,2-1,5x15-20 | 0,00006 | | 7668 |
| Chlorophyceae | Scenedesmus | 4-5x8-12 | 0,00163 | | 7668 |
| Cryptophyceae | Cryptomonas | 7-8x16-18 | 0,00307 | X | 7668 |
| Cryptophyceae | Cryptomonas | 10-13x20-26 | 0,00976 | X | 7668 |
| Cryptophyceae | Hemiselmis | 3x4-6 | 0,00035 | | 23004 |
| Cryptophyceae | Plagioselmis | 3-4x5-7 | 0,00019 | | 7668 |
| Cryptophyceae | Teleaulax | 5-6x11-15 | 0,00096 | | 7668 |
| Cryptophyceae | Teleaulax | 6-8x15-19 | 0,00234 | | 7668 |
| Cyanophyceae | Planktolyngbya | 1,5x100 | 0,00136 | | 7668 |
| Dinophyceae | Dinophyceae | <10 | 0,00802 | | 15336 |
| Dinophyceae | Dinophyceae | 10-15 | 0,00784 | | 7668 |
| Dinophyceae | Dinophysis | 30-40 | 0,00288 | X | 407 |
| Litostomatea | Mesodinium rubrum | 37-45 | 0,06421 | | 1917 |
| Pyramimonadophyceae | Pyramimonas | 4x3 | 0,00018 | | 7668 |
| Unicells classes incertae sedis | Unicells species incertae sedis | <2 | 0,00313 | | 782141 |
| Unicells classes incertae sedis | Unicells species incertae sedis | 2-3 | 0,00503 | | 628780 |
| Unicells classes incertae sedis | Unicells species incertae sedis | 3-5 | 0,00658 | | 199369 |
| | Värde | Ref | EK | nEK | |
| Klorofyll | 1,50 | 3,02 | 1,00 | 1,00 | |
| Biovolym | 0,12 | 0,50 | 1,00 | 1,00 | |
| Sammanvägd status, nEK | | | | 1,00 | |

Ägnöfjärden

Det.: Jon Karlsson, Pelagia Nature & Environment AB

Provtagningsdatum: 2025-02-11

Analysdatum: 2025-09-29

Typindelning: 12n

| Grupp | Taxa | Storlek (µm) | Biovolym (mm ³ /l) | Pot. toxisk | Antal/L |
|---------------------------------|---------------------------------|--------------|-------------------------------|-------------|---------|
| Bacillariophyceae | Amphiprora | 12x32 | 0,00086 | | 203 |
| Bacillariophyceae | Centrales | 17-22 | 0,00602 | | 1917 |
| Bacillariophyceae | Centrales | 27-32 | 0,00216 | | 203 |
| Bacillariophyceae | Centrales | 40-50 | 0,01455 | | 407 |
| Bacillariophyceae | Chaetoceros | 11-15x11-15 | 0,00926 | | 7668 |
| Bacillariophyceae | Chaetoceros | 6x6 | 0,00331 | | 23004 |
| Bacillariophyceae | Pennales | 4-6x50-70 | 0,00115 | | 1917 |
| Bacillariophyceae | Skeletonema | 3x3-5 | 0,00150 | | 53677 |
| Bacillariophyceae | Skeletonema | 3x6-8 | 0,00152 | | 30672 |
| Bacillariophyceae | Thalassiosira | 50-60 | 0,01328 | | 203 |
| Chlorophyceae | Chlorophyceae | 2-4 | 0,00064 | | 46009 |
| Chlorophyceae | Monoraphidium | 2-3x40-50 | 0,00002 | | 203 |
| Cryptophyceae | Cryptomonas | 7-8x16-18 | 0,00307 | X | 7668 |
| Cryptophyceae | Cryptomonas | 6x12-17 | 0,00130 | X | 7668 |
| Cryptophyceae | Hemiselmis | 3x4-6 | 0,00127 | | 84349 |
| Cryptophyceae | Plagioselmis | 3-4x5-7 | 0,00096 | | 38341 |
| Cryptophyceae | Plagioselmis | 4-5x7-9 | 0,00166 | | 30672 |
| Cyanophyceae | Aphanizomenon | 4x100 | 0,00077 | X | 610 |
| Dinophyceae | Dinophyceae | <10 | 0,00802 | | 15336 |
| Dinophyceae | Dinophyceae | 25-30 | 0,00443 | | 407 |
| Dinophyceae | Peridiniella catenata | 27-30 | 0,00935 | | 1627 |
| Euglenophyceae | Eutreptiella | 7-9x25-30 | 0,00019 | | 203 |
| Litostomatea | Mesodinium rubrum | 16-20 | 0,01344 | | 3834 |
| Litostomatea | Mesodinium rubrum | 20-27 | 0,01428 | | 1917 |
| Pyramimonadophyceae | Pyramimonas | 4x3 | 0,00276 | | 115022 |
| Pyramimonadophyceae | Pyramimonas | 5-7x5 | 0,00736 | | 61345 |
| Telonemea | Telonema subtile | 4x7 | 0,00029 | | 7668 |
| Unicells classes incertae sedis | Unicells species incertae sedis | <2 | 0,00172 | | 429411 |
| Unicells classes incertae sedis | Unicells species incertae sedis | 2-3 | 0,00209 | | 260714 |
| Unicells classes incertae sedis | Unicells species incertae sedis | 3-5 | 0,00253 | | 76681 |
| | Värde | Ref | EK | nEK | |
| Klorofyll | 2,00 | 2,53 | 1,00 | 1,00 | |
| Biovolym | 0,13 | 0,38 | 1,00 | 1,00 | |
| Sammanvägd status, nEK | | | | 1,00 | |



Ägnöfjärden

Det.: Jon Karlsson, Pelagia Nature & Environment AB

Provtagningsdatum: 2025-04-16

Analysdatum: 2026-01-12

Typindelning: 12n

| Grupp | Taxa | Storlek (µm) | Biovolym (mm ³ /l) | Pot. toxisk | Antal/L |
|---------------------------------|---------------------------------|--------------|-------------------------------|-------------|---------|
| Bacillariophyceae | Centrales | 7-12 | 0,00390 | | 7645 |
| Bacillariophyceae | Centrales | 27-32 | 0,00215 | | 203 |
| Bacillariophyceae | Centrales | 40-50 | 0,00363 | | 101 |
| Bacillariophyceae | Chaetoceros | 6x6 | 0,00220 | | 15290 |
| Bacillariophyceae | Chaetoceros | 8x8 | 0,01177 | | 34402 |
| Bacillariophyceae | Diatoma tenuis | 3x30-50 | 0,00275 | | 7645 |
| Bacillariophyceae | Nitzschia acicularis | 1,5-2x18-22 | 0,00003 | | 956 |
| Bacillariophyceae | Pennales | 4-6x25-35 | 0,00115 | | 3822 |
| Bacillariophyceae | Skeletonema | 3x3-5 | 0,00064 | | 22934 |
| Chlorophyceae | Chlamydomonas | 6-10 | 0,00237 | | 7645 |
| Chlorophyceae | Chlorophyceae | 4-6 | 0,00348 | | 53514 |
| Chlorophyceae | Chlorophyceae | 6-8 | 0,00413 | | 22934 |
| Chlorophyceae | Chlorophyceae | 6-10x11-15 | 0,00166 | | 3822 |
| Chlorophyceae | Monoraphidium contortum | 1,5-2x20-30 | 0,00008 | | 3822 |
| Chrysophyceae | Dinobryon | 2-4x3-5 | 0,00007 | | 3822 |
| Cryptophyceae | Cryptomonadales | 4,5x8 | 0,00083 | | 15290 |
| Cryptophyceae | Hemiselmis | 3x4-6 | 0,00034 | | 22934 |
| Cryptophyceae | Plagioselmis | 3-4x5-7 | 0,00019 | | 7645 |
| Cryptophyceae | Plagioselmis | 5-7x7-9 | 0,00080 | | 7645 |
| Cyanophyceae | Aphanocapsa | 0,8-1,5 | 0,00010 | | 114672 |
| Cyanophyceae | Dolichospermum | 4-5x100 | 0,00405 | X | 3822 |
| Dinophyceae | Amphidinium | 15-20 | 0,00400 | X | 3822 |
| Dinophyceae | Amphidinium | 20-25 | 0,01148 | X | 7645 |
| Dinophyceae | Dinophyceae | 15-20 | 0,07505 | | 26757 |
| Dinophyceae | Dinophyceae | 20-25 | 0,20510 | | 34402 |
| Dinophyceae | Dinophyceae | 25-30 | 0,56160 | | 51602 |
| Dinophyceae | Dinophyceae | 40 | 0,41610 | | 12423 |
| Dinophyceae | Gymnodiniales | <10 | 0,00900 | | 19112 |
| Dinophyceae | Gymnodiniales | 15-20 | 0,05307 | | 22934 |
| Dinophyceae | Heterocapsa | 5-7x10-12 | 0,00454 | X | 34402 |
| Dinophyceae | Heterocapsa | 8x15-17 | 0,00205 | X | 7645 |
| Dinophyceae | Peridiniella catenata | 20-23 | 0,03195 | | 11467 |
| Euglenophyceae | Trachelomonas | 10-20 | 0,00675 | | 3822 |
| Litostomatea | Mesodinium rubrum | 14-16 | 0,00633 | | 2867 |
| Litostomatea | Mesodinium rubrum | 16-20 | 0,03350 | | 9556 |
| Litostomatea | Mesodinium rubrum | 20-27 | 0,01424 | | 1911 |
| Litostomatea | Mesodinium rubrum | 27-33 | 0,01350 | | 956 |
| Pyramimonadophyceae | Pyramimonas | 4x3 | 0,00294 | | 122317 |
| Pyramimonadophyceae | Pyramimonas | 5-7x5 | 0,00275 | | 22934 |
| Telonemea | Telonema subtile | 5-6x8 | 0,00032 | | 3822 |
| Unicells classes incertae sedis | Unicells species incertae sedis | <2 | 0,00144 | | 359306 |
| Unicells classes incertae sedis | Unicells species incertae sedis | 2-3 | 0,00318 | | 397530 |
| Unicells classes incertae sedis | Unicells species incertae sedis | 3-5 | 0,00429 | | 129962 |
| | Värde | Ref | EK | nEK | |
| Klorofyll | 4,20 | 1,52 | 0,36 | 0,41 | |
| Biovolym | 1,51 | 0,17 | 0,12 | 0,24 | |
| Sammanvägd status, nEK | | | | 0,33 | |



PELAGIA

Ägnöfjärden

Det.: Susanne Gustafsson, Pelagia Nature & Environment AB

Provtagningsdatum: 2025-05-14

Analysdatum: 2026-02-28

Typindelning: 12n

| Grupp | Taxa | Storlek (µm) | Biovolym (mm ³ /l) | Pot. toxisk | Antal/L |
|---------------------------------|---------------------------------|--------------|-------------------------------|-------------|---------|
| Bacillariophyceae | Centrales | 40-50 | 0,00361 | | 101 |
| Bacillariophyceae | Cyclotella | 3-7 | 0,00025 | | 3893 |
| Bacillariophyceae | Diatoma tenuis | 3x30-50 | 0,00022 | | 605 |
| Bacillariophyceae | Pennales | 4-5x10-15 | 0,00220 | | 19466 |
| Bacillariophyceae | Pennales | 4-6x25-35 | 0,00148 | | 4917 |
| Bacillariophyceae | Pennales | 4-6x35-50 | 0,00248 | | 5900 |
| Chrysophyceae | Dinobryon | 2-4x8-10 | 0,02878 | | 685186 |
| Cryptophyceae | Hemiselmis | 3x4-6 | 0,00018 | | 11679 |
| Cyanophyceae | Anathece minutissima | 0,8-1x1-2 | 0,00015 | | 11679 |
| Cyanophyceae | Aphanizomenon | 4,5x100 | 0,00032 | X | 202 |
| Cyanophyceae | Dolichospermum | 4-5x100 | 0,00053 | X | 504 |
| Cyanophyceae | Planktolyngbya | 2x100 | 0,00009 | | 302 |
| Dinophyceae | Dinophyceae | 20-25 | 0,01082 | | 1814 |
| Dinophyceae | Dinophyceae | 25-30 | 0,01536 | | 1411 |
| Dinophyceae | Dinophysis | 15-20 | 0,00048 | X | 504 |
| Dinophyceae | Dinophysis | 20-25 | 0,00081 | X | 403 |
| Dinophyceae | Gymnodinium | 4-6x5-10 | 0,00056 | X | 7786 |
| Dinophyceae | Peridiniella catenata | 20-23 | 0,03286 | | 11794 |
| Dinophyceae | Peridiniella catenata | 24-26 | 0,02720 | | 6653 |
| Dinophyceae | Peridiniella catenata | 27-30 | 0,01447 | | 2520 |
| Dinophyceae | Protooperidium bipes | 12-14x18-22 | 0,00018 | | 403 |
| Euglenophyceae | Eutreptiella | 5-7x10-15 | 0,00276 | | 11679 |
| Litostomatea | Mesodinium rubrum | 10-14 | 0,00064 | | 504 |
| Litostomatea | Mesodinium rubrum | 14-16 | 0,00134 | | 605 |
| Litostomatea | Mesodinium rubrum | 37-45 | 0,00338 | | 101 |
| Unicells classes incertae sedis | Unicells species incertae sedis | <2 | 0,00050 | | 124579 |
| Unicells classes incertae sedis | Unicells species incertae sedis | 2-3 | 0,00215 | | 268624 |
| Unicells classes incertae sedis | Unicells species incertae sedis | 3-5 | 0,00051 | | 15572 |
| | Värde | Ref | EK | nEK | |
| Klorofyll | 2,30 | 1,50 | 0,65 | 0,59 | |
| Biovolym | 0,15 | 0,17 | 1,00 | 1,00 | |
| Sammanvägd status, nEK | | | | 0,79 | |

Ägnöfjärden

Det.: Jon Karlsson, Pelagia Nature & Environment AB

Provtagningsdatum: 2025-06-09

Analysdatum: 2026-02-23

Typindelning: 12n

| Grupp | Taxa | Storlek (µm) | Biovolym (mm ³ /l) | Pot. toxisk | Antal/L |
|---------------------------------|---------------------------------|---------------|-------------------------------|-------------|---------|
| Bacillariophyceae | Chaetoceros | 10x10 | 0,00633 | | 11502 |
| Bacillariophyceae | Pennales | 4-6x15-25 | 0,00307 | | 15336 |
| Bacillariophyceae | Pennales | 2x15-25 | 0,00031 | | 7668 |
| Bacillariophyceae | Pennales | 5-8x180-210 | 0,00097 | | 203 |
| Bacillariophyceae | Pennales | 1-3x100-150 | 0,00144 | | 7668 |
| Bacillariophyceae | Pennales | 4-6x35-50 | 0,00242 | | 5751 |
| Bacillariophyceae | Pennales | 4-6x50-70 | 0,00115 | | 1917 |
| Chlorophyceae | Chlorophyceae | 4-6 | 0,00748 | | 115022 |
| Chlorophyceae | Chlorophyceae | 6-8 | 0,01242 | | 69013 |
| Chlorophyceae | Chlorophyceae | 6-10x11-15 | 0,00334 | | 7668 |
| Chlorophyceae | Monoraphidium contortum | 2-3x20-30 | 0,00063 | | 15336 |
| Choanoflagellata | Choanoflagellata | 4x5 | 0,00161 | | 38341 |
| Chrysophyceae | Dinobryon | 3-5x4-6 | 0,00354 | | 84349 |
| Chrysophyceae | Kephyrion | 4-6x4-6 | 0,00249 | | 38341 |
| Cryptophyceae | Cryptophyceae | 5x10 | 0,00126 | | 15336 |
| Cryptophyceae | Hemiselmis | 3x4-6 | 0,00092 | | 61345 |
| Cryptophyceae | Plagioselmis | 3-4x5-7 | 0,00077 | | 30672 |
| Cryptophyceae | Plagioselmis | 5-7x7-9 | 0,00080 | | 7668 |
| Cryptophyceae | Teleaulax | 5-6x11-15 | 0,00192 | | 15336 |
| Cyanophyceae | Aphanizomenon klebahnii | 5x100 | 0,00080 | | 407 |
| Cyanophyceae | Aphanocapsa | 0,8-1,5 | 0,00083 | | 920172 |
| Cyanophyceae | Dolichospermum | 5-7x100 | 0,02528 | X | 13419 |
| Cyanophyceae | Planktolyngbya | 2x100 | 0,01685 | | 53677 |
| Cyanophyceae | Woronichinia compacta | 1,5-3,4x3-5,6 | 0,00015 | | 10170 |
| Dinophyceae | Dinophyceae | <10 | 0,00802 | | 15336 |
| Dinophyceae | Dinophyceae | 10-15 | 0,02351 | | 23004 |
| Dinophyceae | Dinophyceae | 25-30 | 0,00221 | | 203 |
| Dinophyceae | Dinophysis | 30-40 | 0,01355 | X | 1917 |
| Dinophyceae | Dinophysis | 40-45 | 0,00267 | X | 203 |
| Dinophyceae | Heterocapsa | 5-7x10-12 | 0,00101 | X | 7668 |
| Dinophyceae | Heterocapsa triquetra | 14-15x19-21 | 0,00844 | | 7668 |
| Euglenophyceae | Eutreptiella | 5-7x20-25 | 0,00325 | | 7668 |
| Euglenophyceae | Trachelomonas | 6-10x10-15 | 0,00709 | | 15336 |
| Litostomatea | Mesodinium rubrum | 20-27 | 0,08570 | | 11502 |
| Pyramimonadophyceae | Pyramimonas | 4x3 | 0,00055 | | 23004 |
| Trebouxiophyceae | Oocystis | 5-6x8-12 | 0,00061 | | 3834 |
| Unicells classes incertae sedis | Unicells species incertae sedis | <2 | 0,00337 | | 843486 |
| Unicells classes incertae sedis | Unicells species incertae sedis | 2-3 | 0,01031 | | 1288232 |
| Unicells classes incertae sedis | Unicells species incertae sedis | 3-5 | 0,01822 | | 552100 |
| | Värde | Ref | EK | nEK | |
| Klorofyll | 1,90 | 1,54 | 0,81 | 0,81 | |
| Biovolym | 0,29 | 0,18 | 0,62 | 0,68 | |
| Sammanvägd status, nEK | | | | 0,74 | |



Ägnöfjärden

Det.: Jonas Forsberg, Pelagia Nature & Environment AB

Provtagningsdatum: 2025-07-15

Analysdatum: 2026-03-03

Typindelning: 12n

| Grupp | Taxa | Storlek (µm) | Biovolym (mm ³ /l) | Pot. toxisk | Antal/L |
|----------------------------|----------------------------|---------------|-------------------------------|-------------|---------|
| Bacillariophyceae | Chaetoceros ceratosporus | 4-6x3-5 | 0,00111 | | 16511 |
| Bacillariophyceae | Chaetoceros subtilis | 8x11-13 | 0,00216 | | 4208 |
| Bacillariophyceae | Chaetoceros subtilis | 3x8-17 | 0,00124 | | 16511 |
| Bacillariophyceae | Navicula | 14-16x50-70 | 0,05454 | | 8416 |
| Bacillariophyceae | Navicula | 18-22x70-90 | 0,06060 | | 4208 |
| Chlorophyceae | Chlamydomonas | 5-6 | 0,00456 | | 49533 |
| Chlorophyceae | Chlamydomonas | 6-10 | 0,01536 | | 49533 |
| Chlorophyceae | Monoraphidium | 1-2x8-12 | 0,00089 | | 99066 |
| Chlorophyceae | Monoraphidium contortum | 1.2-1.5x15-20 | 0,00026 | | 33022 |
| Chlorophyceae | Monoraphidium contortum | 1.5-2x20-30 | 0,00051 | | 25249 |
| Chlorophyceae | Monoraphidium komarkovae | 1.5x30-50 | 0,00020 | | 8416 |
| Chrysophyceae | Dinobryon | 3-5x4-6 | 0,00069 | | 16511 |
| Chrysophyceae | Ochromonas | 3-5x6-8 | 0,00188 | | 49533 |
| Cryptophyceae | Cryptomonas | 10-13x20-26 | 0,00043 | X | 338 |
| Cryptophyceae | Hemiselmis | 3x4-6 | 0,00421 | | 280687 |
| Cryptophyceae | Plagioselmis | 3-4x5-7 | 0,01197 | | 478819 |
| Cryptophyceae | Plagioselmis | 4-5x7-9 | 0,00357 | | 66044 |
| Cryptophyceae | Teleaulax | 5-6x11-15 | 0,02064 | | 165110 |
| Cryptophyta incertae sedis | Katablepharis | 5-6x7-9 | 0,00210 | | 16511 |
| Cryptophyta incertae sedis | Katablepharis | 3-4x5-7 | 0,00063 | | 16511 |
| Cyanophyceae | Anathece bachmannii | 0.5-1x0.8-2 | 0,00127 | | 115577 |
| Cyanophyceae | Anathece minutissima | 0.8-1x1-2 | 0,00020 | | 313709 |
| Cyanophyceae | Aphanizomenon | 4x100 | 0,33300 | X | 265117 |
| Cyanophyceae | Cuspidothrix issatschenkoi | 3x100 | 0,23500 | X | 332448 |
| Cyanophyceae | Dolichospermum | 4-5x100 | 0,36580 | X | 345072 |
| Cyanophyceae | Dolichospermum | 6-8 | 0,00018 | X | 1014 |
| Cyanophyceae | Oscillatoriales | 2.5x100 | 0,18390 | | 374530 |
| Dictyochophyceae | Pseudopedinella | 3-5 | 0,00164 | | 49533 |
| Dinophyceae | Amphidinium | 15-20 | 0,01729 | X | 16511 |
| Dinophyceae | Amphidinium | 20-25 | 0,04960 | X | 33022 |
| Dinophyceae | Dinophyceae | 10-15 | 0,25310 | | 247665 |
| Dinophyceae | Dinophyceae | 15-20 | 0,27790 | | 99066 |
| Dinophyceae | Dinophyceae | 20-25 | 0,02509 | | 4208 |
| Dinophyceae | Dinophyceae | 50 | 0,55060 | | 8416 |
| Dinophyceae | Gymnodinium | 4-6x5-10 | 0,02615 | X | 363242 |
| Dinophyceae | Heterocapsa | 5-7x10-12 | 0,00872 | X | 66044 |
| Dinophyceae | Heterocapsa minima | 7-9 | 0,08163 | | 792528 |
| Dinophyceae | Heterocapsa rotundata | 5-7x10-12 | 0,01744 | | 132088 |
| Dinophyceae | Heterocapsa triquetra | 8x15-17 | 0,03540 | | 132088 |
| Dinophyceae | Heterocapsa triquetra | 11x17-19 | 0,16940 | | 297198 |
| Dinophyceae | Phalacroma rotundatum | 40-45 | 0,11820 | X | 12625 |
| Dinophyceae | Protoperdinium | 30x35 | 0,00299 | | 338 |
| Euglenophyceae | Eutreptiella | 5-7x10-15 | 0,05455 | | 231154 |
| Litostomatea | Mesodinium rubrum | 14-16 | 0,00149 | | 676 |
| Litostomatea | Mesodinium rubrum | 20-27 | 0,01511 | | 2028 |
| Litostomatea | Mesodinium rubrum | 37-45 | 0,28190 | | 8416 |
| Litostomatea | Mesodinium rubrum | 45-55 | 0,02211 | | 338 |
| Pyramimonadophyceae | Pyramimonas | 4x3 | 0,02893 | | 1205303 |
| Pyramimonadophyceae | Pyramimonas | 5-7x5 | 0,06538 | | 544863 |
| Telonemea | Telonema subtile | 5-6x8 | 0,00842 | | 99066 |
| Telonemea | Telonema subtile | 2-4x5-7 | 0,00089 | | 49533 |

Artlistan fortsätter på nästa sida.

UNDERSÖKNING, VÄXTPLANKTON: SKÄRGÅRDSSNITT 2025

| | | | | |
|---------------------------------|--------------------|------------|-----------|------------|
| Thecofilosea | Ebria tripartita | 23-27 | 0,00194 | 676 |
| Thecofilosea | Ebria tripartita | 27-33 | 0,10410 | 21041 |
| Trebouxiophyceae | Koliella longiseta | 1.5x50-70 | 0,00024 | 4208 |
| Unicells classes incertae sedis | Unicell | <2 | 0,00925 | 2311533 |
| Unicells classes incertae sedis | Unicell | 2-3 | 0,06895 | 8618716 |
| Unicells classes incertae sedis | Unicell | 3-5 | 0,12200 | 3698453 |
| Unicells classes incertae sedis | Unicell | 5-7 | 0,01493 | 132088 |
| | Värde | Ref | EK | nEK |
| Klorofyll | 11,00 | 1,51 | 0,14 | 0,18 |
| Biovolym | 3,74 | 0,17 | 0,05 | 0,11 |
| Sammanvägd status, nEK | | | | 0,15 |



PELAGIA

Ägnöfjärden

Det.: Susanne Gustafsson, Pelagia Nature & Environment AB

Provtagningsdatum: 2025-08-11

Analysdatum: 2026-03-01

Typindelning: 12n

| Grupp | Taxa | Storlek (µm) | Biovolym (mm ³ /l) | Pot. toxisk | Antal/L |
|---------------------------------|---------------------------------|---------------|-------------------------------|-------------|---------|
| Bacillariophyceae | Aulacoseira | 6x10-15 | 0,00027 | | 802 |
| Bacillariophyceae | Pennales | 4-6x15-25 | 0,00196 | | 9784 |
| Chlorophyceae | Chlamydomonas | 5-6 | 0,00071 | | 7747 |
| Chlorophyceae | Monoraphidium | 1-2x8-12 | 0,00007 | | 7747 |
| Chlorophyceae | Monoraphidium contortum | 1.2-1.5x15-20 | 0,00006 | | 7747 |
| Chlorophyceae | Planktosphaeria gelatinosa | 7-9 | 0,00208 | | 7747 |
| Coccolithophyceae | Chrysochromulina | 4-6 | 0,00151 | X | 23242 |
| Cryptophyceae | Cryptomonas | 7-8x16-18 | 0,02789 | X | 69727 |
| Cryptophyceae | Hemiselmis | 3x4-6 | 0,00511 | | 340886 |
| Cryptophyceae | Plagioselmis | 4-5x7-9 | 0,02761 | | 511325 |
| Cryptophyceae | Rhodomonas | 5-6x11-14 | 0,01162 | | 92969 |
| Cryptophyta incertae sedis | Katablepharis | 5-6x7-9 | 0,00689 | | 54232 |
| Cyanophyceae | Aphanizomenon | 5x100 | 0,31500 | X | 160458 |
| Cyanophyceae | Dolichospermum | 4-5x100 | 0,00021 | X | 201 |
| Cyanophyceae | Planktolyngbya | 2x100 | 0,00246 | | 7827 |
| Dinophyceae | Dinophyceae | 15-20 | 0,00169 | | 602 |
| Dinophyceae | Gymnodinium | 4-6x5-10 | 0,00223 | X | 30990 |
| Euglenophyceae | Eutreptiella | 5-7x10-15 | 0,00183 | | 7747 |
| Litostomatea | Mesodinium rubrum | 16-20 | 0,00352 | | 1003 |
| Pyramimonadophyceae | Pyramimonas | 4x3 | 0,00576 | | 240169 |
| Pyramimonadophyceae | Pyramimonas | 5-7x5 | 0,03068 | | 255664 |
| Thecofilosea | Ebria tripartita | 23-27 | 0,00057 | | 201 |
| Unicells classes incertae sedis | Unicells species incertae sedis | <2 | 0,00391 | | 976166 |
| Unicells classes incertae sedis | Unicells species incertae sedis | 2-3 | 0,01029 | | 1286060 |
| Unicells classes incertae sedis | Unicells species incertae sedis | 3-5 | 0,01048 | | 317643 |
| Unicells classes incertae sedis | Unicells species incertae sedis | 5-7 | 0,00350 | | 30990 |
| | Värde | Ref | EK | nEK | |
| Klorofyll | 3,70 | 1,59 | 0,43 | 0,45 | |
| Biovolym | 0,48 | 0,19 | 0,39 | 0,50 | |
| Sammanvägd status, nEK | | | | 0,47 | |



Ägnöfjärden

Det.: Jon Karlsson, Pelagia Nature & Environment AB

Provtagningsdatum: 2025-09-08

Analysdatum: 2026-01-14

Typindelning: 12n

| Grupp | Taxa | Storlek (µm) | Biovolym (mm ³ /l) | Pot. toxisk | Antal/L |
|---------------------------------|---------------------------------|--------------|-------------------------------|-------------|---------|
| Bacillariophyceae | Centrales | 70-90 | 0,23040 | | 1911 |
| Bacillariophyceae | Centrales | 17-22 | 0,00300 | | 956 |
| Bacillariophyceae | Centrales | 40-50 | 0,00363 | | 101 |
| Chlorophyceae | Chlamydomonas | 5-6 | 0,00106 | | 11467 |
| Chlorophyceae | Chlorophyceae | 4-6 | 0,02236 | | 344016 |
| Chlorophyceae | Chlorophyceae | 6-8 | 0,01651 | | 91738 |
| Choanoflagellata | Choanoflagellata | 4x5 | 0,00016 | | 3822 |
| Cryptophyceae | Cryptomonas | 7-8x16-18 | 0,00306 | X | 7645 |
| Cryptophyceae | Hemiselmis | 3x4-6 | 0,00401 | | 267568 |
| Cryptophyceae | Plagioselmis | 3-4x5-7 | 0,00487 | | 194942 |
| Cryptophyceae | Plagioselmis | 5-7x7-9 | 0,00596 | | 57336 |
| Cryptophyceae | Teleaulax | 4-5x8-11 | 0,00069 | | 11467 |
| Cryptophyceae | Teleaulax | 5-6x11-15 | 0,00239 | | 19112 |
| Cyanophyceae | Aphanizomenon klebahnii | 5x100 | 0,13510 | | 68803 |
| Cyanophyceae | Dolichospermum | 4-6 | 0,00298 | X | 45869 |
| Dictyochophyceae | Pseudopedinella | 5-7 | 0,00605 | | 53514 |
| Dinophyceae | Dinophyceae | <10 | 0,03798 | | 72626 |
| Dinophyceae | Dinophyceae | 15-20 | 0,07505 | | 26757 |
| Dinophyceae | Dinophyceae | 20-25 | 0,13670 | | 22934 |
| Dinophyceae | Dinophyceae | 25-30 | 0,03120 | | 2867 |
| Dinophyceae | Dinophysis | 40-45 | 0,03758 | X | 2867 |
| Dinophyceae | Gymnodiniales | 10-15 | 0,03734 | | 45869 |
| Dinophyceae | Heterocapsa | 5-7x10-12 | 0,00252 | X | 19112 |
| Dinophyceae | Heterocapsa | 7-10x12-15 | 0,00128 | X | 3822 |
| Euglenophyceae | Eutreptiella | 5-7x10-15 | 0,01173 | | 49691 |
| Euglenophyceae | Eutreptiella | 5-7x15-20 | 0,00378 | | 11467 |
| Euglenophyceae | Trachelomonas | 6-10x10-15 | 0,00177 | | 3822 |
| Litostomatea | Mesodinium rubrum | 16-20 | 0,02680 | | 7645 |
| Litostomatea | Mesodinium rubrum | 20-27 | 0,04272 | | 5734 |
| Litostomatea | Mesodinium rubrum | 33-37 | 0,02144 | | 956 |
| Pyramimonadophyceae | Pyramimonas | 4x3 | 0,02165 | | 902086 |
| Pyramimonadophyceae | Pyramimonas | 5-7x5 | 0,04495 | | 374595 |
| Thecofilosea | Ebria tripartita | 17-23 | 0,00560 | | 3822 |
| Unicells classes incertae sedis | Unicells species incertae sedis | <2 | 0,00266 | | 665098 |
| Unicells classes incertae sedis | Unicells species incertae sedis | 2-3 | 0,00685 | | 856218 |
| Unicells classes incertae sedis | Unicells species incertae sedis | 3-5 | 0,01337 | | 405174 |
| | Värde | Ref | EK | nEK | |
| Klorofyll | 6,20 | 1,47 | 0,24 | 0,29 | |
| Biovolym | 1,01 | 0,17 | 0,17 | 0,31 | |
| Sammanvägd status, nEK | | | | 0,30 | |



Ägnöfjärden

Det.: Jon Karlsson, Pelagia Nature & Environment AB

Provtagningsdatum: 2025-10-06

Analysdatum: 2026-02-03

Typindelning: 12n

| Grupp | Taxa | Storlek (µm) | Biovolym (mm ³ /l) | Pot. toxisk | Antal/L |
|---------------------------------|---------------------------------|--------------|-------------------------------|-------------|---------|
| Bacillariophyceae | Centrales | 7-12 | 0,03520 | | 69013 |
| Bacillariophyceae | Centrales | 12-17 | 0,01320 | | 7668 |
| Bacillariophyceae | Pennales | 1-3x100-150 | 0,00072 | | 3834 |
| Bacillariophyceae | Pennales | 4-6x35-50 | 0,00322 | | 7668 |
| Bacillariophyceae | Skeletonema | 3x6-8 | 0,00076 | | 15336 |
| Chlorodendrophyceae | Pachysphaera | 6-8 | 0,00110 | | 7668 |
| Chlorophyceae | Chlorophyceae | 4-6 | 0,01346 | | 207039 |
| Chlorophyceae | Chlorophyceae | 6-8 | 0,01518 | | 84349 |
| Chlorophyceae | Chlorophyceae | 6-10x11-15 | 0,00667 | | 15336 |
| Choanoflagellata | Choanoflagellata | 4x5 | 0,00161 | | 38341 |
| Cryptophyceae | Cryptomonadales | 10x15 | 0,00802 | | 15336 |
| Cryptophyceae | Cryptomonas | 7-8x16-18 | 0,03374 | X | 84349 |
| Cryptophyceae | Hemiselmis | 3x4-6 | 0,00587 | | 391073 |
| Cryptophyceae | Plagioselmis | 3-4x5-7 | 0,00403 | | 161030 |
| Cryptophyceae | Plagioselmis | 5-7x7-9 | 0,01515 | | 145694 |
| Cryptophyceae | Teleaulax | 5-6x11-15 | 0,02396 | | 191703 |
| Cyanophyceae | Aphanizomenon | 4x100 | 0,01204 | X | 9585 |
| Cyanophyceae | Aphanizomenon klebahnii | 5x100 | 0,03010 | | 15336 |
| Cyanophyceae | Planktolyngbya | 2x100 | 0,00120 | | 3834 |
| Dictyochophyceae | Apedinella | 9 | 0,00878 | | 23004 |
| Dictyochophyceae | Pseudopedinella | 7-9 | 0,00206 | | 7668 |
| Dinophyceae | Amphidinium | 15-20 | 0,02409 | X | 23004 |
| Dinophyceae | Dinophyceae | <10 | 0,03609 | | 69013 |
| Dinophyceae | Dinophyceae | 10-15 | 0,02351 | | 23004 |
| Dinophyceae | Dinophyceae | 15-20 | 0,12910 | | 46009 |
| Dinophyceae | Dinophyceae | 25-30 | 0,02086 | | 1917 |
| Dinophyceae | Dinophysis | 30-40 | 0,00863 | X | 1220 |
| Dinophyceae | Dinophysis | 40-45 | 0,00800 | X | 610 |
| Dinophyceae | Heterocapsa | 5-7x10-12 | 0,02530 | X | 191703 |
| Euglenophyceae | Eutreptiella | 5-7x10-15 | 0,00181 | | 7668 |
| Euglenophyceae | Trachelomonas | 6-10x10-15 | 0,01771 | | 38341 |
| Litostomatea | Mesodinium rubrum | 16-20 | 0,02688 | | 7668 |
| Litostomatea | Mesodinium rubrum | 27-33 | 0,00287 | | 203 |
| Pyramimonadophyceae | Pyramimonas | 4x3 | 0,00423 | | 176366 |
| Pyramimonadophyceae | Pyramimonas | 5-7x5 | 0,01196 | | 99685 |
| Thecofilosea | Ebria tripartita | 27-33 | 0,00948 | | 1917 |
| Trebouxiophyceae | Koliella | 1,5x30-50 | 0,00029 | | 7668 |
| Trebouxiophyceae | Koliella | 2x30 | 0,00077 | | 15336 |
| Trebouxiophyceae | Oocystis | 5-6x8-12 | 0,00013 | | 814 |
| Unicells classes incertae sedis | Unicells species incertae sedis | <2 | 0,00325 | | 812813 |
| Unicells classes incertae sedis | Unicells species incertae sedis | 2-3 | 0,00982 | | 1226888 |
| Unicells classes incertae sedis | Unicells species incertae sedis | 3-5 | 0,01569 | | 475419 |
| | Värde | Ref | EK | nEK | |
| Klorofyll | 4,50 | 1,60 | 0,35 | 0,40 | |
| Biovolym | 0,62 | 0,19 | 0,31 | 0,44 | |
| Sammanvägd status, nEK | | | | 0,42 | |



Ägnöfjärden

Det.: Jon Karlsson, Pelagia Nature & Environment AB

Provtagningsdatum: 2025-11-12

Analysdatum: 2026-01-16

Typindelning: 12n

| Grupp | Taxa | Storlek (µm) | Biovolym (mm ³ /l) | Pot. toxisk | Antal/L |
|---------------------------------|---------------------------------|--------------|-------------------------------|-------------|---------|
| Bacillariophyceae | Aulacoseira | 7x15-20 | 0,00273 | | 4056 |
| Bacillariophyceae | Centrales | 7-12 | 0,01560 | | 30579 |
| Bacillariophyceae | Centrales | 32-40 | 0,01608 | | 956 |
| Bacillariophyceae | Centrales | 40-50 | 0,03418 | | 956 |
| Bacillariophyceae | Nitzschia acicularis | 1,5-2x18-22 | 0,00026 | | 7645 |
| Bacillariophyceae | Pennales | 2x15-25 | 0,00031 | | 7645 |
| Bacillariophyceae | Pennales | 3-5x7-11 | 0,00014 | | 3822 |
| Bacillariophyceae | Skeletonema | 3x3-5 | 0,00021 | | 7645 |
| Bacillariophyceae | Skeletonema | 3x6-8 | 0,00114 | | 22934 |
| Bacillariophyceae | Thalassiosira | 27-32 | 0,04051 | | 3822 |
| Chlorophyceae | Chlorophyceae | 4-6 | 0,00174 | | 26757 |
| Chlorophyceae | Chlorophyceae | 6-8 | 0,00138 | | 7645 |
| Chlorophyceae | Chlorophyceae | 6-10x11-15 | 0,00499 | | 11467 |
| Chlorophyceae | Monoraphidium | 2-3x40-50 | 0,00135 | | 11467 |
| Chlorophyceae | Monoraphidium contortum | 1,5-2x20-30 | 0,00008 | | 3822 |
| Cryptophyceae | Cryptomonadales | 4,5x8 | 0,00021 | | 3822 |
| Cryptophyceae | Hemiselmis | 3x4-6 | 0,00080 | | 53514 |
| Cryptophyceae | Plagioselmis | 3-4x5-7 | 0,00201 | | 80270 |
| Cryptophyceae | Plagioselmis | 5-7x7-9 | 0,00199 | | 19112 |
| Cryptophyceae | Teleaulax | 5-6x11-15 | 0,00096 | | 7645 |
| Cyanophyceae | Aphanizomenon | 4x100 | 0,00102 | X | 811 |
| Cyanophyceae | Dolichospermum | 5-7x100 | 0,00057 | X | 304 |
| Cyanophyceae | Planktolyngbya | 2x100 | 0,00600 | | 19112 |
| Cyanophyceae | Pseudanabaena | 1,5x100 | 0,00271 | | 15290 |
| Cyanophyceae | Snowella | 1-4 | 0,00024 | X | 30579 |
| Dictyochophyceae | Pseudopedinella | 7-9 | 0,00205 | | 7645 |
| Dinophyceae | Amphidinium | 30-40 | 0,01471 | X | 1911 |
| Dinophyceae | Dinophyceae | <10 | 0,02399 | | 45869 |
| Dinophyceae | Dinophyceae | 15-20 | 0,02144 | | 7645 |
| Dinophyceae | Dinophysis | 30-40 | 0,00072 | X | 101 |
| Litostomatea | Mesodinium rubrum | 16-20 | 0,01005 | | 2867 |
| Litostomatea | Mesodinium rubrum | 20-27 | 0,03560 | | 4778 |
| Litostomatea | Mesodinium rubrum | 27-33 | 0,10800 | | 7645 |
| Litostomatea | Mesodinium rubrum | 33-37 | 0,06433 | | 2867 |
| Pyramimonadophyceae | Pyramimonas | 4x3 | 0,00193 | | 80270 |
| Pyramimonadophyceae | Pyramimonas | 8-10x6 | 0,00722 | | 26757 |
| Thecofilosea | Ebria tripartita | 27-33 | 0,00050 | | 101 |
| Unicells classes incertae sedis | Unicells species incertae sedis | <2 | 0,00251 | | 626874 |
| Unicells classes incertae sedis | Unicells species incertae sedis | 2-3 | 0,00740 | | 925021 |
| Unicells classes incertae sedis | Unicells species incertae sedis | 3-5 | 0,00933 | | 282858 |
| | Värde | Ref | EK | nEK | |
| Klorofyll | 8,50 | 1,64 | 0,19 | 0,24 | |
| Biovolym | 0,45 | 0,20 | 0,44 | 0,52 | |
| Sammanvägd status, nEK | | | | 0,38 | |



Appendix 2

Djurplankton

Analysrapport från Pelagia Nature and Environment AB





PELAGIA

Analysrapport 2026-01-21

**UNDERSÖKNING,
DJURPLANKTON:
SKÄRGÅRDSPROVER 2025**

På uppdrag av Eurofins AB

Experter inom naturmiljö

FÖRFATTARE:

DIREKT:

KVALITETSGRANSKAT AV:

Ivan Berg

ivan.berg@pelagia.se
090-349 62 49

Rickard Degerman



Ackrediterade metoder i denna rapport avser:
Analys av djurplankton.

Laboratorier ackrediteras av Styrelsen för ackreditering och teknisk kontroll (SWEDAC) enligt svensk lag.
Den ackrediterade verksamheten vid laboratorierna uppfyller kraven i ISO/IEC 17025:2017.

Denna rapport får endast återges i sin helhet, om inte utfärdande laboratorium i förväg skriftligen godkänt annat.

1. Inledning

Pelagia Nature & Environment AB har på uppdrag av Eurofins AB utfört analys av 19 djurplanktonprover, så som de mottagits. Proverna är tagna i Koviksudde.

2. Material och metod

Analys och beräkning utfördes av Ivan Berg, Pelagia Nature & Environment AB.

Pelagia Nature & Environment AB är ett av SWEDAC ackrediterat organ för djurplanktonanalys (ackrediteringsnummer 1846).

Analys och beräkning är genomförda i enlighet med:

- Havs- och vattenmyndigheten 2016. Djurplankton, trend- och områdesövervakning Version 1:2 2016-12-07 Kust och Hav.
- HELCOM combine manual. Guidelines for monitoring of mesozooplankton (Annex C-7).
- SS-EN 15110:2006.

Där möjlighet fanns räknades minst 100 individer av de tre dominerande taxonomiska grupperna inom rotatorier och mesozooplankton.

Biomassa presenteras i milligram torrsvikt per liter och antal i individer per liter.

3. Resultat

Resultatet presenteras i nedanstående tabell och artlistor.

Tabell 1. Sammanfattning av alla lokalers biomassa gällande mesozooplankton och rotatorier, presenterade i mg/L.

| Lokal | Mesozooplankton | Rotatorier |
|-----------------------|-----------------|------------|
| Koviksudde 2025-01-14 | 0,009850 | 0,000184 |
| Koviksudde 2025-02-19 | 0,006995 | 0,000069 |
| Koviksudde 2025-03-11 | 0,004616 | 0,000074 |
| Koviksudde 2025-04-14 | 0,015403 | 0,000178 |
| Koviksudde 2025-04-29 | 0,026580 | 0,000229 |
| Koviksudde 2025-05-12 | 0,032355 | 0,000486 |
| Koviksudde 2025-05-28 | 0,048039 | 0,001613 |
| Koviksudde 2025-06-12 | 0,101769 | 0,004664 |
| Koviksudde 2025-06-25 | 0,143552 | 0,001037 |

| Lokal | Mesozooplankton | Rotatorier |
|-----------------------|-----------------|------------|
| Koviksudde 2025-07-15 | 0,502727 | 0,003548 |
| Koviksudde 2025-07-31 | 0,222447 | 0,001857 |
| Koviksudde 2025-08-13 | 0,040992 | 0,000713 |
| Koviksudde 2025-08-25 | 0,031360 | 0,000744 |
| Koviksudde 2025-09-10 | 0,034425 | 0,004405 |
| Koviksudde 2025-09-23 | 0,033099 | 0,000502 |
| Koviksudde 2025-10-08 | 0,033067 | 0,000530 |
| Koviksudde 2025-10-21 | 0,014833 | 0,001220 |
| Koviksudde 2025-11-11 | 0,006431 | 0,000157 |
| Koviksudde 2025-12-15 | 0,004860 | 0,000034 |

Koviksudde - 2025-01-14

Det.: Ivan Berg, Pelagia Nature & Environment AB

Provtagningsdatum: 2025-01-14

Analysdatum: 2025-03-21

Filtrerad volym: 7655 liter

| Grupp | Taxa | Biomassa, medel (mq) | Biomassa (mq/L) | Antal/L |
|--------------------------------|-----------------------------------|----------------------|-----------------|---------|
| Cladocera | <i>Bosmina cf. longirostris</i> F | 0,002172 | 0,000024 | 0,0110 |
| | <i>Bosmina longispina</i> JV | 0,000730 | 0,000024 | 0,0329 |
| Copepoda | cf. <i>Acartia clausi</i> F | 0,005053 | 0,000111 | 0,0220 |
| | <i>Acartia</i> sp. M | 0,003879 | 0,000043 | 0,0110 |
| | Calanoida copepodit | 0,002604 | 0,007121 | 2,7344 |
| | Calanoida nauplii | 0,000249 | 0,000369 | 1,4825 |
| | Cyclopoida copepodit | 0,000815 | 0,000018 | 0,0220 |
| | Cyclopoida nauplii | 0,000165 | 0,000036 | 0,2196 |
| | <i>Eurytemora affinis</i> M | 0,005661 | 0,000933 | 0,1647 |
| | <i>Eurytemora</i> sp. F | 0,006244 | 0,001028 | 0,1647 |
| | Harpacticoida sp. | 0,000321 | 0,000004 | 0,0110 |
| | <i>Temora</i> sp. F | 0,003179 | 0,000140 | 0,0439 |
| Rotifera | <i>Asplanchna</i> sp. | 0,001373 | 0,000015 | 0,0110 |
| | <i>Keratella quadrata</i> | 0,000065 | 0,000014 | 0,2086 |
| | <i>Notholca caudata</i> | 0,000042 | 0,000014 | 0,3185 |
| | <i>Synchaeta</i> sp. | 0,000116 | 0,000141 | 1,2189 |
| Totalt, Mesozooplankton | | | 0,009850 | 4,9197 |
| Totalt, Rotifera | | | 0,000184 | 1,7570 |

Koviksudde - 2025-02-19

Det.: Ivan Berg, Pelagia Nature & Environment AB

Provtagningsdatum: 2025-02-19

Analysdatum: 2025-03-24

Filtrerad volym: 7655 liter

| Grupp | Taxa | Biomassa, medel (mq) | Biomassa (mq/L) | Antal/L |
|--------------------------------|------------------------|----------------------|-----------------|----------|
| Cladocera | Bosmina longispina JV | 0,000779 | 0,000015 | 0,0198 |
| | Bosmina sp. JV | 0,001235 | 0,000008 | 0,0066 |
| Copepoda | Acartia sp. F | 0,005890 | 0,000660 | 0,1120 |
| | Acartia sp. M | 0,005719 | 0,000226 | 0,0395 |
| | Calanoida copepodit | 0,003201 | 0,004113 | 1,2848 |
| | Calanoida nauplii | 0,000273 | 0,000309 | 1,1311 |
| | Cyclopoida nauplii | 0,000236 | 0,000025 | 0,1054 |
| | Eudiaptomus gracilis M | 0,008352 | 0,000165 | 0,0198 |
| | Eudiaptomus sp. F | 0,006843 | 0,000090 | 0,0132 |
| | Eurytemora affinis M | 0,006244 | 0,000494 | 0,0791 |
| | Eurytemora sp. F | 0,006871 | 0,000860 | 0,1252 |
| | Harpacticoida sp. | 0,000514 | 0,000010 | 0,0198 |
| | Temora sp. F | 0,002960 | 0,000020 | 0,0066 |
| | Rotifera | Asplanchna sp. | 0,000381 | 0,000003 |
| Filinia sp. | | 0,000045 | 0,000000 | 0,0066 |
| Kellicottia longispina | | 0,000008 | 0,000000 | 0,0593 |
| Keratella quadrata | | 0,000060 | 0,000001 | 0,0132 |
| Notholca caudata | | 0,000042 | 0,000004 | 0,1054 |
| Synchaeta sp. | | 0,000075 | 0,000060 | 0,8038 |
| Totalt, Mesozooplankton | | | 0,006995 | 2,9628 |
| Totalt, Rotifera | | | 0,000069 | 0,9949 |

Koviksudde - 2025-03-11

Det.: Ivan Berg, Pelagia Nature & Environment AB

Provtagningsdatum: 2025-03-11

Analysdatum: 2025-03-25

Filtrerad volym: 7655 liter

| Grupp | Taxa | Biomassa, medel (mq) | Biomassa (mq/L) | Antal/L |
|--------------------------------|------------------------|----------------------|-----------------|---------|
| Cladocera | Bosmina longispina JV | 0,000881 | 0,000022 | 0,0247 |
| Copepoda | Acartia sp. F | 0,006544 | 0,000485 | 0,0741 |
| | Acartia sp. M | 0,005192 | 0,000043 | 0,0082 |
| | Calanoida copepodit | 0,002790 | 0,003033 | 1,0872 |
| | Calanoida nauplii | 0,000276 | 0,000609 | 2,2073 |
| | Cyclopoida nauplii | 0,000250 | 0,000033 | 0,1318 |
| | Cyclopoida sp. F | 0,002308 | 0,000019 | 0,0082 |
| | Cyclopoida sp. M | 0,002518 | 0,000021 | 0,0082 |
| | Eudiaptomus gracilis F | 0,010193 | 0,000084 | 0,0082 |
| | Eudiaptomus sp. F | 0,007664 | 0,000126 | 0,0165 |
| | Eurytemora affinis M | 0,004383 | 0,000036 | 0,0082 |
| | Eurytemora sp. F | 0,006372 | 0,000105 | 0,0165 |
| Rotifera | Keratella quadrata | 0,000060 | 0,000001 | 0,0165 |
| | cf. Notholca acuminata | 0,000035 | 0,000001 | 0,0165 |
| | Notholca caudata | 0,000042 | 0,000010 | 0,2388 |
| | Synchaeta sp. | 0,000054 | 0,000062 | 1,1531 |
| Totalt, Mesozooplankton | | | 0,004616 | 3,5992 |
| Totalt, Rotifera | | | 0,000074 | 1,4248 |

Koviksudde - 2025-04-14

Det.: Ivan Berg, Pelagia Nature & Environment AB

Provtagningsdatum: 2025-04-14

Analysdatum: 2025-08-12

Filtrerad volym: 7655 liter

| Grupp | Taxa | Biomassa, medel (mq) | Biomassa (mq/L) | Antal/L |
|--------------------------------|------------------------|----------------------|-----------------|----------|
| Cladocera | Bosmina longispina F | 0,001512 | 0,000154 | 0,1019 |
| | Bosmina longispina JV | 0,001049 | 0,000107 | 0,1019 |
| | Bosmina sp. JV | 0,000881 | 0,000030 | 0,0340 |
| Copepoda | Acartia sp. F | 0,005518 | 0,001312 | 0,2377 |
| | Acartia sp. M | 0,006790 | 0,001384 | 0,2038 |
| | Calanoida copepodit | 0,002953 | 0,006518 | 2,2074 |
| | Calanoida nauplii | 0,000270 | 0,000953 | 3,5319 |
| | Calanoida sp. F | 0,006066 | 0,000206 | 0,0340 |
| | Cyclopoida sp. F | 0,001828 | 0,000124 | 0,0679 |
| | Cyclopoida sp. M | 0,005575 | 0,000189 | 0,0340 |
| | Eurytemora affinis F | 0,008946 | 0,000911 | 0,1019 |
| | Eurytemora affinis M | 0,007112 | 0,000725 | 0,1019 |
| | Eurytemora sp. F | 0,006763 | 0,001148 | 0,1698 |
| | Limnocalanus copepodit | 0,007330 | 0,001494 | 0,2038 |
| | Temora sp. F | 0,004383 | 0,000149 | 0,0340 |
| | Rotifera | cf. Ascomorpha sp. | 0,000005 | 0,000000 |
| Asplanchna sp. | | 0,000462 | 0,000016 | 0,0340 |
| Keratella cochlearis | | 0,000002 | 0,000000 | 0,0340 |
| Keratella quadrata | | 0,000068 | 0,000021 | 0,3056 |
| Notholca caudata | | 0,000062 | 0,000105 | 1,6980 |
| Synchaeta sp. | | 0,000092 | 0,000028 | 0,3056 |
| cf. Synchaeta sp. | | 0,000030 | 0,000008 | 0,2717 |
| Totalt, Mesozooplankton | | | 0,015403 | 7,1657 |
| Totalt, Rotifera | | | 0,000178 | 2,6829 |

Koviksudde - 2025-04-29

Det.: Ivan Berg, Pelagia Nature & Environment AB

Provtagningsdatum: 2025-04-29

Analysdatum: 2025-08-15

Filtrerad volym: 7655 liter

| Grupp | Taxa | Biomassa, medel (mq) | Biomassa (mq/L) | Antal/L |
|--------------------------------|--------------------------------|----------------------|-----------------|---------|
| Cladocera | <i>Bosmina longispina</i> F | 0,001235 | 0,000042 | 0,0340 |
| | <i>Bosmina longispina</i> JV | 0,000829 | 0,000169 | 0,2038 |
| | <i>Podon</i> sp. | 0,000780 | 0,000026 | 0,0340 |
| Copepoda | <i>Acartia</i> sp. F | 0,006896 | 0,000703 | 0,1019 |
| | <i>Acartia</i> sp. M | 0,005621 | 0,000382 | 0,0679 |
| | <i>Calanoida</i> copepodit | 0,002700 | 0,009535 | 3,5319 |
| | <i>Calanoida</i> nauplii | 0,000239 | 0,001033 | 4,3300 |
| | <i>Calanoida</i> sp. F | 0,007166 | 0,000487 | 0,0679 |
| | <i>Cyclopoida</i> copepodit | 0,000658 | 0,000022 | 0,0340 |
| | <i>Cyclopoida</i> nauplii | 0,000174 | 0,000095 | 0,5434 |
| | <i>Cyclopoida</i> sp. F | 0,002076 | 0,000423 | 0,2038 |
| | <i>Cyclopoida</i> sp. M | 0,001645 | 0,000503 | 0,3056 |
| | <i>Eurytemora</i> affinis F | 0,008352 | 0,002269 | 0,2717 |
| | <i>Eurytemora</i> affinis M | 0,007207 | 0,001958 | 0,2717 |
| | <i>Eurytemora</i> copepodit | 0,005953 | 0,001617 | 0,2717 |
| | <i>Eurytemora</i> sp. F | 0,007139 | 0,002909 | 0,4075 |
| | <i>Limnocalanus macrurus</i> F | 0,013386 | 0,003637 | 0,2717 |
| | <i>Limnocalanus</i> copepodit | 0,007552 | 0,000769 | 0,1019 |
| Rotifera | <i>Keratella cochlearis</i> | 0,000003 | 0,000001 | 0,3736 |
| | <i>Keratella quadrata</i> | 0,000063 | 0,000057 | 0,9169 |
| | <i>Notholca acuminata</i> | 0,000029 | 0,000003 | 0,1019 |
| | <i>Notholca caudata</i> | 0,000050 | 0,000103 | 2,0376 |
| | <i>Synchaeta</i> sp. | 0,000053 | 0,000048 | 0,9169 |
| | cf. <i>Synchaeta</i> sp. | 0,000016 | 0,000016 | 1,0188 |
| Totalt, Mesozooplankton | | | 0,026580 | 11,0542 |
| Totalt, Rotifera | | | 0,000229 | 5,3658 |

Koviksudde - 2025-05-12

Det.: Ivan Berg, Pelagia Nature & Environment AB

Provtagningsdatum: 2025-05-12

Analysdatum: 2025-08-19

Filtrerad volym: 7655 liter

| Grupp | Taxa | Biomassa, medel (mq) | Biomassa (mq/L) | Antal/L |
|--------------------------------|-----------------------|----------------------|-----------------|---------|
| Cladocera | Bosmina longispina F | 0,001140 | 0,000077 | 0,0679 |
| | Bosmina longispina JV | 0,000730 | 0,000149 | 0,2038 |
| | Daphnia cucullata M | 0,000563 | 0,000019 | 0,0340 |
| | Evadne sp. | 0,000780 | 0,000053 | 0,0679 |
| | Podon sp. | 0,000260 | 0,000018 | 0,0679 |
| Copepoda | Acartia sp. F | 0,006579 | 0,001564 | 0,2377 |
| | Acartia sp. M | 0,006201 | 0,001895 | 0,3056 |
| | Calanoida copepodit | 0,002938 | 0,015823 | 5,3852 |
| | Calanoida nauplii | 0,000237 | 0,001571 | 6,6223 |
| | Calanoida sp. F | 0,005192 | 0,000176 | 0,0340 |
| | Cyclopoida copepodit | 0,000619 | 0,000210 | 0,3396 |
| | Cyclopoida nauplii | 0,000133 | 0,000023 | 0,1698 |
| | Cyclopoida sp. F | 0,001571 | 0,000800 | 0,5094 |
| | Cyclopoida sp. M | 0,001798 | 0,000366 | 0,2038 |
| | Eurytemora affinis F | 0,007867 | 0,002137 | 0,2717 |
| | Eurytemora affinis M | 0,007085 | 0,004090 | 0,5773 |
| | Eurytemora sp. F | 0,006639 | 0,003382 | 0,5094 |
| | Bivalvia | Bivalvia veliger | - | - |
| Rotifera | Keratella cochlearis | 0,000004 | 0,000001 | 0,3396 |
| | Keratella quadrata | 0,000071 | 0,000201 | 2,8187 |
| | Notholca caudata | 0,000049 | 0,000062 | 1,2565 |
| | Synchaeta monopus | 0,000055 | 0,000011 | 0,2038 |
| | Synchaeta sp. | 0,000075 | 0,000192 | 2,5810 |
| | cf. Synchaeta sp. | 0,000025 | 0,000018 | 0,7132 |
| Totalt, Mesozooplankton | | | 0,032355 | 16,3206 |
| Totalt, Rotifera | | | 0,000486 | 7,9129 |

Koviksudde - 2025-05-28

Det.: Ivan Berg, Pelagia Nature & Environment AB

Provtagningsdatum: 2025-05-28

Analysdatum: 2025-08-20

Filterrad volym: 7655 liter

| Grupp | Taxa | Biomassa, medel (mq) | Biomassa (mq/L) | Antal/L |
|--------------------------------|-----------------------|----------------------|-----------------|---------|
| Cladocera | Bosmina longispina F | 0,001049 | 0,000178 | 0,1698 |
| | Bosmina longispina JV | 0,000615 | 0,000731 | 1,1886 |
| | Evadne sp. | 0,000780 | 0,001987 | 2,5471 |
| | Podon sp. | 0,000260 | 0,000177 | 0,6792 |
| | Podon polyphemoides | 0,000780 | 0,000331 | 0,4245 |
| Copepoda | Acartia sp. M | 0,005477 | 0,000930 | 0,1698 |
| | Calanoida copepodit | 0,002881 | 0,026664 | 9,2543 |
| | Calanoida nauplii | 0,000178 | 0,001831 | 10,2731 |
| | Cyclopoida copepodit | 0,000761 | 0,000129 | 0,1698 |
| | Cyclopoida nauplii | 0,000077 | 0,000007 | 0,0849 |
| | Cyclopoida sp. F | 0,002518 | 0,000428 | 0,1698 |
| | Cyclopoida sp. M | 0,002739 | 0,000698 | 0,2547 |
| | Eurytemora affinis F | 0,007004 | 0,003568 | 0,5094 |
| | Eurytemora affinis M | 0,005882 | 0,006492 | 1,1037 |
| | Eurytemora sp. F | 0,005694 | 0,003868 | 0,6792 |
| | Harpacticoida sp. | 0,000268 | 0,000023 | 0,0849 |
| | Bivalvia | Bivalvia veliger | - | - |
| Rotifera | Keratella cochlearis | 0,000004 | 0,000008 | 2,2924 |
| | Keratella quadrata | 0,000069 | 0,000341 | 4,9243 |
| | Notholca caudata | 0,000047 | 0,000016 | 0,3396 |
| | Synchaeta monopus | 0,000028 | 0,000075 | 2,7169 |
| | Synchaeta sp. | 0,000082 | 0,001165 | 14,1503 |
| | cf. Synchaeta sp. | 0,000043 | 0,000007 | 0,1698 |
| Totalt, Mesozooplankton | | | 0,048039 | 30,3100 |
| Totalt, Rotifera | | | 0,001613 | 24,5932 |

Koviksudde - 2025-06-12

Det.: Ivan Berg, Pelagia Nature & Environment AB

Provtagningsdatum: 2025-06-12

Analysdatum: 2025-10-27

Filterrad volym: 7655 liter

| Grupp | Taxa | Biomassa, medel (mq) | Biomassa (mq/L) | Antal/L |
|--------------------------------|-----------------------|----------------------|-----------------|---------|
| Cladocera | Bosmina longispina F | 0,001063 | 0,002346 | 2,2074 |
| | Bosmina longispina JV | 0,000597 | 0,002634 | 4,4149 |
| | Evadne sp. | 0,000780 | 0,027284 | 34,9796 |
| | Podon sp. | 0,000780 | 0,017086 | 21,9047 |
| Copepoda | Acartia sp. F | 0,006066 | 0,002060 | 0,3396 |
| | Calanoida copepodit | 0,002631 | 0,030832 | 11,7165 |
| | Calanoida nauplii | 0,000215 | 0,002483 | 11,5467 |
| | Cyclopoida nauplii | 0,000226 | 0,000115 | 0,5094 |
| | Eurytemora affinis F | 0,006605 | 0,004486 | 0,6792 |
| | Eurytemora affinis M | 0,005146 | 0,010485 | 2,0376 |
| | Eurytemora sp. F | 0,005768 | 0,001959 | 0,3396 |
| Bivalvia | Bivalvia veliger | - | - | 1,8678 |
| Rotifera | Keratella cochlearis | 0,000004 | 0,000005 | 1,3584 |
| | Keratella quadrata | 0,000088 | 0,000240 | 2,7169 |
| | Notholca caudata | 0,000038 | 0,000006 | 0,1698 |
| | Synchaeta monopus | 0,000040 | 0,000185 | 4,5847 |
| | Synchaeta sp. | 0,000071 | 0,004223 | 59,4313 |
| | Trichotria sp. | 0,000029 | 0,000005 | 0,1698 |
| Totalt, Mesozooplankton | | | 0,101769 | 92,5431 |
| Totalt, Rotifera | | | 0,004664 | 68,4309 |

Koviksudde - 2025-06-25

Det.: Ivan Berg, Pelagia Nature & Environment AB

Provtagningsdatum: 2025-06-25

Analysdatum: 2025-10-28

Filterrad volym: 7655 liter

| Grupp | Taxa | Biomassa, medel (mq) | Biomassa (mq/L) | Antal/L |
|--------------------------------|-----------------------|----------------------|-----------------|---------|
| Cladocera | Bosmina longispina F | 0,001228 | 0,029411 | 23,9423 |
| | Bosmina longispina JV | 0,000702 | 0,011925 | 16,9804 |
| | Evadne sp. | 0,001300 | 0,001766 | 1,3584 |
| | Podon sp. | 0,000780 | 0,008212 | 10,5278 |
| Copepoda | Acartia sp. F | 0,005405 | 0,003671 | 0,6792 |
| | Acartia sp. M | 0,005053 | 0,001716 | 0,3396 |
| | Calanoida copepodit | 0,002604 | 0,042013 | 16,1314 |
| | Calanoida nauplii | 0,000209 | 0,003545 | 16,9804 |
| | Cyclopoida copepodit | 0,000563 | 0,000191 | 0,3396 |
| | Cyclopoida nauplii | 0,000149 | 0,000051 | 0,3396 |
| | Cyclopoida sp. F | 0,001571 | 0,000267 | 0,1698 |
| | Cyclopoida sp. M | 0,001740 | 0,000591 | 0,3396 |
| | Eurytemora affinis F | 0,006149 | 0,012529 | 2,0376 |
| | Eurytemora affinis M | 0,005607 | 0,019041 | 3,3961 |
| | Eurytemora sp. F | 0,006284 | 0,008536 | 1,3584 |
| | Harpacticoida sp. | 0,000514 | 0,000087 | 0,1698 |
| | Bivalvia | Bivalvia veliger | - | - |
| Rotifera | Keratella cochlearis | 0,000004 | 0,000011 | 3,0565 |
| | Keratella quadrata | 0,000093 | 0,000459 | 4,9243 |
| | Rotifera sp. | - | - | 0,1698 |
| | Synchaeta monopus | 0,000062 | 0,000105 | 1,6980 |
| | Synchaeta sp. | 0,000101 | 0,000462 | 4,5847 |
| Totalt, Mesozooplankton | | | 0,143552 | 96,7882 |
| Totalt, Rotifera | | | 0,001037 | 14,4333 |

Koviksudde 2025-07-15

Det.: Ivan Berg, Pelagia Nature & Environment AB

Provtagningsdatum: 2025-07-15

Analysdatum: 2025-10-29

Filtrerad volym: 7655 liter

| Grupp | Taxa | Biomassa, medel (mg) | Biomassa (mg/L) | Antal/L |
|--------------------------------|-----------------------|----------------------|-----------------|----------|
| Cladocera | Bosmina longispina F | 0,001294 | 0,276926 | 213,9528 |
| | Bosmina longispina JV | 0,000855 | 0,137870 | 161,3136 |
| | Daphnia cristata | 0,001321 | 0,000224 | 0,1698 |
| | Evadne sp. | 0,001300 | 0,001104 | 0,8490 |
| | Podon sp. | 0,000780 | 0,002119 | 2,7169 |
| Copepoda | Acartia sp. M | 0,005477 | 0,001860 | 0,3396 |
| | Calanoida copepodit | 0,002652 | 0,056738 | 21,3953 |
| | Calanoida nauplii | 0,000221 | 0,003119 | 14,0937 |
| | Cyclopoida copepodit | 0,000761 | 0,000258 | 0,3396 |
| | Cyclopoida nauplii | 0,000149 | 0,000278 | 1,8678 |
| | Cyclopoida sp. M | 0,001412 | 0,000240 | 0,1698 |
| | Eurytemora affinis M | 0,006201 | 0,009477 | 1,5282 |
| | Eurytemora sp. F | 0,006142 | 0,012515 | 2,0376 |
| | Thecostraca | Balanidae nauplii | - | - |
| Bivalvia | Bivalvia veliger | - | - | 0,3396 |
| Rotifera | Asplanchna sp. | 0,001693 | 0,000863 | 0,5094 |
| | Keratella cochlearis | 0,000003 | 0,000072 | 20,8859 |
| | Keratella quadrata | 0,000081 | 0,001851 | 22,9235 |
| | Synchaeta monopus | 0,000057 | 0,000221 | 3,9055 |
| | Synchaeta sp. | 0,000076 | 0,000541 | 7,1318 |
| Totalt, Mesozooplankton | | | 0,502727 | 422,3020 |
| Totalt, Rotifera | | | 0,003548 | 55,3560 |

Koviksudde - 2025-07-31

Det.: Ivan Berg, Pelagia Nature & Environment AB

Provtagningsdatum: 2025-07-31

Analysdatum: 2025-10-30

Filtrerad volym: 7655 liter

| Grupp | Taxa | Biomassa, medel (mg) | Biomassa (mg/L) | Antal/L |
|--------------------------------|-----------------------|----------------------|-----------------|----------|
| Cladocera | Bosmina longispina F | 0,001512 | 0,098593 | 65,2047 |
| | Bosmina longispina JV | 0,000844 | 0,073689 | 87,2791 |
| | Podon sp. | 0,000780 | 0,000530 | 0,6792 |
| Copepoda | Acartia sp. F | 0,005192 | 0,001763 | 0,3396 |
| | Acartia sp. M | 0,006684 | 0,002270 | 0,3396 |
| | Calanoida copepodit | 0,002399 | 0,033403 | 13,9239 |
| | Calanoida nauplii | 0,000194 | 0,001054 | 5,4337 |
| | Cyclopoida copepodit | 0,000872 | 0,000296 | 0,3396 |
| | Cyclopoida nauplii | 0,000213 | 0,000217 | 1,0188 |
| | Cyclopoida sp. F | 0,003358 | 0,007984 | 2,3773 |
| | Cyclopoida sp. M | 0,001412 | 0,000479 | 0,3396 |
| | Eurytemora sp. F | 0,006066 | 0,002060 | 0,3396 |
| | Harpacticoida sp. | 0,000321 | 0,000109 | 0,3396 |
| Thecostraca | Balanidae nauplii | - | - | 0,3396 |
| Rotifera | Asplanchna sp. | 0,001121 | 0,000762 | 0,6792 |
| | Keratella cochlearis | 0,000003 | 0,000131 | 40,4133 |
| | Keratella quadrata | 0,000074 | 0,000730 | 9,8486 |
| | Synchaeta monopus | 0,000021 | 0,000007 | 0,3396 |
| | Synchaeta sp. | 0,000167 | 0,000227 | 1,3584 |
| Totalt, Mesozooplankton | | | 0,222447 | 178,2940 |
| Totalt, Rotifera | | | 0,001857 | 52,6392 |

Koviksudde - 2025-08-13

Det.: Ivan Berg, Pelagia Nature & Environment AB

Provtagningsdatum: 2025-08-13

Analysdatum: 2025-11-05

Filtrerad volym: 7655 liter

| Grupp | Taxa | Biomassa, medel (mq) | Biomassa (mq/L) | Antal/L |
|--------------------------------|-------------------------|----------------------|-----------------|----------|
| Cladocera | Bosmina longispina F | 0,001783 | 0,015985 | 8,9656 |
| | Bosmina longispina JV | 0,000974 | 0,007806 | 8,0147 |
| | Daphnia cucullata | 0,000563 | 0,000328 | 0,5822 |
| | Daphnia cf. cucullata F | 0,001726 | 0,000502 | 0,2911 |
| | Evadne sp. | 0,001300 | 0,000189 | 0,1455 |
| | Podon sp. | 0,000780 | 0,000076 | 0,0970 |
| | Podon intermedius | 0,001300 | 0,000063 | 0,0485 |
| | Podon polyphemoides | 0,000780 | 0,000303 | 0,3881 |
| Copepoda | Acartia sp. F | 0,005053 | 0,001716 | 0,3396 |
| | Acartia sp. M | 0,005239 | 0,001525 | 0,2911 |
| | Calanoida copepodit | 0,002115 | 0,007490 | 3,5416 |
| | Calanoida nauplii | 0,000244 | 0,001471 | 6,0159 |
| | Cyclopoida copepodit | 0,000563 | 0,000027 | 0,0485 |
| | Cyclopoida nauplii | 0,000104 | 0,000020 | 0,1941 |
| | Cyclopoida sp. F | 0,002108 | 0,000102 | 0,0485 |
| | Cyclopoida sp. M | 0,002157 | 0,000419 | 0,1941 |
| | Eurytemora affinis M | 0,005534 | 0,001342 | 0,2426 |
| | Eurytemora sp. F | 0,005592 | 0,001628 | 0,2911 |
| | Rotifera | Asplanchna sp. | 0,000381 | 0,000018 |
| Keratella cochlearis | | 0,000003 | 0,000005 | 1,4555 |
| Keratella quadrata | | 0,000061 | 0,000238 | 3,8812 |
| Rotifera sp. | | - | - | 0,0485 |
| Synchaeta monopus | | 0,000063 | 0,000042 | 0,6792 |
| Synchaeta sp. | | 0,000078 | 0,000409 | 5,2397 |
| Totalt, Mesozooplankton | | | 0,040992 | 29,7399 |
| Totalt, Rotifera | | | 0,000713 | 11,3526 |

Koviksudde - 2025-08-25

Det.: Ivan Berg, Pelagia Nature & Environment AB

Provtagningsdatum: 2025-08-25

Analysdatum: 2025-12-30

Filtrerad volym: 7655 liter

| Grupp | Taxa | Biomassa, medel (mg) | Biomassa (mg/L) | Antal/L |
|--------------------------------|-----------------------|----------------------|-----------------|---------|
| Cladocera | Bosmina longispina F | 0,001874 | 0,003000 | 1,6010 |
| | Bosmina longispina JV | 0,000789 | 0,005945 | 7,5393 |
| | Chydorus sp. | 0,000048 | 0,000002 | 0,0485 |
| | Daphnia cucullata | 0,000635 | 0,002682 | 4,2208 |
| | Daphnia cucullata F | 0,001708 | 0,000746 | 0,4366 |
| | Daphnia sp. | 0,001321 | 0,000064 | 0,0485 |
| | Evadne sp. | 0,000780 | 0,000265 | 0,3396 |
| | Podon intermedius | 0,002600 | 0,000252 | 0,0970 |
| | Podon polyphemoides | 0,001300 | 0,000315 | 0,2426 |
| Copepoda | Acartia sp. F | 0,004470 | 0,000651 | 0,1455 |
| | Acartia sp. M | 0,004593 | 0,002228 | 0,4852 |
| | Calanoida copepodit | 0,001994 | 0,010932 | 5,4822 |
| | Calanoida nauplii | 0,000203 | 0,000700 | 3,4446 |
| | Cyclopoida nauplii | 0,000149 | 0,000014 | 0,0970 |
| | Cyclopoida sp. M | 0,001123 | 0,000054 | 0,0485 |
| | Eurytemora affinis F | 0,006737 | 0,001961 | 0,2911 |
| | Eurytemora affinis M | 0,005565 | 0,000540 | 0,0970 |
| | Eurytemora sp. F | 0,005192 | 0,001008 | 0,1941 |
| Bivalvia | Bivalvia veliger | - | - | 0,0485 |
| Rotifera | cf. Collotheca sp. | 0,000000 | 0,000000 | 0,0970 |
| | Keratella cochlearis | 0,000003 | 0,000010 | 3,1535 |
| | Keratella quadrata | 0,000063 | 0,000043 | 0,6792 |
| | Synchaeta monopus | 0,000049 | 0,000038 | 0,7762 |
| | Synchaeta sp. | 0,000071 | 0,000654 | 9,2543 |
| Totalt, Mesozooplankton | | | 0,031360 | 24,9078 |
| Totalt, Rotifera | | | 0,000744 | 13,9603 |

Koviksudde - 2025-09-10

Det.: Ivan Berg, Pelagia Nature & Environment AB

Provtagningsdatum: 2025-09-10

Analysdatum: 2026-01-19

Filtrerad volym: 7655 liter

| Grupp | Taxa | Biomassa, medel (mq) | Biomassa (mq/L) | Antal/L |
|-------------------------|--------------------------------|----------------------|-----------------|----------|
| Cladocera | Bosmina longispina F | 0,001695 | 0,006044 | 3,5659 |
| | Bosmina longispina JV | 0,000913 | 0,006977 | 7,6412 |
| | Daphnia cucullata | 0,000342 | 0,000261 | 0,7641 |
| | Daphnia cucullata F | 0,001540 | 0,000262 | 0,1698 |
| | Evadne sp. | 0,001300 | 0,000993 | 0,7641 |
| | Podon intermedius | 0,001300 | 0,000441 | 0,3396 |
| | Podon polyphemoides | 0,001300 | 0,000221 | 0,1698 |
| | Copepoda | Acartia sp. F | 0,005192 | 0,002204 |
| Acartia sp. M | | 0,005334 | 0,001811 | 0,3396 |
| Calanoida copepodit | | 0,002577 | 0,007878 | 3,0565 |
| Calanoida nauplii | | 0,000219 | 0,002025 | 9,2543 |
| Cyclopoida copepodit | | 0,000598 | 0,000406 | 0,6792 |
| Cyclopoida nauplii | | 0,000147 | 0,000249 | 1,6980 |
| Eurytemora affinis F | | 0,008004 | 0,000680 | 0,0849 |
| Eurytemora affinis M | | 0,006558 | 0,002784 | 0,4245 |
| Eurytemora sp. F | | 0,007004 | 0,001189 | 0,1698 |
| Thecostraca | Balanidae nauplii | - | - | 0,0849 |
| Rotifera | Asplanchna sp. | 0,000695 | 0,000177 | 0,2547 |
| | cf. Collotheca sp. | 0,000001 | 0,000000 | 0,0849 |
| | Keratella cochlearis | 0,000003 | 0,000005 | 1,6980 |
| | Keratella quadrata | 0,000064 | 0,000038 | 0,5943 |
| | Synchaeta monopus | 0,000067 | 0,002604 | 38,7153 |
| | Synchaeta sp. | 0,000066 | 0,001581 | 23,9423 |
| | Totalt, Mesozooplankton | | | 0,034425 |
| Totalt, Rotifera | | | 0,004405 | 65,2896 |

Koviksudde - 2025-09-23

Det.: Ivan Berg, Pelagia Nature & Environment AB

Provtagningsdatum: 2025-09-23

Analysdatum: 2026-01-07

Filtrerad volym: 7655 liter

| Grupp | Taxa | Biomassa, medel (mg) | Biomassa (mg/L) | Antal/L |
|--------------------------------|---------------------------------|----------------------|-----------------|----------|
| Cladocera | <i>Bosmina longispina</i> F | 0,001783 | 0,005692 | 3,1923 |
| | <i>Bosmina longispina</i> JV | 0,001085 | 0,007883 | 7,2676 |
| | <i>Ceriodaphnia quadrangula</i> | 0,000849 | 0,000173 | 0,2038 |
| | <i>Chydoridae</i> sp. | - | - | 0,0679 |
| | <i>Daphnia cucullata</i> | 0,000539 | 0,001098 | 2,0376 |
| | <i>Daphnia cucullata</i> F | 0,001583 | 0,000968 | 0,6113 |
| | <i>Daphnia cucullata</i> M | 0,000974 | 0,000265 | 0,2717 |
| | <i>Evadne</i> sp. | 0,000260 | 0,000018 | 0,0679 |
| | <i>Podon intermedius</i> | 0,003900 | 0,000265 | 0,0679 |
| | Copepoda | <i>Acartia</i> sp. M | 0,005192 | 0,002116 |
| Calanoida copepodit | | 0,001746 | 0,005454 | 3,1244 |
| Calanoida nauplii | | 0,000200 | 0,002271 | 11,3769 |
| Cyclopoida copepodit | | 0,001005 | 0,000751 | 0,7471 |
| Cyclopoida nauplii | | 0,000132 | 0,000117 | 0,8830 |
| Cyclopoida sp. F | | 0,002649 | 0,000900 | 0,3396 |
| <i>Eurytemora affinis</i> F | | 0,008004 | 0,001631 | 0,2038 |
| <i>Eurytemora affinis</i> M | | 0,006066 | 0,001648 | 0,2717 |
| <i>Eurytemora</i> sp. F | | 0,006579 | 0,001341 | 0,2038 |
| <i>Limnocalanus</i> copepodit | | 0,003758 | 0,000511 | 0,1358 |
| Thecostraca | Balanidae nauplii | - | - | 0,0679 |
| Rotifera | cf. <i>Collotheca</i> sp. | 0,000001 | 0,000000 | 0,0679 |
| | <i>Keratella cochlearis</i> | 0,000003 | 0,000006 | 1,9018 |
| | <i>Keratella quadrata</i> | 0,000061 | 0,000121 | 1,9697 |
| | <i>Synchaeta monopus</i> | 0,000048 | 0,000046 | 0,9509 |
| | <i>Synchaeta</i> sp. | 0,000045 | 0,000329 | 7,2676 |
| Totalt, Mesozooplankton | | | 0,033099 | 31,5495 |
| Totalt, Rotifera | | | 0,000502 | 12,1580 |

Koviksudde - 2025-10-08

Det.: Ivan Berg, Pelagia Nature & Environment AB

Provtagningsdatum: 2025-10-08

Analysdatum: 2026-01-08

Filterrad volym: 7655 liter

| Grupp | Taxa | Biomassa, medel (mq) | Biomassa (mq/L) | Antal/L | |
|-------------------------|--------------------------------|----------------------|-----------------|----------|--------|
| Cladocera | Bosmina coregoni F | 0,001907 | 0,000162 | 0,0849 | |
| | Bosmina coregoni JV | 0,000881 | 0,000037 | 0,0425 | |
| | Bosmina longispina F | 0,001865 | 0,004117 | 2,2074 | |
| | Bosmina longispina JV | 0,001043 | 0,004516 | 4,3300 | |
| | Bosmina longispina M | 0,001531 | 0,000780 | 0,5094 | |
| | Daphnia cucullata | 0,000732 | 0,000870 | 1,1886 | |
| | Daphnia cucullata F | 0,001911 | 0,000325 | 0,1698 | |
| | Daphnia cucullata M | 0,000873 | 0,000111 | 0,1274 | |
| | Evadne sp. | 0,001300 | 0,000276 | 0,2123 | |
| | Podon intermedius | 0,003900 | 0,000497 | 0,1274 | |
| | Podon polyphemoides | 0,000780 | 0,000166 | 0,2123 | |
| | Copepoda | Acartia sp. F | 0,005123 | 0,000870 | 0,1698 |
| | | Acartia sp. M | 0,005477 | 0,000697 | 0,1274 |
| Calanoida copepodit | | 0,002283 | 0,012407 | 5,4337 | |
| Calanoida nauplii | | 0,000193 | 0,001983 | 10,2731 | |
| Cyclopoida copepodit | | 0,001101 | 0,001636 | 1,4858 | |
| Cyclopoida nauplii | | 0,000161 | 0,000027 | 0,1698 | |
| Cyclopoida sp. F | | 0,002464 | 0,000418 | 0,1698 | |
| Eurytemora affinis F | | 0,007330 | 0,000622 | 0,0849 | |
| Eurytemora affinis M | | 0,006066 | 0,001030 | 0,1698 | |
| Eurytemora sp. F | | 0,005966 | 0,001520 | 0,2547 | |
| Rotifera | | Asplanchna sp. | 0,002221 | 0,000094 | 0,0425 |
| | | cf. Collotheca sp. | 0,000000 | 0,000000 | 0,0425 |
| | | Euchlanis dilatata | 0,000167 | 0,000007 | 0,0425 |
| | Kellicottia bostoniensis | 0,000008 | 0,000000 | 0,0425 | |
| | Keratella cochlearis | 0,000003 | 0,000006 | 1,9103 | |
| | Keratella quadrata | 0,000059 | 0,000121 | 2,0376 | |
| | Polyarthra sp. | 0,000023 | 0,000002 | 0,0849 | |
| | Synchaeta monopus | 0,000073 | 0,000040 | 0,5519 | |
| | Synchaeta sp. | 0,000091 | 0,000259 | 2,8442 | |
| | Totalt, Mesozooplankton | | 0,033067 | 27,5507 | |
| Totalt, Rotifera | | 0,000530 | 7,5987 | | |

Koviksudde - 2025-10-21

Det.: Ivan Berg, Pelagia Nature & Environment AB

Provtagningsdatum: 2025-10-21

Analysdatum: 2025-11-19

Filtrerad volym: 7655 liter

| Grupp | Taxa | Biomassa, medel (mg) | Biomassa (mg/L) | Antal/L |
|------------------|--------------------------------|----------------------|-----------------|---------|
| Cladocera | Bosmina cf. coregoni F | 0,001440 | 0,000049 | 0,0340 |
| | Bosmina cf. coregoni JV | 0,000597 | 0,000041 | 0,0679 |
| | Bosmina longispina F | 0,001824 | 0,000186 | 0,1019 |
| | Bosmina longispina JV | 0,000819 | 0,000139 | 0,1698 |
| | Bosmina longispina M | 0,001335 | 0,000091 | 0,0679 |
| | Bosmina sp. F | 0,001235 | 0,000042 | 0,0340 |
| | Bosmina sp. JV | 0,000597 | 0,000041 | 0,0679 |
| | Daphnia cucullata | 0,000945 | 0,000193 | 0,2038 |
| | Daphnia sp. M | 0,001136 | 0,000193 | 0,1698 |
| | Podon sp. | 0,000780 | 0,000026 | 0,0340 |
| Copepoda | Acartia sp. F | 0,005621 | 0,000382 | 0,0679 |
| | Acartia sp. M | 0,004646 | 0,000158 | 0,0340 |
| | Calanoida copepodit | 0,002557 | 0,007730 | 3,0225 |
| | Calanoida nauplii | 0,000204 | 0,001385 | 6,7922 |
| | Cyclopoida copepodit | 0,000511 | 0,000087 | 0,1698 |
| | Cyclopoida nauplii | 0,000239 | 0,000008 | 0,0340 |
| | Cyclopoida sp. F | 0,001932 | 0,000918 | 0,4755 |
| | Eurytemora affinis M | 0,006510 | 0,001990 | 0,3056 |
| | Eurytemora sp. F | 0,006811 | 0,001157 | 0,1698 |
| | Harpacticoida sp. | 0,000591 | 0,000020 | 0,0340 |
| Rotifera | Keratella cochlearis | 0,000003 | 0,000001 | 0,2377 |
| | Keratella quadrata | 0,000066 | 0,000011 | 0,1698 |
| | Keratella sp. | 0,000001 | 0,000000 | 0,0340 |
| | Synchaeta monopus | 0,000069 | 0,000085 | 1,2226 |
| | Synchaeta sp. | 0,000130 | 0,001123 | 8,6260 |
| | Totalt, Mesozooplankton | | 0,014833 | 12,0561 |
| | Totalt, Rotifera | | 0,001220 | 10,2901 |

Koviksudde - 2025-11-11

Det.: Ivan Berg, Pelagia Nature & Environment AB

Provtagningsdatum: 2025-11-11

Analysdatum: 2025-12-23

Filterrad volym: 7655 liter

| Grupp | Taxa | Biomassa, medel (mq) | Biomassa (mq/L) | Antal/L | |
|-------------------------------|-----------------------------------|-------------------------|-----------------|----------|--------|
| Cladocera | <i>Bosmina coregoni</i> F | 0,001440 | 0,000012 | 0,0082 | |
| | <i>Bosmina coregoni</i> JV | 0,001049 | 0,000026 | 0,0247 | |
| | <i>Bosmina longirostris</i> F | 0,001783 | 0,000029 | 0,0165 | |
| | <i>Bosmina longispina</i> F | 0,002172 | 0,000018 | 0,0082 | |
| | <i>Bosmina longispina</i> M | 0,001341 | 0,000188 | 0,1400 | |
| | <i>Bosmina</i> sp. F | 0,001810 | 0,000268 | 0,1482 | |
| | <i>Bosmina</i> sp. JV | 0,000730 | 0,000030 | 0,0412 | |
| | <i>Daphnia cucullata</i> F | 0,001824 | 0,000060 | 0,0329 | |
| | <i>Daphnia</i> cf. <i>galeata</i> | 0,001618 | 0,000013 | 0,0082 | |
| | <i>Daphnia</i> sp. | 0,000355 | 0,000003 | 0,0082 | |
| | <i>Evadne</i> sp. | 0,000780 | 0,000013 | 0,0165 | |
| | <i>Podon leuckarti</i> | 0,000780 | 0,000006 | 0,0082 | |
| | <i>Polyphemus pediculus</i> | 0,001066 | 0,000018 | 0,0165 | |
| | Copepoda | <i>Acartia</i> sp. F | 0,005334 | 0,000088 | 0,0165 |
| | | Calanoida copepodit | 0,002611 | 0,004387 | 1,6802 |
| Calanoida nauplii | | 0,000215 | 0,000177 | 0,8236 | |
| Cyclopoida copepodit | | 0,001472 | 0,000218 | 0,1482 | |
| Cyclopoida nauplii | | 0,000186 | 0,000018 | 0,0988 | |
| Cyclopoida sp. F | | 0,002221 | 0,000256 | 0,1153 | |
| <i>Eudiaptomus</i> copepodit | | 0,004601 | 0,000038 | 0,0082 | |
| <i>Eudiaptomus gracilis</i> F | | 0,010978 | 0,000090 | 0,0082 | |
| <i>Eudiaptomus gracilis</i> M | | 0,006684 | 0,000055 | 0,0082 | |
| <i>Eudiaptomus</i> sp. F | | 0,005192 | 0,000043 | 0,0082 | |
| <i>Eurytemora affinis</i> F | | 0,006372 | 0,000052 | 0,0082 | |
| <i>Eurytemora affinis</i> M | | 0,004426 | 0,000219 | 0,0494 | |
| <i>Eurytemora</i> sp. F | | 0,005601 | 0,000046 | 0,0082 | |
| <i>Harpacticoida</i> sp. | | 0,000443 | 0,000007 | 0,0165 | |
| <i>Temora</i> sp. F | | 0,003068 | 0,000051 | 0,0165 | |
| Bivalvia | | <i>Bivalvia</i> veliger | - | - | 0,0082 |
| Rotifera | | <i>Asplanchna</i> sp. | 0,000972 | 0,000032 | 0,0329 |
| | cf. <i>Collotheca</i> sp. | 0,000000 | 0,000000 | 0,0082 | |
| | <i>Keratella cochlearis</i> | 0,000003 | 0,000000 | 0,0082 | |
| | <i>Keratella quadrata</i> | 0,000064 | 0,000107 | 1,6802 | |
| | <i>Lecane</i> sp. | 0,000041 | 0,000000 | 0,0082 | |
| | Rotifera sp. | - | - | 0,0082 | |
| | <i>Synchaeta monopus</i> | 0,000060 | 0,000002 | 0,0412 | |
| | <i>Synchaeta</i> sp. | 0,000132 | 0,000013 | 0,0988 | |
| | <i>Trichocerca capucina</i> | 0,000212 | 0,000002 | 0,0082 | |
| | Totalt, Mesozooplankton | | 0,006431 | 3,5003 | |
| Totalt, Rotifera | | 0,000157 | 1,8943 | | |

Koviksudde - 2025-12-15

Det.: Ivan Berg, Pelagia Nature & Environment AB

Provtagningsdatum: 2025-12-15

Analysdatum: 2026-01-20

Filtrerad volym: 7655 liter

| Grupp | Taxa | Biomassa, medel (mq) | Biomassa (mq/L) | Antal/L |
|--------------------------------|-------------------------------|-------------------------|-----------------|----------|
| Cladocera | <i>Bosmina longirostris</i> F | 0,001907 | 0,000014 | 0,0073 |
| | <i>Bosmina longispina</i> F | 0,001440 | 0,000021 | 0,0146 |
| | <i>Bosmina longispina</i> JV | 0,001187 | 0,000017 | 0,0146 |
| | <i>Daphnia cristata</i> | 0,001782 | 0,000007 | 0,0037 |
| | <i>Daphnia cucullata</i> F | 0,002542 | 0,000009 | 0,0037 |
| | <i>Daphnia cf. galeata</i> | 0,002542 | 0,000009 | 0,0037 |
| | <i>Evadne</i> sp. | 0,000780 | 0,000006 | 0,0073 |
| | Copepoda | <i>Acartia</i> sp. F | 0,005192 | 0,000076 |
| <i>Acartia</i> sp. M | | 0,003639 | 0,000013 | 0,0037 |
| <i>Calanoida</i> copepodit | | 0,002804 | 0,003849 | 1,3727 |
| <i>Calanoida</i> nauplii | | 0,000153 | 0,000105 | 0,6852 |
| <i>Cyclopoida</i> copepodit | | 0,001402 | 0,000082 | 0,0586 |
| <i>Cyclopoida</i> nauplii | | 0,000177 | 0,000012 | 0,0659 |
| <i>Cyclopoida</i> sp. F | | 0,002108 | 0,000023 | 0,0110 |
| <i>Eudiaptomus gracilis</i> F | | 0,009068 | 0,000066 | 0,0073 |
| <i>Eurytemora affinis</i> M | | 0,005334 | 0,000195 | 0,0366 |
| <i>Eurytemora</i> sp. F | | 0,006142 | 0,000090 | 0,0146 |
| <i>Harpacticoida</i> sp. | | 0,000565 | 0,000006 | 0,0110 |
| <i>Temora</i> sp. F | | 0,003731 | 0,000260 | 0,0695 |
| Bivalvia | | <i>Bivalvia</i> veliger | - | - |
| Rotifera | cf. <i>Collotheca</i> sp. | 0,000001 | 0,000000 | 0,0037 |
| | <i>Kellicottia longispina</i> | 0,000010 | 0,000000 | 0,0110 |
| | <i>Keratella quadrata</i> | 0,000057 | 0,000023 | 0,4063 |
| | <i>Notholca caudata</i> | 0,000045 | 0,000002 | 0,0366 |
| | Rotifera sp. | - | - | 0,0183 |
| | <i>Synchaeta monopus</i> | 0,000045 | 0,000001 | 0,0146 |
| | <i>Synchaeta</i> sp. | 0,000069 | 0,000008 | 0,1208 |
| Totalt, Mesozooplankton | | | 0,004860 | 2,4130 |
| Totalt, Rotifera | | | 0,000034 | 0,6113 |

Appendix 3

Taxonomisk fördelning av växtplankton



Appendix 3. Tabell över uppdaterad klassning av växtplanktontaxa sedan 2021.

| Tidigare fördelning | Nuvarande fördelning |
|---------------------|----------------------------------------------------------------------------------------------------------------------------------------------------------------------------------------------------------------------------------|
| Bacillariophyceae | Bacillariophyceae |
| Chlorophyceae | <ul style="list-style-type: none"> → Chlorophyceae → Klebsormidiophyceae → Mantoniella → Prasinophyceae → Trebouxiophyceae → Ulvophyceae → Zygnematophyceae |
| Chrysophyceae | <ul style="list-style-type: none"> → Chrysophyceae → Dictyochophyceae → Prymnesiophyceae |
| Cryptophyceae | Cryptophyceae |
| Cyanophyceae | Cyanophyceae |
| Dinophyceae | Dinophyceae |
| Euglenoidea | Euglenoidea |
| Övriga taxa | <ul style="list-style-type: none"> → Ebriophyceae → Flagellates etc → Litostomatea → Telonemia → Unicell |



Stockholm Vatten och Avfall
106 36 Stockholm

Besöksadress: Bryggerivägen 10
08-522 120 00, kund@svoa.se
www.svoa.se